

SSC-L：ループ型高速炉システムコード

モデル開発・改良と利用マニュアル

1987年10月

動力炉・核燃料開発事業団
大洗工学センター

複製又はこの資料の入手については、下記にお問い合わせください。

〒311-13 茨城県東茨城郡大洗町成田町4002

動力炉・核燃料開発事業団

大洗工学センター システム開発推進部・技術管理室

Enquires about copyright and reproduction should be addressed to: Technology Management Section O-arai Engineering Center, Power Reactor and Nuclear Fuel Development Corporation 4002 Narita-cho, O-arai-machi, Higashi-Ibaraki, Ibaraki-ken, 311-13, Japan

動力炉・核燃料開発事業団 (Power Reactor and Nuclear Fuel Development Corporation)

1987年10月

SSC-L：ループ型高速炉システムコード

モデル開発・改良と利用マニュアル

山口 彰* 吉川 信治**
大島 宏之* 長谷川俊行***

要 旨

(目的) SSC-Lを、高速炉のあらゆる事故事象の解析や安全評価をきわめて高い解析精度で実施できる計算コードに改良し、そのために必要なモデルを開発する。

(方法) SSC-Lの解析精度向上のために現象論的モデルを開発あるいは改良し、適用性を拡大するためにシステムや機器のモデル開発を数多く実施した。改良したSSC-Lを各種事故事象解析に適用し、コードの検証と機能のチェックを行う。

(結果) コード全体にわたってコードの改良・モデル開発を実施した。原子炉容器では、上部及び下部プレナムでの多次元効果の考慮、反応度効果のモデル化、集合体間熱移行モデル開発等を実施した。熱輸送系では、配管壁からの熱放散モデル、崩壊熱除去系(IRACS, DRACS)モデル、中間熱交換器モデルの改良、配管破損モデルの改良等を行なった。そのほか、原子炉保護系の改良、計算結果の図形出力プログラム作成等も実施した。改良したSSC-Lにより多くの事故事象の解析を行い、精度が著しく向上したこと、あらゆる事故時のFBRシステム全体の解析に適用できることを確認した。

(結論) SSC-Lに関する研究の第1段階であるコードの改良、モデル開発は終了し、原型炉や実証炉の安全評価に適用することが可能となった。

* 大洗工学センター安全工学部原子炉工学室

** 現在 科学技術庁

*** カスタマエンジニアーズ株式会社

October. 1987

SSC-L : Super System Code for Loop-Type Fast Breeder Reactors

Improvement in the Accuracy and the Applicability of SSC-L

Akira Yamaguchi¹, Shinji Yoshikawa², Hiroyuki Ohshima¹,
and Toshiyuki Hasegawa³

SSC-L is a best estimate computer code for the whole plant system thermohydraulic analysis. It is applied to all the categories of accidents, i.e., protected accidents (PLOHS, PLOF, and LOPI) and unprotected accidents (ULOF, UTOP, ULOHS and ULOPI). The purpose of this study is to improve the capability of SSC-L so that it can be used for the safety evaluation of FBR system extensively with sufficient accuracy.

Phenomenological models and system/component models are newly developed and added to SSC-L. A number of modules originally used in SSC-L are modified or replaced. As a result, the modifications are related to the most part of the computational modules in SSC-L. The following models, for example, are developed regarding the in-vessel and heat transport system thermohydraulics such as:

- a) modification of two-region upper plenum model,
- b) multi-pressure point lower plenum model,
- c) reactivity feedback effect for unprotected accident analysis,
- d) whole core inter-subassembly heat transfer model,
- e) modeling of heat losses through the piping wall,
- f) decay heat removal systems, i.e., IRACS and DRACS, model,
- g) more stable and accurate IHX heat transfer model,
- h) modification of the pipe break model, etc.

In addition, a graphic package for SSC is developed to display the computational results in the form of two dimensional time history.

The improved SSC-L is applied to the analysis of various type of accidents and the effectiveness of the improvement is demonstrated. It is concluded that the first stage of the SSC-L development has been completed. This code is to be used as an effective computational tool for the safety analysis of Monju and larger scale FBR from the viewpoint of the whole plant behavior.

¹ FBR Reactor Engineering Section, SED, OEC, PNC.

² presently with Science and Technology Agency.

³ Customer Engineers Company.

目 次

Figure List	VII
Table List	XIII
1. はじめに	1
1.1 SSC開発の経緯と現状	1
1.2 SSCの特徴と利用の現状	2
1.3 高速増殖炉システムコードの体系	4
2. SSC-Lのモデル開発と改良	10
2.1 基本方針	10
2.2 原子炉容器内の熱流動モデル	12
2.2.1 原子炉容器カバーガスの締切モデル	12
(1) はじめに	12
(2) モデルの概要	13
(3) 解析例	14
2.2.2 下部プレナム多点近似モデル	14
(1) はじめに	14
(2) モデルの概要	14
(3) 解析例	15
2.2.3 入口ノズルの逆流抵抗モデル	20
2.2.4 上部プレナムの2領域モデルの改良	20
2.2.5 集合体間熱移行モデル	27
(1) はじめに	27
(2) 2領域7集合体クラスターモデル	27
(3) 全炉心モデル	28
2.2.6 反応度フィードバックモデル	39
(1) はじめに	39
(2) 反応度フィードバックモデル	40
(2)-a 炉心支持板膨張効果	40
(2)-b 構造材膨張効果	41
(2)-c 燃料膨張による形状効果	41
(3) 例題	43
2.3 原子炉熱輸送系の伝熱流動モデル	43
2.3.1 配管壁から周辺雰囲気への放熱モデル	43
(1) はじめに	43

(2) S S C - L の冷却材と配管壁温度の評価方法	45
(3) 配管壁から周辺雰囲気への熱放散モデル	46
(4) 物性値	49
(5) 定常解と非定常解の求め方	49
(6) 解析例	50
2.3.2 原子炉容器ガードベッセル・ガードパイプと仕切り機構モデル	50
2.3.3 配管破断モデル	59
2.3.4 原子炉熱輸送系の過渡事象のモデル化	63
(1) 中間熱交換器における除熱源喪失	63
(2) 蒸気発生器における除熱源喪失	63
(3) I R A C S における除熱源喪失	67
(4) I R A C S の空気冷却器出口止め弁開失敗	67
(5) 冷却ループの喪失	67
(6) 強制循環冷却能力の喪失	68
2.4 中間熱交換器モデルの改良	68
2.4.1 はじめに	68
2.4.2 基礎方程式と解析モデル	68
2.4.3 時間積分法	72
2.4.4 解析例	73
2.5 原子炉補助冷却系 (I R A C S) モデル	102
2.5.1 はじめに	102
2.5.2 解析モデル-(1) I R A C S の初期条件と起動条件	103
(1) 参照条件と初期条件	103
(2) I R A C S の起動条件	103
2.5.3 解析モデル-(2) I R A C S の流動モデル	103
(1) 参照条件の設定	103
(2) 初期条件の設定	104
(3) 過渡計算	104
(4) 空気冷却器出口止め弁バイパス弁のモデル化	104
2.5.4 解析モデル-(3) I R A C S の伝熱モデル	105
(1) 空気冷却器の参照条件設定計算	105
(2) 空気冷却器の初期条件設定計算	106
(3) 配管の熱輸送モデル	107
(4) プレナム混合モデル	108
2.5.5 解析モデル-(4) I R A C S の空気流動モデル	109
2.5.6 解析例	110

2.6 原子炉直接炉心冷却系（D R A C S）モデル	114
2.6.1 はじめに	114
2.6.2 解析モデル	114
(1) D R A C S の初期条件と起動条件	114
(2) 1 次系流動モデル	114
(3) 2 次系流動モデル	117
(4) 空気自然通風スタックモデル	117
(5) 中間熱交換器モデル	119
(6) 空気冷却器モデル	120
(7) 配管系の熱輸送モデル	121
2.6.3 解析例	122
2.7 原子炉保護系・制御系のモデル	122
(1) 1 次主冷却系流量低	122
(2) 2 次主冷却系流量低	133
(3) 中性子束変化率高	133
(4) 1 次主循環ポンプ回転数低	133
3. SSC-Lの利用方法	134
3.1 はじめに	134
3.2 SSC-Lサイクル 4 1 と 4 2 の比較	134
3.2.1 崩壊熱除去機能喪失事象の解析	134
3.2.2 原子炉容器入口配管破断事故の解析	135
3.2.3 まとめ	135
3.3 SSC-Lの入力データマニュアルと使用方法	168
3.3.1 SSC-L入力データマニュアル（ファイル番号 5）	168
3.3.2 SSC-L入力データマニュアル（ファイル番号 4）	186
(1) 原子炉容器カバーガス締切モデル	187
(2) 原子炉容器ガードベッセルモデル	188
(3) 原子炉容器下部プレナム多点モデル	190
(4) 反応度フィードバックモデル	191
(5) 原子炉熱輸送系配管壁から周辺雰囲気への熱放散モデル	192
(6) 热輸送系異常解析用モデル	194
(7) 補助炉心冷却系（I R A C S）モデル	195
(8) 直接炉心冷却系（D R A C S）モデル	199
(9) 配管破損モデル	206
(10) 全炉心集合体間熱移行モデル	206
3.3.3 SSC-Lの実行方法	207

3.4 SSC-L計算結果の図形出力	207
(1) SSC-L図形出力用データ作成マニュアル	211
(2) 作図するパラメータの指定の方法	213
4. 結論	221
5. 謝辞	223
6. 参考文献	224
 付録 SSC-L改良のコレクションセット	227
(1) 原子炉容器カバーガス締切モデル	230
(2) 原子炉容器上部プレナム	231
(3) 原子炉容器下部プレナム多点モデル	233
(4) 全炉心集合体間熱移行モデル	239
(5) 反応度フィードバックモデル	245
(6) 原子炉熱輸送系配管壁から周辺雰囲気への熱放散モデル	252
(7) 原子炉容器ガードベッセルモデル	267
(8) 中間熱交換器モデル	271
(9) 補助炉心冷却系 (I R A C S) モデル	280
(10) 直接炉心冷却系 (D R A C S) モデル	316
(11) 原子炉保護系・制御系のモデル	332
(12) リスタート	337
(13) その他のモデル改良	338
(14) もんじゅデータ	341

Figure List

Chapter 1

- Figure 1-1 The relation between initiating events, safety functions, safety systems, and thermohydraulic computational codes for LMFBR.
- Figure 1-2 Progression of the event sequence in the initial phase of LMFBR accidents.

Chapter 2

- Figure 2-1 Development and improvement of SSC-L computational models.
- Figure 2-2 Reactor cover gas isolation model in SSC.
- Figure 2-3 Sodium level in reactor vessel during the loss-of-piping-integrity accident.
- (a) Without reactor cover gas isolation
 - (b) With reactor cover gas isolation
- Figure 2-4 Modeling of the flow path in lower plenum.
- Figure 2-5 Comparison of flow fraction in the outer blanket calculated by SSC-L and COMMIX-1A.
- (a) One-point lower plenum model
 - (b) Multi-point lower plenum model
- Figure 2-6 Two region upper plenum model in SSC.
- Figure 2-7 Flow chart for the calculation of core flow penetration height.
- Figure 2-8 Balance of mass and energy transfer in the upper and lower regions in reactor upper plenum.
- Figure 2-9 Calculated temperatures of upper and lower regions in the reactor upper plenum.
- (a) With the original two-region model
 - (b) With the modified two-region model
- Figure 2-10 Seven-assembly cluster model for inter-assembly heat transfer.
- Figure 2-11 Coolant temperature at the top of fuel region in row 6 FOTA during the natural circulation test in FFTF.
- Figure 2-12 Coolant temperature at the top of pin in row 6 FOTA during the natural circulation test in FFTF.
- Figure 2-13 Whole core model of inter-subassembly heat transfer.
- Figure 2-14 Comparison of heat transfer models in core

- (a) Original model (no inter-assembly heat transfer)
- (b) whole core model (with inter-assembly heat transfer)

Figure 2-15 Core channel numbering scheme for the analysis of natural circulation test with Joyo Mk-I core.

Figure 2-16 Coolant Temperature transient at outermost driver fuel subassembly exit during the natural circulation test with Joyo Mk-I core.

Figure 2-17 Coolant Temperature transient at innermost radial blanket subassembly exit during the natural circulation test with Joyo Mk-I core.

Figure 2-18 Relative value of the reactor power in the ULOHS event.

Figure 2-19 Reactivity insertion in the ULOHS event.

Figure 2-20 Fission product decay heat for Monju.

Figure 2-21 Nodal points in the fluid and the wall of a pipe element.

Figure 2-22 Modeling of the heat losses through the piping wall and insulator.

Figure 2-23 Flow chart for the steady state temperature calculation in heat transport system.

Figure 2-24 Flow chart for the transient temperature calculation in heat transport system.

Figure 2-25 Steady state temperature distribution in the primary heat transport system calculated by the heat losses model.

Figure 2-26 Steady state temperature distribution in the secondary heat transport system calculated by the heat losses model.

Figure 2-27 Reactor inlet and outlet temperatures.

Figure 2-28 Normalized total core flow rate.

Figure 2-29 Coolant temperature at various axial locations of channel 1.

Figure 2-30 Reactor guard vessel and guard pipe modeling.

Figure 2-31 Separation structure of reactor guard vessel from guard pipe.

Figure 2-32 Comparison of the original and improved modeling of PHTS.

Figure 2-33 Coolant mass flow rate at the reactor outlet nozzle.
(before debugging)

Figure 2-34 Coolant mass flow rate at the reactor outlet nozzle.
(after debugging)

Figure 2-35 Intermediate heat exchanger model in SSC-L

Figure 2-36 The temperature distribution and the average temperature

difference in a numerically cell of the IHX model.

Figure 2-37 Coefficient α as a function of C defined in eq. (2-4-21).

Figure 2-38 Coefficient α as a function of the primary to the secondary flow ratio.

Figure 2-39 Comparison of the computational flow charts representing the original and the present numerical procedures.

Figure 2-40 Coolant temperature distribution in the IHX at the initial steady state (Analyzed using SSC-L with the present IHX heat transfer model).

Figure 2-41 Coolant temperature distribution in the IHX at the initial steady state (Analyzed using SSC-L with the original IHX heat transfer model).

Figure 2-42 Coolant temperature distribution in the IHX at t=960 sec (Analyzed using SSC-L with the present IHX heat transfer model).

Figure 2-43 Coolant temperature distribution in the IHX at t=960 sec (Analyzed using SSC-L with the original IHX heat transfer model).

Figure 2-44 Coolant temperature distribution in the IHX at t=1920 sec (Analyzed using SSC-L with the present IHX heat transfer model).

Figure 2-45 Coolant temperature distribution in the IHX at t=1920 sec (Analyzed using SSC-L with the original IHX heat transfer model).

Figure 2-46 Comparison of the coolant temperature distribution in the IHX at t=3200 sec analyzed using SSC-L with the present and the original IHX heat transfer model.

Figure 2-47 Coolant temperature distribution in the IHX at t=5248 sec (Analyzed using SSC-L with the original IHX heat transfer model).

Figure 2-48 Coolant temperature distribution in the IHX at t=6528 sec (Analyzed using SSC-L with the present IHX heat transfer model).

Figure 2-49 Coolant temperature distribution in the IHX at t=6528 sec (Analyzed using SSC-L with the original IHX heat transfer model).

Figure 2-50 Coolant temperature distribution in the IHX at t=9344 sec (Analyzed using SSC-L with the present IHX heat transfer model).

Figure 2-51 Coolant temperature distribution in the IHX at t=9344 sec (Analyzed using SSC-L with the original IHX heat transfer model).

Figure 2-52 Coolant mass flow rate in the PHTS and the SHTS (Analyzed using SSC-L with the present IHX heat transfer model).

Figure 2-53 Ratio of secondary to primary coolant mass flow rate

(Analyzed using SSC-L with the present IHX heat transfer model).

- Figure 2-54 Coolant mass flow rate in the PHTS and the SHTS (Analyzed using SSC-L with the original IHX heat transfer model).
- Figure 2-55 Ratio of secondary to primary coolant mass flow rate
(Analyzed using SSC-L with the original IHX heat transfer model).
- Figure 2-56 Coefficient α defined by eq. (2-4-27). In the original model, α is constant ($=0.5$) (Analyzed using SSC-L with the original IHX heat transfer model).
- Figure 2-57 Primary coolant temperature at the inlet and the outlet of the IHX
(Analyzed using SSC-L with the present IHX heat transfer model).
- Figure 2-58 Secondary coolant temperature at the inlet and the outlet of the IHX
(Analyzed using SSC-L with the present IHX heat transfer model).
- Figure 2-59 Primary coolant temperature at the inlet and the outlet of the IHX
(Analyzed using SSC-L with the original IHX heat transfer model).
- Figure 2-60 Secondary coolant temperature at the inlet and the outlet of the IHX
(Analyzed using SSC-L with the original IHX heat transfer model).
- Figure 2-61 Schematic diagram of decay heat removal systems.
- Figure 2-62 Mass and energy balance at the branching point and the mixing tee.
- Figure 2-63 Comparison between measured and calculated coolant flow rate in the primary loop during the Joyo natural circulation test with Mk-I core.
- Figure 2-64 Comparison between measured and calculated coolant temperature of the hot and cold legs in the secondary loop during Joyo natural circulation test with Mk-I core.
- Figure 2-65 DRACS design option for LMFBRs.
- Figure 2-66 Schematic of the in-vessel model in SSC and DRACS model.
- Figure 2-67 Air cooler stack model.
- Figure 2-68 Fine and coarse dampers model.
- Figure 2-69 Mass flow rate in the core calculated using SSC.
(without DRACS operation)
- Figure 2-70 Coolant temperatures in reactor vessel calculated using SSC.
(without DRACS operation)
- Figure 2-71 Mass flow rate in the core, PHTS, primary and secondary loops in DRACS, and the air flow rate in air cooler of DRACS calculated using SSC.
(with DRACS operation at $t=30$ sec)

Figure 2-72 Coolant temperatures in reactor vessel and primary DRACS loop calculated using SSC.
(with DRACS operation at t=30 sec)

Figure 2-73 Coolant temperatures in secondary DRACS loop and air calculated using SSC.
(with DRACS operation at t=30 sec)

Figure 2-74 Temperature transients at the inlet and outlet of reactor vessel in the PLOHS event.

Chapter 3

Figure 3-1 Input data for the Monju PLOHS analysis using SSC-L (file unit #5).

Figure 3-2 Input data for re-start analysis of Monju PLOHS using SSC-L (file unit #5).

Figure 3-3 Namelist input data for the Monju PLOHS analysis using SSC-L (file unit #4).

Figure 3-4 Coolant temperatures at reactor vessel inlet and outlet.

- (a) Calculated using SSC-L Cycle-41
- (b) Calculated using SSC-L Cycle-42

Figure 3-5 Secondary coolant temperatures at IHX inlet and outlet.

- (a) Calculated using SSC-L Cycle-41
- (b) Calculated using SSC-L Cycle-42

Figure 3-6 Coolant temperatures at fuel and blanket subassembly exits.

- (a) Calculated using SSC-L Cycle-41
- (b) Calculated using SSC-L Cycle-42

Figure 3-7 Total mass flow rate in the reactor core.

- (a) Calculated using SSC-L Cycle-41
- (b) Calculated using SSC-L Cycle-42

Figure 3-8 Input data for the Monju LOP1 analysis using SSC-L (file unit #5).

Figure 3-9 Input data for re-start analysis of Monju LOP1 using SSC-L (file unit #5).

Figure 3-10 Namelist input data for the Monju LOP1 analysis using SSC-L (file unit #4).

Figure 3-11 Coolant temperatures at the central and the first row fuel subassembly exits.

- (a) Calculated using SSC-L Cycle-41
- (b) Calculated using SSC-L Cycle-42

Figure 3-12 Total mass flow rate in the reactor core.

- (a) Calculated using SSC-L Cycle-41
- (b) Calculated using SSC-L Cycle-42

Figure 3-13 Sodium level in the reactor vessel, reactor guard vessel
and guard pipe.

- (a) Calculated using SSC-L Cycle-41
- (b) Calculated using SSC-L Cycle-42

Figure 3-14 Leak mass flow rate at the pipe break points.

- (a) Calculated using SSC-L Cycle-41
- (b) Calculated using SSC-L Cycle-42

Figure 3-15 Input data description for SSC-L (file unit #5).

Figure 3-16 Supplemented input data in PNC for SSC-L (file unit #5).

Figure 3-17 Supplemented input data in BNL for SSC-L Cycle-42 (file
unit #5). (The data is not necessary for Cycle-41.)

Figure 3-18 The job control card for the first execution of SSC-L.

Figure 3-19 The job control card for the re-start execution of SSC-L.

Figure 3-20 The job control card for a new load module creation.

Figure 3-21 The job control card for the plotting of SSC-L results.

Figure 3-22 Sample input data for the plotting of SSC-L results.

Table List

Chapter 1

- Table 1-1 Categorization of accident sequences by success and/or failure of the safety functions.
- Table 1-2 Useful whole plant system codes at PNC for LMFBR safety analysis.

Chapter 2

- Table 2-1 Flow distribution in lower plenum of Monju plant.
- Table 2-2 Nomenclatures used in section 2.2.5.
- Table 2-3 Input data for the heat losses model through the piping wall.
- Table 2-4 Primary loop node number.
- Table 2-5 Value of R1SIN in the first pipe segment of primary loop used in the evaluation of the natural circulation force.
- Table 2-6 Comparison of the computational time for the protected loss of heat sink (PLOHS) accident.

Chapter 3

- Table 3-1 Comparison of the CPU time by SSC-L cycle-41 and -42 used for PLOHS and LOPI simulations.
- Table 3-2 File System for SSC-L PNC version (Cycle-41, Cycle-42).

1. はじめに

Super System Code (SSC)は、高速増殖炉プラントシステムの応答を通常運転時から、異常な過渡事象、事故にわたるまで一貫して解析でき、しかも、汎用性が高く検証実績の多い計算プログラムである。SSCのループ型バージョンであるSSC-L [1]は、1981年に米国のブルックヘブン国立研究所 (BNL) より動燃事業団に導入された。SSCは、米国やわが国だけでなく、西ドイツ、フランスなどの高速炉開発諸国で広く利用されている。従ってSSCは、複数の高速炉プラントに適用され、検証例も多く報告されている。これは、個々のプラントをイメージして設計されるシステムコードとしては他に例が少ない特徴である。動燃事業団においても、高速増殖原型炉もんじゅの安全評価 [2, 3, 4]、あるいは高速実験炉常陽の試験解析 [5, 6, 7] や大型実証炉の安全解析や設計評価 [8] にSSC-Lが利用されている。

このようにして、SSC-Lをわが国のFBRに広く利用していく過程において、多くの解析精度の向上のための改良や、システムや機器のモデル開発が行われている。本報告書は、これらの成果を集大成するとともに、今後のSSC-Lのユーザーが効率良くこれまでに開発したモデルを利用するマニュアルとなるように意図してまとめたものである。従って、それぞれの解析例については他の公開文献や報告書に詳しいのでここでは省略する。

本報告書では、先ず序章でSSCの開発の経緯とその特徴、高速炉安全評価におけるシステムコードの位置づけと、原子炉工学室としてのシステムコードの開発方針及びその体系をまとめている。第2章では、モデルの開発・改良について記す。最後に第3章では、入力データの作成マニュアル、実行方法、解析結果の図形処理方法等の、今後SSC-Lを利用する場合に有益な情報をまとめておいた。第4章には結論を述べる。

1.1 SSC開発の経緯と現状

1970年代に、米国では既にいくつかのシステムコードが開発されていた。代表的なものとしては、例えばIANUS [9] とDEMO [10] が挙げられる。IANUSは米国の高速実験炉FFTF専用のシステムコードであり、1次熱輸送系 (PHTS)、2次熱輸送系 (SHTS)、空気冷却器 (DHX) がモデル化されている。DEMOは米国の高速増殖原型炉CRBRPのためのシステムコードであり、IANUSのDHXの代わりに蒸気発生器と関連する水・蒸気系の機器がモデル化されている。IANUSとDEMOは、共にWestinghouse社の所有するコードである。他に、西独のNATRANS [11] や、軽水炉システムコードであるRELAP-3の水の物性値等をナトリウムで置き換えたNALAP [12] 等がある。

ところが、これらの解析コードには、その設計が個々のプラントに強く依存しているために、汎用性がない、安全評価の手段としては解析精度が不十分である、安全評価で対象とされるような厳しい事故事象の解析は困難である等の問題点もある。さらに、高速炉の安全評価において

て解析される事象は、i)制御棒引き抜き、ii)1ループポンプ軸固着、iii)自然循環による崩壊熱除去、iv)熱輸送系の配管破損事故などがあり、多種多様である。この様な事情もあって、高速炉の規制を担当する立場のNuclear Regulatory Commission (NRC)としては、

- ①メーカーが所有する既存のシステムコードとは独立であり、かつ十分に検証されていること、
- ②あらゆる高速炉システム設計の安全評価に適用できること、
- ③汎用性と柔軟性があること、
- ④安全評価で考慮されるあらゆる過渡事象と事故事象の解析が可能であること、
- ⑤パラメータ・サーベイが容易に行える程度に計算時間が速いこと、
- ⑥海外でも利用され得ること、

を満足するシステムコードを新たに開発することが必要であった。

そこで、この様な要求に合致するシステムコードの開発をめざして、米国では1976年からNRCのサポートのもと、BNLにおいて高速増殖炉のプラントシステム熱流動応答解析コード、SSCの開発プロジェクトが始まった。その当時、米国としては、配管破損事故と自然循環による崩壊熱除去が、もっとも関心の高い、主要な解析対象事象であり、またCRBRPに適用することが当面の最大の課題であった。

SSCのループ型バージョンであるSSC-Lは、1981年にBNLから動燃事業団に導入されて以来わが国でも利用され始めたが、必ずしも十分な解析精度と汎用性を備えてはいなかった。さらにその当時、わが国においても多数の高速炉のシステムコードが開発されていた。例えば、HARHO-IN、COPD、MIMIR、PIBRA、HIPRAC等が、わが国の高速炉プラントを対象として、個々の事故事象解析する専用コードとして開発されている[13]。このような理由から、ただちに原型炉もんじゅ等のわが国の高速炉の安全解析には適用されなかった。その後、現在までには、動燃事業団とBNLとの協力のもとに、実験炉常陽、原型炉もんじゅ及び高速増殖実証炉にSSC-Lを利用するこをを目指して多くのシステムや機器のモデルの開発、解析精度と数値安定性向上のための改良が成されている。この様なSSC-Lの高度化は、動燃事業団において現在も進められつつある。さらに、これらの各種モデルや改良を加えたSSC-Lを検証するための解析や高速炉プラントへの適用解析が広範に実施されている。

1.2 SSCの特徴と利用の現状

高速炉は熱輸送系の形態によって、ループ型炉とプール型炉に分類されるが、SSCは両方の炉型に対応できるように設計されたシステムコードである。すなわち、ループ型高速炉用にSSC-L、プール型高速炉用にSSC-P[14, 15, 16]が開発されている。炉心の核熱流動や、2次系の熱輸送計算のように両者で変わらない部分については、同一の解析モジュールを利用するが、原子炉容器内のプレナムや1次熱輸送系はプール型炉とループ型炉とで異なったシステム構成となっているため、それぞれ別個のモジュールが準備されている。すなわち、プール型炉とループ型炉との基本的な差異は1次熱輸送系にあり、その他は極めて類似

している。

この様なコード体系を確立しておく方法は、i)コード開発や検証を効率よく実施できる、ii)各炉型のプラント応答を、同じレベルの詳細度や精度を持った解析結果に基づいて比較議論できる、iii)入力データ作成や解析の方法・手順が共通であるため、それに伴う解析結果の不確定性が少ない、などの利点がある。SSCプロジェクトでは、さらにループ型炉の長時間にわたる崩壊熱除去解析のためにSSC-Lのモデルの一部を簡略化するとともに数値解法を改良したSSC-Sも開発されている。SSC-Sでは、SSC-Lの10から100倍の計算速度が目標とされている。

SSCは、高速炉を開発している各国において改良を加えられつつも広く利用されている。その理由の一つは、SSCの設計思想が以下の特徴を持つ汎用コードを狙っている点にある。

- ①任意にプラント機器を構成できる、
- ②計算時間が短い、
- ③検証実績が多い、
- ④高速炉のほとんど全ての事故事象に適用できる、
- ⑤多種多様なプラントに適用できる、
- ⑥炉心から水・蒸気系に至るプラントシステム全体をモデル化している。

一般に高速炉プラントのシステムコードは、単相流を対象とし、二相流は取り扱えない場合が多い。SSCでは、炉心と水・蒸気系に関しては二相流の解析が可能である。従って、冷却材流量喪失事故などの炉心で冷却材が沸騰するような厳しい事故の解析や、水・蒸気系を崩壊熱除去系として使う場合のプラント応答の検討も可能である。以上に述べたような項目は、SSC-LとSSC-Pが共通に備えている特徴である。

SSC-Lは、米国の高速実験炉であるFFTTF [17, 18] と原型炉のCRBRP [19, 20]、わが国の高速実験炉常陽 [5, 6, 7] と原型炉もんじゅ [2, 3, 4]、西独のKNK-II [21]、SNR-300 [22] といった各国のループ型高速炉に適用されている。一方、SSC-Pは、米国のEBR-II [23]、フランスのPHENIX [14] に適用されている他、最近では固有の安全炉として米国が研究を行っているPRISMとSAFの安全評価にも利用するための準備が行われている。このようにSSCは、米国だけでなく、わが国や西ドイツ、フランスなどの高速炉開発諸国でも利用されている。従って、複数の高速炉プラントに対して適用例や検証例が多く発表されている。米国のIANUSやDEMOの例にも見られるように、一般に、システムコードは、解析対象とするプラントそのものを計算プログラムとして具体化して設計されることが多い。SSCが、この様に多くのプラントに適用されているということは、システムコードとしては、他に例の少ない特徴である。

わが国においては、実験炉「常陽」、原型炉「もんじゅ」及び高速増殖実証炉にSSC-Lを適用することを目指して各種モデルの開発や改良、検証が継続実施されている。例えば、動燃事業団の50MW蒸気発生器試験施設においては、空気冷却器の自然通風試験や、ヘリカルコイル型の蒸気発生器特性試験の解析 [24] によって、各機器単体のモデルの検証が行われ

た。また、高速実験炉常陽の Mk - I 炉心 / Mk - II 炉心の自然循環試験の解析 [5, 6, 7] によって、プラント全体としての熱流動応答の予測性能の検証が行われている。さらに、現在は、プラント動特性試験装置（PLANT TL）で実施される試験の予備解析評価 [25]、原型炉もんじゅの各種事故事象解析と確率論的安全評価におけるプラント熱流動応答解析 [2, 3, 4]、高速増殖大型炉の設計研究 [8] に利用されつつある。同時にプール型炉用の SSC - P の改良整備 [16] が実施されている。こうして、あらゆる炉系の全ての事故事象に対して適用可能なシステムコードの体系が整いつつある。

以上に述べてきたように、国内外で開発されている多数の高速炉システムコードの中でも、反応度事故、冷却系の熱過渡変化、配管破損などの設計基準内事象から設計基準を越える事故に至る全スペクトラムにわたって、また、実験炉のような小型炉から原型炉級の中型炉、1000 MW_e 以上の大型炉までを一貫して解析できるという観点から、SSC は特に注目される。

1.3 高速増殖炉システムコードの体系

高速炉の各種事故事象では原子炉保護系が作動することおよび、冷却バスと除熱源が確保されることにより原子炉の安全停止に至ることが可能である。すなわち、Figure 1-1に示されるように炉心は熱源として、崩壊熱除去系は除熱源としてそれぞれ位置づけられる。物理的に両者を結びつけるものとして熱輸送系が存在する。熱輸送系で達成されるべき安全機能は、冷却材バウンダリが健全であることと冷却材流量が確保されていることである。

要すれば、安全系の果たすべき機能は、i)原子炉出力の減少、ii)炉心冷却経路と流量の確保、及びiii)除熱源の確保である。しかし、設計基準外事象においては、これら安全系の不作動が仮定される。従って、システムコードで解析される範囲は、起因事象、安全機能、原子炉システムに関して、Figure 1-1に示した項目が網羅されなければならない。Figure 1-1には原子炉工学室で開発されている燃料集合体、及び全炉心の熱流動を単相流と二相流領域について解析する計算コード、及び SSC との関連も併せて示す。

これらの安全機能の成功／失敗に従い、システムコードによって評価される事故事象は、Table 1-1のように分類される。起因事象として、出力上昇型、流量減少型、除熱源喪失型を選んでイベント・ツリーを用いてこの分類を描けば、Figure 1-2のようになる。スクランに失敗する事故は、起因事象が出力上昇型の場合にはUnprotected Transient Overpower (UTOPIA) に、また流量減少型の場合にはUnprotected Loss of Flow (ULOF) に、そして除熱源喪失型の場合には Unprotected Loss of Heat Sink (ULOHS) に分類される。ただし、除熱源喪失型で炉心冷却経路の確保に失敗した場合には流量減少型と同じ事故分類になる。スクラン成功事故では、除熱源の確保に失敗した場合にのみ Protected Loss of Heat Sink (PLOHS) になる。これらの全ての事故事象に対して適用できるだけの機能が詳細システムコードには備わっているべきである。

高速増殖炉プラントの安全評価においては、これまでに述べてきたような異常な過渡変化や事故時に、炉心燃料が冷却可能であり、かつ冷却材バウンダリが健全であることを定量的に示

すことが要求される。そのためには、原子炉プラント全体にわたる熱流動を解析評価しなければならない。なぜならば、原子炉プラントを構成する各々のシステムや機器の熱流力挙動は単独に決定されることはありえず、互いに強く影響を及ぼしあう結果としてプラント全体の挙動が決定されるためである。

また、ある機器に着目して熱流動詳細解析を行う場合には、境界条件と初期条件をなんらかの方法によって適切に与えることが必要である。この場合にもプラント全体としての挙動を解析することによって必要な情報を得ることが可能となる。このようにプラント全体として安全性に関する判断を下したり、詳細な解析を行うときには、システムコードを利用することが便利である。

これらの要請に応えるためには、体系的にシステムコードを開発していくことが重要である。SSC-Lに関しては、解析モデルの精度を向上させ、多くのシステムや機器のモデルを開発することによってその詳細化を図っている。一方で、さらに計算時間が速くパラメータサーベイが容易な解析手法も必要であるとの認識に基づき、簡易システムコードの開発を進めている。簡易システムコードは、崩壊熱除去系の使命時間と考えられている1カ月程度以上の長期にわたる解析に使用でき、またプラント構成や形状等を変更して様々な設計オプションの比較を容易に行う手段として利用される。このような理由から詳細なシステムコードと簡易システムコードの両方が用意されていることが望ましく、現実にその方向でシステムコードの開発と利用が進められている。

ループ型炉に関しては、SSC-Lを詳細なシステムコードとして位置づけ、今後の原型炉もんじゅや実証炉の安全設計や評価の中心となる解析手段として考えている。簡易システムコードとしては、LEDHERを開発している。プール型炉については、SSC-Pの基本的な整備が終了した段階である。これらのシステムコードの体系をTable 1-2に示す。Table 1-2から理解されるように、ループ型炉とプール型炉の両方に関して、全ての事故事象に対して適用可能なシステムコードの体系を整えていくことが目標であり、その方向に向けて努力を続けている。ループ型炉の場合にはその体系は完成されつつある。

Table 1-1 Categorization of accident sequences by success and/or failure of the safety functions.

原子炉の核的停止	炉心冷却流量の確保	除熱源の確保	事象の分類	
成功	成功	成功	原子炉停止	
成功	成功	失敗	PLOHS	スクラム 成功事故
成功	失敗	—	PLOHS (LOPI)	
失敗	成功	成功	UTOP	スクラム 失敗事故
失敗	成功	失敗	ULOHS	
失敗	失敗	—	ULOF, ULOF/UTOP	失敗事故

ULOHS : Unprotected Loss of Heat Sink

UTOP : Unprotected Transient Overpower

ULOF : Unprotected Loss of Flow

PLOHS : Protected Loss of Heat Sink

LOPI : Loss of Piping Integrity

Table 1-2 Useful Whole Plant System Code at PNC for LMFBR Safety Analysis

	Applicable Real Time Range (Event Sequences)	Loop- type LMFBR	Pool- type LMFBR	Ratio of (Real Time) / (Computing Time)
Advanced System Code for the Analysis of Various Transients in LMFBRs	0~ 5 Days (PLOHS) (NC) 0~10 Hours (LOPI) 0~ 1 Hours (ATWS)	SSC-L	SSC-P	1 to 25
System Code for Decay Heat Removal Analysis	0~10 Days (PLOHS) (NC)	SSC-S*	—	10 to 100
Simplified System Code for Long-Term Decay Heat Removal Analysis	0~ 3 Months (PLOHS) (NC)	LEDHER	—	more than 1000

Note) * Presently not transmitted yet

PLOHS: Protected Loss of Heat Sink

NC :Natural Circulation

LOPI : Loss of Piping Integrity

ATWS : Anticipated Transient without Scram

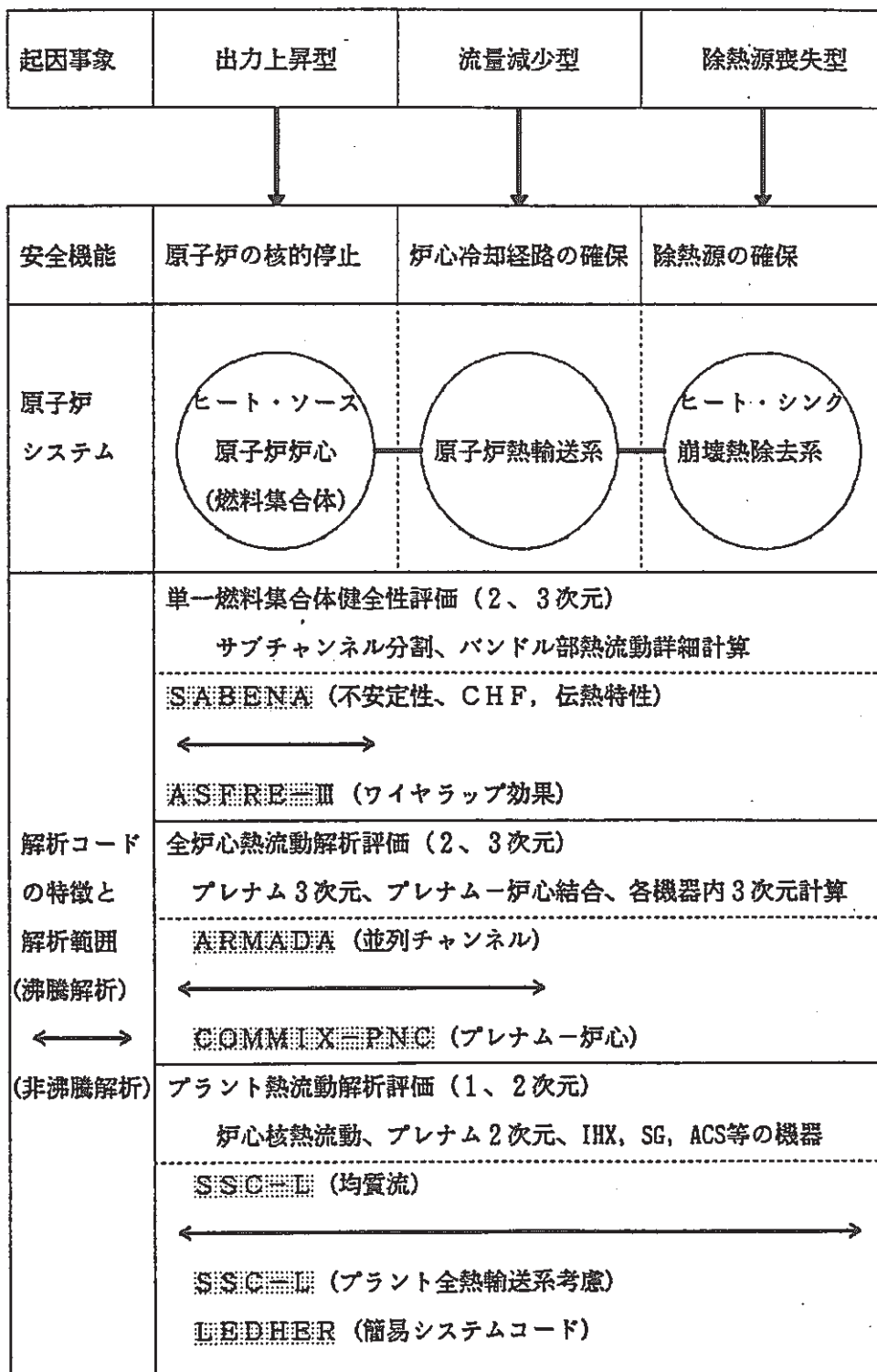
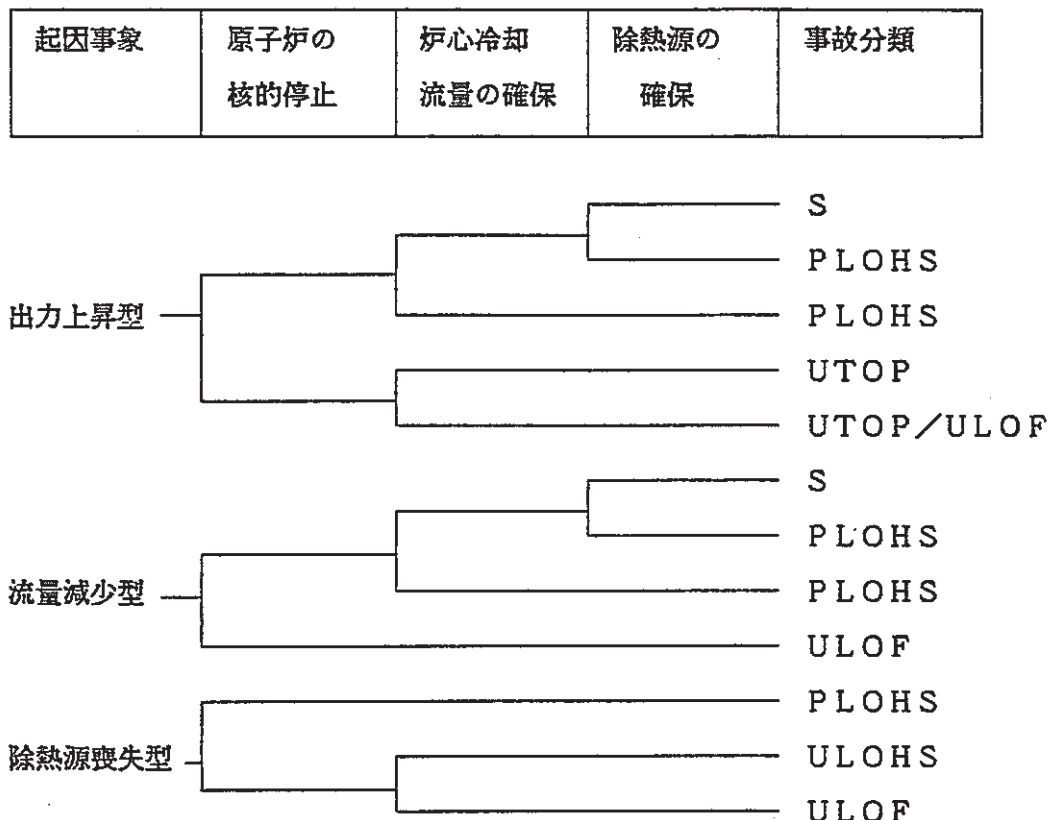


Figure 1-1 The relation between initiating events, safety functions, safety systems, and thermohydraulic computational codes for LMFBR.



S ; Success

PLOHS ; Protected Loss of Heat Sink

UTOP ; Unprotected Transient Overpower

ULOF ; Unprotected Loss of Flow

ULOHS ; Unprotected Loss of Heat Sink

Figure 1-2 Progression of the event sequence in the initial phase of LMFBR accidents.

2. SSC-Lのモデル開発と改良

2.1 基本方針

SSC-Lのモデル開発及び改良するにあたって、基本的な方針を本節に述べる。第1章に述べたように、SSC-Lの特徴の一つは汎用性が高くあらゆる高速炉プラントに対して適用できるという点である。我々が解析対象とするプラントは①実験炉常陽、②原型炉もんじゅ、③大型実証炉、④プラント動特性試験施設（PLANDTL）、⑤その他の単体試験装置である。従って、本章に述べる内容はこれらの全てに対して共通である。ただし、システムコードは一般に各プラントの設計に密接に関連しているため、コードに何の変更も加えずに全てのプラントに適用できるとは限らない。従って、ここに述べる項目以外に各プラントに固有の特性を与える物性値や設計式等は、実際の解析に当たって準備してやる必要がある。これらには、例えば燃料集合体の圧損特性が実験によって与えられている場合、ポンプの全特性モデルの多項式の係数が各プラントの設計値として与えられている場合、燃料集合体のギャップコンダクタンスが設計値として与えられている場合などがある。また、原子炉保護系で監視しているパラメータやその設定値もプラントによって特有である。ただし、これらのパラメータは、本来はプラント固有の値であり、モデルと言うよりは入力データの一部として考えるべきものである。従って、本節にはそれらをすべて含んではいない。ただし、これまでに実験炉「常陽」と原型炉「もんじゅ」を対象として解析するために加えてきた修正の主なものは必要に応じて隨時、本文中に記しておく。

第1.3節で議論したように、高速増殖炉の安全機能は、i)原子炉の核的停止、ii)炉心冷却流量の確保、iii)除熱源の確保である。従って、SSC-Lを改良するにあたっては、システムとしては原子炉炉心から原子炉熱輸送系、水・蒸気系、崩壊熱除去系までの全体を対象とする。また、現象論的には、伝熱、流動、核動特性、プラント制御といった分野が含まれる。SSC-Lのモデル開発や改良を行う場合には、これらの解析範囲（システムや機器、起因事象や事象進展の多様性）を包絡できるように配慮されなければならない。この様な観点から、以下では、高速増殖炉のシステムごとにこれまでの改良を整理していく。すなわち、原子炉容器の核熱流動モデル、熱輸送系の熱流動モデル、中間熱交換器モデル、補助炉心冷却系モデル、直接炉心冷却系モデル、原子炉保護系・制御系のモデルの順に記述する。

また、解析される起因事象はFigure 1-2 や Table 1-1 に示されるように出力上昇型、流量減少型、除熱源喪失型に分類される。それらの起因事象に応じて、事故事象シーケンスもATWS (ULOF, UTOP, ULOHS) や PLOHS, LOPI といったように分類される。本章で示すモデル等の中には、実際にこれらの事故事象の解析を行なうときに、起因事象や、プラント運転中の運転員の操作、プラント制御系の作動などのいわゆるオペレーショナルランジェントをSSC-Lで模擬していく技法も含まれている。例えば流量喪失型の場合には、ポンプのスティックを解析コード上で実現する方法が記されている。また、除熱源喪失型の場合には、中間熱交換器で除熱されない事象や、蒸気発生器で除熱されない事象、補助炉心冷却系

もんじゅ全体系統図とSSCの改良

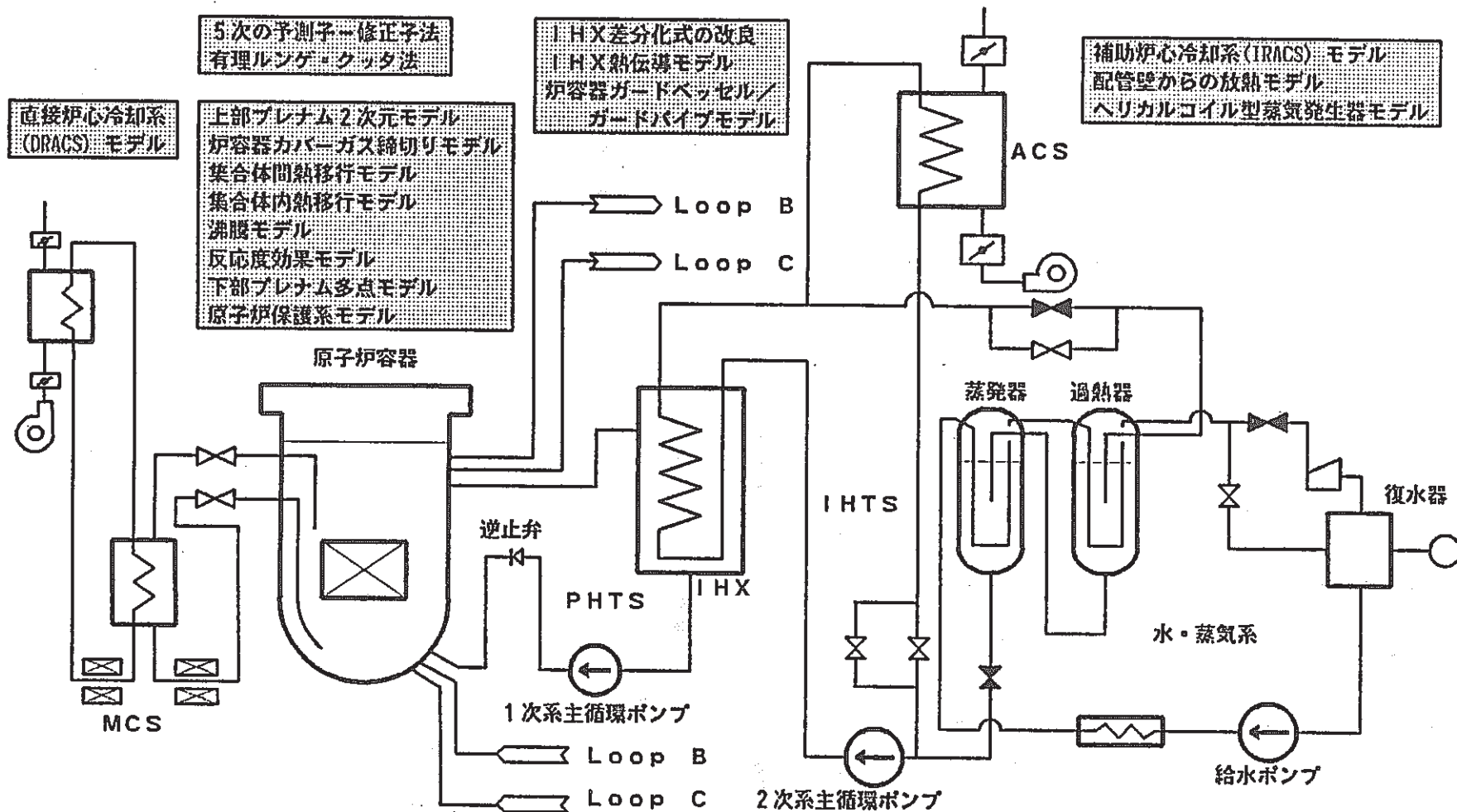


Figure 2-1 Development and improvement of SSC-L computational models.

で除熱されない事象、2次系において何等かの理由により流路パスが閉ざされてしまう事象を解析コード上でいかに模擬するか等に関しても述べている。

これまでに実施された改良は主として原型炉もんじゅの安全解析を目的としていたためシステムや機器のモデルにおいては原型炉もんじゅを想定しているものが多い。具体的には、開発改良されたモデルは、Figure 2-1のようにまとめられる。従って、必ずしも全てのモデルがそのまま他のプラントや機器に利用できるわけではないため、若干の修正を加える必要がある。ただし、実験炉「常陽」に関しては、自然循環試験の解析をSSC-L検証の主要テーマとして実施してきたこともあり、蒸気発生器がないことを除いてはほとんどそのまま現状のバージョンが適用できる。変更するべき点は、入力データと解釈できるような、プラントに使用されている機器特有の性質を記述するパラメタのみである。

2.2 原子炉容器内の伝熱流動モデル

原子炉容器内の熱流動モデルの改良について述べる。炉心部以外では、原子炉容器カバーガス、上部及び下部プレナム、入口ノズルの逆流抵抗が含まれている。炉心部では、集合体間熱移行モデル、反応度フィードバックモデルが含まれている。そのほかに、本節には含まれてはいないが、重要なモデルとしては低熱流束ナトリウム沸騰モデル [26]、集合体内熱移行モデル [27] がある。

低熱流束沸騰モデルは、自然循環時の崩壊熱レベルにおけるナトリウム沸騰を解析するためのモデルである。このモデルの特徴は i) 1次元の熱的平衡均質流モデルを用いていること、ii) 音速の効果を無視し、非圧縮性を仮定していること、iii) Lockhart-Martinelli による実験的なスリップ比相関式を用いていることである。流量喪失事故の解析では、2次元コード THORAX ときわめて良く一致することが示されており [26]、除熱源喪失事象の解析では、2流体モデルを用いた ARMANDA と良く一致する結果が得られている [28]。

集合体内熱移行モデルは、放物流れモデルに基づいており、ボーラスボディアプローチを用いている。主流は軸方向であるため、集合体内の横方向のモーメントの式はモデル化されていないが、軸方向と横方向の2次元流れが考慮されている。また、このモデルは定常計算と過渡計算の両方に適用できる。

これらのモデルは BNL で開発されたものであり、モデルの詳細はそれぞれの報告に述べてある。また、上部プレナムの2次元モデル [29] については、BNL で開発された後、動燃において改良が継続中である。

2.2.1 原子炉容器カバーガス締切モデル

(1) はじめに

例えば、原型炉もんじゅの場合には原子炉格納容器隔離信号の一つとして原子炉容器ナトリウム液位低低 (N_L-450mm) が設定されている。この信号によって原子炉容器カバーガス系は締め切られ、原子炉容器内のナトリウム液位が低下することを抑制する。

S S C - Lにおいてはカバーガスの取扱として、i)一定質量、ii)一定圧力、iii)一定の割合でのガス供給が設定できる。従って、カバーガスの締切を考慮することはできなかった。ここで開発したモデルでは、原子炉容器液位を監視しつつ、その値が入力データにより設定した値になったときにカバーガス系ラインの完全締切を模擬することができる。これにより、カバーガス空間の占める領域の容積を過渡計算において変更させることができる。このモデル改良はもんじゅの大口径配管破損事故の解析のために作成したものであるが、この様な機能を持たせた他のプラントにも適用できる。

(2) モデルの概要

もんじゅのカバーガス系の設計パラメータを以下に示す。

カバーガス圧力	5500 mm Aq (=1.55E5 Pa)
初期カバーガス容積	170 m ³
締切後カバーガス容積	110 m ³
オーバーフロータンク容積	60 m ³
締切条件	原子炉容器液位低低 (NsL-450mm)
締切時間遅れ	4.0 sec

このモデルでは、これらのパラメタが考慮されている。新たに必要となる入力データは締切時間遅れ(T6DELY)、締切条件(Z6PBRK)、オーバーフロータンク容積(DELVCG)である。入力データについては、第3章に述べる。

カバーガス圧力は入力データ (OPDATAのRecord 1001)で与える。初期カバーガス容積は炉容器上部プラグの高さと炉容器ナトリウム液位の差およびカバーガス領域の断面積より計算される。上部プラグ高さ(Z6UPTL)と炉容器液位(Z6UPLN)は入力データ (VESSELのRecord 27) で与えられる。カバーガス領域の断面積A6GLは(VESSELのRecord 28) で設定される。従って、カバーガス容積は

$$(Z6UPTL - Z6UPLN) * A6GL \quad (2-2-1)$$

で計算される。

過渡計算においては、原子炉容器冷却材液位を計算し、それを締め切り条件である液位低低設定レベル(Z6PBRK)と比較する。この原子炉容器液位低低信号発生時刻と締め切り時間(T6DELY)を用いれば、カバーガス系締切時刻(T6CGIS)が決定される。時刻T6CGIS以降は、締切時刻におけるカバーガス容積 (このときカバーガス容積は、原子炉容器液位が低下しただけ増加している) からオーバーフロータンク容積を差し引き、その領域が占めるガスの質量を計算しておく。なお、このモデルにおいては、締切後のガスフローライン締切バルブにおける漏洩は無視するものとする。すなわち、ガスフローラインの抵抗係数は十分に大きいものとする。

このモデルを用いてカバーガス締切を行ったときの、ナトリウム液位とカバーガス質量、カバーガス容積と時刻の関係をFigure 2-2に示す。

(3) 解析例

Figure 2-3(a) にカバーガス締切モデルを使用しない場合の大口径配管破損事故時の原子炉容器液位低下を示す。Figure 2-3(b)には締切モデルを使用したときの結果を示す。3.66秒で原子炉容器液位低低信号が発生している。150秒の時点では約25センチの液位差がみられる。

2.2.2 下部プレナムの多点近似モデル

(1) はじめに

SSC-Lにおける下部プレナムの取扱はきわめて簡単なモデルである。すなわち、各主冷却系入口ノズルより流入した冷却材は1点で瞬時に混合すると仮定している。従って、下部プレナムにおける温度の定義点は冷却材に関しては1点のみである。圧力損失は、 W^2/ρ に比例する形状圧損と重力圧損のみが考慮される。形状圧損係数は入力データによって与えられる。そのほかの下部プレナムに関する入力データは、下部プレナム容積、断面積、構造物質量などである。

(2) モデルの概要

Figure 2-4に、下部プレナム多点近似モデルを示す。この図に示されるように下部プレナムは、高圧プレナム、低圧プレナム、入口プレナムの3点で表わされ、それぞれのフローパスには流動抵抗が与えられる。流量配分は、準静的近似により求める。以下にその手順を示す。

Figure 2-4の各流路 i の定格時における流量と圧損をそれぞれ、 W_{Ri} 、 ΔP_{Ri} と定義する。例えば、入口プレナムから高圧プレナム（流路2）では定格流量を W_{R2} 、圧損を ΔP_{R2} とする。すると各流路 i の形状圧損係数は次式で与えられる。

$$\Delta P_{Ri} = f_i W_{Ri} | W_{Ri} | \quad (2-2-2)$$

定常計算において、定格条件と(2-2-2)式により f_i を計算しておく。

各流路 i の過渡時における流量と圧損をそれぞれ、 W_i 、 ΔP_i と定義する。すると、準静的近似により、

$$\Delta P_1 + \Delta P_4 = \Delta P_3 \quad (2-2-3)$$

が成立する。従って次式を得る。

$$f_1 W_1 | W_1 | + f_4 W_4 | W_4 | = f_3 W_3 | W_3 | \quad (2-2-4)$$

ここで、炉容器へ流入する全流量を W_T 、高圧プレナムから燃料集合体へ流れる流量を W_H 、低圧プレナムからブランケット燃料集合体へ流れる流量を W_L 、入口プレナムからバイパス（流路4）へ流れる流量を W_B とする。 W_T は、熱輸送系の運動量の式より、 W_H と W_L 、 W_B は炉心チャンネルの運動量の式より、それぞれ既に求められており、既知量である。すなわち、

$$W_1 = W_H + W_4 \quad (2-2-5)$$

$$W_3 = W_L - W_4 \quad (2-2-6)$$

が成立する。(2-2-5)と(2-2-6)式を(2-2-4)式に代入すれば、

$$f_1(W_H + W_4) |W_H + W_4| + f_4 W_4 |W_4| = f_3(W_L - W_4) |W_L - W_4| \quad (2-2-7)$$

例えば、すべての流路で逆流がないとすれば、絶対値の中は正であるから、

$$W_4 = \frac{f_1 W_H + f_3 W_L \pm \sqrt{[f_1 f_3 (W_L + W_H)^2 + f_4 (f_3 W_L^2 - f_1 W_H^2)]}}{f_3 - f_1 - f_4} \quad (2-2-8)$$

(2-2-8)式と(2-2-5, 6)式から W_1, W_3, W_4 を求めることができある。ただし、解は 2 組存在するので、この中から、(2-2-7)式を満たすものを求める。一般的には、

- a) $W_1 \geq 0, W_3 \geq 0, W_4 \geq 0,$
 - b) $W_1 \geq 0, W_3 \geq 0, W_4 \leq 0,$
 - c) $W_1 \geq 0, W_3 \leq 0, W_4 \geq 0,$
 - d) $W_1 \geq 0, W_3 \leq 0, W_4 \leq 0,$
- (2-2-9)

の 4 通りに場合分けして解を調べればよい。 $W_1 \leq 0$ の場合にも、a) から d) に帰着する。

一例として、Table 2-1 にもんじゅの定格条件を示す。

(3) 解析例

Figure 2-5 に高速実験炉常陽の増殖炉心 (MK-I 炉心) における、自然循環試験の解析結果から、外側ブランケットの冷却材流量を引用して示す。この試験では、炉心冷却材の流量は測定されていないので、解析結果と試験結果の比較をすることはできない。Figure 2-5 には、同じ試験を汎用多次元解析コードである COMMIX-1A によって 2 次元解析した結果を併せて示している。(a) と (b) を比較すれば、下部プレナムの多点近似モデルを用いれば、外側ブランケット領域での逆流が解析され、多次元解析の結果と良く一致していることがわかる。内側炉心などの、比較的冷却材流量が多い領域では、多点モデルと 1 点モデルの解析結果はほとんど変わることはない。径方向ブランケットや反射体などの外側領域で冷却材が逆流し、炉内自然循環パスが形成されるような場合にはこの簡単な改良によって、解析精度は向上すると期待される。

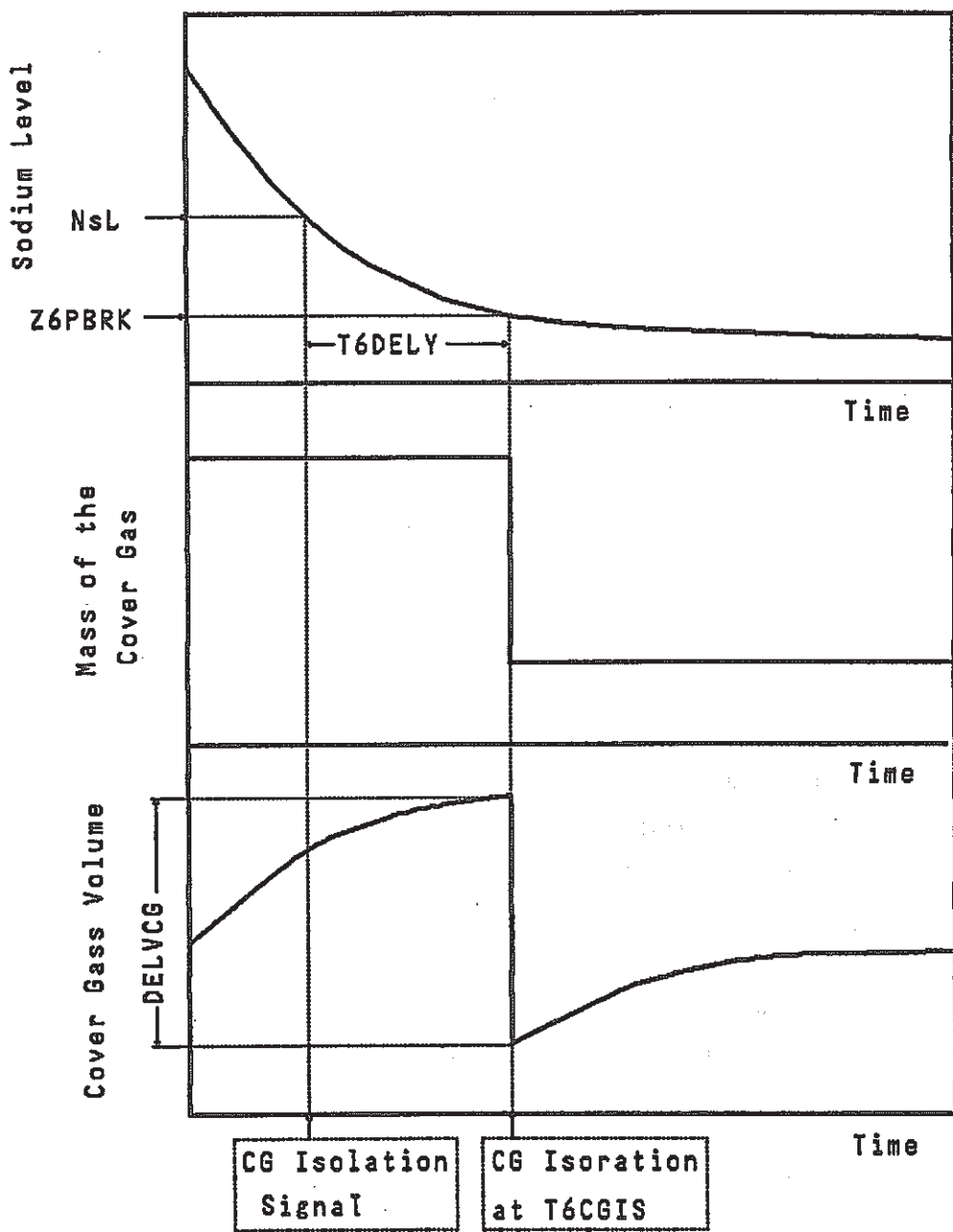
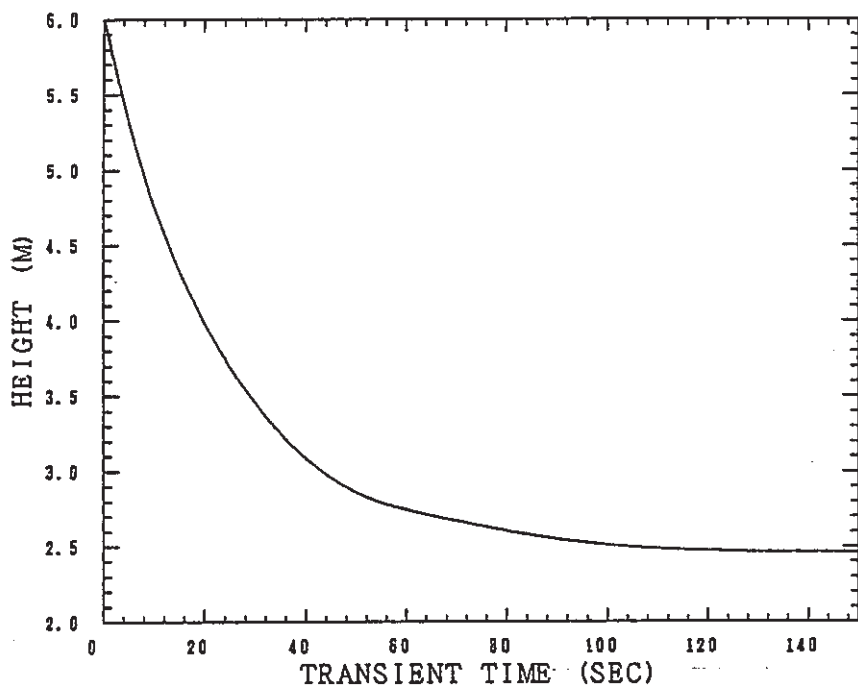
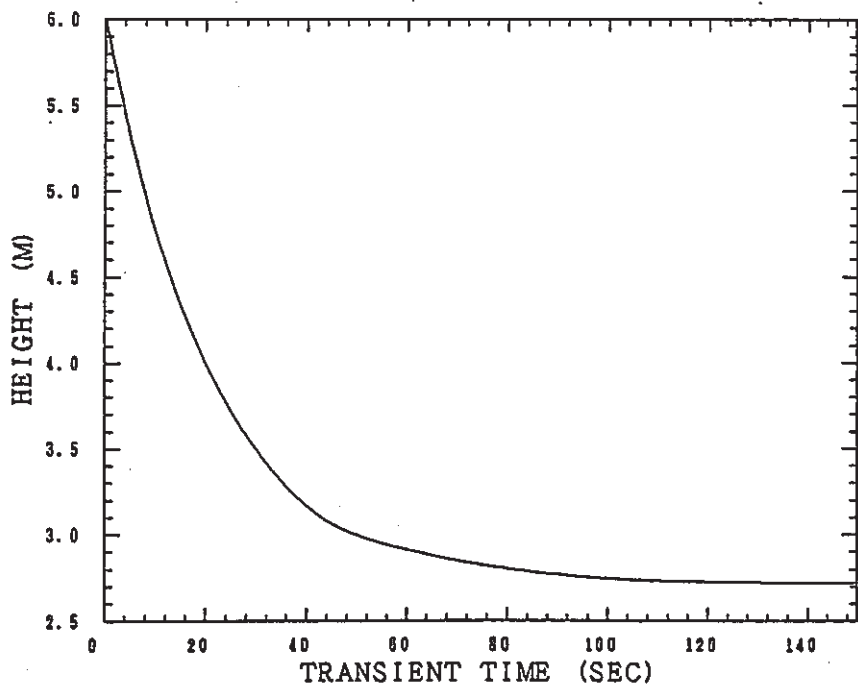


Figure 2-2 Reactor cover gas isolation model in SSC.



(a) Without reactor cover gas isolation



(b) With reactor cover gas isolation

Figure 2-3 Sodium level in reactor vessel during the loss-of-piping-integrity accident.

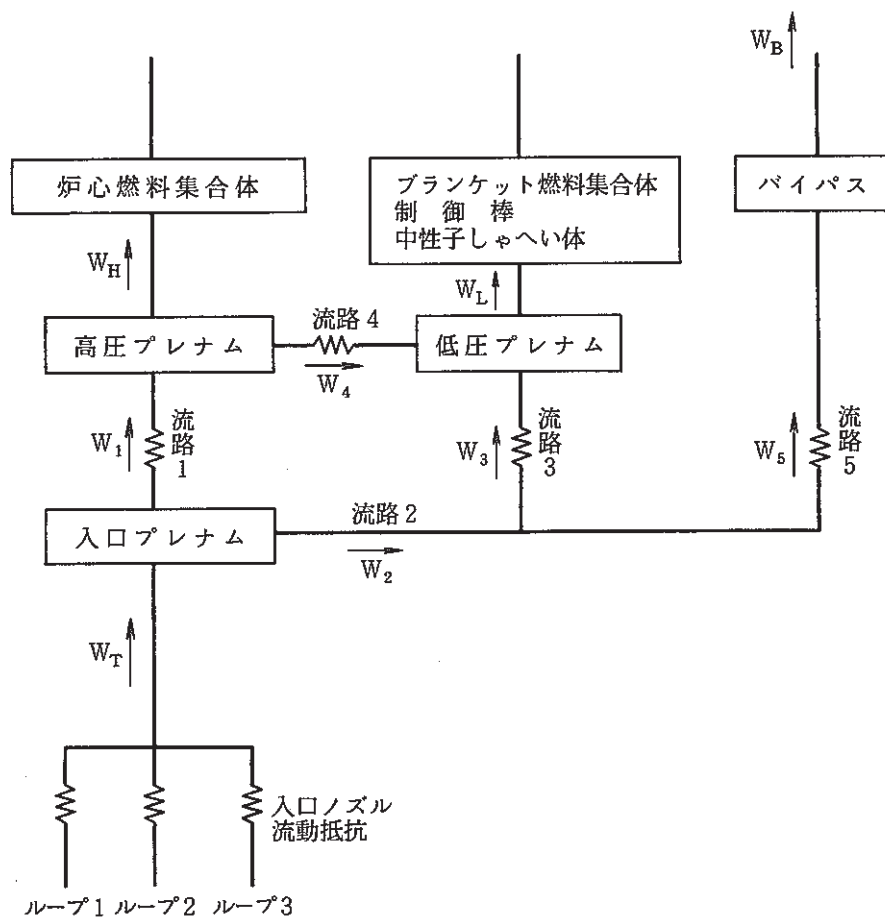
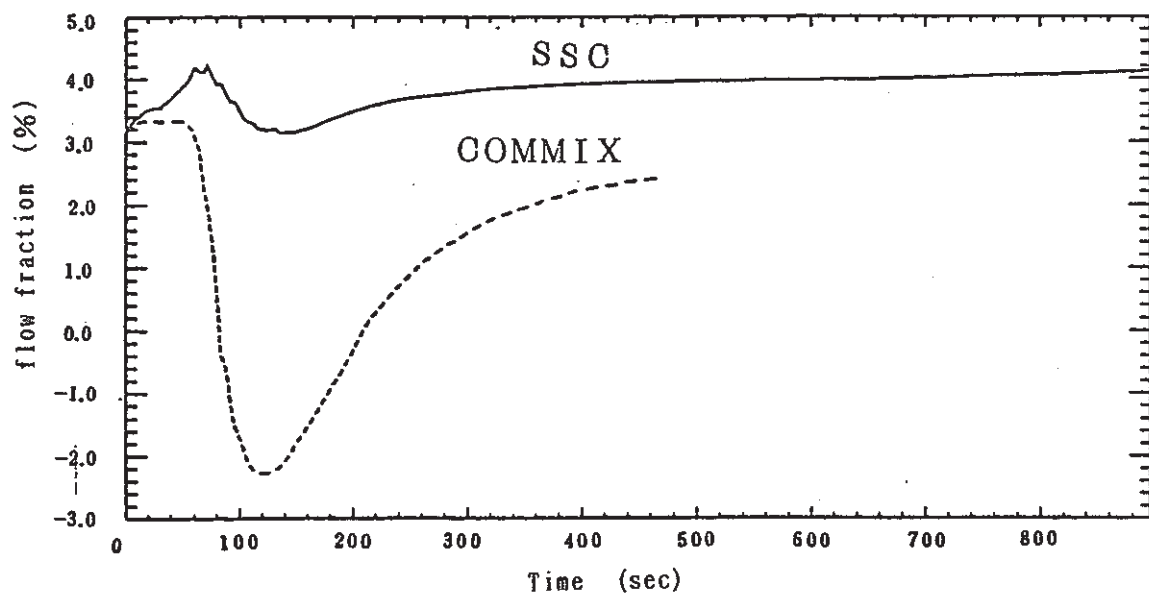
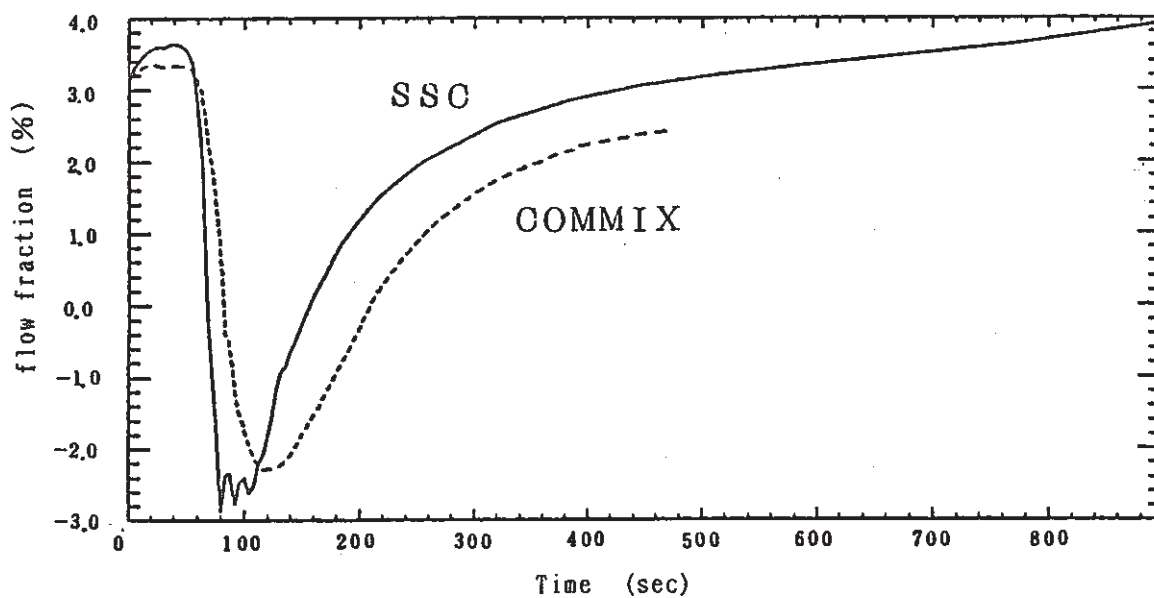


Figure 2-4 Modeling of the flow path in lower plenum.



(a) One-point lower plenum model



(b) Multi-point lower plenum model

Figure 2-5 Comparison of flow fraction in the outer blanket calculated by SSC-L and COMMIX-1A.

Table 2-1 Flow distribution in lower plenum of Monju plant

Flow path			W_{Ri} (kg/s)	ΔP_{Ri} (Pa)	f_i (kg m) ⁻¹
No	from	to			
1	Inlet plenum	High-pressure plenum	4017.7	1.6268×10^4	1.01×10^{-3}
3	Inlet plenum	Low-pressure plenum	92.0	3.9298×10^5	46.4
5	Inlet plenum	Bypass channel	157.0	4.8167×10^5	0.0
4	High-pressure plenum	Low-pressure plenum	550.4	3.7671×10^5	1.24

2.2.3 原子炉容器入口ノズルの逆流抵抗

原子炉容器入口ノズルなどのオリフィス部では、一般に順流時と逆流時とでは圧損が異なることが多い。逆流に対して大きな流動抵抗となるように設計しておけば、配管破損事故時などで冷却材が逆流する場合に、原子炉容器からの冷却材流出を抑制する効果を持つ。そこで、1次主冷却系の最後の配管に、順流時と逆流時とで異なる圧損係数を指定できるように改良を行なった。

最後の配管の形状圧損係数は、

$$\Delta P = f_1 \frac{W | W |}{\rho A^2} + f_{rev} \frac{W | W |}{\rho A^2} \quad (2-2-10)$$

で与えられる。右辺第一項は入力データによって指定した配管の形状圧損係数であり、順流時の入口ノズル圧損はここに含まれている。第二項は入口ノズルの逆流時に付け加えられる圧損である。従って、 $W > 0$ ならば、 $f_{rev}=0$ である。

もんじゅの場合には、入口ノズルの圧損の設計値は、順流時に $\Delta P = 0.819 \text{ kg/cm}^2$ ($8.03 \times 10^4 \text{ Pa}$) であり、 $K = 4.78 (1/\text{kgm})$ である。ただし、圧損は次式で与えられる。

$$\Delta P = K \frac{W | W |}{2 \rho A^2} \quad (2-2-11)$$

ここで、 A は入口配管の断面積で、 $A = 0.265 \text{ m}^2$ である。従って、 $f = K / 2$ の関係より、 f_1 への入口ノズルの寄与分は、 $f = 2.39 (1/\text{kgm})$ である。逆流時には、 $K = 6.0 (1/\text{kgm})$ であるから、 $f = 3.0 (1/\text{kgm})$ となる。従って、順流時と逆流時の差をとると

$$f_{rev} = 0.61 \quad (2-2-12)$$

である。計算コードでは、 f_{rev} の値をブロックデータで入力している。変数名は FRVINV である。

2.2.4 上部プレナムの二領域モデル

原子炉容器からの出口冷却材温度が熱輸送系内の温度分布を支配するため、自然循環力を解

析する上で、上部プレナムの温度分布を評価することはきわめて重要である。ところが、上部プレナムは、熱過渡の緩和や、冷却材液位の確保、燃料の交換などの観点から、比較的大きな容積が与えられている。従って、プレナム内の温度分布は一般に複雑である。そこでSSCでは、上部プレナムを2次元で記述する試みがなされつつある[29]。

ところが、2次元プレナムモデルによって、自然循環などの解析を行なう場合には、一般に多くの計算時間を要する。そこで簡単にこのような多次元効果を考慮する方法として、2領域モデルが用意されている。2領域モデルでは、原子炉スクラムと流量コーストダウン時の温度成層化が簡易解析できる。Figure 2-6に示されるように上部プレナムを2領域に分割し、上部の高温の領域をA領域、下部の低温の領域をB領域とする。

2領域に分割する境界は、炉心出口冷却材のフルード数の関数として冷却材の浸透高さを各時間ステップにおいて計算することにより決定される。実験的に、 Z_{jet} は次式で与えられている[32]。

$$Z_{jet} = 1.0484 F r_o^{0.785} \quad (2-2-13)$$

$$F r_o = \left(\frac{W_{jet}}{A_{jet} \rho_{jet}} \right)^2 \frac{\rho_B}{g r_o (\rho_{jet} - \rho_B)} \quad (2-2-14)$$

ただし、 A_{jet} は炉心出口のジェットが通過する断面積 r_o は炉心出口断面の半径である。また、 ρ_{jet} と ρ_B はそれぞれ、ジェットと B 領域の冷却材密度である。こうして、炉心から流出した冷却材は、すべて、B 領域に流入すると仮定して、それぞれの領域で質量とエネルギーの混合計算が行なわれている。

ところが、この2領域モデルでは、以下のような問題が生じることがわかった。常陽やもんじゅでは、CRBRPと異なり、チムニー構造を持たないため、境界面が上昇する場合に、その位置が急激に変化し、ナトリウム液面に到達することが有り得る。このような状況では、上部プレナム冷却材温度も不連続に変化する。一例としてFigure 2-9(a)に常陽自然循環試験の解析を2領域モデルで解析した結果を示す。120秒の時点での炉心からの冷却材温度がA領域の温度を越えるため、境界高さは一瞬のうちに液面に達する。このような条件に対しては、エネルギーバランスが保たれないため、上部プレナム A 領域の冷却材温度は460°Cから430°Cまで不連続的に低下している。この結果、原子炉容器の出口温度も同様に急変するため、自然循環力が正しく解析されない。

こうした不合理な解析結果を改善するために、2領域モデルの改良を行なった。改良点は、①先ず、炉心出口におけるフルード数を用いて浸透高さを評価する。境界面が前の時刻よりも下降している場合には従来のモデルと等価である。境界面が上昇している場合には、前の時刻の境界面におけるフルード数を用いて Δt の間の境界面高さの増分（減分）を別途評価する。これを、前の時刻の境界面高さに加えて、新時刻における境界面高さとする。これに合わせて、境界面の移動にともなう質量とエネルギーの移行の評価もFigure 2-8に示されるように変更し

ている。

②境界面上昇速度が、冷却材の流速を越えることは物理的に不合理である。その場合には炉心出口における平均流速を上限とする。

の二点である。

Figure 2-6にある通り、B領域の高さを Z_{jet} 、自由液面高さを Z_{NaL} とする。(2-2-13)と(2-2-14)式から、 Z_{jet} は冷却材流速 $u^{1.57}$ に比例するので、次式で Z と u の関係が与えられると考える。

$$u = u_c + C \cdot Z^{1/1.57} \quad (2-2-15)$$

炉心出口において、流速 u_c であった冷却材は、 $Z = Z_{jet}$ においては、 $u = 0$ となっている。

即ち、 $u = u_c$ (at $Z = 0$)、 $u = 0$ (at $Z = Z_{jet}$)の条件を用いると、

$$u(Z) = u_c [1 - (Z/Z_{jet})^{1/1.57}] \quad (2-2-16)$$

を得る。(2-2-16)式は $0 < Z < Z_{jet}$ の範囲における、冷却材流速の分布を与えてい。従って、

前の時刻(i-1)での境界面の高さ $Z_{jet}^{(i-1)}$ における流速は、

$$u(Z_{jet}^{(i-1)}) = u_c [1 - (Z_{jet}^{(i-1)} / Z_{jet}^{(i)})^{1/1.57}] \quad (2-2-17)$$

フルード数は、

$$Fr_o(Z_{jet}^{(i-1)}) = u(Z_{jet}^{(i-1)})^2 \frac{\rho_B}{g r_o (\rho_{jet} - \rho_B)} \quad (2-2-18)$$

でそれぞれ、与えられる。従って、新時刻(i)における境界面高さは、前の時刻(i-1)における境界面高さに、(2-2-13)式と(2-2-18)式を用いて計算される浸透高さを加えたものであり、

$$Z_{jet}^{(i)} = Z_{jet}^{(i-1)} + 1.0484 Fr_o(Z_{jet}^{(i-1)})^{0.785} r_o \quad (2-2-19)$$

で与えられる。

Figure 2-7に、以上に示した境界高さの計算手順のフローチャートを示す。以下にフローチャートの各ボックスについて説明する。

step 1:炉心出口ジェットの温度が、B領域の冷却材温度を上回っているか判定する。

step 2:上回っている場合には、ジェットは上部領域内に浸透して行くため、(2-2-13)式より、浸透高さを計算する。

step 3:下回る場合には、それ以前に形成されている成層界面は変化しない。従って、前時刻(i-1)における境界面位置を新時刻の境界面位置とする。この場合には、step 4を経由した後、stopへ行く。

step 4:境界面高さが上昇しつつあるか、あるいは下降しつつあるかを判定する。

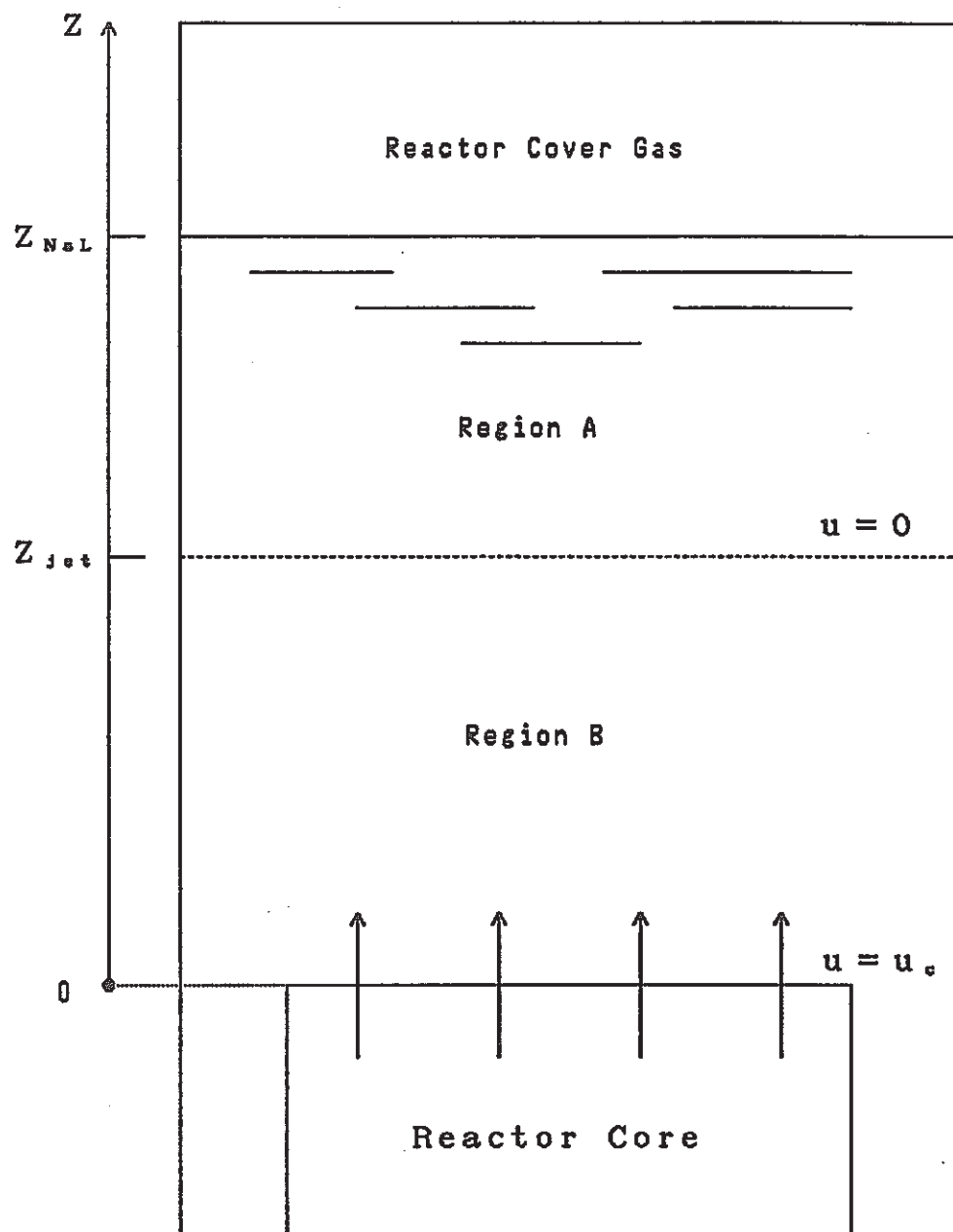


Figure 2-6 Two region upper plenum model in SSC.

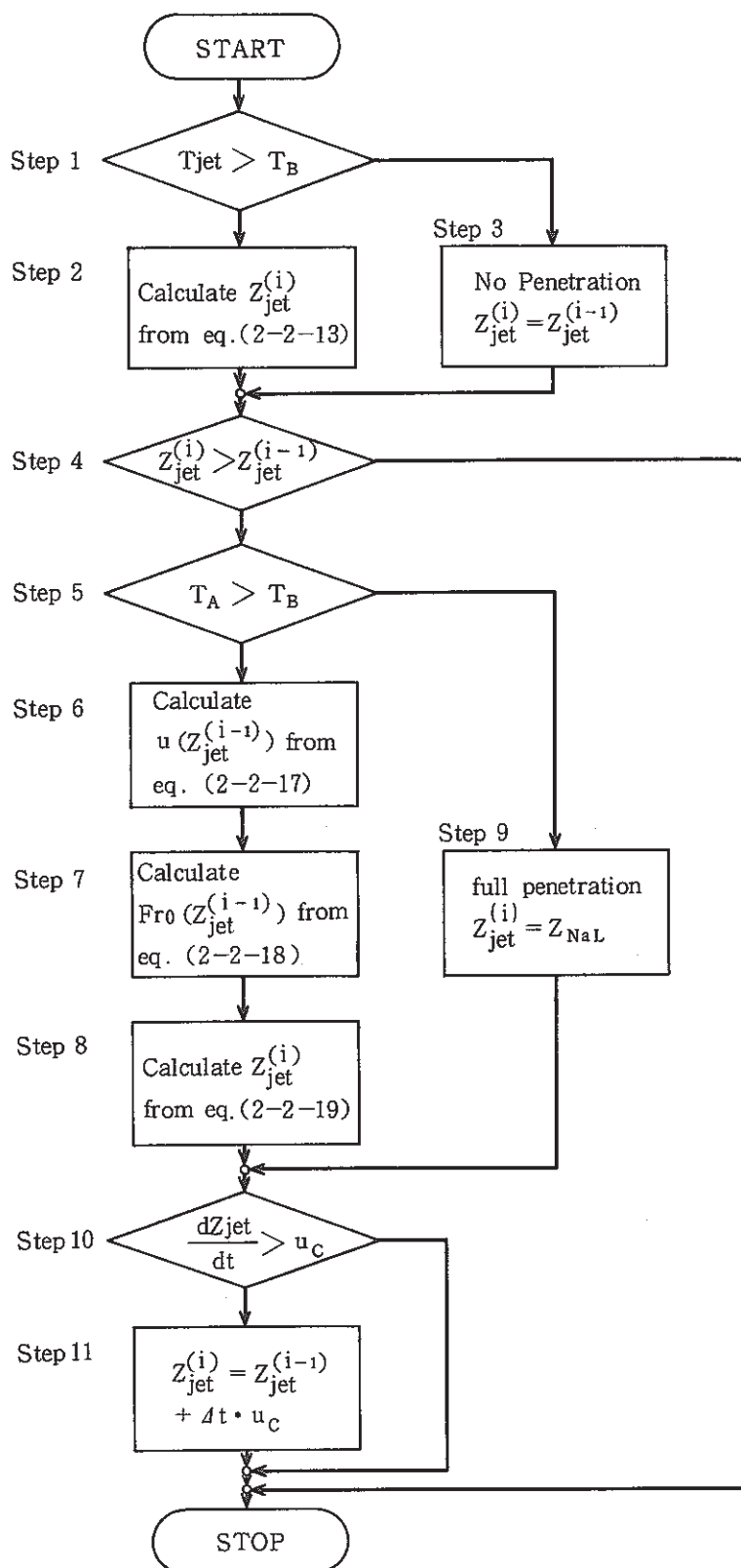


Figure 2-7 Flow chart for the calculation of core flow penetration height.

① 浸透高さが出口ノズル下端に達しない場合		② 浸透高さが出口ノズル内にある場合		③ 浸透高さが出口ノズル上端より高い場合	
zone A	zone B	zone A	zone B	zone A	zone B
$W \cdot h$ + $W_{BA} \cdot h_{zone(A or B)}$ + $W_{BPA} \cdot h_{BYPASS}$ - $W_{VOUT} \cdot h_{zoneA}$	- $W_{BA} \cdot h_{zone(A or B)}$ + $W_{BPA} \cdot h_{BYPASS}$ + $W_{core} \cdot h_{core}$	$W \cdot h$ +($W_{BA} - r W_{VOUT}$) $\cdot h_{zoneB}$ + $W_{BPA} \cdot h_{BYPASS}$ -(1-r) $W_{VOUT} \cdot h_{zoneA}$	- $W_{BA} \cdot h_{zoneB}$ + $W_{BPA} \cdot h_{BYPASS}$ + $W_{core} \cdot h_{core}$	$W \cdot h$ + $W_{BA} \cdot h_{zone(A or B)}$ + $W_{BPA} \cdot h_{BYPASS}$	- $W_{BA} \cdot h_{zone(A or B)}$ + $W_{BPA} \cdot h_{BYPASS}$ - $W_{VOUT} \cdot h_{zoneB}$ + $W_{core} \cdot h_{core}$
W + W_{BA} + W_{BPA} - W_{VOUT}	- W_{BA} + W_{BPA} + W_{core}	W - W_{VOUT} + W_{BA} + W_{BPA}	- W_{BA} + W_{BPA} + W_{core}	W - W_{BA} + W_{BPA}	- W_{BA} + W_{BPA} + W_{core} - W_{VOUT}

但し、上記の W_{BA} は以下のように計算する。

Z_{jet} を浸透高さ、 A をプレナム断面積とすると、

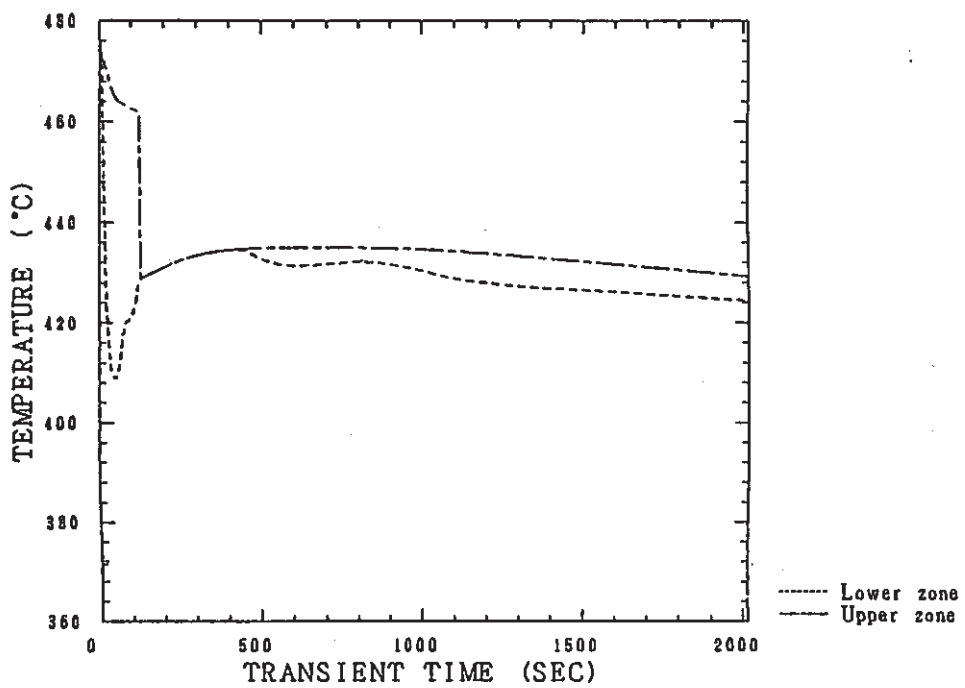
$$W_{BA} = \rho_{zoneB} \times \left(\frac{W_{core}}{\rho_{core}} - A \frac{dZ_{jet}}{dt} \right)$$

文、上表中 $h_{zone(A or B)}$ とあるのは、

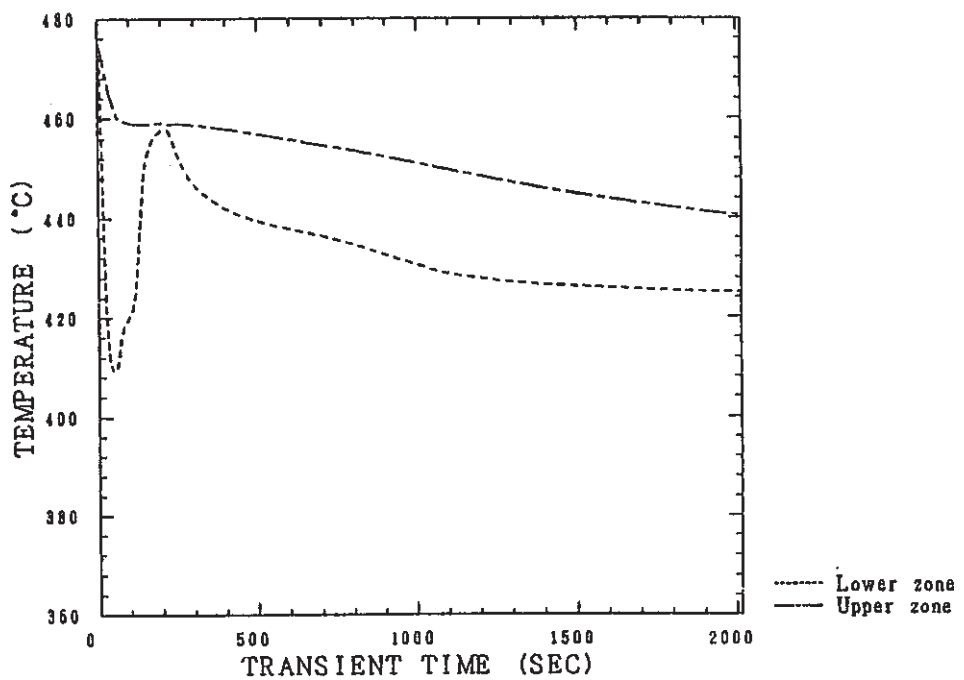
$W_{BA} > 0 \rightarrow h_{zoneB}$) の意味

$W_{BA} < 0 \rightarrow h_{zoneA}$

F Figure 2-8 Balance of mass and energy transfer in the upper and lower regions in reactor upper plenum.



(a) With the original two-region model



(b) With the modified two-region model

Figure 2-9 Calculated temperatures of upper and lower regions in the reactor upper plenum.

step 5: 上昇しつつある場合には、A領域とB領域の冷却材温度を比較する。

step 6: A領域の冷却材温度が高い場合には(2-2-17)式を用いて、前時刻(i-1)における境界面高さにおける流速を計算する。

step 7: (2-2-18)式を用いて、前時刻(i-1)における境界面高さにおけるフルード数を計算する。

step 8: (2-2-19)式を用いて、新時刻(i)における境界面高さを計算する。

step 9: B領域の冷却材温度が高い場合には、浮力によって、成層界面は消滅すると考えられる。そこで完全浸透を仮定し、境界面高さを自由液面に等しく取る。

step 10: 境界面の上昇速度を評価し、それが炉心出口流速を上回らないかを判定する。上回らない場合には終了する。

step 11: 上回る場合には、新時刻における界面の高さを炉心流量によって押し上げられる高さに制限した後、終了する。

Figure 2-9(b)には、改良したモデルを用いた、常陽自然循環解析結果を示す。およそ、200秒には、炉心からの冷却材によってB領域の温度が極大になるが、初期温度よりも低いため、境界面は自由液面に達することなく、成層界面が維持されていることがわかる。この場合にさらに解析を進めて行けば、境界面における熱伝達によって徐々にA、B領域の温度は接近していき、成層界面は消滅する。Figure 2-9(a)と比較すれば、上部プレナムの温度分布が改善されていることは明かである。

2.2.5 集合体間熱移行モデル

(1) はじめに

高速炉の過渡事象解析では、自然循環時などの低流量条件における炉心の挙動が重要である。そこで、i)低熱流束ナトリウム沸騰[26]、ii)集合体内熱移行モデル[27]、iii)集合体間熱移行モデル[30]が開発されている。集合体間熱移行モデルは、2領域7集合体クラスターモデルがBNLにおいて開発されてきた。以下では、これをクラスターモデルと呼ぶ。このモデルは限定された7集合体間の熱移行を解析する目的にのみ適用できる。従って、例えば、ホットストチャンネルの被覆管健全性を評価するために、隣接するより低温の集合体への熱移行を考慮して、温度を評価するなどの目的には適している。しかし、ドライバー燃料とブランケット燃料などの発熱密度の異なる領域間の熱移行を考慮することは不可能である。そこで、全炉心にわたる集合体間熱移行を考慮できるモデルを開発した。以下では、これを全炉心モデルと呼ぶ。一般に、全炉心モデルは、実機体系の解析評価に適している。本節では、クラスターモデルと全炉心モデルについて記す。

(2) 2領域7集合体クラスターモデル

クラスターモデルは、着目される1体の燃料集合体とその周辺の隣接する6体の燃料集合体の間の熱移行を解析するものである。この7体の集合体を総称してクラスターと呼ぶ。このモ

モデルでは同時に複数のクラスターを考慮できるが、それらが互いに重複することは許されない。即ちある一つの集合体が複数のクラスターに属することはできない。Figure 2-10に7集合体クラスター・モデルを示す。各集合体は2領域に分割されている。中心の集合体をのぞいては、外側の領域に属するラッパー管における熱流束は0と仮定する。各領域は、4つの面を持っている。即ち、3つ面を介して隣の集合体に接しており、また最後の第4の面を介して、同一集合体のもう一方の領域と接している。

Figure 2-11と2-12に米国の実験炉F F T Fで行なわれた自然循環試験の解析結果を示す。これらの図は、第6列の最外周の試験燃料集合体(Fueled Open Test Assembly: F O T A)である。第6列F O T Aは、反射体に隣接している。Figure 2-11は燃料部上端、Figure 2-12は、ピンの上端における冷却材温度であり、それぞれ、集合体間熱移行を考慮した場合と考慮しない場合を実験データと比較している。100秒前後から、解析結果に差がみられる。燃料集合体から反射体領域への熱移行の考慮によって、実験結果とよく一致することが示されている。

(3) 全炉心モデル

Figure 2-13に全炉心の集合体間熱移行モデルを示す。このモデルでは、炉心を同心円上にチャンネル分割し、各チャンネルは内側ダクト、冷却材、燃料、外側ダクト、集合体間ギャップにより構成される。従って、あるチャンネルは、隣接する2つのチャンネルとのみ熱交換を行なう。また、隣接するチャンネルは、入力したチャンネル番号順に従う。

オリジナルモデルと全炉心モデルの熱移行パスを、Figure 2-14に比較して示す。全炉心モデルでは、第*i*チャンネルのラッパ管を内側と外側の2領域に分割し、内側のラッパ管は第*i*チャンネルの冷却材、及びギャップ部の冷却材を介して第*i*-1チャンネルのラッパ管と熱交換を行なう。外側のラッパ管は第*i*チャンネルの冷却材、及びギャップ部の冷却材を介して第*i*+1チャンネルのラッパ管と熱交換を行なう。

定常状態では、ある軸方向高さにおける全てのラッパ管の温度や冷却材の温度はマトリックス法によって同時に求められる。このとき、軸方向にはマーチング法を用いて温度分布を評価している。しかし、熱伝達率や物性値は温度の関数であるため、反復解法が必要となる。収束が得られたならば、次の軸方向ノードに関して同様に温度を計算する。最内側集合体(第1チャンネル)では、次式が成立する。以下の定式化で使われる記号は、Table 2-2に説明する。

$$\begin{aligned} UC(1, 2) \cdot \{1/2 (TC(1)+TCI(1))-TD(1, 2)\} + \\ WCP(1) \cdot \{TC(1)-TCI(1)\} = QC(1) \end{aligned} \quad (2-2-20)$$

$$\begin{aligned} UC(1, 2) \cdot \{TD(1, 2)-1/2 (TC(1)+TCI(1))\} + \\ UI(1) \cdot \{TD(1, 2)-TD(2, 1)\} = QD(1, 2) \end{aligned} \quad (2-2-21)$$

中間の集合体(第2チャンネルからN-1チャンネル)では

$$\begin{aligned} UC(i, 1) \cdot \{TD(i, 1)-1/2 (TC(i)+TCI(i))\} + \\ UI(i-1) \cdot \{TD(i, 1)-TD(i-1, 2)\} = QD(i, 1) \end{aligned} \quad (2-2-22)$$

$$UC(i, 1) \cdot \{1/2 (TC(i)+TCI(i))-TD(i, 1)\} +$$

$$\begin{aligned} UC(i, 2) \cdot \{1/2 (TC(i)+TCI(i))-TD(i, 2)\} + \\ WCP(i) \cdot \{TC(i)-TCI(i)\} = QC(i) \end{aligned} \quad (2-2-23)$$

$$\begin{aligned} UC(i, 2) \cdot \{TD(i, 2)-1/2 (TC(i)+TCI(i))\} + \\ UI(i) \cdot \{TD(i, 2)-TD(i+1, 1)\} = QD(i, 2) \end{aligned} \quad (2-2-24)$$

最外側集合体（第Nチャンネル）では、次式が成立する。

$$\begin{aligned} UC(N, 1) \cdot \{TD(N, 1)-1/2 (TC(N)+TCI(N))\} + \\ UI(N-1) \cdot \{TD(N, 1)-TD(N-1, 2)\} = QD(N, 1) \end{aligned} \quad (2-2-25)$$

$$\begin{aligned} UC(N, 1) \cdot \{1/2 (TC(N)+TCI(N))-TD(N, 1)\} + \\ UC(N, 2) \cdot \{1/2 (TC(N)+TCI(N))-TD(N, 2)\} + \\ WCP(N) \cdot \{TC(N)-TCI(N)\} = QC(N) \end{aligned} \quad (2-2-26)$$

$$UC(N, 2) \cdot \{TD(N, 2)-1/2 (TC(N)+TCI(N))\} = QD(N, 2) \quad (2-2-27)$$

以上の式を解いて冷却材の出口温度TC、ダクトの温度TDを計算する。ここで、ギャップを介してダクト間の熱伝達率は次式で与えられる。

$$UI = A / [\frac{x_i}{2k_i} + \frac{\delta}{k_I} + \frac{x_{i+1}}{2k_{i+1}}] \quad (2-2-28)$$

また、冷却材とダクト管の熱伝達率は次式で与えられる。

$$UC = AW/RW + AD/RD \quad (2-2-29)$$

$$RW = DW/4k_w + 1/h \quad (2-2-30)$$

$$RD = XD/2k_D + 1/h \quad (2-2-31)$$

過渡計算では、前時刻における温度分布より各チャンネルの境界における熱流束を計算し、それをダクト内の発熱量としてQDに加えることによって、熱移行量が考慮される。

Figure 2-16 と 2-17 に常陽自然循環試験における最外周燃料集合体と、最内周ブランケット燃料集合体の出口冷却材温度の解析結果と実験結果の比較を示す。Figure 2-15 に炉心の領域分割を示す。炉心は径方向には一列毎に 13 の領域に分割されている。最外周燃料集合体は第 7 領域に相当し、最内周ブランケット燃料集合体は第 8 領域に相当する。集合体間熱移行を全炉心モデルによって考慮すれば、解析結果は実験結果に一致してくることが示される。これは、出力流量比が炉心径方向に大きく変化する領域で特に有効である。なお、集合体間熱移行を考慮した結果、計算時間は 6 % 増加したにすぎなかった。

Table 2-2 Nomenclatures used in section 2.2.5.

Variable	Description
TC(i)	Coolant temperature at the outlet of the axial segment in channel i
TCI(i)	Coolant temperature at the inlet of the axial segment in channel i
TD(i, 1)	Temperature of the inner-side of the duct in channel i
TD(i, 2)	Temperature of the outer-side of the duct in channel i
WCP(i)	(Mass flow rate) \times (heat capacit) in channel i
UI(i)	Heat transfer coefficient between outer duct in channel i and inner duct in channel i+1
UC(i, 1)	Heat transfer coefficient between the coolant and inner duct
UC(i, 2)	Heat transfer coefficient between the coolant and outer duct
QC(i)	Heat generated in the coolant of channel i (includes heat generated in associated fuel pin and cladding)
QD(i, 1)	Heat generated in the inner duct of channel i
QD(i, 2)	Heat generated in the outer duct of channel i
A	Heat transfer area
x _i	Duct wall thickness in channel i
k _i	Duct wall conductivity in channel i
δ	Interstice thickness
k _I	Conductivity of the sodium in the interstice
AW	Heat transfer area of the associated wire wrap
RW	Thermal resistance of wire
AD	Heat transfer area of the duct wall
RD	Thermal resistance of the duct wall
DW	Wire diameter
k _w	Thermal conductivity of the wire
h	Convective heat transfer coefficient
XD	Duct wall thickness
k _D	Duct wall thermal conductivity

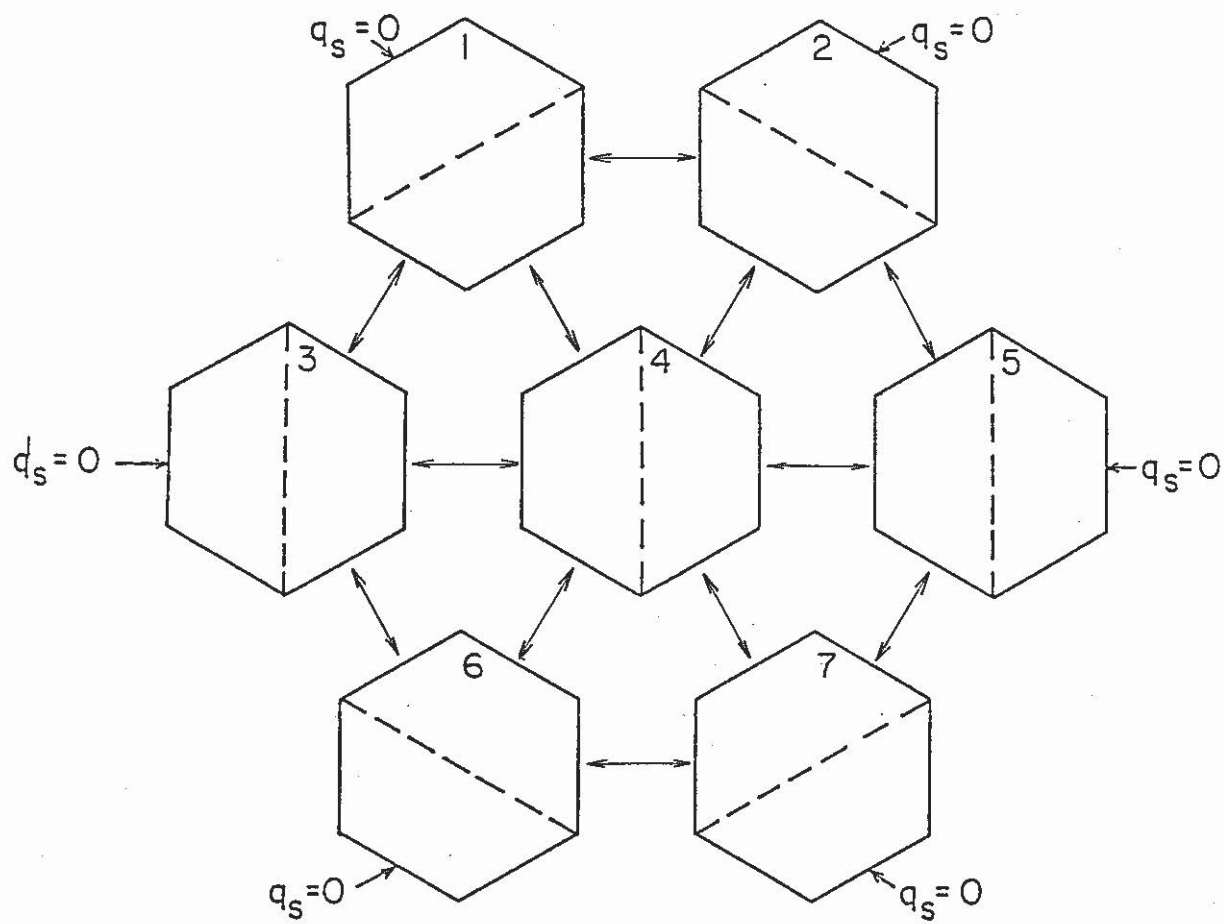


Figure 2-10 Seven-assembly cluster model for inter-assembly heat transfer.

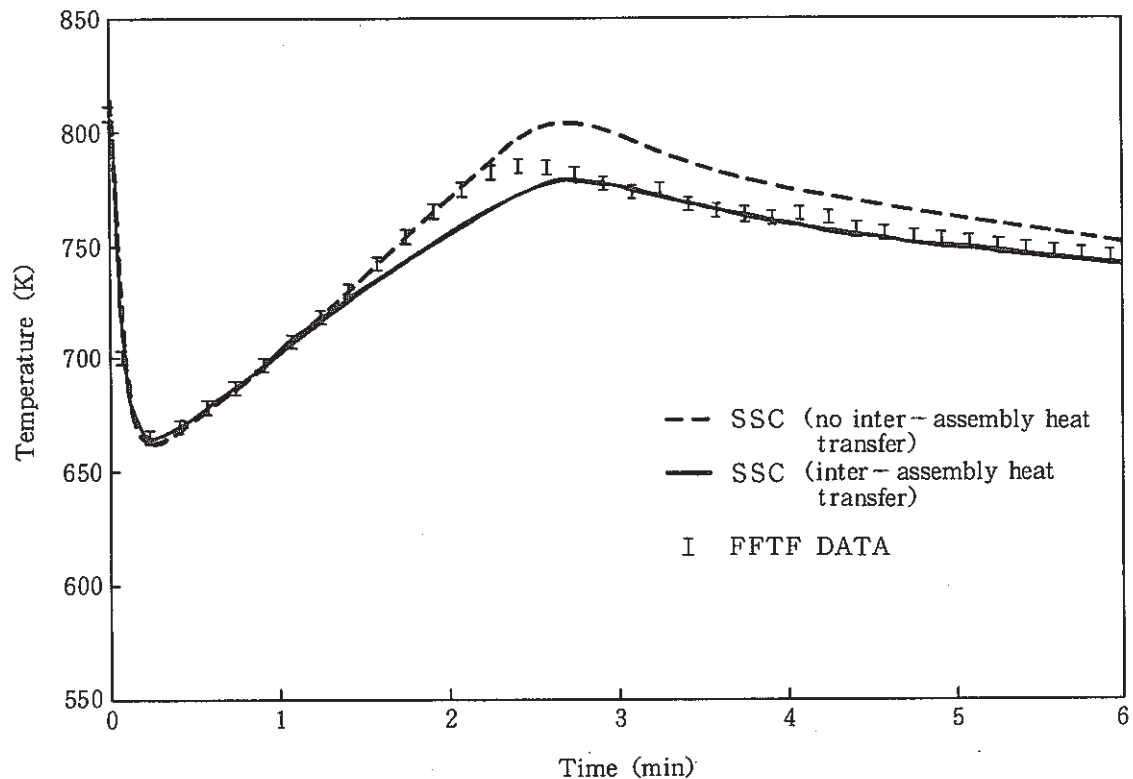


Figure 2-11 Coolant temperature at the top of fuel region in row 6 POTA during the natural circulation test in FFTF.

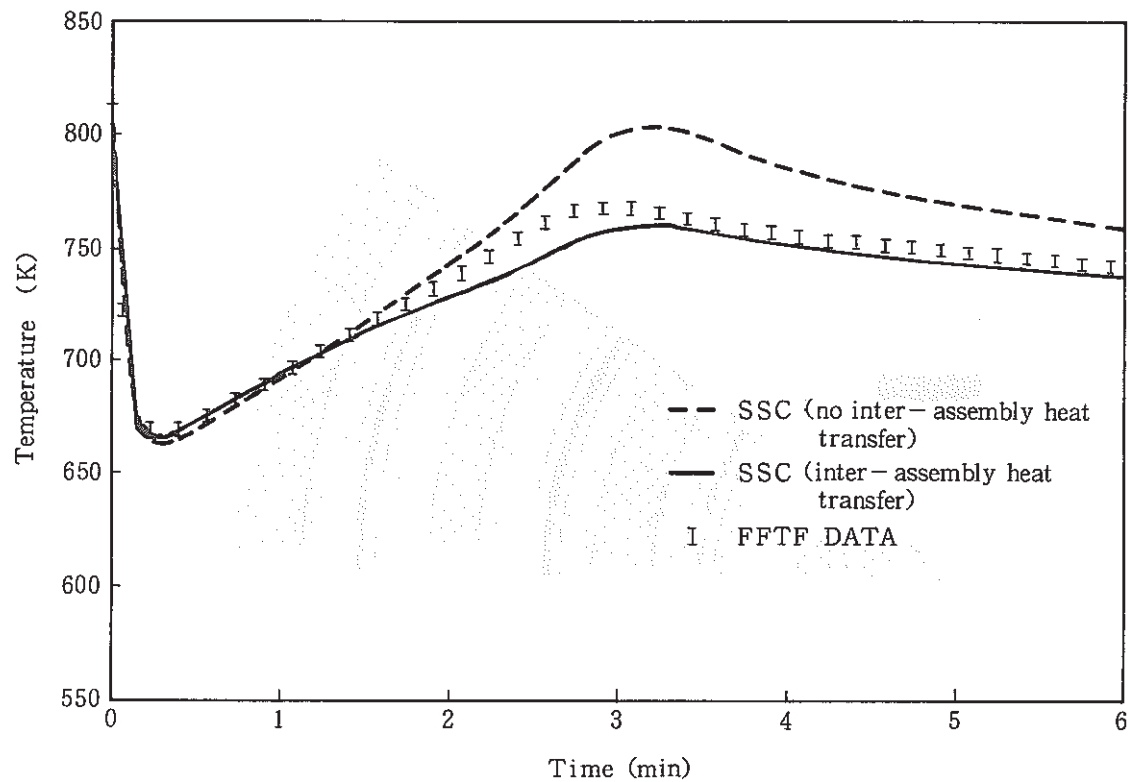


Figure 2-12 Coolant temperature at the top of pin in row 6 FOTA during the natural circulation test in FFTF.

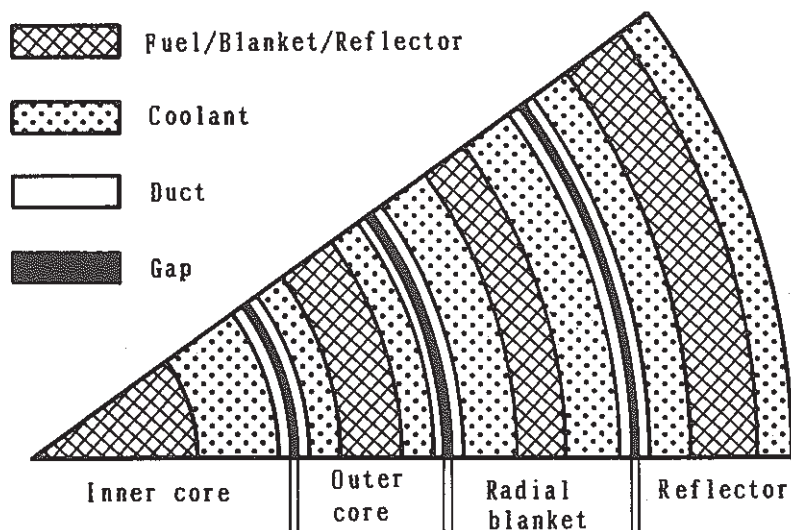


Figure 2-13 Whole core model of inter-subassembly heat transfer.

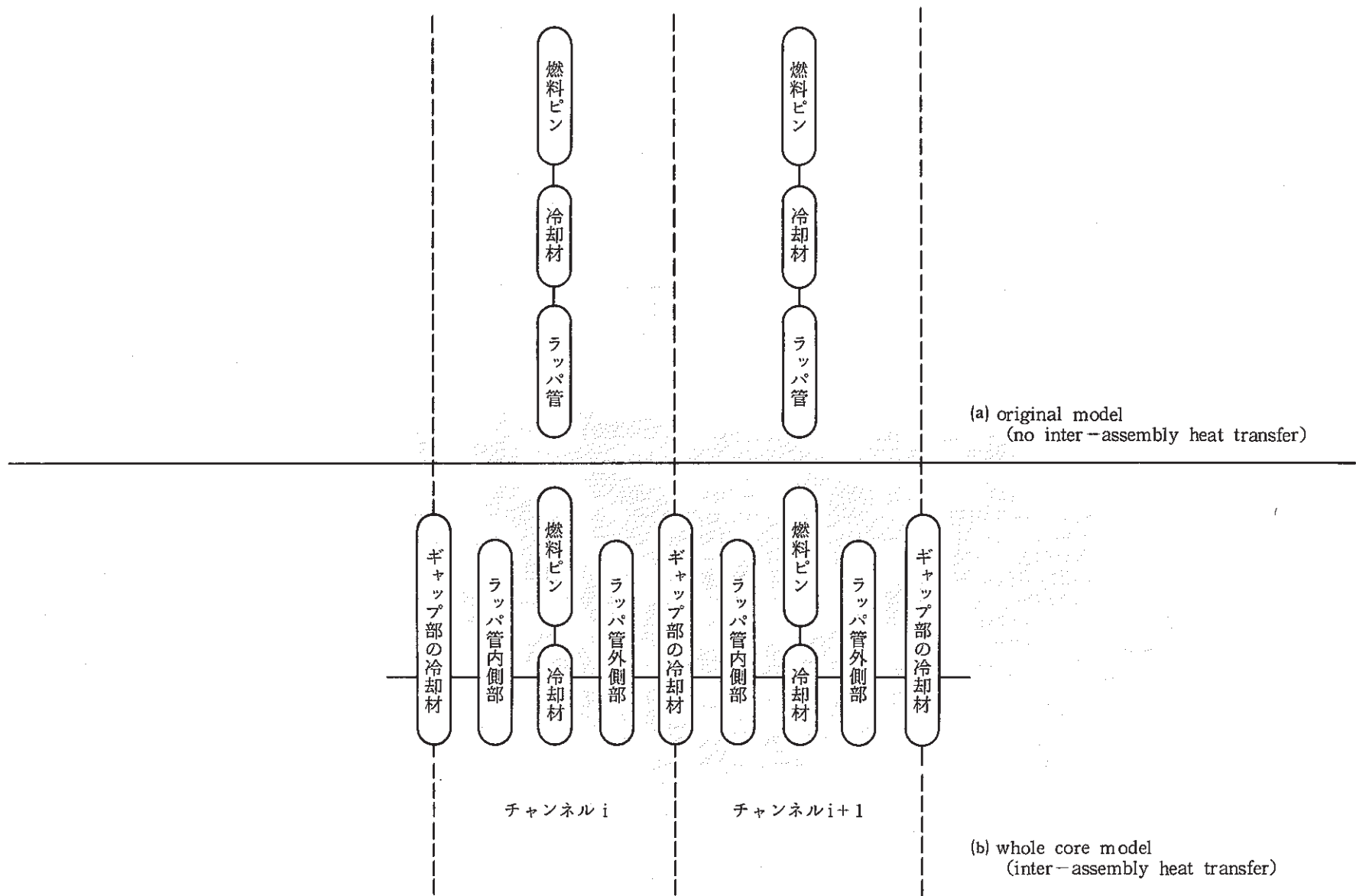


Figure 2-14 Comparison of heat transfer models in core

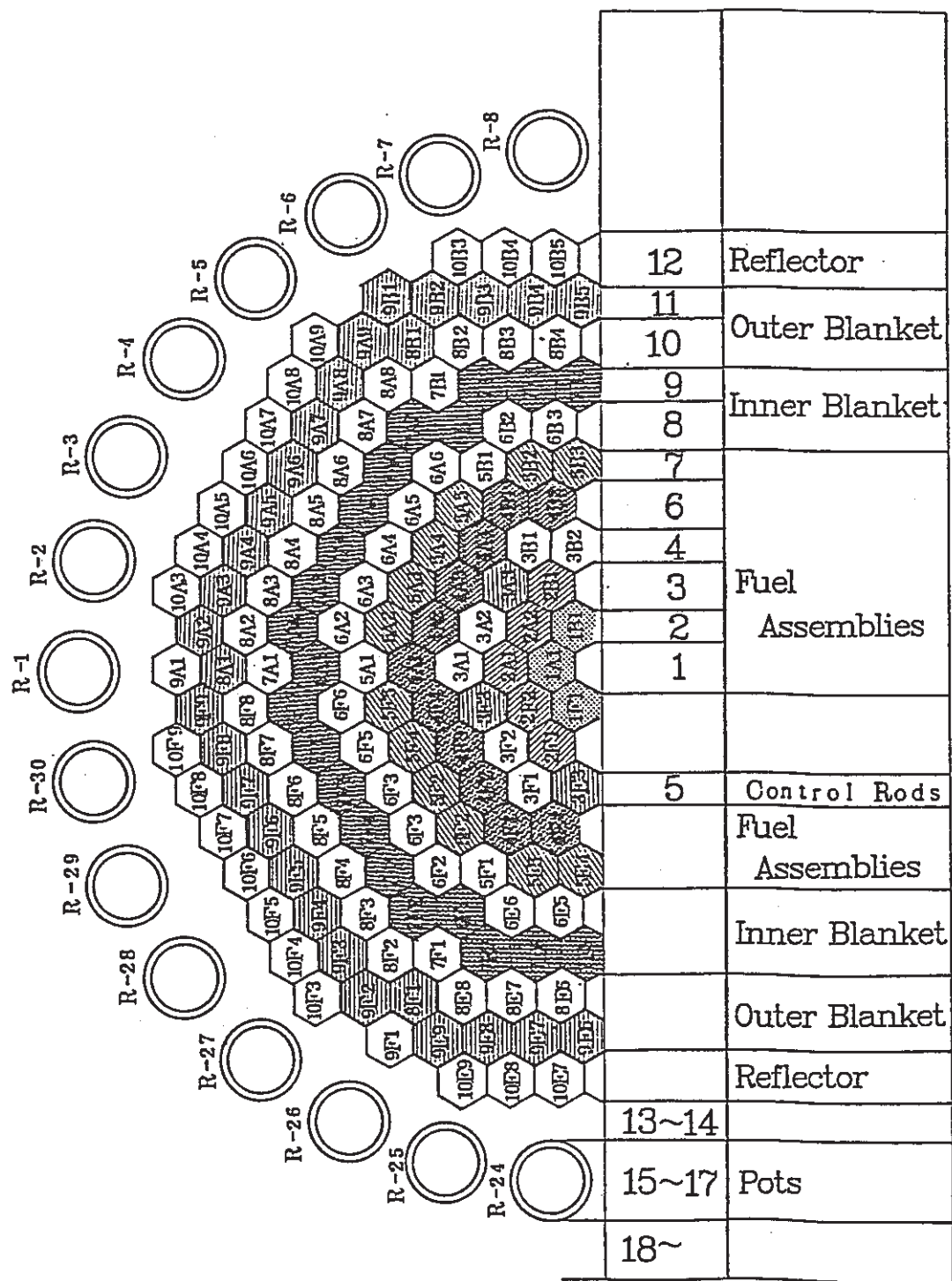


Figure 2-15 Core channel numbering scheme for the analysis of natural circulation test with Joyo Mk-I core.

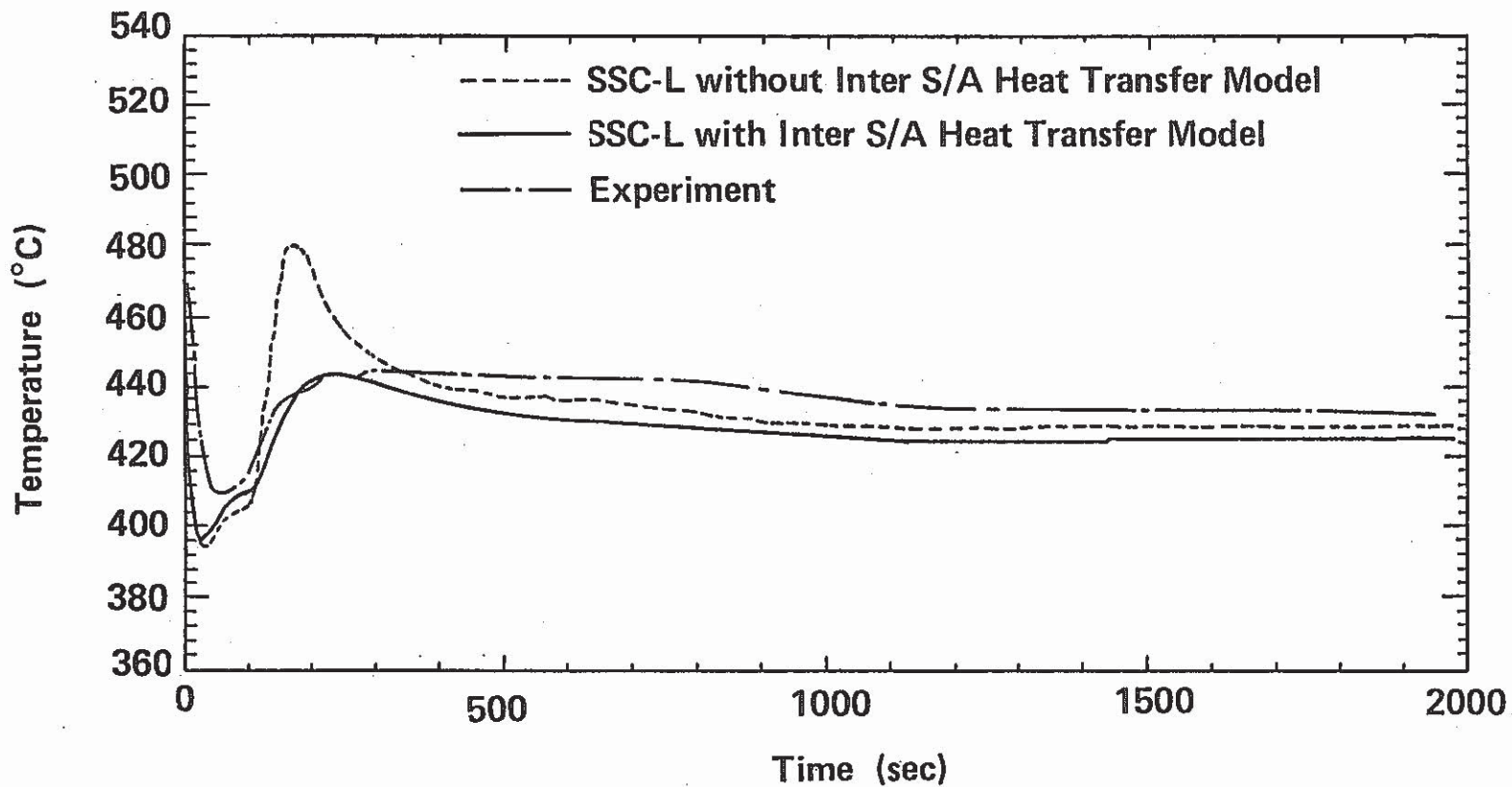


Figure 2-16 Coolant Temperature transient at outermost driver fuel subassembly exit during the natural circulation test with Joyo Mk-I core.

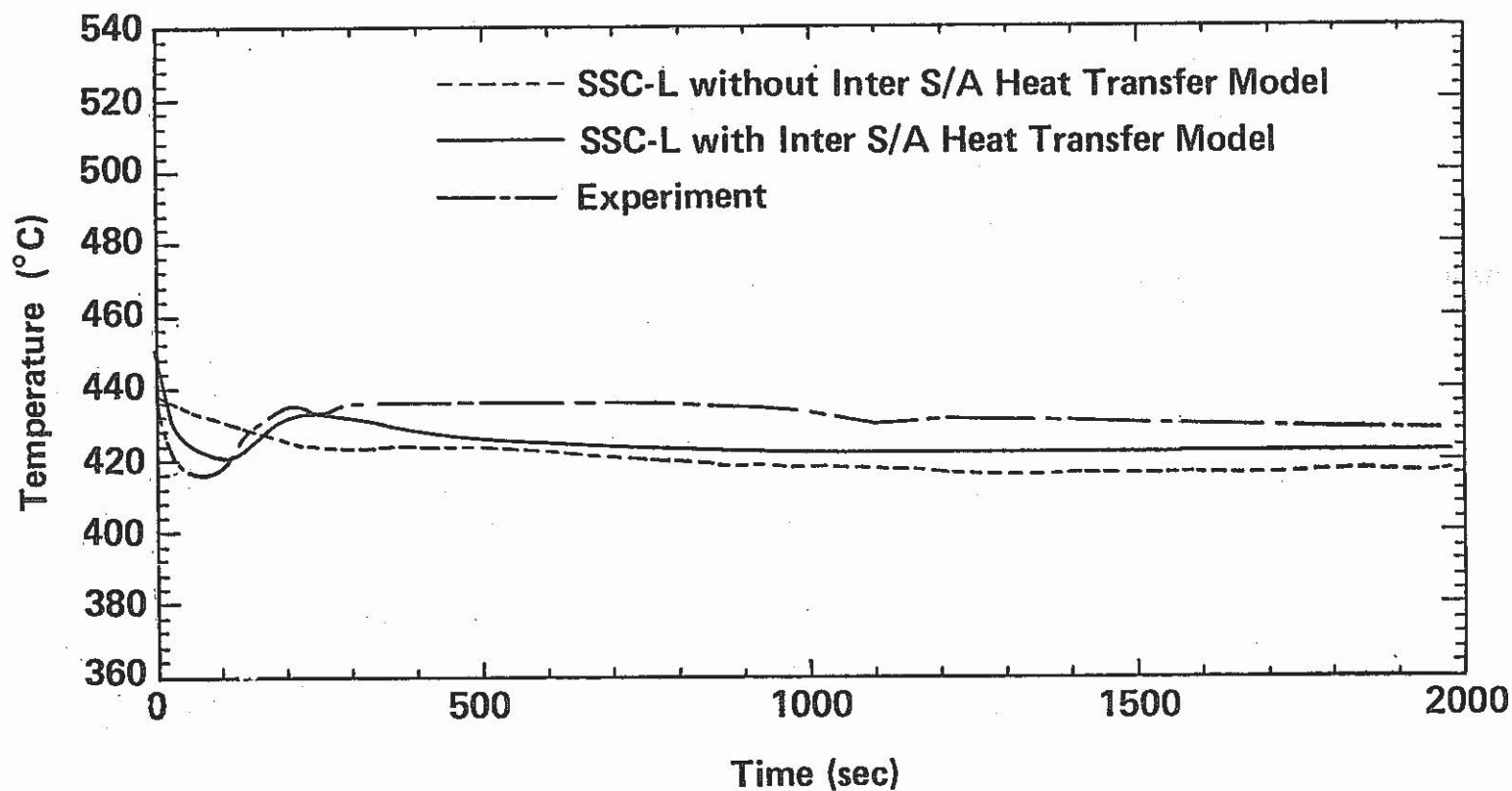


Figure 2-17 Coolant Temperature transient at innermost radial blanket subassembly exit during the natural circulation test with Joyo Mk-I core.

2.2.6 反応度フィードバックモデル

(1) はじめに

高速炉においては、安全保護系および原子炉停止系の多重化などに加えて、固有の負の反応度効果を積極的に活用することにより、核的炉停止機能の高信頼性を達成できる。固有の反応度効果は A T W S (Anticipated Transient Without Scram) の解析において重要であるが、A T W S の事象推移は極めて速いと判断されるため、これまでにはプラント動特性を考慮せずに炉心の核熱流動特性が解析されていた。従って、解析結果の保守性と不確定性は大きいと考えられる。その解析精度を向上させるためには、炉心と熱輸送系のカップリングを考慮することによる現実的な解析評価を行ない、その結果を活用する必要がある。

全プラントシステムの挙動を総合的に解析できるシステムコードである S S C - L を利用することが望ましいが、S S C - L は A T W S の解析に適用された例がないこともある、反応度効果を評価するモデルは不十分である。そこで、S S C - L を A T W S 事象解析に適用可能とするために、反応度計算部の整備を行うとともに、従来の解析では考慮されていなかった反応度効果をモデル化し、S S C - L に追加組込みを行った [32]。この結果、S S C - L で解析できる反応度効果は以下の通りである。

i) 燃料ドップラー効果

核燃料の温度上昇にともない、 ^{238}U の中性子に対する共鳴吸収断面積が増加し、このため共鳴をのがれる確率が減少して反応度が小さくなる効果である。

ii) 冷却材の密度変化による反応度効果

冷却材の温度上昇にともなって冷却材密度が減少するが、この密度減少による反応度への影響は二種類ある。一つは中性子の漏れの増加による負の反応度投入であり、もう一つは冷却材の中性子散乱マクロ断面積が減少し、スペクトルが硬化することによる正の反応度投入である。

iii) 燃料の熱膨張による反応度効果

燃料ペレットが軸方向に膨張すれば燃料の密度が減少するため、負の反応度が投入される。また、炉心の形状（長さ）が変化するため、それが増加すれば正、減少すれば負の反応度がそれぞれ投入される。

iv) 構造材の熱膨張による反応度効果

被覆管軸方向膨張に伴う構造材密度減少、被覆管径方向膨張に伴う冷却材密度減少及び、ラッパー管軸方向膨張に伴う構造材密度減少によって、反応度が投入される。

v) 炉心支持板の熱膨張による反応度効果

炉心支持板が膨張することによって、炉心内冷却材体積比は増加し、燃料と構造材の体積比は減少する。従って、見かけ上、冷却材密度は増加し、燃料密度と構造材密度は減少する。また、炉心形状（半径）の変化による反応度が投入される。

このように燃料と構造材の熱膨張に伴う反応度効果は、炉心構成物質の体積比変化と密度変化によるもの、および炉心の形状変化によるものに分離される。従来より、S S C では、i) と

ii) および iii) の燃料密度変化による反応度効果がモデル化されている。これらのモデルを整備するとともに iv) の炉心形状変化による反応度と v)、vi) の反応度効果のモデルを新たに開発した。

本研究で改良した反応度フィードバックモデルを、実機の解析評価に適用していくことが今後の課題である。その場合に、ATWS を模擬する試験や、PLANTL 施設 [33] などで予定されている反応度効果を同定する試験解析を行ないコードを検証していくとともに、入力パラメータやモデルの不確定幅を低減することが重要である。

(2) 反応度フィードバックモデル

(2)-a 炉心支持板膨張効果

冷却材温度の上昇とともに炉心支持板が膨張、集合体間隔が径方向に広がることにより生ずる反応度であり、以下に示す 3 つの効果がある。但し、ここでは炉心支持板以外の構造材の膨張は考慮しない。

冷却材流入増加による効果

支持板膨張による炉心体積増加分ナトリウムが流入するがこれは冷却材の密度が増加する効果とみなせる。増加体積 ΔV は

$$\Delta V = \{(1 + \alpha_s \Delta T)^2 - 1\} V_0 = 2 \alpha_s \Delta T V_0 \quad (2-2-32)$$

ここで α_s は構造材線膨張率である。従って、反応度の温度係数は次のようにになる。

$$\frac{\Delta k/k}{\Delta T} = \frac{2 \alpha_s (\Delta k/k)}{F_{Na} (\Delta \rho / \rho)_{Na}} \quad (2-2-33)$$

但し、 F_{Na} はナトリウム体積分率で、右辺括弧はナトリウム密度係数である。

炉心半径と径方向ブランケット内外径の増加による効果

炉心体積の増加によって中性子の漏洩が減少するため、正の反応度が投入される。投入反応度は径方向形状係数を用いて次のように表される。

$$\frac{\Delta k/k}{\Delta T} = \alpha_s \left(\frac{\Delta k/k}{\Delta R/R} \right) \quad (2-2-34)$$

燃料・構造材密度減少効果

支持板膨張によって集合体ピッチが増加するがこれは燃料や構造材の密度を減少させる効果となる。この効果は燃料密度係数と構造材密度係数を用いて次のように表される。

$$\frac{\Delta k/k}{\Delta T} = -2 \alpha_s \left[\left(\frac{\Delta k/k}{\Delta R/R} \right)_{Fuel} + \left(\frac{\Delta k/k}{\Delta \rho / \rho} \right)_{Str} \right] \quad (2-2-35)$$

以上 3 つの効果により支持板膨張による投入反応度は次のようにになる。

$$\begin{aligned} \Delta k/k &= \left[\sum_{ij} - \left(\frac{2 \alpha_s}{F_{Na}} \right)_{ij} \left(\frac{\Delta k/k}{\Delta w} \right)_{ij} \rho_{ij}^{Na} v_{ij}^{Na} + \alpha_s \left(\frac{\Delta k/k}{\Delta R/R} \right) \right. \\ &\quad \left. + 2 \alpha_s \left(\sum_{ij} \left(\frac{\Delta k/k}{\Delta w} \right)_{ij} \rho_{ij}^{Fuel} v_{ij}^{Fuel} \right) \right] \end{aligned}$$

$$+ \sum_{ij} \left(\frac{\Delta k/k}{\Delta w} s_{ij} \rho_{ij}^{str} v_{ij}^{str} \right) \Delta T_{inlet} \quad (2-2-36)$$

(2)-b 構造材膨張効果

被覆管膨張効果

軸方向膨張によって炉心内の構造材密度が減少する。これによる反応度効果は構造材密度係数を用いて次のように表される。

$$\frac{\Delta k/k}{\Delta T} = -\alpha_s \frac{F_{clad}}{F_t} \left(\frac{\Delta k/k}{\Delta \rho/\rho} \right)_s \quad (2-2-37)$$

α_s は構造材線膨張係数、 F_{clad} は被覆管体積分率、 F_t は全構造材体積分率である。

全構造材体積分率は集合体の全体積に対する全構造材体積の比であり、被覆管、ラッパー管、スペーサーワイヤーのそれぞれの体積分率の和で与えられる。

また、被覆管径方向の膨張は冷却材体積比を減少、従って冷却材密度を減少させる。よってナトリウム密度係数を用いれば投入反応度は、次式となる

$$\frac{\Delta k/k}{\Delta T} = -2\alpha_s \frac{F_{pin}}{F_{Na}} \left(\frac{\Delta k/k}{\Delta \rho/\rho} \right)_{Na} \quad (2-2-38)$$

ラッパー管膨張効果

被覆管軸方向膨張と同様の考え方により、ラッパー管膨張による投入反応度は構造材密度係数を用いて、

$$\frac{\Delta k/k}{\Delta T} = -\alpha_s \frac{F_{wfp}}{F_t} \left(\frac{\Delta k/k}{\Delta \rho/\rho} \right)_{Str} \quad (2-2-39)$$

となる。径方向膨張の効果はラッパー管内外で相殺とする。以上2つの効果により、構造材膨張による投入反応度は次のようになる。

$$\begin{aligned} \Delta k/k &= \sum_{ij} \alpha_s \left(\frac{F_{clad}}{F_t} \right)_{ij} \left(\frac{\Delta k/k}{\Delta w} \right)_{ij}^{str} \rho_{ij}^{clad} v_{ij}^{clad} \Delta T_{ij}^{clad} \\ &+ \sum_{ij} \alpha_s \left(\frac{F_{wfp}}{F_t} \right)_{ij} \left(\frac{\Delta k/k}{\Delta w} \right)_{ij}^{str} \rho_{ij}^{wfp} v_{ij}^{wfp} \Delta T_{ij}^{wfp} \\ &+ \sum_{ij} \alpha_s \left(\frac{F_{pin}}{F_{Na}} \right)_{ij} \left(\frac{\Delta k/k}{\Delta w} \right)_{ij}^{Na} \rho_{ij}^{Na} v_{ij}^{Na} \Delta T_{ij}^{Na} \end{aligned} \quad (2-2-40)$$

(2)-c 燃料膨張による形状効果

ラッパー管同様、径方向の膨張は均質組成に影響を与えないため反応度の変化はないものとし、軸方向のみの膨張を考慮する。燃料の軸方向膨張による反応度効果は燃料密度の減少と、燃料体積が増加することによる中性子漏洩の減少に起因する。前者は、既にSSCにモデル化されており、[1, 32] に詳しく述べてある。

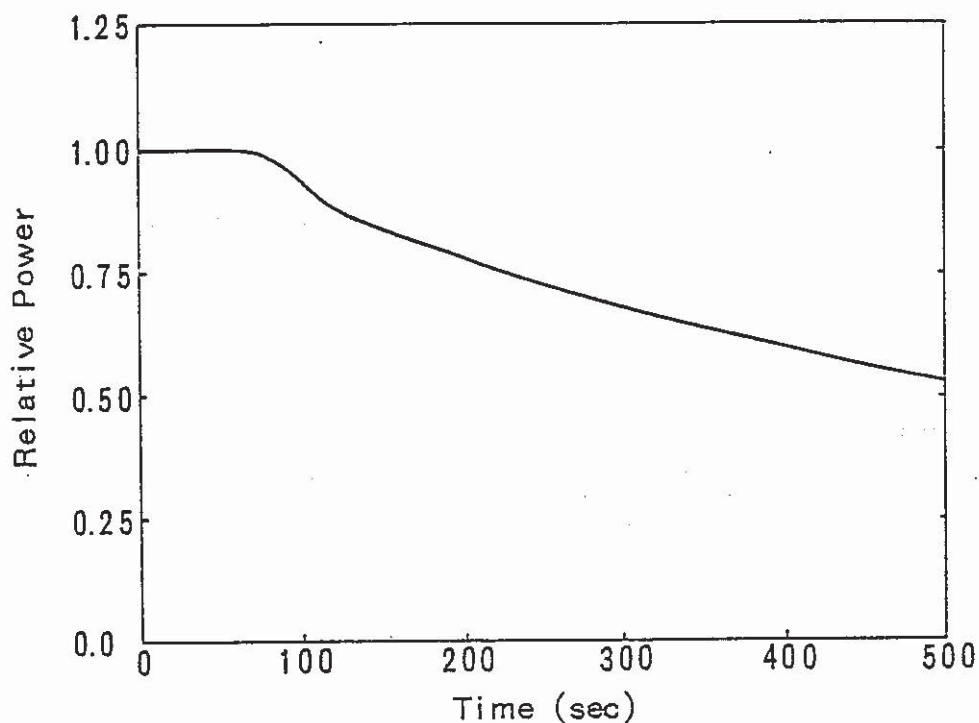


Figure 2-18 Relative value of the reactor power in the ULOHS event.

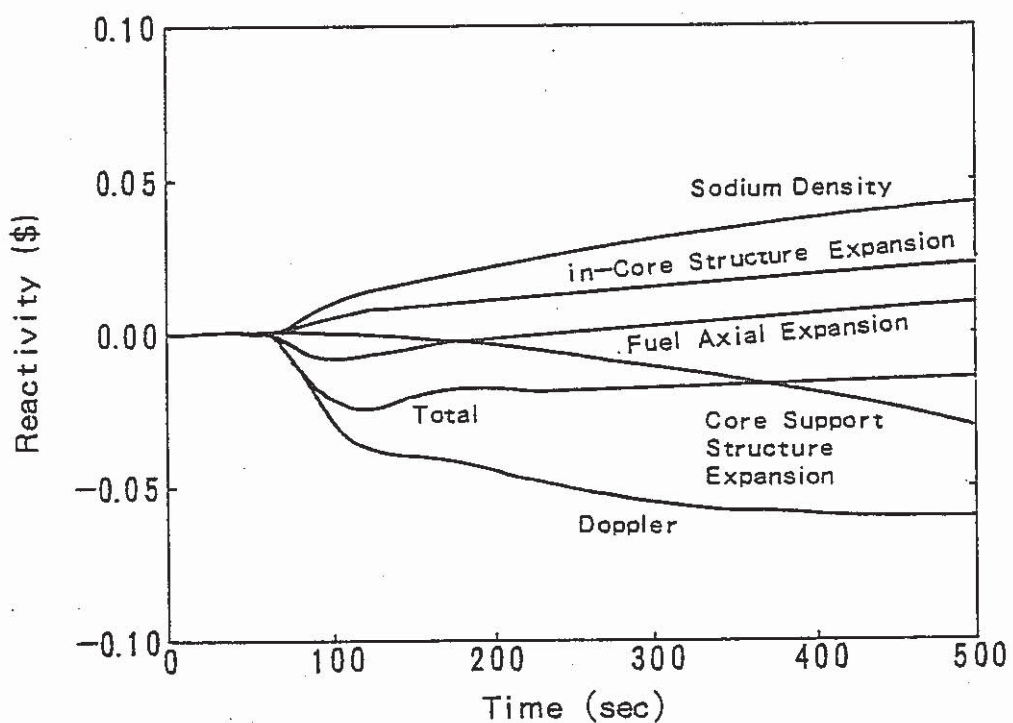


Figure 2-19 Reactivity insertion in the ULOHS event.

軸方向膨張による中性子漏洩の減少

中性子漏洩減少効果による投入反応度は、軸方向形状係数を用いて

$$\frac{\Delta k/k}{\Delta T} = -\alpha_c(T) \left(\frac{\Delta k/k}{\Delta H/H} \right) \quad (2-2-41)$$

と表わされる。 $\Delta H/H$ は炉心の軸方向膨張比率であるが、これは各チャンネル毎に異なっている。そこで各チャンネルの熱膨張量を計算し、その算術平均を用いる。

密度効果と合わせると燃料軸方向膨張による投入反応度は、

$$\begin{aligned} \Delta k/k &= \sum_{ij} \alpha_{c_{ij}}(T_{Fuel}) \left(\frac{F_{clad}}{F_t} \right)_{ij} \left(\frac{\Delta k/k}{\Delta w} \right)_{ij} \rho_{ij}^{str} v_{ij}^{clad} \Delta T_{ij}^{clad} \\ &+ \left(\frac{\Delta H}{H} \right)_{average} \left(\frac{\Delta k/k}{\Delta H/H} \right) \end{aligned} \quad (2-2-42)$$

(3) 例題

給水喪失を仮定した崩壊熱除去機能喪失時のスクラム失敗事故（U.L.O.H.S）を想定してプラント全体の挙動の解析を行った。炉心を 14 チャンネルに分割する。Figure 2-18 と 2-19 にそれぞれ S.S.C-L で計算した原子炉出力相対値と投入反応度の変化を示す。

2.3 原子炉熱輸送系の伝熱流動モデル

2.3.1 配管壁から周辺雰囲気への熱放散モデル

(1) はじめに

崩壊熱除去機能喪失（P.L.O.H.S）事故時には、配管系や原子炉容器、あるいは主循環ポンプや中間熱交換器などの主冷却系機器と周辺雰囲気間における対流と輻射による熱伝達が、究極的なきわめて信頼性の高い固有の除熱源として期待できる。ただし、熱バランス設計は、本来、定常運転時における熱損失を最小化するべく行われるため、除熱容量としては多くを期待することはできない。従って、この様な熱放散によるヒートシンクは、崩壊熱除去機能としては、冷却材温度上昇率をわずかに緩和する程度の効果を持つにすぎないと考えられる。

しかし、原子炉停止後、十分に時間が経過すれば（例えば10時間以上）、原子炉崩壊熱レベルは低下しているため、この熱放散の影響は無視できなくなる。一例として、崩壊熱除去系の使命時間をいくらにするかという判断を行う場合を考えてみる。例えば原型炉もんじゅの場合では、Figure 2-20 に示されるように、20時間後には定格出力のおよそ 0.7%、30日後にはおよそ 0.1% 程度まで原子炉崩壊熱レベルは低下している。従って、この様な条件下では、必ずしも熱放散を無視できないため、崩壊熱除去系の使命時間を議論する上では、熱放散を考慮しておくべきである。

また、長期間にわたって、格納容器内立ち入りが困難であるなどの運転員の接近性が損なわれている事故においては、極めて有力で信頼のおける除熱源として期待できる。

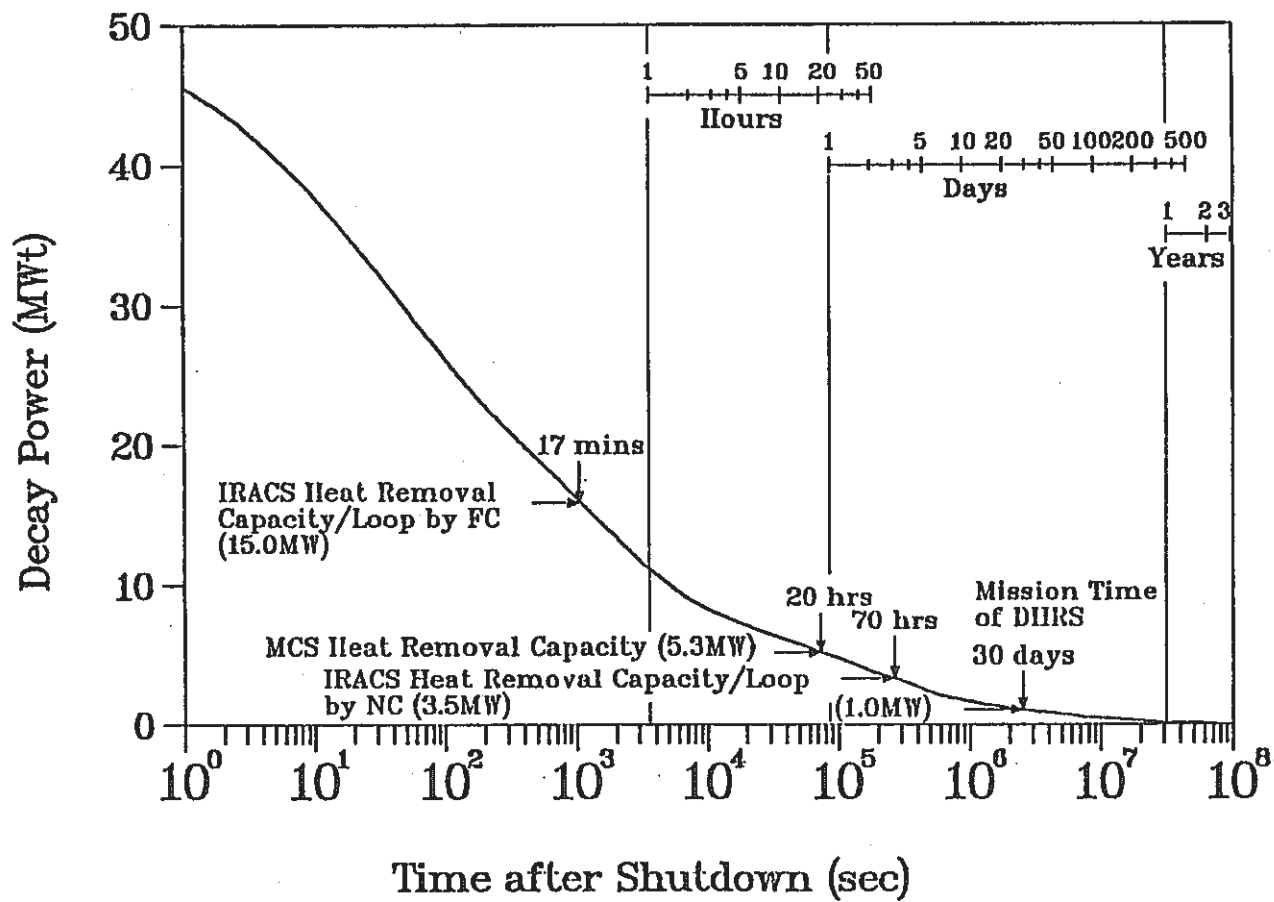


Figure 2-20 Fission product decay heat for Monju.

この様な観点からは、定常運転時の温度条件では熱伝導度が小さく熱損失を最小限に食い止め、一方で P L O H S 事故時の高温条件においては熱伝導特性が向上して熱放散を促進させるような材質の保温材も利用されている。この熱放散をモデル化し、S S C - L に組み込むことによって、P L O H S 事故時の冷却材温度上昇率をどれだけ抑制できるかを定量的に評価する手段を整備した。

(2) S S C - L の冷却材と配管壁温度の評価方法

S S C - L が開発される以前には、システムコードの原子炉熱輸送系のモデルとしては単純な輸送遅れ法が利用されていた。輸送遅れ法とは、熱輸送系の長さ(冷却材が輸送される距離)を冷却材流速で除した値の時間遅れを持って冷却材温度が下流側に伝えられて行くとするモデルである。この方法は、単純であるが、熱輸送系の高低差に基づく自然循環力が必ずしも正確に評価されないという欠点がある。そこで、S S C - L では離散的パラメータ法を用いている[1]。この方法は以下の利点を持っている。

- ① 冷却材温度は配管の出入口間の距離による輸送時間遅れ以外の要因によっても変化する。
- ② 热輸送系内の詳細な温度分布を評価することによって、自然循環力をより精度良く評価することが可能である。

以下に S S C - L の冷却材と配管壁温度の評価手法(離散的パラメータ法)を示す。

(基礎方程式)

冷却材

$$\bar{\rho}_i A \Delta X \frac{d e_{i+1}}{d t} = W (e_i - e_{i+1}) - (UA)c_w (\bar{T}_i - T_w)_i \quad (2-3-1)$$

配管壁

$$(M_w c_w)_i \frac{d T_w_i}{d t} = (UA)c_w (\bar{T}_i - T_w)_i \quad (2-3-2)$$

ここで、

A : 流路断面積 ($= \pi D_i^2 / 4$)

$A c_w$: 冷却材と配管壁の伝熱面積

c_w : 配管壁の比熱

e_i : 接点*i*におけるエンタルピー

T_i : 接点*i*における冷却材温度

\bar{T}_i : 接点*i*と*i+1*の冷却材平均温度 ($= (T_i + T_{i+1}) / 2$)

T_w_i : 接点*i*における配管壁温度

$(UA)c_w$: 冷却材と配管壁の全熱伝達率

M_w : 配管壁の質量 w : 冷却材質量流量 $\bar{\rho}_i$: 接点*i*と*i+1*における冷却材平均密度

また、Figure 2-21 には、配管中の接点の指定方法を示す。ここでは、スタガードメッシュを用いている。

(差分解法)

ここでは、陰解法を用いている。ただし、熱流束（すなわち(2-3-2)式の右辺の項）は陽に求まるとしている。差分方程式は、

$$\bar{\rho}_i^k A \Delta X \frac{e_i^{k+1} - e_i^k}{\Delta t} = w_{k+1} (e_i^{k+1} - e_{i+1}^{k+1}) \quad (2-3-3)$$

$$(M_w C_w)_i^k \frac{T_w_i^{k+1} - T_w_i^k}{\Delta t} = (UA) c_w^k (\bar{T}_i^k - T_w_i^k) \quad (2-3-4)$$

ここで、上付き添字*k*と*k+1*はそれぞれ前の時刻と新しい時刻を示す。

(3) 配管壁から周辺雰囲気への熱放散モデル

冷却材から配管壁と保温材への熱伝達や、周辺雰囲気への熱放散を考慮する場合には、(2-3-1)式と(2-3-2)式に変わって以下の基礎方程式を用いればよい。

(基礎方程式)

冷却材

((2-3-1)式と同じ)

配管壁

$$(M_w C_w)_i \frac{d T_w_i}{d t} = (UA) c_w (\bar{T}_i - T_w_i) - (UA) w_a (T_w_i - T_a) \quad (2-3-5)$$

周辺雰囲気

$$(M_a C_a) \frac{d T_a}{d t} = F (UA) w_a (T_w_i - T_a) \quad (2-3-6)$$

ここで

 $(UA) w_a$: 配管壁周辺雰囲気との全熱伝達率 T_a : 周辺雰囲気の温度 M_a : 周辺雰囲気の気体の質量 w : 冷却材質量流量 C_w : 配管壁の比熱 F : 周辺雰囲気の温度計算を行う場合の境界条件因子 ($0 \leq F \leq 1$)

$F = 0.0$ ならば、等温条件（周辺雰囲気の温度は空調系によって一定値に保たれる）

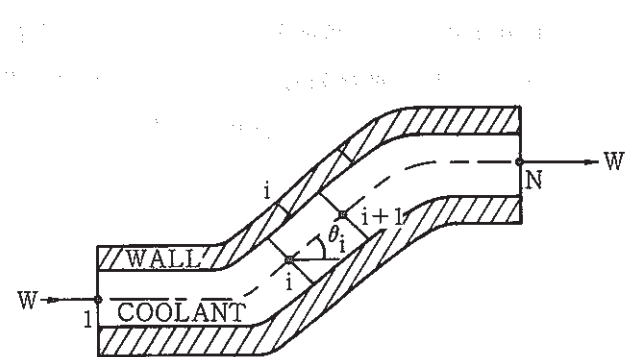


Figure 2-21 Nodal points in the fluid and the wall of a pipe element.

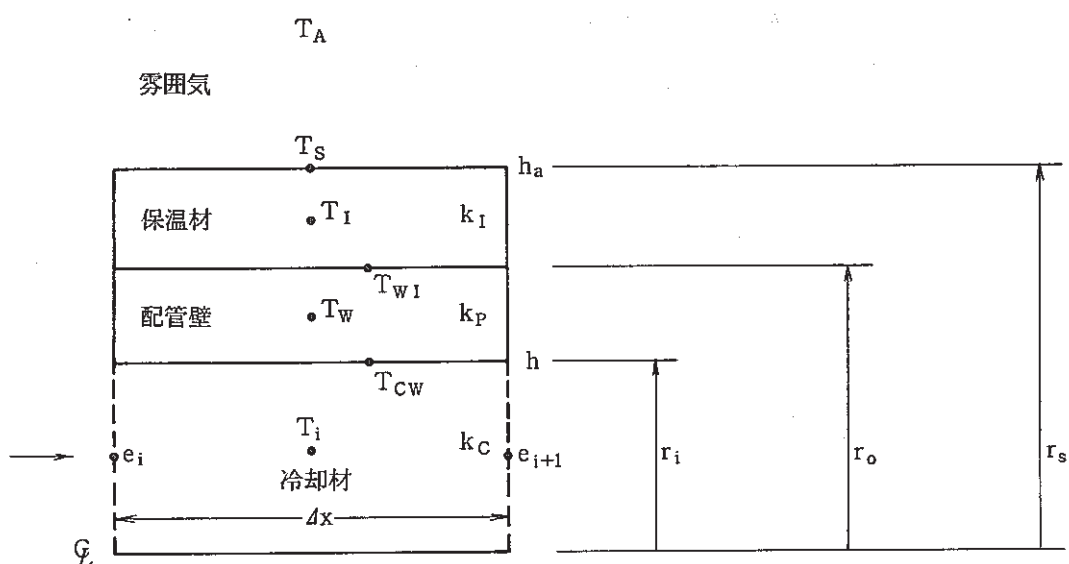


Figure 2-22 Modeling of the heat losses through the piping wall and insulator.

$F = 1.0$ ならば、断熱条件（周辺雰囲気の熱容量のみが考慮される）

この定式化においては、保温材の熱容量は無視しており、また周辺雰囲気とコンクリート構造との熱伝達は考慮していない。境界条件因子 F は周辺雰囲気からの空調系による除熱量を調節できるように導入している。例えば、 $F = 0.0$ （等温条件）の場合には、空調系によって、主冷却系室の温度が一定値に保たれているような条件を実現する。一方、 $F = 1.0$ （断熱条件）の場合には空調系が故障しているなどの理由により、周辺雰囲気から除熱されることなく、その熱容量のみが考慮される。

（差分方程式）

冷却材

((2-3-3)式と同じ)

配管壁

$$(M_w C_w)_i^k \frac{T_w^{k+1} - T_w^k}{\Delta t} = (UA)_{cw}^k (\bar{T}_i^k - T_w^k) - (UA)_{wa} (T_w^k - T_a^k) \quad (2-3-7)$$

周辺雰囲気

$$(M_a C_a)^k \frac{T_a^{k+1} - T_a^k}{\Delta t} = \sum_i \{ F (UA)_{wa}^k (T_w^k - T_a^k) \} \quad (2-3-8)$$

以上において、 $(UA)_{cw}$ と $(UA)_{wa}$ を求める手順を以下に示す。

Figure 2-22に示すように、配管及び保温材をモデル化する。保温材の熱流束を無視すれば、配管壁から保温材への熱流束と保温材から周辺雰囲気への熱流束は互いに等しい($= q$ とする)。配管壁と保温材の熱伝導率を、それぞれ k_p 、 k_I 、冷却材と配管壁間の熱伝達率を h 、保温材と周辺雰囲気の熱伝達率を h_a とすれば以下の式が成り立つ。

$$\bar{T}_i - T_{cw} = q / (2\pi \Delta X r_i h) \quad (2-3-9)$$

$$T_{cw} - T_w = q \ln \left\{ \frac{r_i + r_o}{2r_i} \right\} / (2\pi \Delta X k_p) \quad (2-3-10)$$

$$T_w - T_{wI} = q \ln \left\{ \frac{2r_o}{r_i + r_o} \right\} / (2\pi \Delta X k_p) \quad (2-3-11)$$

$$T_{wI} - T_I = q \ln \left\{ \frac{r_o + r_s}{2r_o} \right\} / (2\pi \Delta X k_I) \quad (2-3-12)$$

$$T_I - T_s = q \ln \left\{ \frac{2r_s}{r_s + r_o} \right\} / (2\pi \Delta X k_I) \quad (2-3-13)$$

$$T_s - T_a = q / (2\pi \Delta X r_s h_a) \quad (2-3-14)$$

(2-9)式と(2-10)式を加えることにより、

$$\bar{T}_i - T_w = \frac{q}{2\pi \Delta X} \left\{ \frac{1}{r_i h} + \frac{1}{k_p} \ln \frac{r_i + r_o}{2r_i} \right\} \quad (2-3-15)$$

一方、(2-3-11)から(2-3-15)式を加えると、

$$T_w - \bar{T}_i = \frac{q}{2\pi \Delta X} \left\{ \frac{1}{k_p} \ln \frac{2r}{r_i + r_o} + \frac{1}{k_I} \ln \frac{r_s}{r_o} + \frac{1}{r_s h_a} \right\} \quad (2-3-16)$$

従って、

$$\frac{1}{(UA)_{cw}} = \frac{1}{2\pi \Delta X} \left\{ \frac{1}{r_i h} + \frac{1}{k_p} \ln \frac{r_i + r_o}{2r_i} \right\} \quad (2-3-17)$$

$$\frac{1}{(UA)_{wa}} = \frac{1}{2\pi \Delta X} \left\{ \frac{1}{k_p} \ln \frac{2r_o}{r_i + r_o} + \frac{1}{k_I} \ln \frac{r_s}{r_o} + \frac{1}{r_s h_a} \right\} \quad (2-3-18)$$

(4) 物性値

保温材に関しては、以下の式 [35] を用いる。なお、 k_p と h には、SSC-Lで用いている関数をそのまま使用する。

保温材の熱伝導率 k_I

$$k_I = 0.003 + 10^{-4} T_I + 2.10 \times 10^{-10} T_I^3 \quad [\text{W/mK}] \quad (2-3-19)$$

保温材と周辺雰囲気間の対流と輻射による熱伝達率 h_a

$$h_a = h_{conv} + h_{rad}$$

$$= 0.8512(T_s - T_a)^{0.25} + 2.3035 \times 10^{-9} (T_s^4 - T_a^4) / (T_s - T_a) \quad (2-3-20)$$

(5) 定常解と非定常解の求め方

定常においては、周辺雰囲気は一定温度であり、全ての非定常項を0とおけば以下のように解を求めることができる。

冷却材 (2-3-1)式

$$W (e_i - e_{i+1}) - (UA)_{cw} (\bar{T}_i - T_{wi}) = 0 \quad (2-3-21)$$

配管壁 (2-3-5)式

$$(UA)_{cw} (\bar{T}_i - T_{wi}) - (UA)_{wa} (T_{wi} - T_a) = 0 \quad (2-3-22)$$

周辺雰囲気 (2-3-6)式

$F = 0.0$ であるため、周辺雰囲気温度は入力により与える。

(2-3-21)式と、(2-3-22)式で、 $(UA)_{cw}$ は、 \bar{T}_{wi} , T_i に依存し、 $(UA)_{wa}$ は、 T_{wi} , T_i , T_s , T_a に依存している。従って、解を得るためにFigure 2-23に示される手順の反復解法が必要である。

非定常解の求め方は、保温材の熱容量を無視していること、熱流束は陽に求まると仮定していることから、Figure 2-24に示すように簡単になる。

(6) 解析例

典型的なループ型プラントにおいて、時刻 $t=0$ で全電源喪失等によって主循環ポンプトリップを想定する。このときに、同時に全ての中間熱交換器における除熱が行われなくなる事象を例題として解析した。ボニーモータ引継は行われず、自然循環とする。事象の進展を以下に示す。

Time (Sec)	事象
0.0	全ループ主循環ポンプトリップ、IHX除熱停止
0.9	1次主循環ポンプ回転数低により自動スクラム信号発生
2.0	原子炉自動スクラム

ただし、主冷却系配管室の温度は一定 ($F = 0.0$) とする。

Table 2-3に解析例の入力データを示す。Figure 2-25とFigure 2-26にそれぞれ定常(定格運転)状態における1次系、2次系ループの温度分布をそれぞれ示す。定格時には配管の放熱の影響はほとんどみられない。すなわち定常状態では、1次系で 0.02°C 、2次系で 0.07°C 低下するのみである。

Figure 2-27に原子炉容器出入口温度の変化を示す。図中には、放熱効果を無視した場合の計算結果も併せて示す。両者を比較すれば、104秒で原子炉容器出口温度が約 10°C 低くなっている。また、温度上昇率は約18%小さくなっている。Figure 2-28に1次系の自然循環流量を示す。配管壁からの放熱を考慮することによって、約20%流量が増加する。Figure 2-29には、内側炉心燃料集合体の温度分布を示す。Figure 2-27から、原子炉容器出口の冷却材温度が 650°C に至るのは 1.2×104 秒(3.3時間)であり、放熱効果を無視する場合には2.8時間になる。

2.3.2 原子炉容器ガードベッセルと仕切り機構モデル

原子炉容器入口配管の破断事故解析の結果、ガードベッセル仕切り機構が炉内冷却材の逆流や沸騰の防止に有効であることが知られている。そこで、SSC-Lに仕切り機構とガードパイプを模擬するモデルを追加した。Figure 2-30に原子炉容器ガードベッセルとガードパイプ及び仕切り機構モデルを示す。配管破断が発生すると冷却材はガードパイプ中へ流出する。その一部は仕切り機構を通ってガードベッセル中へ流れ込むが、その流量は仕切り機構の流路抵抗によって制限される。一方、ガードパイプが冷却材で満たされると、上部のオーバーフローラインよりガードベッセルに流入する。このようなモデルに対して次式が成立する。

$$P_B = P_A + \rho g Z_V + C W_V | W_V | \quad (2-3-23)$$

$$P_B = P_A + \rho g Z_P \quad (2-3-24)$$

P_A と P_B はそれぞれ雰囲気圧力、破損配管外部圧力、 Z_V はガードベッセル液位、 Z_P はガード

Table 2-3 Input data for the heat losses model through the piping wall.

Thickness of the insulator in PHTS piping	0.3 m
Thickness of the insulator in SHTS piping	0.3 m
Atmosphere temperature for the PHTS	300.0 K
Mass of the gas in PHTS atmosphere	290.0 kg

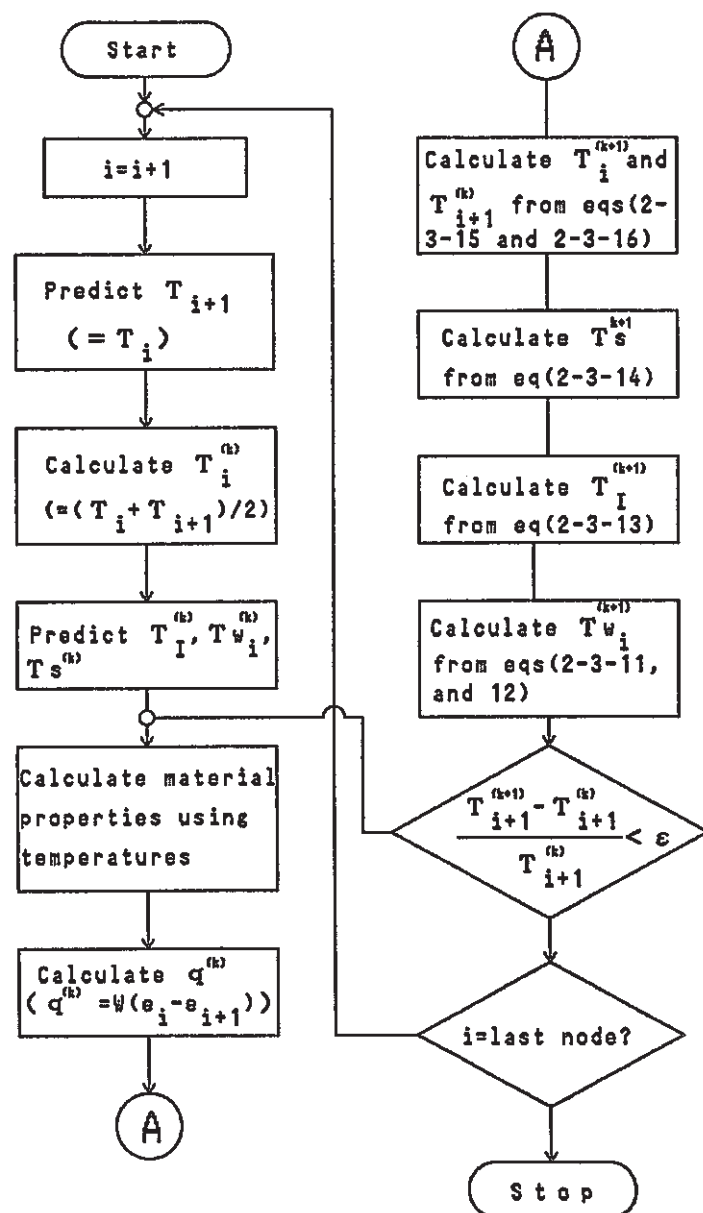


Figure 2-23 Flow chart for the steady state temperature calculation in heat transport system.

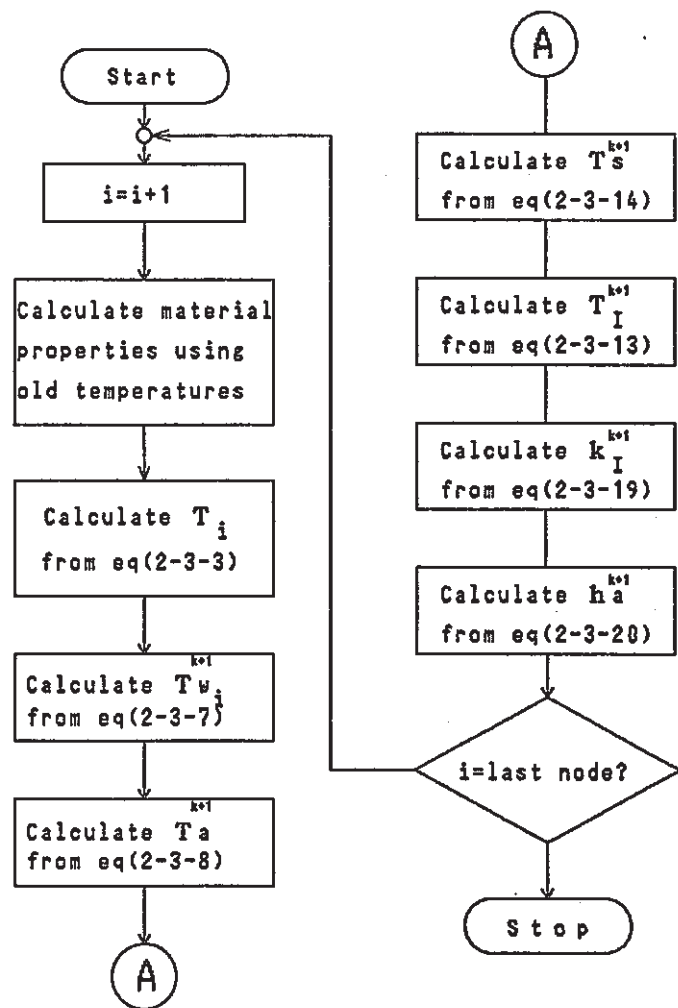


Figure 2-24 Flow chart for the transient temperature calculation in heat transport system.

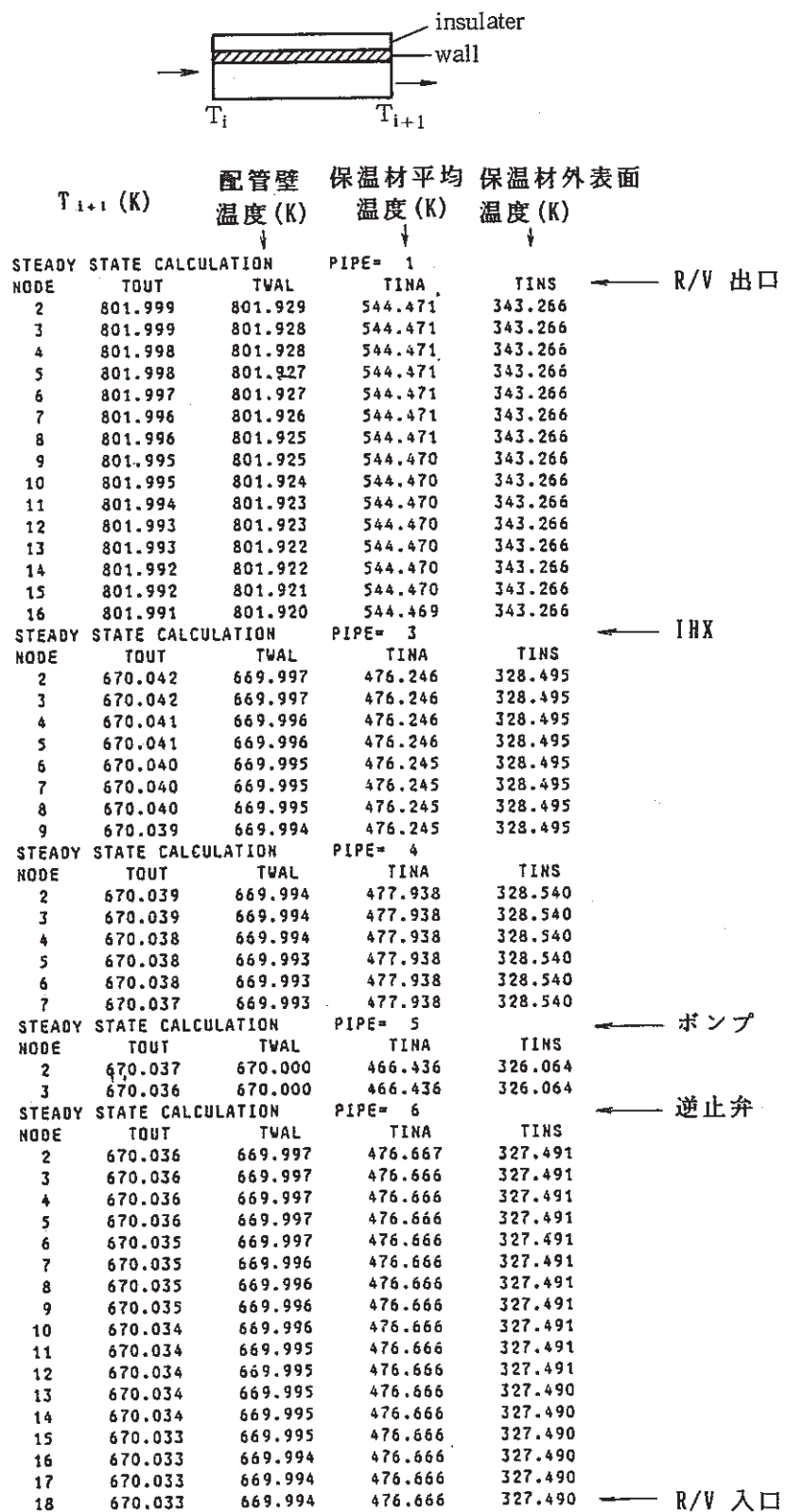


Figure 2-25 Steady state temperature distribution in the primary heat transport system calculated by the heat losses model.

	T_{i+1} (K)	配管壁 温度 (K)	保温材平均 温度 (K)	保温材外表面 温度 (K)	
INTERMEDIATE LOOP PIPE= 1					
NODE	TOUT	TWAL	TINA	TINS	← IHX 出口
2	790.529	790.472	523.496	337.884	
3	790.525	790.468	523.495	337.884	
4	790.521	790.464	523.494	337.884	
5	790.517	790.460	523.492	337.883	
6	790.513	790.456	523.491	337.883	
7	790.509	790.452	523.490	337.883	
8	790.505	790.448	523.489	337.883	
9	790.501	790.444	523.488	337.882	
10	790.497	790.440	523.487	337.882	
11	790.493	790.436	523.485	337.882	
12	790.489	790.432	523.484	337.882	
INTERMEDIATE LOOP PIPE= 2					
NODE	TOUT	TWAL	TINA	TINS	← ACS 分岐点
2	790.486	790.428	524.683	338.146	
3	790.484	790.426	524.682	338.146	
4	790.481	790.423	524.682	338.146	
5	790.479	790.421	524.681	338.146	
INTERMEDIATE LOOP PIPE= 3					
NODE	TOUT	TWAL	TINA	TINS	← SG
2	597.999	597.969	436.197	320.345	
3	597.999	597.969	436.196	320.345	
4	597.999	597.969	436.196	320.345	
INTERMEDIATE LOOP PIPE= 4					
NODE	TOUT	TWAL	TINA	TINS	← POFC
2	597.999	597.969	435.434	320.210	
3	597.998	597.968	435.434	320.210	
INTERMEDIATE LOOP PIPE= 5					
NODE	TOUT	TWAL	TINA	TINS	← ミキシングティー (ACS戻り)
2	597.998	597.968	436.352	320.310	
3	597.997	597.967	436.352	320.310	
4	597.997	597.967	436.352	320.310	
5	597.996	597.966	436.352	320.310	
6	597.996	597.966	436.351	320.310	
INTERMEDIATE LOOP PIPE= 6					
NODE	TOUT	TWAL	TINA	TINS	← ポンプ
2	597.995	597.966	434.227	319.990	
3	597.993	597.964	434.226	319.990	
4	597.992	597.963	434.226	319.990	
5	597.991	597.962	434.226	319.990	
6	597.990	597.961	434.225	319.990	
7	597.988	597.959	434.225	319.990	
8	597.987	597.958	434.225	319.990	
9	597.986	597.957	434.224	319.990	
10	597.985	597.956	434.224	319.990	
11	597.983	597.954	434.224	319.990	
12	597.982	597.953	434.223	319.990	
13	597.981	597.952	434.223	319.990	
14	597.980	597.951	434.222	319.990	
15	597.978	597.949	434.222	319.989	
16	597.977	597.948	434.222	319.989	← IHX 入口

Figure 2-26 Steady state temperature distribution in the secondary heat transport system calculated by the heat losses model.

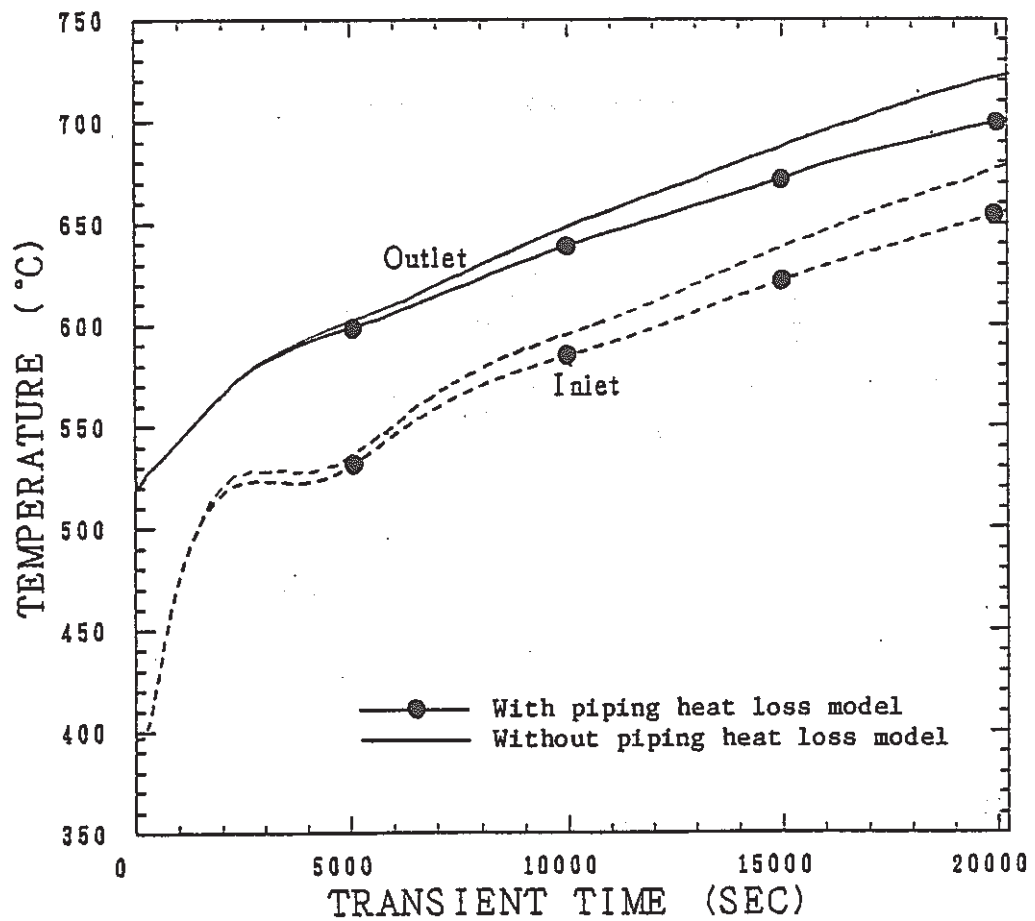


Figure 2-27 Reactor inlet and outlet temperatures.

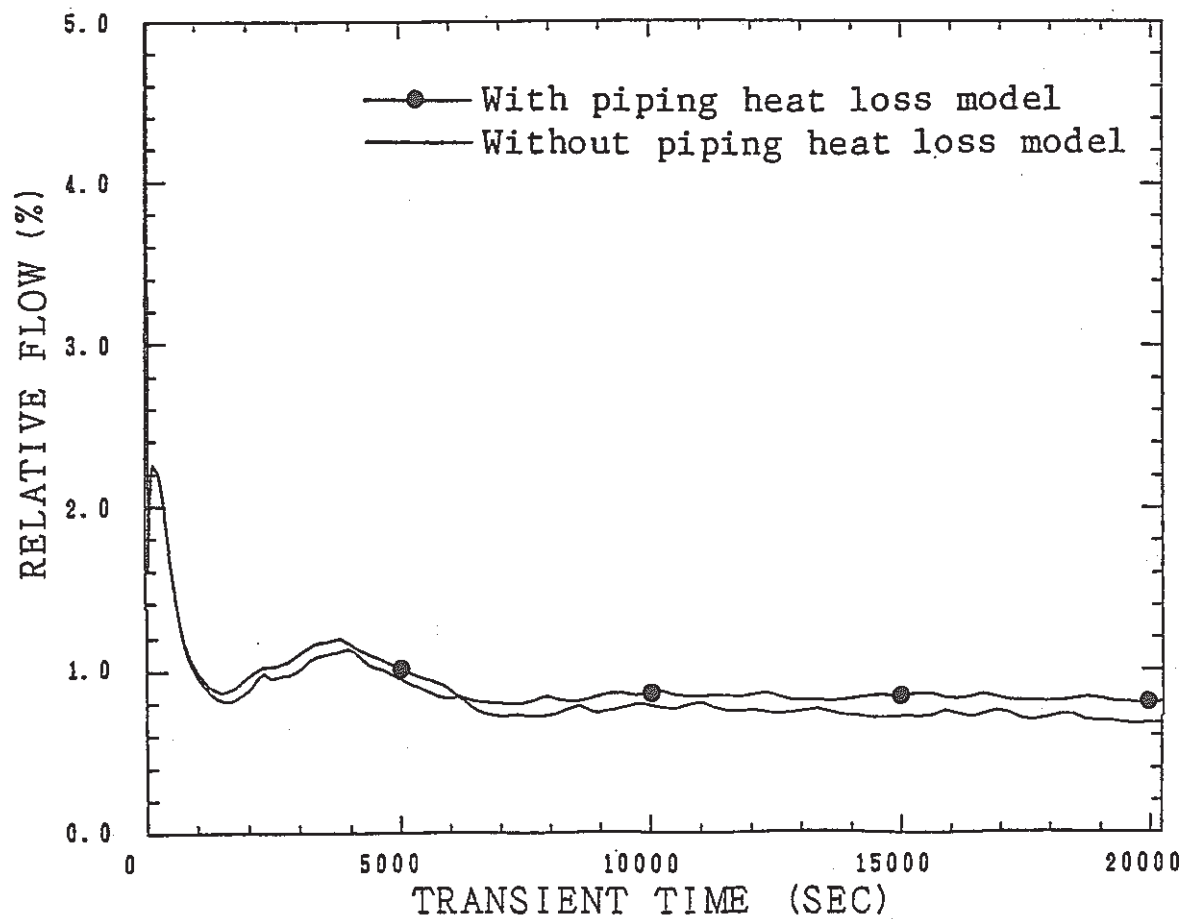


Figure 2-28 Normalized total core flow rate.

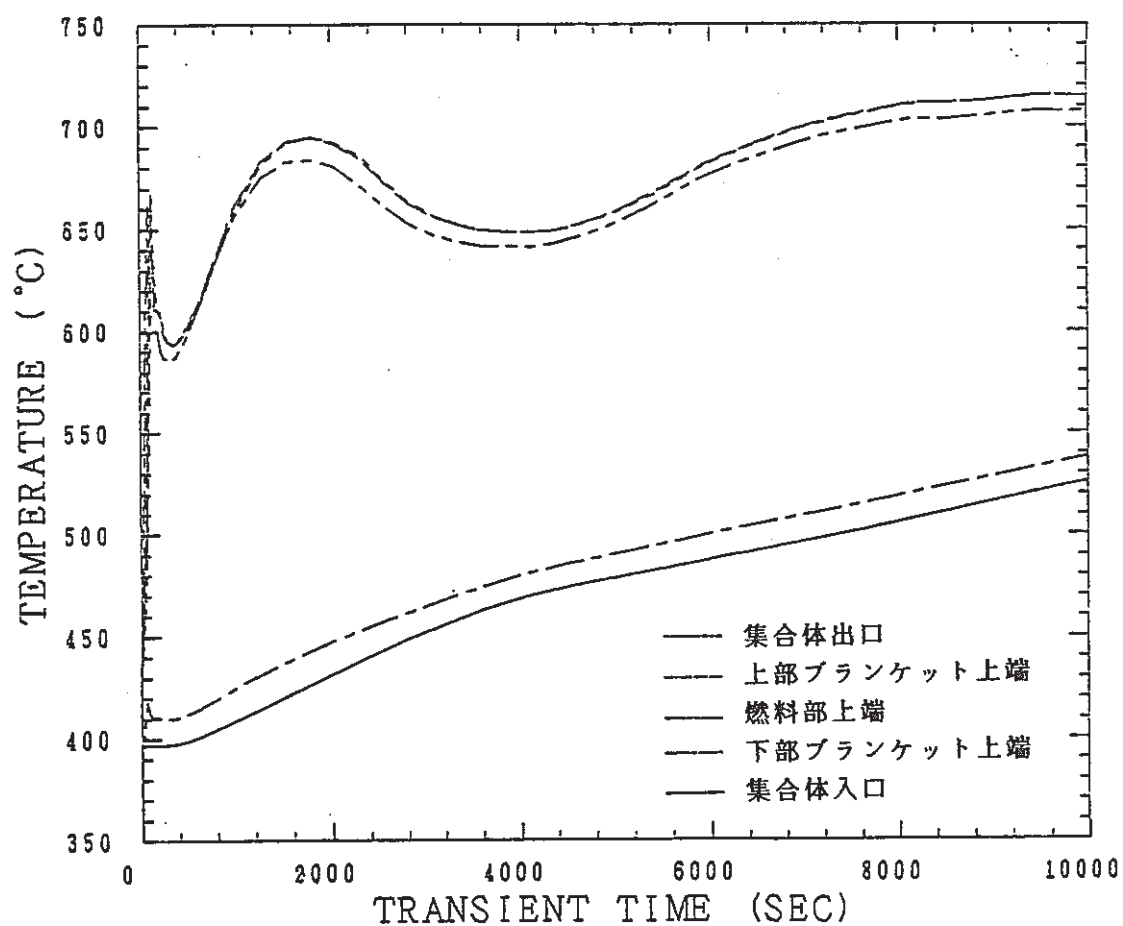


Figure 2-29 Coolant temperature at various axial locations of channel 1.

パイプ液位、 W_V は仕切り機構を通ってガードパイプからガードベッセルへ流入する流量、 ρ と g はそれぞれ冷却材密度と重力加速度である。仕切り機構の圧力損失係数 C は Figure 2-31 に示されるように、仕切り機構と原子炉容器の隙間 d と仕切り機構の内径 D を用いて、以下の通りに与えられる。隙間の面積 A は

$$A = \pi d D \quad (2-3-25)$$

圧損係数 C は

$$C = 1 / (2 \rho A^2) \quad (2-3-26)$$

で与えられる。質量の保存の関係から、

$$\frac{d V_V}{d t} = \frac{1}{\rho} (W_V + W_F) \quad (2-3-27)$$

$$\frac{d V_P}{d t} = \frac{1}{\rho} (W_P - W_V - W_F) \quad (2-3-28)$$

$$W_P = W_I - W_0 \quad (2-3-29)$$

が成立する。 W_P は破損部からの漏洩流量、 W_F はガードパイプからガードベッセルへのオーバーフロー流量、 W_I は配管破損部の上流側流量、 W_0 は下流側流量である。 V_V と V_P はそれぞれガードベッセルとガードパイプ中の冷却材体積であり、 Z_V と Z_P の多項式、または表形式で入力データによって与えられる。オーバーフローラインの高さを Z_{max} とすれば、

$Z_P < Z_{max}$ のとき

$$W_F = 0 \quad (2-3-30)$$

$Z_P > Z_{max}$ のとき

$$W_P > W_V \text{ ならば } W_F = W_P - W_V \quad (2-3-31)$$

$$W_P < W_V \text{ ならば } W_F = 0 \quad (2-3-32)$$

が成り立つ。Figure 2-32に1次系のオリジナルモデルと改良モデルを比較して示す。

2.3.3 配管破断モデル

配管破損モデルは、本来 S S C - L に組み込まれている Confined Flow モデルと Free Jet モデルを併用している。このモデルに関しては文献 [36] に詳しい。ここではこのモデルに関する、行なわれた修正についてのみ述べる。

S S C - L では主冷却系配管の角度を入力データとして読み込んでいる（入力データ NALOOP の Record 1101～の R1SIN と、Record 1201～の R2SIN、3.3.1 節参照）。それを用いて配管の高低差を計算し、重力圧損（即ち自然循環力）を求める。配管破損があるときには、当該ループの配管要素数が増えるため、サブルーチン RSET1T で R1SIN を、RSET2T で R2SIN の値をそれぞれ設定しなおしている。ところが、プログラムのバグにより健全ループの第一配管（segment）

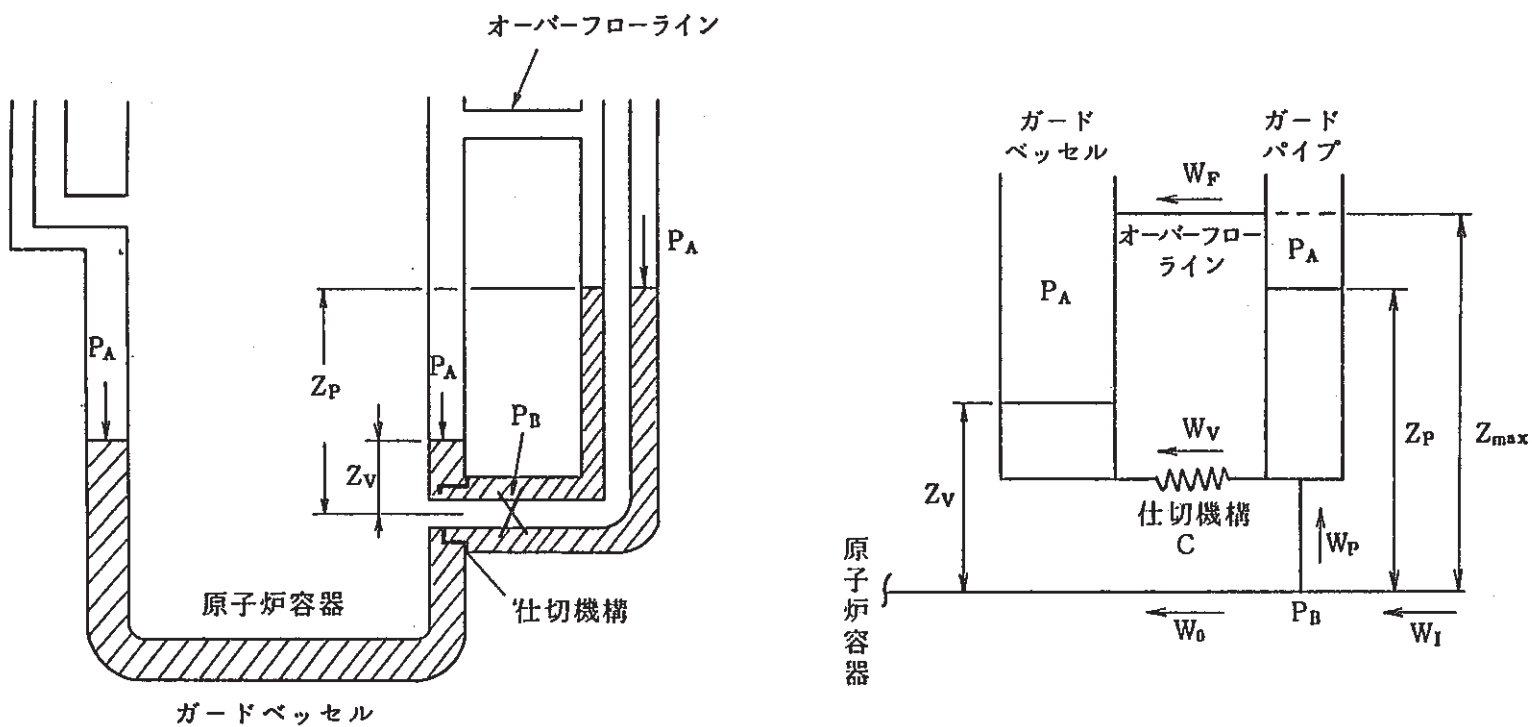


Figure 2-30 Reactor guard vessel and guard pipe modeling.

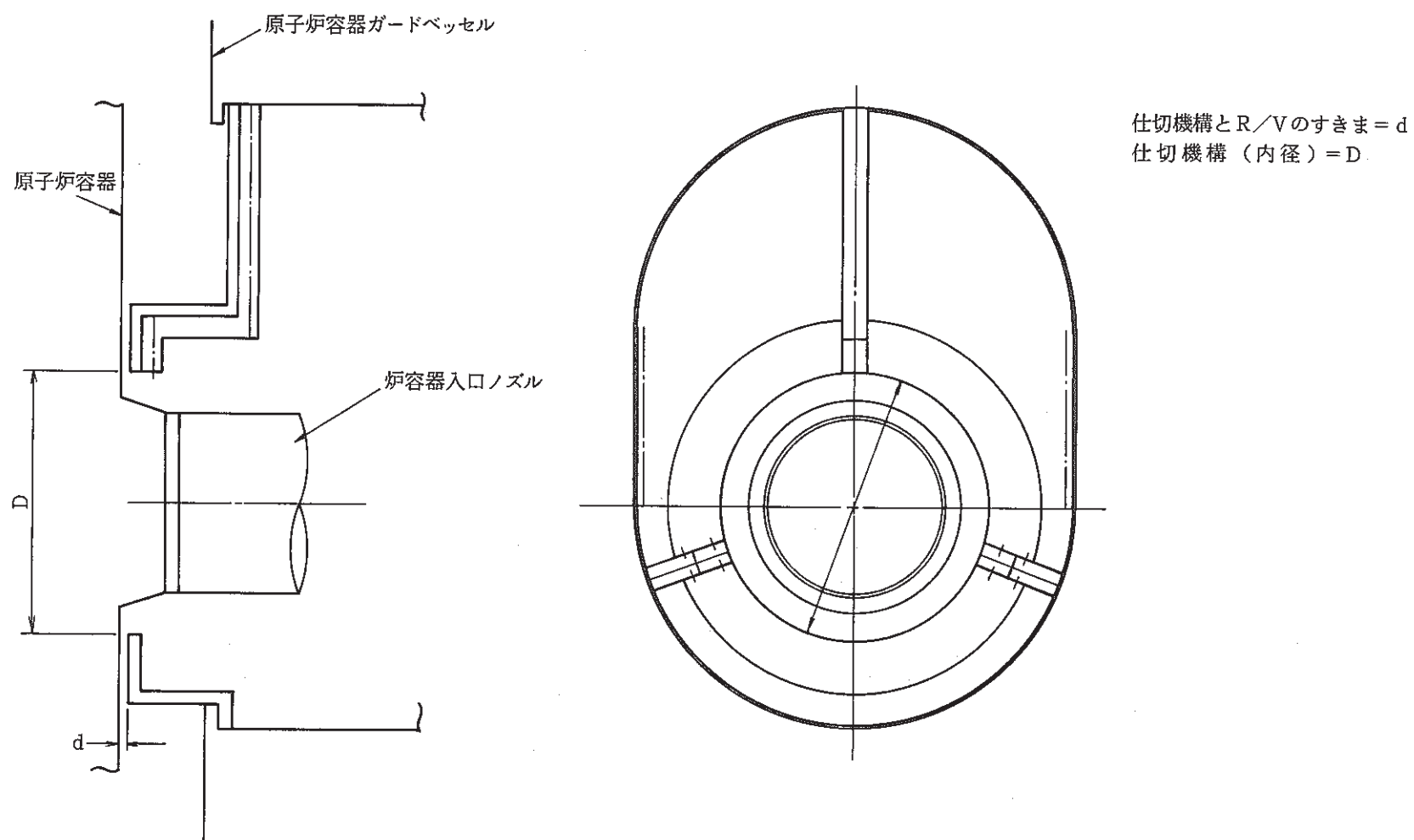


Figure 2-31 Separation structure of reactor guard vessel from guard pipe.

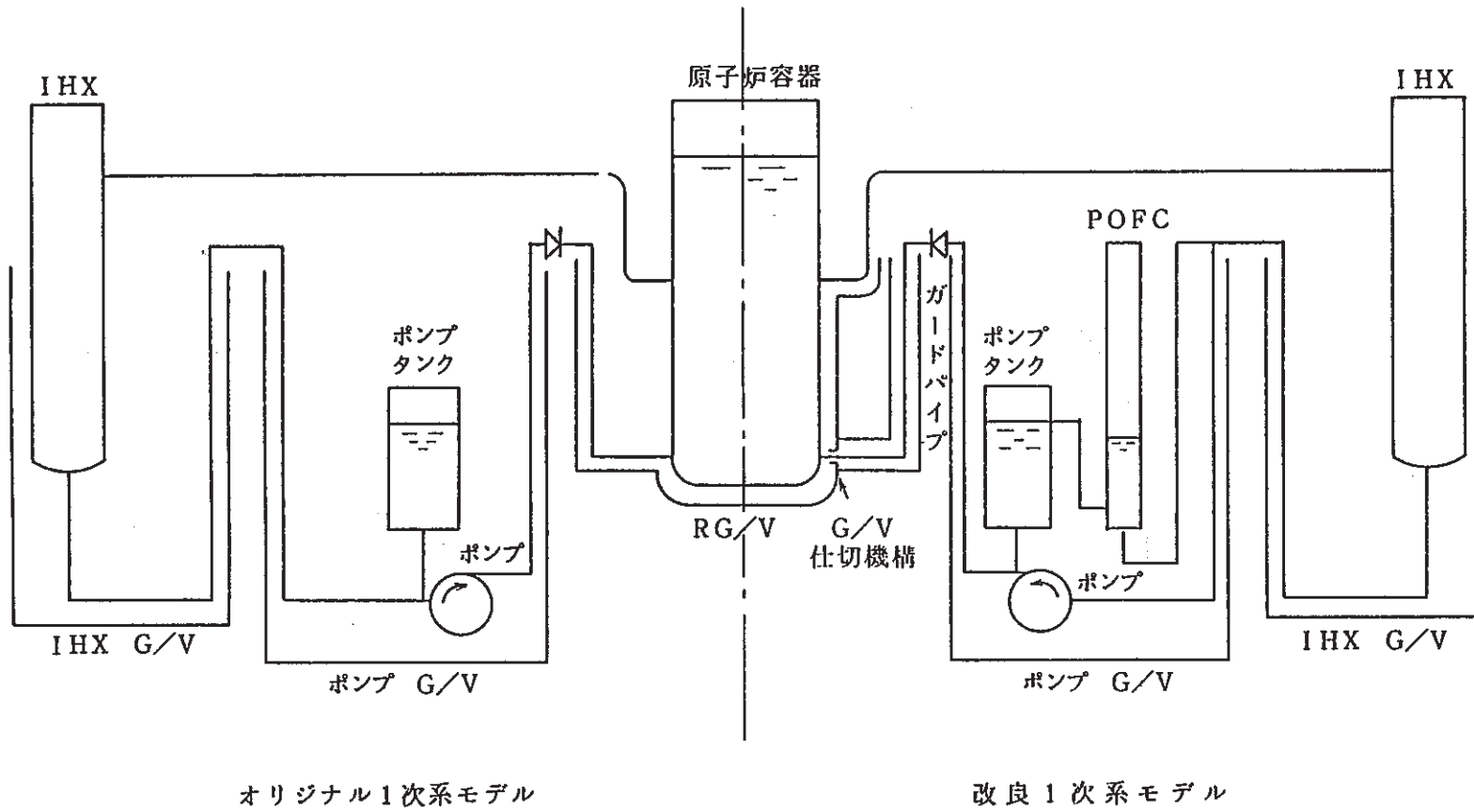


Figure 2-32 Comparison of the original and improved modeling of PHTS.

のR1SIN(R2SIN)に、常に0.0が代入されていることが分かった。

Table 2-4に配管の分割を示す。第一配管は15要素に分割されている。分割された各要素のR1SINの計算値をTable 2-5に示す。Table 2-5から分かるように、破損ループと健全ループで、第一要素のR1SINの値が異なっている。そこで、自然循環状態における浮力は破損ループで、 3.426×10^4 Pa、健全ループで 2.818×10^4 Paとなっている。自然循環では、この浮力がループ全体の圧力損失に占める割合が極めて大きい。そこで、Figure 2-33に示されるように60秒付近から、健全ループの流量が破損ループの流量を上回り、このまま両者は一致しない。この図は、原子炉容器入口配管の破断時の1次系冷却材流量変化を示すものである。この原因であるバグを修正した結果、Figure 2-34に示される冷却材流量変化が得られた。

次に、SSC-Lの配管破損モデルでは、①小漏洩の解析に多くの計算時間がかかり、実質的に解析不能である、②漏洩が停止した後にタイムステップが極めて小さくなり、計算を続行することができない、の2点の問題があった。①を解決するために、冷却材の逆流がない場合に限って利用できる配管破損モデルを開発した。これにより、従来のモデルと全く同じ計算結果を与えながら、計算時間は、数十分の一から数百分の一に短縮された。②については、従来モデル、新しく開発したモデルの両方に適用できる手法を開発した。その結果、配管破損事故から、冷却材の漏洩停止後の崩壊熱除去までを一貫して解析できるようになった。これらのモデルの詳細と解析結果については、文献[40]を参照されたい。

2.3.4 原子炉熱輸送系の過渡事象のモデル化

高速炉の安全評価においては原子炉熱輸送系の過渡事象を想定して各種解析が行なわれる。本節には、これらの事象想定を解析コード上で模擬していく方法について述べる。

(1) 中間熱交換器における除熱源喪失

中間熱交換器で除熱源が喪失する事象を解析することができる。この想定は、2次系や崩壊熱除去系の異常を最も保守的（安全側）に包絡している。必要な入力データとしては、ネームリストNOIHXでS9LOHSを入力する。S9LOHSは除熱ができなくなる絶対時刻を示す。時刻S9LOHS以降は、伝熱管と2次系ナトリウムの熱伝達率を0として計算を進める。この事象を模擬しない場合には、S9LOHSに十分大きい数字を入れておけば良い。

(2) 蒸気発生器における除熱源喪失

蒸気発生器で除熱源が喪失する事象を解析することができる。この想定は、給水喪失やターピントリップなどの水蒸気系に起因する異常を最も保守的（安全側）に包絡している。必要な入力データとしては、ネームリストNOIHXでS9NOSGを入力する。S9NOSGは除熱ができなくなる絶対時刻を示す。時刻S9NOSG以降は、伝熱管と水系の間の熱伝達率を0として計算を進める。この事象を模擬しない場合には、S9NOSGに十分大きい数字を入れておけば良い。

Table 2-4 Primary loop node number.

Loop	Pipe segment number	Location of the pipe segment		Number of pipe elements
		From	To	
Intact loop	1	Reactor Vessel	IHX inlet	15
	2	IHX inlet	IHX outlet	25
	3	IHX outlet	POFC	8
	4	POFC	Primary pump	6
	5	Primary pump	Check valve	2
	6	Check valve	Reactor vessel	17
Broken loop	1	Reactor Vessel	IHX inlet	15
	2	IHX inlet	IHX outlet	25
	3	IHX outlet	POFC	8
	4	POFC	Primary pump	6
	5	Primary pump	Check valve	2
	6	Check valve	Pipe break	16
	7	Pipe break	Reactor vessel	1

Table 2-5 Value of R1SIN in the first pipe segment of primary loop used in the evaluation of the natural circulation force.

Element number	R1SIN (Broken Loop)	R1SIN (Intact Loop)
1	0.3221	0.0
2	1.0000	1.0000
3	0.2947	0.2947
4	0.0165	0.0165
5	0.0165	0.0165
6	0.0165	0.0165
7	0.0165	0.0165
8	0.0165	0.0165
9	0.0165	0.0165
10	0.0165	0.0165
11	0.0165	0.0165
12	0.0165	0.0165
13	0.0165	0.0165
14	0.0165	0.0165
15	0.0165	0.0165

— 99 —

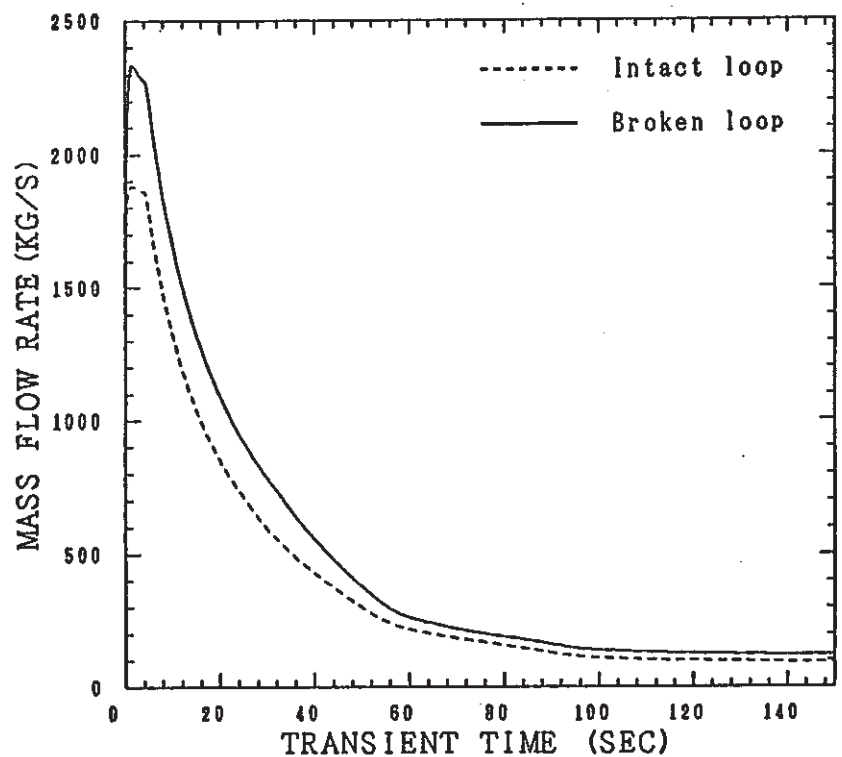


Figure 2-34 Coolant mass flow rate at the reactor outlet nozzle.
(after debugging)

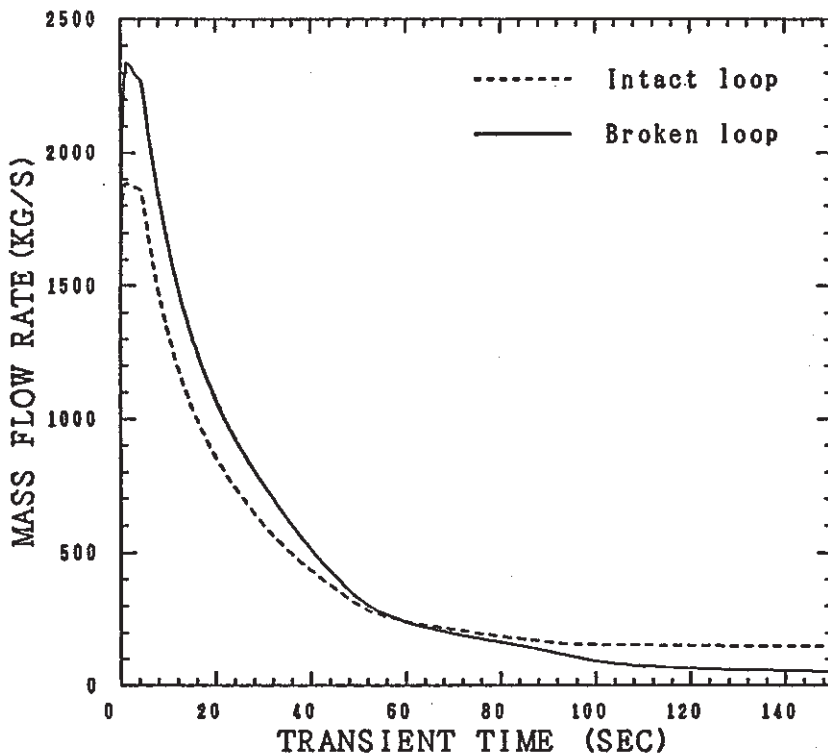


Figure 2-33 Coolant mass flow rate at the reactor outlet nozzle.
(before debugging)

(3) I R A C S における除熱源喪失

I R A C S の空気冷却器で除熱源が喪失する事象を解析することができる。この想定は、空気冷却器のダンパーやベーンの開失敗による空気流量喪失を最も保守的（安全側）に包絡している。必要な入力データとしては、ネームリスト ACS で LOADBA と S2LOAF を入力する。LOADBA に負値を入力すればこの事象が模擬される。S2LOAF には除熱ができなくなる絶対時刻を入力する。これらの入力は各ループで独立に設定できる。時刻 S9LOAF 以降は、伝熱管と空気の間の熱伝達率を 0 として計算を進める。この事象を模擬しない場合には、LOADBA に正值を入れておけば良い。

(4) I R A C S の空気冷却器出口止め弁開失敗

特にもんじゅの崩壊熱除去系の解析をするために、I R A C S の空気冷却器出口止め弁と出口止め弁バイパス弁をモデル化した（2.5.3-(4) 参照）。通常は I R A C S の起動と同時に自動的に出口止め弁は開けられる。必要な入力データとしては、ネームリスト ACS で LOADBA と S2BVOP を入力する。LOADBA が 1 の場合には、この正常な操作が模擬される。LOADBA が 2 か 3 のときには出口止め弁開に失敗したと想定する。この場合には、S2BVOP でバイパス弁を手動により開ける時刻を指定する。LOADBA=2 の時には時刻 S2BVOP に手動によりバイパス弁が開けられる。LOADBA=3 の時にはバイパス弁は開けられず、初期の開度（もんじゅの場合にはおよそ 50%）が維持される。

(5) 冷却ループの喪失

ポンプスティックなどが発生すれば、瞬時に熱輸送系の冷却材流量は低下すると考えられる。これらの 1 次熱輸送系の冷却材循環能力が喪失して、一部のループから炉心に全く冷却材が供給されない事象の解析を可能にするために、改良を加えている。この場合には、原子炉容器内の圧力が変化するため、健全なループの流量は若干増加する。必要な入力データとしては、ネームリスト ACS で S2LHTS と F10RGN, F1FINL を入力する。これらのデータはループ毎に独立に指定できる。S2LHTS では冷却ループが喪失する時刻を入力する。F10RGN ではその解析対象ループが代表している実際のループ数の初期値を入力する。F1FINL には S2LHTS 後にその解析対象ループ数がいくつになるかを入力する。例えば、4 ループプラントで、事故ループ 1 と健全ループ 3 で解析をしているとき、健全ループの内 1 ループでポンプスティックがあったと想定する。このとき、F10RGN には 1, 3 と入力し、F1FINL には 1, 2 と入力すれば、この事象が解析されることになる。このような事象想定をしない場合には、S2LHTS に十分に大きい数字を入れておくか、または F10RGN と F1FINL に同じ数字を入れておけば良い。

(6) 強制循環冷却能力の喪失

1次熱輸送系でボニーモータによる強制循環崩壊熱除去運転を継続しているときに、なんらかの理由により、ボニーモータが停止する事象 [28] を解析することができる。必要な入力データとしては、ネームリストNOIHXでS9PMSPを入力する。S9PMSPはボニーモータが停止する絶対時刻を示す。時刻S9PMSP以降は、自然循環力のみが作用する。この想定を行なわない場合には、S9PMSPに十分大きい数字を入れておけば良い。

2.4 中間熱交換器モデルの改良

2.4.1 はじめに

SSC-Lの中間熱交換器(IHX)モデルの特徴は、以下の通りである。

- (1)軸方向には、ユーザーが指定する任意の数のメッシュに分割できる。
- (2)熱伝達率などの物性値は温度に依存し、各メッシュ毎に計算される。
- (3)1次系については、伝熱に寄与しないバイパス流を考慮できる。
- (4)1次系、2次系ともに完全混合の出入口プレナムをモデル化している。
- (5)半径方向には4節点(1次系冷却材、伝熱管、1次系冷却材、シェル壁)
- (6)構造材中の軸方向熱伝導は無視する。
- (7)十分に発達した対流熱伝達を仮定する(入口の影響は無視する)。

これらの特徴はFigure 2-35に示されている。基礎方程式を差分化するときには、構造材に関しては計算セルの中心を温度定義点とし、冷却材では、セルの端点に温度定義点を持つスタガードメッシュが採用されている。また、基礎方程式を解くに当たっては、冷却材によって輸送されるエネルギーは陰に、構造材との伝熱量は陽に取り扱われている。

自然循環や除熱源喪失事象の解析などにおいては、数値解析上、不都合が生じることがある。例えば、崩壊熱除去系起動失敗を仮定した条件においては、熱輸送系内の冷却材温度分布が均一に近くなるため、自然循環力が小さくなる。従って、冷却材の逆流や1次系と2次系の流量不均衡が生じる。このような状況では、IHX内の温度分布は非線型性が強くなるため、要素の代表温度を節点温度の単純(相加)平均で求めると、数値解析誤差が大きくなるだけでなく、極めて詳細に要素分割しない限り数値不安定になることが分かっている。

そこで、単純平均ではなく、対数平均温度差の考え方に基づいて要素の代表温度を求めることによって、これらの問題点を解決した。さらに、反復解法をともなう完全陰解法を用いることによって、計算時間が大幅に短縮された。

2.4.2 基礎方程式と解析モデル

中間熱交換器における伝熱計算モデルは、以下の基礎方程式に基づいている。即ち、次のエネルギー保存則が成立する。

(1次系冷却材)

$$(\rho V)p \frac{d}{dt} (E p_{i+1}) = W p' (E p_i - E p_{i+1}) - Q pt - Q pw \quad (2-4-1)$$

(2次系冷却材)

$$(\rho V)s \frac{d}{dt} (E s_i) = W s (E s_{i+1} - E s_i) + Q ts \quad (2-4-2)$$

(伝熱チューブ)

$$(M C)t \frac{d}{dt} (T t_i) = Q pt - Q ts \quad (2-4-3)$$

(胴側シェル構造材)

$$(M C)_w \frac{d}{dt} (T w_i) = Q pw \quad (2-4-4)$$

(1次系→伝熱チューブの伝熱量)

$$Q pt = (U A)pt (\bar{T} p_i - T t_i) \quad (2-4-5)$$

(1次系→シェル構造材への伝熱量)

$$Q pw = (U A)pw (\bar{T} p_i - T w_i) \quad (2-4-6)$$

(2次系→伝熱チューブへの伝熱量)

$$Q ts = (U A)ts (T t_i - \bar{T} s_i) \quad (2-4-7)$$

ここで

 ρV 要素内の冷却材質量 E エンタルピー W 冷却材流量 $M C$ 構造材の熱容量 T 温度 \bar{T} 冷却材の要素平均温度 Q 単位時間あたりの伝熱量 U 热伝達率(単位面積当り) A 伝熱面積

であり、添字は以下の意味を持つ。

 p 1次側 s 2次側 t 伝熱管側構造材 w 胴(シェル)側構造材 i 空間ノード

S S C - L では(2-4-1)から(2-4-8)式を解くのに、いわゆる半陰解法を用いている。冷却材によって輸送されるエネルギーは陰的に処理され、構造材などへの伝熱量は陽的に評価される。半陰解法では(2-4-5)から(2-4-7)式のQを求めるときには、前時刻の温度や物性値を用いる。ここでは、以下の通り、完全陰解法を用いて上式を差分化するよう改良した。Figure 2-35に示されるスタガードメッシュを用いれば差分式は以下の通りになる。

(1次系冷却材)

$$(\rho V)p(E p_{i+1}^{n+1} - E p_i^n) = \Delta t [Wp' (E p_i^{n+1} - E p_{i+1}^{n+1}) - Q_{pt}^{n+1} - Q_{pw}^{n+1}] \quad (2-4-9)$$

(2次系冷却材)

$$(\rho V)s(E s_i^{n+1} - E s_i^n) = \Delta t [Ws (E s_{i+1}^{n+1} - E s_i^{n+1}) + Q_{ts}^{n+1}] \quad (2-4-10)$$

(伝熱チューブ)

$$(MC)t(T t_i^{n+1} - T t_i^n) = Q_{pt}^{n+1} - Q_{ts}^{n+1} \quad (2-4-11)$$

(シェル構造材)

$$(MC)_w(T w_i^{n+1} - T w_i^n) = Q_{pw}^{n+1} \quad (2-4-12)$$

(1次系→伝熱チューブへの伝熱量)

$$Q_{pt}^{n+1} = (UA)_{pt}^{n+1} (\bar{T}_p^{n+1} - T t_i^{n+1}) \quad (2-4-13)$$

(1次系→シェル構造材への伝熱量)

$$Q_{pw}^{n+1} = (UA)_{pw}^{n+1} (\bar{T}_p^{n+1} - T w_i^{n+1}) \quad (2-4-14)$$

(2次系→伝熱チューブへの伝熱量)

$$Q_{ts}^{n+1} = (UA)_{ts}^{n+1} (\bar{T}_s^{n+1} - T t_i^{n+1}) \quad (2-4-15)$$

$$E = f(T) \quad (2-4-16)$$

ここで添字 i は空間ノードを、添字 n は時間ノードを表わす。Δ t は計算時間ステップである。

(2-4-16)式はエンタルピーと温度を関係付ける構成式である。

ここで、準定常状態を仮定する。E ∝ T とすると次式が成立する。

$$\frac{(UA)ps}{\Delta x} (T s - T p) = |Wp'| + \frac{\partial E_p}{\partial x} = |Wp'| + C_p \frac{\partial T_p}{\partial x} \quad (2-4-17)$$

$$\frac{(UA)ps}{\Delta x} (T s - T p) = |Ws| + \frac{\partial Es}{\partial x} = |Ws| + C_s \frac{\partial T_s}{\partial x} \quad (2-4-18)$$

ただし、ここでは、向流の時に1次系、2次系とともに流量は正であると仮定していることに注意を要する。これは、以下の議論でも同様である。ただし、以下の議論は、向流だけでなく、並行流の場合にも成立するものである。従って、解析の途中で、冷却材の逆流があったとしても、本解法を適用する上で問題はない。

1次系から2次系への熱伝達率は次式で与えられる。

$$\frac{1}{(U A)_{ps}} = \frac{1}{(U A)_{pt}} + \frac{1}{(U A)_{st}} \quad (2-4-19)$$

(2-4-17)と(2-4-18)式の差をとると

$$\frac{\partial(T_p - T_s)}{\partial x} = \frac{(U A)_{ps}}{\Delta x} \left(\frac{1}{W_s | C_s} - \frac{1}{W_p' | C_p} \right) (T_p - T_s) \quad (2-4-20)$$

ここで

$$C \equiv \frac{(U A)_{ps}}{\Delta x} \left(\frac{1}{W_s | C_s} - \frac{1}{W_p' | C_p} \right) \quad (2-4-21)$$

$$\Delta T \equiv T_p - T_s \quad (2-4-22)$$

(2-4-20)式を解くと

$$\Delta T = \Delta T_{in} \exp(-Cx_i) \exp(Cx) \quad (2-4-23)$$

$$\Delta T_{out} = \Delta T_{in} \exp(C\Delta x) \quad (2-4-24)$$

従って要素平均温度差は

$$\Delta T_{av} = \frac{\int_{x_i}^{x_{i+1}} \Delta T dx}{\int_{x_i}^{x_{i+1}} dx} = \Delta T_{in} \frac{\{\exp(C\Delta x) - 1\}}{C\Delta x} \quad (2-4-25)$$

$$\Delta T_{av} = \alpha \Delta T_{in} + (1 - \alpha) \Delta T_{out} \quad (2-4-26)$$

$$\alpha = -\frac{1}{C\Delta x} - \frac{\exp(C\Delta x)}{1 - \exp(C\Delta x)} \quad (2-4-27)$$

ここで α は 0 と 1 の間の数値を取る。

次に、ここに示した方法は対数平均温度差の考え方と同一のものであることを示す。

(2-4-23)式によって計算セル内の温度分布が表わされるとき、

$$\ln(\Delta T_{out}) = \ln(\Delta T_{in}) + C\Delta x \quad (2-4-28)$$

対数平均温度差は、次式で定義される。

$$\Delta T_{1m} = \frac{\Delta T_{in} - \Delta T_{out}}{\ln(\Delta T_{in}) - \ln(\Delta T_{out})} \quad (2-4-29)$$

一方、(2-4-24)と(2-4-25)式より、

$$\Delta T_{av} = \frac{\Delta T_{in} - \Delta T_{out}}{-C\Delta x} = \Delta T_{1m} \quad (2-4-30)$$

即ち、 ΔT_{1m} と ΔT_{av} は一致する。ここに示す方法は、定常に近い条件でのみ成立するが非常の場合でも熱収支は保たれている。ここで考慮している、高速炉の熱交換器では、出入口のプレナムにおける混合効果により、急激な熱過渡条件が直接に伝熱部に伝えられない。また、一般に自然循環条件では、低流量・低発熱であることから非定常項の寄与は小さい。これらから判断して、この仮定は成立すると考えられる。

Figure 2-36 に I H X の計算セル内の冷却材温度分布と平均温度差の求め方を示す。構造材の温度定義点は、計算セルの中心にある。一方、冷却材の温度定義点は、セルの両端にある。(2-4-13)から(2-4-15)式の伝熱量Qを求めるためには、冷却材セルの代表温度を求めなければならない。ある計算セルの両端の1次側及び2次側の冷却材温度がそれぞれ T_{p_i} と T_{s_i} 及び $T_{p_{i+1}}$ と $T_{s_{i+1}}$ であるとする。1次側と2次側の冷却材温度差をそれぞれ ΔT_{in} と ΔT_{out} とする。従来の方法では、 ΔT_{in} と ΔT_{out} の単純平均を取って、 ΔT_c をこの計算セルの代表温度差であるとしている。ところが、Figure 2-36 の実線に示されるような温度分布をしているときには、温度差の平均値は ΔT_{av} になる。従って、計算セルを α と $1 - \alpha$ に内挿する点を(2-4-27)式によって求めておけば、より精度の高い解析が可能となる。

(2-4-21)式で定義されるCと α の関係をFigure 2-37 に示す。 $C \rightarrow \infty$ では $\alpha \rightarrow 1$ 、 $C \rightarrow -\infty$ では $\alpha \rightarrow 0$ に収束する。 $C \rightarrow 0$ では $\alpha \rightarrow 0.5$ であるが、 $C = 0$ の時には α は不定となる。このように $0 \leq \alpha \leq 1$ の関係が保証されている。

Figure 2-38 には、1次系と2次系の流量比と α の関係を示す。1次系、2次系ともに順流の場合($W_p > 0$ かつ $W_s > 0$)には、以下のことが言える。1次系と2次系の流量比がほぼ等しいときには、 α は0.5に近い値となる。すなわちこの場合には、(2-4-30)式は単純平均による ΔT_c と一致する。1次系の流量が多ければ、 α は1に近づく。このことは、2次系の冷却材は、このセルにはいると直ちに2次側入口(1次側出口)付近で熱交換を終えてしまい、1次系温度に近づくことを意味する。従って、平均温度は2次系の出口に近い点(即ち α が1に近い点)で定義される。一方、2次系の流量が多ければ、 α は0に近づく。この場合には、1次系の冷却材はセルに流入すると直ちに2次系の温度にはほとんど近くなる。従って、平均温度は1次系の出口に近い点(即ち α が0に近い点)で定義される。1次系、2次系ともに逆流している場合($W_p < 0$ かつ $W_s < 0$)には、Figure 2-38 に示されるとおり、逆の傾向となる。2次系のみが逆流している場合($W_p > 0$ かつ $W_s < 0$)には、流量比が0あるいは $-\infty$ に近づくと α は0に近づく。その中間で、各々の流量に応じて、 α は0.5に近づくが $C < 0$ であるため、0.5以上にはならない。1次系のみが逆流している場合($W_p < 0$ かつ $W_s > 0$)には、流量比が0あるいは $-\infty$ に近づくと α は1に近づく。その中間で、各々の流量に応じて、 α は0.5に近づくが $C > 0$ であるため、0.5以下にはならない。

2.4.3 時間積分法

Figure 2-39に時間積分法を示す。先ず1次熱輸送系の温度計算を行なう。従来の方法では、冷却材の流れる方向に沿って計算を進めるマーチング法を用いている。従って、先ずI H Xの上流側の計算を行ない、次いで、I H X、I H Xの下流側の計算を行なう。この方法を用いているため、2次系への伝熱量は、前時刻の値を用いた、半陰解法が使用される。1次系の計算が終了すれば、2次熱輸送系の温度計算が行なわれる。2次系でも1次系と同様に上流側から計算を進めていく。1次系からの伝熱量は前時刻の値に基づいて計算する。

新たに採用した完全陰解法では、マーチング法を用いる点は共通であるが、1次系と2次系

を同時に解いている点が異なる。即ち、IHXへの入口境界条件を与える側の温度を先ず計算する。例えば、1次系、2次系ともに順流の場合には、1次系のホットレグ側と2次系のコールドレグ側を先ず計算する。その結果、IHXの一次側と二次側の入口境界条件を得て、それを用いてIHXの伝熱計算を行なう。このとき、完全陰解法とするために、収束判定と反復計算を行なっている。IHXの温度分布が収束した後に、プレナムの混合計算によって出口境界条件を求める。その結果を用いて、1次系のコールドレグ、2次系のホットレグの温度計算を行なう。当然逆流している場合には解く方向が逆になることは、通常のマーチング法と同様である。Figure 2-39は1次系も2次系も順流の場合のフローチャートである。

この改良の結果、反復計算をともなうため、1タイムステップ当たりの計算時間は増加するが、タイムステップそのもの (Δt) を大きく取れるため、全計算時間は大幅に減少する。Table 2-6 に両解法の計算時間を比較して示す。この解析は、主循環ポンプトリップ、原子炉スクラム後に崩壊熱除去系の起動に失敗する事象の解析である。自然循環によって、炉心から除熱されるが、除熱源がないため、系の温度は徐々に上昇する。解析時間は、24時間のシミュレーションである。従来の方法では、計算時間は実時間に比べて1/5.7であったが改良モデルでは、1/10.4に高速化されている。実時間の10倍以上の計算速度で解析が可能であるということは、システムコードとしても十分に計算速度は速いと考えてよい。

2.4.4 解析例

もんじゅ相当のループ型高速炉における崩壊熱除去機能喪失事象の解析例を示す。起因事象は、電源喪失などによる主循環ポンプトリップである。1次系主循環ポンプ回転数低によって、原子炉はスクラムする。その後、原子炉保護系からの信号によって、蒸気発生器隔離弁を閉じ、補助炉心冷却系の止め弁を開けられる。これらの操作によって、補助炉心冷却系が起動し、崩壊熱除去運転にはいる。本解析では、ここで、補助炉心冷却系の空気冷却器の起動に失敗し、除熱源喪失が発生すると仮定する。除熱源喪失を想定するため、熱輸送系は全般に高温になるとともに、温度差は小さく均一な温度分布に近くなる。従って、自然循環力は小さく、冷却材流量が確保されにくい。また、1次系と2次系の温度差も小さい。このような状況であるため、冷却材の逆流や、1次系と2次系の流量不整合が生じ易く、また実際にこのような状況が解析されている。

Figure 2-40とFigure 2-41にそれぞれ、初期定常状態におけるIHXの温度分布を改良モデルによって計算した結果と、従来のモデルによって計算した結果を示す。初期の1次系と2次系の流量比は0.73である。図中には、IHX出入口温度の設計値も示す。改良モデルによる結果では、IHXで入口温度が設計値と良く一致している。従来のモデルによって計算した結果では、2次系の冷却材温度が高めに解析されており、IHXの出入口温度が設計値と一致しない。

Figure 2-42とFigure 2-43 にそれぞれ、960秒(16分)におけるIHXの温度分布を改良モデルによって計算した結果と、従来のモデルによって計算した結果を示す。1次系と2次系の

流量比は改良モデルでは0.81、従来モデルでは0.84である。1次系と2次系の流量はバランスしており、なめらかな温度分布が解析されている。2次系の温度を高めに評価している点は、Figure 2-41と同様である。この時点では、従来モデルの解析結果に特に不都合な結果は現れていない。

およそ30分程度より、従来モデルによる解析結果には数値振動が現れ始める。Figure 2-44とFigure 2-45には、1920秒(32分)におけるIHXの温度分布を示す。1次系と2次系の流量比は改良モデルでは0.53、従来モデルでは0.54である。1次系と2次系の流量のバランスが崩れ始めた点であり、2次系流量は1次系の約半分となっている。改良モデルでは、なめらかな温度分布が解析されているが、従来モデルでは、2次系入口(1次系出口)から数値振動が始まっている。

Figure 2-46に、3200秒(53.3分)におけるIHXの温度分布を示す。1次系と2次系の流量比は改良モデルでは0.26、従来モデルでは0.026である。従来モデルでは、1次系と2次系の流量のバランスは特に崩れしており、2次系は1次系の3%以下と、ほとんど冷却材が流れていらない。2次系冷却材の温度は1節点毎に40°C以上の振幅で数値振動している。1次系冷却材の温度も5°C以上の振幅で数値振動している。それに対して改良モデルでは、1次系と2次系の流量はバランスしてはいない状態であっても、なめらかな温度分布が得られている。

この後、数値振動は一時的には、ほとんど解消される。即ち、Figure 2-47に示されるように、5248秒(87.5分)時点では1次系の出口付近で若干の振動が残るのみである。この時点では、2次系の流量は逆流から順流に戻り、流量比は0.47になっている。これらから判断すれば、流量比が0.5程度になると従来モデルでは数値振動が起り得ると考えられる。

ところが、その後、再び2次系流量は減少し、従来モデルでは数値振動が再開する。Figure 2-48とFigure 2-49には、6528秒(108.8分)におけるIHXの温度分布を示す。1次系と2次系の流量比は改良モデルでは0.27、従来モデルでは0.07である。この時刻では1次系と2次系の冷却材温度はほとんど等しくなっている。従来モデルでは、数値振動が見られる。

Figure 2-50とFigure 2-51には、9344秒(155.7分)におけるIHXの温度分布を示す。1次系と2次系の流量比は改良モデルでは0.79、従来モデルでは0.87である。この数字は、十分に1に近く、また、定格条件にも近い。従って、数値振動の発生しない範囲に含まれていると考えてよい。実際に、この時刻では安定な自然循環状態が確立されており、流量はおよそ定格の1.5%となっている。また従来モデルの解析結果と改良モデルの解析結果はほとんど一致している。本解析では、このような数値振動は2次系の流量の回復とともに治まり、安定な自然循環状態が確立されたが、解析条件によっては、数値振動の振幅がさらに大きくなつて、解析を継続することが不可能になる場合もある。

Figure 2-52には改良モデルによって解析された1次系と2次系の冷却材流量を示す。初期には流量は振動し、60分から90分にかけては2次系が逆流するが、150分程度には安定な自然循環が達成されている。Figure 2-53に1次系と2次系の流量比を示す。初期状態では0.73であり、流量コーストダウン時には一時的に1を越える。その後、徐々に低下し、当然ながら、

逆流するときには負値を取る。流量が安定する 150分程度では、初期値である0.7から0.8になる。

Figure 2-54には従来モデルによって解析された1次系と2次系の冷却材流量を示す。40分程度まではFigure 2-52 とほとんど同様の流量変化を示している。その後には 80分、100分、125 分と 3 つの 2 次系流量ピークがある。これらの温度ピークは数値振動が原因であると考えられる。この場合にも、2次系は逆流しているが、150分程度には安定な自然循環が達成されている。Figure 2-55に1次系と2次系の流量比を示す。40分程度まではFigure 2-53とほとんど同様の変化をしているが、その後、2次系の流量の低下が著しくなる。この原因是、30分程度から I H X 温度分布が空間的に振動した分布となるためと考えられる。およそ80分に大きなピークがあり、流量比は 1 を越えている。これは I H X の温度分布の数値振動に起因して、数値解析上、自然循環力が増加しているためと考えられる。その後、Figure 2-47 に示されるように、90分頃に数値振動が一度解消されるのは、流量比が 0.5 を大きく越え、数値振動を発生する条件から外れるためである。これは、Figure 2-55を見れば明らかである。およそ、100分程度に再び数値振動が生じるのは、流量比が再び小さくなつたためである。125分に、三度目のピーク温度が現れたのち、鋸波状の温度分布はしだいに I H X から流れ出して行って、150 分程度で安定な自然循環状態が達成されると同時に、I H X 温度分布の空間的な数値振動は解消する。

Figure 2-56には改良モデルにおいて、(2-4-27) 式で定義される α の変化を示す。これは、2次側入口の最初のセルにおける値である。流量比が同じであるから、他のセルにおける α の値も大きくは異ならないと考えられる。 α の値は定常時には0.73であるが、1次系と2次系の流量比に応じて変化していく。2次系流量が1次系を上回るとき、0.5 以下となる。その後流量比が小さく 0 に近くなると α は 1 に近づいていく。Figure 2-56 は、61分から72分と、86分から93分の二度にわたって逆流することに対応している。その後、流量の安定する 150分頃には α の値は0.5に近くなる。 $\alpha=0.5$ ならば改良モデルと従来モデルは一致するため、両方のモデルで計算された温度分布も一致してくる。

最後にFigure 2-57とFigure 2-58に改良モデルで解析された、I H X 出入口の冷却材温度を1次側と2次側に関して、それぞれ示す。Figure 2-59とFigure 2-60に従来モデルで解析された、I H X 出入口の冷却材温度を1次側と2次側に関して、それぞれ示す。従来モデルの結果では、1次系出口（2次系入口）の冷却材温度が高めに評価されていることが分かる。この原因是、以下の通りであると分析される。2次側の冷却材温度の空間的に数値振動しているために、特に2次系の冷却材流量を少なめに評価している。従って、I H X における1次系から2次系への伝熱量が小さめに解析される。よって、1次系のI H X 出口温度は高く解析される。2次系では、伝熱量は小さいが、2次系流量が少ないため、出入口温度には大きな差はみられない。

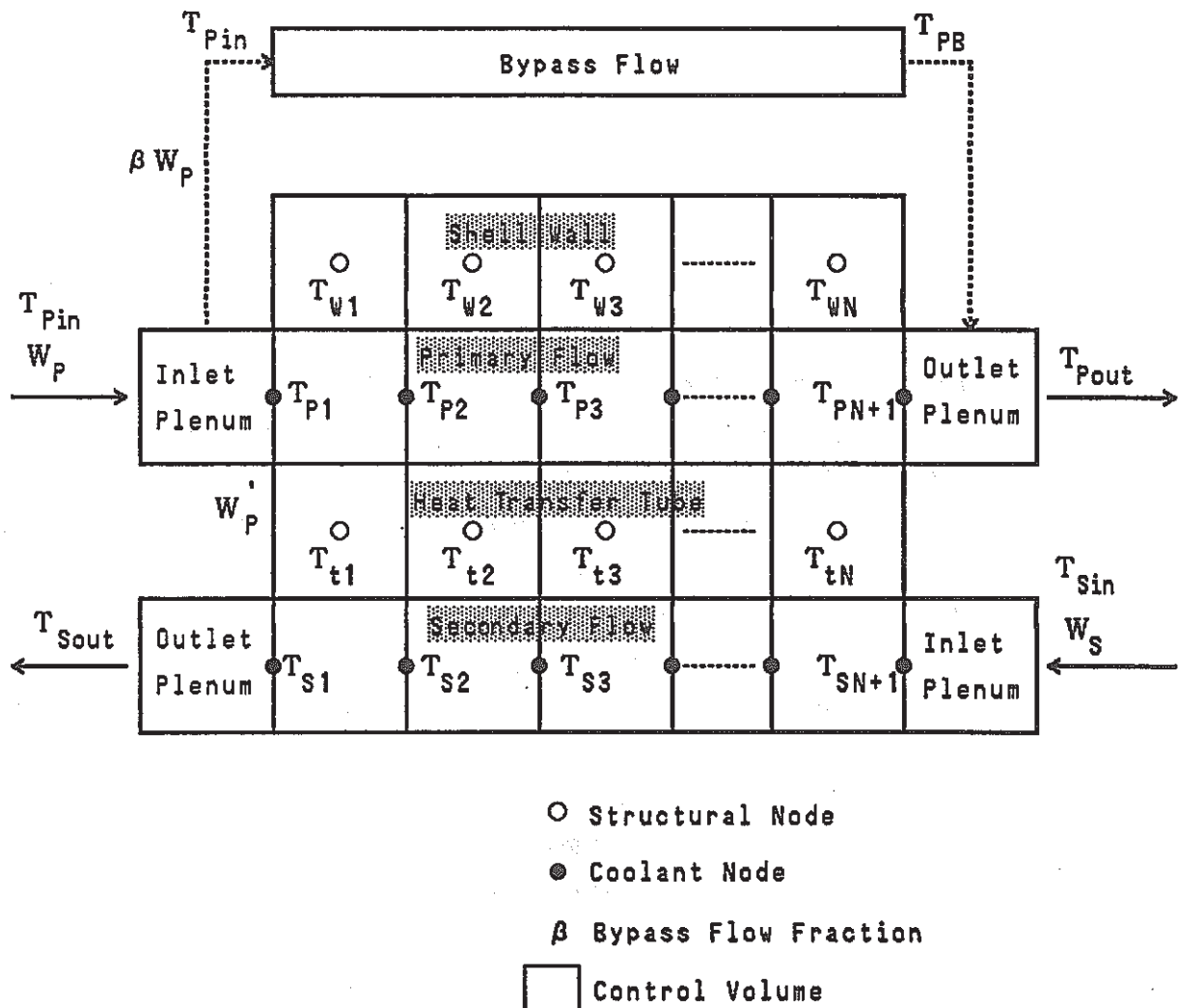


Figure 2-35 Intermediate heat exchanger model in SSC-L

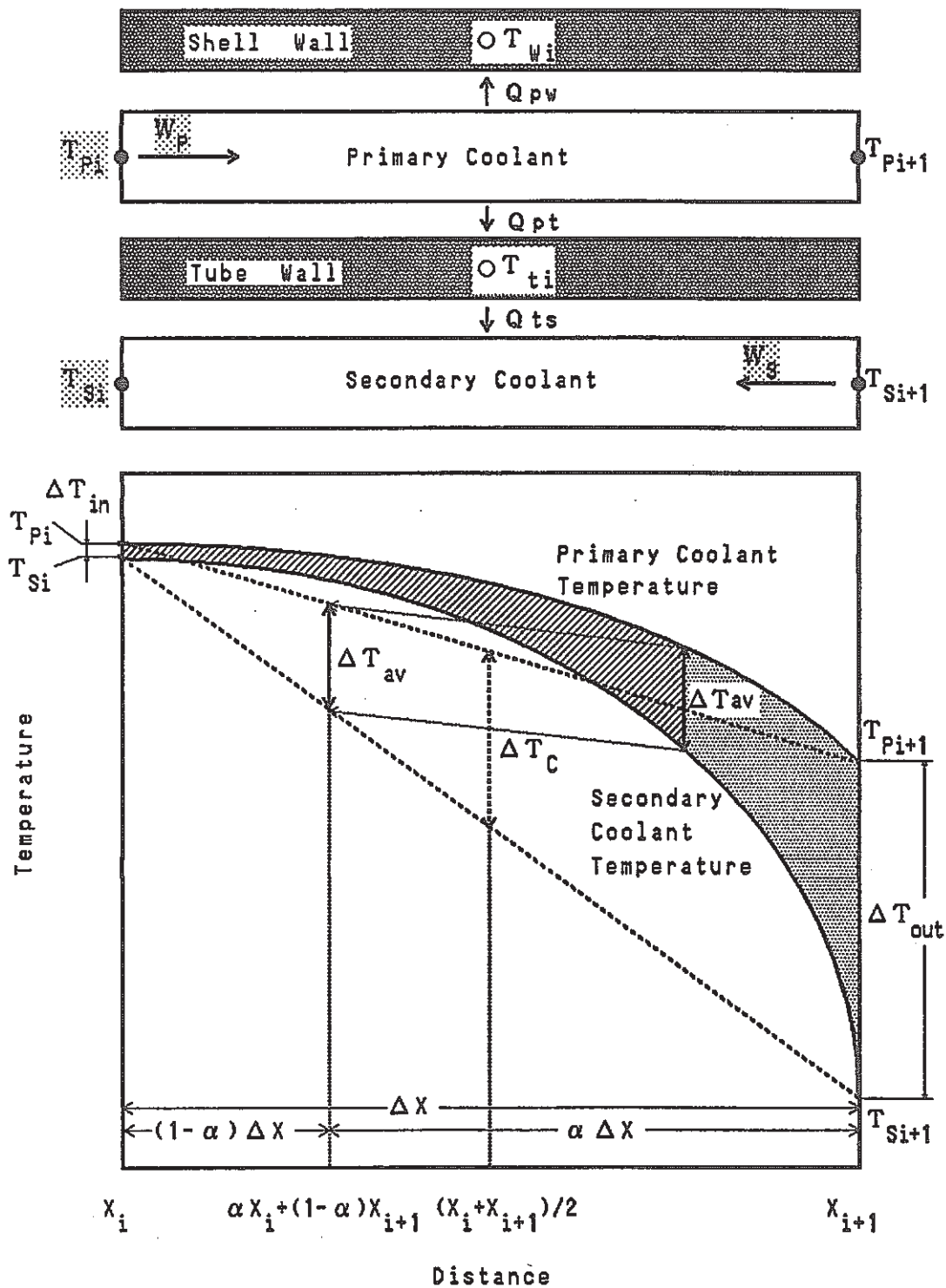


Figure 2-36 The temperature distribution and the average temperature difference in a numerically cell of the IHX model.

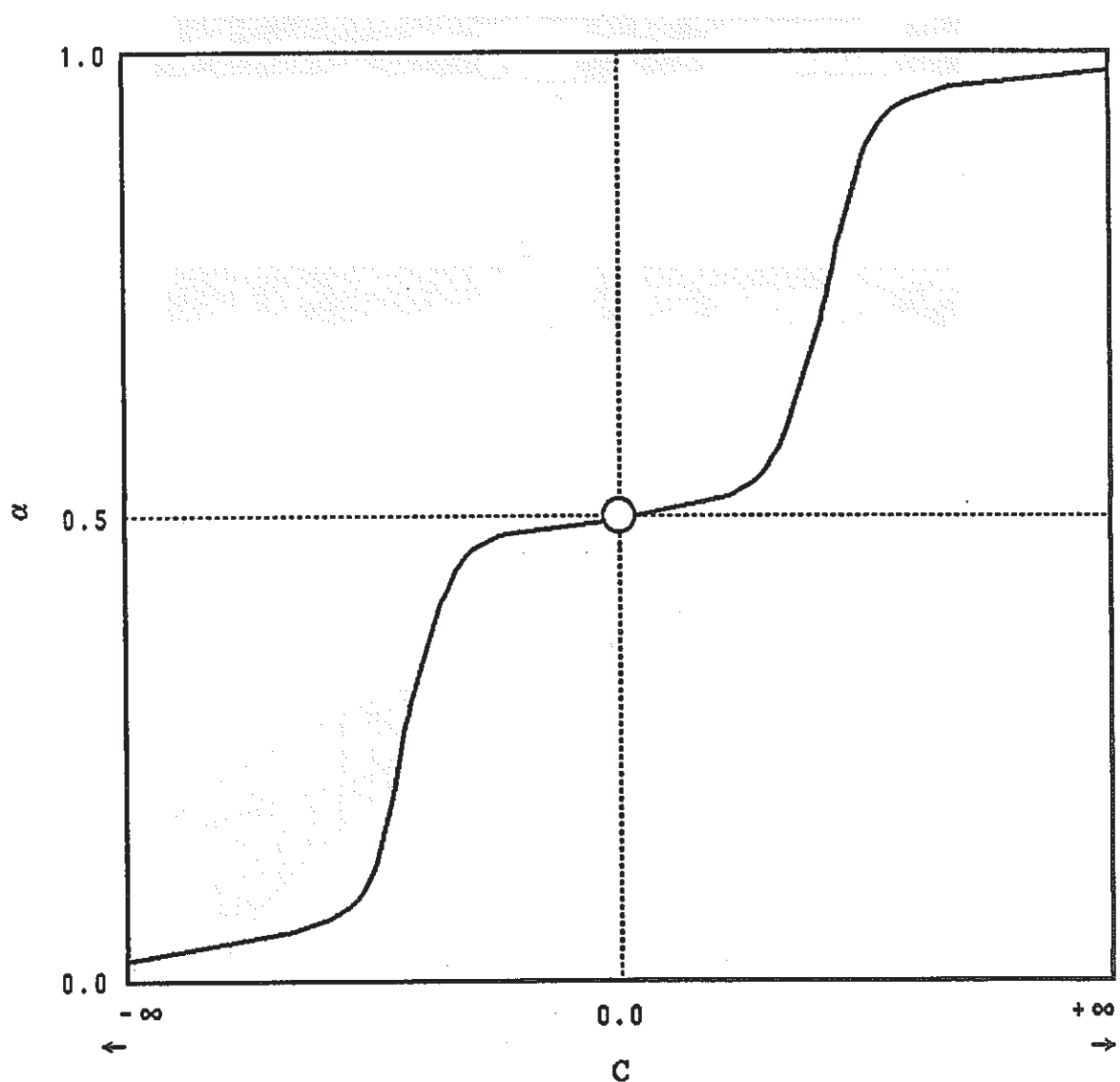


Figure 2-37 Coefficient α as a function of C defined in eq. (2-4-21).

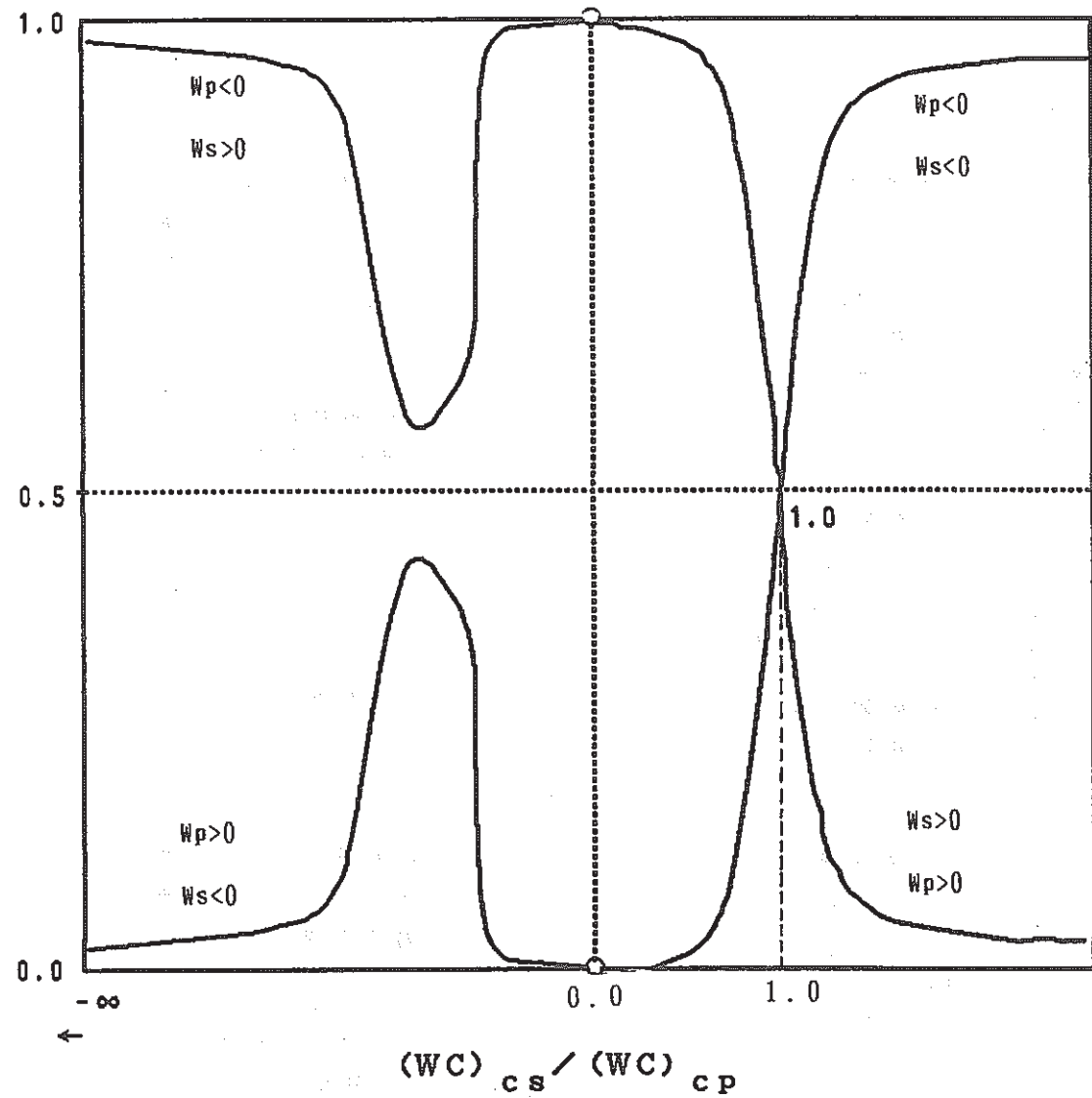


Figure 2-38 Coefficient α as a function of the primary to the secondary flow ratio.

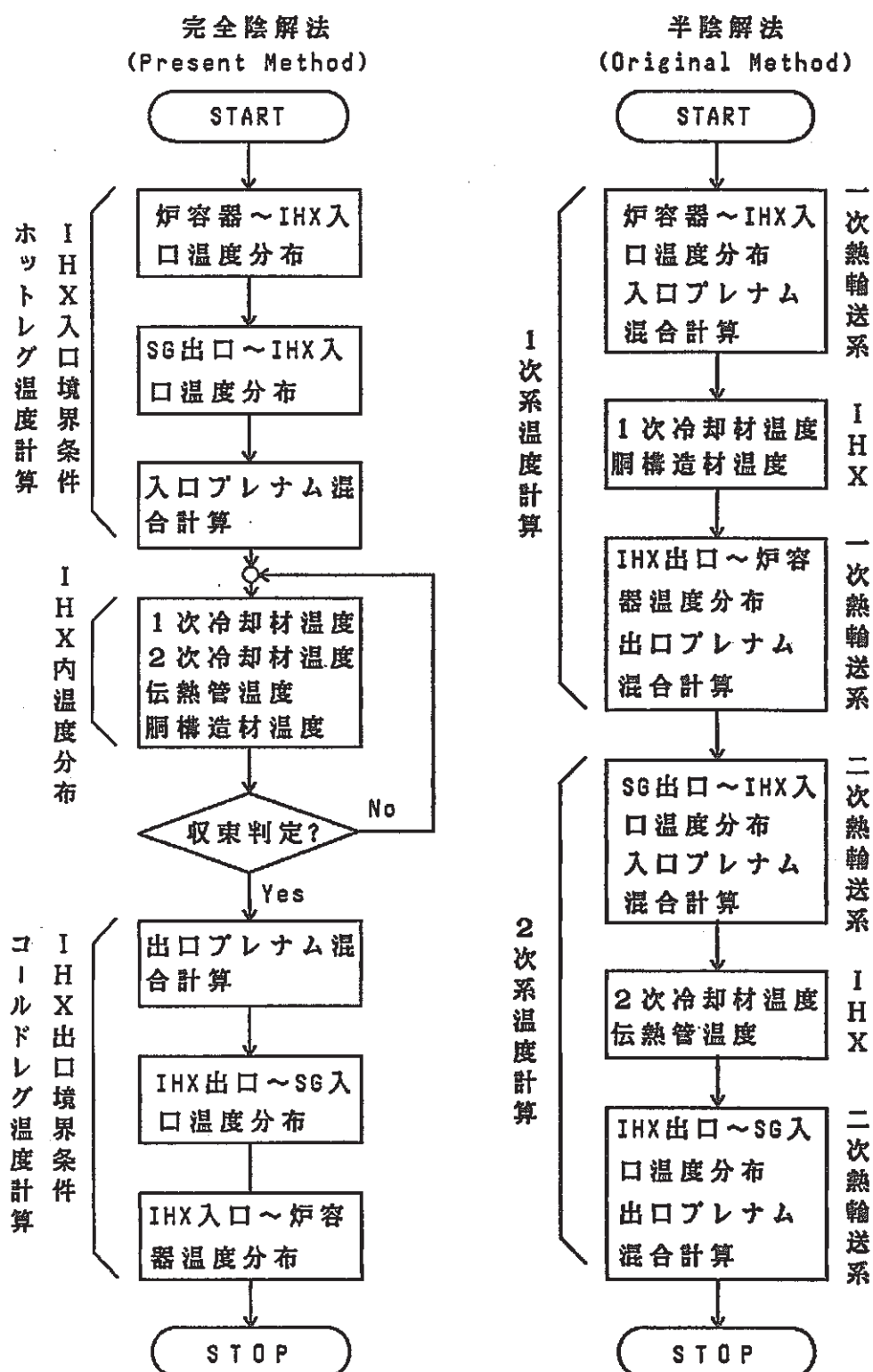


Figure 2-39 Comparison of the computational flow charts representing the original and the present numerical procedures.

中間熱交換器冷却材温度分布

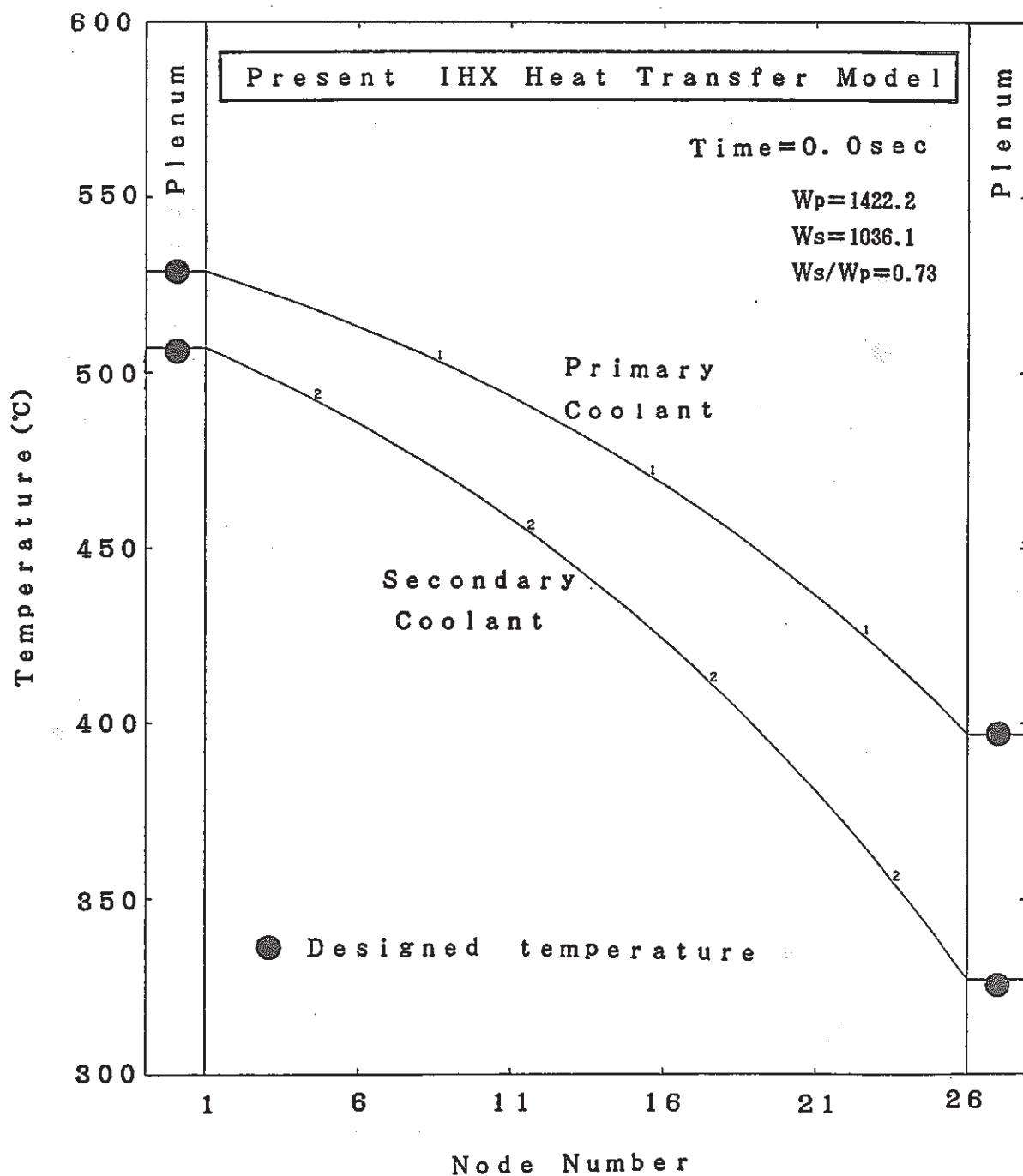


Figure 2-40 Coolant temperature distribution in the IHX at the initial steady state (Analyzed using SSC-L with the present IHX heat transfer model).

中間熱交換器冷却材温度分布

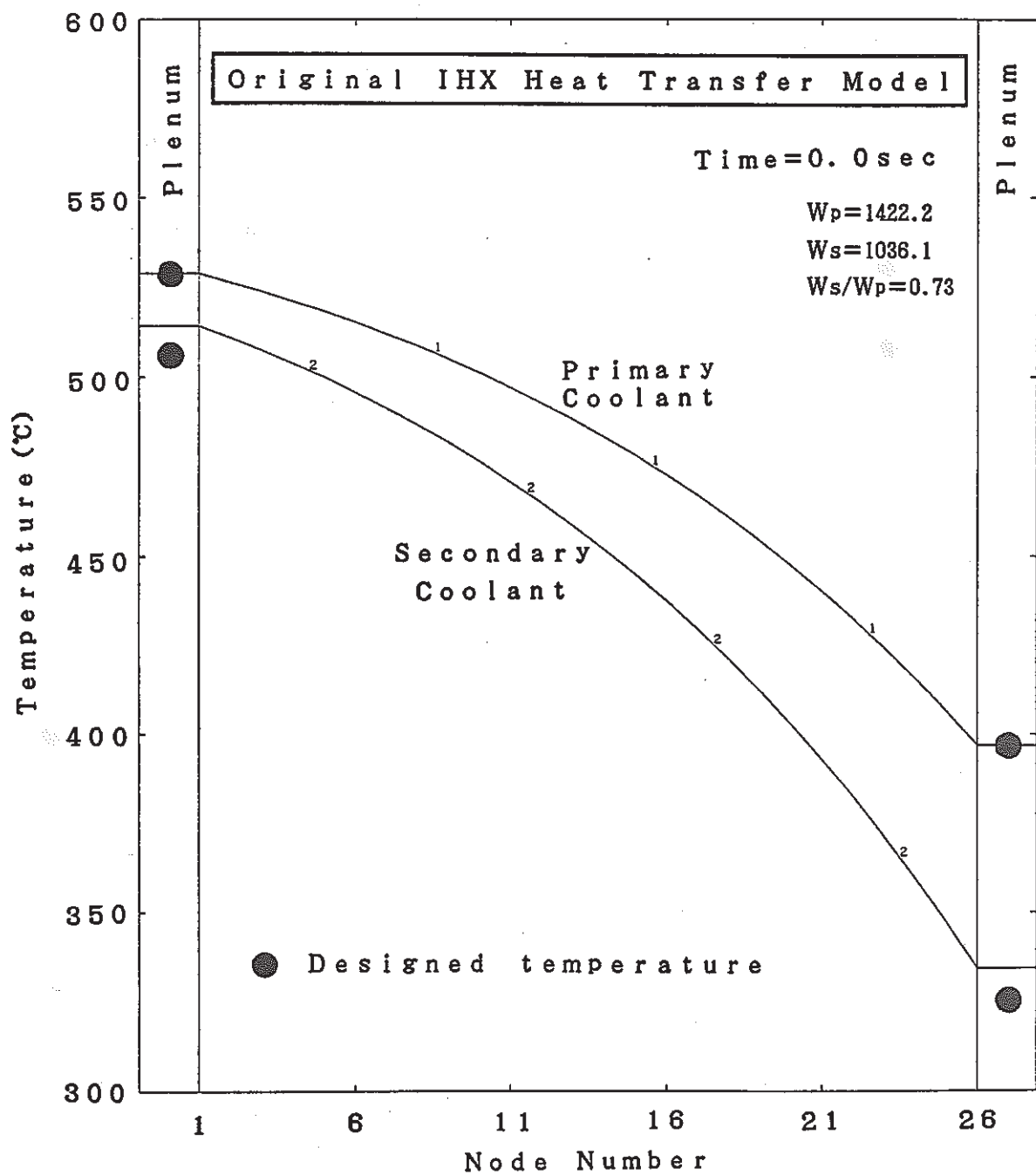


Figure 2-41 Coolant temperature distribution in the IHX at the initial steady state (Analyzed using SSC-L with the original IHX heat transfer model).

中間熱交換器冷却材温度分布

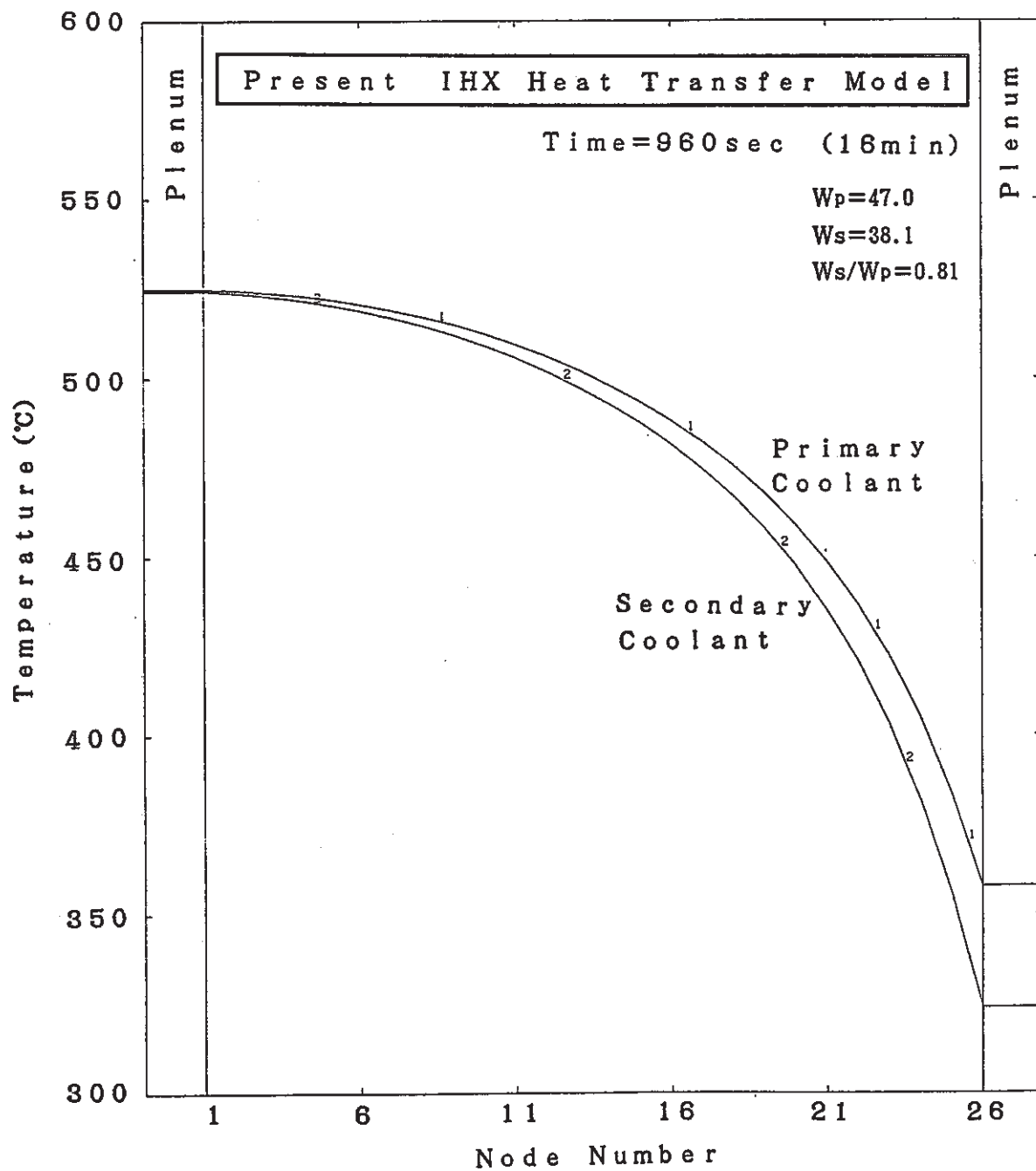


Figure 2-42 Coolant temperature distribution in the IHX at $t=960$ sec
(Analyzed using SSC-L with the present IHX heat transfer model).

中間熱交換器冷却材温度分布

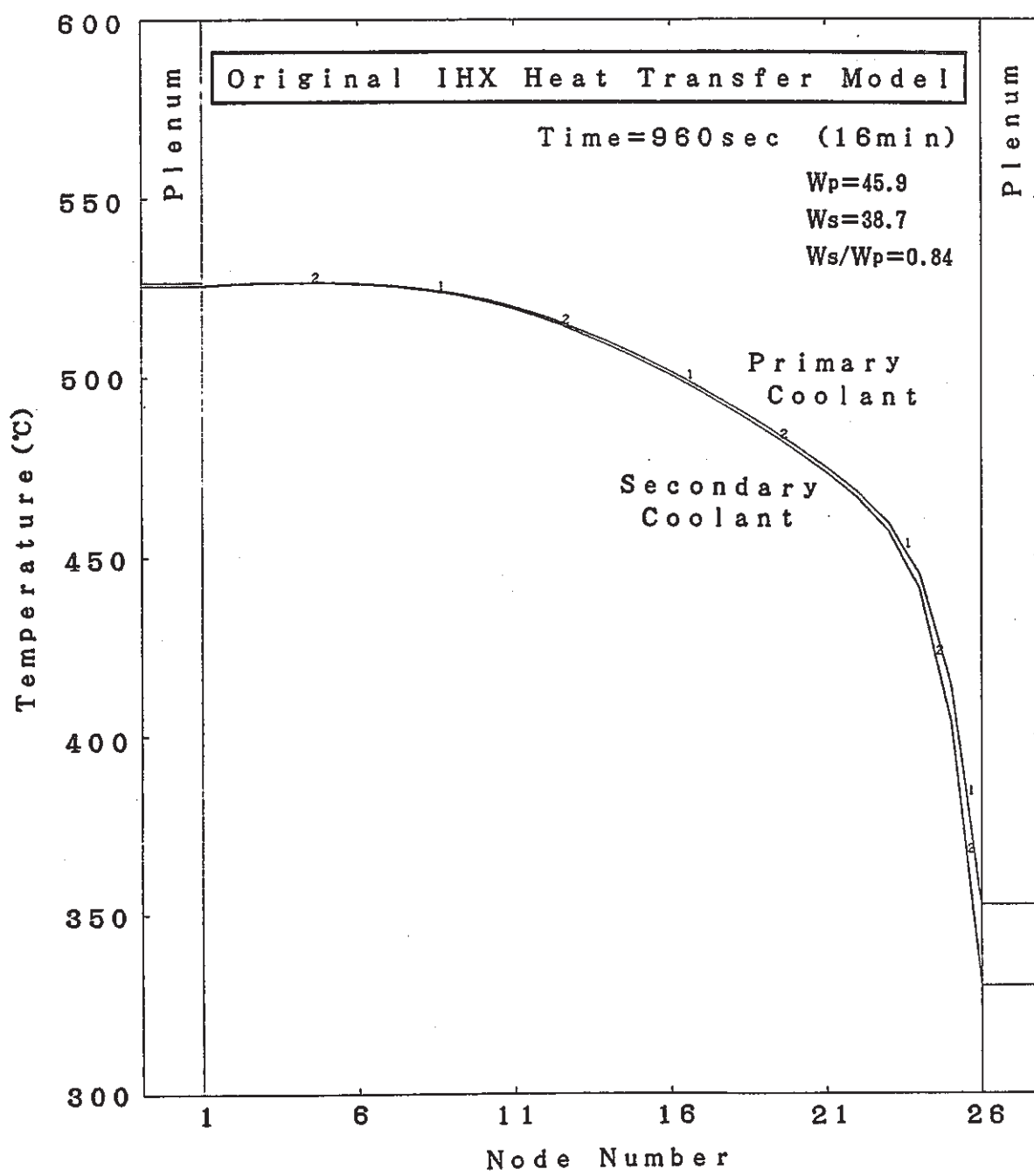


Figure 2-43 Coolant temperature distribution in the IHX at $t=960$ sec
(Analyzed using SSC-L with the original IHX heat transfer model).

中間熱交換器冷却材温度分布

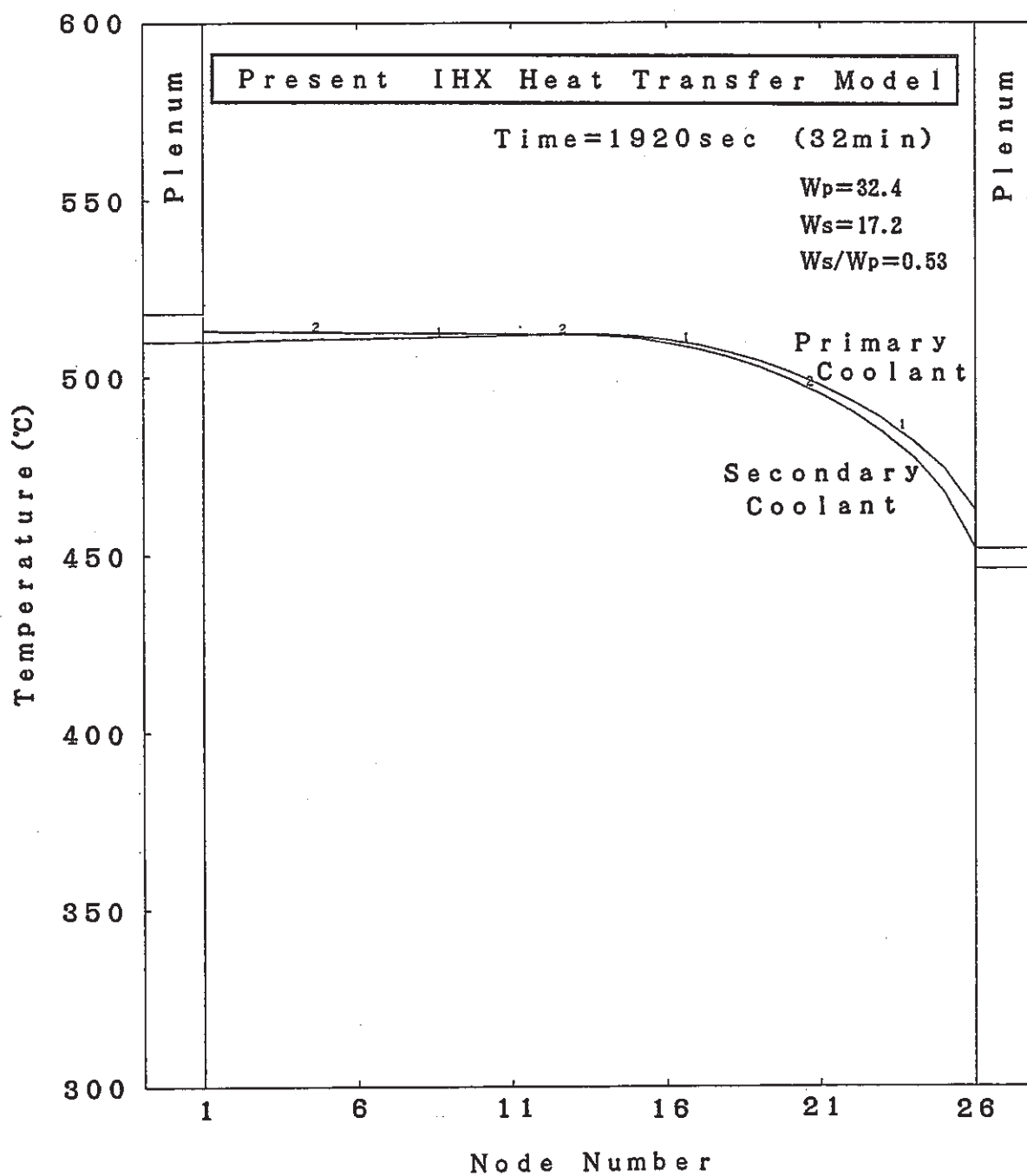


Figure 2-44 Coolant temperature distribution in the IHX at $t=1920$ sec
(Analyzed using SSC-L with the present IHX heat transfer model).

中間熱交換器冷却材温度分布

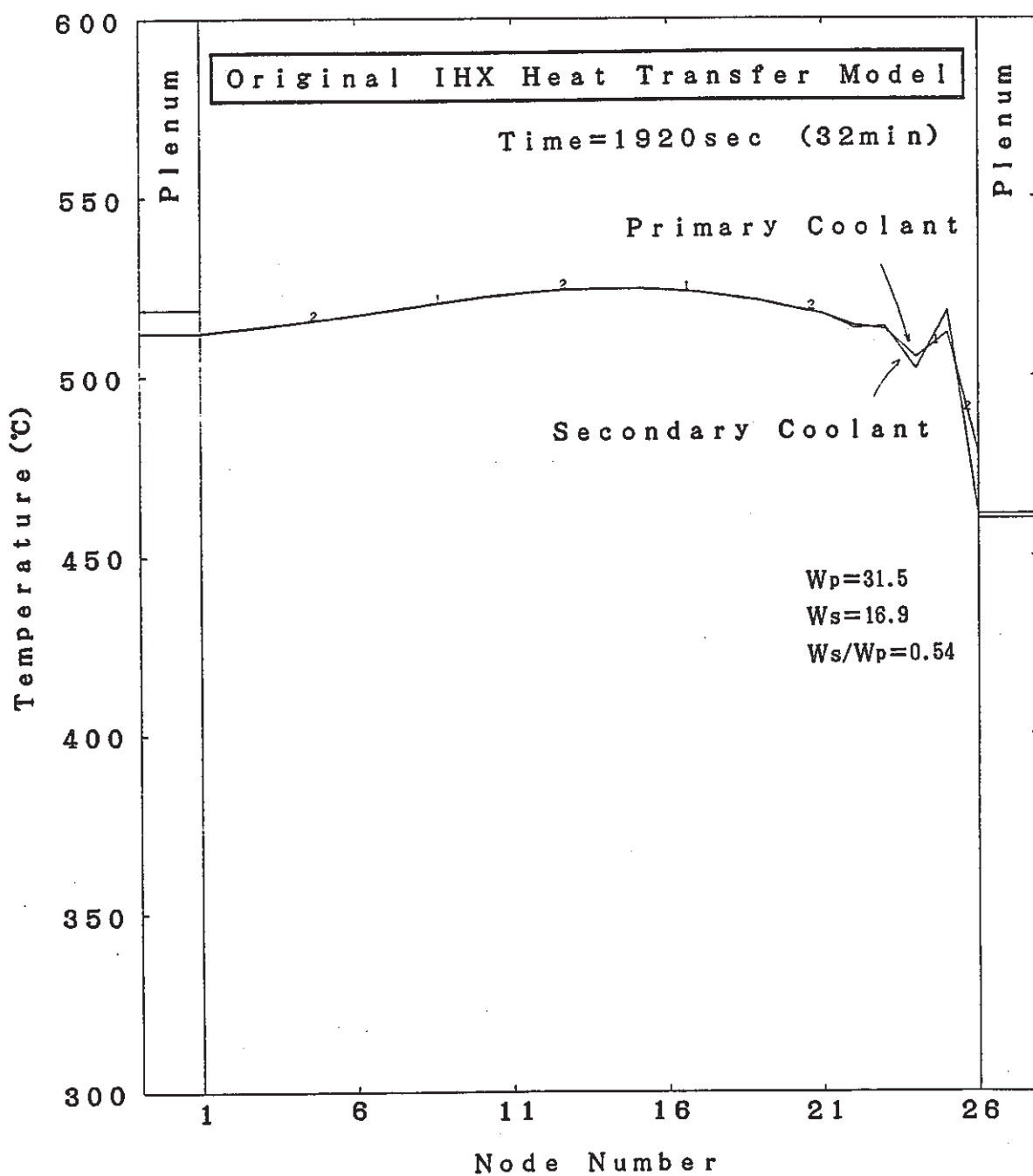


Figure 2-45 Coolant temperature distribution in the IHX at $t=1920$ sec
(Analyzed using SSC-L with the original IHX heat transfer model).

中間熱交換器冷却材温度分布

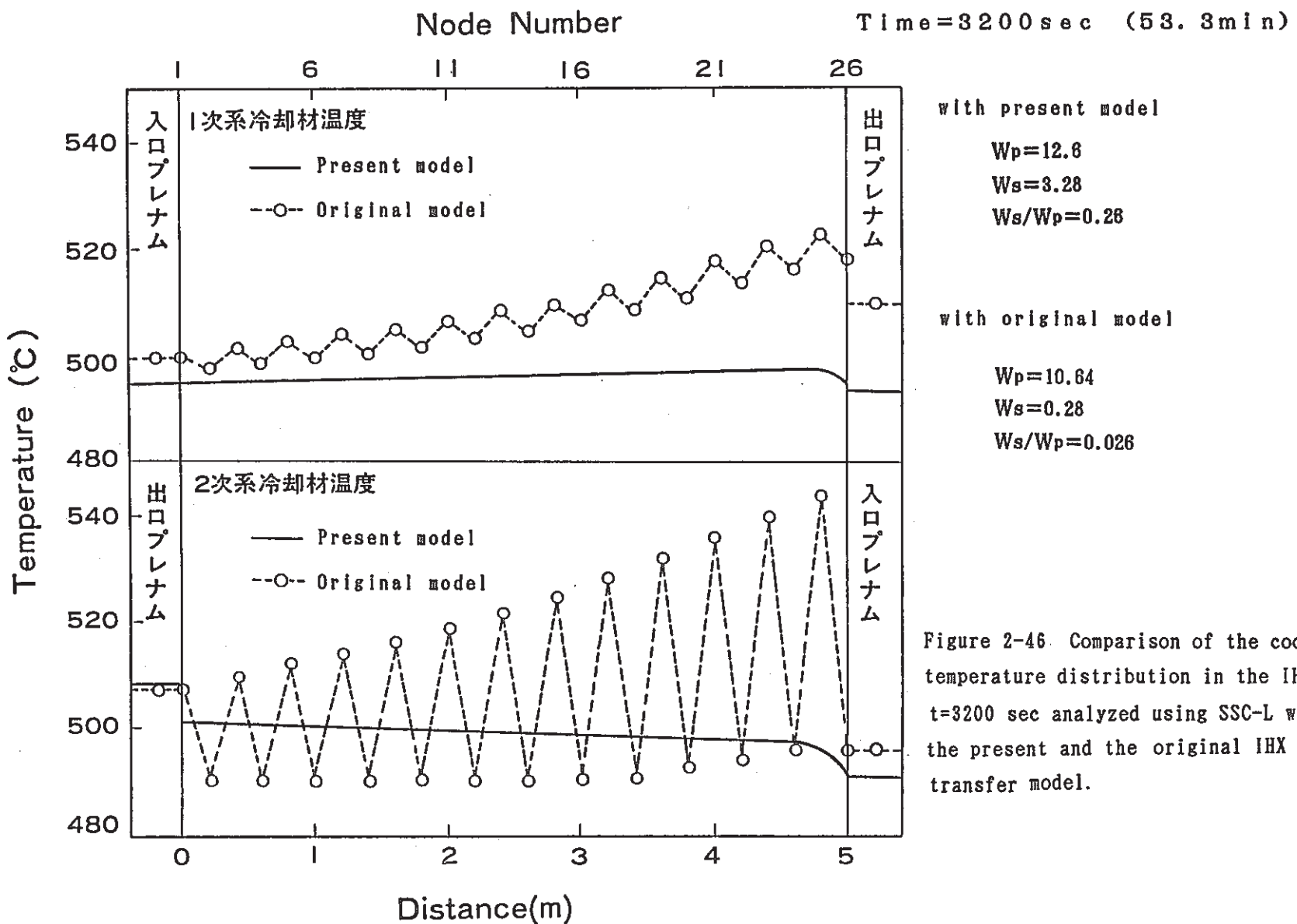


Figure 2-46. Comparison of the coolant temperature distribution in the IHX at $t=3200$ sec analyzed using SSC-L with the present and the original IHX heat transfer model.

中間熱交換器冷却材温度分布

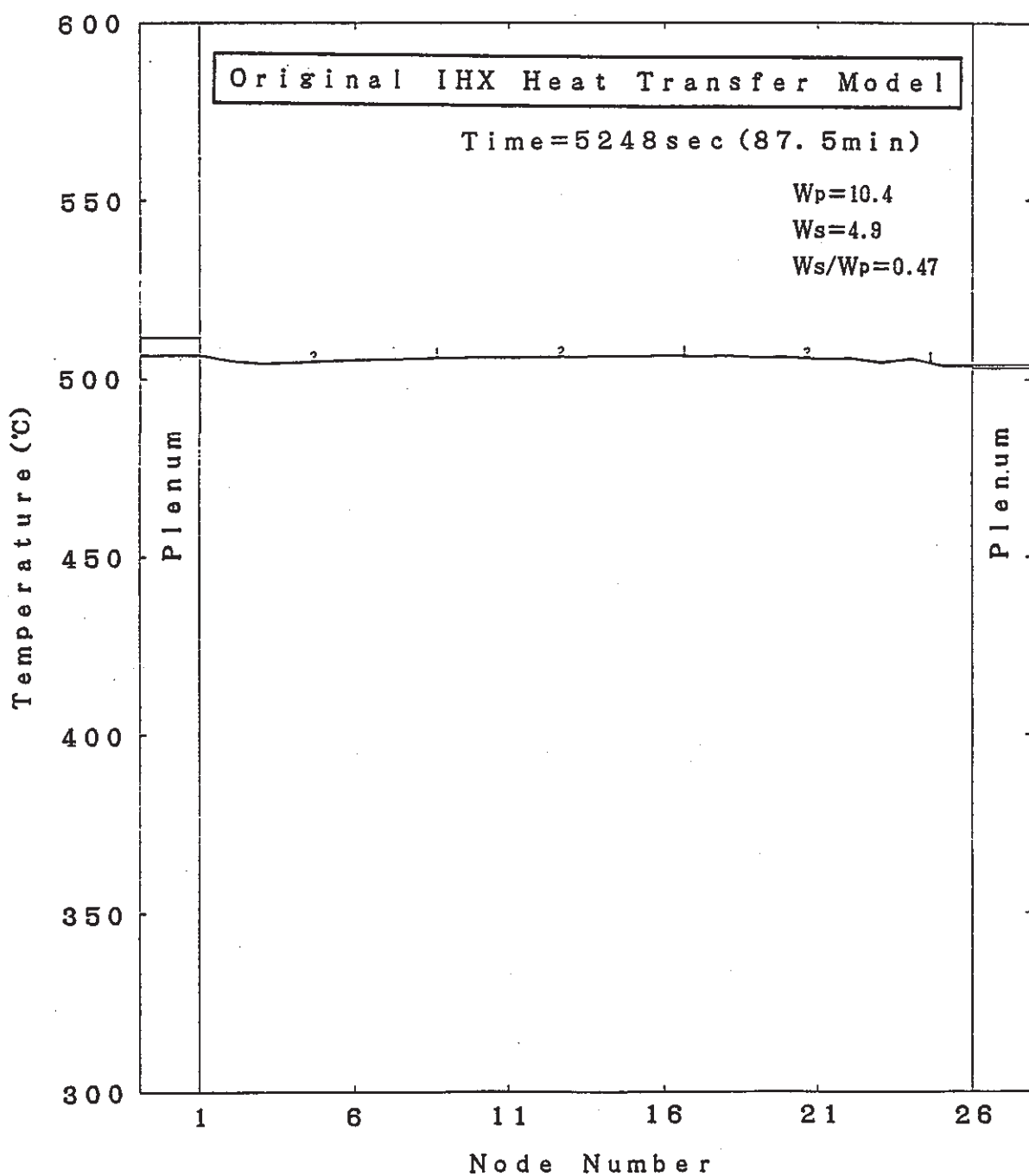


Figure 2-47 Coolant temperature distribution in the IHX at $t=5248$ sec
(Analyzed using SSC-L with the original IHX heat transfer model).

中間熱交換器冷却材温度分布

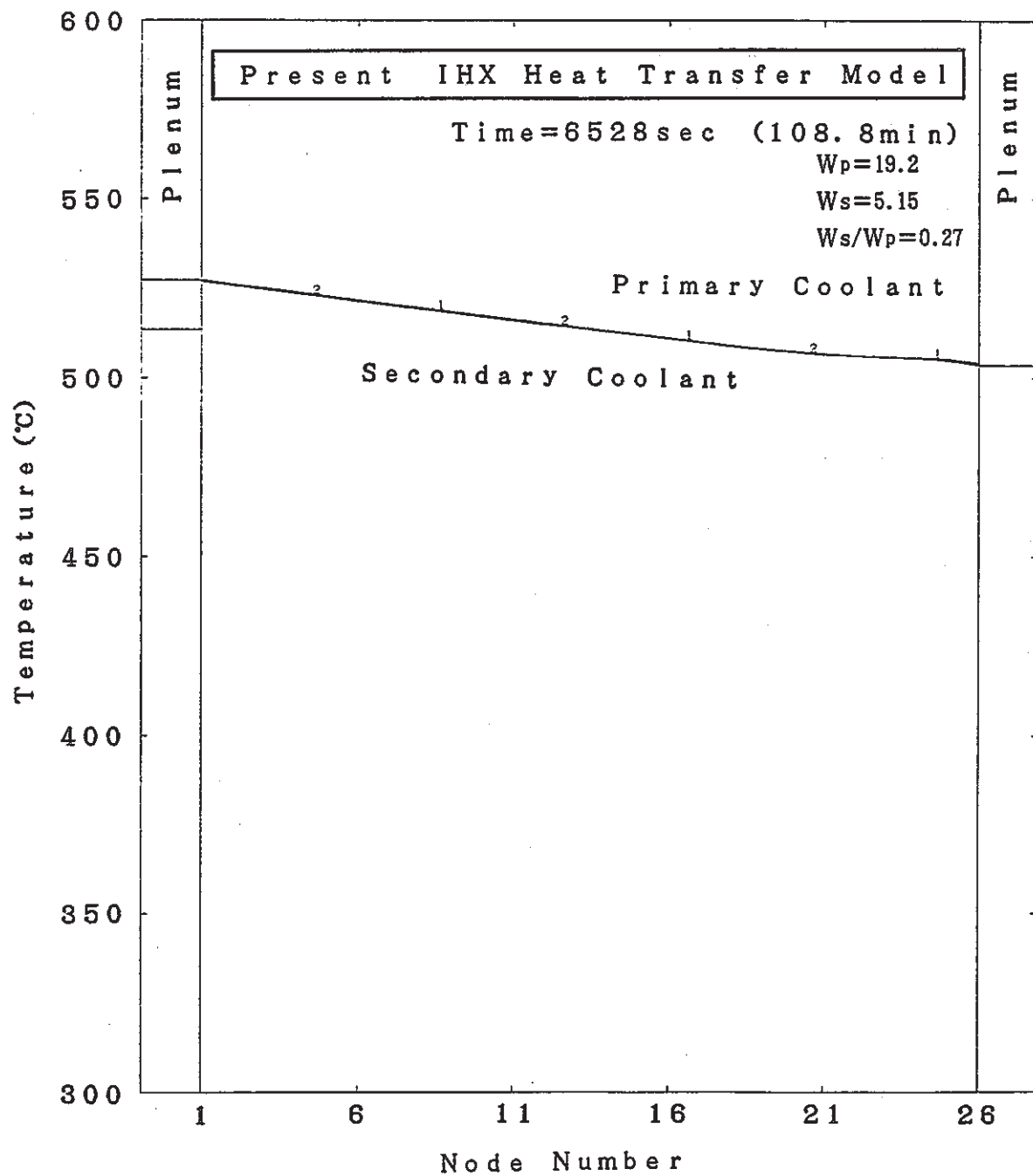


Figure 2-48 Coolant temperature distribution in the IHX at $t=6528$ sec
(Analyzed using SSC-L with the present IHX heat transfer model).

中間熱交換器冷却材温度分布

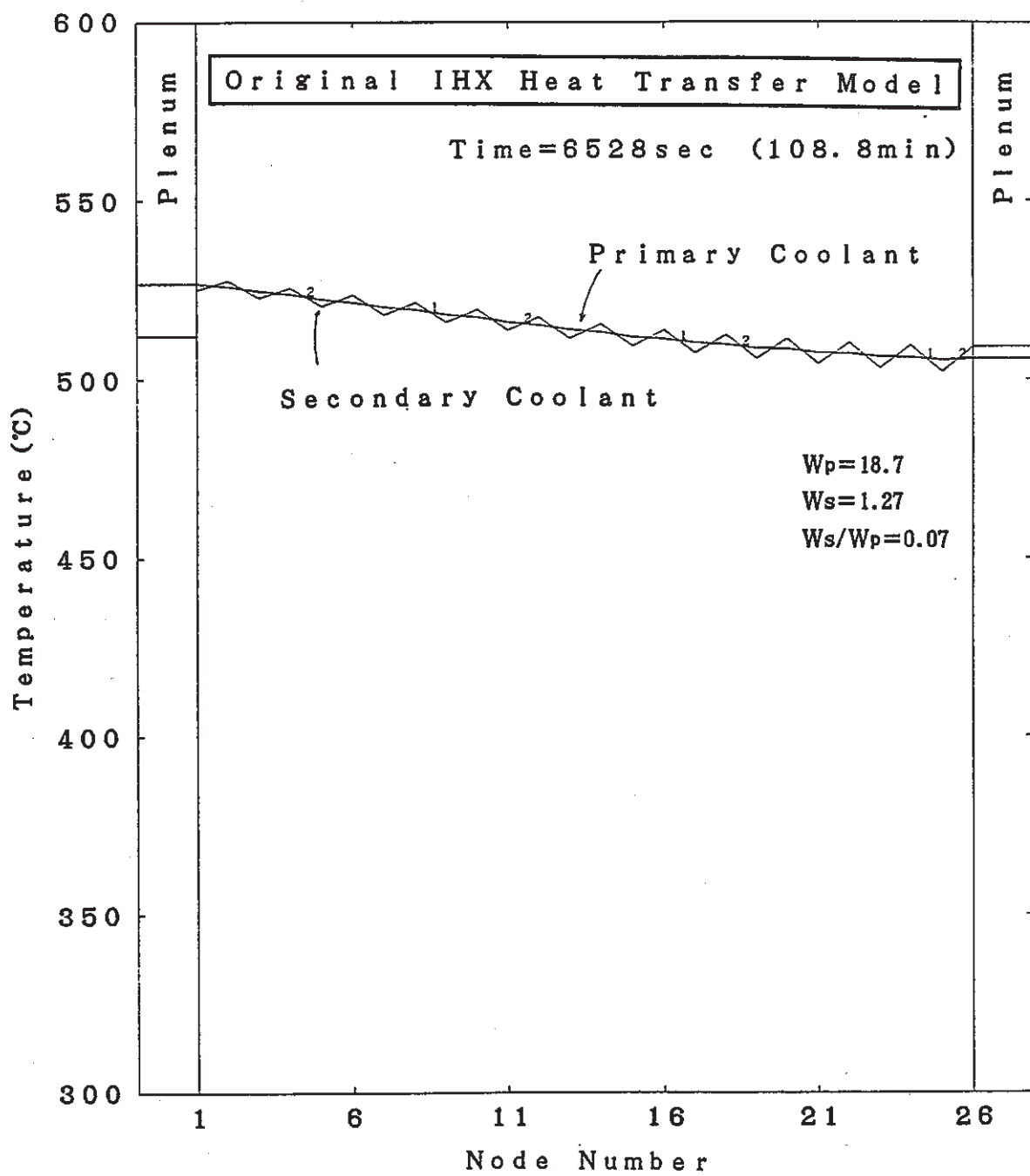


Figure 2-49 Coolant temperature distribution in the IHX at $t=6528$ sec
(Analyzed using SSC-L with the original IHX heat transfer model).

中間熱交換器冷却材温度分布

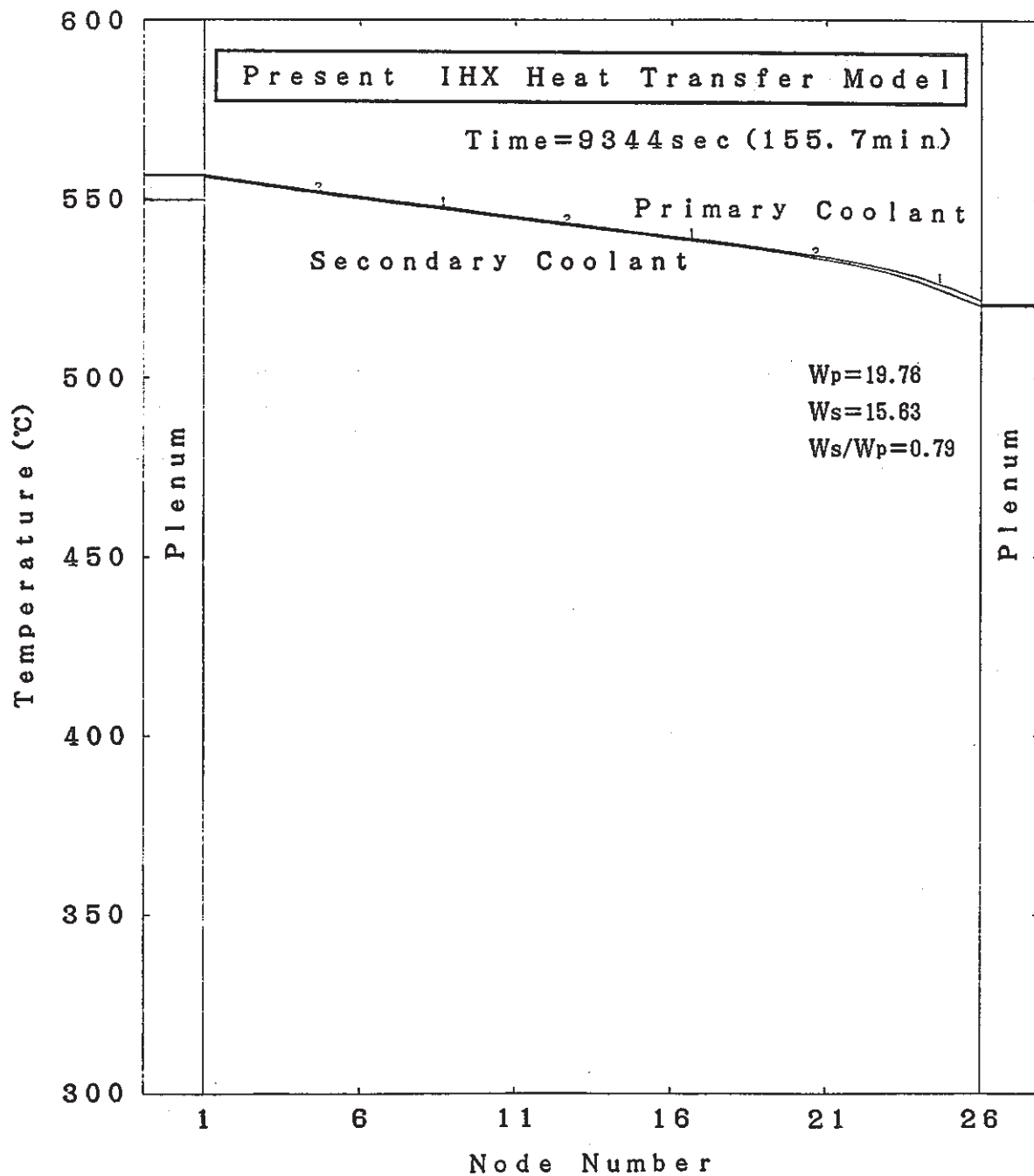


Figure 2-50 Coolant temperature distribution in the IHX at $t=9344$ sec
(Analyzed using SSC-L with the present IHX heat transfer model).

中間熱交換器冷却材温度分布

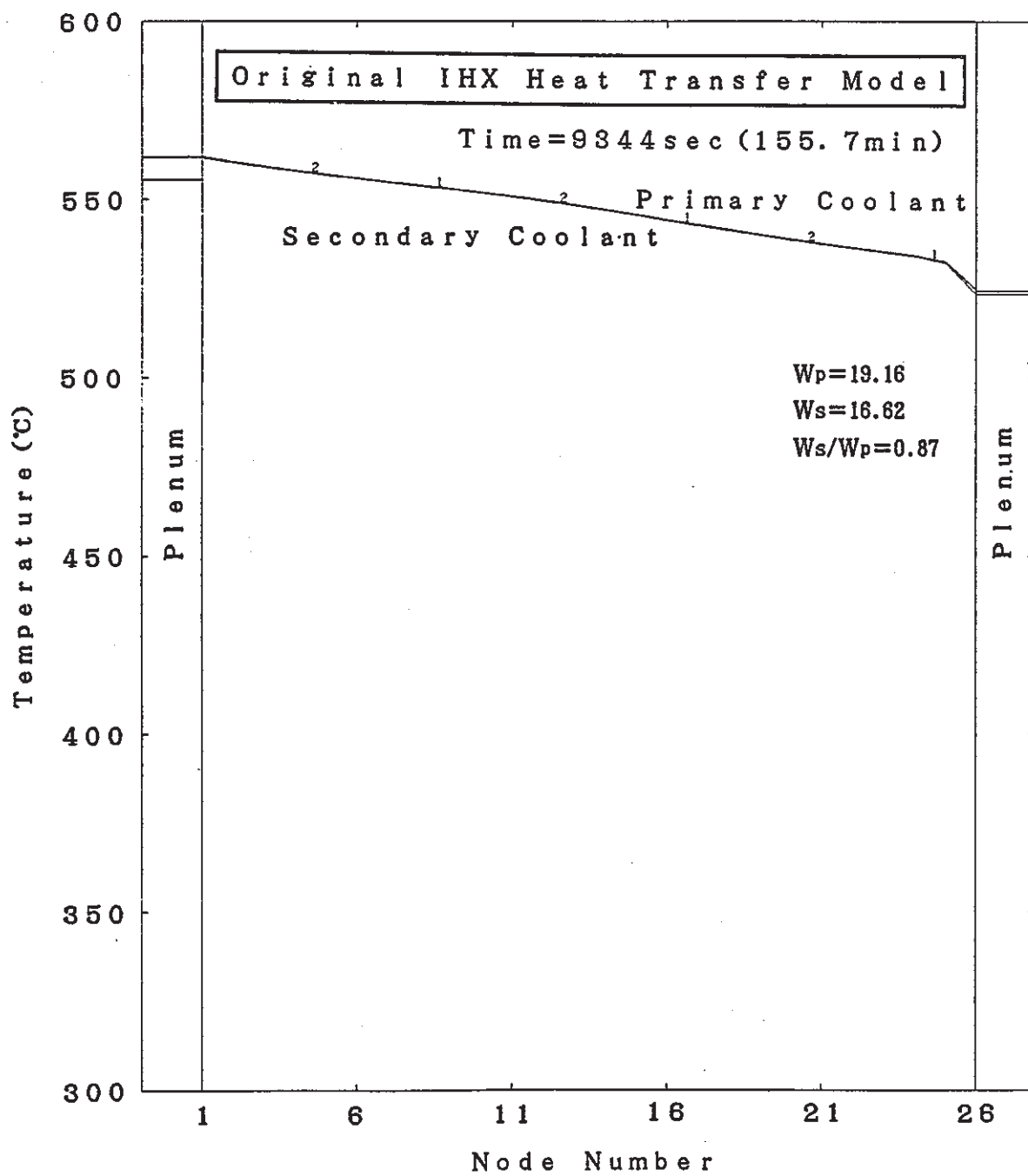


Figure 2-51 Coolant temperature distribution in the IHX at $t=9344$ sec
(Analyzed using SSC-L with the original IHX heat transfer model).

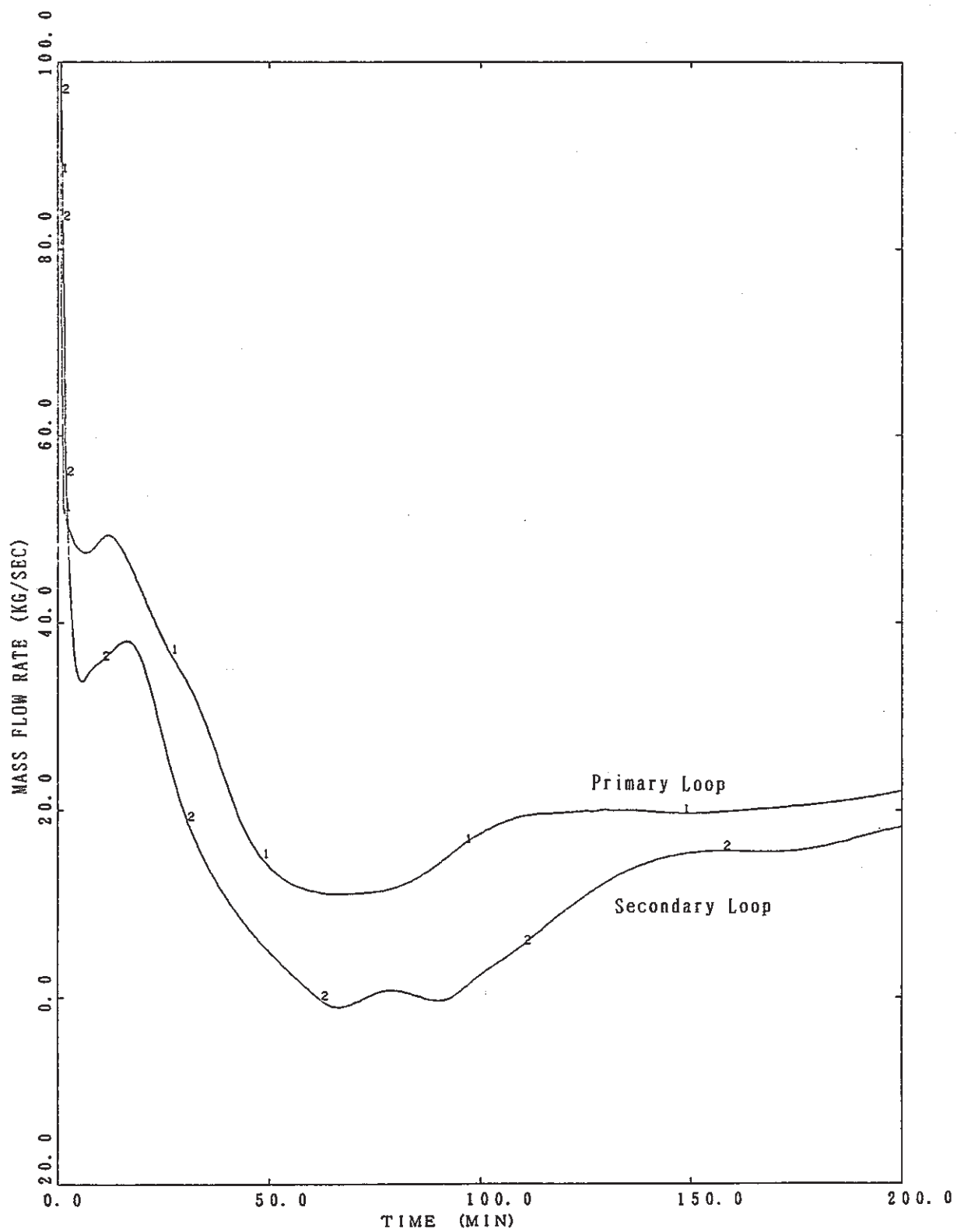


Figure 2-52 Coolant mass flow rate in the PHTS and the SHTS (Analyzed using SSC-L with the present IHX heat transfer model).

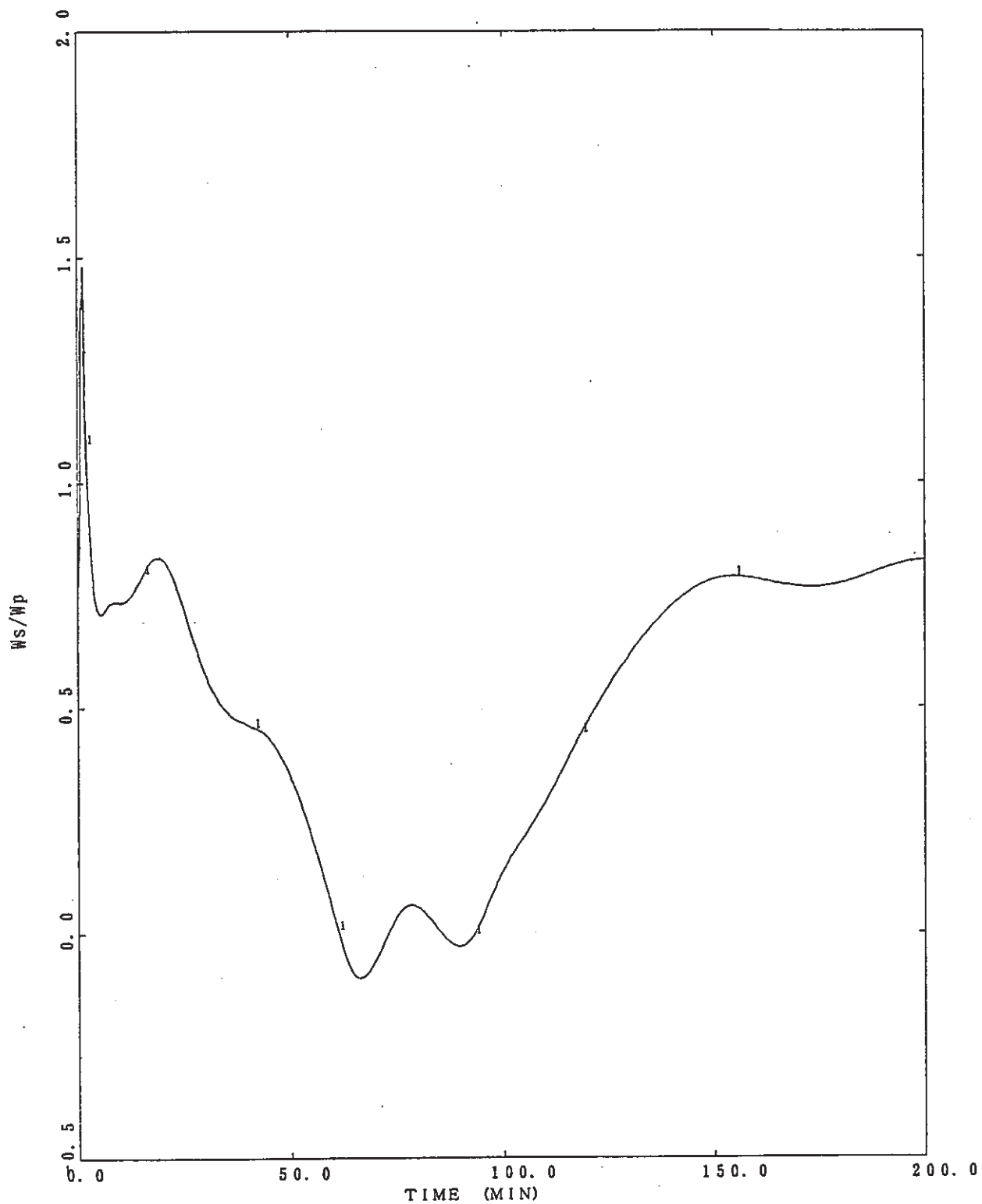


Figure 2-53 Ratio of secondary to primary coolant mass flow rate
(Analyzed using SSC-L with the present IHX heat transfer model).

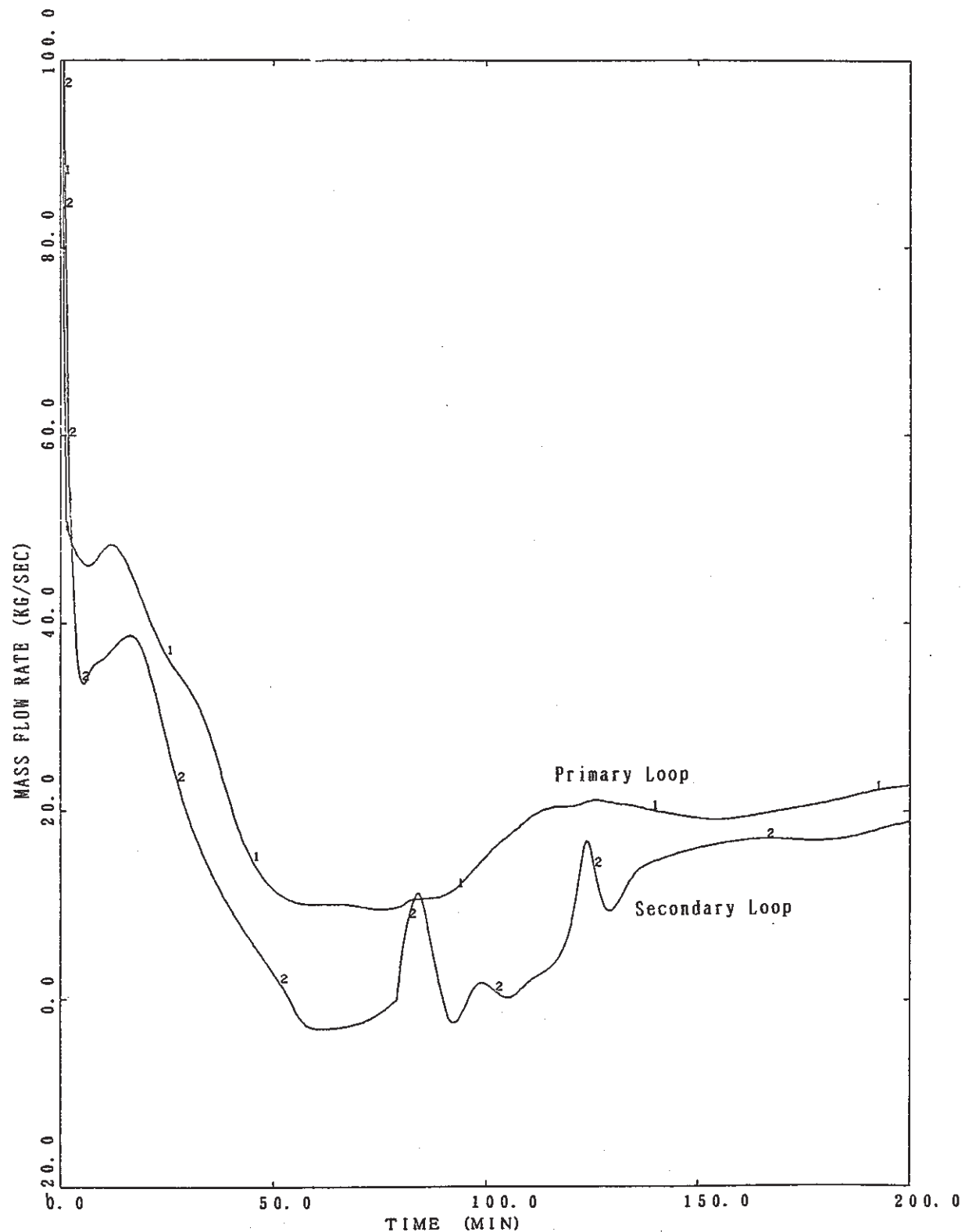


Figure 2-54 Coolant mass flow rate in the PHTS and the SHTS (Analyzed using SSC-L with the original IHX heat transfer model).

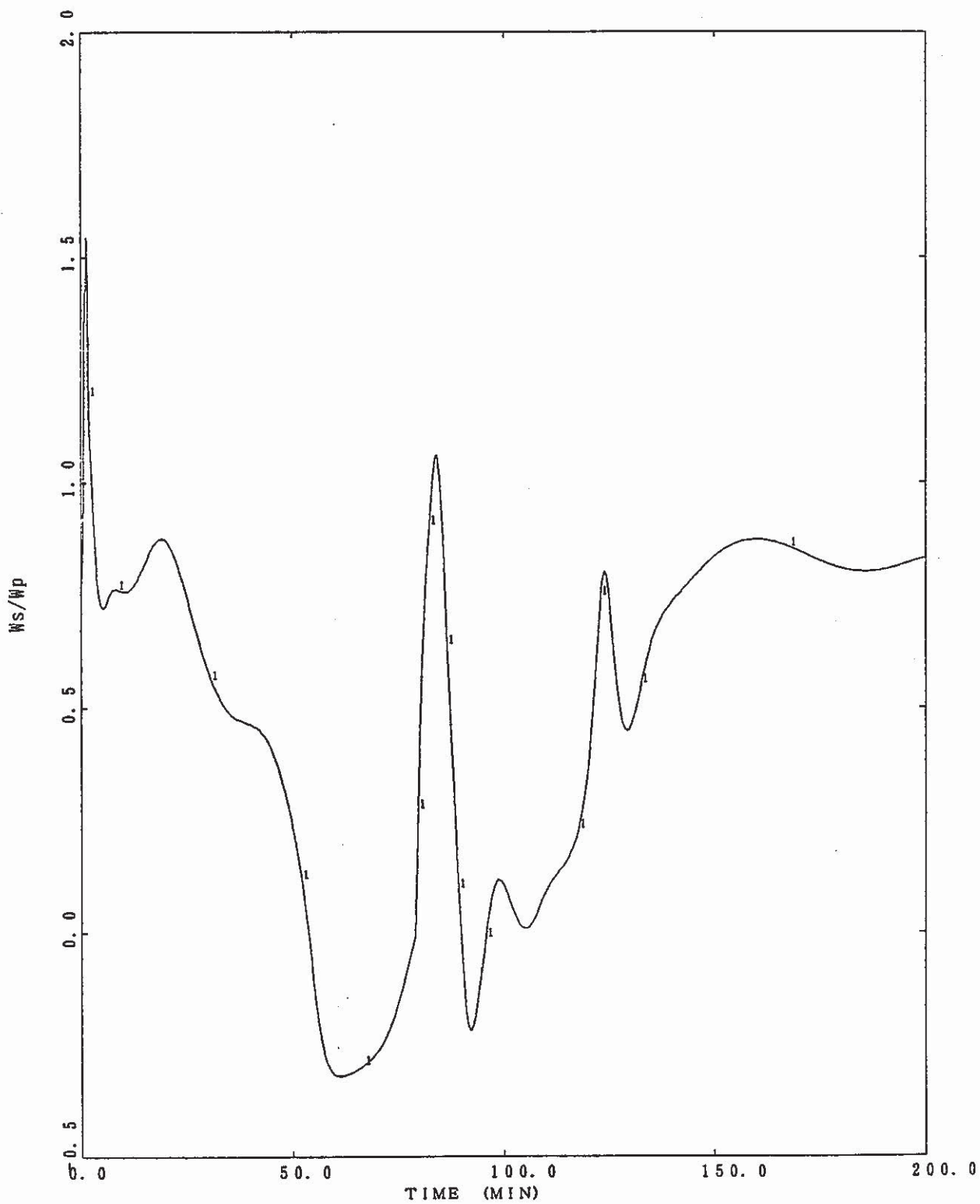


Figure 2-55 Ratio of secondary to primary coolant mass flow rate
(Analyzed using SSC-L with the original IHX heat transfer model).

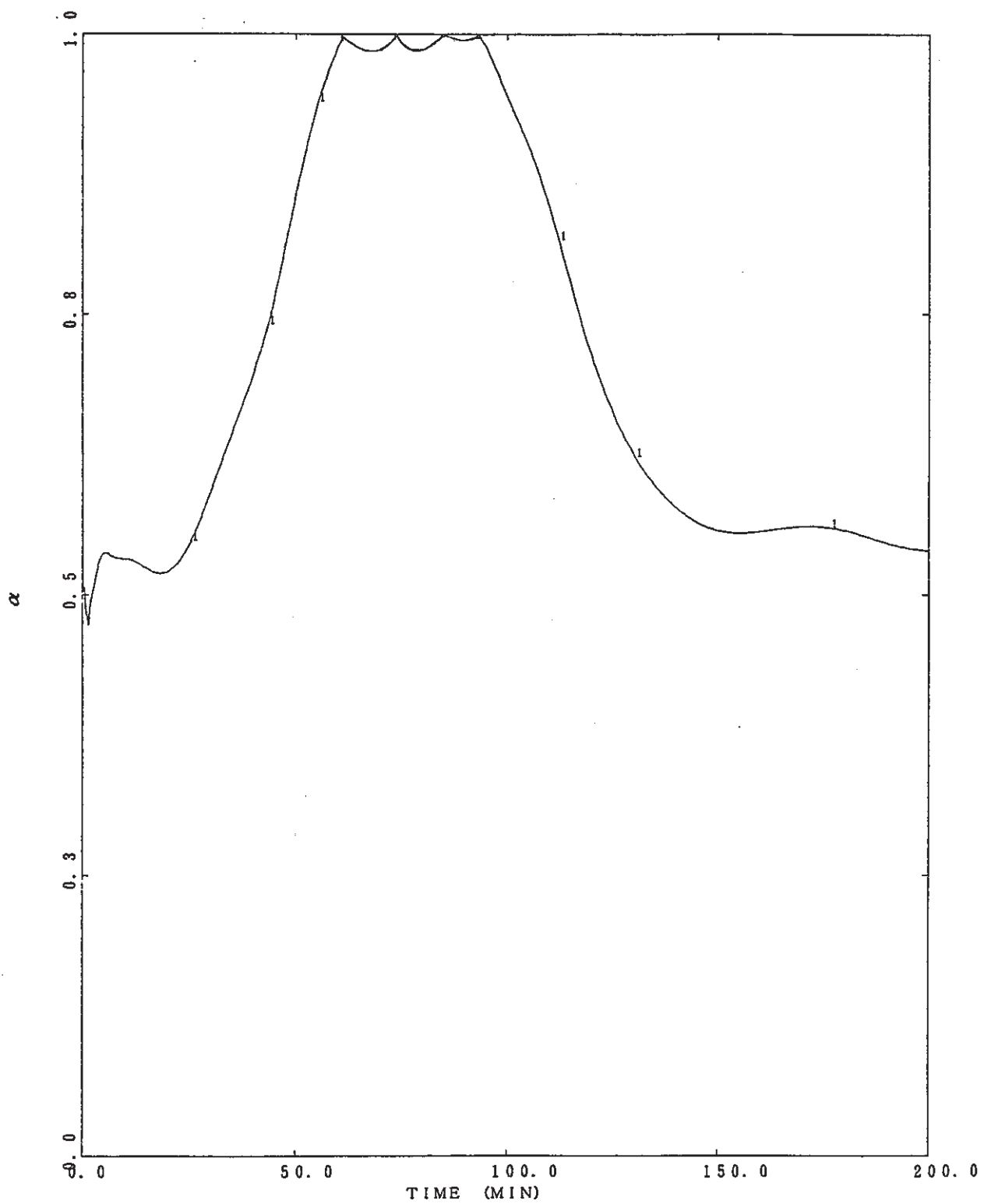


Figure 2-56 Coefficient α defined by eq. (2-4-27). In the original model, α is constant (=0.5) (Analyzed using SSC-L with the original IHX heat transfer model).

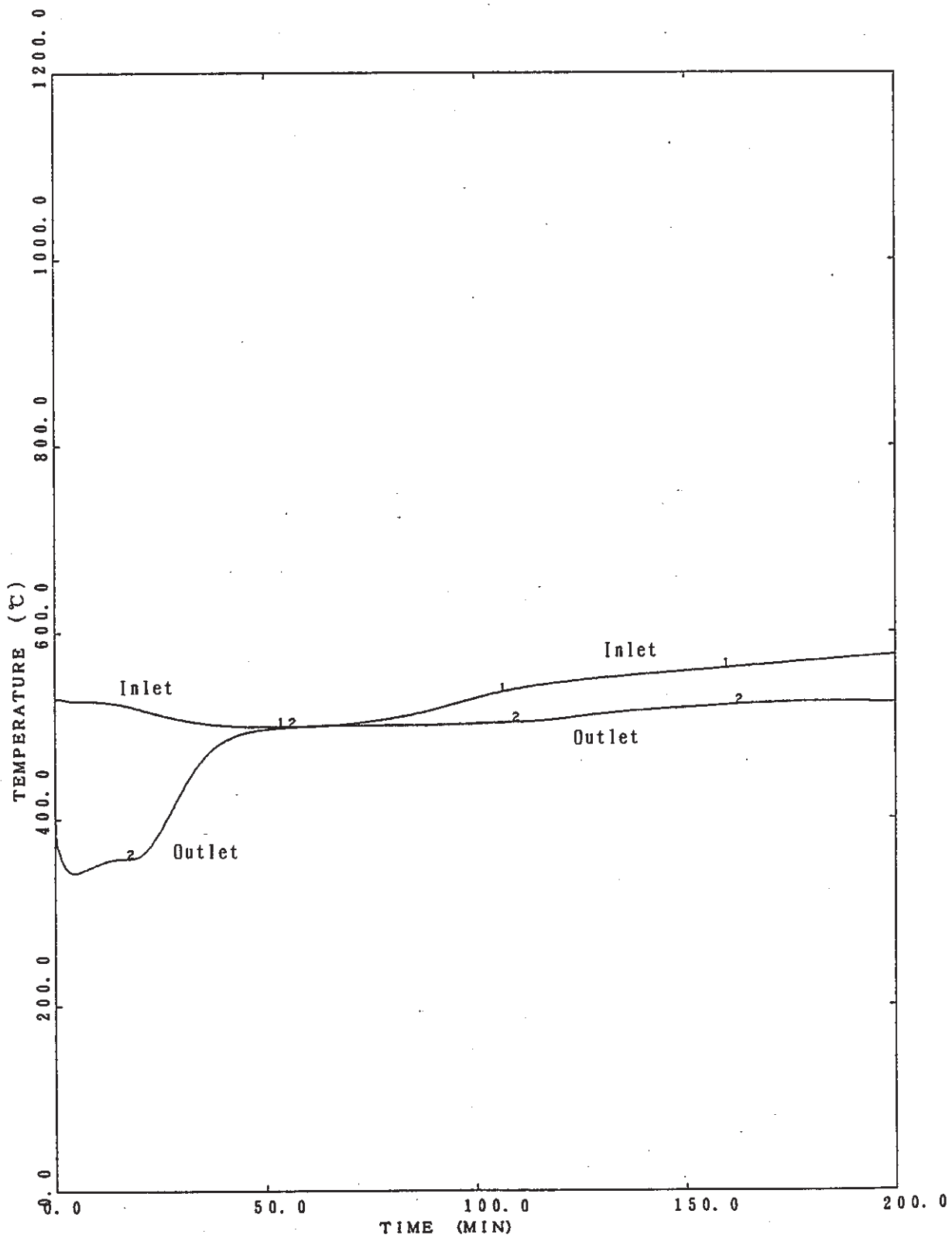


Figure 2-57 Primary coolant temperature at the inlet and the outlet of the IHX
(Analyzed using SSC-L with the present IHX heat transfer model).

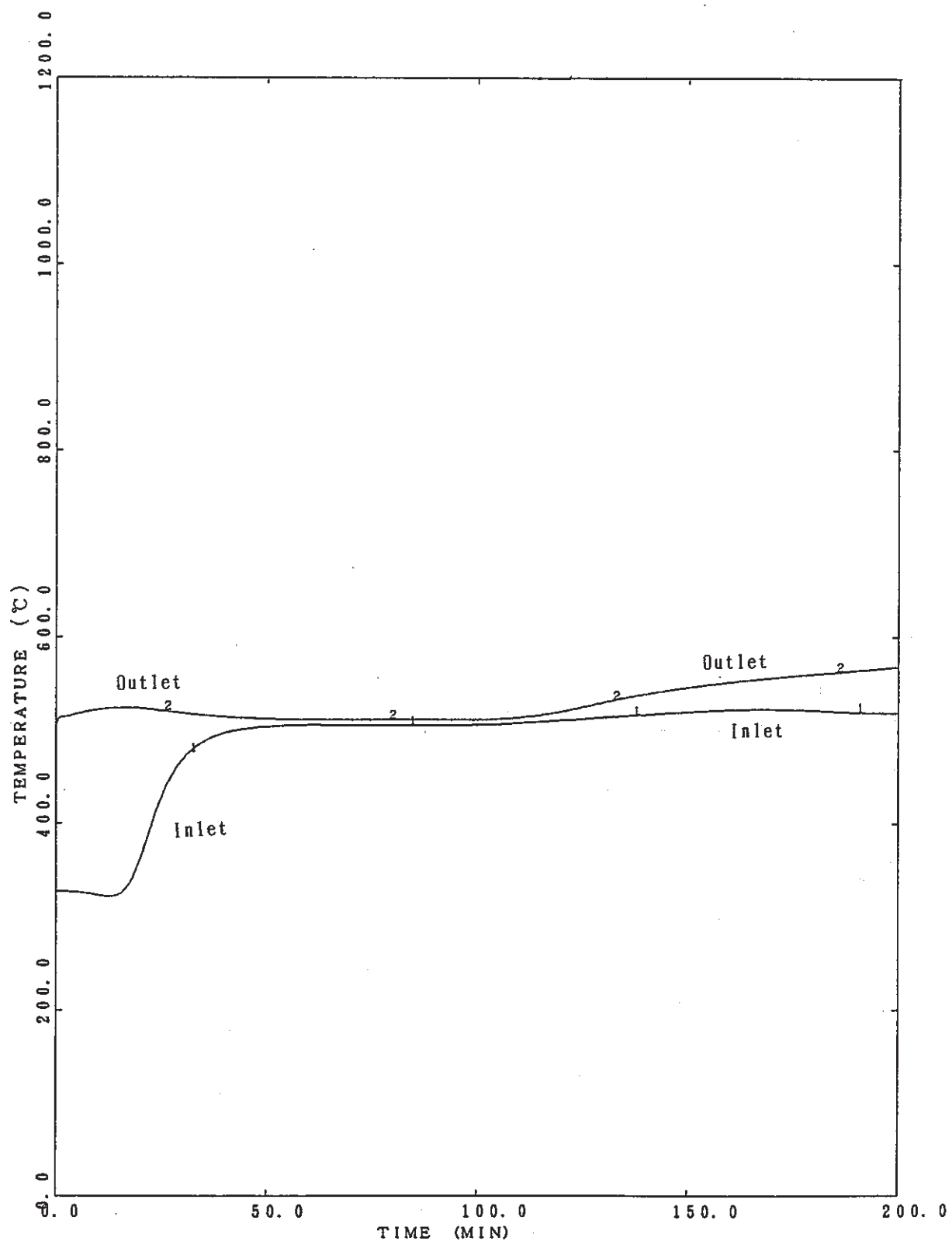


Figure 2-58 Secondary coolant temperature at the inlet and the outlet of the IHX
(Analyzed using SSC-L with the present IHX heat transfer model).

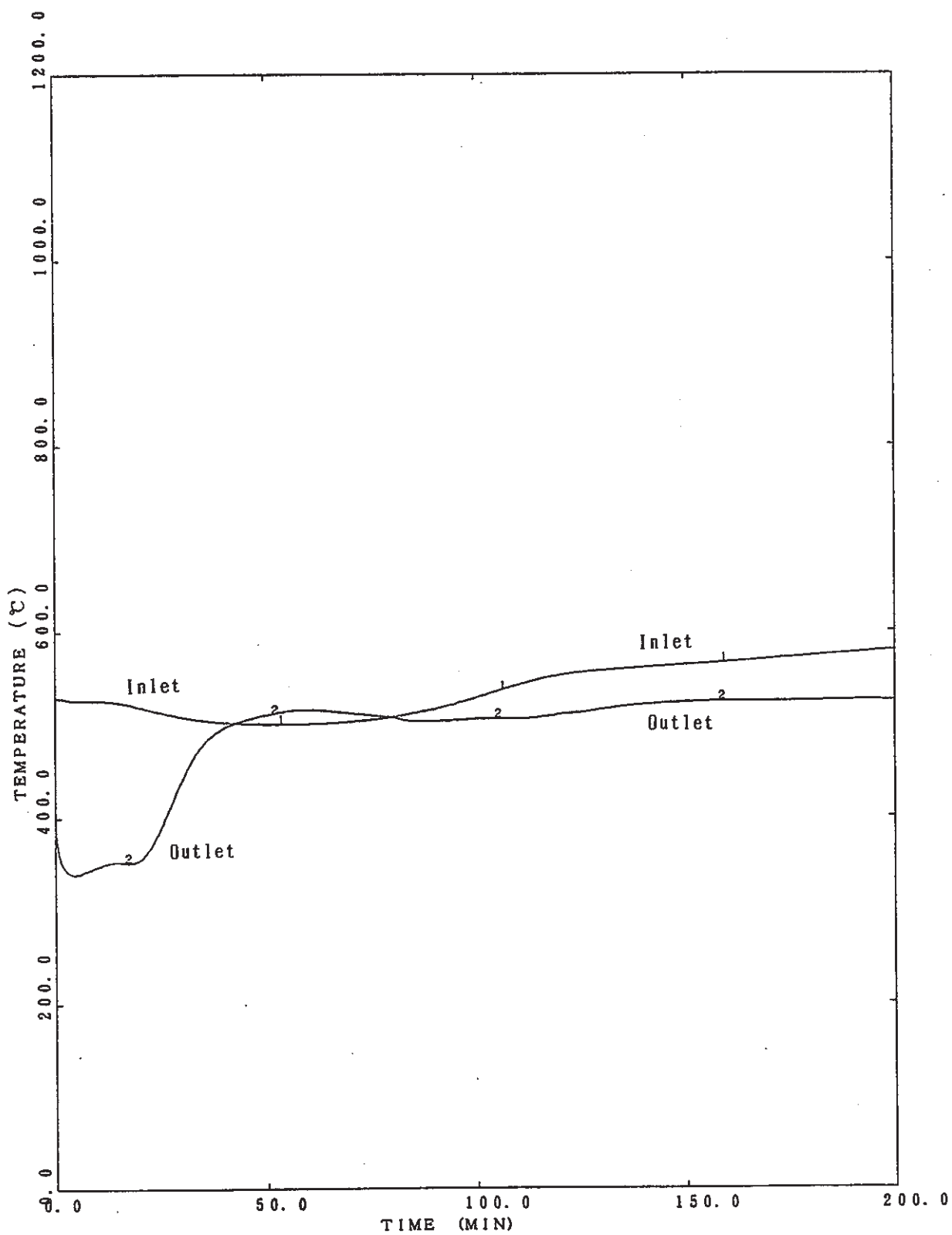


Figure 2-59 Primary coolant temperature at the inlet and the outlet of the IHX
(Analyzed using SSC-L with the original IHX heat transfer model).

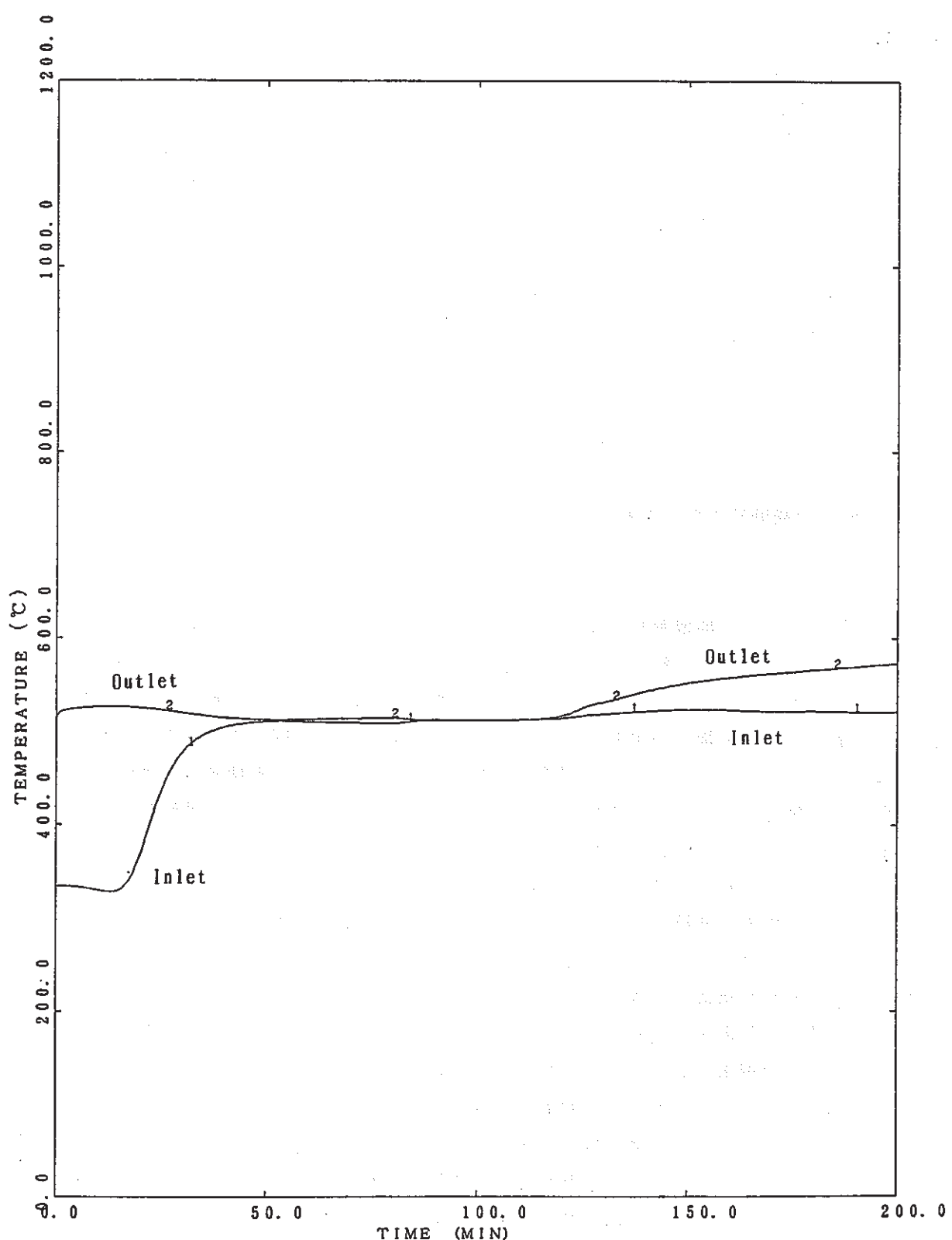


Figure 2-60 Secondary coolant temperature at the inlet and the outlet of the IHX
(Analyzed using SSC-L with the original IHX heat transfer model).

Table 2-6 Comparison of the computational time for the protected loss of heat sink (PLOHS) accident.

	Simulation Time (ST)	CPU Time (CPU)	ST/CPU Ratio
Original Model	24 hrs (1440 min)	251 min	5.7
Present Model	24 hrs (1440 min)	138 min	10.4

2.5 原子炉補助冷却系（IRACS）モデル

2.5.1 はじめに

原型炉もんじゅでは崩壊熱除去系として補助炉心冷却系（IRACS）を用いている。IRACSによる崩壊熱除去を解析することを主目的として、IRACSモデルを作成し、SSC-Lに組み込みを行った。IRACSには一般に蒸気発生器と並列に設置されている場合と、直列に設置されている場合がある。ここでは、原型炉もんじゅと同一タイプの並列型IRACSをモデル化した。ただし、この並列流路をモデル化するときに、崩壊熱除去運転時に冷却材の流路を切り換えるという方法を用いている。従って、並列型であっても運動量の保存則を並列2流路バスに関して同時に解いているわけではない。このような理由から、IRACS起動後に蒸気発生器の圧損をIRACSの流路バスに加えることによれば、直列型の場合にも容易に適用できる。即ち、流路を切り換えるという方法で並列型IRACSをモデル化しているが、直列型IRACSにもそのまま適用できる。

補助炉心冷却系を構成する機器は、Figure 2-61 に示されるように、主冷却系配管、空気冷却器本体、空気冷却器出口止め弁、バイパス弁、スタック、ダンパー、送風機などである。ここでは、これらの機器システムの全てをモデル化している。

以下に簡単にIRACSモデルの概要を述べる。IRACSのループ数は主冷却系のループ数と同一である。ナトリウム側に関してはポンーモータによる強制循環もしくは自然循環が解析できる。空気系はファンによる強制循環と自然通風を解析できる。スタックと出口ダンパーが考慮されている。空気冷却器の伝熱管は20に要素分割され、エネルギーの保存則は配管系と同様にマーチング法で解かれている。また、順流・逆流ともに解析可能である。このIRACSモデルはSSC-Lと強く結合されており、入力されるべき境界条件は、空気の入口温度のみである。

2.5.2 解析モデルー(1) I R A C S の初期設定と起動条件

(1) 参照条件と初期条件

I R A C S の過渡解析を行なうために、I R A C S の性能を規定する参照条件と崩壊熱除去運転を開始する前の待機条件を規定する初期条件を定義しておく必要がある。これらの条件は、入力データによって指定される。ここでは、プラントの定格運転条件は待機状態(初期条件)に相当し、原子炉停止後の崩壊熱除去運転がI R A C S の定格運転条件に相当するものとする。

参照条件とは、I R A C S の定格(崩壊熱除去)運転時における熱流動条件を指す。即ち、参照条件では、ナトリウム側、及び空気側のホットレグとコールドレグの冷却材温度、冷却材流量、空気冷却器ファンの送風ヘッドなどのサイジング条件を入力し、熱伝達係数や、圧損係数などの過渡解析で用いる諸定数を決定する。空気側については、冷却材の初期温度を入力する。

初期条件では、参照条件から求められた諸定数を用いてプラントの定格運転条件におけるI R A C S の温度分布や冷却材の流量、熱損失などを計算する。ナトリウム側の初期温度は2次主冷却系と同一とする。空気の入口温度は入力によって指定する。

(2) I R A C S の起動条件

I R A C S の起動条件は、ユーザが指定する起動時刻によって決まる。ナトリウム側を起動する時刻と空気側を起動する時刻とは独立に指定できる。即ちS2DACSは、蒸気発生器の流路パスを閉じて、I R A C S の流路パスを開ける時刻である。冷却材の流路は、この時刻を以て瞬時に切り替わると仮定している。S2STARTによって空気側の流路が確保される。この時刻でダンパー、ベーン開となる。

空気側は、N2ACSOの値によって、その後、自然循環とするか強制通風とするかを選択する。S2START以前にも除熱はなされるが、初期の微少流量が継続すると仮定される。そのため、S2START以前の除熱量は、定格運転時の熱損失程度にすぎない。

2.5.3 解析モデルー(2) I R A C S の流動モデル

(1) 参照条件の設定

空気側とナトリウム側の冷却材の流量と温度分布の参照条件が決まれば、その条件を達成するに必要な圧損を知ることが出来る。従って、参照条件を満たす空気冷却器の形状圧損係数が求められる。空気冷却器の圧損としては、加速圧損、摩擦圧損、重力圧損、形状圧損が考慮されており、流量と温度分布が既知であれば、これらの圧損を全て計算できる。

空気冷却器圧損の設計値を入力データにより指定する事が可能である。指定した場合には、参照条件に基づいて求めた圧損と指定した圧損を比較する。両者が異なる場合には、その差を付加的な形状圧損として加える。そして、入力データによって指定した圧損と等しくなるように調整を行なっている。指定しなかった場合には、付加的な形状圧損係数はないものとして計算を進める。

これらの操作はサブルーチンPL050Rで行なわれる。

(2) 初期条件の設定

初期状態の圧損はサブルーチンPLOSOSで計算される。ただし、空気冷却器が起動するまでは、空気冷却器の運動量保存則を解かないので、ここで求める初期状態の圧損はデータチェックなどの目的のために求めているという以上の意味を持たない。実際のプラントの運用では、バイパス弁の開度を調整して、所定のリーク流量が流れるように空気冷却器の流路パスの圧損を調整する。空気冷却器出口止め弁を開にして、崩壊熱除去系を起動したときには、その操作のために圧損は変化（減少）する。

(3) 過渡計算

過渡時には、2次主冷却系と同様の方法によって運動量の保存則を時間積分する。ナトリウム側の運動量保存則を解く場合には、既に述べたナトリウム側の起動条件が満たされて空気冷却器が既に起動しているか否かを判断する。起動している場合には、空気冷却器の圧損を用いる。起動していない場合には蒸気発生器の圧損を用いる。すなわち、運動量の保存則において、IRACS起動前には、流体慣性と圧損は（分岐点→SG→ミキシングティー）の流路に沿って加えていく。一方、IRACS起動前には、流体慣性と圧損は（分岐点→ACS→ミキシングティー）の流路に沿って加えていく点に注意しなければならない。

また、次に述べるようにIRACS起動後には、ナトリウムの流路として、出口止め弁の流路かバイパス弁の流路かを選択できる（Figure 2-61 参照）。それに応じて、IRACSの圧損を定義している。

空気冷却器の圧損は、加速圧損、摩擦圧損、重力圧損、形状圧損が考慮されている。圧損はサブルーチンHACS2Tで計算される。2次主冷却系の運動量保存則を解くモジュールは手を加えてはいるが基本的には改良前と同じである。

(4) 空気冷却器出口止め弁バイパス弁のモデル

崩壊熱除去運転時には空気冷却器出口止め弁が開けられる。この開操作に失敗した場合には、通常運転時に空気冷却器におけるナトリウムの凍結を防止するためにリーク流量を流しておく目的で設置されている出口止め弁バイパス弁を通して冷却パスを確保することが可能である。もんじゅの場合には、バイパス弁は常時開度 50%に維持されている。ただし、この場合には熱損失を最小化するために圧損は極めて大きく設定してある。この圧損を以下の通りにモデル化する。

$$\Delta P = \zeta \frac{\gamma}{2 g} v^2 \quad (2-5-1)$$

ただし v は配管内流速とする。従って、

$$\Delta P = \zeta \frac{1}{2 \gamma A^2} W^2 \quad (2-5-2)$$

である。

もんじゅの安全審査熱過渡解析用データによれば、ACSを含む2次系の圧損のノミナル値は、ACS分岐点からAC入口までは 0.0167 kg/cm^2 、AC本体が 0.0415 kg/cm^2 、AC出口からミキシングティーまでは 0.0244 kg/cm^2 である。バイパス弁の圧損係数は弁開度50%で $\zeta = 200.0$ 、弁開度100%で $\zeta = 4.0$ である。また、もんじゅの場合には配管内径は81.1mmである。

このモデルはもんじゅの解析に特有であるため、プログラム上では、FUNCTION CVALOC でデータ文で与えている。求めた圧損は、ACS下流の主冷却系配管の圧損に付加している。

2.5.4 解析モデル(3) IRACSの伝熱モデル

初期設定においては、参照条件に基づいて熱伝達率の修正係数を求める計算と、初期条件に基づいて、初期温度分布を求める計算とがなされる。空気冷却器における伝熱計算は、2.4節に示した IHX における解析方法とほとんど同様である。この計算はサブルーチンUNIVOTで行なわれる。

(1) 空気冷却器の参照条件設定計算

空気冷却器の参照条件を用いて、熱伝達率の修正係数 α を求める。空気冷却器の参照条件によれば、ナトリウム側の流量と空気冷却器出入口温度が定まっているので、空気冷却器における伝熱量が分かる。空気側については、入口温度、出口温度、流量の何れかひとつが知れれば、空気冷却器の熱的状態を決定するに必要十分である。ここでは、空気の流量と空気の高温側（出口）温度を未知数にして、入口温度を既知であるとする。ただし、方程式が非線形であるため、反復計算が必要となる。参照条件の空気の高温側温度と空気流量を、反復計算における第1次近似として用いる。ここで、高温側温度は、ナトリウム側からの除熱量と空気側への受熱量が等しくなるように、空気冷却器におけるヒートバランスに基づいてサブルーチンABALOSで求める。

ナトリウム側の条件から空気冷却器の参照条件における伝熱量 Q は、

$$Q = W_1 (E_H - E_C) \quad (2-5-3)$$

で与えられる。以下では、添字1はナトリウム側を、2は空気側をそれぞれ示すものとする。添字HとCはそれぞれ高側と低温側を示す。Wは冷却材流量、Eはエンタルピーである。空気側の参照条件を第1次近似として用いれば、次式で対数平均温度差 ΔT_{LM} が与えられる。

$$\Delta T_{LM} = \frac{(T_{1H} - T_{2H}) - (T_{1C} - T_{2C})}{\ln(T_{1H} - T_{2H}) - \ln(T_{1C} - T_{2C})} \quad (2-5-4)$$

従って、全熱通過率UAは

$$UA = \frac{Q}{\Delta T_{LM}} \quad (2-5-5)$$

となる。ここで、Uは熱伝達率である。Aは伝熱面積であり、この場合には以下の(2-5-10)式で与えられる。空気出口温度が分かっていれば、これらの量を用いて、ナトリウムの上流側

($i=1$) からマーチング法によって空気冷却器内のナトリウムと空気の温度分布を求めていくことができる。節点 i と $i+1$ で囲まれるセルのエネルギーバランスは次式で与えられる。ただし、第1近似としては修正係数 $\alpha = 1$ として計算を開始する。

ナトリウム側

$$W_1(E_{1,i} - E_{1,i+1}) = \alpha(UA)_{1t}(T_{1,i} - \bar{T}_{t,i}) \quad (2-5-6)$$

$$\bar{T}_{1,i} = (T_{1,i} + T_{1,i+1}) / 2 \quad (2-5-7)$$

空気側

$$W_2(E_{2,i} - E_{2,i+1}) = \alpha(UA)_{2t}(T_{2,i} - \bar{T}_{t,i}) \quad (2-5-8)$$

$$\bar{T}_{2,i} = (T_{2,i} + T_{2,i+1}) / 2 \quad (2-5-9)$$

$$A = L \Delta x \quad (2-5-10)$$

ここで、 L はぬれぶち長さ、 Δx はセルのメッシュ長さである。 $(2-5-6)$ と $(2-5-8)$ 式より、 $E_{1,i+1}$ 、 $E_{2,i+1}$ を求める。ただし $\bar{T}_{1,i}$ と $\bar{T}_{2,i}$ 、 $(UA)_{1t}$ と $(UA)_{2t}$ を求めるためには $T_{1,i+1}$ 、 $T_{2,i+1}$ が必要であるため、反復計算が必要となる。

この手順を伝熱管の分割数だけ繰り返せば、空気冷却器の温度分布が求まる。空気冷却器におけるナトリウム側と空気側の出入口温度を用いて、ナトリウム側から除熱量 Q_1 と空気側への受熱量 Q_2 を計算することができる。

$$Q_1 = W_1(E_{1H} - E_{1C}) \quad (2-5-11)$$

$$Q_2 = W_2(E_{2H} - E_{2C}) \quad (2-5-12)$$

Q_1 と Q 、 Q_2 と Q が十分に小さい誤差範囲の中で一致していれば、そのときの α を採用する。一致しない場合には

$$\alpha^{\text{new}} = \alpha^{\text{old}} \frac{2Q}{Q_1 + Q_2} \quad (2-5-13)$$

として再び温度分布を計算する。

この反復計算はサブルーチン RBAL0S で行なわれる。温度分布そのもの計算はサブルーチン TDIS0S で行なわれる。

(2) 空気冷却器の初期条件設定計算

次に空気冷却器の初期条件を定める。

初期条件の設定では、参考条件の設定で決定された α を用いる。プラントの熱バランスから、ナトリウム側の流量と空気冷却器出入口温度が既知である。また、空気側の入口温度が既知である (\approx 室温) と仮定する。これらの量を用いて、対数平均温度差の定義式(2-5-4)式を T_{2H} について解けば空気側の出口温度を求めることができる。

そして、マーチング法により、(2-5-6)から(2-5-9)式を用いて高温側から温度分布を計算する。計算された空気冷却器内の温度分布から、2次系に伝えられる伝熱量を評価し、その結果が1次系からの除熱量と一致していれば設定を終了する。一致していない場合にはその差に相当するだけ熱通過率を変化させる。そして空気の高温側温度を対数平均温度差より再び求めて、マーチング法により高温側から温度分布を再計算する。以上の操作を収束が得られるまで反復することにより初期設定する。

この計算はサブルーチンHBAL0Sで行なわれる。温度分布そのものの計算はサブルーチンTDIS0Sで行なわれる。

(3) 配管の熱輸送モデル

IRACSにおいても、配管系の熱輸送系モデルとしては離散パラメータ法を用いたSSC-Lの熱輸送系と同一のモデル [1] を使用する。

2つの節点と配管壁で囲まれた領域をコントロールボリュームとし、これに関して支配方程式を導く。ただし、ACSの分岐点と、ミキシングティーでは流れの方向に従って、エネルギーのバランス式を立てている。

冷却材

$$\bar{\rho}_i A \Delta X \frac{d e_{i+1}}{d t} = W(e_i - e_{i+1}) - (U A)_{cw} (\bar{T}_i - T_{wi}) \quad (2-5-14)$$

配管壁

$$(M_w C_w)_i \frac{d T_{wi}}{d t} = (U A)_{cw} (\bar{T}_i - T_{wi}) \quad (2-5-15)$$

流路分岐点

$$\begin{aligned} \bar{\rho}_i A \Delta X \frac{d e_{i+1}}{d t} &= W e_i - W_{p1} e_{i+1} - W_{p2} e_{i+1} \\ &\quad - (U A)_{cw} (\bar{T}_i - T_{wi}) \end{aligned} \quad (2-5-16)$$

$$\begin{aligned} \bar{\rho}_i A \Delta X \frac{d e_{p1}}{d t} &= W_{p1} e_{i+1} - W_{p1} e_{p1} \\ &\quad - (U A)_{cw} (\bar{T}_i - T_{wi}) \end{aligned} \quad (2-5-17)$$

$$\begin{aligned} \bar{\rho}_i A \Delta X \frac{d e_{p2}}{d t} &= W_{p2} e_{i+1} - W_{p2} e_{p2} \\ &\quad - (U A)_{cw} (\bar{T}_i - T_{wi}) \end{aligned} \quad (2-5-18)$$

$$W = W_{p1} + W_{p2} \quad (2-5-19)$$

ミキシングティー

$$\bar{\rho}_i A \Delta X \frac{d e_{i+1}}{d t} = W_{p1} e_{p1} + W_{p2} e_{p2} - W e_{i+1} - (U A)_{cw} (\bar{T}_i - T_{wi}) \quad (2-5-20)$$

$$W = W_{p1} + W_{p2} \quad (2-5-21)$$

ここで、

A : 流路断面積 ($= \pi D_i^2 / 4$)

A_{cw} : 冷却材と配管壁の伝熱面積

C_w : 配管壁の比熱

e_i : 接点*i*におけるエンタルピー

e_{p1} : 分岐点の流路1のエンタルピー

e_{p2} : 分岐点の流路2のエンタルピー

T_i : 接点*i*における冷却材温度

\bar{T}_i : 接点*i*と*i+1*の冷却材平均温度 ($= (T_i + T_{i+1}) / 2$)

T_{wi} : 接点*i*における配管壁温度

$(U A)_{cw}$: 冷却材と配管壁の全熱伝達率

M_w : 配管壁の質量

W : 冷却材質量流量

W_{p1} : 分岐点の流路1の流量

W_{p2} : 分岐点の流路2の流量

$\bar{\rho}_i$: 接点*i*と*i+1*における冷却材平均密度

Figure 2-62に流路分岐点とミキシングティーのモデルを示す。斜線部のコントロールボリュームに関して(2-5-16)から(2-5-21)式をたてればよい。

(4) プレナム混合モデル

ナトリウム側、空気側共に、空気冷却器出入口のプレナムが考慮される。プレナムでは以下のエネルギーバランスの式が解かれる。

$$\rho V \frac{d E_{out}}{d t} = W (E_{in} - E_{out}) \quad (2-5-22)$$

差分化すれば

$$E_{out}^{n+1} = (E_{out}^n + \frac{W^{n+1}}{\rho V} \Delta t E_{in}) / (1 + \frac{W^{n+1}}{\rho V} \Delta t) \quad (2-5-23)$$

となる。このモデルでは、冷却材の順流逆流に対応できるように考慮されている。即ち、Wの符号によって、 E_{in} と E_{out} の定義を変えている。常に上流側を入口(E_{in})に、下流側を出口(E_{out})に指定してプレナム内のエネルギーバランスを評価する。各プレナムの体積は入力データによって与えられる。この計算はサブルーチンPLENOTで行なわれる。

2.5.5 解析モデルー(4) IRACSの空気流動モデル

空気冷却器の空気側流動解析では、入力データによって、強制送風か自然通風かを選択する。強制送風の場合には、入力データによって、時刻と空気流量を表形式で与え、そのデータを時間に関して内挿して送風量を求めるという簡便な方法を用いている。

自然通風の場合には、以下の通りに計算する。スタックにおいては、輸送時間遅れにともなう空気冷却器(ACS)出口温度 T_1 とスタック温度 T_s の差を考慮して、自然通風ヘッドを正しく評価する。空気が理想気体であり、スタックを完全混合1点近似であると仮定すれば、

$$\frac{dT_s}{dt} = \frac{\nu}{\tau} (T_1 - T_s) \quad (2-5-24)$$

が成り立つ。 τ は次式で与えられる。

$$\tau = \frac{T_s}{T_0} \tau_0 \quad (2-5-25)$$

である。ここで T_0 は空気の入口温度、 ν は空気流量の参照値に対する相対値であり、 τ_0 はスタックの時定数(スタック体積/体積流量率)である。(2-5-24)式を差分化すれば次式によってスタックにおける空気温度は計算される。

$$T_s^{n+1} = T_s^n + \frac{\nu}{\tau} (T_1^n - T_s^n) \Delta t \quad (2-5-26)$$

n と $n+1$ は時刻をあらわす。一方、自然通風ヘッド ΔP_s 計算するために以下の式を用いる。

$$\Delta P_s = \frac{g P_{atm}}{R} \left(\frac{1}{T_0} - \frac{1}{T_s} \right) H \quad (2-5-27)$$

ここで、 g は重力加速度、 P_{atm} は大気圧、 R はガス定数である。空気の運動量保存則は、慣性を無視すれば

$$\frac{W_{air}^2}{A^2} - \frac{d(1/\rho)}{dx} = - \frac{dP}{dx} - K \frac{W_{air} | W_{air} |}{2 \rho A^2} \quad (2-5-28)$$

x は空気の流れる方向座標、 W_{air} は空気流量、 A は流路断面積、 K は圧力損失係数である。

従って、

$$\int \frac{W^2}{A^2} \rho d \frac{1}{\rho} = - \int \rho d P - \int \frac{K W^2}{2 A^2} dx \quad (2-5-29)$$

よって過渡時の空気流量は次式で与えられる。

$$W = A \left[\frac{P_0}{V_0} \left(1 - \frac{1}{r^2 t} \right) / \left(1 + \frac{\rho n r t}{\rho n r} \right) / \left(\rho n r t + \frac{K}{2} \right) \right]^{1/2} \quad (2-5-30)$$

ただし、

$$r = \frac{P_0}{P_1}, \quad t = \frac{T_1}{T_0} \quad (2-5-31)$$

$$P_1 = P_{atm} - \Delta P_s \quad (2-5-32)$$

$$P_0 = P_{atm} + \Delta P_{fan} \quad (2-5-33)$$

ΔP_{fan} はファンの送風ヘッドである。以上に述べた、空気流量とスタックの空気温度はサブルーチン IACS2Tにおいて計算される。

過渡計算では、圧力損失係数 $K = K_t$ である。 K_t は過渡時の圧力損失係数であり、レイノルズ数 R_e の関数として、次式で与えられる。

$$K_t = K_r R_e^{-0.316} \quad (2-5-34)$$

なお、空気冷却器の参照状態における圧力損失係数 K_r は (2-5-30) 式に参考状態における t 、 r 、 P_0 、 W を代入して、 K について解けば求めることができる。 K_r の計算は、サブルーチン IACS2S でなされる。

2.5.6 解析例

Figure 2-63 と Figure 2-64 に解析例を示す。これは、常陽 MK-I 炉心における自然循環試験を S S C-L によって解析し、その結果と試験結果と比較したものである [6]。Figure 2-63 は 1 次系の冷却材流量の比較である。Figure 2-64 は 2 次熱輸送系の温度分布を示したものである。中間熱交換器 (IHX) と空気冷却器 (DHX) の出入口温度を比較している。1 次系の流量は全く一致し、かつ、2 次系の温度も実験値と良く一致している。この解析結果からも分かるように、IRACS モデルを加えたことによって、炉心から、崩壊熱除去系に至るまでの熱輸送系全体がモデル化されるようになっている。また、解析結果も実験値と極めて良く一致し、本モデルの妥当性を示すものである。

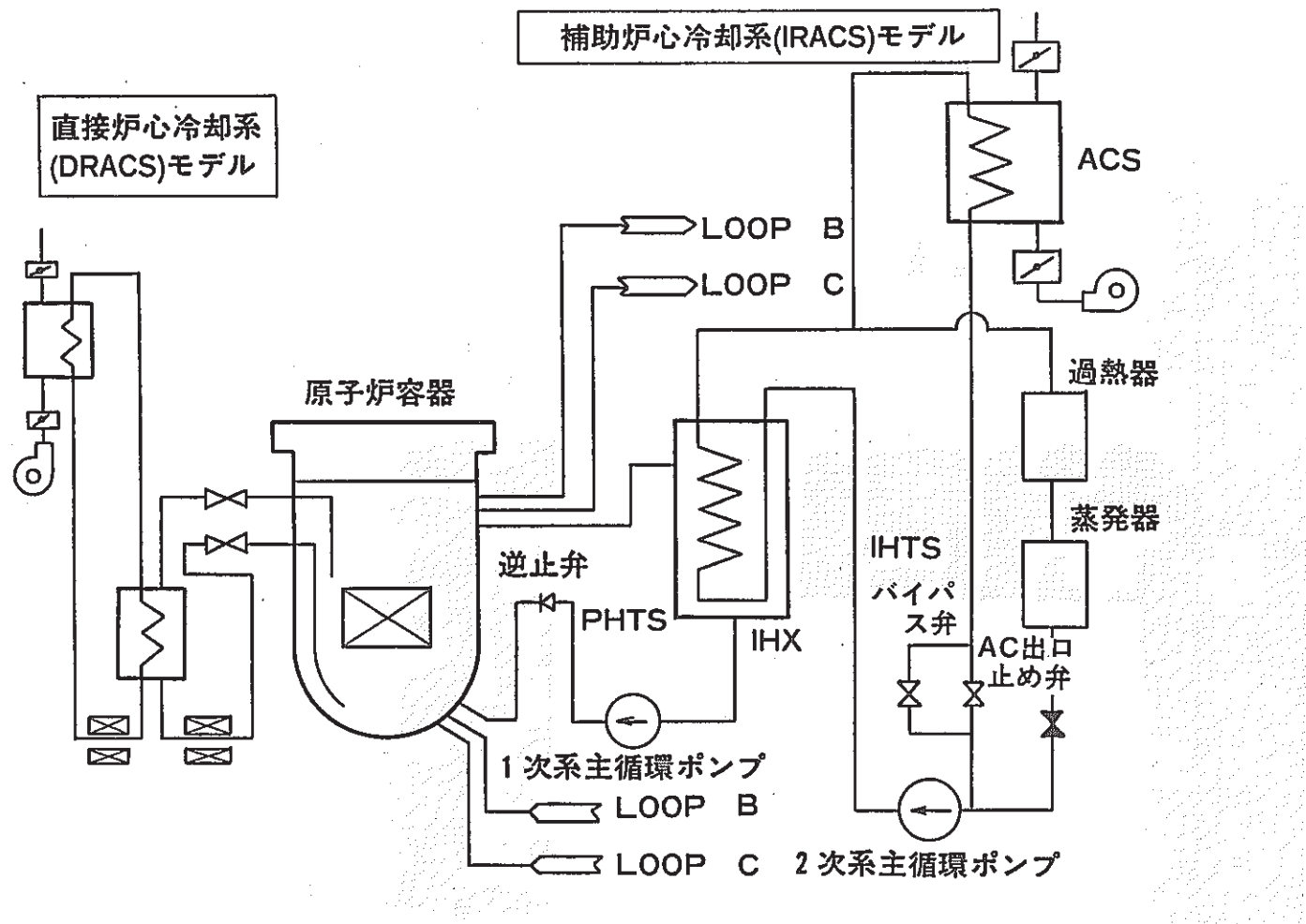


Figure 2-61 Schematic diagram of decay heat removal systems.

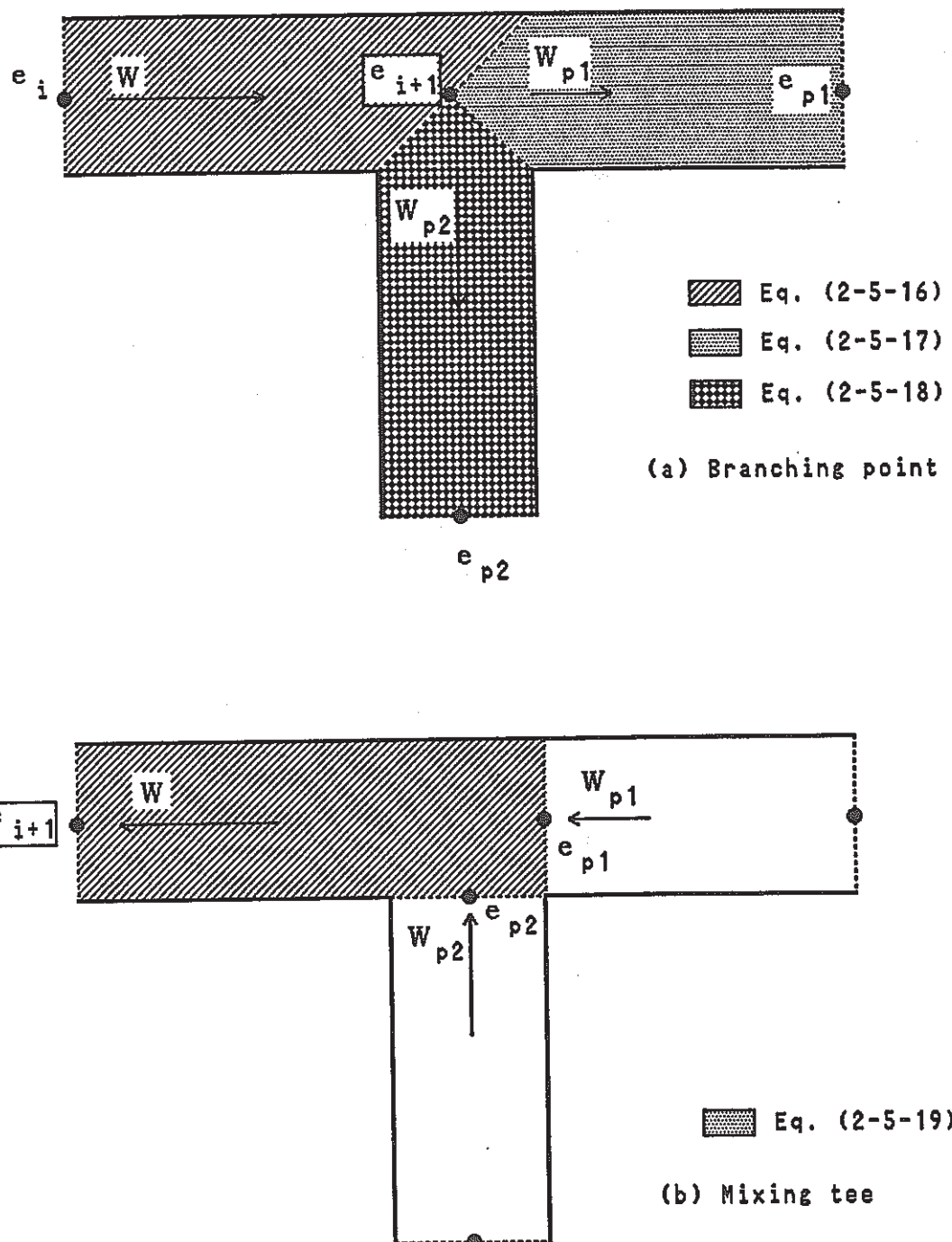


Figure 2-62 Mass and energy balance at the branching point and the mixing tee.

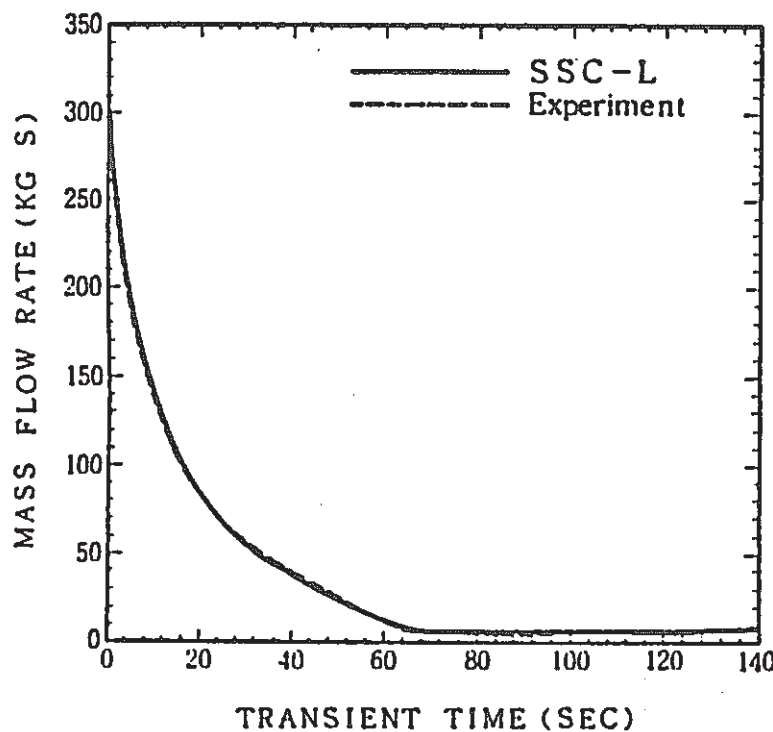


Figure 2-63

Comparison between measured and calculated coolant flow rate in the primary loop during the Joyo natural circulation test with Mk-I core.

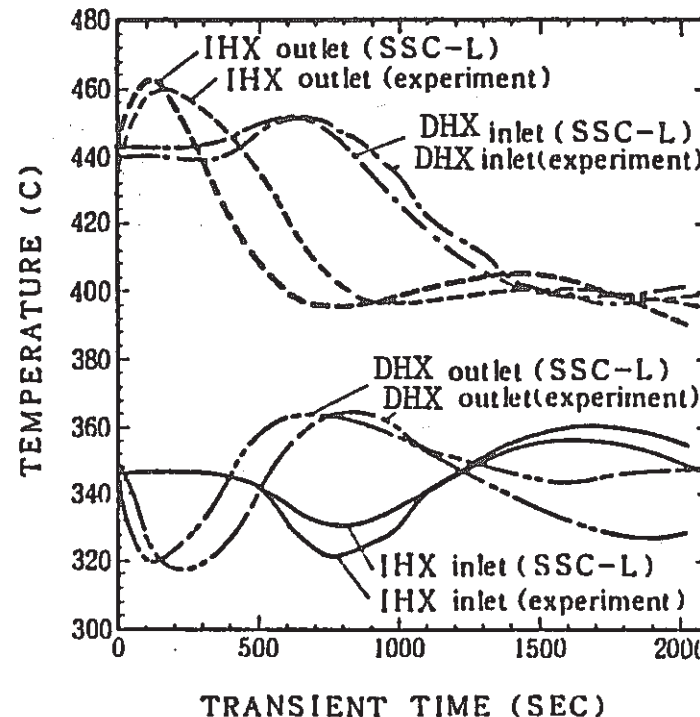


Figure 2-64

Comparison between measured and calculated coolant temperature of the hot and cold legs in the secondary loop during Joyo natural circulation test with Mk-I core.

2.6 原子炉直接炉心冷却系（D R A C S）モデル

2.6.1 はじめに

高速増殖炉の崩壊熱除去系として直接炉心冷却系（D R A C S）を用いている設計も多く見受けられる。そこで、D R A C S モデルを作成し、S S C - L に組み込みを行った。Figure 2-65 に示されるように D R A C S にも様々なタイプがある。ここでは、原型炉もんじゅや米国のC R B R Pで考えられている D R A C S 4 (Figure 2-65) をモデル化した。このタイプは、上部プレナムから冷却材を取り出し、下部プレナムに戻すものである。このシステムの概略図を Figure 2-66 に示す。他のタイプの D R A C S も考慮できるように解析コードを変更することは容易である。しかし、現在のバージョンではタイプ 4 に限定し、今後、必要に応じて改良して行くものとする。

もんじゅの場合には、メインテナンス冷却系（M C S）が機能上は D R A C S に相当する。崩壊熱除去機能喪失（P L O H S）事故時には、M C S を用いて炉心を冷却することが可能である。もんじゅの M C S は、1 次系、2 次系、空気冷却系で構成されている。ここでは、これらのシステムの全てをモデル化している。

以下に簡単に M C S モデルの概要を述べる。M C S のループ数には制限がないが、その運転状態は全ループ対称とする。すなわち代表的な 1 ループのみを解析する。1 次系、2 次系共に電磁ポンプによる強制循環もしくは自然循環が解析できる。空気系はファンによる強制循環と自然通風を解析できる。スタックと出口ダンパーが考慮されている。出口ダンパーは粗調整ダンパーと微調整ダンパーから構成されている。中間熱交換器と空気冷却器は簡単に 1 領域でモデル化し、向流を仮定する。熱伝達特性の評価には出入口の平均温度を用いている。この M C S モデルは S S C - L と強く結合されており、入力するべき境界条件は、空気の入口温度のみである。

2.6.2 解析モデル

(1) D R A C S の初期条件と起動条件

D R A C S ループの初期条件は、入力データによって指定する。1 次 M C S 配管系の初期温度は任意に指定するか、もしくは配管のホットレグとコールドレグ温度を、それぞれ原子炉容器上部プレナム温度と下部プレナム温度の計算値と等しくするかを指定する。1 次系の流量及び 2 次系、空気系の流量と温度は、入力データによって指定する。D R A C S を起動する時刻は入力データによって指定する。起動後には、ホットレグ配管には上部プレナムの温度に相当するエンタルピーが輸送される。下部プレナムにおいては各主冷却系ループと D R A C S ループからの冷却材が瞬時に混合すると仮定する。

(2) 1 次系熱流動モデル

1 次系では上部プレナムから、M C S ホットレグ配管、中間熱交換器、コールドレグ配管を

通って、下部プレナムへ冷却材は流れるとする。1次系電磁ポンプと、流量調整装置もモデル化されている。1次系の運動量保存則は次式で与えられる。

$$\begin{aligned} \frac{dW_D}{dt} - \sum_i \left(\frac{L}{A} \right)_i + W_D^2 \sum_i \frac{1}{A_i^2} (1/\bar{\rho}_{i+1} - 1/\bar{\rho}_i) \\ = P_{in} - P_{inv} - \Delta P_{FCD} + \Delta P_{EMP} + g \sum \rho_i (Z_i - Z_{i+1}) \\ - \frac{W_D + W_D}{2} \sum_i \left(\frac{f L}{D_h} + C \right)_i / \bar{\rho}_i A_i^2 \end{aligned} \quad (2-6-1)$$

ここで、

$$\sum_i \left(\frac{L}{A} \right)_i = \frac{L_H^H}{A_1^H} + \frac{Z_{DHX}}{A_{DHX}} + \frac{L_C^C}{A_1^C} + m \frac{|Z_{BC} - Z_L|}{A_{LP}} \quad (2-6-2)$$

$$\sum \bar{\rho}_i (Z_i - Z_{i+1}) = -\rho_H Z_1^H + \rho_{av} Z_{DHX} + \rho_C Z_1^C + \rho_{LP} (Z_{BC} - Z_L) \quad (2-6-3)$$

$$\sum_i \frac{1}{A_i^2} (1/\bar{\rho}_{i+1} - 1/\bar{\rho}_i) = \frac{1}{A_{DHX}^H} (1/\bar{\rho}_C - 1/\bar{\rho}_H) + \frac{1}{A_{LP}^C} (1/\bar{\rho}_{LP} - 1/\bar{\rho}_H) \quad (2-6-4)$$

$$\begin{aligned} \sum_i \left(\frac{f L}{D_h} + C \right)_i / \bar{\rho}_i A_i^2 &= \frac{f_H^H L_1^H}{D_{h1}^H \rho_H (A_1^H)^2} + \frac{f_C^C L_1^C}{D_{h1}^C \rho_C (A_1^C)^2} \\ &+ \frac{f_{DHX} Z_{DHX}}{D_{hDHX} \rho_{av} A_{DHX}^2} + \frac{C_1}{\rho_{av}} \end{aligned} \quad (2-6-5)$$

$$P_{in} = P_{cg} + (Z_{NaL} - Z_U) g \quad (2-6-7)$$

$$\Delta P_{FCD} = \Delta P_{FCD0} \frac{W_D^2}{W_{D0}^2} \quad (2-6-8)$$

ここで、

W_D : D R A C S 1次系流量

A : 断面積

L : 配管長さ

ρ : 冷却材密度

P_{in} : D R A C S 1次系入口圧力

P_{inv} : 原子炉容器入口圧力

ΔP_{FCD} : 流量調整装置の圧損

ΔP_{EMP} : 電磁ポンプ吐出圧

g : 重力加速度

Z : 配管の高低差

f : 厚擦圧損係数

D_h : 等価水力直径

C : 形状圧損係数

である。添字は、

DHX : 中間熱交換器

LP : 下部プレナム

H : ホットレグ配管

C : コールドレグ配管

1 : 1次系

を示す。圧力定義点と高低差については、Figure 2-66 に示す。 ΔP_{EMP} は入力データによって与える。

P_{inj} は以下の通りに計算される。

$$W_C = n W_{2,i} + W_{3,i} + m W_D \quad (2-6-9)$$

n は主冷却系の健全ループ数、 m は D R A C S ループ数である。 $W_{2,i}$ は健全ループの主冷却系流量である。 $W_{3,i}$ は破損ループの冷却材流量で、配管破損がない場合には 0 となる。従って、

$$\frac{dW_C}{dt} = n \frac{dW_{2,i}}{dt} + \frac{dW_{3,i}}{dt} + m \frac{dW_D}{dt} \quad (2-6-10)$$

文献 [1] の(3.2-109)から(3.2-113)式を用いると

$$P_{inj} = (A + B + C + D) / \left[\sum_j \left(\frac{1}{\sum L/A} \right)_j + \frac{n}{\sum_{2,2} (L/A)} + \frac{1}{\sum_{3,1} (L/A)} + \frac{m}{\sum_{DHX} (L/A)} \right] \quad (2-6-11)$$

ただし

$$A = \sum_j [(P_1 + (\sum \Delta P_{f,g})_j) / (\sum L/A)_j] \quad (2-6-12)$$

$$B = n [(P_{out,2} - \sum_{2,2} \Delta P_{f,g}) / (\sum_{2,2} L/A)] \quad (2-6-13)$$

$$C = [(P_{out,b} - \sum_{3,1} \Delta P_{f,g}) / (\sum_{3,1} L/A)] \quad (2-6-14)$$

$$D = m [(P_{in} - \sum_{DHX} \Delta P_{f,g}) / (\sum_{DHX} L/A)] \quad (2-6-15)$$

$(\sum L/A)$ は(2-6-2)式で与えられる。 $\sum \Delta P_{f,g}$ は

$$\begin{aligned}
 \sum_{\text{DHX}} \Delta P_{f,g} &= \Delta P_{FCD} + \Delta P_{EMP} + g \sum_i \bar{\rho}_i (Z_i - Z_{i+1}) \\
 &- \frac{W_D | W_D |}{2} \sum_i \left(\frac{f L}{D_h} + C \right)_i 1/\bar{\rho}_i A_i^2 \\
 &- W_D^2 \sum_i \frac{1}{A_i^2} (1/\bar{\rho}_{i+1} - 1/\bar{\rho}_i)
 \end{aligned} \tag{2-6-16}$$

で与えられる。

DRACSループが運転を開始する条件は、入力データによって起動時刻を設定する。

(3) 2次系流動モデル

2次系はDHXの管側、ホットレグ配管、空気冷却器(NHX)の管側、コールドレグ配管によって構成される。2次系はポンプ、自由表面を持たず、自然循環によって駆動されると仮定される。運動量保存則は、

$$\begin{aligned}
 \frac{d W_N}{d t} &= \sum_i \left(\frac{L}{A_i} \right)_i + W_N^2 \sum_i \frac{1}{A_i^2} (1/\bar{\rho}_{i+1} - 1/\bar{\rho}_i) \\
 &= \Delta P_{EMP} + g \sum_i \rho_i (Z_i - Z_{i+1}) \\
 &- \frac{W_N | W_N |}{2} \sum_i \left(\frac{f L}{D_h} + C \right)_i 1/\bar{\rho}_i A_i^2
 \end{aligned} \tag{2-6-17}$$

$$\sum_i \left(\frac{L}{A} \right)_i = \frac{L_H^H}{A_2^H} + \frac{Z_{DHX}^{\text{tube}}}{A_{DHX}^{\text{tube}}} + \frac{L_C^C}{A_2^C} + \frac{Z_{NMX}^{\text{tube}}}{A_{NMX}^{\text{tube}}} \tag{2-6-18}$$

$$\sum_i \bar{\rho}_i (Z_i - Z_{i+1}) = -\rho_H Z_2^H + \rho_{av} Z_{NMX} + \rho_C Z_2^C - \rho_{av} Z_{DHX} \tag{2-6-19}$$

$$\sum_i \frac{1}{A_i^2} (1/\bar{\rho}_{i+1} - 1/\bar{\rho}_i) = \frac{1}{(A_{DHX}^{\text{tube}})^2} - \frac{1}{(A_{LP}^{\text{tube}})^2} (1/\bar{\rho}_H - 1/\bar{\rho}_L) \tag{2-6-20}$$

$$\begin{aligned}
 \sum_i \left(\frac{f L}{D_h} + C \right)_i 1/\bar{\rho}_i A_i^2 &= \frac{f_H^H L_2^H}{D_{h2}^H \rho_H (A_2^H)^2} + \frac{f_C^C L_2^C}{D_{h2}^C \rho_C (A_2^C)^2} \\
 &+ \frac{f_{DHX}^{\text{tube}} L_{DHX}^{\text{tube}}}{D_{hDHX}^{\text{tube}} \rho_{av} (A_{DHX}^{\text{tube}})^2} + \frac{f_{DHX}^{\text{tube}} L_{DHX}^{\text{tube}}}{D_{hDHX}^{\text{tube}} \rho_{av} (A_{DHX}^{\text{tube}})^2}
 \end{aligned} \tag{2-6-21}$$

ここで、 W_N は2次系流量、添字2は2次系を示す。

(4) 空気冷却器自然通風モデル

スタックにおいては、輸送時間遅れにともなう空気冷却器(ACS) 出口温度とスタック温度の差を考慮して、自然通風ヘッドを正しく評価する。Figure 2-67 に空気冷却器のスタックのモデルの概略を示す。空気が理想気体であり、スタックを完全混合1点近似であると仮定すれば、

$$\frac{dT_s}{dt} = \frac{\nu}{\tau} (T_1 - T_s) \quad (2-6-22)$$

$$\tau = \frac{T_s}{T_0} \tau_0 \quad (2-6-23)$$

$$\Delta P_s = \frac{g P_{atm}}{R} \left(\frac{1}{T_0} - \frac{1}{T_s} \right) H \quad (2-6-24)$$

となる。空気の運動量保存則は、慣性を無視すれば

$$\frac{W_{air}^2}{A^2} \frac{d(1/\rho)}{dx} = - \frac{dP}{dx} - K \frac{W_{air} | W_{air}|}{2 \rho A^2} \quad (2-6-25)$$

従って、

$$\int \frac{W_{air}^2 \rho}{A^2} d \frac{1}{\rho} = - \int \rho dP - \int \frac{K W_{air}^2}{2 A^2} dx \quad (2-6-26)$$

よって、

$$W_{air} = A \left[\frac{P_0}{V_0} \left(1 - \frac{1}{r^2 t} \right) / (1 + \frac{\ln r t}{\ln r}) / (\ln r t + \frac{K}{2}) \right]^{1/2} \quad (2-6-27)$$

ただし、

$$r = \frac{P_0}{P_1}, \quad t = \frac{T_1}{T_0} \quad (2-6-28)$$

$$P_1 = P_{atm} - \Delta P_s \quad (2-6-29)$$

$$P_0 = P_{atm} + \Delta P_{fan} \quad (2-6-30)$$

ここで ΔP_{fan} はファンによる送風ヘッドである。各変数の意味は Figure 2-67 に示される。

K は以下の式で与えられる。空気冷却器の参考状態における圧力損失係数 K_r は (2-6-27) 式を用いて計算される。ダンパーの圧損係数を K_d とすれば一般に過渡時の圧損係数 K_t は

$$K_t = (K_r + K_d) \nu^{-0.32} (T_1/T_{1r})^{0.23} \quad (2-6-31)$$

で与えられる [38]。ただし ν は空気の比流量である。故に

$$W = A \left[\frac{P_0}{V_0} \left(1 - \frac{1}{r^2 t} \right) / (1 + \frac{\ln r t}{\ln r}) / (\ln r t + \frac{K t}{2}) \right]^{1/2} \quad (2-6-32)$$

となる。 V_0 はスタックの容積である。

次にダンパーの圧損係数は K_d はオリフィスモデルを用いて

$$K_d = [1 / \{1 - \frac{n_c}{N} (1-a) \cos(\frac{\pi \chi_c}{2}) - \frac{n_f}{N} (1-a) \cos(\frac{\pi \chi_f}{2})\}]^2 - 1 \quad (2-6-33)$$

で与えられる。ただし、

N : ダンパーの個数

n_c : coarse dampper の個数

n_f : fine dampper の個数

χ_c : coarse dampper の開度 ($0 < \chi_c < 1$)

χ_f : fine dampper の開度 ($0 < \chi_f < 1$)

a : ダンパーを全閉にしたときと全開にしたときの相対的流路面積 ($0 < a < 1$)

K_d は、 $\chi_c = \chi_f = 1$ (全閉) のとき 0 、 $\chi_c = \chi_f = 0$ (全開) のときに $(1/a)^2 - 1$ になる。

ダンパーのモデルの概略図を Figure 2-68 に示す。

(5) D R A C S 中間熱交換器 (D H X)

D R A C S 中間熱交換器 (D H X) は 1 領域とし、交流を仮定する。また、胴側構造材と伝熱管の熱容量は無視する。冷却材の物性値は D H X の出入口における平均温度を用いて計算する。1 次側のエネルギー保存則は

$$(C_p M)_1 \frac{d}{dt} (T_{1C}) = (C_p W_D)_1 (T_{1H} - T_{1C}) - (U A)_1 \Delta T_{LM1} \quad (2-6-34)$$

2 次側のエネルギー保存則は

$$(C_p M)_2 \frac{d}{dt} (T_{2H}) = (C_p W_N)_2 (T_{2C} - T_{2H}) - (U A)_2 \Delta T_{LM1} \quad (2-6-35)$$

ここで ΔT_{LM1} は D H X における対数平均温度差で、次式で与えられる。

$$\Delta T_{LM1} = \frac{(T_{1H} - T_{2H}) - (T_{1C} - T_{2C})}{2n(T_{1H} - T_{2H}) - 2n(T_{1C} - T_{2C})} \quad (2-6-36)$$

また、 T_{1H} 、 T_{1C} 、 T_{2H} 、 T_{2C} はそれぞれ、1 次系のホットレグ温度、コールドレグ温度、2 次系のホットレグ温度、コールドレグ温度である。DHX 伝熱管の熱通過率 U_D は、伝熱管内側に関して、

$$\frac{1}{U_D} = \frac{1}{h_{D1}} + \frac{1}{h_{D2}} \frac{1}{d_o} + \frac{d_i (d_o - d_i)}{k_w (d_o + d_i)} \quad (2-6-37)$$

h_{D1} と h_{D2} はそれぞれ、DHX の 1 次側と 2 次側の熱伝達率、 d_i と d_o は伝熱管の内径と外径、

k_w は伝熱管の熱伝導率である。熱伝達率 h は Lubarsky-Kaufman の関係より、

$$h = 0.625 \left(\frac{k}{D_e} \right)^{0.6} (G C_p)^{0.4} \quad (2-6-38)$$

で与えられる。 k はナトリウムの熱伝導率、 D_e は等価水力直径、 G は質量流量である。

(6) D R A C S 空気冷却器 (N H X)

D R A C S 空気冷却器 (N H X) は 1 領域、向流とし、伝熱管の熱容量を無視する。解析モデルでは以下の仮定を用いる [38]。

①空気は熱交換部（チューブバンドル部）を瞬時に通過すると仮定する。

②空気は理想気体とし、比熱と密度の計算において次式を仮定する。

$$C_p = \text{constant} \quad (2-6-39)$$

$$\rho \propto 1/T \quad (2-6-40)$$

③Lennard-Jonesポテンシャルを用いたChapman-Enskog理論によれば、空気の粘性と熱伝導率は絶対温度 T の関数

$$\mu \propto k \propto T^{0.715} \quad (2-6-41)$$

で与えられると仮定する。

④熱通過率は空気側の条件によって支配されると仮定する。修正Colburnの式によれば、

$$h \propto k Re^{0.70} Pr^{1/3} \quad (2-6-42)$$

空気側とナトリウム側のエネルギー保存則はそれぞれ次式で与えられる。

$$(C_p W)_{\text{air}} (T_0 - T_1) + (U A)_2 \Delta T_{LM2} = 0 \quad (2-6-43)$$

$$(C_p M)_2 \frac{d}{dt} (T_{2C}) = (C_p W_N)_2 (T_{2H} - T_{2C}) - (U A)_2 \Delta T_{LM2} \quad (2-6-44)$$

$$\Delta T_{LM2} = \frac{(T_{2H} - T_1) - (T_{2C} - T_0)}{\ln(T_{2H} - T_1) - \ln(T_{2C} - T_0)} \quad (2-6-45)$$

次に、空気側とナトリウム側の熱伝達割合を次式で定義する。

$$\xi_1 = \frac{(U A)_2}{(C_p W)_{\text{air}}} = \frac{T_1 - T_0}{\Delta T_{LM2}} \quad (2-6-46)$$

$$\xi_2 = \frac{(U A)_2}{(C_p W_N)_2} = \frac{T_{2H} - T_{2C}}{\Delta T_{LM2}} \quad (2-6-47)$$

Re と Pr は次式で定義される。

$$Re = \left(\frac{WD}{\mu A} \right)_{\text{air}} \quad (2-6-48)$$

$$Pr = \left(\frac{C_p \mu}{k} \right)_{\text{air}} \quad (2-6-49)$$

(2-6-48), (2-6-49) と (2-6-39), (2-6-40) 式を用いると、U は W と T の関数として次式の関係が成立する。

$$U \propto \left(\frac{WD}{\mu A} \right)_{\text{air}}^{0.70} \left(\frac{C_p \mu}{k} \right)_{\text{air}}^{1/3}$$

$$\propto W^{0.70} T^{0.21} \quad (2-6-50)$$

従って、

$$\xi_1 = \xi_{1r} T^{0.21} \nu^{-0.30} \quad (2-6-51)$$

と表わすことができる。ただし、 ν は参照状態に対する空気の比流量である。一方、

$$\xi_2 = \frac{(C_p W)_{air}}{(C_p W)_2} = \xi_{1r} \frac{1}{rw} T^{0.21} \nu^{0.70} \quad (2-6-52)$$

となる。ここで

T : 空気の平均絶対温度、

r : ナトリウムの比熱

ν : 空気流量率

w : ナトリウム流量率

であり、全て、参照状態に対する相対値である。

(7) 配管系の熱輸送系モデル

D R A C Sにおいても、配管系の熱輸送系モデルとしては離散パラメータ法を用いたS S C - Lの熱輸送系のモデル [1] と同一のモデルを使用する。ただし、配管壁の熱容量は考慮しない。また2.3節に述べた配管壁からの放熱も考慮していない。

現象の支配方程式は接点ごとに熱バランスを取っていく方法による。隣接した2つの接点と配管壁で囲まれた領域をコントロールボリュームとし、これに関して支配方程式を導く。

Figure 2-21に示される接点 i と $i+1$ で囲まれる領域に対して次式が成り立つ。

$$\rho_{ii+1} A \Delta x \frac{d e_i^{i+1}}{d t} = W (e_i - e_{i+1}) \quad (2-6-53)$$

ただし、 W はMCS配管の冷却材流量、 e_i は接点 i におけるエンタルピーである。 ρ_{ii+1} は接点 i と $i+1$ の平均密度で、

$$\rho_{ii+1} = (\rho_i + \rho_{i+1}) / 2 \quad (2-6-54)$$

で与えられる。 A は流路の断面積、 Δx は配管要素の長さである。(2-6-53)では、

$$\frac{d e_i}{d t} \div \frac{d e_{i+1}}{d t} \approx \frac{d e_{ii+1}}{d t} \quad (2-6-55)$$

の仮定が陰に用いられている。

完全陰解法の一段階時間積分法を(2-6-53)式に適用すれば次式のとおりに差分化される。

$$\rho_{ii+1}^k A \Delta x \frac{(e_{i+1}^{k+1} - e_{i+1}^k)}{\Delta t} = W^{k+1} (e_i^{k+1} - e_{i+1}^{k+1}) \quad (2-6-56)$$

ここで、上付き添え字 k は前時刻であり、 $k+1$ は現時刻である。

2.6.3 解析例

米国のR I社設計のループ型F B R [39]の体系を用いて、開発したD R A C S モデルの機能をチェックするために例題解析を行った。時刻0で原子炉スクラム、自然循環ポンプがトリップすると仮定する。なお、主冷却系は自然循環を仮定する。Figure 2-69にD R A C S を起動しない場合の炉心冷却材流量を示す。Figure 2-70に平均炉心出口冷却材温度、上部プレナム温度、下部プレナム温度を示す。

Figure 2-71からFigure 2-73には30秒の時点でD R A C S を起動した場合の計算結果を示す。Figure 2-71には全炉心冷却材流量、1次主冷却系流量、D R A C S ループの1次系、2次系、空気系の流量を示す。およそ75秒から、100秒まではD R A C S ループのポンプヘッドによって、主冷却系の流量がほとんどなくなっている。ただし、逆止弁が作動しているため逆流には至らない。D R A C S ループは、1次系は強制循環、2次系と空気側は自然循環としている。約250秒後には2次系と空気系は40 kg/sec程度の流量で安定している。炉心流量はおよそ200 kg/secであり、そのうち主冷却系からの寄与は33 kg/sec（1ループ当たり11 kg/sec）、D R A C S ループでは167 kg/secとなっている。Figure 2-72には、原子炉容器内の、平均炉心出口冷却材温度、上部プレナム温度、下部プレナム温度およびD R A C S ループから下部プレナムへの出口温度を示す。D R A C S ループへの入口温度は上部プレナムの温度と一致している。Figure 2-73には、D R A C S ループ2次系のホットレグとコールドレグの温度を示す。併せて空気冷却器の出口温度とスタックの出口温度も示す。空気冷却器入口温度は40度で一定である。

次に、原子炉停止後のI R A C S による崩壊熱除去に失敗した（2.4.4節の解析例）としても、小容量（炉停止後20時間後の崩壊熱レベル相当の除熱容量）のD R A C S がある場合にはどの様に事象推移が変化するかを調べてみる。Figure 2-74にD R A C S (MCS) をP L O H S 発生後30分で起動させた場合と、全く起動させない場合の原子炉容器出入口冷却材温度の比較を示す。後者は、完全なP L O H S 状態に相当する。D R A C S を起動させない場合には、冷却材温度は徐々に上昇し、およそ2日後に冷却材は沸騰すると予想される。D R A C S を起動させた場合には、およそ2,000秒後から効果が現れはじめる。約1日後から冷却材温度は減少しはじめる。冷却材の最高温度は、およそ600度に留まっている。

これらの図から分かるように解析結果は矛盾のないものであり、ここで開発された解析モデルは妥当であると判断できる。また、他のタイプのD R A C S に変更する場合には、原子炉容器プレナムとの境界条件設定（質量とエネルギーの保存則）、及び式(2-6-11)に示される原子炉容器入口の圧力計算の部分を変更すればよろしい。

2.7 原子炉保護系・制御系のモデル

従来のスクラム項目（14項目）[1]に加えて、以下を追加した。

- (1) 1次主冷却系流量低

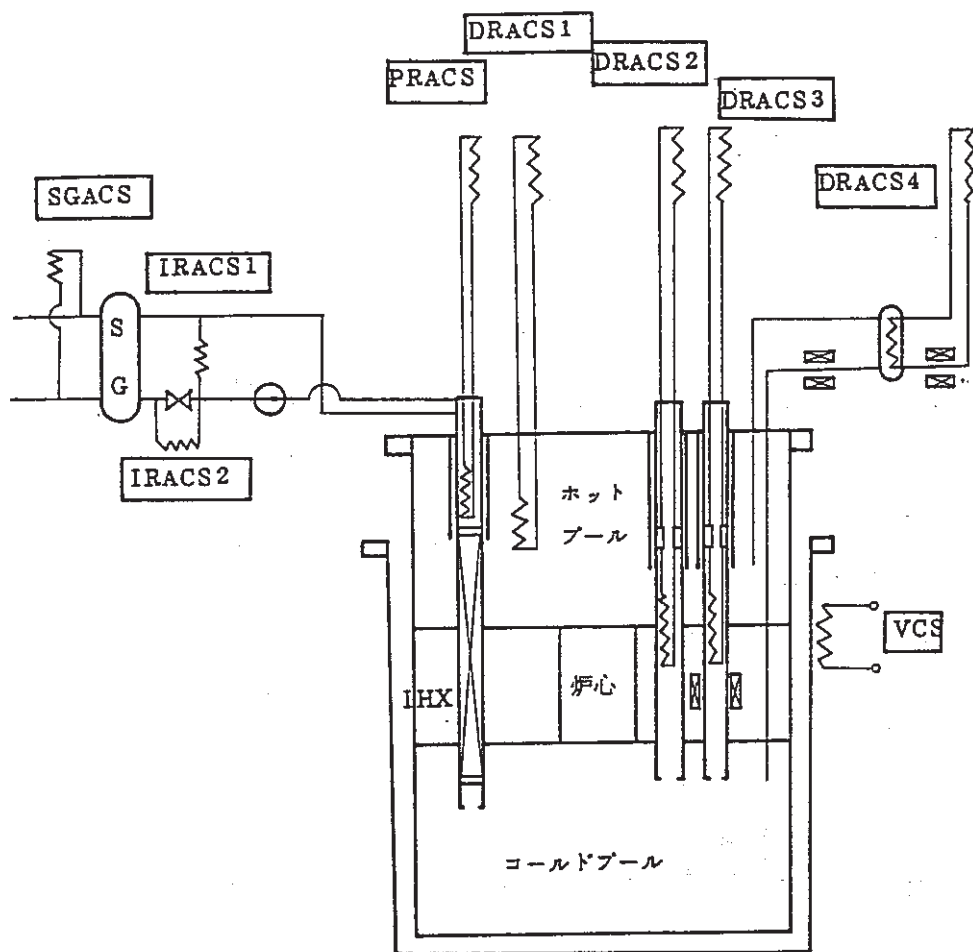


Figure 2-65 DRACS design option for LMFBRs.

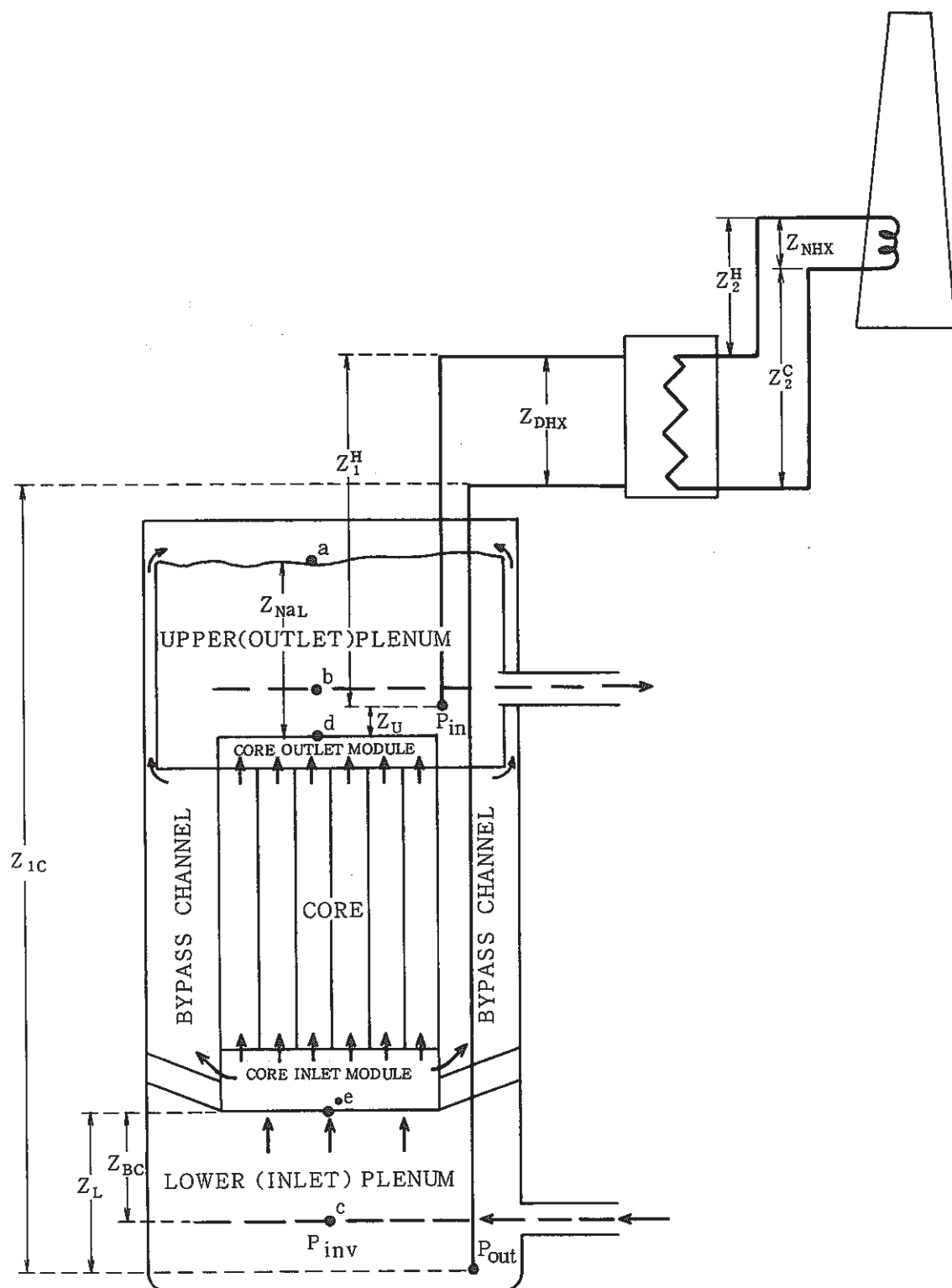


Figure 2-66 Schematic of the in-vessel model in SSC and DRACS model.

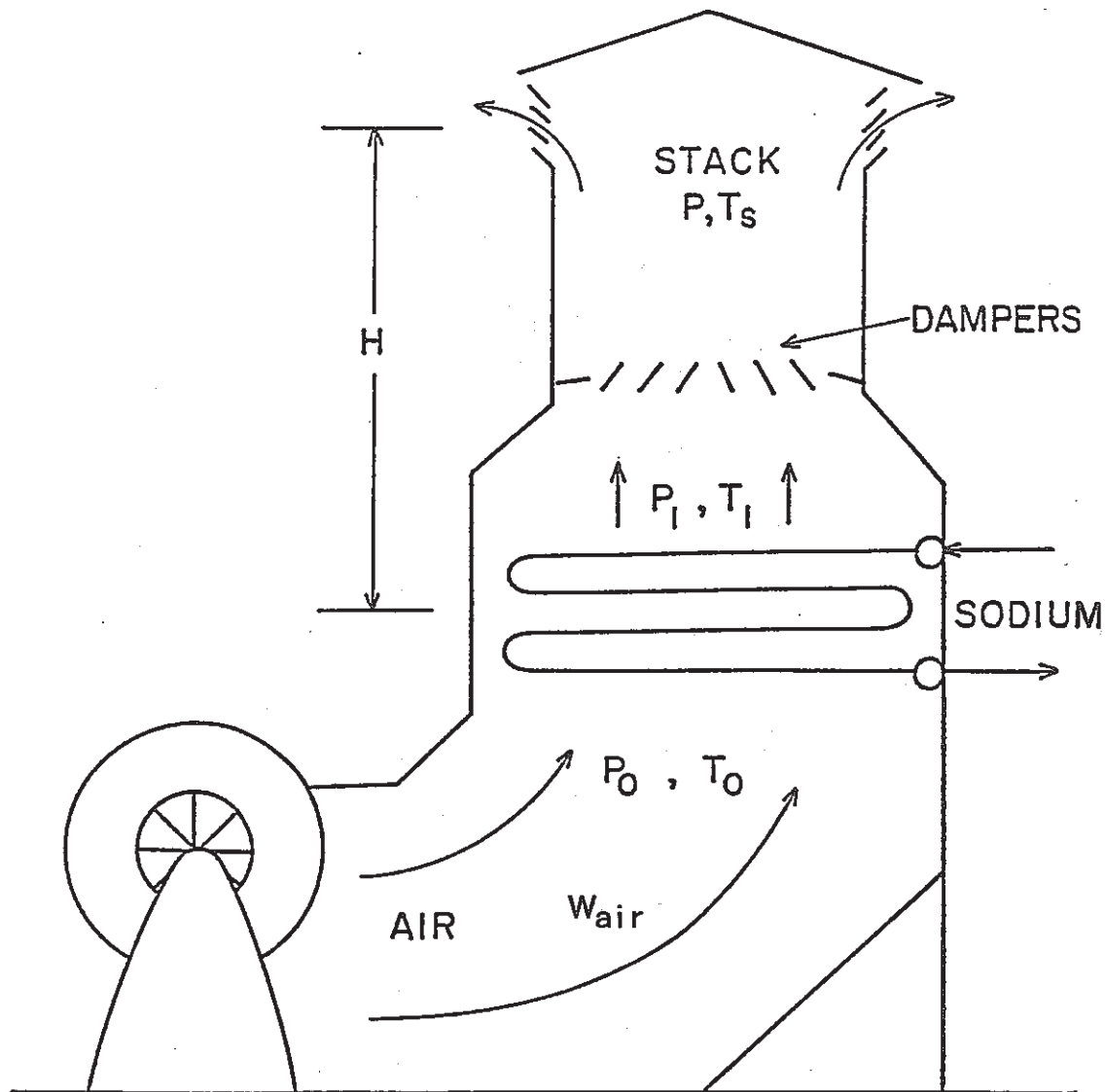


Figure 2-67 Air cooler stack model.

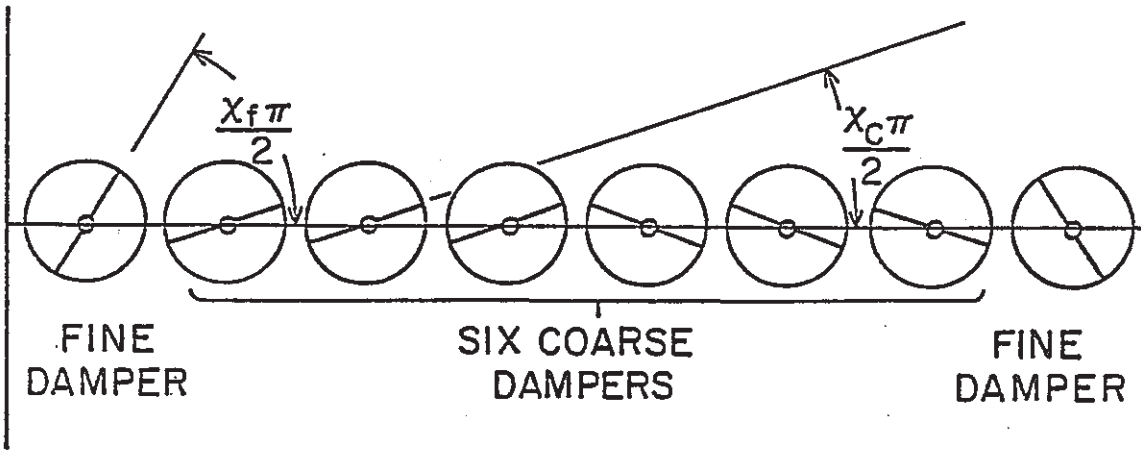


Figure 2-68 Fine and coarse dampers model.

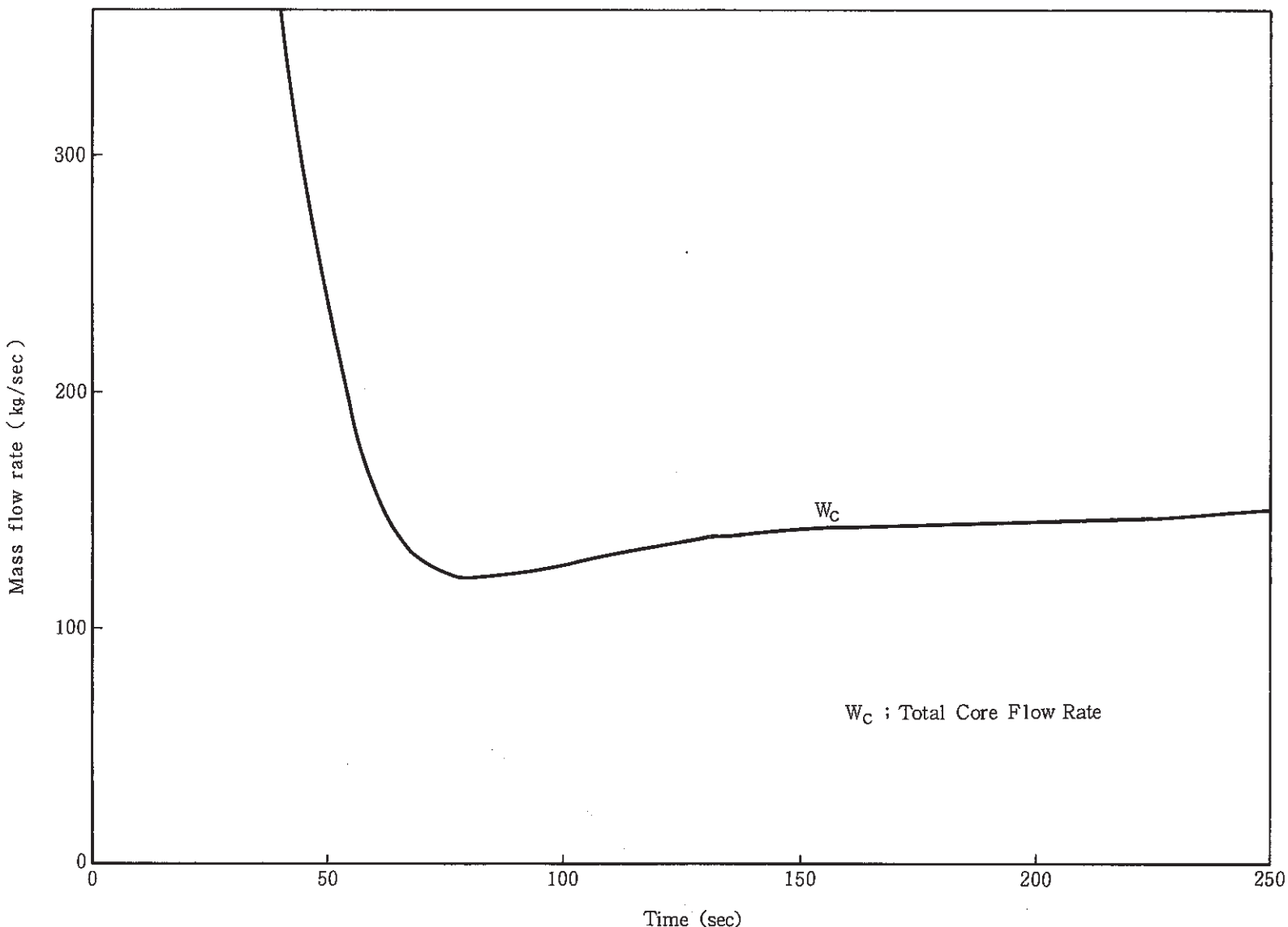


Figure 2-69 Mass flow rate in the core calculated using SSC.
(without DRACS operation)

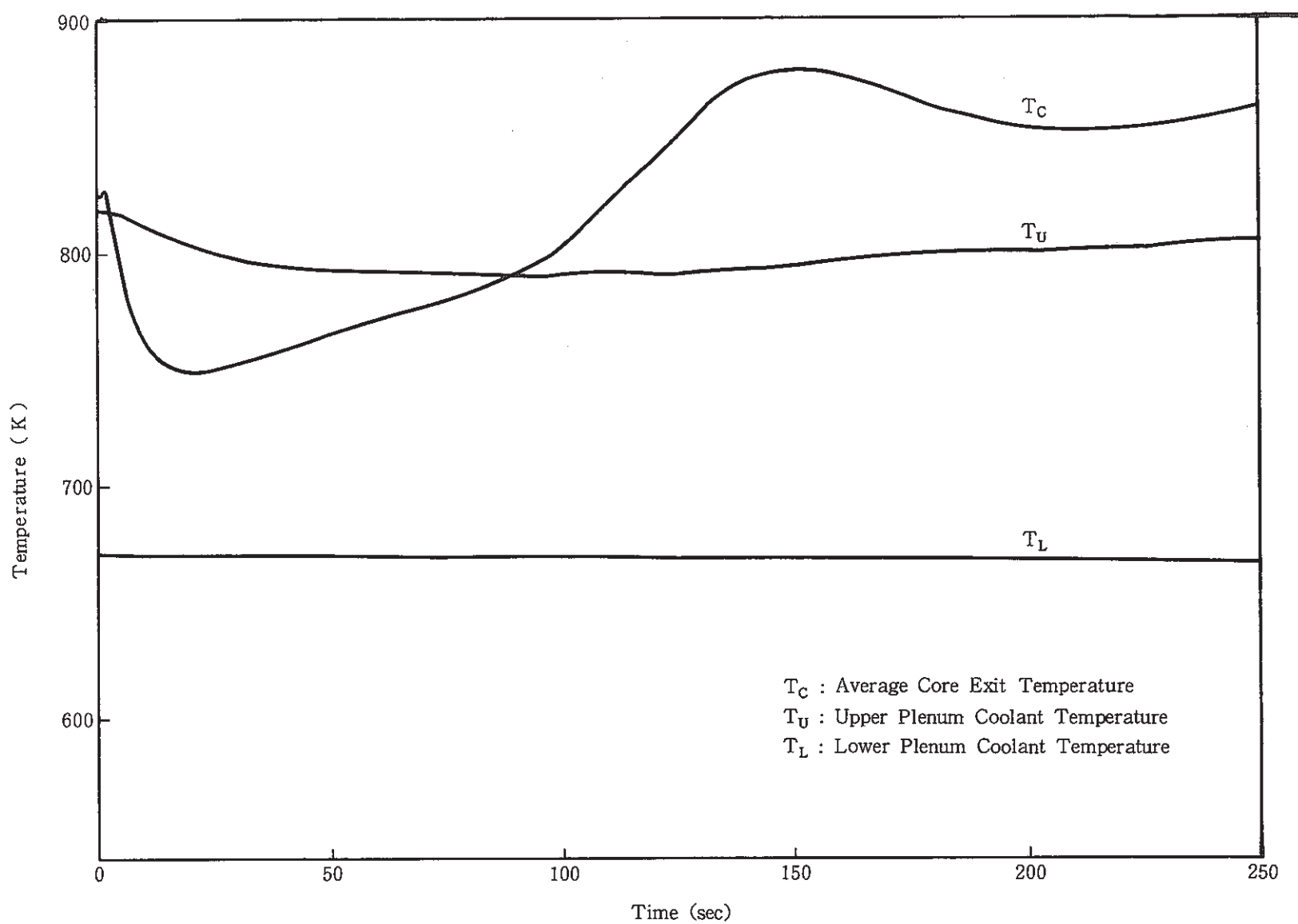


Figure 2-70 Coolant temperatures in reactor vessel calculated using SSC.
(without DRACS operation)

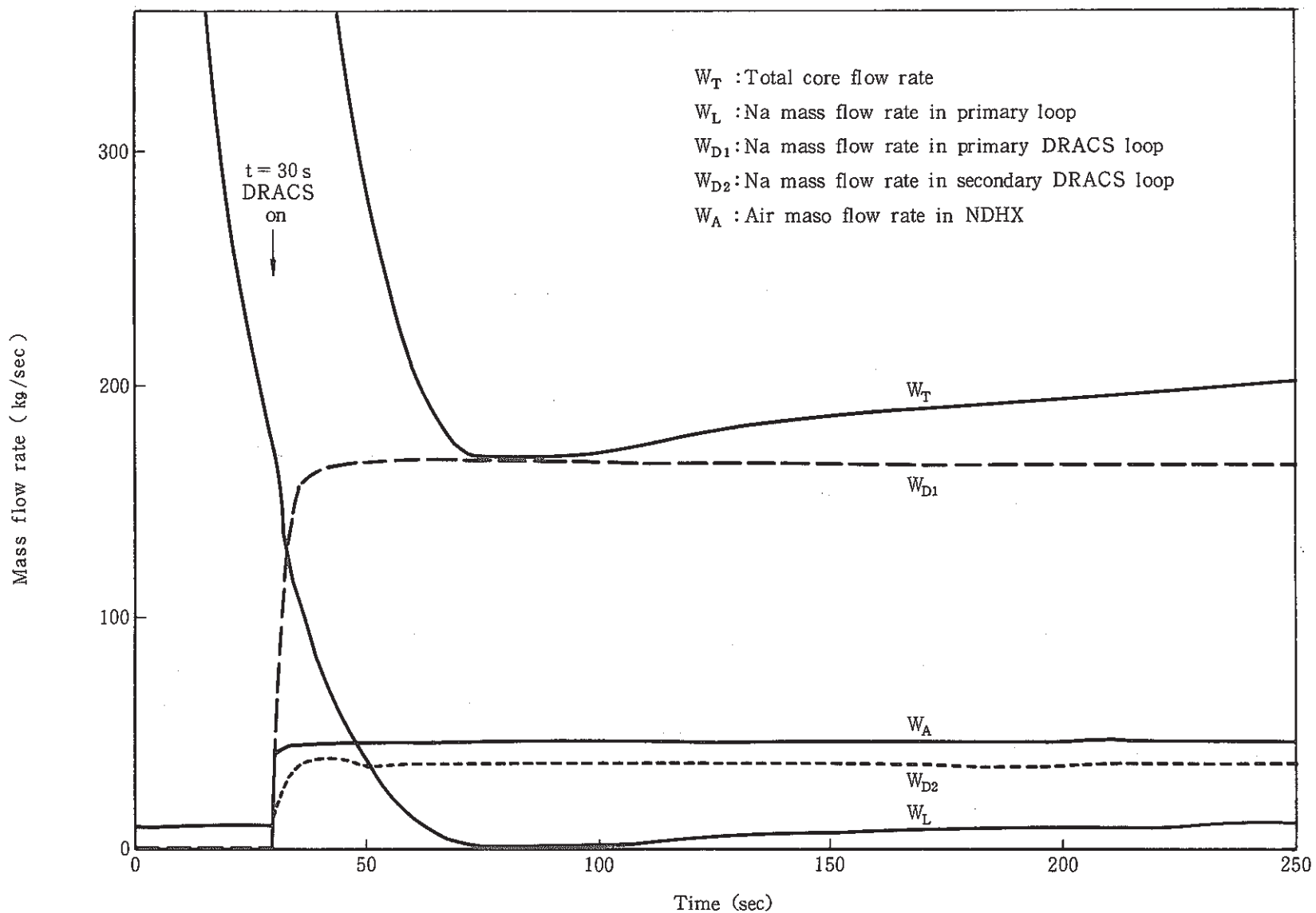


Figure 2-71 Mass flow rate in the core, PHTS, primary and secondary loops in DRACS, and the air flow rate in air cooler of DRACS calculated using SSC. (with DRACS operation at $t=30$ sec)

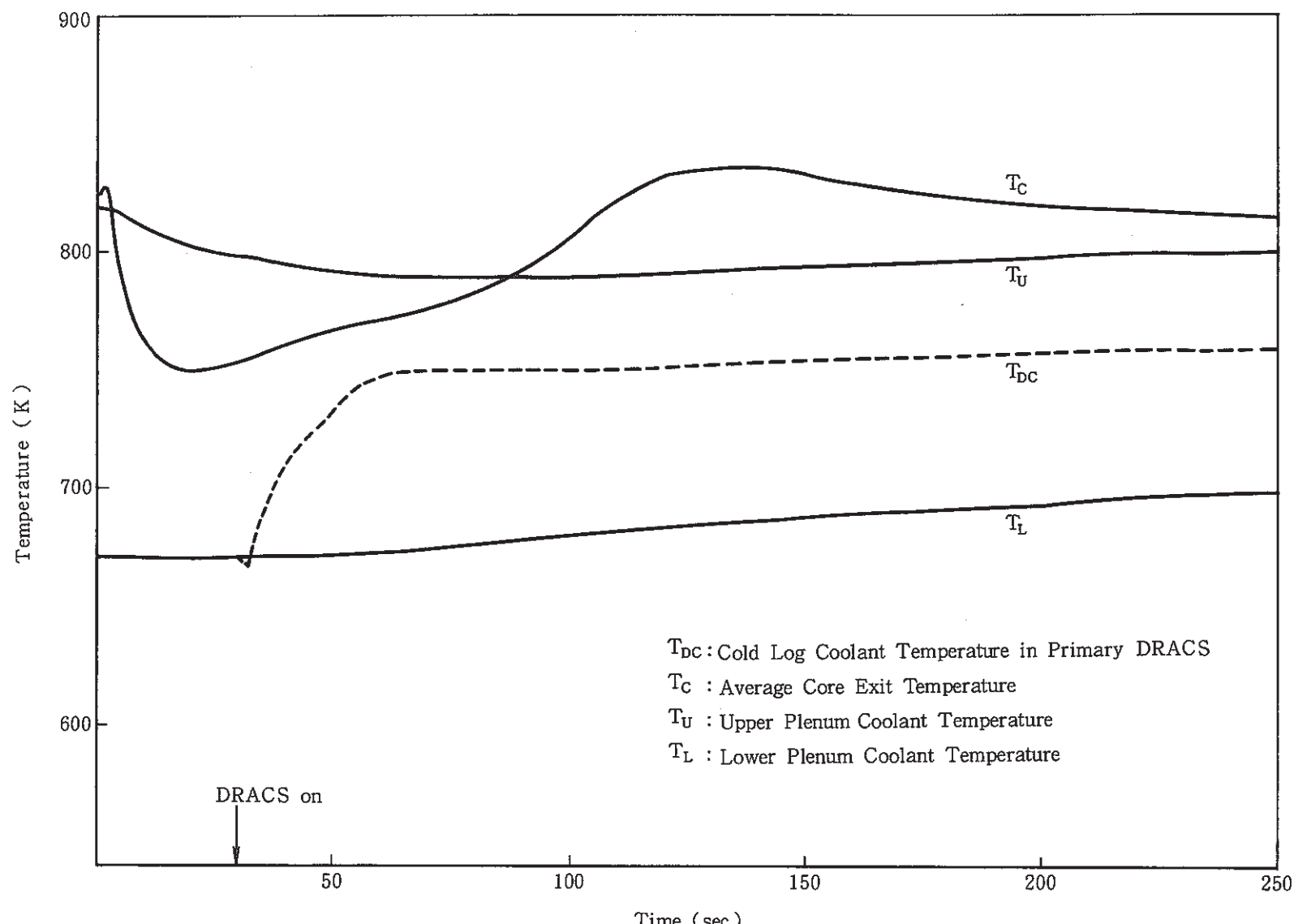


Figure 2-72 Coolant temperatures in reactor vessel and primary DRACS loop calculated using SSC.
(with DRACS operation at $t=30$ sec)

— 131 —

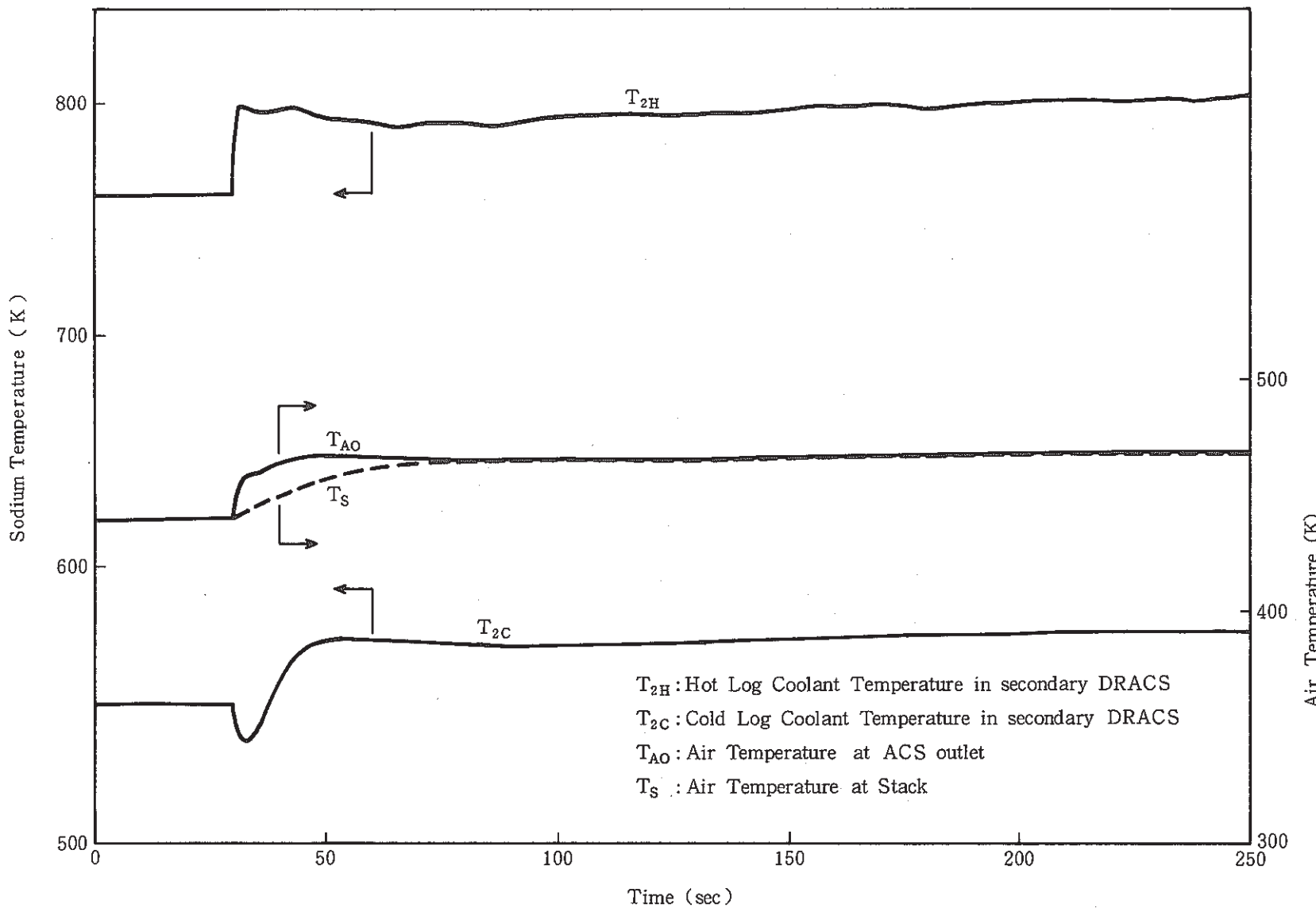


Figure 2-73 Coolant temperatures in secondary DRACS loop and air calculated using SSC.
(with DRACS operation at $t=30$ sec)

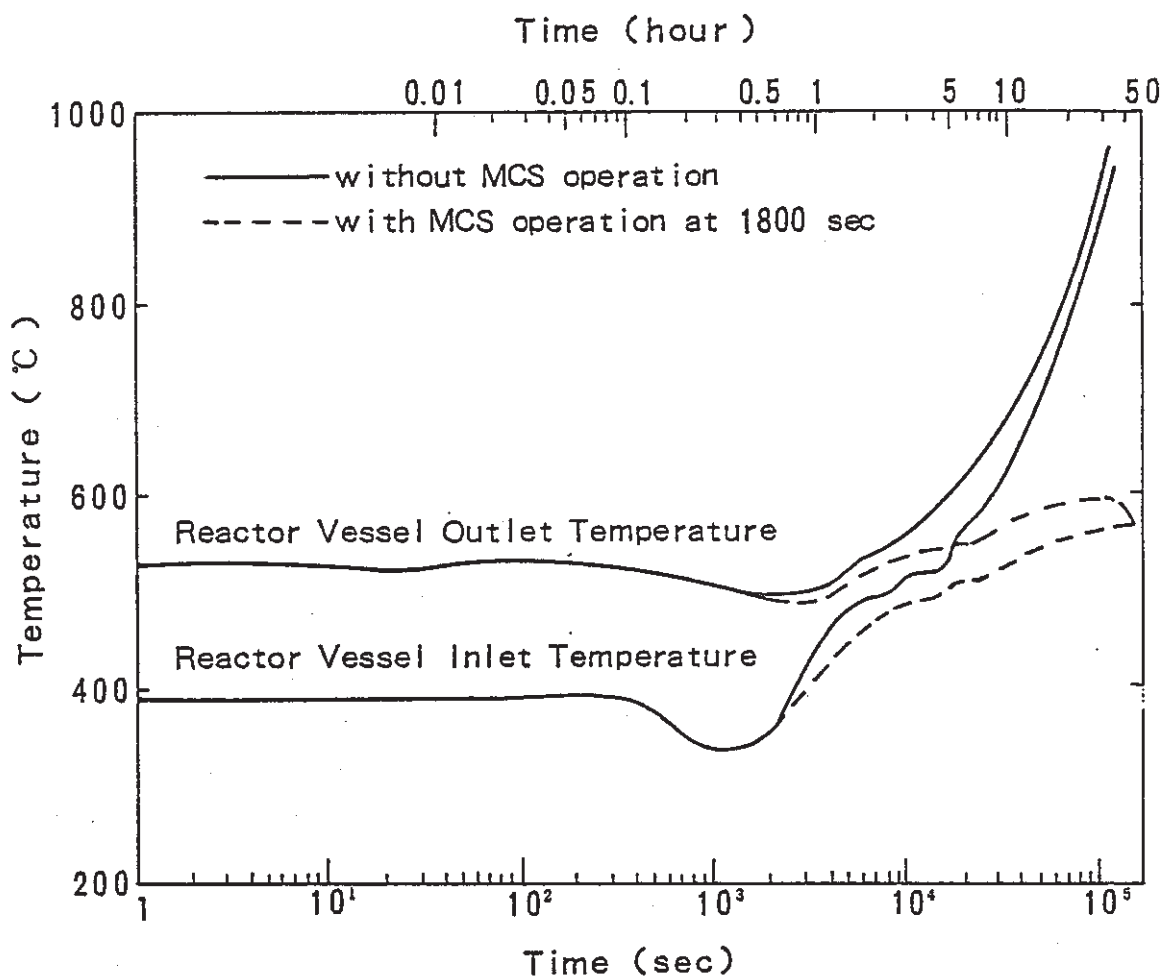


Figure 2-74 Temperature transients at the inlet and outlet of reactor vessel in the PLOHS event.

各1次冷却系ループについて、次式を計算する。

$$S_p = f_1 + f_2 \Phi \quad (2-7-1)$$

ただし、 Φ は原子炉比出力である。 S_p を毎時刻に計算し、各ループ（第*i*ループ）の冷却材比流量 ω_i と比較して、

$$\omega_i < S_p \quad (2-7-2)$$

が成立すればスクラム信号を発するものとする。ただし、比出力と比流量を計算する時には、定格時に熱バランスによって決定された出力と流量を用いて正規化する。 f_1 と f_2 は入力により与える。

(2) 2次主冷却系流量低

各2次冷却系ループについて、次式を計算する。

$$S_p = f_1 + f_2 \Phi \quad (2-7-3)$$

ただし、 Φ は原子炉比出力である。 S_p を毎時刻に計算し、各ループ（第*i*ループ）の冷却材比流量 ω_i と比較して、

$$\omega_i < S_p \quad (2-7-4)$$

が成立すればスクラム信号を発するものとする。ただし、比出力と比流量を計算する時には、定格時に熱バランスによって決定された出力と流量を用いて正規化する。 f_1 と f_2 は入力により与える。

(3) 中性子束変化率高

現在の原子炉比出力と1タイムステップ（ Δt ）前の原子炉比出力の差を $\Delta\Phi$ とするとき

$$\frac{\Delta\Phi}{\Delta t} \geq S \quad (2-7-5)$$

が成立すればスクラム信号を発するものとする。 S は入力により与える。

(4) 1次主循環ポンプ回転数低

各1次冷却系ループについて、次式を計算する。

$$S_p = f_1 + f_2 \Omega \quad (2-7-6)$$

ただし、 Ω は主循環ポンプの回転数である。 S_p を毎時刻に計算し、各ループ（第*i*ループ）の1次系主循環ポンプ回転数 Ω と比較して、

$$\Omega \leq S_p \quad (2-7-7)$$

が成立すればスクラム信号を発するものとする。ただし、回転数と比流量を計算する時には、定格時に熱バランスによって決定されたポンプ回転数と流量を用いて正規化する。 f_1 と f_2 は入力により与える。

3. SSC-Lの利用方法

3.1 はじめに

現在、SSC-Lのバージョンは3.2である。バージョン3.2には、サイクル4.1とサイクル4.2がある。両者の違いは以下の通りである。サイクル4.2には、①集合体内熱移行モデル、②集合体間熱移行モデル、③2次元上部プレナムモデルが含まれている。従って、これらのモデルを使用しないときには、全く同一の解析結果を与えるはずである。崩壊熱除去機能喪失事象と1次主冷却系配管破損事象に関して両者の比較を行なったところ、同じ解析結果を得ている。ただし、サイクル4.2では所要計算時間が数十パーセント多いことが分かった。そこで、現在はこの二つのバージョンが利用できるように管理している。

本章では、3.2節でサイクル4.1と4.2の比較を示す。3.3節には、2章に示した改良とともに、追加した入力データのマニュアル及び、オリジナルのマニュアルを示す。また、SSC-Lを利用するためのロードモジュールの作成から実行までの手順も示す。3.4節には計算結果を図形出力するためのマニュアルを示す。また、図形出力するための手順も示す。

3.2 SSC-Lサイクル4.1とサイクル4.2の比較

SSC-Lのサイクル4.1とサイクル4.2が同一の解析結果を与え、両者が矛盾しないことを示すために、崩壊熱除去機能喪失事象と、1次主冷却系配管破損事象の解析を行なった。

なお、比較に当たっては、同一の解析モデル、入力データを使用し、3.1節に述べた3つのモデルは使用していない。

3.2.1 崩壊熱除去機能喪失事象の解析

時刻0.0秒において1次及び2次主冷却系の主循環ポンプトリップを想定する。その後、1次系主循環ポンプ回転数低により原子炉スクラムし、自然循環に移行する。94秒の時点で崩壊熱除去系（IRACS）が起動するが、空気流量が確保されないため、IRACSにおいて除熱不能であると想定する。

Figure 3-1から3-3に本解析の入力データを示す。Figure 3-1は入力装置5番から自由書式で入力する。Figure 3-2はリスタートを行なう場合に、Figure 3-1に代わって使用されるデータである。Figure 3-3は入力装置4番からネームリスト入力されるデータである。これは、特に2章で述べたモデルを使用する場合に必要な入力データである。なお、Figure 3-2と3-3はサイクル4.1と4.2に共通のデータである。Figure 3-1はサイクル4.2による解析で使用されたデータである。サイクル4.1で使用されたデータにするためには、Vessel-26D、Vessel-39D、Vessel-41Dの各データを消去すればよい。

本節では、単にサイクル4.1と4.2の計算結果の比較のみを行なう。Figure 3-4に原子炉容器出入口の冷却材温度を示す。以下で、(a)と(b)はそれぞれサイクル4.1とサイクル4.2で計算した結果を示している。Figure 3-5(a)と(b)に中間熱交換器2次側出入口における冷却材温

度を示す。Figure 3-6(a)と(b)には炉心燃料集合体とブランケット燃料集合体の出口冷却材温度を、Figure 3-7(a)と(b)には炉心冷却材流量を示す。これらの計算結果から分かるように、両者は極めて良く一致していることが確かめられた。スクラム信号の発生時刻(0.969sec)、スクラム作動時刻(2.00sec)も一致している。ただし、計算時間は、サイクル4 2による解析では、およそ50%増加していることが分かった。Table 3-1に計算時間の比較を示す。

3.2.2 原子炉容器入口配管破断事故の解析

時刻 0.0秒において原子炉容器入口配管ギロチン破断を想定する。そして、原子炉容器冷却材液位低により原子炉スクラム、1次及び2次主循環ポンプトリップが行なわれた後、自然循環に移行する。94秒の時点での崩壊熱除去系（IRACS）が起動し、空気流量は自然通風により供給されるとする。

Figure 3-8から3-10に、本解析の入力データを示す。Figure 3-8に示すデータは、入力装置5番から自由書式で入力される。Figure 3-9は、リスタートを行なう場合に、Figure 3-8に代わって使用されるデータである。Figure 3-10は入力装置4番からネームリスト入力されるデータである。これは、特に2章で述べたモデルを使用する場合に必要な入力データである。なお、Figure 3-9と3-10は、サイクル4 1と4 2による解析に共通して使用されるデータである。Figure 3-8はサイクル4 2の解析において使用されたデータである。サイクル4 1による解析のためのデータとするには、Vessel-26D、Vessel-39D、Vessel-41Dの各データを消去すればよい。

Figure 3-11 (a)と(b)に、中心集合体とその周辺の第1列の炉心燃料集合体出口冷却材温度を示す。Figure 3-12(a)と(b)には炉心冷却材流量を示す。Figure 3-13(a)と(b)には原子炉容器、原子炉容器ガードベッセル、ガードパイプの冷却材液位を示す。Figure 3-14 (a)と(b)には破損口からの冷却材漏洩流量を示す。これらの計算結果から分かるように、サイクル4 1と4 2による計算結果は、極めて良く一致することが確かめられた。スクラム信号の発生時刻(3.5sec)、スクラム作動時刻(4.938sec)も一致している。ポンプトリップ時刻が若干異なっている（サイクル4 1では4.656sec、サイクル4 2では4.641sec）。これは、計算のタイムステップがわずかに異なっているためである。計算時間は、サイクル4 2による解析では、およそ30%増加していることが分かった。Table 3-1に計算時間の比較を示す。

3.2.3 まとめ

ここに示した例題は、自然循環、配管破損、崩壊熱除去、原子炉保護系などのSSC-Lの解析モデルのほとんどを使用する解析である。本節では、これらの解析を通じて、サイクル4 1とサイクル4 2が同一の解析結果を与えることを確認した。このことは、SSC-Lのサイクル4 1とサイクル4 2に全く矛盾がないことを検証するものと考えることができる。

今回の解析で直接に利用しなかったSSC-Lの解析機能（モデル）は、反応度フィードバックモデルに関わるものである。この点については、サイクル4 1と4 2の差が①集合体内熱

移行モデル、②集合体間熱移行モデル、③2次元上部プレナムモデルのみであることから判断して、反応度フィードバック効果の解析結果も矛盾したものにはならないと予想される。

サイクル42を使用することの利点は、上記モデルを活用できる点である。一方、その欠点は計算時間が数十パーセント増加する点とコアメモリが増加する点である。サイクル41では、2メガバイトで実行可能であるが、サイクル42では3メガバイトのコアメモリが必要である。計算時間が増加する原因に関しては現在検討中であり、改善される可能性がある。

以上の考察から、SSC-Lのサイクル41と42を両方準備しておいて、必要に応じて両者を利用できるようにしておくものとする。サイクル42で開発された新モデルを利用しない場合には、サイクル41を使用する方が計算時間やコアメモリの観点から有利である。

Table 3-1 Comparison of the CPU time by SSC-L cycle-41 and -42 used for PLOHS and LOPI simulations.

	PLOHS analysis (15 Hrs simulation)	LOPI analysis (300 Sec simulation)
SSC-L cycle-41	90 min.	16 min.
SSC-L cycle-42	135 min.	21 min.

HONJU PLOHS ACCIDENT: 3LOOP DHR BY AC BYPASS VALVE --- RUN 3

OV VESSEL

1D 4, 4, 14, 14, 14, 14, 1, 4R/ CORE RADBLA CR N.SHIELDING
 2D 1, 2, 3, 4/ FUEL PIN TYPE
 3D 0.924369, 0.070516, 0.005115, 0.0 / TOTAL POWER = 1.0
 4D 0.812508, 0.100219, 0.050441, 0.036832 / TOTAL FLOW = 1.0
 5D 198, 172, 345, 1 / NO. OF SA
 7D 2.15148E-05, 4.81967E-05, 1.54359E-3, 0.43079 / AREA/ROD
 8D 0.003222, 0.004132, 0.007348, 6.2E-3 / HYDRAULIC DIAMETER
 11D 0.0, 4R/ J FUEL INNER RADIUS
 12D 0.0027, 0.0052, 0.014, 0.0027 / FUEL OUTER RADIUS
 13D 0.00278, 0.0053, 0.016, 0.00278 / CLAD INNER RADIUS
 14D 0.00325, 0.0058, 0.051, 0.00325 / CLAD OUTER RADIUS
 15D 0.0, 4R/ LB INNER RADIUS
 16D 0.0027, 0.0052, 0.051, 0.0027 / LB OUTER RADIUS
 17D 0.0, 4R/ UB INNER RADIUS
 18D 0.0027, 0.0052, 0.051, 0.0027 / UB OUTER RADIUS
 19D 1.0, 3R, 0.0 / FRAC. HT TO STRUCTURE
 20D 0.40548E4, 4R/ = SAS 3D FUEL/CLAD CONTACT HEAT TRANSFER
 21D 5.0000E6, 4R/ FISSION GAS PRESSURE
 23D 0, 0.0, 4R, 0.0, 5.304E5, 4266.67, 25, 25, 0.0001, 0.01, 14000. /
 ¥ 4.86 + STATIC CORE FLOW
 24D 143.3, 1.1982E8, 26205.3, 39.4, 0.0 / LOWER PLENUM
 25D 1, 300.0 /
 27D 0.0, 0.0, 1.5, 5.7, 11.7, 6.4, 16.23817 / VOL(GV)=110 ELEVATION
 28D 37.46, 10.1737, 0.6, 37.46, 28.498, 80.9086, 5.552764, 14., 1400.,
 560.0, 0.23, 0.0, 0.999, 6.2086E7, 1.425E7, 12.8E7 / PLENUM JGG
 29D 0.43079, 0.43079, 6.2E-3, 6.2E-3, -3.961887E5, 10000.0/YOK BYPASS JGG
 30D 0.316, 0.25, -16.15, 24.96, -8.55, 0.3 / FRIC & NU #
 ¥ ----- INLET ORIFICE ZONE AND SA TOP 31D - 34D ----- ¥
 ¥31D 0.06, 4R/ INLET ORIFICE ZONE
 31D 1.151, 4R/ INLET ORIFICE ZONE
 32D (0.0, 0.0), 4R/
 33D 136127.9, 47208.7 0.0, 0.0 / P DROP(FRICTION) AT INLET NOZZLE
 34D 0.0, 4R/
 26D 0 /
 39D 0 /
 41D 4, 0 /
 ¥
 101D 0.0, 0.35, 0.93, 0.3, 1.16, 0, 2, 6, 2, 4, 1.2108, 47.2302, 60, 70,
 40, 0.93, 0.95, 0.97,
 50, 0.85, 0.95, 0.97,
 40, 0.93, 0.95, 0.97,
 169, 0.00132, 0.1046, 0.003, 1.15 / CORE I8II
 102D 0.0, 0.0, 0.0, 1.58, 1.16, 0, 0, 0, 10, 4, 1.1207, 21.63793, 60, 70,
 0, 0.0, 0.0, 0.0,
 0, 0.0, 0.0, 0.0,
 40, 0.93, 0.95, 0.97,
 61, 0.00136, 0.1046, 0.003, 1.15 / RAD BLANKET
 103D 0.0, 0.0, 2.74, 0.0, 0.0, 0, 0, 14, 0, 0, 1.0769, 17.7515, 60, 70,
 0, 0.0, 0.0, 0.0,
 51, 1.0, 1.0, 1.0,
 0, 0.0, 0.0, 0.0,
 1, 0.0012, 0.1046, 0.003, 1.15 / CONTROL RODS
 104D 2.64, 0.0, 0.10, 0.0, 0.0, 13, 0, 1, 0, 0, 1.0769, 17.7515, 60, 70,
 0, 0.0, 0.0, 0.0,
 51, 1.0, 1.0, 1.0,
 0, 0.0, 0.0, 0.0,
 1, 0.0012, 0.1046, 0.003, 1.15 / CONTROL RODS
 ¥ ----- AXIAL POWER SHAPE FOR EACH CHANNEL ----- ¥
 ¥ AXIAL POWER SHAPE 1
 201D 1.1824E+01, 5.4124E+01, 1.4475E+02, 2.1646E+02, 2.4170E+02,
 2.3752E+02, 2.0411E+02, 1.3066E+02, 4.5220E+01, 6.9716E+00,
 0.0, 4R/
 ¥ 2
 202D 8.8309E+00, 1.8576E+01, 3.3550E+01, 4.6012E+01, 5.1706E+01,
 5.1044E+01, 4.4242E+01, 3.1688E+01, 1.7548E+01, 8.5420E+00,
 0.0, 4R/
 ¥ 3
 203D 2.0730E+01, 14R/
 204D 0.0, 13R, 2.0730E+01 / RADIAL POWER PROFILE
 301-304D 1.0 / FRAC. POWER FUEL/CLAD/SODIUM
 401D 0.981, 0.009, 0.004 /
 402D 0.975, 0.01, 0.005 /
 403D 0.69, 0.1038, 0.0378 /
 404D 0.69, 0.1038, 0.0378 /
 501-504D 80, .95, 81, .03, 82, .02 /
 ¥01D 80, 0.0556, 81, .8235, 82, .1209 / F
 ¥02D 80, 0.0399, 81, .8372, 82, .1229 / I

Figure 3-1 Input data for the Monju PLOHS analysis using SSC-L (file unit #5).

```

$030 80, 0.0510, 81, .8275, 82, .1215/ S
$040 80, 0.0550, 81, .8241, 82, .1209/ S
$050 80, 0.0612, 81, .8186, 82, .1202/ I
$060 80, 0.0552, 81, .8239, 82, .1209/ O
$070 80, 0.0656, 81, .8147, 82, .1197/ N
$080 80, 0.0799, 81, .8023, 82, .1178/ 
$090 80, 0.0399, 81, .8372, 82, .1229/ G
$100 80, 0.0399, 81, .8372, 82, .1229/ A
$110 80, 0.0399, 81, .8372, 82, .1229/ S
$120 80, 0.9500, 81, .0300, 82, .0200/ 
$130 80, 0.9500, 81, .0300, 82, .0200/ 

OV NALOOP
1D 1, 00006, 16.26, 9, 7, 3, 18, 00008, 12, 5, 4, 3, 8, 10, 6, 16/
2D 3/
*----- FILE NALOOP -----
*
1000 3174, 0.0191, 0.0217, 1.984, 0.1, 9.92, 8870.0,
47.0, 1.4147, 0.0, 0.0, 70/
1010 -1, 0, 0, 0, 0, 0, 0, 0, 0, 0, 0, 0/ IHX
1020 2.0, 3.66, 0.0, 6.18, 13.8, 5.4, 3.6, 13.5/ IHX PL
1030 90.0, -90.0, -90.0, 90./ IHX PL
1040 11.18, 0.5398, -90./ IHX CENTRAL DOWNCOMER
1050 0.001, 1.5E-6, 1.5E-6/ CONV CRIT. SURFACE ROUGHNESS
*----- PRIMARY PUMP HEAD & POLYNOMIAL -----
1100 6, 1.264, -0.065, 0.118, -0.531, 0.090, 0.124/
1110 0, 1, 6894.76, 17.26, 22.64, 9989.9/ CHECK VALVE
1120 92.0, 837.0, 1.66147, 19002.2, 2.329, 0.74,
182.28/PONY MOTOR TORQUE PRIMARY PUMP
*----- SEC PUMP & SURGE TANK -----
1220 54.0, 1100.0, 1.18866, 6105.4, 3.1, 0.536, 14.975, 0.274,
71.64/G2PYTQ:PONY MOTOR TORQUE 2-RY PUMP
10010 4, 5, 2, 7, 7, 2, 1, 4, 5, 6/ IHX
10020 0.00, 3174, -3.2472E4/ IHX
10030 3.136E+4, 0.0, 4.25026E3/ IHX
*----- PRIMARY LOOP PIPINGS -----
* PIPE NUMBER= 1.
11010 0.91282, 34.3, 0.7906, 0.0111, 18.79, 90.0, 17.14, 0.9458,13R/
* PIPE NUMBER 2.
11020 0.0, 5.00, 0.0352, 0.0111, -90.,26R/ DH FOR IHX IHX
* PIPE NUMBER= 3.
11030 0.22600, 18.40, 0.7906, 0.0111,
-35.02, 8.249, 90.00, 90.00, 90.00, 20.89, 0.000, 0.000,
0.0/
* PIPE NUMBER= 4.
11040 0.23931, 13.61, 0.7906, 0.0111,
-90.00, -89.83, -89.94, -0.8843, 27.62, 89.94,
0.0/
* PIPE NUMBER= 5.
11050 0.096971, 7.09, 0.581, 0.0095,
45.8823, 12.1315, 0.0/
* PIPE NUMBER= 6.
11060 2.82489, 31.0, 0.581, 0.0095,
-0.5262, 10R, -58.29, -90.0,4R, -49.04, 0.0, 0.0/
*----- SECONDARY LOOP PIPINGS -----
* PIPE NUMBER= 1.
12010 1.727 , 161.8, 0.5398, 0.0095, 0.593429,2R, 0.593489,
-0.049095, -1.054293, -1.054234, -1.054293, -1.054234,
-1.054293, -1.054234, -1.054234, 0.0/
* PIPE NUMBER= 2.
12020 1.906 , 36.4, 0.5398, 0.0095, -0.74497, -0.74488, 62.2935,
11.4087, 0.0 /
* PIPE NUMBER= 3.
12030 1.165 , 7.50, 0.5398, 0.0095, -89.980, -36.788, 0.16401, 0.0/
* PIPE NUMBER= 4.
12040 0.0 , 3.85, 0.5398, 0.0095, 1.11595, 1.11640, 0.0/
* PIPE NUMBER= 5.
12050 1.008 , 35.67, 0.3055, 0.0065,
0.0, 2R, 22.8612, 54.0889, 0.0, 20.8882, 58.6536, 31.2310/
* PIPE NUMBER= 6.
12060 1.854 , 34.389, 0.3055, 0.0065,
-41.7431, 0.0, -22.6911, -3.9918, -90.0, -24.3102, -16.2462,
-90.0, -26.1669, 0.0/
* PIPE NUMBER= 7.
12070 0.5158 , 19.92, 0.5398, 0.0095, 0.304588,2R, 75.9394,
89.7963, 89.6961, 0.0/
* PIPE NUMBER= 8.
12080 1.522 , 154.00, 0.5398, 0.0095, -36.2379, -0.57547,
-0.0045131, 0.614645, 0.614730, 0.614645, 0.614730,
0.614730, 0.614645, 0.614730, 0.614645, 15.0587, -1.0705,3R,
0.0/

```

Figure 3-1 (Continued)

```

*
OV STMGEN
10 1, 1, 2, 38.6 , 0.3164, 3.9E-6, 1, 3/
10 2, 1, 2, 55.77, 0.2074, 6.0E-6, 2, 3/
10 3, 1, 2, 52.1 , 0.2519, 5.0E-6, 2, 3/
10 4, 1, 2, 25.28, 0.2519, 5.0E-6, 2, 3/
10 5, 1, 2, 29.5 , 0.2842, 4.5E-6, 1, 3/
10 6, 1, 2, 12.7 , 0.5398, 3.9E-6, 1, 3/
10 7, 1, 2, 76.68, 0.5398, 3.9E-6, 3, 3/
10 8, 1, 2, 15.0 , 0.5398, 3.9E-6, 1, 3/
*
*      - FEED WATER HEADER -
*
101D 101, 2, 2.102, 0.3164, 0.0, 1.0, 41.14, 3/
103D 101, 1/
102D 101, 2/
111D 101, 1, 1., 0.0/
*
*      - SEPARATOR -
*
101D 102, 1, 7.0, 8.0, 0.0, 1.0, 48.1, 3/
103D 102, 1/
102D 102, 2/
111D 102, 1, 1., 0.0/
*
*      - STEAM HEADER -
*
101D 103, 2, 12.63, 0.408, 0.0, 1.0, 41.6, 3/
102D 103, 1/
103D 103, 2/
111D 103, 1, 1., 0.0/
*
*      - EVAPORATOR -
*
301D 301, 1, 2, 3, 4, 64.4, 0.02344, 0.0318, 1.76565, 1.0E10,
   3.0E-6, 140, 19, 71, 3, 0, 1, 1.93, 1.0, -1., 3/
*
*      - SUPER HEATER -
*
301D 302, 1, 2, 3, 4, 28.9, 0.0241, 0.0318, 1.753, 1.0E10,
   3.0E-6, 147, 9, 71, 3, 0, 1, 2.128, 1.0, -1., 3/
*
*      - FEED WATER INLET -
*
402D 401, 1/
411D 401, 315.83, 513.16, 0.0, 999/
*
*      - OUTLET TO TURBINE -
*
401D 402, 1/
411D 402, 0.0, 0.0, 12.54E6, 999/
*
*      - SODIUM INLET FROM INTERMEDIATE LOOP-1 -
*
402D 403, 1/
411D 403, -1.0, 0.0, 0.0, 1/
*
*      - SODIUM OUTLET TO LOOP-1 -
*
401D 404, 1/
411D 404, 0.0, 0.0, 0.0, 1/
*
*      - TURBINE THROTTLE VALVE -
*
501D 501, 1, 2, 1.0, 0.46, 3.0E-6, 1, 0.166, 11.5, 1.0, 1.0, 0/
521D 501, 1.0E-6, -999, 0.0, 0.0, 0.0, 0.0/
*
*      - FLOW SEGMENTS -
*
621D 1, 315.83 , 0.0/ FLOW SEGMENT 1
621D 2, 315.83 , 0.0/ 2
621D 4, 315.83 , 0.0/ 3
621D 6, 3108.33, 0.0/ 4
621D 501, 315.83 , 0.0/ 5
*
*      - JUNCTIONS -
*      - WATER STEAM SIDE LOOP 1 -
901D 23.85, 401, 1, 1, 1/
901D 41.14, 1, 2, 101, 1/
901D 41.14, 101, 2, 2, 1/

```

Figure 3-1 (Continued)

```

901D 37.82, 2, 2, 301, 1/
901D 50.10, 301, 2, 3, 1/
901D 48.10, 3, 2, 102, 1/
901D 48.10, 102, 2, 4, 1/
901D 41.70, 4, 2, 302, 1/
901D 50.26, 302, 2, 5, 1/
901D 41.12, 5, 2, 103, 2/
901D 41.12, 103, 1, 501, 1/
901D 41.12, 501, 2, 402, 1/
*
* - SODIUM SIDE -
901D 48.27, 403, 1, 6, 1/
901D 44.30, 6, 2, 302, 3/
901D 41.70, 302, 4, 7, 1/
901D 44.30, 7, 2, 301, 3/
901D 37.82, 301, 4, 8, 1/
901D 35.34, 8, 2, 404, 1/
*
* - GLOBAL DATA -
*
1001D 1.E-4, 40, 0, 9999, 140.0E5/
*
* - KEY MODULE -
*
1002D 103, 501, 999, 999/
1010D 1, 999, 999, 302, 999, 301/
*
OV OPDATA
1D 714.0E+6, 3/
2D 802.0, -670.0, 1422.22/
3D -598.0, -778.0, 1036.11, 3.06, -1.69/
4D 1.55E+5, 1.96133E+5, 13.375, 0.0, 0.0/
5D 1, 4, 1, 1/
*
OV MATDAT
10D 109.7, -6.4499E-2, 1.1728E-5, 1630.22, -0.83354,
  4.62838E-4, 1011.597, -0.22051, -1.92243E-5, 5.63769E-9,
  370.9, 1644.2, -6.7511E4, 1630.22, -0.41674,
  1.54279E-4, 11.35977, -5567.0, -0.5, 11.68672,
  -5544.97, -0.61344, 1144.2, -2.4892, 220.65,
  -0.4926, 0.001, 1.0E-5, 750.0, -12130.0, 10.5/      SODIUM
* ----- FILE MATDAT -----
*
51D 334.13, 21.6178, 5.381E-2, 0.0, 2.2, 0.0, 1741.79,
  2.34856E-4, 0.0, 0.0, 0.0, 0.0, -46634.7, 9999.0, 9999.0,
  2.25E-6, 2.5E-9, 0.0, 295.4, 9999.0, 9999.0, 2381.0, 0.0,
  0.55, 2.5E-4, 400.0, 9999.0, 3R/                      CR
71D 4.9341695E1, -1.71228E-2, 0.0, 0.0, 460.59, 0.0, 7R, 7833.35/
80D 0.3255, 0.0, 0.0/      THERMAL CONDUCTIVITY HE      MONJU
81D 0.01574, 0.0, 0.0/          XE
82D 0.02617, 0.0, 0.0/          KR
*
OV OLDDATA
1D 99/
2D 99/
3D 2, 70, 60/
STOP
OV TRNDAT
1001D 0, 0.0975, 1250.0/ GD2          PRY PUMP ( H + P + MFG )
*001D 1, 0.0975, 2900.0/ GD2          PRY PUMP ( H + P + MFG )
*----- FILE TRNDAT -----
1002D 0, 0.1, 225.0/ GD2            SRY PUMP ( H + P )
*----- GUARD VESSEL VOLUME -----
1003D 0, 35.0, 8.50, 0.0, 0.0811, 0.0, 0.0, 10R, 139.8/    GV
1004D 0/                                CHECK VALVE
3101D 401, 3, 1/
*3111D 401, 0.0, 513.16, 315.83,
*         999.0, 513.16, 315.83/
3111D 401, 0.0, 513.16, 315.83,
  1.0, 513.16, 0.0 /
  999.0, 513.16, 0.0 /
*
3101D 402, 2, 2/
3111D 402, 0.0, 756.16, 12.54E6,
  999.0, 756.16, 12.54E6/
3201D 101, 2/
3211D 101, 0.0, 0.0,
  999.0, 0.0/
3201D 102, 2/
3211D 102, 0.0, 0.0,

```

Figure 3-1 (Continued)

```

999.0, 0.0/
3201D 103, 2/
3211D 103, 0.0, 0.0,
999.0, 0.0/
3301D 501, 0, 0/
*
5001D 0, 6, 4.38E-7/ NEUTRON KINETICS
5002D 0.931352, 0.18915, 0.999, 3R/ FRAC. FISSION
5003D 8.02E-5, 7.75E-4, 6.72E-4, 1.33E-3, 6.11E-4, 1.67E-4/ N -TH GRP
5004D 0.0130, 0.0312, 0.134, 0.347, 1.42, 3.79/ DECAY CONSTANT
* ----- DECAY POWER 5005D:BYPASS 5100-:EACH CHANNEL -----
5005D   1.0 , 0.0,
0.93108 , 1.0,
0.77026 , 10.0,
0.66319 , 30.0,
0.60855 , 50.0,
0.57195 , 70.0,
0.53375 , 100.0,
0.46536 , 200.0,
0.42987 , 300.0,
0.38792 , 500.0,
0.36075 , 700.0,
0.33143 , 1000.0,
0.27293 , 2000.0,
0.24041 , 3000.0,
0.20660 , 5000.0,
0.18652 , 7000.0,
0.17019 , 10000.0,
0.14518 , 20000.0,
0.13227 , 30000.0,
0.11764 , 50000.0,
0.10770 , 70000.0,
0.097149 , 100000.0,
0.034327 , 1000000.0,
0.010585 , 10000000.0,
0.0012935, 100000000.0/ BYPASS
5101D   1.0 , 0.0,
0.93108 , 1.0,
0.77026 , 10.0,
0.66319 , 30.0,
0.60855 , 50.0,
0.57195 , 70.0,
0.53375 , 100.0,
0.46536 , 200.0,
0.42987 , 300.0,
0.38792 , 500.0,
0.36075 , 700.0,
0.33143 , 1000.0,
0.27293 , 2000.0,
0.24041 , 3000.0,
0.20660 , 5000.0,
0.18652 , 7000.0,
0.17019 , 10000.0,
0.14518 , 20000.0,
0.13227 , 30000.0,
0.11764 , 50000.0,
0.10770 , 70000.0,
0.097149 , 100000.0,
0.034327 , 1000000.0,
0.010585 , 10000000.0,
0.0012935, 100000000.0/ CORE
5102-5104D 1.0 , 0.0,
0.92931 , 1.0,
0.77416 , 10.0,
0.67747 , 30.0,
0.62898 , 50.0,
0.59656 , 70.0,
0.56266 , 100.0,
0.50080 , 200.0,
0.46765 , 300.0,
0.42701 , 500.0,
0.39956 , 700.0,
0.36897 , 1000.0,
0.30558 , 2000.0,
0.26949 , 3000.0,
0.23105 , 5000.0,
0.21169 , 7000.0,
0.19573 , 10000.0,
0.17187 , 20000.0,
0.15936 , 30000.0,

```

Figure 3-1 (Continued)

```

0.14307 , 50000.0,
0.13159 , 70000.0,
0.11855 , 100000.0,
0.029775 , 1000000.0,
0.0084823 , 10000000.0,
0.00094639, 100000000.0/ RADIAL BLANKET
* ----- DOPPLER SODIUM IN -----
* DOPPLER NA-IN      1
5201D -1.1108E-04, -4.3429E-04, -7.5797E-04, -1.1572E-03, -1.4779E-03,
-1.4292E-03, -9.9023E-04, -4.8233E-04, -1.5028E-04, -2.6462E-06,
0.0,          4R/
*           2
5202D -8.0121E-06, -3.4138E-05, -1.0243E-04, -1.6970E-04, -2.2276E-04,
-2.1752E-04, -1.5581E-04, -8.8242E-05, -2.4484E-05, -6.2704E-06,
0.0,          4R/
*           3
5203D 0.0, 14R/                      N-SHIELDING
5204D 0.0, 14R/                      N-SHIELDING
* ----- DOPPLER SODIUM OUT -----
* DOPPLER NA-OUT     1
5301D -1.2471E-04, -4.5113E-04, -1.1455E-04, -8.3857E-04, -1.0268E-03,
-9.8881E-04, -6.9863E-04, -3.5553E-04, -1.3025E-04, -2.4743E-05,
0.0,          4R/
*           2
5302D -9.7538E-06, -4.1105E-05, -1.1570E-04, -1.8420E-04, -2.3603E-04,
-2.2986E-04, -1.6754E-04, -9.7807E-05, -2.8665E-05, -7.7633E-06,
0.0,          4R/
*           3
5303D 0.0, 14R/                      N-SHIELDING
5304D 0.0, 14R/                      N-SHIELDING
* ----- SODIUM DENSITY -----
* SODIUM DENSITY     1
5401D -2.1614E-07, -8.1244E-07, -7.3764E-07, 1.0101E-06, 2.3993E-06,
2.2415E-06, 6.3814E-07, -9.5175E-07, -6.7026E-07, -1.5396E-07,
0.0,          4R/
*           2
5402D -1.5235E-08, -7.7411E-08, -2.7900E-07, -4.3472E-07, -5.4231E-07,
-5.3028E-07, -4.0044E-07, -2.4399E-07, -6.1059E-08, -1.4471E-08,
0.0,          4R/
*           3
5403D 0.0, 14R/                      N-SHIELDING
5404D 0.0, 14R/                      N-SHIELDING
* ----- FUEL AXIAL EXPANSION -----
5501-5504D 0.0, 14R/
*
* ----- 6000 INPUTS -----
*
* ----- UPPER PLenum MIXING AND FLOW DISTRIBUTION -----
6001D 2, 1, 0.0/          L6MIX(2:TWO ZONE);L6FLOW(1:REDISTR1);T6SUPH
6001D 1, 1, 0.0/          L6MIX(2:TWO ZONE);L6FLOW(1:REDISTR1);T6SUPH
6002D 1, 0.0, 0.0/         IN-VESSEL COVER GAS
6002D 2, 0.0, 0.0/         IN-VESSEL COVER GAS
*
* ##### DATA BELOW ARE THE DATA FOR V2(E.G. MONJU)
* BUT TEMPORALY RESTRICTED #####
*
* ----- THREE LOOP CONFIGURATION -----
* ----- 8000 SERIES RECORD -----
* ----- 8000 INPUT -----
* TEMPORARY DATA (CRBR PPS & PCS)
*
* ONLY THE FOLLOWING FIVE RECORDS NEED BE MANIPULATED TO
* ACTUATE/ADJUST MANUAL PPS ACTION
*
* THE NEXT TWO RECORDS CONTAIN DATA SPECIFYING
* ROD POSITION VS. TIME AFTER SCRAM
*
*#####
*
* THE REMAINING 8000 SERIES DATA RECORDS MUST ALWAYS BE READ,
* BUT IF L8CALL=0, THE PPS/PCS FUNCTIONS THAT THESE DATA
* SPECIFY WILL NOT BE CALLED/ACTUATED.
* NOTE: SOME OF THE FOLLOWING DATA ARE SPECIFIED ON A PER LOOP
* BASIS. THE FOLLOWING RECORDS ARE SET UP FOR A 1-LOOP
* SIMULATION.
8001D 3, 2 /N8PCSD, N8CBNK JUNE501WA
8002D 1, 1, 1, 1, 1/ PUMPS ON MANUAL
8003D 1.2 , 5R/ PUMP TIME DELAY AFTER AN AUTOMATIC SIGNAL
8004D 0.0 , 5R/ MANUAL PUMP TRIP TIMES
8005D 1.,1.0,0.0,0.0/ LOAD DEMAND FORCING FUNCTION CONSTANTS

```

Figure 3-1 (Continued)

```

#
##### FOLLOWING THREE RECORD ARE ACTIVATED #####
#
8006D 21.446, -33.0, 1.0, 21.446, 0.0, 0.0 /
# ----- CONTROL ROD POSITION 8007 & 8008 -----
8007D 1.0000144, 0.05432127, -0.9838029, -0.82337087, 3.7677539,
-5.3120287, 2.49183007,
0.333926, -0.139136, 0.0, 5R,
2.6, 0.194719/ PRIMARY SHUTDOWN SYSTEM
8008D 1.0, -2.8779, 21.612, -91.733, 182.37, -162.01, 47.513,
1.6/ 2RY SHUTDOWN SYSTEM
8009D 0.0, 0.0, 0.0, 0.0/
8010D (1.0, 0.01),4R/F8VMAX,F8TRMA
8011D (0.0, -0.01),4R/F8VMIN,F8TRMN
8012D 1.0,4R/S8OPEN
8013D 1.0,4R/S8CLOS
8014D 0.150,.00,.20,2R,.5,3R,.2/ PPS SENSOR TIME CONSTANTS
8015D 837.0, 1100.0, 1422.22, 1036.11, 802.0, 670.0,
756.775, 4.0E+2, 9.5696E+5, 1.0880E+7 ,137895.14,139.68,
139.68/
8016D 1,6,8,9,12,13,17,18,19/ PRIMARY AVAILABLE FUNCTIONS
8017D 1,6,8,9,12,13,17,18,19/ SECONDARY AVAILABLE FUNCTIONS
8018D 18/ PRIMARY FUNCTIONS TO BE CHECKED
8019D 6,9,19/ SECONDARY FUNCTIONS TO BE CHECKED
8020D 0, 999999.0, 999999.0/ PRIM. PPS ON AUTOMATIC SCRAM
8021D 0, 1.02 , 999999.0/ SEC. PPS ON AUTOMATIC SCRAM
#8020D 1, 888888.0, 0.10/ ----- MANUAL SCRAM ON PRY SD SYSTEM
#8021D 1, 888888.0, 88888./ ----- MANUAL SCRAM ON 2RY SD SYSTEM
8101D 1.11/ HIGH FLUX SET POINT
8102D .03607,.036,-.99,.1706,.0364,1.01,.03607,.036,.1969,.0416/ FLUX-DE
8103D 1.318,-1.0,.0425/ C1-C3 (FLUX-SQRT(PR)) D1-D6 (P/I SPEED RATIO)
8104D .147,-1.0,1.0,-1.0,.0075,.0595/ REACTOR VESSEL LEVEL*
8106D 5.60/ E1 ( STEAM-FEED WATER RATIO)
8107D 42.0/ SETPOINT FOR IHX PRIMARY OUTLET TEMP
8108D 689.0/ LOW PRIMARY SODIUM FLOW
8109D -0.1230 , 0.8530/ G1-G6(PRIMARY TO INT FLOW RATIO)
8110D .147,-1.0,1.0,-1.0,.0075,.05/ MAX AND MIN STEAM DRUM LEVEL SETPOINTS
8111D 1.120,.71/ SETPOINT FOR HIGH EVA OUTLET SODIUM TEMP
8112D 620.0/ SETPOINT FOR REACTOR OUTLET NOZZLE SODIUM TEMP
8113D 819.0/ LOW PRIMARY LOOP SODIUM FLOW SET POINT
8114D 0.20/ LOW INT LOOP SODIUM FLOW RATE
8115D 0.2/ LOW SECONDARY SODIUM FLOW
8116D 0.2/ HIGH NEUTRON FLUX CHANGE RATE
8119D -0.0511, 0.8711/ LOW PRIMARY PUMP ROTATIONAL SPEED
#8200D 1.0,.01/ F8HFXL,F8CRDZ
8200D 1.0,0.0/ F8HFXL,F8CRDZ
8201D 010, 0.5, 1.00, 1.00, 0., 1.00, -3.81E-3, 3.81E-3, 4.23/CBNK1
8201D 020, 1.00, 1.00, 0., 1.00, -3.81E-3, 3.81E-3, 11.6/CBNK2
#8201D 030, 1.00, 1.00, 0., 1.00, -3.81E-3, 3.81E-3, 0.00/CBNK3
8301D 101, 0,3,60.0,1.085,1.11688,.065,5.34,5.34,1.0,30.,.2067725,1200./
8301D 201, 0,3,60.0,1.085,C1.0397,.065,5.34,5.34,1.0,30.0,.2067725,1200./
8400D 3, 3, 1, 3, 1, 1/
8401D 111, 0,1.0,0.05,0.0,10.0,-10.0,0.01,1.0,0.2,0.88,0.12,0.0/ P,C1,L1
8401D 121, 0,0.375,0.8,0.0,10.0,-10.0,0.01,1.0,0.5,0.0,1.0,0.0 / P,C2,L1
8401D 131, 0,1.0,0.02,0.0,10.0,-10.0,0.01,1.0,0.02,0.0,1.0,0.0 / P,C3,L1
8401D 211, 0,1.0,0.02,0.0,10.0,-10.0,0.01,1.0,0.15,1.0,0.0,0.0/ I,C1,L1
8401D 221, 0,1.752E-5,.02,.010.,-10.,.01,1.0,0.5,0.0,1.0,0.0/ I,C2,L1
8401D 231, 0,1.0,0.02,0.0,10.0,-10.0,0.01,1.0,0.02,0.0,1.0,0.0/ I,C3,L1
8401D 311, 0,1.0,0.0,0.0,10.0,-10.0,0.01,1.0,0.02,1.0,0.0,0.0/ FP,C1,L1
8401D 411, 0,1.0,0.0,0.0,10.0,-10.0,0.01,1.0,0.5,0.5,0.0,0.0/ FP,C1,L1
8401D 421, 0,-1.0,0.0,0.0,10.0,-10.0,0.0,1.0,0.5,1.0,0.0,0.0/ FP,C2,L1
8401D 431, 0,1.0,0.0,0.0,10.0,-10.0,0.01,1.0,0.5,1.0,0.0,0.0/ FP,C3,L1
8401D 510, 0,1.0,0.0,0.0,10.0,-10.0,0.01,1.0,0.15,1.0,0.0,0.0/ TV,C1
8401D 610, 0,1.0,0.0,0.0,10.0,-10.0,0.01,1.0,0.15,1.0,0.0,0.0/ BV,C1
8401D 710, 0,1.0,0.0,0.0,10.0,-10.0,0.01,1.0,0.15,1.0,0.0,0.0/ RV,C1
8401D 810, 0,2.0,0.0,0.0,10.0,-10.0,0.01,1.0,0.2,0.93,0.17,-0.1/ P,CS1
8401D 820, 0,2.0,0.0,0.0,10.0,-10.0,0.01,1.0,0.2,0.89,0.11,0.0/ P,CS2
8401D 830, 0,1.0,1.0,0.0,10.0,-10.0,0.01,1.0,0.05,0.0,1.00,0.0/ P,CS3
#
---- 9000 INPUTS ----
# ----- SIMULATION TIME AND PRINTOUT INTERVALS -----
#90001D 150.0, 1.0, 0.000002, 999.0,
# 0.25, 4.0, 1.0, 10., 2.0, 100.0, 4.0, 300.0, 16.0, 99999.0/
#
9001D 54000.0, 50.0, 0.000002, 999999.0,
4.0 , 20.0 ,
8.0 , 340.0 ,
64.0 , 2260.0 ,
128.0 , 16800.0 ,

```

Figure 3-1 (Continued)

```
256.0 , 999999.0 /
¥9001D 30000.0, 50.0, 0.000002, 999999.0,
¥     4.0      ,    20.0   /
¥     8.0      ,    340.0   /
¥    16.0      ,   2260.0   /
¥    32.0      ,  16800.0   /
¥   256.0      , 99999.0   /
9002D 0.001, 0.001, 0.02, 0.02/           ACCEPTANCE LMT(ACU)
9003D 0.01, 0.01, /           ACCEPTANCE LIMIT(INTERFACE)
9004D 1, 1, 1, 1, 1, 0/ CALL -- LP(THML);LP(HYD);SG;FUEL;IN-V CL;PPS/PCS
9005D 1, 1, 1, 1, 1, 1/ PRINT -          DO.
9008D 0, 0, 0, 0/      DUMP -- COMMON & CONTAINERS
¥
STOP
END
```

Figure 3-1 (Continued)

```
REFERENCE DATA FOR LOHS ACCIDENT 14CH
OV OLDDATA
1D 99/
2D 0/
3D -3, 70, 60 /
STOP
OV TRNREG
101D 86400.0, 50.0, 0.000002, 999999.0,
    4.0      , 20.0 ,
    8.0      , 340.0 ,
    64.0     , 2260.0 ,
   128.0     , 16800.0 ,
   256.0     , 999999.0/
$101D 12000.0, 50.0, 0.000002, 999999.0,
$    4.0      , 20.0 ,
$    8.0      , 340.0 ,
$   16.0      , 2260.0 ,
$   32.0      , 16800.0 ,
$   256.0     , 999999.0/
105D 1, 1, 1, 1, 1, 1/
STOP
END
```

Figure 3-2 Input data for re-start analysis of Monju PLOHS using SSC-L
(file unit #5).

```

&CGAS
T6DELY=999999.0,
Z6PBKR=5.5,
DELVCG=60.0
&END
&GVMOD
IGVOPT=0
V1HIP=2.0,
F1GP1=0.0,
F1GP2=0.610193826,
F1GP3=0.0,
Z1MAP=8.5,
V1MAXP=15.93,
DRGVG=0.032,
DRGV1D=0.89,
GVPH=0.0,0.904,1.8,5.7,7.0,7.62,7.9,8.3,8.4,8.5,
GVVT=35.0,42.27,53.83,91.68,115.70,123.55,129.24,136.62,138.21,139.80,
GPVT=2.0,4.2,5.8,10.8,12.6,13.76,14.50,15.29,15.61,15.93,
&END
&LPMOD
L6LPLN=1,
P6INHI=1.6268E4,
W6INHI=4017.7,
P6INLD=3.9298E5,
W6INLD=249.0,
P6HIL0=3.76712E5,
W6HIL0=550.4
&END
&STRCT
LSUPP=0,
LSSTRC=0,
FSSWGT( 1)=-0.197E-5,-0.301E-5, 0.559E-5, 2.722E-5, 4.059E-5,
FSSWGT( 6)= 4.012E-5, 2.539E-5, 0.193E-5,-0.623E-5,-0.242E-5,
FSSWGT(11)=-0.182E-5,-0.283E-5, 0.516E-5, 2.464E-5, 3.671E-5,
FSSWGT(16)= 3.626E-5, 2.284E-5, 0.173E-5,-0.550E-5,-0.224E-5,
FSSWGT(21)=-0.161E-5,-0.271E-5, 0.395E-5, 2.128E-5, 3.205E-5,
FSSWGT(26)= 3.164E-5, 1.957E-5, 0.048E-5,-0.491E-5,-0.197E-5,
FSSWGT(31)=-0.135E-5,-0.256E-5, 0.258E-5, 1.733E-5, 2.652E-5,
FSSWGT(36)= 2.618E-5, 1.594E-5,-0.011E-5,-0.444E-5,-0.163E-5,
FSSWGT(41)=-0.111E-5,-0.268E-5, 0.124E-5, 1.348E-5, 2.101E-5,
FSSWGT(46)= 2.078E-5, 1.250E-5,-0.052E-5,-0.377E-5,-0.129E-5,
FSSWGT(51)=-0.078E-5,-0.264E-5,-0.159E-5, 0.649E-5, 1.127E-5,
FSSWGT(56)= 1.115E-5, 0.599E-5,-0.246E-5,-0.329E-5,-0.095E-5,
FSSWGT(61)=-0.050E-5,-0.215E-5,-0.466E-5,-0.254E-5,-0.131E-5,
FSSWGT(66)=-0.137E-5,-0.271E-5,-0.489E-5,-0.253E-5,-0.068E-5,
FSSWGT(71)=-0.040E-5,-0.184E-5,-0.448E-5,-0.347E-5,-0.292E-5,
FSSWGT(76)=-0.296E-5,-0.360E-5,-0.465E-5,-0.215E-5,-0.054E-5,
FSSWGT(81)=-0.017E-5,-0.080E-5,-0.297E-5,-0.437E-5,-0.533E-5,
FSSWGT(86)=-0.212E-5,-0.403E-5,-0.260E-5,-0.074E-5,-0.019E-5,
FSSWGT(91)=-0.005E-5,-0.024E-5,-0.081E-5,-0.129E-5,-0.162E-5,
FSSWGT(96)=-0.159E-5,-0.119E-5,-0.071E-5,-0.022E-5,-0.006E-5,
FSSWGT(101)=-0.001E-5,-0.006E-5,-0.020E-5,-0.032E-5,-0.040E-5,
FSSWGT(106)=-0.039E-5,-0.029E-5,-0.017E-5,-0.006E-5,-0.001E-5
&END
&PVHR
L1PWHR = 0,
L2PWHR = 0,
Y1TI=10*0.2 ,
Y2TI=10*0.2 ,
T1A=328.0,
T2A=328.0,
F1EXP=1.0E-6,
ITRMAX=50,
F1B0=3*0.0,
F2B0=3*0.0,
B1GS=290.0,
B2GS=290.0
&END
&NOIHS
S9LOHS=9999999.0,
S9PMSP=9999999.0,
S9NSG=9999999.0
&END
&ACS
S20ACS=94.0,
S2LOAF=94.0,
S2BVOP=94.0,
S2STRT=94.0,94.0,94.0,
S2LHTS=999999.0,999999.0,999999.0,
N2ACSO=1,

```

Figure 3-3 Namelist input data for the Monju PLOHS analysis using SSC-L
(file unit #4).

```

T2CHST=473.15,
LOADBA=-1,
F1ORGN=3.0,
F1FINL=3.0,
NTABLE=4,
TIMTAB=0.0,1.0, 501.0, 999999.0,
FLWTAB=-0.1,-0.1,-0.1,-0.1,
TEMTAB=313.15,313.15,313.15,313.15,
A2STCK=5.147,
T2AIRE=313.0,
T2AORE=473.0,
W2NREF=65.28,
T2NIRE=778.0,
T2NORE=598.0,
W2AREF=-93.1,
P2AREF=2352.0,
T2AIIC=313.0,
T2AOIC=714.6,
H2STCK=11.0,
TAU2=0.4391,
F2STC1=-0.316,
ACRCS=0.09599476,12.3,0.105,
DOWET=8.649,454.6,
XONODE=0.805,0.16235,0.805,
WTHICK=0.0032,
VOOLUM=0.5516,7.2,0.5516,7.2
&END
&DRACS
L1DRAC =0,
F1DLOC=1.0,
S1DRCS=999999.0,
T1NKR=506.15,
T1NKCR=462.15,
W1NKR=34.17,
T1NAIR=517.15,
T1NAOR=473.15,
Y1KHI=0.0191,
Y1KHO=0.0217,
C1NTB=174.0,
STAUN=31.60,
STAUK=14.7778,
S1TAU=18.668,
Z1UPL=-0.275,
Z1LPL=4.09,
Z1DHX=3.40,
Y1NAH=38.022,
Y1NAC=61.491,
Z1NAC=-4.07,
Z1NAC=0.54,
X1NA=0.1023,
X1DHSL=0.029,
N1ENPD=4,
P1EMPD=0.0,0.1,1.0,1.0,
T1EMPD=0.0,1.0,120.0,999999.0,
P1REFP=211327.0,
N2EMPD=4,
P2EMPD=0.0, 0.0,     1.0,      1.0,
T2EMPD=0.0, 5.0,   120.0, 999999.0,
P2REFP=352878.0,
A1DHX=0.11,
P1FC0=0.0,
W1NAR=34.44,
Z1STAK=15.1,
A1STAK=3.61,
F1DRK=0.0,
F1STAK=-392.0,
W1AR=20.56,
T1AIR=313.15,
T1AOR=415.15,
N1DAHP=8,
N1DCOS=6,
N1DFIN=2,
R1AREA=0.05,
R1DFIN=1.0,
R1DCOS=1.0,
N1FANH=4,
P1FANH=0.0, 0.0,     1.0,      1.0,
T1FANH=0.0, 10.0,  120.0, 999999.0,
Y1DHTB=3.830,
Z1NKH=15.651,

```

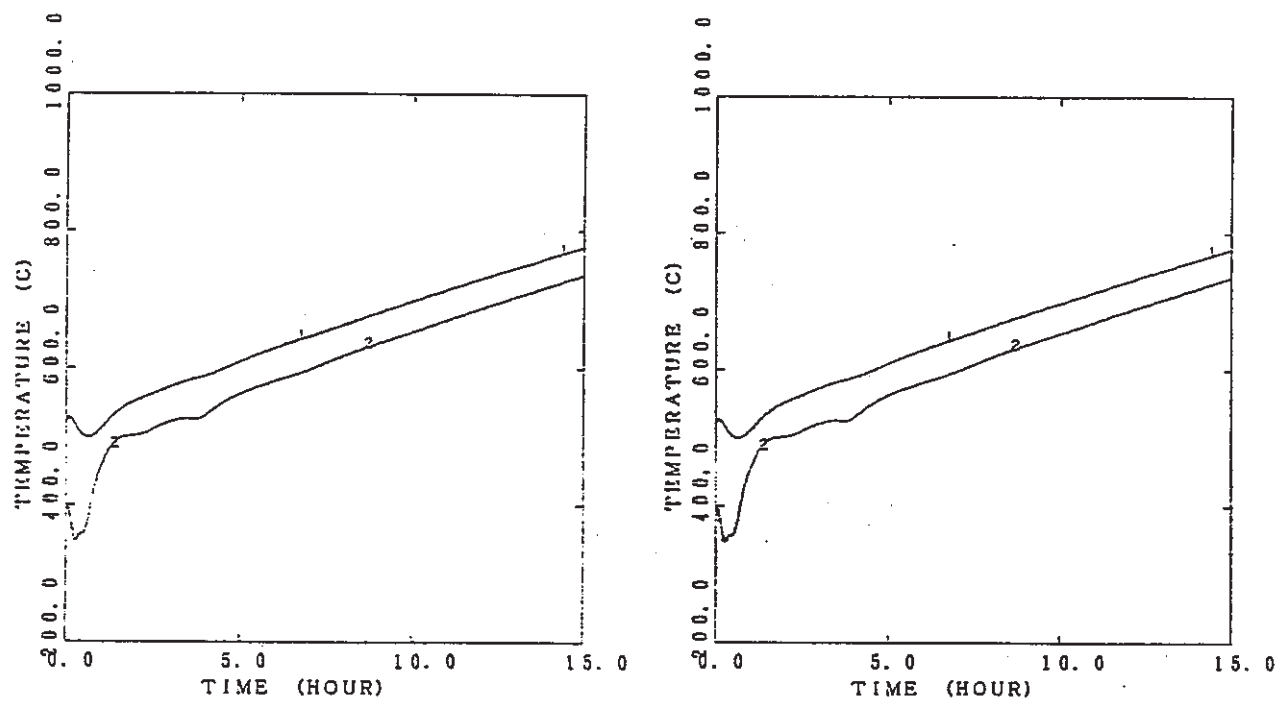
Figure 3-3 (Continued)

```

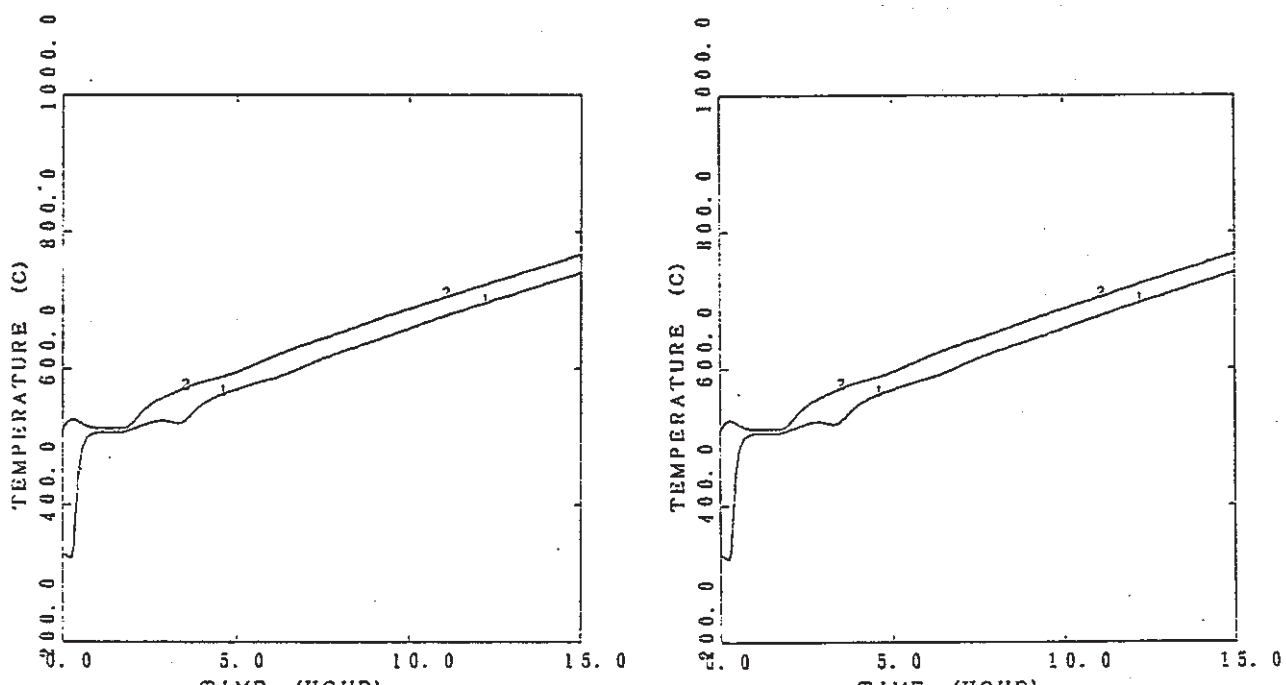
Z1NKC=17.281,
Z1NHC=2.20,
Y1NKC=64.999,
Y1NKR=48.531,
Y1NHTB=22.23,
X1NK=0.1023,
X1NHTB=0.0276,
A1NHTB=0.025128
T1NKH=473.15,
T1NKC=473.15,
T1AI=313.15,
T1AO=313.15,
T1ST=313.15,
W1NK=10.3,
W1A=0.0,
W1NA=0.0,
T1NAI=473.15,
T1NAO=473.15,
P2FANO=0.0,
F1DRNK = 0.0,
L1DRCS=6,
N1DRCS=21,
L2DRCS=11,
N2DRCS=23,
G1DRCS(1,1)=0.821942E-2,11.481,0.0,
G1DRCS(1,2)=1.891792E-2,0.850,0.0,
G1DRCS(1,3)=1.891792E-2,5.129,-5.129,
G1DRCS(1,4)=1.891792E-2,3.827,0.0,
G1DRCS(1,5)=1.891792E-2,2.523,-2.523,
G1DRCS(1,6)=1.891792E-2,10.632,0.0,
G1DRCS(1,7)=1.891792E-2,0.500,-0.5,
G1DRCS(1,8)=1.891792E-2,4.763,0.0,
G1DRCS(1,9)=1.891792E-2,1.365,-1.365,
G1DRCS(1,10)=1.891792E-2,1.050,0.0,
G1DRCS(1,11)=1.891792E-2,7.100,0.0,
G1DRCS(1,12)=0.887476E-2,0.839,0.0,
G1DRCS(1,13)=0.887476E-2,3.756,3.756,
G1DRCS(1,14)=0.887476E-2,4.300,0.0,
G1DRCS(1,15)=0.887476E-2,1.176,1.176,
G1DRCS(1,16)=0.887476E-2,1.900,0.0,
G1DRCS(1,17)=0.887476E-2,9.806,9.806,
G1DRCS(1,18)=0.887476E-2,1.170,0.0,
G1DRCS(1,19)=0.821942E-2,9.193,0.0,
G1DRCS(1,20)=0.821942E-2,1.830,-1.830,
G1DRCS(1,21)=0.821942E-2,0.953,0.0,
G2DRCS(1,1)=0.887476E-2,0.794,0.270,
G2DRCS(1,2)=0.887476E-2,3.756,0.0,
G2DRCS(1,3)=0.887476E-2,0.845,0.845,
G2DRCS(1,4)=0.887476E-2,3.945,0.0,
G2DRCS(1,5)=0.887476E-2,3.901,0.0,
G2DRCS(1,6)=0.887476E-2,1.072,1.072,
G2DRCS(1,7)=0.887476E-2,13.050,0.0,
G2DRCS(1,8)=0.887476E-2,4.228,4.228,
G2DRCS(1,9)=0.887476E-2,1.300,0.0,
G2DRCS(1,10)=0.887476E-2,8.550,8.012,
G2DRCS(1,11)=0.887476E-2,7.090,0.0,
G2DRCS(1,12)=0.887476E-2,5.836,0.0,
G2DRCS(1,13)=0.887476E-2,5.173,-5.173,
G2DRCS(1,14)=0.887476E-2,0.800,0.0,
G2DRCS(1,15)=0.887476E-2,2.032,-2.032,
G2DRCS(1,16)=0.887476E-2,0.800,0.0,
G2DRCS(1,17)=0.887476E-2,12.726,0.0,
G2DRCS(1,18)=0.887476E-2,2.489,-2.489,
G2DRCS(1,19)=0.887476E-2,13.900,0.0,
G2DRCS(1,20)=0.887476E-2,1.055,-1.055,
G2DRCS(1,21)=0.887476E-2,3.981,0.0,
G2DRCS(1,22)=0.887476E-2,10.464,0.0,
G2DRCS(1,23)=0.887476E-2,0.143,-0.143
&END
&ISAHT
ANF(1) = 18.0, 30.0, 42.0, 42.0, 66.0, 90.0, 90.0, 100.0, 108.0, 120.0,
ANF(11)= 132.0, 132.0 ,0.0
&END

```

Figure 3-3 (Continued)

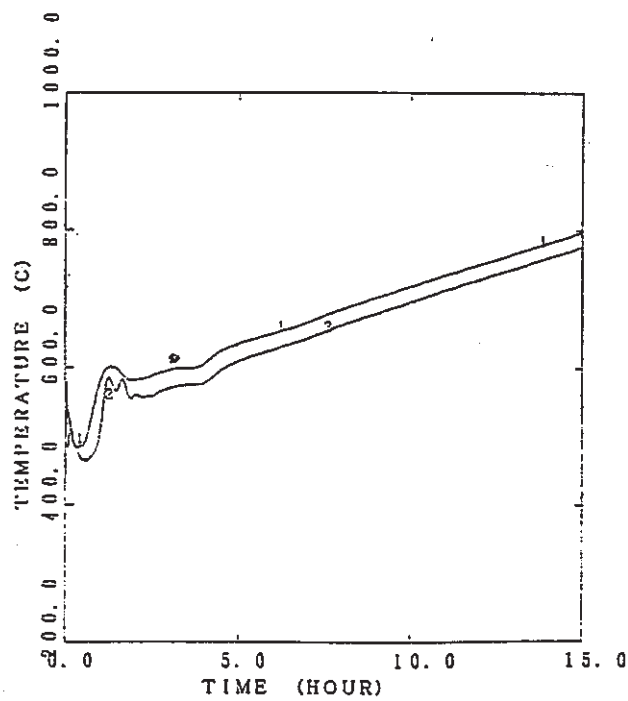


Fi Figure 3-4 Coolant temperatures at reactor vessel inlet and outlet.

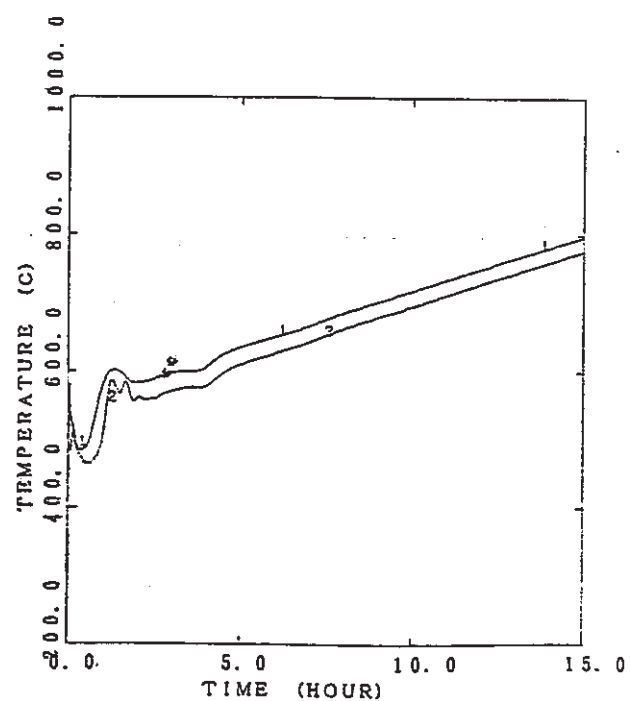


(a) Calculated using SSC-L Cycle-41 (b) Calculated using SSC-L Cycle-42

Figure 3-5 Secondary coolant temperatures at IHX inlet and outlet.

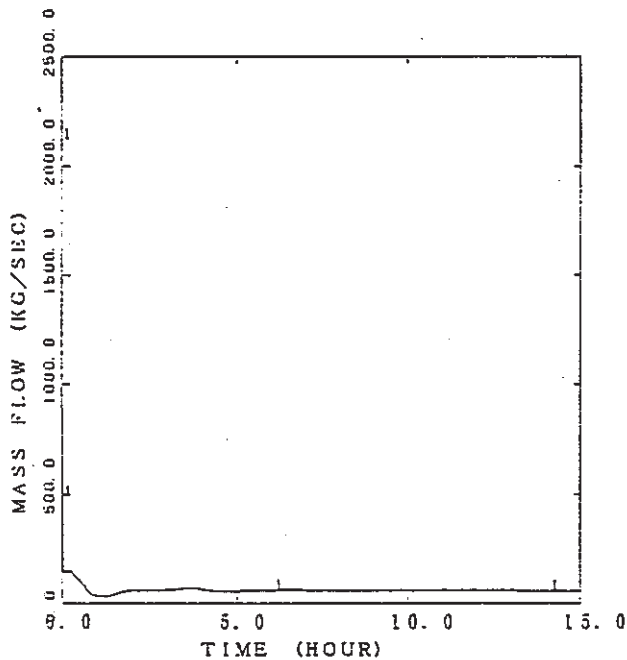


(a) Calculated using SSC-L Cycle-41

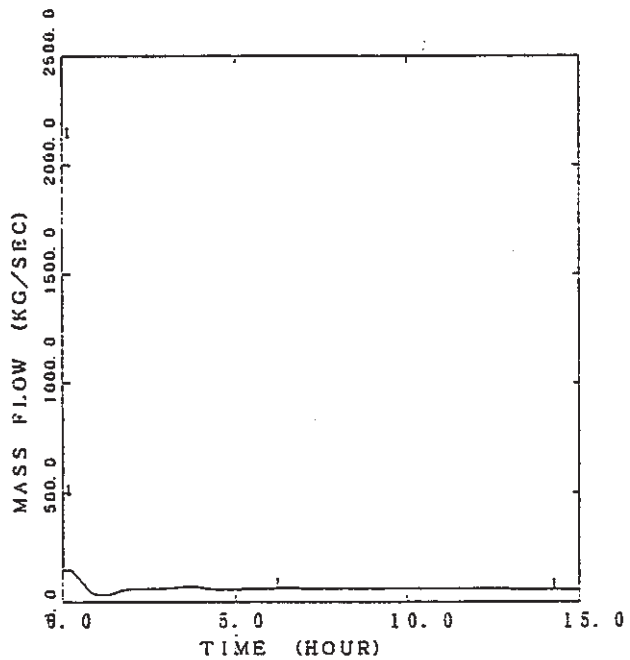


(b) Calculated using SSC-L Cycle-42

Figure 3-6 Coolant temperatures at fuel and blanket subassembly exits.



(a) Calculated using SSC-L Cycle-41



(b) Calculated using SSC-L Cycle-42

Figure 3-7 Total mass flow rate in the reactor core.

L0PI ANALYSIS 14CH (GUILLOTINE) + PONY MOTOR FAIL TO START ***CASE4***
 OV VESSEL
 1D 14, 4, 14, 14, 14, 14, 4, 14R/ CORE RADBLA CR N.SHIELDING
 2D 1, 8R, 2, 3R, 3, 4, 2R/ FUEL PIN TYPE
 3D 0.1046, 0.067839, 0.12764, 0.11907,
 0.13445, 0.19528, 0.06581, 0.10968,
 0.040467, 0.020263, 0.009786,
 0.002034, 0.003081, 0.0 / TOTAL POWER = 1.0000
 4D 0.087984, 0.055008, 0.104930, 0.097641,
 0.113531, 0.185625, 0.066844, 0.100945,
 0.055594, 0.030656, 0.013969,
 0.037852, 0.012589, 0.036832 / TOTAL FLOW = 1.0
 5D 18, 12, 24, 24, 30, 42, 18, 30, 52, 60, 60, 19, 326, 1 / NO. OF SA
 7D 2.15148E-05, 8R, 4.81967E-05, 3R, 1.964E-04, 1.54359E-3,
 0.43079 / AREA/ROD
 8D .003222, 8R, .004132, 3R, .0077, .007348, 6.2E-3 / HYDRAULIC DIAMETER
 11D 0.0, 14R/ J FUEL INNER RADIUS
 12D .0027, 8R, .0052, 3R, .0063, .045, 0.0027 / FUEL OUTER RADIUS
 13D .00278, 8R, .0053, 3R, .00645, .0455, 0.00278 / CLAD INNER RADIUS
 14D .00325, 8R, .0058, 3R, .00845, .0505, 0.00325 / CLAD OUTER RADIUS
 15D .0, 14R/ LB INNER RADIUS
 16D .0027, 8R, .0052, 3R, .0063, .045, 0.0027 / LB OUTER RADIUS
 17D 0.0, 14R/ UB INNER RADIUS
 18D .0027, 8R, 0.0052, 3R, .0063, .045, 0.0027 / UB OUTER RADIUS
 19D 1.0, 13R, 0.0 / FRAC. HT TO STRUCTURE
 20D 0.40548E4, 14R/ = SAS 3D FUEL/CLAD CONTACT HEAT TRANSFER
 21D 5.0000E6, 14R/ FISSION GAS PRESSURE
 23D 0, 0.0, 14R, 0.0, 5.304E5, 4266.67, 25, 25, 0.0001, 0.01, 14000./
 ¥ 4.86 + STATIC CORE FLOW
 24D 143.3, 1.1982E8, 26205.3, 39.4, 0.0 / LOWER PLENUM
 25D 1, 300.0/
 27D 0.0, 0.0, 1.5, 5.7, 11.7, 6.4, 16.23817 / VOL(GV)=110 ELEVATION
 28D 37.46, 10.1737, 0.6, 37.46, 28.498, 80.9086, 5.552764, 14., 1400.,
 560.0, 0.23, 0.0, 0.999, 6.2086E7, 1.425E7, 12.8E7/U PLENUM JGG
 29D 0.43079, 0.43079, 6.2E-3, 6.2E-3, -3.961887E5, 10000.0/YOK BYPASS JGG
 300 0.316, 0.25, -16.15, 24.96, -8.55, 0.3/ FRIC & NU #
 ¥ ----- INLET ORIFICE ZONE AND SA TOP 31D - 34D ----- ¥
 *31D 0.06, 14R/ INLET ORIFICE ZONE
 31D 1.151, 14R/ INLET ORIFICE ZONE
 32D (0.0, 0.0), 14R/
 33D 72627.7, 114535.9,
 142311.1, 180391.6,
 214055.6, 136127.9,
 222103.5, 260282.1,
 47208.0, 71940.7,
 78418.3, 2846.2,
 26401.2, 0.0 / P DROP(FRICTION) AT INLET NOZZLE
 34D 0.0, 14R/
 26D 0 /
 39D 0 /
 41D 14, .0 /
 101D 0.0, 0.35, 0.93, 0.3, 1.16, 0, 2, 6, 2, 4, 1.2108, 47.2302, 60, 70,
 40, 0.93, 0.95, 0.97,
 50, 0.85, 0.95, 0.97,
 40, 0.93, 0.95, 0.97,
 169, 0.00132, 0.1046, 0.003, 1.15/ CORE I&II
 102D 0.0, 0.0, 0.0, 1.58, 1.16, 0, 0, 0, 10, 4, 1.1207, 21.63793, 60, 70,
 0, 0.0, 0.0, 0.0,
 0, 0.0, 0.0, 0.0,
 40, 0.93, 0.95, 0.97,
 61, 0.00136, 0.1046, 0.003, 1.15/ RAD BLANKET
 103D 0.0, 0.0, 2.74, 0.0, 0.0, 0, 0, 14, 0, 0, 1.0769, 17.7515, 60, 70,
 0, 0.0, 0.0, 0.0,
 51, 1.0, 1.0, 1.0,
 0, 0.0, 0.0, 0.0,
 19, 0.0012, 0.1046, 0.003, 1.15/ CONTROL ROOS
 104D 0.0, 0.0, 2.74, 0.0, 0.0, 0, 0, 14, 0, 0, 1.0769, 17.7515, 60, 70,
 0, 0.0, 0.0, 0.0,
 51, 1.0, 1.0, 1.0,
 0, 0.0, 0.0, 0.0,
 1, 0.0012, 0.1046, 0.003, 1.15/ BYPASS REGION
 ¥ ----- AXIAL POWER SHAPE FOR EACH CHANNEL ----- ¥
 ¥ AXIAL POWER SHAPE 1
 201D 1.9764E+01, 7.3429E+01, 1.5980E+02, 2.5019E+02, 2.9211E+02,
 2.9828E+02, 2.6887E+02, 1.8347E+02, 5.6018E+01, 9.5238E+00,
 0.0, 4R/
 ¥ 2
 202D 1.8873E+01, 7.0524E+01, 1.7644E+02, 2.5846E+02, 2.8676E+02,
 2.6101E+02, 2.4081E+02, 1.5316E+02, 5.2872E+01, 8.4091E+00,
 0.0, 4R/

Figure 3-8 Input data for the Monju LOP1 analysis using SSC-L (file unit #5).

¥ 3
 203D 1.6374E+01, 6.4992E+01, 1.6614E+02, 2.4532E+02, 2.7296E+02,
 2.6778E+02, 2.2989E+02, 1.4783E+02, 5.2436E+01, 9.0192E+00,
 0.0, 4R/
 ¥ 4
 204D 1.4827E+01, 6.0321E+01, 1.5536E+02, 2.2980E+02, 2.5589E+02,
 2.5116E+02, 2.1528E+02, 1.3684E+02, 4.7133E+01, 7.5426E+00,
 0.0, 4R/
 ¥ 5
 205D 1.2085E+01, 5.2970E+01, 1.3963E+02, 2.0810E+02, 2.3236E+02,
 2.2835E+02, 1.9581E+02, 1.2432E+02, 4.2590E+01, 6.6710E+00,
 0.0, 4R/
 ¥ 6
 206D 8.7823E+00, 5.0390E+01, 1.4264E+02, 2.1659E+02, 2.4284E+02,
 2.3906E+02, 2.0581E+02, 1.3213E+02, 4.5420E+01, 6.4821E+00,
 0.0, 4R/
 ¥ 7
 207D 5.8087E+00, 3.8246E+01, 1.1139E+02, 1.7035E+02, 1.9138E+02,
 1.8866E+02, 1.6291E+02, 1.0515E+02, 3.5116E+01, 4.9619E+00,
 0.0, 4R/
 ¥ 8
 208D 5.8087E+00, 3.8246E+01, 1.1139E+02, 1.7035E+02, 1.9138E+02,
 1.8866E+02, 1.6291E+02, 1.0515E+02, 3.5116E+01, 4.9619E+00,
 0.0, 4R/
 ¥ 9
 209D 1.5489E+01, 3.4228E+01, 6.3835E+01, 8.8600E+01, 9.9750E+01,
 9.8421E+01, 8.5038E+01, 6.0103E+01, 3.2132E+01, 1.4764E+01,
 0.0, 4R/
 ¥ 10
 210D 7.7138E+00, 1.5692E+01, 2.7584E+01, 3.7442E+01, 4.2021E+01,
 4.1502E+01, 3.6058E+01, 2.6129E+01, 1.4901E+01, 7.5445E+00,
 0.0, 4R/
 ¥ 11
 211D 4.1792E+00, 7.8980E+00, 1.3272E+01, 1.7680E+01, 1.9757E+01,
 1.9530E+01, 1.7075E+01, 1.2628E+01, 7.5578E+00, 4.1474E+00,
 0.0, 4R/
 ¥ 12
 212D 1.9210E+01, 14R/
 ¥ 13
 213D 2.2420E+01, 14R/
 214D 2.2420E+01, 14R/
 301-314D 1.0, 4R/ RADIAL POWER PROFILE
 401-4080 0.981, 0.009, 0.004/ FRAC. POWER FUEL/CLAD/SODIUM
 409-411D 0.975, 0.01, 0.005/
 412-414D 0.69, 0.1038, 0.0378/
 501-514D 80, .95, 81, .03, 82, .02/
 ¥010 80, 0.0556, 81, .8235, 82, .1209/ F
 ¥020 80, 0.0399, 81, .8372, 82, .1229/ I
 ¥030 80, 0.0510, 81, .8275, 82, .1215/ S
 ¥040 80, 0.0550, 81, .8241, 82, .1209/ S
 ¥050 80, 0.0612, 81, .8186, 82, .1202/ I
 ¥060 80, 0.0552, 81, .8239, 82, .1209/ O
 ¥070 80, 0.0656, 81, .8147, 82, .1197/ N
 ¥080 80, 0.0799, 81, .8023, 82, .1178/ G
 ¥090 80, 0.0399, 81, .8372, 82, .1229/ A
 ¥100 80, 0.0399, 81, .8372, 82, .1229/ A
 ¥11D 80, 0.0399, 81, .8372, 82, .1229/ S
 ¥12D 80, 0.9500, 81, .0300, 82, .0200/
 ¥13D 80, 0.9500, 81, .0300, 82, .0200/ .
 OV NALOOP
 10 2, 00006, 16, 26, 9, 7, 3, 18, 00008, 12, 5, 4, 3, 8, 10, 6, 16/
 20 1,2/
 ¥ ----- FILE N AL OOP -----
 ¥ -----
 100D 3174, 0.0191, 0.0217, 1.984, 0.1, 9.92, 8870.0,
 47.0, 1.4147, 0.0, 0.0, 70/
 101D -1, 0, 0.0, 0.0, 0.0, 0.0, 0.0, 0.0/ IHX
 102D 2.0, 3.66, 0.0, 6.18, 13.8, 5.4, 3.6, 13.5/ IHX PL
 103D 90.0, -90.0, -90.0, 90.0/ IHX PL
 104D 11.18, 0.5398, -90.0/ IHX CENTRAL DOWNCOMER
 105D 0.001, 1.5E-6, 1.5E-6/ CONV CRIT. SURFACE ROUGHNESS
 ¥ ----- PRIMARY PUMP HEAD & POLYNOMIAL ----- ¥
 110D 6, 1.264, -0.065, 0.118, -0.531, 0.090, 0.124/
 111D 0, 1, 6894.76, 17.26, 22.64, 9989.9/ CHECK VALVE
 112D 92.0, 837.0, 1.66147, 19002.2, 2.329, 0.74,
 182.28/PONY MOTOR TORQUE PRIMARY PUMP
 ¥ ----- SEC PUMP & SURGE TANK -----
 122D 54.0, 1100.0, 1.18866, 6105.4, 3.1, 0.536, 14.975, 0.274,
 71.64/Q2PYTQ:PONY MOTOR TORQUE 2-RY PUMP
 1001D 4, 5, 2, 7, 7, 2, 1, 4, 5, 6/

Figure 3-8 (Continued)

```

1002D 0.00, 3174, -3.2472E4/ IHX
1003D 3.136E+4, 0.0, 4.25026E3/
* ----- PRIMARY LOOP PIPINGS -----
* PIPE NUMBER= 1.
1101D 0.91282, 34.3, 0.7906, 0.0111, 18.79, 90.0, 17.14, 0.9458,13R/
* PIPE NUMBER= 2.
1102D 0.0, 5.00, 0.0352, 0.0111, -90., 26R/ DH FOR IHX IHX
* PIPE NUMBER= 3.
1103D 0.22600, 18.40, 0.7906, 0.0111,
-35.02, 8.249, 90.00, 90.00, 90.00, 20.89, 0.000, 0.000,
0.0/
* PIPE NUMBER= 4.
1104D 0.23931, 13.61, 0.7906, 0.0111,
-90.00, -89.83, -89.94, -0.8843, 27.62, 89.94,
0.0/
* PIPE NUMBER= 5.
1105D 0.096971, 7.09, 0.581, 0.0095,
45.8823, 12.1315, 0.0/
* PIPE NUMBER= 6.
1106D 2.82489, 31.0, 0.581, 0.0095,
-0.5262, 10R, -58.29, -90.0,4R, -49.04, 0.0, 0.0/
* ----- SECONDARY LOOP PIPINGS -----
* PIPE NUMBER= 1.
1201D 1.727, 161.8, 0.5398, 0.0095, 0.593429,2R, 0.593489,
-0.049095, -1.054293, -1.054234, -1.054293, -1.054234,
-1.054293, -1.054234, -1.054234, 0.0/
* PIPE NUMBER= 2.
1202D 1.906, 36.4, 0.5398, 0.0095, -0.74497, -0.74488, 62.2935,
11.4087, 0.0 /
* PIPE NUMBER= 3.
1203D 1.165, 7.50, 0.5398, 0.0095, -89.980, -36.788, 0.16401, 0.0/
* PIPE NUMBER= 4.
1204D 0.0, 3.85, 0.5398, 0.0095, 1.11595, 1.11640, 0.0/
* PIPE NUMBER= 5.
1205D 1.008, 35.67, 0.3055, 0.0065,
0.0, 2R, 22.8612, 54.0889, 0.0, 20.8882, 58.6536, 31.2310/
* PIPE NUMBER= 6.
1206D 1.854, 34.389, 0.3055, 0.0065,
-41.7431, 0.0, -22.6911, -3.9918, -90.0, -24.3102, -16.2462,
-90.0, -26.1669, 0.0/
* PIPE NUMBER= 7.
1207D 0.5158, 19.92, 0.5398, 0.0095, 0.304588,2R, 75.9394,
89.7963, 89.6961, 0.0/
* PIPE NUMBER= 8.
1208D 1.522, 154.00, 0.5398, 0.0095, -36.2379, -0.57547,
-0.0045131, 0.614645, 0.614730, 0.614645, 0.614730,
0.614730, 0.614645, 0.614730, 0.614645, 15.0587, -1.0705,3R,
0.0/
OV' STMGEN
1D 1, 1, 2, 38.6 , 0.3164, 3.9E-6, 1, 1/
1D 2, 1, 2, 55.77, 0.2074, 6.0E-6, 2, 1/
1D 3, 1, 2, 52.1 , 0.2519, 5.0E-6, 2, 1/
1D 4, 1, 2, 25.28, 0.2519, 5.0E-6, 2, 1/
1D 5, 1, 2, 29.5 , 0.2842, 4.5E-6, 1, 1/
1D 6, 1, 2, 12.7 , 0.5398, 3.9E-6, 1, 1/
1D 7, 1, 2, 76.68, 0.5398, 3.9E-6, 3, 1/
1D 8, 1, 2, 15.0 , 0.5398, 3.9E-6, 1, 1/
*
* - FEED WATER HEADER -
*
101D 101, 2, 2.102, 0.3164, 0.0, 1.0, 41.14, 1/
103D 101, 1/
102D 101, 2/
102D 101, 3/
111D 101, 1, 1.,0.0/
*
* - SEPARATOR -
*
101D 102, 1, 7.0, 8.0, 0.0, 1.0, 48.1, 1/
103D 102, 1/
102D 102, 2/
111D 102, 1, 1., 0.0/
*
* - STEAM HEADER -
*
101D 103, 2, 12.63, 0.408, 0.0, 1.0, 41.6, 1/
102D 103, 1/
103D 103, 2/
103D 103, 3/
111D 103, 1, 1., 0.0/

```

Figure 3-8 (Continued)

```

¥
¥      - EVAPORATOR -
¥
301D 301, 1, 2, 3, 4, 64.4, 0.02344, 0.0318, 1.76565, 1.0E10,
      3.0E-6, 140, 19, 71, 3, 0, 1, 1.93, 1.0, -1., 1/
¥
¥      - SUPER HEATER -
¥
301D 302, 1, 2, 3, 4, 28.9, 0.0241, 0.0318, 1.753, 1.0E10,
      3.0E-6, 147, 9, 71, 3, 0, 1, 2.128, 1.0, -1., 1/
¥
¥      - FEED WATER INLET -
¥
402D 401, 1/
411D 401, 315.83, 513.16, 0.0, 999/
¥
¥      - OUTLET TO TURBINE -
¥
401D 402, 1/
411D 402, 0.0, 0.0, 12.54E6, 999/
¥
¥      - SODIUM INLET FROM INTERMEDIATE LOOP-1 -
¥
402D 403, 1/
411D 403, -1.0, 0.0, 0.0, 1/
¥
¥      - SODIUM OUTLET TO LOOP-1 -
¥
401D 404, 1/
411D 404, 0.0, 0.0, 0.0, 1/
¥
¥      - TURBINE THROTTLE VALVE -
¥
501D 501, 1, 2, 1.0, 0.46, 3.0E-6, 1, 0.166, 11.5, 1.0, 1.0, 0/
521D 501, 1.0E-6, -999, 0.0, 0.0, 0.0, 0.0/
¥
¥      LOOP2
¥      - PIPE RECORD -
¥
1D 22, 1, 2, 55.77, 0.2074, 6.0E-6, 2, 2/
1D 23, 1, 2, 52.1, 0.2519, 5.0E-6, 2, 2/
1D 24, 1, 2, 25.28, 0.2519, 5.0E-6, 2, 2/
1D 25, 1, 2, 29.5, 0.2842, 4.5E-6, 1, 2/
1D 26, 1, 2, 12.7, 0.5398, 3.9E-6, 1, 2/
1D 27, 1, 2, 76.68, 0.5398, 3.9E-6, 3, 2/
1D 28, 1, 2, 15.0, 0.5398, 3.9E-6, 1, 2/
¥
¥      - SEPARATOR -
¥
101D 122, 1, 7.0, 8.0, 0.0, 1.0, 48.1, 2/
103D 122, 1/
102D 122, 2/
111D 122, 1, 1., 0.0/
¥
¥      - EVAPORATOR -
¥
301D 321, 1, 2, 3, 4, 64.4, 0.02344, 0.0318, 1.76565, 1.0E10,
      3.0E-6, 140, 19, 71, 3, 0, 1, 1.93, 1.0, -1., 2/
¥
¥      - SUPER HEATER -
¥
301D 322, 1, 2, 3, 4, 28.9, 0.0241, 0.0318, 1.753, 1.0E10,
      3.0E-6, 147, 9, 71, 3, 0, 1, 2.128, 1.0, -1., 2/
¥
¥      - SODIUM INLET FROM INTERMEDIATE LOOP-2 -
¥
402D 423, 1/
411D 423, -1.0, 0.0, 0.0, 2/
¥
¥      - SODIUM OUTLET TO LOOP-2 -
¥
401D 424, 1/
411D 424, 0.0, 0.0, 0.0, 2/
¥
¥      - FLOW SEGMENTS -
¥
621D 1, 315.83, 0.0/ FLOW SEGMENT 1
621D 2, 105.28, 0.0/ 2
621D 4, 105.28, 0.0/ 3
621D 6, 1036.11, -6.9658E-2/ 4

```

Figure 3-8 (Continued)

```

6210 501, 315.83 , 0.0/      5
¥
6210 22, 210.56 , 0.0/      6
6210 24, 210.56 , 0.0/      7
6210 26, 2072.22, -1.7414E-2/ 4
¥
¥     - JUNCTIONS -
¥     - WATER STEAM SIDE LOOP 1 -
9010 23.85, 401, 1, 1, 1/
9010 41.14, 1, 2, 101, 1/
9010 41.14, 101, 3, 2, 1/
9010 37.82, 2, 2, 301, 1/
9010 50.10, 301, 2, 3, 1/
9010 48.10, 3, 2, 102, 1/
9010 48.10, 102, 2, 4, 1/
9010 41.70, 4, 2, 302, 1/
9010 50.26, 302, 2, 5, 1/
9010 41.12, 5, 2, 103, 3/
9010 41.12, 103, 1, 501, 1/
9010 41.12, 501, 2, 402, 1/
¥
¥     - SODIUM SIDE -
9010 48.27, 403, 1, 6, 1/
9010 44.30, 6, 2, 302, 3/
9010 41.70, 302, 4, 7, 1/
9010 44.30, 7, 2, 301, 3/
9010 37.82, 301, 4, 8, 1/
9010 35.34, 8, 2, 404, 1/
¥
¥     - WATER STEAM SIDE LOOP 2 -
9010 41.14, 101, 2, 22, 1/
9010 37.82, 22, 2, 321, 1/
9010 50.10, 321, 2, 23, 1/
9010 48.10, 23, 2, 122, 1/
9010 48.10, 122, 2, 24, 1/
9010 41.70, 24, 2, 322, 1/
9010 50.26, 322, 2, 25, 1/
9010 41.12, 25, 2, 103, 2/
¥
¥     - SODIUM SIDE LOOP 2 -
9010 48.27, 423, 1, 26, 1/
9010 44.30, 26, 2, 322, 3/
9010 41.70, 322, 4, 27, 1/
9010 44.30, 27, 2, 321, 3/
9010 37.82, 321, 4, 28, 1/
9010 35.34, 28, 2, 424, 1/
¥
¥     - GLOBAL DATA -
¥
10010 1.E-4, 40, 0, 9999, 140.0E5/
¥
¥     - KEY MODULE -
¥
10020 103, 501, 999, 999/
10100 1, 999, 999, 302, 999, 301/
10100 .2, 999, 999, 322, 999, 321/
¥
OV OPDATA
1D 714.0E+6, 3/
2D 802.0, -670.0, 1422.22/
3D -598.0, -778.0, 1036.11, 3.06, -1.69/
4D 1.55E+5, 1.96133E+5, 13.375, 0.0, 0.0/
5D 1, 4, 1, 1/
¥
OV MATDAT
1D 109.7, -6.4499E-2, 1.1728E-5, 1630.22, -0.83354,
4.62838E-4, 1011.597, -0.22051, -1.92243E-5, 5.63769E-9,
370.9, 1644.2, -6.7511E4, 1630.22, -0.41674,
1.54279E-4, 11.35977, -5567.0, -0.5, 11.68672,
-5544.97, -0.61344, 1144.2, -2.4892, 220.65,
-0.4926, 0.001, 1.0E-5, 750.0, -12130.0, 10.5/      SODIUM
¥ ----- FILE MATDAT -----
¥ -----
51D 334.13, 21.6178, 5.381E-2, 0.0, 2.2, 0.0, 1741.79,
2.34856E-4, 0.0, 0.0, 0.0, 0.0, -46634.7, 9999.0, 9999.0,
2.25E-6, 2.5E-4, 0.0, 295.4, 9999.0, 9999.0, 2381.0, 0.0,
0.55, 2.5E-4, 400.0, 9999.0, 3R/          CR
71D 4.9341695E1, -1.71228E-2, 0.0, 0.0, 460.59, 0.0, 7R, 7833.35/
80D 0.3255, 0.0, 0.0/      THERMAL CONDUCTIVITY HE      MONJU
81D 0.01574, 0.0, 0.0/          XE

```

Figure 3-8 (Continued)

```

82D 0.02617, 0.0, 0.0/ KR
*
OV OLDDATA
1D 99/
2D 99/
3D 2, 70 , 60/
STOP
OV TRNDAT
1001D 0, 0, 0.0975, 2900.0/ GD2 PRY PUMP ( M + P + MFG )
$0010 0, 0, 0.0975, 1250.0/ GD2 PRY PUMP ( M + P + MFG )
* ----- FILE TRNDAT -----
1002D 0 , 0, 0.1, 225.0/ GD2 SRY PUMP ( M + P )
* ----- GUARD VESSEL VOLUME -----
1003D 2, 0, 35.0, 8.50, 0.0, 0.0811, 0.0, 0.0, 10R, 139.8/ GV
1004D 0, 0/ CHECK VALVE
1101D 6, 17, 29.176 , 0.43221 , 0.5302, 2.376, 0.0/ PIPE BREAK 1RY
3101D 401, 3, 1/
$3111D 401, 0.0, 513.16, 315.83,
* 999.0, 513.16, 315.83/
3111D 401, 0.0, 513.16, 315.83,
1.0, 513.16, 0.0 /
999.0, 513.16, 0.0 /
*
3101D 402, 2/
3111D 402, 0.0, 756.16, 12.54E6,
999.0, 756.16, 12.54E6/
3201D 101, 2/
3211D 101, 0.0, 0.0,
999.0, 0.0/
3201D 102, 2/
3211D 102, 0.0, 0.0,
999.0, 0.0/
3201D 103, 2/
3211D 103, 0.0, 0.0,
999.0, 0.0/
3301D 501, 0, 0/
*
5001D 0, 6, 4.38E-7/ NEUTRON KINETICS
5002D 0.931352, 8R, 0.918915, 3R, 0.999, 4R/ FRAC. FISSION
5003D 8.02E-5, 7.75E-4, 6.72E-4, 1.33E-3, 6.11E-4, 1.67E-4/ N -TH GRP
5004D 0.0130, 0.0312, 0.134, 0.347, 1.42, 3.79/ DECAY CONSTANT
* ----- DECAY POWER 5005D:BYPASS 5100:-:EACH CHANNEL -----
5005D 1.0 , 0.0,
0.93108 , 1.0,
0.77026 , 10.0,
0.66319 , 30.0,
0.60855 , 50.0,
0.57195 , 70.0,
0.53375 , 100.0,
0.46536 , 200.0,
0.42987 , 300.0,
0.38792 , 500.0,
0.36075 , 700.0,
0.33143 , 1000.0,
0.27293 , 2000.0,
0.24041 , 3000.0,
0.20660 , 5000.0,
0.18652 , 7000.0,
0.17019 , 10000.0,
0.14518 , 20000.0,
0.13227 , 30000.0,
0.11764 , 50000.0,
0.10770 , 70000.0,
0.097149 , 100000.0,
0.034327 , 1000000.0,
0.010585 , 10000000.0,
0.0012935, 100000000.0/ BYPASS
5101-5108D 1.0 , 0.0,
0.93108 , 1.0,
0.77026 , 10.0,
0.66319 , 30.0,
0.60855 , 50.0,
0.57195 , 70.0,
0.53375 , 100.0,
0.46536 , 200.0,
0.42987 , 300.0,
0.38792 , 500.0,
0.36075 , 700.0,
0.33143 , 1000.0,
0.27293 , 2000.0,

```

Figure 3-8 (Continued)

```

0.24041 , 3000.0,
0.20660 , 5000.0,
0.18652 , 7000.0,
0.17019 , 10000.0,
0.14518 , 20000.0,
0.13227 , 30000.0,
0.11764 , 50000.0,
0.10770 , 70000.0,
0.097149 , 100000.0,
0.034327 , 1000000.0,
0.010585 , 10000000.0,
0.0012935, 100000000.0/ CORE
5109-5114D 1.0 , 0.0,
0.92931 , 1.0,
0.77416 , 10.0,
0.67747 , 30.0,
0.62898 , 50.0,
0.59656 , 70.0,
0.56266 , 100.0,
0.50080 , 200.0,
0.46765 , 300.0,
0.42701 , 500.0,
0.39956 , 700.0,
0.36897 , 1000.0,
0.30558 , 2000.0,
0.26949 , 3000.0,
0.23105 , 5000.0,
0.21169 , 7000.0,
0.19573 , 10000.0,
0.17187 , 20000.0,
0.15936 , 30000.0,
0.14307 , 50000.0,
0.13159 , 70000.0,
0.11855 , 100000.0,
0.029775 , 1000000.0,
0.0084823 , 10000000.0,
0.00094639, 100000000.0/ RADIAL BLANKET
* ----- DOPPLER SODIUM IN -----
* DOPPLER NA-IN 1
5201D -2.07429E-05,-7.47692E-05,-1.25766E-04,-1.89052E-04,-2.38874E-04,
-2.29962E-04,-1.58216E-04,-7.53948E-05,-2.11855E-05,-3.49966E-06,
0.0, 4R/
* 2
5202D -1.33180E-05,-4.78526E-05,-8.13468E-05,-1.22289E-04,-1.54449E-04,
-1.48809E-04,-1.01732E-04,-4.31166E-05,-9.66558E-06,-1.22903E-06,
0.0, 4R/
* 3
5203D -2.05608E-05,-7.73823E-05,-1.33590E-04,-2.02603E-04,-2.57666E-04,
-2.48841E-04,-1.72897E-04,-8.81705E-05,-2.73945E-05,-4.66290E-06,
0.0, 4R/
* 4
5204D -1.82276E-05,-6.90705E-05,-1.21407E-04,-1.84521E-04,-2.34806E-04,
-2.26798E-04,-1.55375E-04,-6.84096E-05,-1.64867E-05,-2.62288E-06,
0.0, 4R/
* 5
5205D -1.66477E-05,-6.64085E-05,-1.21028E-04,-1.85174E-04,-2.36943E-04,
-2.29355E-04,-1.57567E-04,-7.02811E-05,-1.74465E-05,-2.86435E-06,
0.0, 4R/
* 6
5206D -1.35249E-05,-6.01388E-05,-1.02688E-04,-1.58892E-04,-2.05528E-04,
-1.99651E-04,-1.40735E-04,-7.75249E-05,-3.20075E-05,-6.12444E-06,
0.0, 4R/
* 7
5207D -3.06222E-06,-1.44726E-05,-2.70259E-05,-4.30089E-05,-5.60860E-05,
-5.46330E-05,-3.89405E-05,-2.23440E-05,-9.74906E-06,-2.03106E-06,
0.0, 4R/
* 8
5208D -5.10367E-06,-2.41209E-05,-4.50423E-05,-7.16802E-05,-9.34749E-05,
-9.10533E-05,-6.48997E-05,-3.72393E-05,-1.62486E-05,-3.38514E-06,
0.0, 4R/
* 9
5209D -5.05488E-06,-2.24310E-05,-6.99585E-05,-1.16411E-04,-1.52789E-04,
-1.49152E-04,-1.06523E-04,-5.99778E-05,-1.57971E-05,-3.70103E-06,
0.0, 4R/
* 10
5210D -2.18736E-06,-8.62792E-06,-2.44320E-05,-4.05765E-05,-5.32769E-05,
-5.20929E-05,-3.73476E-05,-2.13107E-05,-6.35376E-06,-1.77072E-06,
0.0, 4R/
* 11
5211D -8.50647E-07,-3.03800E-06,-7.85699E-06,-1.28080E-05,-1.66827E-05,

```

Figure 3-8 (Continued)

-1.63598E-05, -1.18393E-05, -6.88832E-06, -2.29152E-06, -7.29120E-07,
 0.0, 4R/
 * 12
 5212D 0.0, 14R/ CONTROL ROD
 * 13
 5213D 0.0, 14R/ N-SHIELDING
 * 14
 5214D 0.0, 14R/ BYPASS REGION
 * ----- DOPPLER SODIUM OUT -----
 * DOPPLER NA-OUT 1
 5301D -2.2780E-05, -7.5750E-05, -9.9260E-05, -1.3319E-04, -1.6138E-04,
 -1.5476E-04, -1.0849E-04, -5.3700E-05, -1.7500E-05, -3.0620E-06,
 0.0, 4R/
 * 2
 5302D -1.4610E-05, -4.8340E-05, -6.5310E-05, -8.7890E-05, -1.0625E-04,
 -1.0193E-04, -7.1100E-05, -3.2140E-05, -8.8530E-06, -1.2500E-06,
 0.0, 4R/
 * 3
 5303D -2.2850E-05, -7.9230E-05, -1.0539E-04, -1.4199E-04, -1.7311E-04,
 -1.6640E-04, -1.1758E-04, -6.1740E-05, -2.2070E-05, -3.9550E-06,
 0.0, 4R/
 * 4
 5304D -2.0269E-05, -7.0870E-05, -9.7900E-05, -1.3277E-04, -1.6175E-04,
 -1.5533E-04, -1.0836E-04, -5.0240E-05, -1.4450E-05, -2.4560E-06,
 0.0, 4R/
 * 5
 5305D -1.8770E-05, -6.8960E-05, -9.8260E-05, -1.3394E-04, -1.6386E-04,
 -1.5773E-04, -1.1043E-04, -5.1980E-05, -1.5572E-05, -2.7600E-06,
 0.0, 4R/
 * 6
 5306D -1.5650E-05, -6.4480E-05, -8.3330E-05, -1.1414E-04, -1.4149E-04,
 -1.3689E-04, -9.8390E-05, -5.6050E-05, -2.7120E-05, -5.5410E-06,
 0.0, 4R/
 * 7
 5307D -3.6460E-06, -1.6260E-05, -2.4440E-05, -3.5490E-05, -4.4690E-05,
 -4.3400E-05, -3.1580E-05, -1.8660E-05, -9.3740E-06, -2.0620E-06,
 0.0, 4R/
 * 8
 5308D -6.0760E-06, -2.7100E-05, -4.0740E-05, -5.9140E-05, -7.4480E-05,
 -7.2330E-05, -5.2630E-05, -3.1100E-05, -1.5620E-05, -3.4370E-06,
 0.0, 4R/
 * 9
 5309D -6.1080E-06, -2.6750E-05, -7.7420E-05, -1.2294E-04, -1.5708E-04,
 -1.5298E-04, -1.1119E-04, -6.4640E-05, -1.8140E-05, -4.5130E-06,
 0.0, 4R/
 * 10
 5310D -2.6730E-06, -1.0570E-05, -2.8740E-05, -4.6280E-05, -5.9630E-05,
 -5.8120E-05, -4.2410E-05, -2.4860E-05, -7.8120E-06, -2.2920E-06,
 0.0, 4R/
 * 11
 5311D -1.0940E-06, -3.7670E-06, -9.3640E-06, -1.5070E-05, -1.9370E-05,
 -1.8940E-05, -1.3880E-05, -8.2880E-06, -2.9160E-06, -9.3740E-07,
 0.0, 4R/
 * 12
 5312D 0.0, 14R/ CONTROL ROD
 * 13
 5313D 0.0, 14R/ N-SHIELDING
 * 14
 5314D 0.0, 14R/ BYPASS REGION
 * ----- SODIUM DENSITY -----
 * SODIUM DENSITY 1
 5401D -2.9260E-08, -8.1610E-08, 2.8930E-08, 3.6613E-07, 6.2937E-07,
 5.9273E-07, 2.7205E-07, -5.2440E-08, -8.2700E-08, -1.9910E-08,
 0.0, 4R/
 * 2
 5402D -1.9940E-08, -5.1340E-08, 1.5720E-08, 2.1020E-07, 3.6640E-07,
 3.4579E-07, 1.6109E-07, -1.8780E-08, -4.0380E-08, -1.2510E-08,
 0.0, 4R/
 * 3
 5403D -3.3270E-08, -1.0646E-07, -3.1550E-09, 3.7724E-07, 6.6664E-07,
 6.2950E-07, 2.7785E-07, -7.2970E-08, -1.0079E-07, -2.4560E-08,
 0.0, 4R/
 * 4
 5404D -2.8670E-08, -9.3020E-08, -4.2240E-08, 2.4432E-07, 4.7937E-07,
 4.5337E-07, 1.8518E-07, -8.4930E-08, -7.9970E-08, -1.9440E-08,
 0.0, 4R/
 * 5
 5405D -3.9070E-08, -1.3279E-07, -6.4140E-08, 2.3454E-07, 4.7462E-07,
 4.5030E-07, 1.8025E-07, -8.9810E-08, -6.9540E-08, -1.6580E-08,
 0.0, 4R/

Figure 3-8 (Continued)

```

*          6
5406D -3.8410E-08, -1.8561E-07, -2.4980E-07,  1.7810E-08,  2.2718E-07,
         2.0937E-07, -1.8880E-08, -2.5033E-07, -1.5300E-07, -3.1790E-08,
         0.0,        4R/
*
*          7
5407D -1.0430E-08, -6.0590E-07, -1.5778E-07, -1.6790E-07, -1.7240E-07,
         -1.7041E-07, -1.5954E-07, -1.4236E-07, -4.9230E-08, -9.7880E-09,
         0.0,        4R/
*
*          8
5408D -1.7380E-08, -1.0098E-07, -2.6296E-07, -2.7988E-07, -2.8733E-07,
         -2.8402E-07, -2.6589E-07, -2.3727E-07, -8.2060E-08, -1.6310E-08,
         0.0,        4R/
*
*          9
5409D -1.0330E-08, -5.5390E-08, -2.0883E-07, -3.2173E-07, -3.9924E-07,
         -3.9031E-07, -2.9626E-07, -1.8226E-07, -4.3960E-08, -9.9230E-09,
         0.0,        4R/
*
*          10
5410D -3.7350E-09, -1.7520E-08, -5.6740E-08, -9.1350E-08, -1.1552E-07,
         -1.1297E-07, -8.4350E-08, -4.9870E-08, -1.3790E-08, -0.3570E-09,
         0.0,        4R/
*
*          11
5411D -1.0050E-09, -4.4530E-09, -1.3360E-08, -2.1630E-08, -2.7610E-08,
         -2.7100E-08, -1.9970E-08, -1.1830E-08, -3.5700E-09, -8.6180E-10,
         0.0,        4R/
*
*          12
5412D  0.0,   14R/                               CONTROL ROD
*
*          13
5413D  0.0,   14R/                               N-SHIELDING
*
*          14
5414D  0.0,   14R/                               BYPASS REGION
* ----- FUEL AXIAL EXPANSION -----
5501-5514D 0.0, 14R/
*
* ----- 6000 INPUTS -----
*
* ----- UPPER PLenum MIXING AND FLOW DISTRIBUTION -----
6001D 2, 1, 0.0/      L6MIX(2:TWO ZONE);L6FLOW(1:REDISTRI);T6SUPH
6002D 1, 0.0, 0.0/    IN-VESSEL COVER GAS
*
* ##### DATA BELOW ARE THE DATA FOR V2(E.G. MONJU)
* BUT TEMPORALY RESTRICTED #####
*
* ----- THREE LOOP CONFIGURATION -----
* ----- 8000 SERIES RECORD -----
* ----- 8000 INPUT -----
* TEMPORARY DATA (CRBR PPS & PCS)
*
* ONLY THE FOLLOWING FIVE RECORDS NEED BE MANIPULATED TO
* ACTUATE/ADJUST MANUAL PPS ACTION
*
* THE NEXT TWO RECORDS CONTAIN DATA SPECIFYING
* ROD POSITION VS. TIME AFTER SCRAM
*
*##### THE REMAINING 8000 SERIES DATA RECORDS MUST ALWAYS BE READ,
* BUT IF L8CALL=0, THE PPS/PCS FUNCTIONS THAT THESE DATA
* SPECIFY WILL NOT BE CALLED/ACTUATED.
* NOTE: SOME OF THE FOLLOWING DATA ARE SPECIFIED ON A PER LOOP
* BASIS. THE FOLLOWING RECORDS ARE SET UP FOR A 1-LOOP
* SIMULATION.
8001D 3, 2 /N8PCSD, N8CBNK JUNE5@IWA
8002D 1,9R/ PUMPS ON MANUAL
8003D 999999.0,9R/ PUMP TIME DELAY AFTER AN AUTOMATIC SIGNAL
8004D 4.63,9R/ MANUAL PUMP TRIP TIMES
*8004D 0.0,9R/ MANUAL PUMP TRIP TIMES
8005D 1.,1.0,0.0,0.0/ LOAD DEMAND FORCING FUNCTION CONSTANTS
*
*##### FOLLOWING THREE RECORD ARE ACTIVATED #####
*
8006D 21.446, -33.0, 1.0, 21.446, 0.0, 0.0 /
* ----- CONTROL ROD POSITION 8007 & 8008 -----
8007D 1.0000144,  0.05432127, -0.9838029, -0.82337087,  3.7677539,
     -5.3120287,  2.49183007,
     0.333926, -0.139136, 0.0, 5R,
     2.6,   0.194719/ PRIMARY SHUTDOWN SYSTEM
8008D 1.0, -2.8779, 21.612, -91.733, 182.37, -162.01, 47.513,
     1.6/           2RY SHUTDOWN SYSTEM
8009D 0.0, 0.0, 0.0, 0.0/
8010D (1.0, 0.01),5R/F8VMAX,F8TRMA

```

Figure 3-8 (Continued)

```

8011D (0.0, -0.01),5R/F8VMIN,F8TRMN
8012D 1.0,5R/S8OPEN
8013D 1.0,5R/S8CLOS
8014D 0.150,.00,.20,2R,.5,3R,.2/ PPS SENSOR TIME CONSTANTS
8015D 837.0, 1100.0, 1422.22, 1036.11, 802.0, 670.0,
    756.775, 4.0E+2, 9.5696E+5, 1.0880E+7 ,137895.14,139.68,
    139.68/
$016D 1,6,8,9,12,13,17,18/ PRIMARY AVAILABLE FUNCTIONS
$017D 1,6,8,9,12,13,17,18/ SECONDARY AVAILABLE FUNCTIONS
$018D 1,8,9,12,13,18/ PRIMARY FUNCTIONS TO BE CHECKED
$019D 1,6,8,9,12,13,18/ SECONDARY FUNCTIONS TO BE CHECKED
8016D 1,6,8,9,12,13,17,18/ PRIMARY AVAILABLE FUNCTIONS
8017D 1,6,8,9,12,13,17,18/ SECONDARY AVAILABLE FUNCTIONS
8018D 18/ PRIMARY FUNCTIONS TO BE CHECKED
8019D 6/ SECONDARY FUNCTIONS TO BE CHECKED
8020D 0, 99999.0, 99999.0/ PRIM. PPS ON AUTOMATIC SCRAM
8021D 0, 1.437 , 99999.0/ SEC. PPS ON AUTOMATIC SCRAM
$020D 1, 8888888.0, 1.437/ ----- MANUAL SCRAM ON PRY SD SYSTEM
$021D 1, 8888888.0, 1.437/ ----- MANUAL SCRAM ON 2RY SD SYSTEM
8101D 1.11/ HIGH FLUX SET POINT
8102D .03607,.036,-.99,.1706,.0364,1.01,.03607,.036,.1969,.0416/ FLUX-DE
8103D 1.318,-1.0,.0425/ C1-C3 (FLUX-SQRT(PR))
8104D .147,-1.0,1.0,-1.0,.0075,.0595/ D1-D6 (P/I SPEED RATIO)
$8105D -9999/ NEW DATA
$8109D -9999/ FOR
$8116-8120D -9999/ VERSION 3.2
8106D 5.60/ REACTOR VESSEL LEVEL=
8107D 42.0/ E1 ( STEAM-FEED WATER RATIO)
8108D 689.0/ SETPOINT FOR IHX PRIMARY OUTLET TEMP
8109D 0.8530, -0.1230/
8110D .147,-1.0,1.0,-1.0,.0075,.05/G1-G6(PRIMARY TO INT FLOW RATIO)
8111D 1.120,.71/MAX AND MIN STEAM DRUM LEVEL SETPOINTS
8112D 620.0/SETPOINT FOR HIGH EVA OUTLET SODIUM TEMP
8113D 819.0/SETPOINT FOR REACTOR OUTLET NOZZLE SODIUM TEMP
8114D 0.20/LOW PRIMARY LOOP SODIUM FLOW SET POINT
8115D 0.2/LOW INT LOOP SODIUM FLOW RATE
8117D 1.0163, -0.3363/
8118D 0.2/
$200D 1.0,.01/ F8HFXL,F8CRDZ
82000 1.0,0.0/ F8HFXL,F8CRDZ
8201D 010, 0.5, 1.00, 1.00, 0., 1.00, -3.81E-3, 3.81E-3, 4.23/CBNK1
8201D 020, 1.00, 1.00, 1.00, 0., 1.00, -3.81E-3, 3.81E-3, 11.6/CBNK2
$201D 030, 1.00, 1.00, 1.00, 0., 1.00, -3.81E-3, 3.81E-3, 0.00/CBNK3
8301D 101, 0,3,60.0,1.085,1.11688,.065,5.34,5.34,1.0,30.,.2067725,1200./
8301D 102, 0,3,60.0,1.085,1.11688,.065,5.34,5.34,1.0,30.,.2067725,1200./
8301D 201, 0,3,60.0,1.085,1.0397,.065,5.34,5.34,1.0,30.0,.2067725,1200./
8301D 202, 0,3,60.0,1.085,1.0397,.065,5.34,5.34,1.0,30.0,.2067725,1200./
8400D 3,2R, 3,2R, 1,2R, 3,2R, 1, 1, 1/
8401D 111, 0,1.0,0.05,0.0,10.0,-10.0,0.01,1.0,0.2,0.88,0.12,0.0/ P,C1,L1
8401D 112, 0,1.0,0.05,0.0,10.0,-10.0,0.01,1.0,0.2,0.88,0.12,0.0/ P,C1,L2
8401D 121, 0,0.375,0.8,0.0,10.0,-10.0,0.01,1.0,0.5,0.0,1.0,0.0 / P,C2,L1
8401D 122, 0,0.375,0.8,0.0,10.0,-10.0,0.01,1.0,0.5,0.0,1.0,0.0 / P,C2,L2
8401D 131, 0,1.0,0.02,0.0,10.0,-10.0,0.01,1.0,0.02,0.0,1.0,0.0 / P,C3,L1
8401D 132, 0,1.0,0.02,0.0,10.0,-10.0,0.01,1.0,0.02,0.0,1.0,0.0 / P,C3,L2
8401D 211, 0,1.0,0.02,0.0,10.0,-10.0,0.01,1.0,0.15,1.0,0.0,0.0/ I,C1,L1
8401D 212, 0,1.0,0.02,0.0,10.0,-10.0,0.01,1.0,0.15,1.0,0.0,0.0/ I,C1,L2
8401D 221, 0,1.752E-5,.02,.0,10.0,-10.0,.01,1.0,0.5,0.0,1.0,0.0/ I,C2,L1
8401D 222, 0,1.752E-5,.02,.0,10.0,-10.0,.01,1.0,0.5,0.0,1.0,0.0/ I,C2,L2
8401D 231, 0,1.0,0.02,0.0,10.0,-10.0,0.01,1.0,0.02,0.0,1.0,0.0/ I,C3,L1
8401D 232, 0,1.0,0.02,0.0,10.0,-10.0,0.01,1.0,0.02,0.0,1.0,0.0/ I,C3,L2
8401D 311, 0,1.0,0.0,0.0,10.0,-10.0,0.01,1.0,0.02,1.0,0.0,0.0/ FP,C1,L1
8401D 312, 0,1.0,0.0,0.0,10.0,-10.0,0.01,1.0,0.02,1.0,0.0,0.0/ FP,C1,L2
8401D 411, 0,1.0,0.0,0.0,10.0,-10.0,0.01,1.0,0.5,0.5,0.0,0.0/ FV,C1,L1
8401D 412, 0,1.0,0.0,0.0,10.0,-10.0,0.01,1.0,0.5,0.5,0.0,0.0/ FV,C1,L2
8401D 421, 0,-1.0,0.0,0.0,10.0,-10.0,0.01,1.0,0.5,1.0,0.0,0.0/ FV,C2,L1
8401D 422, 0,-1.0,0.0,0.0,10.0,-10.0,0.01,1.0,0.5,1.0,0.0,0.0/ FV,C2,L2
8401D 431, 0,1.0,0.0,0.0,10.0,-10.0,0.01,1.0,0.5,1.0,0.0,0.0/ FV,C3,L1
8401D 432, 0,1.0,0.0,0.0,10.0,-10.0,0.01,1.0,0.5,1.0,0.0,0.0/ FV,C3,L2
8401D 510, 0,1.0,0.0,0.0,10.0,-10.0,0.01,1.0,0.15,1.0,0.0,0.0/ TV,C1
8401D 610, 0,1.0,0.0,0.0,10.0,-10.0,0.01,1.0,0.15,1.0,0.0,0.0/ BV,C1
8401D 710, 0,1.0,0.0,0.0,10.0,-10.0,0.01,1.0,0.15,1.0,0.0,0.0/ RV,C1
8401D 810, 0,2.0,0.0,0.0,10.0,-10.0,0.01,1.0,0.2,0.93,0.17,-0.1/ P,CS1
8401D 820, 0,2.0,0.0,0.0,10.0,-10.0,0.01,1.0,0.2,0.89,0.11,0.0/ P,CS2
8401D 830, 0,1.0,0.1,0.0,0.0,10.0,-10.0,0.01,1.0,0.05,0.0,1.00,0.0/ P,CS3
$
$     ---- 9000 INPUTS ----
$ ----- SIMULATION TIME AND PRINTOUT INTERVALS -----
$9001D 300.0, 1.0, 0.000002, 999.0,
$      0.25, 1.0, 1.0, 300., 99999.,6R/
$
```

Figure 3-8 (Continued)

```
9001D 200.0, 1.0, 0.000002, 999999.0,
      0.25      ,      4.0,
      1.0      ,     10.0,
      2.0      ,    100.0,
      4.0      ,   300.0,
      16.0     , 99999.0/
9002D 0.001, 0.001, 0.02, 0.02/ ACCEPTANCE LHT(ACU)
9003D 0.01, 0.01, /           ACCEPTANCE LIMIT(INTERFACE)
9004D 1, 1, 1, 1, 1, 0/ CALL -- LP(THML);LP(HYD);SG;FUEL;IN-V CL;PPS/PCS
9005D 1, 1, 1, 1, 1, 0/ PRINT -          DO.
9008D 0, 0, 0, 0/       DUMP -- COMMON & CONTAINERS
*
STOP
END
```

Figure 3-8 (Continued)

```
RESTART-TEST SAMPLE - 2          00010000
OV OLDDATA                     00020000
1D 99/                          00030000
2D 0/                          00040000
3D -3, 70, 60 /                00050000
STOP                           00060000
OV TRNREG                      00070000
1010 300.0, 1.0, 0.000002, 999999.0, 00080003
     0.25, 4.0, 1.0, 10.0, 2.0, 100.0, 4.0, 300.0, 16.0, 99999.0/ 00090002
1050 1, 1, 1, 1, 1, 0/          00100000
STOP                           00110000
END                            00120000
```

Figure 3-9 Input data for re-start analysis of Monju LOPI using SSC-L
(file unit #5).

```

&CGAS
  T6DELY=4.0,
  Z6PBKR=5.5,
  DELVCG=60.0
&END
&GVMOD
  IGVOPT=0
  VIMIP=2.0,
  F1GP1=0.0,
  F1GP2=0.610193826,
  F1GP3=0.0,
  Z1MAP=8.5,
  V1MAXP=15.93,
  DRGVG=0.032,
  DRGVID=0.89,
  GVPHT=0.0.0.904,1.8.5.7,7.0,7.62,7.9,8.3,8.4,8.5,
  GVVT=35.0,42.27,53.83,91.68,115.70,123.55,129.24,136.62,138.21,139.80,
  GPVT=2.0,4.2,5.8,10.8,12.6,13.76,14.50,15.29,15.61,15.93,
&END
&LPMOD
  L6LPLN=1,
  P6INHI=1.6268E4,
  W6INHI=4017.7,
  P6INLO=3.9298E5,
  W6INLO=249.0,
  P6HIL0=3.76712E5,
  W6HIL0=550.4
&END
&STRCT
  LSSUPP=0,
  LSSTRC=0,
  F5SWGT( 1)=-0.197E-5,-0.301E-5, 0.559E-5, 2.722E-5, 4.059E-5,
  F5SWGT( 6)= 4.012E-5, 2.539E-5, 0.193E-5,-0.623E-5,-0.242E-5,
  F5SWGT(11)=-0.182E-5,-0.283E-5, 0.516E-5, 2.464E-5, 3.671E-5,
  F5SWGT(16)= 3.626E-5, 2.284E-5, 0.173E-5,-0.550E-5,-0.224E-5,
  F5SWGT(21)=-0.161E-5,-0.271E-5, 0.395E-5, 2.128E-5, 3.205E-5,
  F5SWGT(26)= 3.164E-5, 1.957E-5, 0.048E-5,-0.491E-5,-0.197E-5,
  F5SWGT(31)=-0.135E-5,-0.256E-5, 0.258E-5, 1.733E-5, 2.652E-5,
  F5SWGT(36)= 2.618E-5, 1.594E-5,-0.011E-5,-0.444E-5,-0.163E-5,
  F5SWGT(41)=-0.111E-5,-0.268E-5, 0.124E-5, 1.348E-5, 2.101E-5,
  F5SWGT(46)= 2.078E-5, 1.250E-5,-0.052E-5,-0.377E-5,-0.129E-5,
  F5SWGT(51)=-0.078E-5,-0.264E-5,-0.159E-5, 0.649E-5, 1.127E-5,
  F5SWGT(56)= 1.115E-5, 0.599E-5,-0.246E-5,-0.329E-5,-0.095E-5,
  F5SWGT(61)=-0.050E-5,-0.215E-5,-0.466E-5,-0.254E-5,-0.131E-5,
  F5SWGT(66)=-0.137E-5,-0.271E-5,-0.489E-5,-0.253E-5,-0.068E-5,
  F5SWGT(71)=-0.040E-5,-0.184E-5,-0.448E-5,-0.347E-5,-0.292E-5,
  F5SWGT(76)=-0.296E-5,-0.360E-5,-0.465E-5,-0.215E-5,-0.054E-5,
  F5SWGT(81)=-0.017E-5,-0.080E-5,-0.297E-5,-0.437E-5,-0.533E-5,
  F5SWGT(86)=-0.521E-5,-0.403E-5,-0.260E-5,-0.074E-5,-0.019E-5,
  F5SWGT(91)=-0.005E-5,-0.024E-5,-0.081E-5,-0.129E-5,-0.162E-5,
  F5SWGT(96)=-0.159E-5,-0.119E-5,-0.071E-5,-0.022E-5,-0.006E-5,
  F5SWGT(101)=-0.001E-5,-0.006E-5,-0.020E-5,-0.032E-5,-0.040E-5,
  F5SWGT(106)=-0.039E-5,-0.029E-5,-0.017E-5,-0.006E-5,-0.001E-5
&END
&PWHR
  L1PWHR = 0,
  L2PWHR = 0,
  Y1T1=10*0.2 ,
  Y2T1=10*0.2 ,
  T1A=328.0,
  T2A=328.0,
  F1EMXP=1.0E-6,
  ITRMAX=50,
  F1BO=3*0.0,
  F2BO=3*0.0,
  B1GS=290.0,
  B2GS=290.0
&END
&NO1HX
  S9LOHS=9999999.0,
  S9PMSP=9999999.0,
  S9HOSG=9999999.0
&END
&ACS
  S2DACS=94.0,
  S2BVOP(1)=9999999.0,9999999.0,9999999.0
  S2STRT(1)=94.0 , 94.0 , 94.0,
  S2LHTS(1)=9999999.0,9999999.0,9999999.0,
  S2LOAF(1)=9999999.0,9999999.0,9999999.0,
  N2ACSO(1)=1,1,1

```

Figure 3-10 Namelist input data for the Monju LOPI analysis using SSC-L
(file unit #4).

```

T2CNST=473.15,
LOAD0A(1)=1, 1, 1
F1ORG(1)=1.0 , 2.0,
F1FINL(1)=1.0 , 2.0,
NTABLE=4,
T1HTAB(1)=0.0,1.0, 501.0, 999999.0,
FLWTAB(1)=-0.1,-0.1,-0.1,-0.1,
TEMTAB(1)=313.15,313.15,313.15,313.15,
A2STCK=5.147,
T2AIRE=313.0,
T2AORE=473.0,
T2AIIC=313.0,
T2AOIC=714.6,
W2NREF=65.28,
T2NIRE=778.0,
T2NORE=598.0,
W2AREF=-93.1,
P2AREF=2352.0,
H2STCK=11.0,
TAU2=0.4391,
F2STC1=-0.316,
AOCROS(1)=0.09599476,12.3,0.105,
DOWET(1)=8.649,454.6,
XONODE(1)=0.805,0.16235,0.805,
WTHICK=0.0032,
VOOLUN(1,1)=0.5516,7.2,0.5516,7.2
&END
&DRACS
L1DRAC =0,
F1DLOP=1.0,
S1RCS=999999.0,
T1NKHR=506.15,
T1NKCR=462.15,
W1NKR=34.17,
T1NAIR=517.15,
T1NAOR=473.15,
Y1KHI=0.0191,
Y1KHO=0.0217,
C1NTB=174.0,
STAUN=31.60,
STAUK=14.7778,
S1TAU=18.668,
Z1UPL=-0.275,
Z1LPL=4.09,
Z1DHX=3.40,
Y1NAH=38.022,
Y1NAC=61.491,
Z1NAH=-4.07,
Z1NAC=0.54,
X1RA=0.1023,
X1DHSI=0.029,
N1EMP0=4,
P1EMP0=0.0,0.1,1.0,1.0,
T1EMP0=0.0,0.1,0.120.0,999999.0,
P1REFP=211327.0,
N2EMP0=4,
P2EMP0=0.0, 0.0, 1.0, 1.0,
T2EMP0=0.0, 5.0, 120.0, 999999.0,
P2REFP=352878.0,
A1DHX=0.11,
P1FCD=0.0,
W1NAR=34.44,
Z1STAK=15.1,
A1STAK=3.61,
F1DRK=0.0,
F1STAK=-392.0,
W1AR=20.56,
T1AIR=313.15,
T1AOR=415.15,
N1DAMP=8,
N1DCDS=6,
N1DFIN=2,
R1AREA=0.05,
R1DFIN=1.0,
R1DCOS=1.0,
N1FANH=4,
P1FANH=0.0, 0.0, 1.0, 1.0,
T1FANH=0.0, 10.0, 120.0, 999999.0,
Y1DHTB=3.830,
Z1NKH=15.651,

```

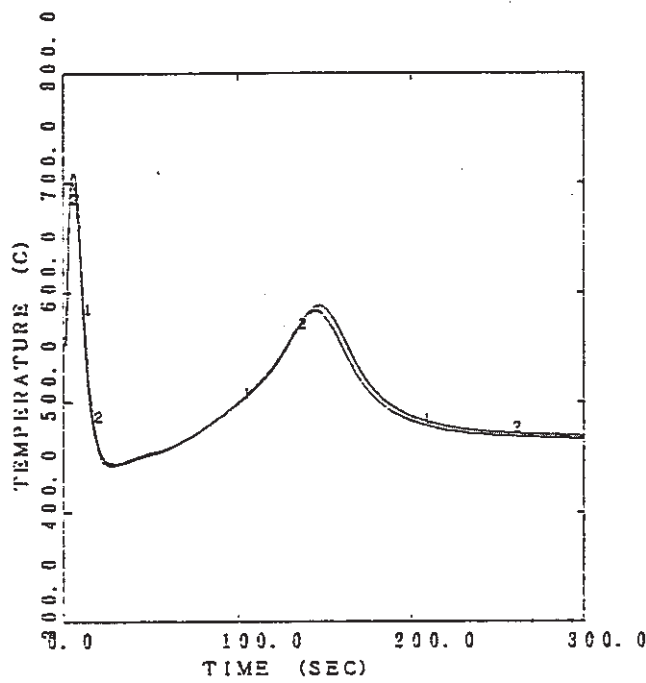
Figure 3-10 (Continued)

```

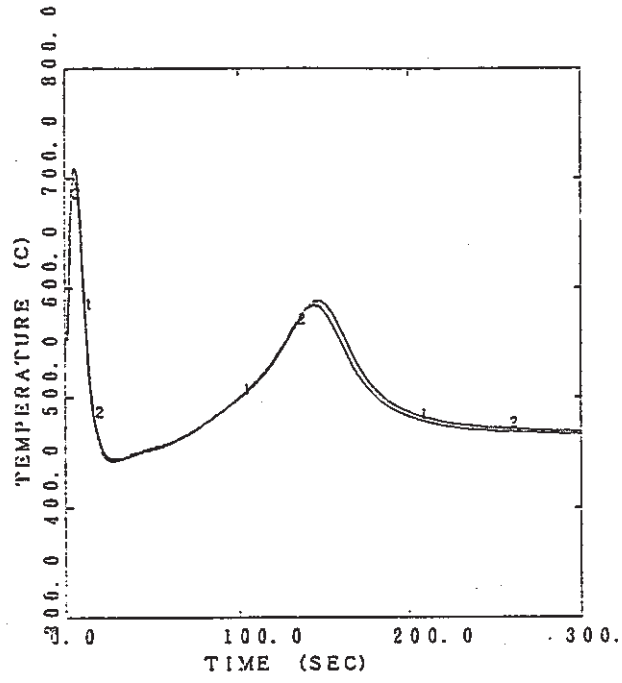
Z1NKC=17.281,
Z1NHX=2.20,
Y1NKC=64.999,
Y1NKH=48.531,
Y1NHTB=22.23,
X1NK=0.1023,
X1NHTB=0.0276,
A1NHTB=0.025128
T1NKH=473.15,
T1NKC=473.15,
T1AI=313.15,
T1AO=313.15,
T1ST=313.15,
W1NK=10.3,
W1A=0.0,
W1NA=0.0,
T1NAI=473.15,
T1NAO=473.15,
P2FANO=0.0,
F10RANK = 0.0,
L10RCS=6,
N10RCS=21,
L20RCS=11,
N20RCS=23,
G10RCS(1,1)=0.821942E-2,11.481,0.0,
G10RCS(1,2)=1.891792E-2,0.850,0.0,
G10RCS(1,3)=1.891792E-2,5.129,-5.129,
G10RCS(1,4)=1.891792E-2,3.827,0.0,
G10RCS(1,5)=1.891792E-2,2.523,-2.523,
G10RCS(1,6)=1.891792E-2,10.632,0.0,
G10RCS(1,7)=1.891792E-2,0.500,-0.5,
G10RCS(1,8)=1.891792E-2,4.763,0.0,
G10RCS(1,9)=1.891792E-2,1.365,-1.365,
G10RCS(1,10)=1.891792E-2,1.050,0.0,
G10RCS(1,11)=1.891792E-2,7.100,0.0,
G10RCS(1,12)=0.887476E-2,0.839,0.0,
G10RCS(1,13)=0.887476E-2,3.756,3.756,
G10RCS(1,14)=0.887476E-2,4.300,0.0,
G10RCS(1,15)=0.887476E-2,1.176,1.176,
G10RCS(1,16)=0.887476E-2,1.900,0.0,
G10RCS(1,17)=0.887476E-2,9.806,9.806,
G10RCS(1,18)=0.887476E-2,1.170,0.0,
G10RCS(1,19)=0.821942E-2,9.193,0.0,
G10RCS(1,20)=0.821942E-2,1.830,-1.830,
G10RCS(1,21)=0.821942E-2,0.953,0.0,
G20RCS(1,1)=0.887476E-2,0.794,0.270,
G20RCS(1,2)=0.887476E-2,3.756,0.0,
G20RCS(1,3)=0.887476E-2,0.845,0.845,
G20RCS(1,4)=0.887476E-2,3.945,0.0,
G20RCS(1,5)=0.887476E-2,3.901,0.0,
G20RCS(1,6)=0.887476E-2,1.072,1.072,
G20RCS(1,7)=0.887476E-2,13.050,0.0,
G20RCS(1,8)=0.887476E-2,4.228,4.228,
G20RCS(1,9)=0.887476E-2,1.300,0.0,
G20RCS(1,10)=0.887476E-2,8.550,8.012,
G20RCS(1,11)=0.887476E-2,7.090,0.0,
G20RCS(1,12)=0.887476E-2,5.836,0.0,
G20RCS(1,13)=0.887476E-2,5.173,-5.173,
G20RCS(1,14)=0.887476E-2,0.800,0.0,
G20RCS(1,15)=0.887476E-2,2.032,-2.032,
G20RCS(1,16)=0.887476E-2,0.800,0.0,
G20RCS(1,17)=0.887476E-2,12.726,0.0,
G20RCS(1,18)=0.887476E-2,2.489,-2.489,
G20RCS(1,19)=0.887476E-2,13.900,0.0,
G20RCS(1,20)=0.887476E-2,1.055,-1.055,
G20RCS(1,21)=0.887476E-2,3.981,0.0,
G20RCS(1,22)=0.887476E-2,10.464,0.0,
G20RCS(1,23)=0.887476E-2,0.143,-0.143
&END
&ORIF
&END
&ISAHNT
ANF(1) = 18.0, 30.0, 42.0, 42.0, 66.0, 90.0, 90.0, 100.0, 108.0, 120.0,
ANF(11)= 132.0, 132.0 ,0.0
&END

```

Figure 3-10 (Continued)

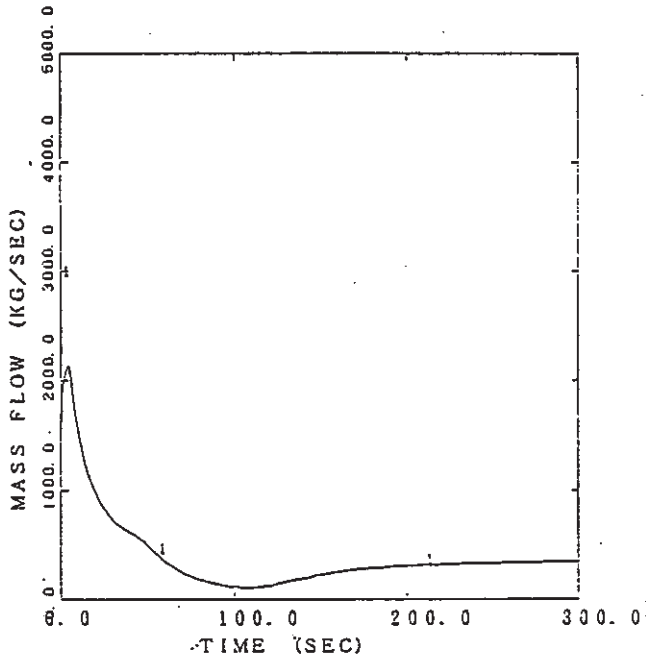


(a) Calculated using SSC-L Cycle-41

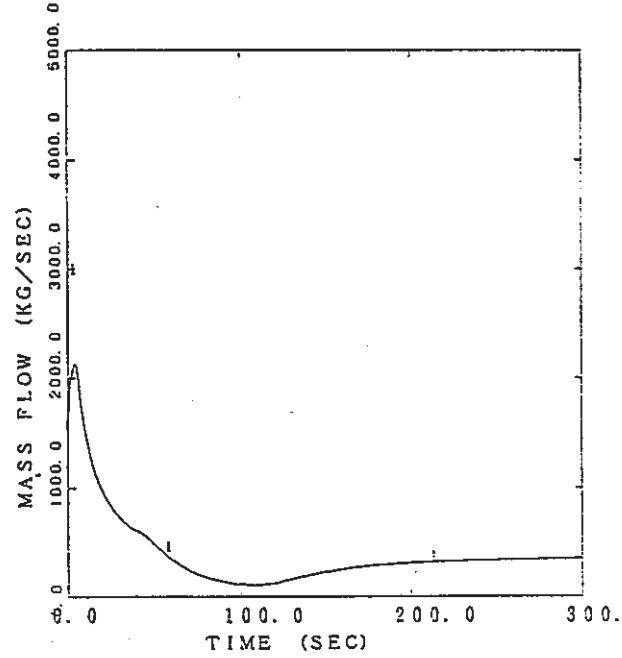


(b) Calculated using SSC-L Cycle-42

Figure 3-11 Coolant temperatures at the central and the first row fuel subassembly exits.

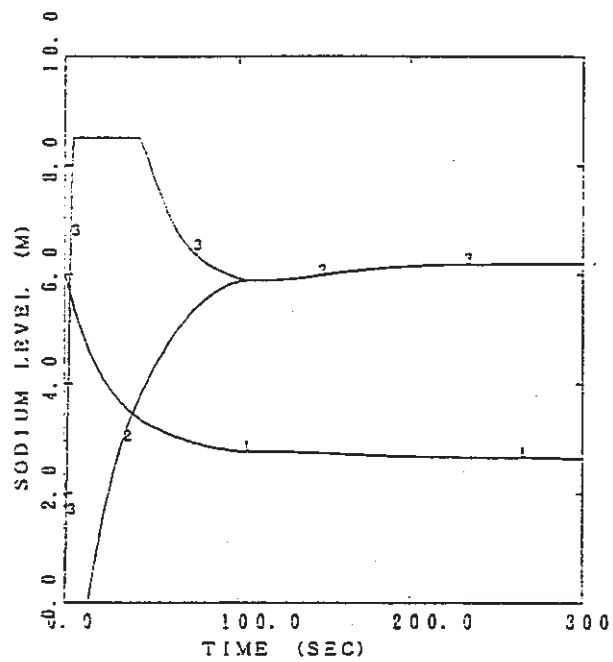


(a) Calculated using SSC-L Cycle-41

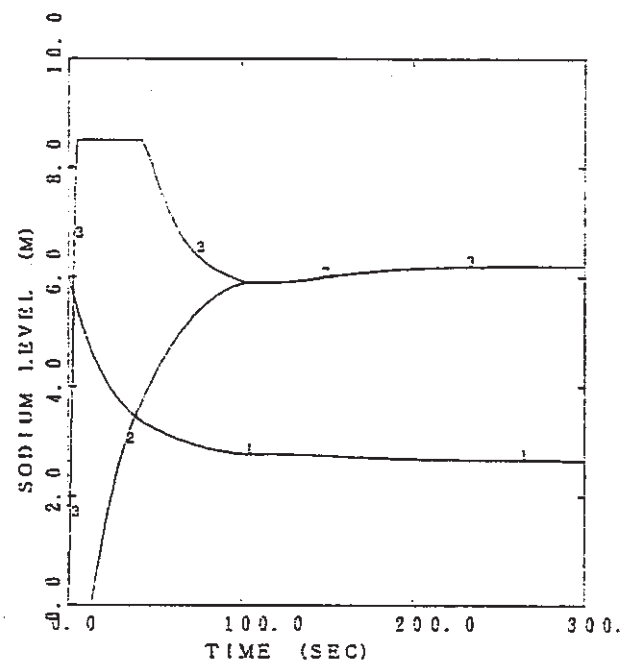


(b) Calculated using SSC-L Cycle-42

Figure 3-12 Total mass flow rate in the reactor core.

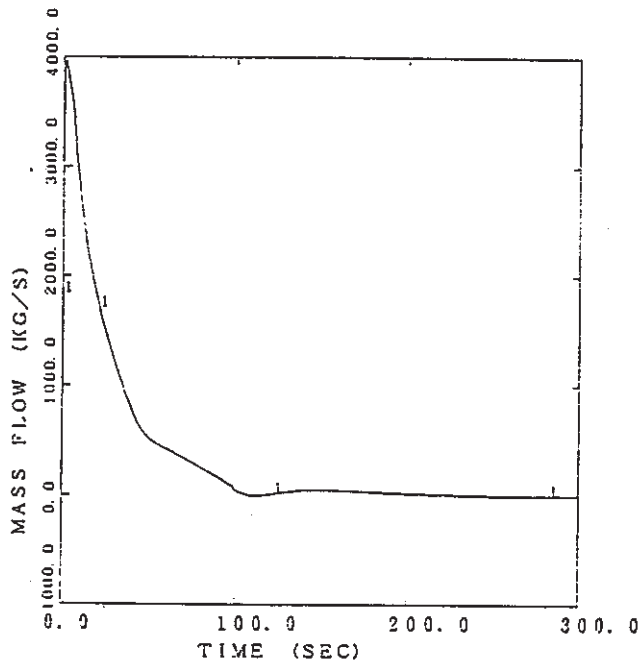


(a) Calculated using SSC-L Cycle-41

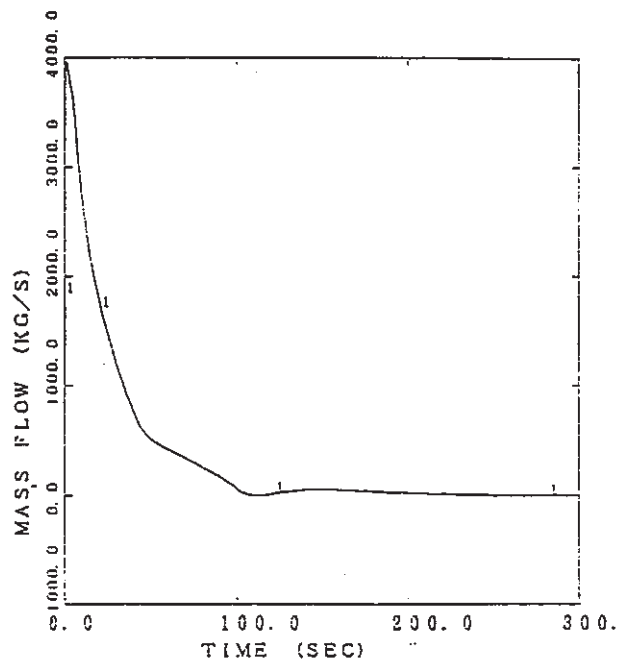


(b) Calculated using SSC-L Cycle-42

Figure 3-13 Sodium level in the reactor vessel, reactor guard vessel
and guard pipe.



(a) Calculated using SSC-L Cycle-41



(b) Calculated using SSC-L Cycle-42

Figure 3-14 Leak mass flow rate at the pipe break points.

3.3 SSC-L の入力データマニュアルと使用方法

3.3.1 SSC-L の入力データマニュアル（ファイル番号5）

SSC-L の入力データマニュアルを Figure 3-15 に示す。この入力データに関しては、文献 [1] に詳しく解説してある。これらのデータは 5 番の入力装置より読み込まれる。Figure 3-15 の入力データは、動燃において若干追加しているので、その追加分を Figure 3-16 に示す。OPDAT の RECORD 3 には W2ACS と W2AIR を追加した。これは、初期のプラント定格運転条件における IRACS の空気冷却器におけるナトリウムと空気の流量である。TRNDAT の追加分は 2.7 節に示した原子炉スクラム信号に対応した入力データである。

Figure 3-17 には、SSC-L サイクル 4.2 へのバージョンアップに伴って追加された入力データを示す。

```
***** FILE VESSEL
RECORD 1
  N6CHAN   INTEGER - NUMBER OF CHANNELS BEING SIMULATED
  NSRTYP   INTEGER - NUMBER OF ROD TYPES
  NSASEC(L) INTEGER - NUMBER OF AXIAL SECTIONS(SLICES) OF EACH ROD TYPE (L = 1,NSRTYP)
  NSNFR(K) INTEGER - NUMBER OF RADIAL FUEL NODES IN AN AXIAL SLICE OF EACH CHANNEL (K = 1,N6CHAN)

RECORD 2
  L6ATYP(K) INTEGER - ROD TYPE ASSIGNED TO EACH CHANNEL (K = 1,N6CHAN)

RECORD 3
  F6TPOW(K) REAL - FRACTION OF TOTAL POWER IN EACH CHANNEL (K = 1,N6CHAN)

RECORD 4
  F6FLOW(K) REAL - FRACTION OF TOTAL VESSEL FLOW IN EACH CHANNEL (K = 1,N6CHAN)

RECORD 5
  NSASSY(K) INTEGER - NUMBER OF ASSEMBLIES REPRESENTED BY EACH CHANNEL ,(K = 1,N6CHAN)

RECORD 7
  A6ROD(K) REAL M2 SODIUM FLOW AREA PER ROD IN EACH CHANNEL (K = 1,N6CHAN)

RECORD 8
  Y6HYDR(K) REAL M HYDRAULIC DIAMETER OF EACH COOLANT CHANNEL (K = 1,N6CHAN)

RECORD 11
  X5FIR(K) REAL M FUEL INNER RADIUS OF EACH CHANNEL (K = 1,N6CHAN)

RECORD 12
  X5FOR(K) REAL M FUEL OUTER RADIUS OF EACH CHANNEL (K = 1,N6CHAN)

RECORD 13
  X5CLIR(K) REAL M CLADDING INNER RADIUS OF EACH CHANNEL (K = 1,N6CHAN)

RECORD 14
  X5CLOR(K) REAL M CLADDING OUTER RADIUS OF EACH CHANNEL (K = 1,N6CHAN)

RECORD 15
  XSLBIR(K) REAL M LOWER BLANKET INNER RADIUS OF EACH CHANNEL (K = 1,N6CHAN)

RECORD 16
  XSLBOR(K) REAL M LOWER BLANKET OUTER RADIUS OF EACH CHANNEL (K = 1,N6CHAN)

RECORD 17
  XSUBIR(K) REAL M UPPER BLANKET INNER RADIUS FOR EACH CHANNEL (K = 1,N6CHAN)

RECORD 18
  XSUBOR(K) REAL M UPPER BLANKET OUTER RADIUS FOR EACH CHANNEL (K = 1,N6CHAN)

RECORD 19
  FSASTR(K) REAL - FRACTIONAL HEAT TRANSFER AREA OF STRUCTURE USED PER CHANNEL (K = 1,N6CHAN)

RECORD 20
  H5NOGP(K) REAL W/(K*M2) HEAT TRANSFER COEF. FOR FUEL-CLAD CONTACT FOR EACH CHANNEL (K = 1,N6CHAN)

RECORD 21
  PSFGAS(K) REAL M/M2 FISSION GAS PRESSURE FOR EACH CHANNEL (K = 1,N6CHAN)

RECORD 23
  L6WOPT   INTEGER - FLOW FRACTION OPTION INDICATOR: 0-FRACTIONS KNOWN, 1-FRACTIONS UNKNOWN
  F6LSAA(K) * REAL - TOTAL K-LOSS COEF. AT TOP OF EACH CHANNEL (K = 1,N6CHAN)
  F6LSBP   * REAL - BYPASS FLOW K-LOSS COEF.
  P6DSGN   * REAL N/M2 WHEN L6WOPT=0, ACTUAL NOZZLE TO NOZZLE PRES DROP
  P6DSGN (CONT.)          WHEN L6WOPT=1, CORE DESIGN DELTA-P (USED IN P6INTL GUESS)
  W6DSGN   * REAL KG/S DESIGN CORE FLOW RATE
  N6PMAX   * INTEGER - MAXIMUM ITERATION FOR PRESSURE CALCULATION
  N6FLMX   * INTEGER - MAXIMUM ITERATIONS FOR FLOW CALCULATION
  F6CONV   * REAL - CONVERGENCE CRITERION (RELATIVE)
  F6WSTP   * REAL - MAXIMUM FLOW FRACTION CHANGE ALLOWED PER ITERATION
  P6STEP   * REAL N/M2 MAXIMUM PRESSURE CHANGE ALLOWED PER ITERATION
  * NOTE: NON-ZERO VALUE(S) NEED BE ASSIGNED ONLY WHEN L6WOPT=1

RECORD 24
  V6LP     REAL M3 VOLUME OF LOWER PLENUM
  B6LPHC   REAL J/K MASS HEAT CAPACITY OF METAL IN LOWER PLENUM
  H6LPUA   REAL W/K OVERALL HEAT TRANSFER COEFFICIENT IN LOWER PLENUM
  A6LPLF   REAL M2 X-SECTIONAL FLOW AREA OF LOWER PLENUM
  F6PKLP   REAL - OR (N/M2) IF > 0, TOTAL K-LOSS COEFF. FROM INLET NOZ ELEV TO CORE BOTTOM
  F6PKLP (CONT.)          IF < 0, TOTAL K-LOSS P-DROP FROM INLET NOZ ELEV TO CORE BOTTOM

RECORD 25
  LSMEH   INTEGER - FUEL RADIAL MESH INDICATOR: 0-EQUI-RADIUS, 1-EQUI-AREA
  TSREF    REAL K TEMPERATURE AT WHICH THE ROD DIMENSIONS ARE REFERENCED

RECORD 27
  Z6REF    REAL M REFERENCE ELEVATION OF REACTOR VESSEL
  Z6IN0Z   REAL M ELEVATION OF VESSEL INLET NOZZLE ABOVE Z6REF
  Z6BCOR   REAL M ELEVATION OF BOTTOM OF CORE ABOVE Z6REF
  Z6TCOR   REAL M ELEVATION OF TOP OF CORE ABOVE Z6REF
  Z6UPLN   REAL M ELEVATION OF INITIAL UPPER PLENUM SODIUM LEVEL ABOVE Z6REF
  Z6ON0Z   REAL M ELEVATION OF VESSEL OUTLET NOZZLE ABOVE Z6REF
  Z6UPTL   REAL M ELEVATION OF TOP OF UPPER PLENUM (BOTTOM OF HEAD) ABOVE Z6REF

RECORD 28
  A6GL     REAL M2 AREA BETWEEN GAS AND LIQUID IN VESSEL UPPER PLENUM (SAME AS FLOW X-SECTIONAL AREA)
  A6GH1    REAL M2 AREA BETWEEN GAS AND METAL 1 IN VESSEL UPPER PLENUM
  A6GH2    REAL M2 AREA BETWEEN GAS AND METAL 2 IN VESSEL UPPER PLENUM
  A6GM3    REAL M2 AREA BETWEEN GAS AND METAL 3 IN VESSEL UPPER PLENUM
  A6LM1    REAL M2 AREA BETWEEN LIQUID AND METAL 1 IN VESSEL UPPER PLENUM
  A6LM2    REAL M2 AREA BETWEEN LIQUID AND METAL 2 IN VESSEL UPPER PLENUM
  A6JET    REAL M2 AREA OF CORE JET FLOW
```

Figure 3-15 Input data description for SSC-L (file unit #5).

H6GAS REAL $W/(K \cdot M^2)$ HEAT TRANSFER COEF. FOR COVER GAS IN UPPER PLENUM
 H6LNA REAL $W/(K \cdot M^2)$ HEAT TRANSFER COEF. BETWEEN SODIUM AND METAL IN UPPER PLENUM
 H6INF REAL $W/(K \cdot M^2)$ HEAT TRANSFER COEF. AT INTERFACE OF TWO SODIUM ZONES IN UPPER PLENUM
 Z6CHIM REAL M LENGTH OF CHINNEY ABOVE CORE OUTLET
 F6PKUP REAL - OR (N/M^2) IF > 0 , TOTAL K-LOSS COEFF. FROM CORE TOP TO OUTLET NOZ ELEV
 F6PKUP (CONT.) REAL - IF < 0 , TOTAL K-LOSS P-DROP FROM CORE TOP TO OUTLET NOZ ELEV
 F6LEAK REAL - FRACTION OF BYPASS FLOW LEAKING DIRECTLY INTO UPPER PLENUM FROM LOWER BYPASS REGIO
 B6UHC1 REAL J/K MASS HEAT CAPACITY OF METAL 1 IN UPPER PLENUM
 B6UHC2 REAL J/K MASS HEAT CAPACITY OF METAL 2 IN UPPER PLENUM
 B6UHC3 REAL J/K MASS HEAT CAPACITY OF METAL 3 IN UPPER PLENUM

RECORD 29
 A6LFBP REAL M² FLOW AREA OF LOWER REGION OF BYPASS CHANNEL
 A6UFBP REAL M² FLOW AREA OF UPPER REGION OF BYPASS CHANNEL
 Y6LRBP REAL M HYDRAULIC DIAMETER OF LOWER BYPASS REGION CHANNEL
 Y6URBP REAL M HYDRAULIC DIAMETER OF UPPER BYPASS REGION CHANNEL
 F6INBP REAL - OR (N/M^2) IF > 0 , TOTAL K-LOSS COEFF. AT BYPASS INLET
 F6INBP (CONT.) REAL - IF < 0 , TOTAL K-LOSS P-DROP AT BYPASS INLET
 H6ABP REAL W/K OVERALL HEAT TRANSFER COEF. BETWEEN UPPER BYPASS REGION SODIUM AND LINER

RECORD 30
 F6FRC1 REAL - COEF. USED IN FRICTION FACTOR CORRELATION FOR ROD BUNDLES (EQ. 5-)
 F6FRC2 REAL - COEF. USED IN FRICTION FACTOR CORRELATION FOR ROD BUNDLES (EQ. 5-)
 F6NUC1 REAL - COEF. USED IN NU. NUMBER CORRELATION (FORCED CONVECTION - ROD BUNDLE) (EQ. 5-)
 F6NUC2 REAL - COEF. USED IN NU. NUMBER CORRELATION (FORCED CONVECTION - ROD BUNDLE) (EQ. 5-)
 F6NUC3 REAL - COEF. USED IN NU. NUMBER CORRELATION (FORCED CONVECTION - ROD BUNDLE) (EQ. 5-)
 F6NUC4 REAL - EXP. USED IN NU. NUMBER CORRELATION (FORCED CONVECTION - ROD BUNDLE) (EQ. 5-)

RECORD 31
 Y6HYOZ(K) * REAL M HYDRAULIC DIAMETER OF INLET ORIFICE ZONE OF EACH CHANNEL (K = 1,N6CHAN)
 * NOTE: OF THE THREE PARAMETERS Y6HYOZ, P6FINZ, AND F6ZINZ TWO MUST BE NON-ZERO
 THE OTHER ZERO FOR EACH CHANNEL.

RECORD 32
 F6LSA(1,K) * REAL - OR (N/M^2) K-LOSS PRESSURE AT INLET ORIFICE ZONE FOR EACH CHANNEL (K = 1,N6CHAN)
 F6LSA(2,K) * REAL - OR (N/M^2) K-LOSS PRESSURE AT ASSEMBLY OUTLET FOR EACH CHANNEL (K = 1,N6CHAN)
 * NOTE: IF VALUE POSITIVE; THE ACTUAL K-LOSS FACTOR.
 IF VALUE NEGATIVE; THE K-LOSS PRESSURE DROP ($N/2^2$).
 NOTE: DATA FOR THIS RECORD CONSISTS OF A SERIES OF PAIRED POINTS.
 THE INDEX 'K' IS INCREMENTED OVER THE SET OF ALL DATA REQUIRED
 FOR THE RECORD. THAT IS: F6LSA(1,1), F6LSA(2,1), F6LSA(1,2), ETC.

RECORD 33
 P6FINZ(K) * REAL N/M² PRESSURE DROP DUE TO FRICTION ACROSS THE INLET ORIFICE ZONE FOR EACH CHANNEL
 (K = 1,N6CHAN)
 * NOTE: OF THE THREE PARAMETERS Y6HYOZ, P6FINZ, AND F6ZINZ TWO MUST BE NON-ZERO
 THE OTHER ZERO FOR EACH CHANNEL.

RECORD 34
 F6ZINZ(K) * REAL - FRACTION OF ASSEMBLY INLET ORIFICE ZONE LENGTH (Z6INZ) ASSIGNED TO EACH CHANNEL
 (K = 1,N6CHAN)
 F6ZINZ (CONT.) * NOTE: OF THE THREE PARAMETERS Y6HYOZ, P6FINZ, AND F6ZINZ TWO MUST BE NON-ZERO
 THE OTHER ZERO FOR EACH CHANNEL.

RECORD 101 - 199 (IMPLIED ROD TYPE DEPENDENCY, L = REC.NUM.-100)
 Z6LFGP REAL M AXIAL LENGTH OF LOWER FISSION GAS PLENUM REGION OF L-TH ROD TYPE
 Z6LBLK REAL M AXIAL LENGTH OF LOWER BLANKET REGION OF L-TH ROD TYPE
 Z6AFUL REAL M AXIAL LENGTH OF ACTIVE FUEL REGION OF L-TH ROD TYPE
 Z6UBLK REAL M AXIAL LENGTH OF UPPER BLANKET REGION OF L-TH ROD TYPE
 Z6UFGP REAL M AXIAL LENGTH OF UPPER FISSION GAS PLENUM REGION OF L-TH ROD TYPE
 N6LFGP INTEGER - NUMBER OF AXIAL COOLANT NODES IN LOWER FISSION GAS PLENUM REGION OF L-TH ROD TYPE
 N6LBLK INTEGER - NUMBER OF AXIAL COOLANT NODES IN LOWER BLANKET REGION OF L-TH ROD TYPE
 N6AFUL INTEGER - NUMBER OF AXIAL COOLANT NODES IN ACTIVE FUEL REGION OF L-TH ROD TYPE
 N6UBLK INTEGER - NUMBER OF AXIAL COOLANT NODES IN UPPER BLANKET REGION OF L-TH ROD TYPE
 N6UFGP INTEGER - NUMBER OF AXIAL COOLANT NODES IN UPPER FISSION GAS PLENUM REGION OF L-TH ROD TYPE
 F6PD REAL - PITCH TO DIAMETER RATIO OF L-TH ROD TYPE
 F6PWD REAL - PITCH TO DIAMETER RATIO FOR WIRE WRAP OF L-TH ROD TYPE
 LSCLMT INTEGER - INDEX OF CLADDING MATERIAL OF L-TH ROD TYPE
 LSSTMT INTEGER - INDEX OF STRUCTURAL MATERIAL OF L-TH ROD TYPE
 LSLBMT INTEGER - INDEX OF LOWER BLANKET MATERIAL OF L-TH ROD TYPE
 FSOLBU REAL - FRACTIONAL UNRESTRUCTURED GRAIN DENSITY OF LOWER BLANKET OF L-TH ROD TYPE
 F5DLBE REAL - FRACTIONAL EQUIAXED GRAIN DENSITY OF LOWER BLANKET OF L-TH ROD TYPE
 F5DLBC REAL - FRACTIONAL COLUMNAR GRAIN DENSITY OF LOWER BLANKET OF L-TH ROD TYPE
 LSAFMT INTEGER - INDEX OF ACTIVE FUEL MATERIAL OF L-TH ROD TYPE
 F5DAFU REAL - FRACTIONAL UNRESTRUCTURED GRAIN DENSITY OF ACTIVE FUEL OF L-TH ROD TYPE
 F5DAFE REAL - FRACTIONAL EQUIAXED GRAIN DENSITY OF ACTIVE FUEL FOR L-TH ROD TYPE
 F5DAFC REAL - FRACTIONAL COLUMNAR GRAIN DENSITY OF ACTIVE FUEL FOR L-TH ROD TYPE
 LSUBMT INTEGER - INDEX OF UPPER BLANKET MATERIAL OF L-TH ROD TYPE
 FSOUBU REAL - FRACTIONAL UNRESTRUCTURED GRAIN DENSITY OF UPPER BLANKET OF L-TH ROD TYPE
 F5DUBC REAL - FRACTIONAL COLUMNAR GRAIN DENSITY OF UPPER BLANKET OF L-TH ROD TYPE
 NSAROD INTEGER - NUMBER OF RODS PER ASSEMBLY OF L-TH ROD TYPE
 Y5WIRE REAL M WIRE WRAP DIAMETER OF L-TH ROD TYPE
 Y5FLAT REAL M HEX-CAN FLAT-TO-FLAT INNER DIAMETER OF L-TH ROD TYPE
 X5HXCN REAL M TOTAL HEX-CAN WALL THICKNESS OF L-TH ROD TYPE
 Z6INZ REAL M LENGTH OF THE INLET HYDRAULIC ORIFICE ZONE OF L-TH ROD TYPE

RECORD 201 - 299 (IMPLIED CHANNEL DEPENDENCY, K = REC.NUM.-200)

Figure 3-15 (Continued)

FSPAX(J) REAL - AXIAL POWER FRACTION FOR EACH NODE IN THE K-TH CHANNEL. (J = NSASEC(LSATYP(K)))
 RECORD 301 - 399 (IMPLIED CHANNEL DEPENDENCY, K = REC.NUM.-300)
 FSPRAD(I) REAL - FUEL POWER FRACTION IN EACH RADIAL FUEL NODE IN THE K-TH CHANNEL (I = 1,N5NFR(K))
 NOTE: NO AXIAL DEPENDENCE
 RECORD 401 - 499 (IMPLIED CHANNEL DEPENDENCY, K = REC.NUM.-400)
 FSPWRS REAL - FRACTION OF POWER GENERATED IN THE K-TH CHANNEL DEPOSITED DIRECTLY INTO THE FUEL
 FSPWR6 REAL - FRACTION OF POWER GENERATED IN THE K-TH CHANNEL DEPOSITED DIRECTLY INTO THE CLADD
 FSPWR1 REAL - FRACTION OF POWER GENERATED IN THE K-TH CHANNEL DEPOSITED DIRECTLY INTO THE COOLANT
 RECORD 501 - 599 (IMPLIED CHANNEL DEPENDENCY, K = REC.NUM.-500)
 L5GAS(I) INTEGER - INDEX OF EACH FISSION GAS TYPE IN THE K-TH CHANNEL
 F5GAS(I) REAL - MOLE FRACTION OF EACH FISSION GAS IN THE K-TH CHANNEL
 NOTE: DATA FOR THIS RECORD CONSISTS OF A MAXIMUM OF 3 PAIRED POINTS.
 THE INDEX '1' IS INCREMENTED OVER THE SET OF ALL DATA REQUIRED
 FOR THE RECORD. THAT IS: L5GAS(1),F5GAS(1),L5GAS(2),F5GAS(2),ETC

***** FILE HALOOP

RECORD 1 MUST BE THE FIRST RECORD IN FILE HALOOP
 N1LOOP INTEGER - NUMBER OF PRIMARY LOOPS SIMULATED
 N1PIPE INTEGER - NUMBER OF PIPES IN PRIMARY LOOP
 N1NODE(J) INTEGER - NUMBER OF NODES IN EACH PIPE OF PRIMARY LOOP (J = 1,N1PIPE)
 N2PIPE INTEGER - NUMBER OF PIPES IN INTERMEDIATE LOOP
 N2NODE(J) INTEGER - NUMBER OF NODES IN EACH PIPE OF INTERMEDIATE LOOP (J = 1,N2PIPE)
 NOTE: THERE EXISTS AN IMPLIED MAXIMUM NUMBER OF DATA ELEMENTS FOR ANY RECORD.
 AT PRESENT THIS LIMIT IS 99. THIS MAY RESTRICT THE HEAT TRANSPORT SYSTEM
 NODALIZATION.

RECORD 2
 F1LUMP(K) REAL - NUMBER OF ACTUAL LOOPS IN EACH SIMULATED LOOP (K = 1,N1LOOP)

RECORD 100
 N1TUBE INTEGER - NUMBER OF TUBES IN IHX
 Y1TUB1 REAL M INNER DIAMETER OF IHX TUBES
 Y1TUB2 REAL M OUTER DIAMETER OF IHX TUBES
 A1IHX REAL M2 FLOW AREA ON PRIMARY SIDE OF IHX
 V1BYP REAL M3 VOLUME OF SODIUM IN IHX PRIMARY BYPASS
 V1IHX REAL M3 VOLUME OF SODIUM IN IHX PRIMARY HEAT EXCHANGE REGION
 B1SHEL REAL KG MASS OF IHX SHELL
 A1SHEL REAL M2 HEAT TRANSFER AREA OF IHX SHELL
 F1POD REAL - PITCH-TO-DIAMETER RATIO FOR IHX TUBE BUNDLE
 H1FLP REAL (M2-K)/W FOULING RESISTANCE ON OUTER(PRIMARY) SURFACE OF TUBES
 H1FLS REAL (M2-K)/W FOULING RESISTANCE ON INNER(SECONDARY) SURFACE OF TUBES
 L1STRC INTEGER - PRIMARY LOOP STRUCTURAL MATERIAL ID

RECORD 101
 L1FOIR INTEGER - IHX FLOW INDICATOR: 1 - PARALLEL FLOW IN IHX,-1 - COUNTER FLOW
 L1KP INTEGER - INPUT OPTION INDICATOR: 0 - P1PDHX SPECIFIED, 1 - F1LOSS(JIHX) SPECIFIED
 F1IN REAL - PRIMARY INLET LOSS COEFFICIENT FOR IHX
 F1OUT REAL - PRIMARY OUTLET LOSS COEFFICIENT FOR IHX
 L1KS INTEGER - INPUT OPTION INDICATOR: 0 - P2PDHX SPECIFIED, 1 - F2LOSSX SPECIFIED
 F2INHX REAL - INLET LOSS COEFFICIENT TO IHX SECONDARY SIDE
 F2EXPH REAL - LOSS COEFFICIENT FOR EXPANSION FROM TUBES TO OUTLET REGION IN IHX
 F2CONT REAL - LOSS COEFFICIENT FOR CONTRACTION FROM INLET PLENUM TO TUBES IN IHX
 F2OUHX REAL - OUTLET LOSS COEFFICIENT FROM IHX SECONDARY SIDE

RECORD 102
 X1PLEN(1) REAL M LENGTH OF IHX PRIMARY INLET PLENUM
 X1PLEN(2) REAL M LENGTH OF IHX PRIMARY OUTLET PLENUM
 X2PLEN(1) REAL M LENGTH OF IHX INTERMEDIATE INLET PLENUM
 X2PLEN(2) REAL M LENGTH OF IHX INTERMEDIATE OUTLET PLENUM
 V1PLEN(1) REAL M3 SODIUM VOLUME OF IHX PRIMARY INLET PLENUM
 V1PLEN(2) REAL M3 SODIUM VOLUME OF IHX PRIMARY OUTLET PLENUM
 V2PLEN(1) REAL M3 SODIUM VOLUME OF IHX INTERMEDIATE INLET PLENUM
 V2PLEN(2) REAL M3 SODIUM VOLUME OF IHX INTERMEDIATE OUTLET PLENUM

RECORD 103
 R1PLEN(1) REAL DEG THE ANGLE OF FLOW IN IHX PRIMARY INLET PLENUM
 R1PLEN(2) REAL DEG THE ANGLE OF FLOW IN IHX PRIMARY OUTLET PLENUM
 R2PLEN(1) REAL DEG THE ANGLE OF FLOW IN IHX SECONDARY INLET PLENUM
 R2PLEN(2) REAL DEG THE ANGLE OF FLOW IN IHX SECONDARY OUTLET PLENUM

RECORD 104
 X2DOWN REAL M LENGTH OF IHX CENTRAL DOWNCOMER REGION
 Y2DOWN REAL M INNER DIAMETER OF IHX CENTRAL DOWNCOMER
 R2DOWN REAL D THE ANGLE OF FLOW IN THE IHX CENTRAL DOWNCOMER

RECORD 105
 T1CONV REAL K CONVERGENCE CRITERION FOR TEMPERATURES IN IHX
 F1EPS REAL M ROUGHNESS OF PRIMARY LOOP PIPING
 F2EPS REAL M ROUGHNESS OF INTERMEDIATE LOOP PIPING

RECORD 110
 N1PUMP INTEGER - NUMBER OF COEFFICIENTS IN POLYNOMIAL FOR PRIMARY PUMP HEAD
 F1PUMP(I) REAL - COEFFICIENTS IN POLYNOMIAL EQUATION FOR PRIMARY PUMP HEAD (I = 1,N1PUMP)

RECORD 111
 I1FAIL INTEGER - MODE OF PRIMARY CHECK VALVE: 0 - WORKING, 1 - FAILED
 I1TYPE INTEGER - TYPE OF PRIMARY CHECK VALVE
 P1PCV REAL M/M2 BACKPRESSURE FOR CHECK VALVE TO CLOSE
 F1CVAL(1) REAL M4 CHECK VALVE CHARACTERISTIC COEF. FOR POSITIVE FLOW W/OPEN VALVE (EQ. 3-309)
 F1CVAL(2) REAL M4 CHECK VALVE CHARACTERISTIC COEF. FOR NEGATIVE FLOW W/OPEN VALVE (EQ. 3-309)

Figure 3-15 (Continued)

```

F1CVAL(3)      REAL      M4 CHECK VALVE CHARACTERISTIC COEF. FOR NEGATIVE FLOW W/CLOSED VALVE (EQ. 3-309)
RECORD 112
Z1HEDR      REAL      H RATED HEAD OF PRIMARY PUMP
U10MGR      REAL      RPM RATED SPEED OF PRIMARY PUMP
Q1FLOR      REAL      M3/S      RATED VOLUMETRIC FLOW RATE OF PRIMARY PUMP
T10RKR      REAL      N-M RATED TORQUE OF PRIMARY PUMP
Z1RTOT      REAL      M HEIGHT OF PRIMARY PUMP TANK
A1RES       REAL      M2 X-SECTIONAL AREA OF PRIMARY PUMP TANK
Q1PYTQ      REAL      N-M PUMP TORQUE UNDER PONY MOTOR OPERATION

RECORD 122
Z2HEDR      REAL      H RATED HEAD OF INTERMEDIATE PUMP
U20MGR      REAL      RPM RATED SPEED OF INTERMEDIATE PUMP
Q2FLOR      REAL      M3/S      RATED VOLUMETRIC FLOW RATE OF INTERMEDIATE PUMP
T20RKR      REAL      N-M RATED TORQUE OF INTERMEDIATE PUMP
Z2RTOT      REAL      M HEIGHT OF INTERMEDIATE PUMP TANK
A2RES       REAL      M2 X-SECTIONAL AREA OF INTERMEDIATE PUMP TANK
Z2TTOT      REAL      M HEIGHT OF SURGE TANK
A2TANK      REAL      M2 X-SECTIONAL AREA OF SURGE TANK
Q2PYTQ      REAL      N-M PUMP TORQUE UNDER PONY MOTOR OPERATION

RECORD 1001
L1PUMP      INTEGER   - PIPE NUMBER PRECEDING PUMP IN PRIMARY LOOP
L1CV        INTEGER   - PIPE NUMBER PRECEDING CHECK VALVE IN PRIMARY LOOP
L1IHX       INTEGER   - PIPE NUMBER OF IHX IN PRIMARY LOOP
L2PUMP      INTEGER   - PIPE NUMBER PRECEDING PUMP IN INTERMEDIATE LOOP
L2TANK      INTEGER   - PIPE NUMBER PRECEDING EXPANSION TANK IN INTERMEDIATE LOOP
L2EV        INTEGER   - PIPE NUMBER PRECEDING EVAPORATOR IN INTERMEDIATE LOOP
L2HOT       INTEGER   - PIPE NUMBER PRECEDING BRANCH POINT AT IHX SIDE IN INTERMEDIATE LOOP
L2SMIX      INTEGER   - PIPE NUMBER PRECEDING MIXING POINT AT SG SIDE IN INTERMEDIATE LOOP
L2ACS       INTEGER   - PIPE NUMBER PRECEDING AIR COOLER IN INTERMEDIATE LOOP
L2AMIX      INTEGER   - PIPE NUMBER PRECEDING BRANCH POINT AT AIR COOLER SIDE IN INTERMEDIATE LOOP

RECORD 1002
F1BETA      REAL      - PRIMARY BYPASS FRACTION THROUGH IHX
N1ACTV      INTEGER   - NUMBER OF ACTIVE(UNPLUGGED) TUBES IN IHX OF LOOP
P1PDHX      REAL      N/M2      PRESSURE DROP OVER IHX PRIMARY SIDE

RECORD 1003
P2PDHX      REAL      N/M2      PRESSURE DROP OVER SECONDARY SIDE OF IHX
F2LOSSX     REAL      - LOSS COEFFICIENT FOR SECONDARY SIDE OF IHX
P2PDAC      REAL      N/M2      PRESSURE DROP OVER SECONDARY SIDE OF ACS

RECORD 1101 - 1199 (IMPLIED (PRIMARY LOOP) PIPE DEPENDENCY, J = REC.NUM.-1100)
F1LOSS      REAL      - LOSS COEFFICIENT FOR J-TH PIPE IN PRIMARY LOOP
X1PIPE      REAL      M LENGTH OF J-TH PIPE IN PRIMARY LOOP
Y1PIPE      * REAL    M INNER DIAMETER OF J-TH PIPE IN PRIMARY LOOP
Y1THIK      ** REAL   M THICKNESS OF J-TH PIPE WALL IN PRIMARY LOOP
R1SIN(I)    REAL      DEG THE ANGLE OF PRIMARY FLOW AT EACH NODE IN J-TH PIPE OF LOOP
R1SIN (CONT.)          (I = 1,N1NODE(N1PIPE(J)))
* NOTE: FOR IHX, ENTER PRIMARY SIDE HYDRAULIC DIAMETER
** NOTE: THIS VALUE IGNORED FOR IHX PRIMARY PIPE

RECORD 1201 - 1299 (IMPLIED (INTERMEDIATE LOOP) PIPE DEPENDENCY, J = REC.NUM.-1200)
F2LOSS      REAL      - LOSS COEFFICIENT FOR J-TH PIPE IN INTERMEDIATE LOOP
X2PIPE      REAL      M LENGTH OF J-TH PIPE IN INTERMEDIATE LOOP
Y2PIPE      REAL      M INNER DIAMETER OF J-TH PIPE IN INTERMEDIATE LOOP
Y2THIK      REAL      M THICKNESS OF J-TH PIPE WALL IN INTERMEDIATE LOOP
R2SIN(I)    REAL      DEG THE ANGLE OF INTERMEDIATE FLOW AT EACH NODE OF J-TH PIPE OF LOOP
R2SIN (CONT.)          (I = 1,N2NODE(N2PIPE(J)))

***** FILE STMGEN
* PIPE GEOMETRIC RECORD *
RECORD 1
H00ID      INTEGER   - MODULE ID OF PIPE
PORTID     INTEGER   - PIPE INLET PORT ID
PORTID     INTEGER   - PIPE OUTLET PORT ID
X3PIPE     REAL      M LENGTH OF PIPE
Y3ID       REAL      M INNER DIAMETER OF PIPE
F3ZY       REAL      - SURFACE ROUGHNESS TO DIAMETER RATIO
N3NODE     INTEGER   - NUMBER OF CONTROL VOLUMES IN EACH MODULE
N3PATH     INTEGER   - NUMBER OF PARALLEL UNITS REPRESENTED BY MODULE
* VOLUME GEOMETRIC RECORD *

RECORD 101
H00ID      INTEGER   - MODULE ID OF VOLUME
3.1 L3VSHP  INTEGER   - VOLUME SHAPE INDICATOR; 1-BOX,2-HORIZONTAL CYLINDER
V3VOL      REAL      M3 VOLUME OF ACCUMULATOR
Y3VOL      REAL      M VOLUME HEIGHT; IF Y3VOL>0.-HORIZONTAL CYLINDER; IF Y3VOL<0-BOX OR VERTICAL CYLINDER
3.1 F3VMIN  REAL      - MINIMUM VOLUME BOUNDARY RELATIVE TO HEIGHT
3.1 F3VMAX  REAL      - MAXIMUM VOLUME BOUNDARY RELATIVE TO HEIGHT
Z3VOL      REAL      M ELEVATION OF VOLUME, WITH REFERENCE POINT AT THE CENTER
N3PATH     INTEGER   - NUMBER OF PARALLEL UNITS REPRESENTED BY MODULE
* VOLUME OUTLET GEOMETRIC RECORD *

RECORD 102
H00ID      INTEGER   - MODULE ID OF VOLUME
PORTID     INTEGER   - VOLUME OUTLET PORT ID
* VOLUME INLET GEOMETRIC RECORD *

```

Figure 3-15 (Continued)

RECORD 103
 HODID INTEGER - MODULE ID OF VOLUME
 PORTID INTEGER - VOLUME INLET PORT ID
 * VOLUME INITIALIZATION RECORD *

RECORD 111
 HODID INTEGER - MODULE ID OF VOLUME
 3.1 L3PSEP INTEGER - NUMBER OF REGIONS; 1-HOMOGENEOUS,2- SEPERATED
 F3LQLV REAL - RELATIVE LIQUID LEVEL IN ACCUMULATOR(IF =-1.0, MEANS NO LIQUID)
 Q3VOL REAL J/S HEAT INPUT INTO VOLUME
 * PUMP GEOMETRIC RECORD *

RECORD 201
 HODID INTEGER - MODULE ID OF PUMP
 PORTID INTEGER - PUMP INLET PORT ID
 PORTID INTEGER - PUMP OUTLET PORT ID
 X3PIPE REAL M LENGTH OF MODULE
 Y3ID REAL M DIAMETER OF PIPE
 F3ZY REAL - SURFACE ROUGHNESS TO DIAMETER RATIO
 N3PATH INTEGER - NUMBER OF PARRALLEL UNITS REPRESENTED BY MODULE
 * PUMP PERFORMANCE RECORD *

RECORD 221
 HODID INTEGER - MODULE ID OF PUMP
 Z3PUMP REAL M RATED HEAD OF PUMP
 F3ZWP REAL J/S COEFFICIENT OF PUMP HEAD VARIATION
 W3REFF REAL KG/S REFERENCE FLOW RATE FOR PUMP
 S3PTAU * REAL S PUMP COASTDOWN TIME CONSTANT
 S3PSEZ * REAL S PUMP SEIZURE TIME
 R3PSEZ * REAL - PUMP SEIZURE RELATIVE SPEED
 * NOTE: OF THE THREE PARAMETERS S3PTAU, S3PSEZ, AND R3PSEZ TWO MUST BE NON-ZERO
 WHILE THE THIRD IS EQUAL TO ZERO.
 * HEAT EXCHANGER GEOMETRIC RECORD *

RECORD 301
 HODID INTEGER - MODULE ID OF HEAT EXCHANGER
 PORTID INTEGER - WATER/STEAM SIDE INLET PORT ID
 PORTID INTEGER - WATER/STEAM SIDE OUTLET PORT ID
 PORTID INTEGER - SODIUM SIDE INLET PORT ID
 PORTID INTEGER - SODIUM SIDE OUTLET PORT ID
 X3PIPE REAL M LENGTH OF MODULE
 @IWA NOTE-
 **** LENGTH OF H.T.TUBE IS REQUIRED HERE.****
 Y3ID REAL M INSIDE DIAMETER HX TUBE
 Y3OD REAL M TUBE OUTER DIAMETER FOR HX
 F3TBPD REAL - PITCH TO OUTER DIAMETER RATIO FOR TUBE BUNDLE IN HX
 @IWA NOTE-
 **** PITCH MEANS (OUTER RADIUS-TUBE RADIUS)
 PER ONE TUBE HERE ****
 H3FOUL REAL - WATER SIDE FOULING HEAT TRANSFER COEFFICIENT FOR HX
 F3ZY REAL - SURFACE ROUGHNESS TO DIAMETER RATIO
 N3TUBE INTEGER - NUMBER OF TUBES IN EACH HEAT EXCHANGER
 N3NODE INTEGER - NUMBER OF NODES TO BE USED IN REPRESENTING IN EACH MODULE
 M3TYPE INTEGER - ID NUMBER OF HEAT TRANSFER TUBE MATERIAL
 I3LVTP INTEGER - TYPE OF LEVEL CALCULATION NEEDED, 1-DNB,2-DRYOUT,3-X=0.7
 I3HSID INTEGER - INDICATES HOT SIDE POSITION WITH RESPECT TO TUBES; 0-OUTSIDE, 1-INSIDE
 I3GRID INTEGER - NUMBER OF TUBES EQUI-DISTANT FROM REFERENCE TUBE; 1-CO-AX; 4-SQUARE; 6-HEX
 @IWA NOTE
 **** FOR HELICAL COIL, I3GRID MUST BE 1, TOO.
 D3C01L REAL M HELICAL COIL DIAMETER (0 IF STRAIGHT TUBE)
 F31T00 REAL - RATIO OF INNER LENGTH TO OUTER LENGTH (1 IF STRAIGHT TUBE)
 F3CCFL REAL - CO-AND COUNTER-FLOW MULTIPLIER (-1 IF COUNTER-CURRENT HX, +1 IF CO-CURRENT HX)
 N3PATH INTEGER - NUMBER OF PARRALLEL UNITS REPRESENTED BY MODULE
 * OUTLET BOUNDARY GEOMETRIC RECORD *

RECORD 401
 HODID INTEGER - MODULE ID OF OUTLET BOUNDARY
 PORTID INTEGER - BOUNDARY PORT ID
 * INLET BOUNDARY GEOMETRIC RECORD *

RECORD 402
 HODID INTEGER - MODULE ID OF INLET BOUNDARY
 PORTID INTEGER - BOUNDARY PORT ID
 * BOUNDARY INITIALIZATION CONDITION RECORD *

RECORD 411
 HODID INTEGER - MODULE ID OF BOUNDARY
 W3BC REAL KG/S FLOW AT BOUNDARY MODULE
 E3BC REAL J/KG ENTHALPY AT BOUNDARY
 P3BC REAL N/M2 PRESSURE AT BOUNDARY MODULE
 K3LOOP INTEGER - POINTS TO CONNECTING LOOP ORDINATE IF HOT SIDE=999 (GROUND) ON COLD SIDE
 * VALVE GEOMETRIC RECORD *

RECORD 501
 HODID INTEGER - MODULE ID OF VALVE
 PORTID INTEGER - VALVE INLET PORT ID
 PORTID INTEGER - VALVE OUTLET PORT ID
 X3PIPE REAL M LENGTH OF MODULE

Figure 3-15 (Continued)

```

Y3ID      REAL      M INNER DIAMETER OF PIPE
F3ZY      REAL      - SURFACE ROUGHNESS TO DIAMETER RATIO
N3PATH    INTEGER   - NUMBER OF PARRALLEL UNITS REPRESENTED BY MODULE
A3VMAX    REAL      M2 VALVE FLOW AREA WHEN FULL OPEN
F3VALV    REAL      - VALVE LOSS COEFFICIENT
S3VPOS    REAL      S VALVE POSITION
F3STOA    REAL      - VALVE AREA=(S3VPOS**F3STOA)*A3VMAX
I3CHOK    INTEGER   - CHOKE FLOW OPTION 0-BYPASS CHOKE POSSIBILITY, 1-FAUSKE, 2-HOODY
                  * VALVE PERFORMANCE RECORD *

RECORD 521
  MODID    INTEGER   - MODULE ID OF PIPE
  S3VMIN   REAL      S MINIMUM VALVE STEM POSITION ( GREATER THAN ZERO )
  J3VPRS   INTEGER   - VOLUME ID WHERE PRESSURE IS MONITORED
  P3VOPN   REAL      N/M2          FOR SAFETY VALVES, PRESSURE SETPOINT FOR OPENING
  S3VOPN   REAL      S FOR SAFETY VALVES, OPENING TIME CONSTANT
  P3VCLO   REAL      N/M2          FOR SAFETY VALVES, PRESSURE SETPOINT FOR CLOSING
  S3VCLO   REAL      S FOR SAFETY VALVES, CLOSING TIME CONSTANT
                  * FLOW SEGMENT PERFORMANCE RECORD *

RECORD 621
  MODID    INTEGER   - MODULE ID OF FIRST MODULE IN FLOW SEGMENT
  W3BAR    REAL      KG/S           AVERAGE FLOW RATE IN FLOW SEGMENT
  F3K      REAL      - SEGMENT FORM LOSS COEFFICIENT
                  * JUNCTION GEOMETRIC RECORD *

RECORD 901
  Z3JCTN   REAL      M JUNCTION ELEVATION
  MOBID1   INTEGER   - MODULE ID OF FIRST MODULE
  PORTID1  INTEGER   - PORT ID OF FIRST MODULE
  MOBID2   INTEGER   - MODULE ID OF SECOND MODULE
  PORTID2  INTEGER   - PORT ID OF SECOND MODULE
                  * RUN OPTION RECORD *

RECORD 1001
  R3CONV   REAL      - RELATIVE CONVERGENCE CRITERIA
  N3ITER   INTEGER   - MAX NUMBER OF ALLOWED ITERATIONS FOR ANY ITERATIVE CALCULATION
  I3HTYP   INTEGER   - HOT SIDE FLUID TYPE; 0-SODIUM, 1-WATER
  L3PRON   INTEGER   - STEP NUMBER FROM WHICH S.G. WILL PRINT AT EACH STEP
  P3GUES   REAL      N/M2          INITIAL PRESSURE GUESS FOR WATER/STEAM SIDE
                  * KEY MODULE DEFINITION RECORD *

RECORD 1002
  HDR ID    INTEGER   - MODULE ID OF STEAM HEADER
  TVLV ID   INTEGER   - MODULE ID OF TURBINE VALVE
  TBVLV ID  INTEGER   - MODULE ID OF TURBINE BYPASS VALVE
  RVLV ID   INTEGER   - MODULE ID OF RELIEF VALVE
                  * INTERMEDIATE LOOP DEFINITION RECORD *

RECORD 1010
  LOOP NUM  INTEGER   - LOOP NUMBER
  FWLV ID   INTEGER   - MODULE ID OF FEEDWATER VALVE
  STDRM ID  INTEGER   - MODULE ID OF STEAM DRUM
  SPNTR ID  INTEGER   - MODULE ID OF SUPERHEATER
  FWMPM ID  INTEGER   - MODULE ID OF FEEDWATER PUMP
  EVAP ID   INTEGER   - MODULE ID OF EVAPORATOR
***** FILE OPDATA
RECORD 1
  P9OP     REAL      W REACTOR POWER
  N9LOOP   INTEGER   - NUMBER OF OPERATING LOOPS PRESENT IN PLANT
RECORD 2 *
  T6OUTL  * REAL      K VESSEL SODIUM OUTLET TEMPERATURE
  T6INLT  * REAL      K VESSEL COOLANT INLET TEMPERATURE
  W1LOOP   * REAL      KG/S           SODIUM FLOW RATE IN PRIMARY LOOP
                  * NOTE: OF THE THREE PARAMETERS IN THIS RECORD, TWO MUST BE GREATER
                  THAN ZERO AND ONE MUST BE LESS THAN ZERO
RECORD 3. *
  T2IHX1  * REAL      K IHX INTERMEDIATE SODIUM INLET TEMPERATURE
  T2IHX0  * REAL      K IHX INTERMEDIATE SODIUM OUTLET TEMPERATURE
  W2LOOP   * REAL      KG/S           SODIUM FLOW RATE IN SECONDARY LOOP
                  * NOTE: OF THE THREE PARAMETERS IN THIS RECORD, ONE MUST BE GREATER
                  THAN ZERO AND TWO MUST BE LESS THAN ZERO
RECORD 4
  P1GASI   REAL      N/M2          INITIAL COVER GAS PRESSURE IN EACH PRIMARY PUMP TANK
  P2GASI   REAL      N/M2          INITIAL COVER GAS PRESSURE IN EACH INTERMEDIATE LOOP
  Z2TANK   REAL      M HEIGHT OF COOLANT IN SURGE (EXPANSION) TANK
  T1PUMP   REAL      K TEMPERATURE RISE ACROSS PRIMARY PUMP
  T2PUMP   REAL      K TEMPERATURE RISE ACROSS INTERMEDIATE PUMP
RECORD 5
  L1EPRT   INTEGER   - PRIMARY AND SECONDARY LOOP DETAILED PRINT OPTION; 1 - GENERATE REPORT, 0 - NO RE
  L3PRNT   INTEGER   - SG DETAILED PRINT OPTION; 1-4 - GENERATE LOW TO HIGH DETAIL REPORT, 0 - NO REPORT
  L5PRNT   INTEGER   - DETAILED IN-VESSEL TEMP. DISTRIBUTION PRINT OPTION; 1 - GENERATE REPORT, 0 - NO R
  L6PRNT   INTEGER   - IN-VESSEL FLUID DYNAMICS DETAILED PRINT OPTION; 1 - GENERATE REPORT, 0 - NO REPOR
***** FILE MATDAT

```

Figure 3-15 (Continued)

RECORD 10

C1K0	REAL	W/(H*K)	ADDITIVE CONSTANT FOR LIQUID SODIUM THERMAL CONDUCTIVITY FUNCTION (5-29)
C1K1	REAL	W/(H*K2)	FIRST ORDER COEF. FOR LIQUID SODIUM THERMAL CONDUCTIVITY FUNCTION (5-29)
C1K2	REAL	W/(H*K3)	SECOND ORDER COEF. FOR LIQUID SODIUM THERMAL CONDUCTIVITY FUNCTION (5-29)
C1C0	REAL	J/(KG*K)	ADDITIVE CONSTANT FOR LIQUID SODIUM SPEC. HEAT CAP. FUNCTION (5-30)
C1C1	REAL	J/(KG*K2)	FIRST ORDER COEF. FOR LIQUID SODIUM SPEC. HEAT CAP. FUNCTION (5-30)
C1C2	REAL	J/(KG*K3)	SECOND ORDER COEF. FOR LIQUID SODIUM SPEC. HEAT CAP. FUNCTION (5-30)
C1D0	REAL	KG/(H3)	ADDITIVE CONSTANT FOR SATURATED LIQUID SODIUM DENSITY FUNCTION (5-38)
C1D1	REAL	KG/(H3*K)	FIRST ORDER COEF. FOR SATURATED LIQUID SODIUM DENSITY FUNCTION (5-38)
C1D2	REAL	KG/(H3*K2)	SECOND ORDER COEF. FOR SATURATED LIQUID SODIUM DENSITY FUNCTION (5-38)
C1D3	REAL	KG/(H3*K3)	THIRD ORDER COEF. FOR SATURATED LIQUID SODIUM DENSITY FUNCTION (5-38)
C1DT1	REAL	K LOWER SATURATED LIQUID SODIUM TEMPERATURE BOUND FOR EQUATION (5-38)	
C1DT2	REAL	K UPPER SATURATED LIQUID SODIUM TEMPERATURE BOUND FOR EQUATION (5-38)	
C1H0	REAL	J/KG	ADDITIVE CONSTANT FOR SATURATED LIQUID SODIUM ENTHALPY FUNCTION (5-31)
C1H1	REAL	J/(KG*K)	FIRST ORDER COEF. FOR SATURATED LIQUID SODIUM ENTHALPY FUNCTION (5-31)
C1H2	REAL	J/(KG*K2)	SECOND ORDER COEF. FOR SATURATED LIQUID SODIUM ENTHALPY FUNCTION (5-31)
C1H3	REAL	J/(KG*K3)	THIRD ORDER COEF. FOR SATURATED LIQUID SODIUM ENTHALPY FUNCTION (5-31)
C1P1	REAL	LN(N/M2)	ADDITIVE CONSTANT FOR SODIUM SATURATED VAPOR PRESSURE FUNCTION (5-35)
C1P2	REAL	LN(N/M2)*K	FIRST ORDER COEF. FOR SODIUM SATURATED VAPOR PRESSURE FUNCTION (5-35)
C1P3	REAL	LN(N/(M2*K))	FIRST ORDER COEF. FOR SODIUM SATURATED VAPOR PRESSURE FUNCTION (5-35)
C1P4	REAL	LN(N/M2)	ADDITIVE CONSTANT FOR SODIUM SATURATED VAPOR PRESSURE FUNCTION (5-36)
C1P5	REAL	LN(N/M2)*K	FIRST ORDER COEF. FOR SODIUM SATURATED VAPOR PRESSURE FUNCTION (5-36)
C1P6	REAL	LN(N/(M2*K))	FIRST ORDER COEF. FOR SODIUM SATURATED VAPOR PRESSURE FUNCTION (5-36)
C1PT1	REAL	K SATURATED SODIUM VAPOR PRESSURE TEMPERATURE CRITERION FOR EQUATIONS (5-35)	
C1PT1 (CONT.)		AND (5-36)	
C1N1	REAL	LNC(S/M2)	ADDITIVE CONSTANT FOR LIQUID SODIUM DYNAMIC VISCOSITY FUNCTION (5-41)
C1N2	REAL	LNC(S/M2)*K	FIRST ORDER COEF. FOR LIQUID SODIUM DYNAMIC VISCOSITY FUNCTION (5-41)
C1N3	REAL	LNC(S/(M2*K))	FIRST ORDER COEF. FOR LIQUID SODIUM DYNAMIC VISCOSITY FUNCTION (5-41)
C1T1	REAL	- FRACTION OF INITIAL TEMPERATURE GUESS TO INCREMENT FOR SECOND PASS IN SATURATED SODIUM TEMPERATURE ITERATION	
C1T2	REAL	- RELATIVE CONVERGENCE CRITERION FOR SATURATED SODIUM TEMPERATURE CALCULATION	
C1TT1	REAL	K INITIAL GUESS FOR SATURATED SODIUM TEMPERATURE CALCULATION	
C1TS0	REAL	K*LN(N/M2)	CONSTANT USED IN CALCULATING SODIUM SATURATION TEMPERATURE AS A FUNCTION OF PRESSURE (5-33)
C1TS0 (CONT.)		LN(N/M2)	CONSTANT USED IN CALCULATING SODIUM SATURATED TEMPERATURE AS A FUNCTION OF PRESSURE (5-33)
C1TS1	REAL	C1TS1 (CONT.)	

RECORD 40 - 49

C4K0(I)	REAL	W/(H*K)	ADDITIVE CONSTANT FOR BLANKET MATERIAL THERMAL CONDUCTIVITY FUNCTION (5-1)
C4K1(I)	REAL	- FIRST ORDER COEF. FOR BLANKET MATERIAL THERMAL CONDUCTIVITY FUNCTION (5-1)	
C4K2(I)	REAL	1/K SECOND ORDER COEF. FOR BLANKET MATERIAL THERMAL CONDUCTIVITY FUNCTION (5-1)	
C4K3(I)	REAL	1/K3 THIRD ORDER COEF. FOR BLANKET MATERIAL THERMAL CONDUCTIVITY FUNCTION (5-1)	
C4K4(I)	REAL	- FIRST ORDER COEF. ON POROSITY FOR BLANKET MATERIAL THERMAL CONDUCTIVITY FUNCTION (5-1)	
C4K5(I)	REAL	- SECOND ORDER COEF. ON POROSITY FOR BLANKET MATERIAL THERMAL CONDUCTIVITY FUNCTION (5-1)	
C4C0(I)	REAL	J/(KG*K)	ADDITIVE CONSTANT FOR BLANKET MATERIAL SPEC. HEAT CAP. FUNCTION (5-2)
C4C1(I)	REAL	1/K FIRST ORDER COEF. FOR BLANKET MATERIAL SPEC. HEAT CAP. FUNCTION (5-2)	
C4C2(I)	REAL	1/K2 SECOND ORDER COEF. FOR BLANKET MATERIAL SPEC. HEAT CAP. FUNCTION (5-2)	
C4C3(I)	REAL	1/K3 THIRD ORDER COEF. FOR BLANKET MATERIAL SPEC. HEAT CAP. FUNCTION (5-2)	
C4C4(I)	REAL	J/(KG*K)	ADDITIVE CONSTANT FOR BLANKET MATERIAL SPEC. HEAT CAP. FUNCTION (5-4)
C4C5(I)	REAL	J/(KG*K2)	FIRTH ORDER COEF. FOR BLANKET MATERIAL SPEC. HEAT CAP. FUNCTION (5-4)
C4C6(I)	REAL	K2 INVERSE SECOND ORDER COEF. FOR BLANKET MATERIAL SPEC. HEAT CAP. FUNCTION (5-2)	
CACT1(I)	REAL	K LOWER BLANKET MATERIAL TEMPERATURE BOUND FOR EQUATIONS (5-2), (5-3) AND (5-4)	
CACT2(I)	REAL	K UPPER BLANKET MATERIAL TEMPERATURE BOUND FOR EQUATIONS (5-2), (5-3) AND (5-4)	
C4A0(I)	REAL	N/(H*K)	ADDITIVE CONSTANT FOR BLANKET MATERIAL COEF. OF THERMAL EXPANSION FUNCTION (5-10)
C4A1(I)	REAL	N/(H*K2)	FIRST ORDER COEF. FOR BLANKET MATERIAL COEF. OF THERMAL EXPANSION FUNCTION (5-10)
C4A2(I)	REAL	N/(H*K3)	ADDITIVE CONSTANT FOR BLANKET MATERIAL COEF. OF THERMAL EXPANSION FUNCTION (5-10)
C4ATO(I)	REAL	K REFERENCE TEMPERATURE FOR C4AO	
CAAT1(I)	REAL	K LOWER BLANKET MATERIAL TEMPERATURE BOUND FOR EQUATION (5-9)	
CAAT2(I)	REAL	K UPPER BLANKET MATERIAL TEMPERATURE BOUND FOR EQUATION (5-9)	
C4D0(I)	REAL	KG/H3	FIRST ORDER COEF. FOR BLANKET MATERIAL DENSITY FUNCTION (5-15)
C4D1(I)	REAL	KG/H3	ADDITIVE CONSTANT FOR BLANKET MATERIAL DENSITY FUNCTION (5-16)
C4E0(I)	REAL	- ADDITIVE CONSTANT FOR BLANKET MATERIAL EMISSIVITY FUNCTION (5-17)	
C4E1(I)	REAL	1/K FIRST ORDER COEF. FOR BLANKET MATERIAL EMISSIVITY FUNCTION (5-18)	
CAETO(I)	REAL	K BLANKET MATERIAL TEMPERATURE CRITERION FOR EQUATIONS (5-17) AND (5-18)	
CATHLT(I)	REAL	K BLANKET MATERIAL MELTING TEMPERATURE	
C4TEGG(I)	REAL	K TEMPERATURE AT ONSET OF COLMNAIR GRAIN GROWTH FOR BLANKET MATERIALS	
CATCGG(I)	REAL	K TEMPERATURE AT ONSET OF COLMNAIR GRAIN GROWTH FOR BLANKET MATERIALS	

RECORD 50 - 59

C5K0(I)	REAL	W/(H*K)	ADDITIVE CONSTANT FOR FUEL MATERIAL THERMAL CONDUCTIVITY FUNCTION (5-1)
C5K1(I)	REAL	- FIRST ORDER COEF. FOR FUEL MATERIAL THERMAL CONDUCTIVITY FUNCTION (5-1)	
C5K2(I)	REAL	1/K SECOND ORDER COEF. FOR FUEL MATERIAL THERMAL CONDUCTIVITY FUNCTION (5-1)	
C5K3(I)	REAL	1/K3 THIRD ORDER COEF. FOR FUEL MATERIAL THERMAL CONDUCTIVITY FUNCTION (5-1)	
C5K4(I)	REAL	- FIRST ORDER COEF. ON POROSITY FOR FUEL MATERIAL THERMAL CONDUCTIVITY FUNCTION (5-1)	
C5K4 (CONT.)		- SECOND ORDER COEF. ON POROSITY FOR FUEL MATERIAL THERMAL CONDUCTIVITY FUNCTION (5-1)	
C5K5(I)	REAL	J/(KG*K)	ADDITIVE CONSTANT FOR FUEL MATERIAL SPEC. HEAT CAP. FUNCTION (5-2)
C5C0(I)	REAL	1/K FIRST ORDER COEF. FOR FUEL MATERIAL SPEC. HEAT CAP. FUNCTION (5-2)	
C5C1(I)	REAL	1/K2 SECOND ORDER COEF. FOR FUEL MATERIAL SPEC. HEAT CAP. FUNCTION (5-2)	

Figure 3-15 (Continued)

CSC3(I) REAL 1/K3 THIRD ORDER COEF. FOR FUEL MATERIAL SPEC. HEAT CAP. FUNCTION (5-2)
 CSC4(I) REAL J/(KG*K) ADDITIVE CONSTANT FOR FUEL MATERIAL SPEC. HEAT CAP. FUNCTION (5-4)
 CSC5(I) REAL J/(KG*K2) FIRTH ORDER COEF. FOR FUEL MATERIAL SPEC. HEAT CAP. FUNCTION (5-4)
 CSC6(I) REAL K2 INVERSE SECOND ORDER COEF. FOR FUEL MATERIAL SPEC. HEAT CAP. FUNCTION (5-2)
 CSCT1(I) REAL K LOWER FUEL MATERIAL TEMPERATURE BOUND FOR EQUATIONS (5-2), (5-3) AND (5-4)
 CSCT2(I) REAL K UPPER FUEL MATERIAL TEMPERATURE BOUND FOR EQUATIONS (5-2), (5-3) AND (5-4)
 CSA0(I) REAL H/(CH*K) ADDITIVE CONSTANT FOR FUEL MATERIAL COEF. OF THERMAL EXPANSION (5-10)
 CSA1(I) REAL H/(CH*K2) FIRST ORDER COEF. FOR FUEL MATERIAL COEF. OF THERMAL EXPANSION (5-10)
 CSA2(I) REAL H/(CH*K) ADDITIVE CONSTANT FOR FUEL MATERIAL COEF. OF THERMAL EXPANSION (5-11)
 CSA0(I) REAL K REFERENCE TEMPERATURE FOR CSA0
 CSAT1(I) REAL K LOWER FUEL MATERIAL TEMPERATURE BOUND FOR EQUATION (5-9)
 CSAT2(I) REAL K UPPER FUEL MATERIAL TEMPERATURE BOUND FOR EQUATION (5-9)
 CSDO(I) REAL KG/M3 FIRST ORDER COEF. FOR FUEL MATERIAL DENSITY FUNCTION (5-15)
 CS01(I) REAL KG/M3 ADDITIVE CONSTANT FOR FUEL MATERIAL DENSITY FUNCTION (5-16)
 CSE0(I) REAL - ADDITIVE CONSTANT FOR FUEL MATERIAL EMISSIVITY FUNCTION (5-17)
 CSE1(I) REAL 1/K FIRST ORDER COEF. FOR FUEL MATERIAL EMISSIVITY FUNCTION (5-18)
 CSETO(I) REAL K FUEL MATERIAL TEMPERATURE CRITERION FOR EQUATIONS (5-17) AND (5-18)
 CSTHLT(I) REAL K FUEL MATERIAL MELTING TEMPERATURE
 CSTEGL(I) REAL K TEMPERATURE AT ONSET OF EQUILAXED GRAIN GROWTH FOR FUEL MATERIALS
 CSGCGG(I) REAL K TEMPERATURE AT ONSET OF COLMHAR GRAIN GROWTH FOR FUEL MATERIALS

RECORD 60 - 69

C6K0(I) REAL W/(CH*K) ADDITIVE CONSTANT FOR CLADDING MATERIAL THERMAL CONDUCTIVITY FUNCTION (5-19)
 C6K1(I) REAL W/(CH*K2) FIRST ORDER COEF. FOR CLADDING MATERIAL THERMAL CONDUCTIVITY FUNCTION (5-19)
 C6K2(I) REAL W/(CH*K3) SECOND ORDER COEF. FOR CLADDING MATERIAL THERMAL CONDUCTIVITY FUNCTION (5-19)
 C6K3(I) REAL W/(CH*K4) THIRD ORDER COEF. FOR CLADDING MATERIAL THERMAL CONDUCTIVITY FUNCTION (5-19)
 C6C0(I) REAL J/(KG*K) ADDITIVE CONSTANT FOR CLADDING MATERIAL SPEC. HEAT CAP. FUNCTION (5-20)
 C6C1(I) REAL J/(KG*K2) FIRST ORDER COEF. FOR CLADDING MATERIAL SPEC. HEAT CAP. FUNCTION (5-20)
 C6C2(I) REAL J/(KG*K3) SECOND ORDER COEF. FOR CLADDING MATERIAL SPEC. HEAT CAP. FUNCTION (5-20)
 C6C3(I) REAL J/(KG*K4) THIRD ORDER COEF. FOR CLADDING MATERIAL SPEC. HEAT CAP. FUNCTION (5-20)
 C6A0(I) REAL H/(CH*K) ADDITIVE CONSTANT FOR CLADDING MATERIAL COEF. OF THERMAL EXPANSION FUNCTION
 C6A1(I) REAL H/(CH*K2) FIRST ORDER COEF. FOR CLADDING MATERIAL COEF. OF THERMAL EXPANSION FUNCTION
 C6A2(I) REAL H/(CH*K3) SECOND ORDER COEF. FOR CLADDING MATERIAL COEF. OF THERMAL EXPANSION FUNCTION
 C6A0(I) REAL K REFERENCE TEMPERATURE FOR C6A0
 C6AT1(I) REAL K MAXIMUM TEMPERATURE RANGE FOR CLADDING COEF. OF EXPANSION
 C6D0(I) REAL KG/M3 ADDITIVE CONSTANT FOR CLADDING MATERIAL DENSITY FUNCTION (5-22)
 C6E0(I) REAL - ADDITIVE CONSTANT FOR CLADDING MATERIAL EMISSIVITY FUNCTION (5-23) AND (5-24)
 C6E1(I) REAL 1/K FIRST ORDER COEF. FOR CLADDING MATERIAL EMISSIVITY FUNCTION (5-24)
 C6ETO(I) REAL K REFERENCE TEMPERATURE FOR C6E0
 C6THLT(I) REAL K CLADDING MATERIAL MELTING TEMPERATURE

RECORD 70 - 79

C7K0(I) REAL W/(CH*K) ADDITIVE CONSTANT FOR STRUCTURAL MATERIAL THERMAL CONDUCTIVITY FUNCTION (5-19)
 C7K1(I) REAL W/(CH*K2) FIRST ORDER COEF. FOR STRUCTURAL MATERIAL THERMAL CONDUCTIVITY FUNCTION (5-19)
 C7K2(I) REAL W/(CH*K3) SECOND ORDER COEF. FOR STRUCTURAL MATERIAL THERMAL CONDUCTIVITY FUNCTION (5-19)
 C7K3(I) REAL W/(CH*K4) THIRD ORDER COEF. FOR STRUCTURAL MATERIAL THERMAL CONDUCTIVITY FUNCTION (5-19)
 C7C0(I) REAL J/(KG*K) ADDITIVE CONSTANT FOR STRUCTURAL MATERIAL SPEC. HEAT CAP. FUNCTION (5-20)
 C7C1(I) REAL J/(KG*K2) FIRST ORDER COEF. FOR STRUCTURAL MATERIAL SPEC. HEAT CAP. FUNCTION (5-20)
 C7C2(I) REAL J/(KG*K3) SECOND ORDER COEF. FOR STRUCTURAL MATERIAL SPEC. HEAT CAP. FUNCTION (5-20)
 C7C3(I) REAL J/(KG*K4) THIRD ORDER COEF. FOR STRUCTURAL MATERIAL SPEC. HEAT CAP. FUNCTION (5-20)
 C7A0(I) REAL H/(CH*K) ADDITIVE CONSTANT FOR STRUCTURAL MATERIAL COEF. OF THERMAL EXPANSION FUNCTION
 C7A1(I) REAL H/(CH*K2) FIRST ORDER COEF. FOR STRUCTURAL MATERIAL COEF. OF THERMAL EXPANSION FUNCTION
 C7A2(I) REAL H/(CH*K3) SECOND ORDER COEF. FOR STRUCTURAL MATERIAL COEF. OF THERMAL EXPANSION FUNCTION
 C7D10(I) REAL K TEMPERATURE AT WHICH REFERENCE DENSITY IS SPECIFIED (5-22)
 C7D0(I) REAL KG/M3 ADDITIVE CONSTANT FOR STRUCTURAL MATERIAL DENSITY FUNCTION (5-22)

RECORD 80 - 89

C8K1(I) REAL W/(CH*K) FIRST ORDER COEF. FOR COVER GAS THERMAL CONDUCTIVITY FUNCTION
 C8K2(I) REAL W/(CH*K2) SECOND ORDER COEF. FOR COVER GAS THERMAL CONDUCTIVITY FUNCTION
 C8K3(I) REAL W/(CH*K3) THIRD ORDER COEF. FOR COVER GAS THERMAL CONDUCTIVITY FUNCTION

***** FILE TRNDAT

RECORD 1001

L1PONY(K) INTEGER - PRIMARY LOOP PONY MOTOR STATUS; 1 - MOTOR IS ON, 0 - MOTOR IS OFF (K = 1,N1LOOP)
 F1PONY REAL - PRIMARY PONY MOTOR SPEED FRACTION OF RATED SPEED
 Q1NRTA REAL KG*M2 PRIMARY PUMP INERTIA

RECORD 1002

L2PONY(K) INTEGER - SECONDARY LOOP PONY MOTOR STATUS; 1 - MOTOR IS ON, 0 - MOTOR IS OFF (K = 1,N1LOOP)
 F2PONY REAL - SECONDARY PONY MOTOR SPEED FRACTION OF RATED SPEED
 Q2NRTA REAL KG*M2 SECONDARY PUMP INERTIA

RECORD 1003

L1GV(K) INTEGER - GUARD VESSEL OPTION; 0 - NO GUARD VESSEL, 1 - REACTOR VESSEL OUTLET, 2 - RV INLET,
 L1GV (CONT.) REAL 3 - PUMP INLET, 4 - PUMP OUTLET, 5 - IHX INLET, 6 - IHX OUTLET (K = 1,N1LOOP)
 V1MINR REAL M3 R.V. GUARD VESSEL VOLUME AT LEVEL WITH BREAK
 Z1MAXR REAL M R.V. GUARD VESSEL MAXIMUM LEVEL THAT CAN BE REACHED BY COOLANT
 F1GVR(1) REAL - R.V. GUARD VESSEL VOLUME TO LEVEL COEF.
 F1GVR(2) REAL - R.V. GUARD VESSEL VOLUME TO LEVEL COEF.
 F1GVR(3) REAL - R.V. GUARD VESSEL VOLUME TO LEVEL COEF.
 V1MINP REAL M3 PUMP GUARD VESSEL VOLUME AT LEVEL WITH PIPE BREAK
 Z1MAXP REAL M PUMP GUARD VESSEL MAXIMUM LEVEL THAT CAN BE REACHED BY COOLANT
 F1GVP(1) REAL - PUMP GUARD VESSEL VOLUME TO LEVEL COEF.
 F1GVP(2) REAL - PUMP GUARD VESSEL VOLUME TO LEVEL COEF.
 F1GVP(3) REAL - PUMP GUARD VESSEL VOLUME TO LEVEL COEF.
 V1MINX REAL M3 IHX GUARD VESSEL VOLUME AT LEVEL WITH PIPE BREAK

Figure 3-15 (Continued)

Z1MAXX REAL M IHX GUARD VESSEL MAXIMUM LEVEL THAT CAN BE REACHED BY COOLANT
 F1GVX(1) REAL - IHX GUARD VESSEL VOLUME TO LEVEL COEF.
 F1GVX(2) REAL - IHX GUARD VESSEL VOLUME TO LEVEL COEF.
 F1GVX(3) REAL - IHX GUARD VESSEL VOLUME TO LEVEL COEF.
 V1MAX. REAL M³ MAXIMUM VOLUME THAT CAN BE FILLED IN GUARD VESSEL IN ANY LOCATION

RECORD 1004
 11FAIL(K) INTEGER - PRIMARY CHECK VALVE STATUS; 0 - WORKING, 1 - FAILED (K = 1,N1LOOP)

RECORD 1101 - 1199 (IMPLIED PRIMARY LOOP DEPENDENCY, J = REC.NUM.-1100)
 J1BREK INTEGER - PRIMARY LOOP PIPE NUMBER CONTAINING BREAK
 N1NBRK INTEGER - NUMBER OF NODES IN BROKEN PRIMARY PIPE UPSTREAM OF BREAK
 X1BREK REAL M LENGTH OF PRIMARY PIPE UPSTREAM OF BREAK
 F1LSBK REAL - LOSS COEFFICIENT AT PRIMARY BREAK
 A1BREK REAL M² BREAK AREA IN PRIMARY PIPE
 A1GAP REAL M² X-SECTIONAL AREA BETWEEN BROKEN PRIMARY PIPE AND GUARD VESSEL
 S1BREK REAL S TIME OF PRIMARY PIPE BREAK

NOTE: THIS RECORD SERIES IS SPECIFIED ONLY FOR LOOP(S) CONTAINING BREAK(S).

RECORD 1201 - 1299 (IMPLIED SECONDARY LOOP DEPENDENCY, J = REC.NUM.-1200)
 J2BREK INTEGER - SECONDARY LOOP PIPE NUMBER CONTAINING BREAK
 N2NBRK INTEGER - NUMBER OF NODES IN BROKEN SECONDARY PIPE UPSTREAM OF BREAK
 X2BREK REAL M LENGTH OF PRIMARY PIPE UPSTREAM OF BREAK
 F2LSBK REAL - LOSS COEFFICIENT AT SECONDARY BREAK
 A2BREK REAL M² BREAK AREA IN SECONDARY PIPE
 A2GAP REAL M² X-SECTIONAL AREA BETWEEN BROKEN SECONDARY PIPE AND GUARD PIPE
 S2BREK REAL S TIME OF SECONDARY PIPE BREAK

NOTE: THIS RECORD SERIES IS SPECIFIED ONLY FOR LOOP(S) CONTAINING BREAK(S).

RECORD 3101
 HODID INTEGER - MODULE ID OF BOUNDARY
 N3TAB8 INTEGER - NUMBER OF TABLE ENTRIES ON CORRESPONDING 3111 RECORD
 I3BCTP INTEGER - BOUNDARY CONDITION TYPE 1 - FLOW; 2 - PRESSURE

RECORD 3111
 HODID INTEGER - MODULE ID OF BOUNDARY
 S3TAB(I) * REAL S TIME FOR TABLE ENTRY
 E3TAB(I) * REAL J/KG OR K ENTHALPY(J/KG) OR TEMPERATURE(K) FOR TABLE ENTRY
 P3WTAB(I) * REAL PA OR KG/S PRESSURE(PA) OR FLOW(KG/S) FOR TABLE ENTRY
 * NOTE: DATA IS ENTERED AS A USER DEFINED SERIES OF PAIRED POINTS.

RECORD 3201
 HODID INTEGER - MODULE ID OF VOLUME(ACCUMULATOR)
 N3VOLT INTEGER - NUMBER OF TABLE ENTRIES ON CORRESPONDING 3211 RECORD

RECORD 3211
 HODID INTEGER - MODULE ID OF VOLUME
 S3VOLT(I) * REAL S TIME FOR TABLE ENTRY
 Q3VOLT(I) * REAL J/S HEAT INPUT TO ALL PARALLEL VOLUMES
 * NOTE: DATA IS ENTERED AS A USER DEFINED SERIES OF PAIRED POINTS.

RECORD 3301
 HODID INTEGER - MODULE ID OF VALVE
 N3VALT(I) * INTEGER - NUMBER OF TABLE ENTRIES ON CORRESPONDING 3311 RECORD
 N3VCAS INTEGER - PPS/PCS OPTION 0-IGNORE PPS/PCS; 1-ACCEPT PPS/PCS SIGNAL

RECORD 3311
 HODID INTEGER - MODULE ID OF VALVE
 S3VALT(I) * REAL S TIME FOR TABLE ENTRY
 S3VPST(I) * REAL - VALVE STEM POSITION 0-FULL CLOSED; 1-FULL OPEN
 * NOTE: DATA IS ENTERED AS A USER DEFINED SERIES OF PAIRED POINTS.

RECORD 3401
 HODID INTEGER - MODULE ID OF PUMP
 N3PUNT(I) * INTEGER - NUMBER OF TABLE ENTRIES ON CORRESPONDING 3411 RECORD
 S3PTRP REAL S PUMP TRIP TIME
 N3PCAS INTEGER - PPS/PCS OPTION 0-IGNORE PPS/PCS; 1-ACCEPT PPS/PCS SIGNAL

RECORD 3411
 HODID INTEGER - MODULE ID OF PUMP
 S3PUNT(I) * REAL S TIME FOR TABLE ENTRY
 R3PUNT(I) * REAL - RELATIVE PUMP SPEED 0-FULL STOPPED; 1-FULL SPEED
 * NOTE: DATA IS ENTERED AS A USER DEFINED SERIES OF PAIRED POINTS.

RECORD 5001
 LSPOPT INTEGER - TRANSIENT POWER FLAG; 0 - PRONT JUMP APPROXIMATION, 1 - EXACT
 NSDNGP INTEGER - NUMBER OF DELAYED NEUTRON GROUPS (MAXIMUM OF 6)
 CSLN REAL S PRONT NEUTRON GENERATION TIME

RECORD 5002
 F5PFIS(K) REAL - FRACTIONAL POWER IN EACH CHANNEL AND BYPASS DUE TO FISSION HEATING
 F5PFIS (CONT.)

RECORD 5003
 F5PBET(N) REAL - FRACTION OF N-TH EFFECTIVE DELAYED NEUTRON GROUP (0<N<7)

RECORD 5004
 CSLMDA(N) REAL - S-1 DECAY CONSTANT OF N-TH DELAYED NEUTRON GROUP (0<N<7)

RECORD 5005
 F5PBPD(I) * REAL - FRACTIONAL TRANSIENT DECAY POWER IN BYPASS
 S5PBPD(I) * REAL S TRANSIENT POSTSCRAM TIME FOR DECAY POWER IN BYPASS
 * NOTE: DATA IS ASSIGNED AS A USER DEFINED SERIES OF PAIRED POINTS OF UP TO 25 PAIRS.

RECORD 5101 - 5199 (IMPLIED CHANNEL DEPENDENCY, K = REC.NUM.-5100)
 F5PD(I) * REAL - FRACTIONAL TRANSIENT DECAY POWER IN K-TH CHANNEL
 S5PD(I) * REAL S TRANSIENT POSTSCRAM TIME FOR DECAY POWER IN K-TH CHANNEL

Figure 3-15 (Continued)

* NOTE: DATA IS ASSIGNED AS A USER DEFINED SERIES OF PAIRED POINTS OF UP TO 25 PAIRS.

RECORD 5201 - 5299 (IMPLIED CHANNEL DEPENDENCY, K = REC.NUM.-5200)
 F5B00P(J) REAL R MESH WEIGHTED DOPPLER REACT.COEF. WITH SODIUM PRESENT FOR K-TH CHANNEL
 F5B00P (CONT.) (J = 1,N5SLIC(K))

RECORD 5301 - 5399 (IMPLIED CHANNEL DEPENDENCY, K = REC.NUM.-5300)
 F5G00P(J) REAL R MESH WEIGHTED DOPPLER REACT.COEF. W/O SODIUM PRESENT FOR K-TH CHANNEL
 F5G00P (CONT.) (J = 1,N5SLIC(K))

RECORD 5401 - 5499 (IMPLIED CHANNEL DEPENDENCY, K = REC.NUM.-5400)
 F5VWGT(J) REAL R/KG MESH WEIGHTED SODIUM VOID REACT.COEF. FOR K-TH CHANNEL (J = 1,N5SLIC(K))

RECORD 5501 - 5599 (IMPLIED CHANNEL DEPENDENCY, K = REC.NUM.-5500)
 F5AWGT(J) REAL R/KG MESH WEIGHTED FUEL AXIAL EXPANSION REACT.COEF. FOR K-TH CHANNEL (J = 1,N5SLIC(K))

RECORD 6001
 L6MIX INTEGER - MIXING TYPE OPTION; 1 - ONE ZONE MIXING
 L6FLOW INTEGER - FLOW REDISTRIBUTION OPTION; 0 - NO FLOW REDISTRIBUTION, 1 - FLOW REDISTRIBUTION
 T6SUPH REAL K SUPER HEAT TEMPERATURE
 T6SUPH (CONT.) IF SET .LT. 0.0 THEN THERMAL EXPANSION MODEL WILL BE USED IN BOILING CALCULATIONS
 T6SUPH (CONT.) IF SET .GE. 0.0 THEN SINGLE MASS FLOW RATE WILL BE USED IN BOILING CALCULATIONS.

RECORD 6002
 L6CGAS INTEGER - COVER GAS PRESSURE OPTION; 1 - CONSTANT MASS, 2 - CONSTANT PRESSURE,
 L6CGAS (CONT.) 3 - CONSTANT FEED/BLEED RATE
 Q6CGFB REAL KG/S COVER GAS FEED/BLEED RATE
 P6CGFB REAL N/M2 COVER GAS PRESSURE CHANGE REQUIRED TO ACTUATE FEED/BLEED VALVE

RECORD 8001
 N8PCSD INTEGER - NUMBER OF FEEDBACK CASCADES IN THE REACTOR POWER CONTROLLER
 N8CBNK INTEGER - NUMBER OF PRIMARY CONTROL ROD BANKS

RECORD 8002
 L8PUMP(J) * INTEGER - MANUAL/AUTO PUMP TRIP FLAG; 1 - MANUAL, 0 - AUTO (J = 1,(3*N1LOOP+1))
 NOTE: PARAMETERS ARE ASSIGNED ON A SUBSYSTEM/COMPONENT BASIS. THAT IS, DATA
 ASSIGNMENTS ARE MADE FOR THE PUMP IN PRIMARY LOOP 1, THE PUMP IN PRIMARY
 LOOP 2 (IF NEEDED), AND SO SO ON, UP TO THE PUMP IN PRIMARY LOOP "N1LOOP".
 THE DATA FOR ALL "N1LOOP" PRIMARY LOOP PUMPS IS FOLLOWED BY CORRESPONDING
 SERIES FOR THE SECONDARY LOOP(S) AND THE STEAM GENERATOR. DATA FOR THE LAST
 PUMP IS ASSIGNED TO THE TURBINE.

RECORD 8003
 S8TDLY(J) * REAL S PUMP TRIP TIME DELAY AFTER AN AUTOMATIC PPS SIGNAL (J = 1,(3*N1LOOP+1))
 NOTE: PARAMETERS ARE ASSIGNED ON A SUBSYSTEM/COMPONENT BASIS. THAT IS, DATA
 ASSIGNMENTS ARE MADE FOR THE PUMP IN PRIMARY LOOP 1, THE PUMP IN PRIMARY
 LOOP 2 (IF NEEDED), AND SO SO ON, UP TO THE PUMP IN PRIMARY LOOP "N1LOOP".
 THE DATA FOR ALL "N1LOOP" PRIMARY LOOP PUMPS IS FOLLOWED BY CORRESPONDING
 SERIES FOR THE SECONDARY LOOP(S) AND THE STEAM GENERATOR. DATA FOR THE LAST
 PUMP IS ASSIGNED TO THE TURBINE.

RECORD 8004
 S8MANP(J) * REAL S TIME AT WHICH PUMPS ARE TO BE TRIPPED MANUALLY (J = 1,(3*N1LOOP+1))
 NOTE: PARAMETERS ARE ASSIGNED ON A SUBSYSTEM/COMPONENT BASIS. THAT IS, DATA
 ASSIGNMENTS ARE MADE FOR THE PUMP IN PRIMARY LOOP 1, THE PUMP IN PRIMARY
 LOOP 2 (IF NEEDED), AND SO SO ON, UP TO THE PUMP IN PRIMARY LOOP "N1LOOP".
 THE DATA FOR ALL "N1LOOP" PRIMARY LOOP PUMPS IS FOLLOWED BY CORRESPONDING
 SERIES FOR THE SECONDARY LOOP(S) AND THE STEAM GENERATOR. DATA FOR THE LAST
 PUMP IS ASSIGNED TO THE TURBINE.

RECORD 8005
 F8PD1 REAL - FRACTIONAL POWER DEMAND AT TIME = S8DT1
 F8PD2 REAL - FRACTIONAL,POWER DEMAND AT TIME = S8DT2
 S8DT1 REAL S TIME AT WHICH THE LOAD DEMAND STARTS CHANGING
 S8DT2 REAL S TIME AT WHICH THE LOAD DEMAND REACHES A CONSTANT LEVEL

RECORD 8006
 F8RSCR REAL # REACTIVITY WORTH DUE THE SECONDARY CONTROL RODS (EQ. 3-12)
 F8RSOM REAL # COLD SHUTDOWN MARGIN OF REACTIVITY (CONSTANT) (EQ. 3-12)
 Z8SRMX REAL H MAXIMUM INSERTION LIMIT OF THE SECONDARY CONTROL RODS CORRESPONDING TO F8SRMX
 Z8SRMX (CONT.) CORRESPONDING TO F8SRMX
 F8SRMX REAL # MAXIMUM REACTIVITY WORTH OF THE SECONDARY CONTROL RODS (EQ. 3-12)
 F8RSTP REAL # REACTIVITY WORTH OF THE PRIMARY SYSTEM STUCK ROD
 F8RSTS REAL # REACTIVITY WORTH OF THE SECONDARY SYSTEM STUCK ROD

RECORD 8007
 C8A0 * REAL - COEFFICIENTS FOR A 6TH DEGREE POLYNOMIAL (EQ. 3.4-18)
 C8A1 * REAL - COEFFICIENTS FOR A 6TH DEGREE POLYNOMIAL (EQ. 3.4-18)
 C8A2 * REAL - COEFFICIENTS FOR A 6TH DEGREE POLYNOMIAL (EQ. 3.4-18)
 C8A3 * REAL - COEFFICIENTS FOR A 6TH DEGREE POLYNOMIAL (EQ. 3.4-18)
 C8A4 * REAL - COEFFICIENTS FOR A 6TH DEGREE POLYNOMIAL (EQ. 3.4-18)
 C8A5 * REAL - COEFFICIENTS FOR A 6TH DEGREE POLYNOMIAL (EQ. 3.4-18)
 C8A6 * REAL - COEFFICIENTS FOR A 6TH DEGREE POLYNOMIAL (EQ. 3.4-18)
 C8B0 ** REAL - COEFFICIENTS FOR A 6TH DEGREE POLYNOMIAL (EQ. 3.4-18)
 C8B1 ** REAL - COEFFICIENTS FOR A 6TH DEGREE POLYNOMIAL (EQ. 3.4-18)
 C8B2 ** REAL - COEFFICIENTS FOR A 6TH DEGREE POLYNOMIAL (EQ. 3.4-18)
 C8B3 ** REAL - COEFFICIENTS FOR A 6TH DEGREE POLYNOMIAL (EQ. 3.4-18)
 C8B4 ** REAL - COEFFICIENTS FOR A 6TH DEGREE POLYNOMIAL (EQ. 3.4-18)
 C8B5 ** REAL - COEFFICIENTS FOR A 6TH DEGREE POLYNOMIAL (EQ. 3.4-18)
 C8B6 ** REAL - COEFFICIENTS FOR A 6TH DEGREE POLYNOMIAL (EQ. 3.4-18)
 S8DSPT REAL S MAXIMUM TIME RANGE OF VALIDITY OF POLYNOMIALS FOR THE PRIMARY RODS
 F8ZSPT REAL - FRACTIONAL PORTION OF THE SCRAM RODS AT WHICH WE SHIFT TO SECOND POLYNOMIAL FIT
 * NOTE: THIS POLYNOMIAL DESCRIBES THE PRIMARY ROD POSITION AS A FUNCTION OF TIME

Figure 3-15 (Continued)

AFTER SCRAM WITH THE RODS FULLY OUT.

** NOTE: THIS POLYNOMIAL DESCRIBES THE PRIMARY ROD POSITION AS A FUNCTION OF TIME AFTER SCRAM WITH THE RODS PARTIALLY INSERTED.

RECORD 8008

C8C0 *	REAL	- COEFFICIENTS FOR A 6TH DEGREE POLYNOMIAL (EQ. 3.4-18)
C8C1 *	REAL	- COEFFICIENTS FOR A 6TH DEGREE POLYNOMIAL (EQ. 3.4-18)
C8C2 *	REAL	- COEFFICIENTS FOR A 6TH DEGREE POLYNOMIAL (EQ. 3.4-18)
C8C3 *	REAL	- COEFFICIENTS FOR A 6TH DEGREE POLYNOMIAL (EQ. 3.4-18)
C8C4 *	REAL	- COEFFICIENTS FOR A 6TH DEGREE POLYNOMIAL (EQ. 3.4-18)
C8C5 *	REAL	- COEFFICIENTS FOR A 6TH DEGREE POLYNOMIAL (EQ. 3.4-18)
C8C6 *	REAL	- COEFFICIENTS FOR A 6TH DEGREE POLYNOMIAL (EQ. 3.4-18)
S8DSST	REAL	S MAXIMUM TIME RANGE OF VALIDITY OF POLYNOMIALS FOR THE SECONDARY RODS

* NOTE: THIS POLYNOMIAL DESCRIBES THE SECONDARY ROD POSITION AS A FUNCTION OF TIME AFTER SCRAM, SINCE THE SECONDARY RODS ARE ASSUMED TO BE FULLY OUT, ONLY ONE POLYNOMIAL IS USED.

RECORD 8009

S8RI1	REAL	S TIME AT WHICH THE REACTIVITY INSERTION STARTS.
S8RI2	REAL	S TIME AT WHICH THE REACTIVITY INSERTION ENDS.
F8RI1	REAL	* REACTIVITY AT THE START OF THE INSERTION (CORRESPONDING TO S8RI1)
F8RI2	REAL	* REACTIVITY AT THE END OF THE INSERTION (CORRESPONDING TO S8RI2)

RECORD 8010

F8VMAX(I) *	REAL	- MAXIMUM FRACTIONAL VALVE OPENING (I = 1,(N1LOOP+3)) (EQ. 3.4-3.38)
F8TRM(I) *	REAL	- MAXIMUM VALVE TRIM (I = 1,(N1LOOP+3)) (EQ. 3.4-3.38)

* NOTE: DATA IS ENTERED AS A SERIES OF PAIRED POINTS. THE INDEX "I" IS INCREMENTED OVER THE SET OF ALL REQUIRED DATA. THE REQUIRED VALVE SEQUENCING IS:

- MAIN FEED WATER CONTROL VALVE (ONE ENTRY PER LOOP),
- THROTTLE VALVE,
- BYPASS VALVE,
- MOTOR OPERATED RELIEF VALVE

RECORD 8011

F8VMIN(I) *	REAL	- MINIMUM FRACTIONAL VALVE OPENING (I = 1,(N1LOOP+3)) (EQ. 3.4-3.38)
F8TRHN(I) *	REAL	- MINIMUM VALVE TRIM (I = 1,(N1LOOP+3)) (EQ. 3.4-3.38)

* NOTE: DATA IS ENTERED AS A SERIES OF PAIRED POINTS. THE INDEX "I" IS INCREMENTED OVER THE SET OF ALL REQUIRED DATA. THE REQUIRED VALVE SEQUENCING IS:

- MAIN FEED WATER CONTROL VALVE (ONE ENTRY PER LOOP),
- THROTTLE VALVE,
- BYPASS VALVE,
- MOTOR OPERATED RELIEF VALVE

RECORD 8012

S8OPEN(I)	REAL	S VALVE OPENING TIME (I = 1,(N1LOOP+3)) (EQ.3.4-3.38)
-----------	------	---

* NOTE: THE REQUIRED VALVE SEQUENCING IS:

- MAIN FEED WATER CONTROL VALVE (ONE ENTRY PER LOOP),
- THROTTLE VALVE,
- BYPASS VALVE,
- MOTOR OPERATED RELIEF VALVE

RECORD 8013

S8CLOS(I)	REAL	S VALVE CLOSING TIME (I = 1,(N1LOOP+3)) (EQ.3.4-3.38)
-----------	------	---

* NOTE: THE REQUIRED VALVE SEQUENCING IS:

- MAIN FEED WATER CONTROL VALVE (ONE ENTRY PER LOOP),
- THROTTLE VALVE,
- BYPASS VALVE,
- MOTOR OPERATED RELIEF VALVE

RECORD 8014

C8TIME(I)	REAL	S TIME CONSTANTS USED IN COMPUTING SENSOR MEASUREMENT TIME LAGS. (I = 1,3+5*N1LOOP)
		(EQ. 3.4-2.1)

NOTE: THESE CONSTANTS CORRESPOND TO THE FOLLOWING SENSORS:

- REFERENCE PRESSURE
- SODIUM LEVEL
- IHX OUTLET TEMPERATURE (ONE ENTRY PER LOOP)
- EVAPORATOR INLET TEMPERATURE (ONE ENTRY PER LOOP)
- FEED WATER FLOW RATE (ONE ENTRY PER LOOP)
- STEAM FLOW RATE (ONE ENTRY PER LOOP)
- STEAM DRUM LEVEL (ONE ENTRY PER LOOP)
- REACTOR OUTLET NOZZLE TEMPERATURE

RECORD 8015

U81REF	REAL	RPM REFERENCE 100 PERCENT POWER, PRIMARY LOOP PUMP SPEED
U82REF	REAL	RPM REFERENCE 100 PERCENT POWER, INTERMEDIATE LOOP PUMP SPEED
W81REF	REAL	KG/S REFERENCE 100 PERCENT POWER, PRIMARY LOOP SODIUM MASS FLOW RATE
W82REF	REAL	KG/S REFERENCE 100 PERCENT POWER, INTERMEDIATE LOOP SODIUM MASS FLOW RATE
T8REF	REAL	K REFERENCE 100 PERCENT POWER, CORE MIXED MEAN OUTLET TEMPERATURE
T81REF	REAL	K REFERENCE 100 PERCENT POWER, REACTOR VESSEL SODIUM INLET TEMPERATURE
T8TREF	REAL	K REFERENCE 100% POWER, STEAM TEMPERATURE AT THE TURBINE INLET
T85REF	REAL	K REFERENCE 100 PERCENT POWER, COLD SHUT DOWN TEMPERATURE
P86REF	REAL	N/H**2 REFERENCE 100 PERCENT POWER, REACTOR INLET PLENUM PRESSURE
P8TREF	REAL	N/H**2 REFERENCE 100 PERCENT POWER, TURBINE INLET PRESSURE
P8DPRF	REAL	N/H**2 REFERENCE 100 PERCENT POWER, PRESSURE DROP ACROSS FEEDWATER VALVE
W8FWRF	REAL	KG/S REFERENCE 100 PERCENT POWER, FEED WATER FLOW RATE
W8STRF	REAL	KG/S REFERENCE 100 PERCENT POWER, STEAM FLOW RATE

RECORD 8016

L8AVLP(I)	INTEGER	- PROTECTIVE FUNCTIONS TO BE EXAMINED ON THE PRIM. SHUTDOWN SYSTEM (I = 1,J; 0<J<21)
-----------	---------	--

Figure 3-15 (Continued)

RECORD 8017
 L8AVLS(I) INTEGER - PROTECTIVE FUNCTIONS TO BE EXAMINED ON THE SEC. SHUTDOWN SYSTEM (I = 1,J: 0<J<21)

RECORD 8018
 L8FUNK(I) INTEGER - PROTECTIVE FUNCTIONS OPERATIVE FOR PRIMARY SHUT DOWN SYSTEM (I = 1,J: 0<J<21)
 * NOTE: AT LEAST ONE MUST BE OPERATIVE.

RECORD 8019
 L8FUNS(I) INTEGER - PROTECTIVE FUNCTIONS OPERATIVE FOR SECONDARY SHUT DOWN SYSTEM (I = 1,J: 0<J<21)
 * NOTE: AT LEAST ONE MUST BE OPERATIVE.

RECORD 8020
 L8PHAN INTEGER - MANUAL/AUTO SCRAM FLAG FOR THE PRIMARY SHUTDOWN SYSTEM; 1 - MANUAL, 0 - AUTO
 S8PDLY REAL S PRIMARY SHUTDOWN SYSTEM SCRAM TIME DELAY AFTER AN AUTOMATIC PPS SIGNAL
 S8PMAN REAL S TIME AT WHICH PRIMARY SHUTDOWN SYSTEM IS TO BE MANUALLY TRIPPED
 NOTE: SELECTION OF MANUAL SCRAM DOES NOT PREVENT AN AUTOMATIC SCRAM.
 TO PREVENT AN AUTOMATIC SCRAM FROM THE PRIMARY SHUTDOWN SYSTEM, S8PDLY
 SHOULD BE SET TO A LONG TIME.

RECORD 8021
 L8SHAN INTEGER - MANUAL /AUTO SCRAM FLAG FOR THE SECONDARY SHUTDOWN SYSTEM; 1 - MANUAL, 0 - AUTO
 S8SDLY REAL S SECONDARY SHUTDOWN SYSTEM SCRAM TIME DELAY AFTER AN AUTOMATIC PPS SIGNAL
 S8SHAH REAL S TIME AT WHICH SECONDARY SHUTDOWN SYSTEM IS TO BE MANUALLY TRIPPED
 NOTE: SELECTION OF MANUAL SCRAM DOES NOT PREVENT AN AUTOMATIC SCRAM.
 TO PREVENT AN AUTOMATIC SCRAM FROM THE SECONDARY SHUTDOWN SYSTEM, S8SDLY
 SHOULD BE SET TO A LONG TIME.

RECORD 8101
 F86SFX REAL - FRACTIONAL HIGH NEUTRON FLUX (PPS SETTING) (EQ. 3.4-2.2)

RECORD 8102
 C8PA1 REAL - CONSTANTS USED IN DETERMINING THE SETPOINT FOR FLUX DELAYED
 C8PA1 (CONT.) - FLUX FUNCTION WHEN RHO IS GREATER THAN 0(PPS FUNCTION 2) (EQ. 3.4-2.3)
 C8PA2 REAL - CONSTANTS USED IN DETERMINING THE SETPOINT FOR FLUX DELAYED
 C8PA2 (CONT.) - FLUX FUNCTION WHEN RHO IS GREATER THAN 0(PPS FUNCTION 2) (EQ. 3.4-2.3)
 C8PA3 REAL - CONSTANTS USED IN DETERMINING THE SETPOINT FOR FLUX DELAYED
 C8PA3 (CONT.) - FLUX FUNCTION WHEN RHO IS GREATER THAN 0(PPS FUNCTION 2) (EQ. 3.4-2.3)
 C8PA4 REAL - CONSTANTS USED IN DETERMINING THE SETPOINT FOR FLUX DELAYED
 C8PA4 (CONT.) - FLUX FUNCTION WHEN RHO IS GREATER THAN 0(PPS FUNCTION 2) (EQ. 3.4-2.3)
 C8PA5 REAL - CONSTANTS USED IN DETERMINING THE SETPOINT FOR FLUX DELAYED
 C8PA5 (CONT.) - FLUX FUNCTION WHEN RHO IS GREATER THAN 0(PPS FUNCTION 2) (EQ. 3.4-2.3)
 C8PB1 REAL - CONSTANTS USED IN DETERMINING THE SETPOINT FOR FLUX DELAYED
 C8PB1 (CONT.) - FLUX FUNCTION WHEN RHO IS LESS THAN 0(PPS FUNCTION 2) (EQ. 3.4-2.3)
 C8PB2 REAL - CONSTANTS USED IN DETERMINING THE SETPOINT FOR FLUX DELAYED
 C8PB2 (CONT.) - FLUX FUNCTION WHEN RHO IS LESS THAN 0(PPS FUNCTION 2) (EQ. 3.4-2.3)
 C8PB3 REAL - CONSTANTS USED IN DETERMINING THE SETPOINT FOR FLUX DELAYED
 C8PB3 (CONT.) - FLUX FUNCTION WHEN RHO IS LESS THAN 0(PPS FUNCTION 2) (EQ. 3.4-2.3)
 C8PB4 REAL - CONSTANTS USED IN DETERMINING THE SETPOINT FOR FLUX DELAYED
 C8PB4 (CONT.) - FLUX FUNCTION WHEN RHO IS LESS THAN 0(PPS FUNCTION 2) (EQ. 3.4-2.3)
 C8PB5 REAL - CONSTANTS USED IN DETERMINING THE SETPOINT FOR FLUX DELAYED
 C8PB5 (CONT.) - FLUX FUNCTION WHEN RHO IS LESS THAN 0(PPS FUNCTION 2) (EQ. 3.4-2.3)

RECORD 8103
 C8PC1 REAL - CONSTANT USED IN DETERMINING THE SETPOINT FOR FLUX-SQRT(PRES
 C8PC1 (CONT.) - SURE) FUNCTION(PPS FUNCTION 3) (EQ. 3.4-2.8)
 C8PC2 REAL - CONSTANT USED IN DETERMINING THE SETPOINT FOR FLUX-SQRT(PRES
 C8PC2 (CONT.) - SURE) FUNCTION(PPS FUNCTION 3) (EQ. 3.4-2.8)
 C8PC3 REAL - CONSTANT USED IN DETERMINING THE SETPOINT FOR FLUX-SQRT(PRES
 C8PC3 (CONT.) - SURE) FUNCTION(PPS FUNCTION 3) (EQ. 3.4-2.8)

RECORD 8104
 C8PD1 REAL - CONSTANT USED TO DETERMINE THE SETPOINT FOR PRIMARY TO INTER
 C8PD1 (CONT.) - MEDIATE SPEED RATIO FUNCTION (PPS FUNCTION 4) (EQ. 3.4-2.9)
 C8PD2 REAL - CONSTANT USED TO DETERMINE THE SETPOINT FOR PRIMARY TO INTER
 C8PD2 (CONT.) - MEDIATE SPEED RATIO FUNCTION (PPS FUNCTION 4) (EQ. 3.4-2.9)
 C8PD3 REAL - CONSTANT USED TO DETERMINE THE SETPOINT FOR PRIMARY TO INTER
 C8PD3 (CONT.) - MEDIATE SPEED RATIO FUNCTION (PPS FUNCTION 4) (EQ. 3.4-2.9)
 C8PD4 REAL - CONSTANT USED TO DETERMINE THE SETPOINT FOR PRIMARY TO INTER
 C8PD4 (CONT.) - MEDIATE SPEED RATIO FUNCTION (PPS FUNCTION 4) (EQ. 3.4-2.9)
 C8PD5 REAL - CONSTANT USED TO DETERMINE THE SETPOINT FOR PRIMARY TO INTER
 C8PD5 (CONT.) - MEDIATE SPEED RATIO FUNCTION (PPS FUNCTION 4) (EQ. 3.4-2.9)
 C8PD6 REAL - CONSTANT USED TO DETERMINE THE SETPOINT FOR PRIMARY TO INTER
 C8PD6 (CONT.) - MEDIATE SPEED RATIO FUNCTION (PPS FUNCTION 4) (EQ. 3.4-2.9)

RECORD 8106
 Z86SNA REAL - REACTOR VESSEL SODIUM LEVEL PPS SETTING (EQ. 3.4-2.10)

RECORD 8107
 C8PE1 REAL - SETPOINT CONSTANT FOR STEAM TO FEED WATER RATIO FUNCTION(PPS FUNCTION 7)
 C8PE1 (CONT.) (EQ. 3.4-2.11)

RECORD 8108
 T82SHX REAL K IHX OUTLET TEMPERATURE PPS SETTING (EQ. 3.4-2.12)

RECORD 8110
 C8PG1 REAL - CONSTANT USED IN DETERMINING THE SETPOINT FOR THE PRIMARY TO
 C8PG1 (CONT.) - INTERMEDIATE FLOW RATIO (PPS FUNCTION 10) (EQ. 3.4-2.14)
 C8PG2 REAL - CONSTANT USED IN DETERMINING THE SETPOINT FOR THE PRIMARY TO
 C8PG2 (CONT.) - INTERMEDIATE FLOW RATIO (PPS FUNCTION 10) (EQ. 3.4-2.14)
 C8PG3 REAL - CONSTANT USED IN DETERMINING THE SETPOINT FOR THE PRIMARY TO
 C8PG3 (CONT.) - INTERMEDIATE FLOW RATIO (PPS FUNCTION 10) (EQ. 3.4-2.14)
 C8PG4 REAL - CONSTANT USED IN DETERMINING THE SETPOINT FOR THE PRIMARY TO

Figure 3-15 (Continued)

C8PG4 (CONT.)		INTERMEDIATE FLOW RATIO (PPS FUNCTION 10) (EQ. 3.4-2.14)
C8PG5	REAL	- CONSTANT USED IN DETERMINING THE SETPOINT FOR THE PRIMARY TO INTERMEDIATE FLOW RATIO (PPS FUNCTION 10) (EQ. 3.4-2.14)
C8PG5 (CONT.)		- CONSTANT USED IN DETERMINING THE SETPOINT FOR THE PRIMARY TO INTERMEDIATE FLOW RATIO (PPS FUNCTION 10) (EQ. 3.4-2.14)
C8PG6	REAL	
C8PG6 (CONT.)		
RECORD 8111		
Z83SMX	REAL	M SETPOINT STEAM DRUM MAXIMUM WATER LEVEL PPS SETTING (EQ. 3.4-2.15)
Z83SNN	REAL	- SETPOINT STEAM DRUM WATER LEVEL PPS SETTING (EQ. 3.4-2.15)
RECORD 8112		
T83SEV	REAL	K PPS SETTING EVAPORATOR EXIT SODIUM TEMPERATURE (EQ. 3.4-2.16)
RECORD 8113		
T86SNZ	REAL	K PPS SETTING REACTOR OUTLET NOZZLE TEMPERATURE (EQ. 3.4-2.17)
RECORD 8114		
F81SFL	REAL	- PRIMARY PUMP PPS SETTING (EQ. 3.4-2.18)
RECORD 8115		
F82SFL	REAL	- INTERMEDIATE PUMP SPEED PPS SETTING (EQ. 3.4-2.18)
RECORD 8200		
F8HFXL	REAL	- HIGH FLUX LIMITER(FRACTION OF 1)
F8CRDZ	REAL	- CONTROL ROD DEAD ZONE (FRACTION OF 1)
RECORD 8201		
HODID *	INTEGER	- PPS/PCS MODULE IDENTIFIER
Z8CRIN	REAL	M INITIAL POSITION OF THE PRIMARY CONTROL RODS, MAY VARY FROM 0.0(FULLY INSERTED) TO
Z8CRIN (CONT.)		THE VALUE ASSIGNED Z8CRMX (FULLY WITHDRAWN)
Z8CRMX	REAL	M MAXIMUM INSERTION LIMIT OF THE PRIMARY CONTROL RODS
Z8SAT	REAL	M PRIMARY CONTROL ROD SATURATION POSITION
Z8LCR	REAL	M LOWER POSITION OF THE ROD BANK BEFORE THE NEXT BANK MOVEMENT BEGINS
Z8CRUP	REAL	M UPPER POSITION OF THE ROD BANK BEFORE THE NEXT BANK MOVEMENT BEGINS
U8CRDN	REAL	M/S PRIMARY CONTROL ROD DOWNWARD VELOCITY(NEGATIVE VALUE)
U8CRUP	REAL	M/S PRIMARY CONTROL ROD UPWARD VELOCITY(POSITIVE VALUE)
F8ROMX	REAL	* MAXIMUM REACTIVITY OF THE PRIMARY CONTROL ROD BANKS .
		* NOTE: A HODID IS A THREE(3) DIGIT CODE DESIGNED TO UNIQUELY IDENTIFY A PCS CONTROLLER. SINCE A CONTROL ROD BANK IS DEFINED WITH NEITHER SUB-SYSTEM NOR LOOP DEPENDENCIES, DIGITS ONE(1) AND THREE(3) ARE BY CONVENTION ALWAYS ASSIGNED A VALUE OF ZERO(0). THE REMAINING DIGIT (2) DESIGNATES THE BANK TO WHICH THE DATA IS ASSOCIATED. IT'S VALUE WILL RANGE FROM ONE(1) TO THE USER DEFINED MAXIMUM NUMBER OF CONTROL ROD BANKS (N8CBNK) WHICH IS FOUND ON RECORD 8001.
RECORD 8301		
HODID *	INTEGER	- PPS/PCS MODULE IDENTIFIER
M8MOTR	INTEGER	- MOTOR TYPE FLAG (0/1 , SQUIRREL CAGE / WOUND ROTOR)
N8POLE	INTEGER	- NUMBER OF PAIRS OF POLES FOR SQUIRREL CAGE TYPE MOTOR
Q8FRER	REAL	- HERTZ 100 PERCENT REFERENCE FREQUENCY OF THE MOTOR-GENERATOR SET
C8PCS	REAL	- CONSTANTS ASSOCIATED WITH THE PUMP DRIVE SYSTEM
C8ACT	REAL	- ACTUATOR CONSTANTS
F8HSPL	REAL	- PUMP HIGH SPEED LIMIT
R8MAX	REAL	OHMS MAXIMUM RESISTANCE OF THE LIQUID RHEOSTAT ACTUATOR
R8ROT	REAL	OHMS ROTOR RESISTANCE
U8SRPM	REAL	RPM SYNCHRONOUS SPEED OF THE SODIUM PUMPS
		* NOTE: A HODID IS A THREE(3) DIGIT CODE DESIGNED TO UNIQUELY IDENTIFY A PCS CONTROLLER. SINCE THERE IS ONLY ONE DRIVER PER PUMP AND ONE PUMP PER LOOP, THE SECOND DIGIT OF THE PUMP CONTROLLER HODID IS SUPERFLUOUS AND IS BY CONVENTION ALWAYS ASSIGNED A VALUE OF ZERO(0). THE FIRST DIGIT OF THE HODID CODE IS ASSIGNED ON A SUBSYSTEM BASIS. A PUMP DRIVER IN A PRIMARY HEAT TRANSPORT SYSTEM IS ASSIGNED A VALUE OF ONE(1) WHILE THE SECONDARY SYSTEM COUNTERPART IS ASSIGNED A VALUE OF TWO(2). THE PLANT LOOP IS IDENTIFIED BY THE HODID'S LAST DIGIT. IT'S RANGE OF VALID VALUES IS ONE(1) THROUGH THE MAXIMUM NUMBER OF LOOPS SIMULATED (N1LOOP).
RECORD 8400		
N8CSCD(i)	INTEGER	- NUMBER OF FLOW CONTROLLER CASCADES ASSOCIATED WITH EACH SUBSYSTEM/COMPONENT (i = 1,(4*N1LOOP+3))
N8CSCD (CONT.)		
		* NOTE: THE FOLLOWING CASCADE SEQUENCING IS ASSUMED;
		- PRIMARY HEAT TRANSPORT SYSTEM (ONE ENTRY FOR EACH LOOP),
		- SECONDARY HEAT TRANSPORT SYSTEM (ONE ENTRY FOR EACH LOOP),
		- FEEDWATER WATER PUMP (ONE ENTRY FOR EACH LOOP),
		- FEEDWATER VALVE (ONE ENTRY FOR EACH LOOP),
		- THROTTLE VALVE,
		- BYPASS VALVE,
		- RELIEF VALVE
RECORD 8401		
HODID *	INTEGER	- PPS/PCS MODULE IDENTIFIER
H8FLAG	INTEGER	- CONTROLLER MODE FLAG(0/1 ,AUTOMATIC/MANUAL)
F8GAIN	REAL	- CONTROLLER GAIN
F8REPT	REAL	1/S INTEGRAL CONTROLLER REPETITION RATE
C8TIME	REAL	S TIME CONSTANTS
F8RDLU	REAL	- INTEGRAL LIMITER(UPPER LIMIT)
F8ROLD	REAL	- INTEGRAL LIMITER(LOWER LIMIT)
F8DBND	REAL	- DEAD BAND (FRACTION OF 1)
X8PM	REAL	- MANUAL ADJUSTABLE SETPOINTS FOR CONTROLLERS
C8TIME	REAL	S TIME CONSTANTS

Figure 3-15 (Continued)

C8FP REAL - FLOW CONTROLLER PART-LOAD PROFILE COEFFICIENTS FOR LOAD DEPENDENT SET POINTS
 * NOTE: A MODID IS A THREE(3) DIGIT CODE DESIGNED TO UNIQUELY IDENTIFY A
 PCS CONTROLLER. THE FIRST DIGIT DENOTES THE SUBSYSTEM/COMPONENT. IT
 MAY ASSUME VALUES OF ONE(1) THROUGH EIGHT(8) IN ACCORDANCE WITH THE
 FOLLOWING DEFINITION:
 1 - PRIMARY HEAT TRANSPORT SYSTEM
 2 - SECONDARY HEAT TRANSPORT SYSTEM
 3 - FEEDWATER PUMP
 4 - FEEDWATER VALVE
 5 - THROTTLE VALVE
 6 - BYPASS VALVE
 7 - RELIEF VALVE
 8 - POWER CONTROLLER
 DIGIT TWO(2) IDENTIFIES A CASCADE WITHIN A SUBSYSTEM. IT IS ASSIGNED A
 VALUE OF ONE(1) TO A USER DEFINED MAXIMUM. FOR SUBSYSTEMS 1 THRU 7
 THIS MAXIMUM IS DEFINED BY A CORRESPONDING ENTRY ON THE 8400 RECORD. THE
 MAXIMUM NUMBER OF POWER CONTROLLERS (SUBSYSTEM 8) IS DEFINED ON RECORD 8001.
 THE PLANT LOOP IS IDENTIFIED BY THE LAST DIGIT OF THE MODID. IT'S RANGE
 IS ZERO(0) THROUGH THE MAXIMUM NUMBER OF LOOPS SIMULATED (NLOOP). A VALUE
 OF ZERO(0) IN THE THIRD DIGIT INDICATES NO LOOP DEPENDENCY. BY CONVENTION
 A ZERO(0) IS ALWAYS ASSIGNED TO THE THIRD DIGIT OF POWER CONTROLLER MODID.

RECORD 9001
 S9LAST REAL S TOTAL PROBLEM SIMULATION TIME
 S9MAXA REAL S MAXIMUM TIMESTEP ALLOWED
 S9MINA REAL S MINIMUM TIMESTEP ALLOWED
 S9SINT REAL S MASTER CLOCK INTERVAL AT WHICH A FULL DATA DUMP WILL OCCUR
 S9PINT(J) * REAL S MASTER CLOCK INTERVAL AT WHICH A SYSTEM REPORT WILL BE GENERATED (J = 1,5)
 S9CHNG(J) * REAL S TIME INTERVAL UPPER BOUND FOR WHICH CORRESPONDING S9PINT IS VALID (J = 1,5)
 * NOTE: THE INDEX "J" IS INCREMENTED OVER THE SET OF PAIRED POINTS.
 THAT IS, THE SEQUENCE IS S9PINT(1),S9CHNG(1),S9PINT(2),...,S9PINT(5),S9CHNG(5).

RECORD 9002
 F1EMXA REAL - RELATIVE ACCURACY ACCEPTANCE LIMIT FOR LOOP THERMAL CALCULATIONS
 F1WMXA REAL - RELATIVE ACCURACY ACCEPTANCE LIMIT FOR LOOP HYDRAULIC CALCULATIONS
 F5MAXA REAL - RELATIVE ACCURACY ACCEPTANCE LIMIT FOR FUEL CALCULATIONS
 F6MAXA REAL - RELATIVE ACCURACY ACCEPTANCE LIMIT FOR IN-VESSEL COOLANT CALCULATIONS

RECORD 9003
 F1ICDA REAL - RELATIVE INTERFACE CONDITION ACCEPTANCE LIMIT FOR LOOP HYDRAULIC CALCULATIONS
 F6ICDA REAL - RELATIVE INTERFACE CONDITION ACCEPTANCE LIMIT FOR IN-VESSEL COOLANT CALCULATIONS

RECORD 9004
 L1ECAL INTEGER - LOOP THERMAL OPTION; 1 - MODULE IS CALLED, 0 - MODULE IS NOT CALLED
 L1WCAL INTEGER - LOOP HYDRAULIC OPTION; 1 - MODULE IS CALLED, 0 - MODULE IS NOT CALLED
 L3CALL INTEGER - STEAM GENERATOR OPTION; 1 - MODULE IS CALLED, 0 - MODULE IS NOT CALLED
 L5CALL INTEGER - FUEL OPTION; 1 - MODULE IS CALLED, 0 - MODULE IS NOT CALLED
 L6CALL INTEGER - IN-VESSEL COOLANT OPTION; 1 - MODULE IS CALLED, 0 - MODULE IS NOT CALLED
 L8CALL INTEGER - PCS OPTION; 1 - MODULE IS CALLED, 0 - MODULE IS NOT CALLED

RECORD 9005
 L1EPRT INTEGER - LOOP THERMAL REPORT OPTION; 0 - NO REPORT, 1 - REPORT IS GENERATED
 L1WPRT INTEGER - LOOP HYDRAULIC REPORT OPTION; 0 - NO REPORT, 1 - REPORT IS GENERATED
 L3PRNT INTEGER - STEAM GENERATOR REPORT OPTION; 0 - NO REPORT, 1-4 - REPORT IS GENERATED WITH
 L3PRNT (CONT.) INTEGER CORRESPONDINGLY GREATER DETAIL
 L5PRNT INTEGER - FUEL REPORT OPTION; 0 - NO REPORT, 1 - REPORT IS GENERATED
 L6PRNT INTEGER - IN-VESSEL COLLANT REPORT OPTION; 0 - NO REPORT, 1 - REPORT IS GENERATED
 L8PRNT INTEGER - PPS/PCS REPORT OPTION; 0 - NO REPORT, 1 - REPORT IS GENERATED

RECORD 9008 *
 L90NPZ INTEGER - DUMP LABELLED COMMON BEFORE INITIALIZATION; 1 - YES, 0 - NO
 L90KPI INTEGER - DUMP LABELLED COMMON AFTER INITIALIZATION; 1 - YES, 0 - NO
 L9DMPL INTEGER - DUMP LABELLED COMMON AFTER LAST TIME STEP; 1 - YES, 0 - NO
 L9TBLD INTEGER - DUMP CONTAINER ARRAY TABLE INFORMATION; 1 - YES, 0 - NO
 * NOTE: THIS RECORD IS CURRENTLY VALID ONLY ON CDC INSTALLATIONS.

***** FILE TRNREG

RECORD 101
 S9LAST REAL S TOTAL PROBLEM SIMULATION TIME
 S9MAXA REAL S MAXIMUM TIMESTEP ALLOWED
 S9MINA REAL S MINIMUM TIMESTEP ALLOWED
 S9SINT REAL S MASTER CLOCK INTERVAL AT WHICH A FULL DATA DUMP WILL OCCUR
 S9PINT(J) * REAL S MASTER CLOCK INTERVAL AT WHICH A SYSTEM REPORT WILL BE GENERATED (J = 1,5)
 S9CHNG(J) * REAL S TIME INTERVAL UPPER BOUND FOR WHICH CORRESPONDING S9PINT IS VALID (J = 1,5)
 * NOTE: THE INDEX "J" IS INCREMENTED OVER THE SET OF PAIRED POINTS.
 THAT IS, THE SEQUENCE IS S9PINT(1),S9CHNG(1),S9PINT(2),...,S9PINT(5),S9CHNG(5).

RECORD 105
 L1EPRT INTEGER - LOOP THERMAL REPORT OPTION; 0 - NO REPORT, 1 - REPORT IS GENERATED
 L1WPRT INTEGER - LOOP HYDRAULIC REPORT OPTION; 0 - NO REPORT, 1 - REPORT IS GENERATED
 L3PRNT INTEGER - STEAM GENERATOR REPORT OPTION; 0 - NO REPORT, 1-4 - REPORT IS GENERATED WITH
 L3PRNT (CONT.) INTEGER CORRESPONDINGLY GREATER DETAIL
 L5PRNT INTEGER - FUEL REPORT OPTION; 0 - NO REPORT, 1 - REPORT IS GENERATED
 L6PRNT INTEGER - IN-VESSEL COLLANT REPORT OPTION; 0 - NO REPORT, 1 - REPORT IS GENERATED
 L8PRNT INTEGER - PPS/PCS REPORT OPTION; 0 - NO REPORT, 1 - REPORT IS GENERATED

Figure 3-15 (Continued)

***** FILE OPDAT
RECORD 3
T2IHXI * REAL K IHX INTERMEDIATE SODIUM INLET TEMPERATURE
T2IHXO * REAL K IHX INTERMEDIATE SODIUM OUTLET TEMPERATURE
W2LOOP * REAL KG/S SODIUM FLOW RATE IN SECONDARY LOOP
W2ACS REAL KG/S INITIAL SODIUM FLOW RATE IN IRACS PATH
W2AIR REAL KG/S INITIAL AIR FLOW RATE IN IRACS AIR COOLER

***** FILE TRNDAT
RECORD 8109
F81SF1 REAL PRIMARY LOOP FLOW RATE PPS SETTING (EQ. 2-7-1)
F81SF2 REAL PRIMARY LOOP FLOW RATE PPS SETTING (EQ. 2-7-1)

RECORD 8117
F82SF1 REAL SECONDARY LOOP FLOW RATE PPS SETTING (EQ. 2-7-3)
F82SF2 REAL SECONDARY LOOP FLOW RATE PPS SETTING (EQ. 2-7-3)

RECORD 8118
F82SF1 REAL NEUTRON FLUX CHANGE RATE PPS SETTING (EQ. 2-7-5)

RECORD 8119
F82SF1 REAL PRIMARY LOOP PUMP SPEED PPS SETTING (EQ. 2-7-6)
F82SF2 REAL PRIMARY LOOP PUMP SPEED PPS SETTING (EQ. 2-7-6)

Figure 3-16 Supplemented input data in PNC for SSC-L (file unit #5)

***** FILE VESSEL

FOR INTRA-ASSEMBLY HEAT TRANSFER MODEL

RECORD 39

N6INTR INTEGER CHANNEL NUMBER WHERE INTRA-ASSEMBLY HEAT
TRANSFER IS EVALUATED

FOR INTER-ASSEMBLY HEAT TRANSFER MODEL

RECORD 41

N6IND INTEGER NUMBER OF INDEPENDENT ASSEMBLIES
N6CLUS INTEGER NUMBER OF INTER-ASSEMBLY CLUSTERS

RECORD 42

NCL(L) INTEGER NUMBER OF CLUSTER (L=1, N6CLUS)
X5PITH(L) REAL ASEMBLY-TO-ASEMBLY PITCH (L=1, N6CLUS)

NOTE: DATA FOR THIS RECORD CONSISTS OF A SERIES
OF PAIRED POINTS. THE INDEX 'L' IS INCREMENTED
OVER THE SET OF ALL DATA REQUIRED. THAT IS:
NCL(1), X5PITH(1), NCL(2), X5PITH(2), ETC.

FOR TWO-DIMENSIONAL UPPER PLENUM MODEL

RECORD 26

L6UPOP INTEGER TWO-DIMENSIONAL UPPER PLENUM OPTION INDICATOR:
0-ONE REGION/TWO REGION MODEL (SEE TRNDAT 6001D)
1-TWO-DIMENSIONAL MODEL
N6I INTEGER NUMBER OF AXIAL COOLANT NODES IN UPPER PLENUM
N6J INTEGER NUMBER OF RADIAL COOLANT NODES IN UPPER PLENUM

Figure 3-17 Supplemented input data in BNL for SSC-L Cycle-42 (file unit #5). (The data is not necessary for Cycle-41.)

N6ICEL INTEGER NUMBER OF AXIAL COOLANT REGIONS IN UPPER PLENUM
N6JCEL INTEGER NUMBER OF RADIAL COOLANT REGIONS IN UPPER PLENUM
J6ILT INTEGER IN-FLOW BOUNDARY NODES FROM THE CORE
I6OLT INTEGER OUT-FLOW BOUNDARY NODES TO PRIMARY LOOP

Figure 3-17 Supplemented input data in BNL for SSC-L Cycle-42 (file unit #5). (The data is not necessary for Cycle-41.)

RECORD 35

KI(L) INTEGER REGION NUMBER IN AXIAL DIRECTION IN UPPER PLENUM
(L=1, N6ICEL)

I6CELL(L) INTEGER NUMBER OF AXIAL COOLANT NODES INCLUDED IN THE
REGION IN UPPER PLENUM (L=1, N6ICEL)

Z6UPLC(L) REAL AXIAL LENGTH OF THE REGION (L=1, N6ICEL)

NOTE: DATA FOR THIS RECORD CONSISTS OF A SERIES
OF PAIRED POINTS. THE INDEX 'L' IS INCREMENTED
OVER THE SET OF ALL DATA REQUIRED. THAT IS:
KI(1), I6CELL(1), Z6UPLC(1), KI(2), I6CELL(2),
Z6UPLC(2), ETC.

NOTE: THE LAST DATA, Z6UPLC(N6ICEL) IS CALCULATED
IN THE PROGRAM. INPUT 0 OR NEGATIVE VALUE.

RECORD 36

KJ(L) INTEGER REGION NUMBER IN RADIAL DIRECTION IN UPPER
PLENUM (L=1, N6JCEL)

J6CELL(L) INTEGER NUMBER OF RADIAL COOLANT NODES INCLUDED IN THE
REGION IN UPPER PLENUM (L=1, N6JCEL)

Z6UPRC(L) REAL RADIAL LENGTH OF THE REGION (L=1, N6JCEL)

Figure 3-17 (Continued)

NOTE: DATA FOR THIS RECORD CONSISTS OF A SERIES
OF PAIRED POINTS. THE INDEX 'L' IS INCREMENTED
OVER THE SET OF ALL DATA REQUIRED. THAT IS:
KJ(1), J6CELL(1), Z6UPRC(1), KJ(2), J6CELL(2),
Z6UPRC(2), ETC.

RECORD 37

L6CELL(L) INTEGER CORE CHANNEL NUMBER (L=1, N6CHAN+1)

IA(L) INTEGER IN-FLOW BOUNDARY NODE NUMBER CORRESPONDING TO
THE CORE CHANNEL NUMBERING (L=1, N6CHAN+1)

NOTE: DATA FOR THIS RECORD CONSISTS OF A SERIES

Figure 3-17 (Continued)

OF PAIRED POINTS. THE INDEX 'L' IS INCREMENTED
OVER THE SET OF ALL DATA REQUIRED. THAT IS:
L6CELL(1), IA(1), L6CELL(2), IA(2), ETC.

RECORD 38

A6AM1	REAL	M2 CROSS SECTION OF ABOVE CORE STRUCTURE
N6NM1	INTEGER	THE LAST NODE NUMBER OF THE ABOVE CORE STRUCTURE IN AXIAL DIRECTION
J6NM1	INTEGER	THE LAST NODE NUMBER OF THE ABOVE CORE STRUCTURE IN RADIAL DIRECTION
X6WTH	REAL	M THICKNESS OF THE REACTOR VESSEL WALL
A6PRTY	REAL	RATIO OF THE OUTLET NOZZLE CROS SECTION TO THE AREA OF THE CELL AT THE OUT-FLOW BOUNDARY NODE

Figure 3-17 (Continued)

3.3.2 SSC-L の入力データマニュアル（ファイル番号4）

2章に述べたSSC-Lの改良モデルのための入力データマニュアルを次ページ以下に示す。
入力データの例は、Figure 3-3, 3-10にある。

SSC-L入力データマニュアル（新規モデル追加分）

(1)原子炉容器カバーガス締切モデル

NAMELIST名 CGAS

変数名	単位	変数の意味	値
T6DELY	sec	原子炉容器カバーガス締切信号発生後、締切までの遅れ時間	4.0
Z6PBRK	m	配管破損信号（原子炉容器カバーガス締切信号）発生の設定値。炉心上端からの原子炉容器液位で与える。もんじゅでは($NsL (=6.0m) - 0.5$)mである。	5.5
DELVCG	m^3	原子炉容器カバーガス締切によって減少する体積。当初の体積とDELVCGの差が締切後のカバーガス体積となる。	60.0

(2)原子炉容器ガードベッセルモデル

NAMELIST名 GVMOD

IGVOPT	—	<p>原子炉容器ガードベッセル液位関数とガードパイプの選択オプション。</p> <p>IGVOPT=0 : ガードパイプ有り。液位関数は以下で表形式で入力する。</p> <p>IGVOPT=1 : ガードパイプ有り。液位関数はTRND ATで入力する2次関数（ガードベッセル）と以下で入力する2次関数（ガードパイプ）を用いる</p> <p>IGVOPT=2 : ガードパイプ無し。液位関数は以下で表形式で入力する。</p> <p>IGVOPT=3 : ガードパイプ無し。液位関数はTRND ATで入力する2次式を用いる。</p>	0
V1MIP	m^3	原子炉容器ガードパイプの参照高さまでの容積 IGVOPT=2, 3の場合には不用である。	2.0
F1GP1	m	原子炉容器ガードパイプの液位と容積の関係式の定数項 ($Z = a + bV + cV^2$ の a) IGVOPT=0, 2, 3の場合には不用である。	0.0
F1GP2	m^2	原子炉容器ガードパイプの液位と容積の関係式の1次の係数 ($Z = a + bV + cV^2$ の b) IGVOPT=0, 2, 3の場合には不用である。	0.6102
F1GP3	m^3	原子炉容器ガードパイプの液位と容積の関係式の2次の係数 ($Z = a + bV + cV^2$ の c) IGVOPT=0, 2, 3の場合には不用である。	0.0
Z1MAP	m	原子炉容器ガードパイプの最大高さ IGVOPT=2, 3の場合には不用である。	8.5
V1MAXP	m^3	原子炉容器ガードパイプの最大高さに相当する容積 IGVOPT=2, 3の場合には不用である。	15.93

DRGVG	m	原子炉容器ガードベッセル仕切り機構と原子炉容器のギャップ幅 IGVOPT=2, 3の場合には不用である。	0.032
DRGVID	m	原子炉容器ガードベッセル仕切り機構の内径。仕切り機構の圧損は次式で与えられる。 $\Delta P = W^2 / 2 \rho A^2$, $A = \pi \cdot DRGVG \cdot DRGVID$ IGVOPT=2, 3の場合には不用である。	0.89
GVPHT (K)	m	原子炉容器ガードベッセル参照位置からの高さ。各々の高さに対してガードベッセルとガードパイプの容積を与える。(K≤10) IGVOPT=1, 3の場合には不用である。	省略
GVVT (K)	m^3	参照位置からの高さ (GVPHT(K)) に対応する原子炉容器ガードベッセル容積。(K≤10) IGVOPT=1, 3の場合には不用である。	省略
GVPT (K)	m^3	参照位置からの高さに対応する原子炉容器ガードパイプ容積(K≤10) IGVOPT=1, 2, 3の場合には不用である。	省略

(3)原子炉容器下部プレナム多点モデル

NAMELIST名 LPMOD

L6LPLN	—	下部プレナム多点モデル選択オプション L6LPLN=0 : 一点近似モデル L6LPLN=1 : 多点近似モデル 一点近似モデルを用いる場合には以下の入力は不用である。	1
P6INHI	Pa	原子炉容器入口プレナムから高圧プレナムへの圧損	1.63E4
W6INHI	kg/sec	原子炉容器入口プレナムから高圧プレナムへの冷却材流量	4017.7
P6INLO	Pa	原子炉容器入口プレナムから低圧プレナムへの圧損	3.93E5
W6INLO	kg/sec	原子炉容器入口プレナムから低圧プレナムへの冷却材流量	249.0
P6HILO	Pa	高圧プレナムから低圧プレナムへの圧損	3.77E5
W6HILO	kg/sec	高圧プレナムから低圧プレナムへの冷却材流量	550.4

(4) 反応度フィードバックモデル

NAMELIST名 STRCT

L5SUPP	—	炉心支持板の熱膨張による反応度オプション L5SUPP=0 : 炉心支持板反応度を考慮しない L5SUPP=1 : 炉心支持板反応度を考慮する	1
L5STRC	—	構造物の熱的変形による反応度オプション L5STRC=0 : 構造物の熱変形による反応度を考慮しない L5STRC=1 : 構造物の熱変形による反応度を考慮する	1
F5SWGT (K)	$\Delta k/k$ /kg SS	構造物の熱的変形による反応度係数。構造物の単位質量当りの値を入力する。L5STRC=0の場合には不用 $(K=1, \sum_{n=1}^{N6CHAN} [N6LBLK(n)+N6AFUL(n)+N6UBLK(n)])$ 第1 チャンネルの下部プランケット最下端のノードから炉心燃料、上部プランケットの順にN6CHANチャンネルまで順番に入力する。 ($K \leq 300$)	省略

（略）

(5) 原子炉熱輸送系配管壁から周辺雰囲気への熱放散モデル

NAMELIST名 PWHR

L1PWHR	—	1次熱輸送系配管壁から周辺雰囲気への熱放散モデルオプション L1PWHR=0 : 周辺雰囲気への熱放散を考慮しない L1PWHR=1 : 周辺雰囲気への熱放散を考慮する	1
L2PWHR	—	2次熱輸送系配管壁から周辺雰囲気への熱放散モデルオプション L2PWHR=0 : 周辺雰囲気への熱放散を考慮しない L2PWHR=1 : 周辺雰囲気への熱放散を考慮する	1
Y1TI (K)	m	1次熱輸送系各配管要素の保温材の厚さ。L1PWHR=0 の場合には不用。(K=1, N1PIPE)	10*0.3
Y2TI (K)	m	2次熱輸送系各配管要素の保温材の厚さ。L2PWHR=0 の場合には不用。(K=1, N2PIPE)	10*0.3
T1A	K	1次熱輸送系周辺雰囲気(配管室)の初期温度 L1PWHR=0の場合には不用。	300
T2A	K	2次熱輸送系周辺雰囲気(配管室)の初期温度 L2PWHR=0の場合には不用。	300
F1EMXP	—	温度分布の収束計算の収束判定条件	1.0E-8
ITRMAX	—	温度分布の収束計算の反復回数上限値	50
F1BO	—	1次系雰囲気温度計算を行う場合の境界条件因子 L1PWHR=0の場合には不用。	0.0
F2BO	—	1次系雰囲気温度計算を行う場合の境界条件因子 L2PWHR=0の場合には不用。	0.0

B1GS	kg	1次系雰囲気（配管室）の気体の質量 L1PWHR=0の場合には不用。	290.0
B2GS	kg	2次系雰囲気（配管室）の気体の質量 L2PWHR=0の場合には不用。	290.0
C1KI0	W/m/K	熱輸送系保温材の熱伝導率の相関式の0次の係数 $k_0 = C_0 + C_1 T + C_2 T^2 + C_3 T^3$ の C_0 入力しない場合には省略値（0.003）とする	0.003
C1KI1	W/m/K ²	熱輸送系保温材の熱伝導率の相関式の1次の係数 $k_1 = C_0 + C_1 T + C_2 T^2 + C_3 T^3$ の C_1 入力しない場合には省略値（1.0E-4）とする	1.0E-4
C1KI2	W/m/K ³	熱輸送系保温材の熱伝導率の相関式の2次の係数 $k_2 = C_0 + C_1 T + C_2 T^2 + C_3 T^3$ の C_2 入力しない場合には省略値（0.0）とする	0.0
C1KI3	W/m/K ⁴	熱輸送系保温材の熱伝導率の相関式の3次の係数 $k_3 = C_0 + C_1 T + C_2 T^2 + C_3 T^3$ の C_3 入力しない場合には省略値（2.1E-10）とする	2.10 E-10
C1HI0	W — m ² K ^{5/4}	熱輸送系保温材と周辺雰囲気の対流熱伝達率の係数 $h_{conv} = C_0 \times (T_s - T_a) * C_1$ の C_0 入力しない場合には省略値（0.8512）とする	0.8512
C1HI1	—	熱輸送系保温材と周辺雰囲気の対流熱伝達率の係数 $h_{conv} = C_0 \times (T_s - T_a) * C_1$ の C_1 入力しない場合には省略値（0.25）とする	0.25
C1HI2	W — m ² K ⁴	熱輸送系保温材と周辺雰囲気の輻射熱伝達率の係数 $h_{rad} = C_3 \times (T_s^4 - T_a^4) / (T_s - T_a)$ の C_3 入力しない場合には省略値（2.3035E-9）とする	2.3035 E-9

(6)熱輸送系異常解析用モデル

NAMELIST名 NOIHX

変数名	単位	変数の意味	値
S9LOHS	sec	中間熱交換器での除熱源喪失を解析する場合に、伝熱チューブと2次系を断熱にする時刻。除熱源喪失を仮定しない場合には十分に大きい数を入れる。	1.0E8
S9PMSP	sec	強制循環崩壊熱除去運転時に於て、ポンモータの瞬時停止を仮定する場合に、その時刻を指定する。ポンモータ停止を仮定しない場合には十分に大きい数を入れる。	1.0E8
S9NOSG	sec	蒸気発生器での除熱源喪失を解析する場合に、伝熱チューブと水・蒸気系を断熱にする時刻。除熱源喪失を仮定しない場合には十分に大きい数を入れる。	1.0E8

(7)補助炉心冷却系(IRACS)モデル

NAMELIST名 ACS

T2AIRE	K	定格時（崩壊熱除去運転時）の空気冷却器入口空気温度	313.0
T2AORE	K	定格時（崩壊熱除去運転時）の空気冷却器出口空気温度	473.0
W2AREF	kg/sec	定格時（崩壊熱除去運転時）の空気冷却器空気流量	-93.1
T2NIREF	K	定格時（崩壊熱除去運転時）の空気冷却器入口ナトリウム温度	778.0
T2NORE	K	定格時（崩壊熱除去運転時）の空気冷却器出口空気リウム温度	598.0
W2NREF	kg/sec	定格時（崩壊熱除去運転時）の空気冷却器ナトリウム流量	65.28
P2AREF	Pa	定格時（崩壊熱除去運転時）の空気冷却器送風圧力 空気冷却器空気側の形状圧損係数の計算に使用する	2352.0
T2AIIC	K	初期条件（定格運転時）の空気冷却器入口空気温度	313.0
T2AOIC	K	初期条件（定格運転時）の空気冷却器出口空気温度	714.6
TAU2	sec	定格時（崩壊熱除去運転時）の空気冷却器スタックの時定数（=スタック容積／空気の体積流量）	0.4391
AOCROS (K)	m ²	空気冷却器での流路断面積 (K=1, 3) K=1 : 1次側流体（ナトリウム） K=2 : 2次側流体（空気） K=3 : 伝熱チューブ	0.0960 12.3 0.105
DOWET	m	流体と伝熱チューブのぬれぶち長さ (K=1, 2)	

(K)		K=1 : 1次側流体と伝熱チューブのぬれぶち長さ K=2 : 1次側流体と伝熱チューブのぬれぶち長さ	8.649 454.6
XONODE (K)	m	流体及び伝熱チューブのメッシュ長さ(K=1, 3)。ただし、メッシュ数は20に固定する。 K=1 : 1次側流路(ナトリウム)長さ/20 K=2 : 2次側流路(空気)長さ/20 K=3 : 伝熱チューブ長さ/20	0.8050 0.1623 0.8050
WTHICK	m	伝熱チューブ厚さ	0.0032
VOLVUM (I, J)	m ³	空気冷却器プレナム容積(I=1, 2), (J=1, 2) J=1 : ホットレグ側プレナム容積 J=2 : コールドレグ側プレナム容積 I=1 : 1次側流路(ナトリウム) I=2 : 2次側流体(空気) プレナムの輸送遅れや混合を考慮しない場合には0を入力しておく。	0.5516 7.2
H2STCK	m	空気冷却器のスタック高さ	11.0
A2STCK	m ²	空気冷却器のスタック断面積	5.147
F2STC1	—	空気冷却器空気側の圧損補正係数($f = f_R R e^m$ の m)ただし、 f_R は定格流量時の圧損係数	-0.316
S2DACS	sec	スクラム信号発生後のIRACS起動する時刻。通常の場合にはS2STRTと同じ値を入力する。この時刻にIRACS起動によってSG止め弁閉、ACS出口止め弁開が行われ、2次系の流路を変更する。IRACSを起動しない場合(SGで除熱)には十分に大きい数字を入れておく。	93.0
S2LOAF (K)	sec	LOADBA<0の場合にIRACSで断熱とする時刻。この時刻以降は、伝熱チューブと空気の熱伝達係数を0として解析を行う。(K=1, N1LOOP)	0.0

S2STRT (K)	sec	空気冷却器を起動する時刻。この時刻よりダンパーが開となり、自然通風流量の計算(N2ACSO=1, 3の時)強制通風流量の計算(N2ACSO=0, 2の時)を開始する。この時刻までは、定常計算で初期設定した流量で一定値とする。(K=1, N1LOOP)	0.0
N2ACSO	—	IRACS空気側の解析オプション N2ACSO=0 : 強制通風とする。空気流量を表形式で入力する。 N2ACSO=1 : 自然通風とする。 N2ACSO=2 : 空気冷却器出口ナトリウム温度を一定とする。ただし、一定値になるまでは強制通風とする。 N2ACSO=3 : 空気冷却器出口ナトリウム温度を一定とする。ただし、一定値になるまでは自然通風とする。	1
NTABLE	—	空気冷却器空気流量と入口温度の時刻歴データの数 量のデータはN2ACSO=0, 2の場合のみ必要である。	4
TIMTAB (K)	sec	時間データ(K=1, NTABLE)。	省略
FLWTAB (K)	kg/sec	空気流量データ(K=1, NTABLE)。初期空気流量は熱バランスが達成されるように計算される。	-0.1
TEMTAB (K)	K	空気入口温度データ(K=1, NTABLE)。	313.15
T2CNST	K	空気冷却器出口ナトリウム温度の設定値。N2ACSO=2, 3の場合のみ必要。	473.15
S2LHTS (K)	sec	熱輸送系の喪失(ポンプスティックによる流量喪失など)を解析する場合に、第Kループが喪失する時 刻。(K=1, N1LOOP)	1.0E8

F10RGN (K)	—	解析される非対称な各熱輸送系(N1LOOP)が代表している実際のループ数。これは、NALOOPのRecord 2で入力されるF1LUMP(K)と等しくなければならない。 (K=1, N1LOOP)	3.0
F1FINL (K)	—	時刻S2LHTS後に、第Kループの数をいくらにするか指定する。F1FINL(K)=0とすれば、第Kループには全く冷却材は流れない。(K=1, N1LOOP)	3.0
S2BVOP (K)	sec	特に、もんじゅの空気冷却器出口止め弁開失敗事象を解析するために、出口止め弁バイパス弁を設定した。バイパス弁を手動で開とする時刻を入力する。 (K=1, N1LOOP)	600.0
LOADBA (K)	—	IRACS出口における冷却材流路を選択する。また、空気冷却器の除熱喪失を設定する。(K=1, N1LOOP) LOADBA>0 : 空気冷却器より除熱される。 LOADBA<0 : 空気冷却器で伝熱チューブと空気の間を断熱とする。 LOADBA =1 : 出口止め弁の流路 LOADBA =2 : バイパス弁の流路(開度100%) LOADBA =3 : バイパス弁の流路	-1

(8)直接炉心冷却系(DRACS)モデル

NAMELIST名 DRACS

L1DRAC	—	直接炉心冷却系(DRACS)モデルのオプション L1DRAC=0 : DRACSループ無し L1DRAC=1 : DRACSループ有り	1
F1DLOP	—	DRACSのループ数（全ループ対称と仮定しており、非対称ループの解析はできない）	1.0
S1DRCS	sec	DRACSループを起動する時刻。DRACSループを起動させない方法は、ここで十分に大きい値を入力するかL1DRAC=0とするか、何れかを選択する。	1800.0
T1NAIR	K	定格時（崩壊熱除去運転時）の1次系ホットレグ（中間熱交換器入口）の温度	517.15
T1NAOR	K	定格時（崩壊熱除去運転時）の1次系コールドレグ（中間熱交換器出口）の温度	473.15
W1NAR	kg/sec	定格時（崩壊熱除去運転時）の1次系ナトリウム流量	34.44
T1NKCR	K	定格時（崩壊熱除去運転時）の2次系コールドレグ（中間熱交換器入口）の温度	462.15
T1NKR	K	定格時（崩壊熱除去運転時）の2次系ホットレグ（中間熱交換器出口）の温度	506.15
W1NKR	kg/sec	定格時（崩壊熱除去運転時）の2次系ナトリウム流量	34.17
T1AIR	K	定格時（崩壊熱除去運転時）の空気冷却器入口空気温度	313.15
T1AOR	K	定格時（崩壊熱除去運転時）の空気冷却器出口空気	415.15

温度			
W1AR	kg/sec	定格時（崩壊熱除去運転時）の空気冷却器空気流量	20.56
T1NAI	K	初期条件での（待機運転時）の1次系ホットレグ（中間熱交換器入口）の温度。負値を入力すれば上部プレナムの温度とする。	473.15
T1NAO	K	初期条件での（待機運転時）の1次系コールドレグ（中間熱交換器出口）の温度。負値を入力すれば下部プレナムの温度とする。	473.15
W1NA	kg/sec	初期条件での（待機運転時）の1次系ナトリウム流量	0.0
T1NKC	K	初期条件での（待機運転時）の2次系コールドレグ（中間熱交換器入口）の温度	473.15
T1NKH	K	初期条件での（待機運転時）の2次系ホットレグ（中間熱交換器出口）の温度	473.15
W1NK	kg/sec	初期条件での（待機運転時）の2次系ナトリウム流量	10.3
T1AI	K	初期条件での（待機運転時）の空気冷却器入口空気温度	313.15
T1AO	K	初期条件での（待機運転時）の空気冷却器出口空気温度	313.15
T1ST	K	初期条件での（待機運転時）の空気冷却器スタック出口空気温度	313.15
W1A	kg/sec	初期条件での（待機運転時）の空気冷却器空気流量	0.0
Z1UPL	m	炉心出口(Z6TCOR)からDRACSループへの入口までの	-0.275

		相対高さ（上向きを正とする）。自然循環力の計算に使用する。	
Z1NAH	m	DRACSループへの入口から中間熱交換器入口までの高低差。自然循環力の計算に使用する。	-4.07
Z1DHX	m	中間熱交換器1次側での入口と出口の高低差。自然循環力の計算に使用する。	3.40
Z1NAC	m	中間熱交換器出口からDRACSループからの出口までの高低差。自然循環力の計算に使用する。	0.54
Z1LPL	m	炉心入口(Z6BC0R)からDRACSループからの出口までの相対高さ（下向きを正とする）。自然循環力の計算に使用する。	4.09
Y1NAH	m	1次系ホットレグの全配管長。摩擦圧損の計算に使用する。	38.022
Y1NAC	m	1次系コールドレグの全配管長。摩擦圧損の計算に使用する。	61.491
X1NA	m	1次系配管の内直径。摩擦圧損の計算に使用する。	0.1023
N1EMPD	—	1次系電磁ポンプヘッドの時刻歴データの数	4
T1EMPD (K)	sec	1次系ポンプヘッドを定義する時刻データ。 (K=1, N1EMPD)。	9999.0
P1EMPD (K)	—	1次系ポンプヘッドの定格値に対する相対値 (K=1, N1EMPD)	1.0
P1FCD	N/m ²	1次系流量調節機構の圧力損失。	0.0
F1DRK	m ⁻⁴	DRACS 1次系の形状圧力損失係数または圧力損失。 F1DRK>0 : 圧損が未知で圧損係数が既知の場合。	0.0

	—	$\Delta P = f W^2 / 2 \rho \quad (\text{N/m}^2)$ の f を入力する。 F1DRK=0 : 定格運転時の流量と温度から圧損を計算し、ポンプ吐出圧との差から f を決定する。 F1DRK<0 : ΔP が既知の場合であり、 $-\Delta P$ を入力する。 f は上式より計算される。	
P1REFP	N/m ²	定格運転時の 1 次系電磁ポンプ吐出圧。F1DRK≠0の場合には f あるいは ΔP を用いて計算される。	211327
Z1NKH	m	中間熱交換器 2 次側出口から空気冷却器ナトリウム入口（ホットレグ側）までの高低差。自然循環力の計算に使用する。	15.651
Z1NHX	m	空気冷却器ナトリウム側での入口と出口の高低差。自然循環力の計算に使用する。	2.20
Z1NKC	m	空気冷却器ナトリウム側出口から中間熱交換器 2 次側入口（コールドレグ側）までの高低差。自然循環力の計算に使用する。	17.281
Y1NKH	m	2 次系ホットレグの全配管長。摩擦圧損の計算に使用する。	48.531
Y1NKC	m	2 次系コールドレグの全配管長。摩擦圧損の計算に使用する。	64.999
X1NK	m	2 次系配管の内直径。摩擦圧損の計算に使用する。	0.1023
N2EMPD	—	2 次系電磁ポンプヘッドの時刻歴データの数	4
T2EMPD (K)	sec	2 次系ポンプヘッドを定義する時刻データ。 (K=1, N2EMPD)。	9999.0
P2EMPD	—	2 次系ポンプヘッドの定格値に対する相対値	1.0

(K)		(K=1, N2EMPD)。	
F1DRNK	m^{-4} — N/m^2	DRACS 2 次系の形状圧力損失係数または圧力損失。 F1DRNK>0 : 圧損が未知で圧損係数が既知の場合。 $\Delta P = f W^2 / 2 \rho \quad (N/m^2)$ の f を入力する。 F1DRNK=0 : 定格運転時の流量と温度から圧損を計算し、ポンプ吐出圧との差から f を決定する。 F1DRNK<0 : ΔP が既知の場合であり、 $-\Delta P$ を入力する。 f は上式より計算される。	0.0
P2REFP	N/m^2	定格運転時の 2 次系電磁ポンプ吐出圧。F1DRK≠0 の場合には f あるいは ΔP を用いて計算される。	352878
A1DHX	m^2	中間熱交換器胴側（1 次側）流路断面積	0.11
X1DHSL	m	中間熱交換器胴側（1 次側）等価水力直径	0.029
Y1KNI	m	中間熱交換器伝熱チューブの内直径	0.0191
Y1KNO	m	中間熱交換器伝熱チューブの外直径	0.0217
C1NTB	m	中間熱交換器伝熱チューブの本数	174
STAUN	sec	中間熱交換器胴側（1 次側）の時定数 (= 1 次側容積 / 1 次側体積流量率)	31.6
STAUK	sec	中間熱交換器チューブ側（2 次側）の時定数 (= 2 次側容積 / 2 次側体積流量率)	14.778
Y1DHTB	m	中間熱交換器伝熱チューブの長さ	3.830
Z1STAK	m	空気冷却器スタック高さ。自然循環送風ヘッドの計算に使用する。	15.1

A1STAK	m^2	空気冷却器スタック内流路断面積。	3.61
N1FANH	—	空気冷却器ファン送風ヘッドの時刻歴データの数	4
T1FANH (K)	sec	空気冷却器ファン送風ヘッドを定義する時刻データ (K=1, N1FANH)。	99999.
P1FANH (K)	N/m^2	空気冷却器ファン送風ヘッドの定格値に対する相対 値 (K=1, N1FANH)。	1.0
F1STAK	—	空気冷却器の空気側圧力損失係数または圧力損失。 F1STAK>0 : 圧損が未知で圧損係数が既知の場合。 $\Delta P = f W^2 / 2 \rho A^2 \quad (\text{N}/\text{m}^2)$ の f を入力する。 (A=A1STAK) F1STAK=0 : 定格運転時の流量と温度から圧損を計 算し、ファンの送風ヘッドとの差から f を決定する。 F1STAK<0 : ΔP が既知の場合であり、 $-\Delta P$ を入 力する。 f は上式より計算される。	0.0
P2FANO	N/m^2	定格運転時の空気冷却器ファンの送風ヘッド。ただ しF1STAK=0の場合のみ入力すればよい。他の場合にはサブルーチンSTAK1Sで計算される。	0.0
A1NHTB	m^2	空気冷却器伝熱チューブの総断面積（伝熱チューブ 1本当り断面積×伝熱チューブの本数）	0.0251
X1NHTB	m	空気冷却器伝熱チューブの内直径	0.0276
S1TAU	sec	空気冷却器チューブ側（ナトリウム側）の時定数 (= 2次側容積 / 2次側体積流量率)	18.668
Y1NHTB	m	空気冷却器伝熱チューブの長さ	22.23
N1DAMP	—	空気冷却器ダンパーの数 (N1DAMP=N1DCOS+N1DFIN)	8

N1DCOS	—	空気冷却器粗調整ダンパーの数	6
N1DFIN	—	空気冷却器微調整ダンパーの数	2
R1AREA	—	空気冷却器ダンパー全閉時の全開時に対する流路断面積の相対値	0.05
R1DCOS	—	空気冷却器粗調整ダンパーの開度($0 < R1DCOS < 1$)	1.0
R1DFIN	—	空気冷却器微調整ダンパーの開度($0 < R1DFIN < 1$)	1.0
L1DRCS	—	DRACS 1 次系ループホットレグ配管のメッシュ分割数。	6
N1DRCS	—	DRACS 1 次系ループ全配管のメッシュ分割数。	21
L2DRCS	—	DRACS 2 次系ループホットレグ配管のメッシュ分割数。	11
N2DRCS	—	DRACS 2 次系ループ全配管のメッシュ分割数。	23
G1DRCS (K, J)	m m m	DRACS 1 次系ループ配管系の形状データ。 (J = 1, N1DRCS) K=1 : 配管の肉厚 K=2 : 配管メッシュの長さ K=3 : 配管メッシュの高低差	省略
G2DRCS (K, J)	m m m	DRACS 2 次系ループ配管系の形状データ。 (J = 1, N2DRCS) K=1 : 配管の肉厚 K=2 : 配管メッシュの長さ K=3 : 配管メッシュの高低差	省略

(9)配管破損モデル

NAMELIST名 SBRK

ISBRK	—	配管小漏洩モデルを用いるかのオプション ISBRK=1 : 小漏洩モデルを使用する ISBRK=0 : オリジナルモデルを使用する	1
WBSTOP	kg/sec	計算時間節約のため、漏洩流量がWBSTOP以下に達したら、漏洩が停止したと仮定して計算を進める	0.1

(10)全炉心集合体間熱移行モデル

NAMELIST名 ISAHT

ANF(K)	—	チャンネル間で接触している、6角ラッパー管の面の数。集合体間熱移行の伝熱面積の計算に用いる。 7クラスター モデルの場合には不用。(K=1, N6CHAN)	省略
--------	---	---	----

3.3.3 SSC-L の実行方法

SSC-L のサイクル 41 と 42 のファイルシステムを Table 3-2 に示す。ここに示すロードモジュールを用いて SSC-L を実行することが可能である。この場合には、最初の実行では Figure 3-18 に示す JCL を使用する。リスタート実行では Figure 3-19 に示される JCL を用いる。この例では、ロードモジュールは T107D.SSCL.LOAD(CY42)、リスタート用のデータを書き込むファイル名は、SSCRST1.DATA である。3.4 節に後述する計算結果の図形出力のためのデータファイル名は SSCPLT1.DATA である。

ソースリストを変更して利用する場合には、Figure 3-20 の JCL を用いて新しくロードモジュールを作成する。この例では、T107D.SSCL.CS.DATA(TSTEP) が変更内容が含まれるコレクションセットである。作成されるロードモジュール名は T107D.SSCL.LOAD(TSTEP) である。

Table 3-2 File system for SSC-L PNC version (Cycle-41, Cycle-42)

SSC-L version	SSC-L Cycle 41	SSC-L Cycle 42
Fortran Source List (PO)	T107D.SSCL41.PM2.PO.FORT	T107D.SSCL42.PM1.PO.FORT
Fortran Source List (PS)	T107D.SSCL41.PM2.PS.FORT	T107D.SSCL42.PM1.PS.FORT
Program Library	T107D.SSCL41.PM2.OPL	T107D.SSCL42.PM1.OPL
Load Module	T107D.SSCL41.LOAD(PM2)	T107D.SSCL42.LOAD(PM1)

3.4 SSC-L 計算結果の図形出力

SSC-L の計算結果は一般に膨大な量になるため、状況に応じて興味あるデータを選択して検討することが必要になる。そこで、重要なパラメータを図形に出力するプログラムを作成した。使用方法は、SSC-L の実行後に Figure 3-21 に示す JCL を実行すればよい。ただし、SSC-L 実行時に SSCPLT1.DATA を作成しておく必要がある。

図形処理プログラムを実行するときに、入力データが必要である。このマニュアルを以下に示す。なお、この図形処理プログラムを対話型で実行することも可能である。入力データの例は、Figure 3-22 に示す。

```

//T107DSSC JOB ( ),START,MSGCLASS=X,MSGLEVEL=(2,1),NOTIFY=T107D,      00010045
//          ATTR=(T3,C5,W4)          00020000
//*****                                         00030000
//SSCGO EXEC PGM=CY42          00040000 ロードモジュール名
//STEPLIB DD DSN=T107D.SSCL.LOAD,DISP=SHR      00050000 ロードモジュール名
//FT04F001 DD DSN=T107D.SSCL.L0PI2.DATA(NL0PI),DISP=SHR      00060048 入力データ
//FT05F001 DD DSN=T107D.SSCL.L0PI2.DATA(N13C2D),DISP=SHR      00070048 入力データ
//FT06F001 DD SYSOUT=**          00080029 入力データ
//* FT06F001 DD DUMMY          00090029
//FT07F001 DD DSN=&&WORKKF7,UNIT=WORK,SPACE=(TRK,(10,2)),      00100000
//          DISP=(NEW,DELETE),      00110000
//          DCB=(LRECL=80,BLKSIZE=3200,RECFM=F0)
//FT08F001 DD UNIT=WORK,SPACE=(TRK,(10,2)),      00120000
//          DCB=(LRECL=137,BLKSIZE=2740,RECFM=F0A)      00130002
//FT09F001 DD UNIT=WORK,SPACE=(TRK,(10,2))      00140002
//FT10F001 DD UNIT=WORK,SPACE=(TRK,(10,2))      00150000
//FT60F001 DD DSN=T107D.SSCLRST1.DATA,DISP=SHR      00160000 リスタート用データファイル
//FT73F001 DD DSN=T107D.SSCLPLT1.DATA,DISP=SHR      00170000 プロット出力用データファイル
//FT81F001 DD DUMMY          00180000
//FT97F001 DD SYSOUT=**          00191027
//FT98F001 DD DUMMY          00200017
//FT99F001 DD SYSOUT=**          00210017
//* FT99F001 DD DUMMY          00220039
//          00230039
//          00240000
//*

```

Figure 3-18 The job control card for the first execution of SSC-L.

```

//T107DSSC JOB ( ),R.START,MSGCLASS=X,MSGLEVEL=(2,1),NOTIFY=T1070,      00010062
//          ATTR=(T3,C5,W4)                                              00020001
//*****EXEC PGH=CY42                                              00030000
//SSCGO EXEC PGH=CY42                                              00040001 ロードモジュールメンバー名
//STEPLIB DD DSN=T107D.SSCL.LOAD,DISP=SHR                         00050001 ロードモジュールファイル名
//FT04F001 DD DSN=T107D.SSCL.LOP12.DATA(NLOPI),DISP=SHR           00060062 入力データ
//FT05F001 DD DSN=T107D.SSCL.LOP12.DATA(N13R8),DISP=SHR           00070062 入力データ
//FT06F001 DD SYSOUT=*                                             00080042
//# FT06F001 DD DUMMY                                            00090042
//FT07F001 DD DSN=&&WORKF7,UNIT=WORK,SPACE=(TRK,(10,2)),        00100000
//          DISP=(NEW,DELETE),                                         00110000
//          DCB=(LRECL=80,BLKSIZE=3200,RECFM=FB)                      00120000
//FT08F001 DD UNIT=WORK,SPACE=(TRK,(10,2)),                        00130000
//          DCB=(LRECL=137,BLKSIZE=2740,RECFM=FBA)                     00140000
//FT09F001 DD UNIT=WORK,SPACE=(TRK,(10,2))                         00150000
//FT10F001 DD UNIT=WORK,SPACE=(TRK,(10,2))                         00160000
//# WRITE FILE                                                       00170000
//FT60F001 DD DSN=T107D.SSCLRST1.DATA,DISP=SHR                   00180001 書き込み用リストアファイル
//# READ FILE                                                       00190000
//FT70F001 DD DSN=T107D.SSCLRST1.DATA,DISP=M00                    00200001 読み込み用リストアファイル
//FT73F001 DD DSN=T107D.SSCLPLT1.DATA,DISP=M00                  00210001 カット出力用データファイル
//FT97F001 DD SYSOUT=*                                             00220017
//FT98F001 DD DUMMY                                              00230000
//FT99F001 DD SYSOUT=*                                             00240055
//# FT99F001 DD DUMMY                                            00250000
//
```

Figure 3-19 The job control card for the re-start execution of SSC-L.

```

//T107DSSC JOB ,LHD42,MSGCLASS=X,MSGLEVEL=(2,1),NOTIFY=T107D,          00010008
//          ATTR=(T2,C1,W3)                                         00020038
//*****                                                       00030012
//HIST1 EXEC PGM=HISTOR
//STEPLIB DD DSN=SYS9.HISTOR.LOAD,DISP=SHR                      00041034
//FT05F001 DD DNAME=HIST                                         00050034
//          DD DSN=T107D.SSCL.CS.DATA(TSTEP),DISP=SHR,LABEL=(,,IN) 00060012
//*****                                                       00075019 変更用コレクションセット
//          DD DUMMY                                         00080012
//FT06F001 DD DSN=T107D.HIST.OUTLIST,DISP=SHR                  00090012
//FT21F001 DD DSN=T107D.SSCL42.OPL,DISP=SHR                  00100007 ヒストリアン出力ファイル
//FT22F001 DD UNIT=WORK,SPACE=(CYL,(4,1)),DISP=NEW           00110000 Old Program Library
//          DSN=&DATA1,                                         00120012
//          DCB=(LRECL=4080,BLKSIZE=4080,RECFM=FB)             00130012
//FT23F001 DD UNIT=WORK,SPACE=(CYL,(5,10)),DISP=(NEW,PASS),   00140012
//          DSN=&COMP,                                         00150012
//          DCB=(BLKSIZE=3520,LRECL=80,RECFM=FB)             00160012
//FT25F001 DD UNIT=WORK,SPACE=(TRK,(5,5)),DISP=NEW           00170012
//FT26F001 DD DUMMY                                         00180012
//FT27F001 DD UNIT=WORK,SPACE=(CYL,(5,10)),DISP=NEW           00190012
//HIST  DD *,DCB=BLKSIZE=3520                                00200012
HISTORIAN(P,N,3,8)
#ID,TEST
//*****                                                       00210012
//          DD DUMMY                                         00220012
//          DSN=&DATA1,                                         00230012
//*****                                                       00240012
//FORT  EXEC PGM=JZKAFORT,
//          PARM=('GOSTMT,ALC,BYNAME,AUTODBL(15337)',        00250012
//          'TERM,ISN(D),S')                                     00260005
//SYSUT1  DD UNIT=WORK,SPACE=(2048,(20,10))                 00270012
//SYSUT2  DD UNIT=WORK,SPACE=(2048,(20,10))                 00280012
//SYSIN   DD DSN=&COMP,DISP=(OLD,DELETE)                   00290012
//SYSLIN  DD DSN=&OBJCT,SPACE=(CYL,(15,3)),DISP=(NEW,PASS), 00300012
//          DCB=BLKSIZE=3200,UNIT=WORK                         00310012
//* SYSPRINT DD DUMMY                                      00320012
//SYSPRINT DD DSN=T1070.FORT.OUTLIST,DISP=SHR               00330007 コンパイラ出力ファイル
//SYSTEMH DD SYSOUT=*
//*****                                                       00340012
//*****                                                       00350012
//LKED  EXEC PGM=JQAL,
//          PARM='LINECOUNT=78,LET,MAP,LIST,SIZE=500K'          00360012
//SYSUT1  DD UNIT=WORK,SPACE=(CYL,(5,5))                   00370012
//SYSLIB  DD DSN=SYS1.FORTLIB,DISP=SHR                   00380012
//          DD DSN=SYS9.CENTER.LOAD,DISP=SHR                00390012
//SYSLMOD DD DSN=T107D.SSCL.LOAD,DISP=SHR               00400012 新ロードモジュールファイル名
//SYSLIN  DD DSN=&OBJCT,DISP=(OLD,DELETE)                 00410021
//          DD DDNAME=SYSIN                                 00420012
//* SYSPRINT DD DUMMY                                      00430012
//SYSPRINT DD SYSOUT=*
//SSCLMOD DD DSN=T107D.SSCL.LOAD,DISP=SHR               00440012 標準ロードモジュール(Table3-2)
//SYSIN   DD *
INCLUDE SSCLMOD(CY42)
ENTRY MAIN
NAME TSTEP(R)
/*
//          DD *                                             00450012
//          DNAME=MAIN,DISP=SHR,UNIT=WORK,SPACE=(CYL,(1,1))  00460020 標準ロードモジュールメンバー名
//          DD *                                             00470012
//          DNAME=MAIN,DISP=SHR,UNIT=WORK,SPACE=(CYL,(1,1))  00480013 新ロードモジュールメンバー名
//          DD *                                             00490012
//          DNAME=MAIN,DISP=SHR,UNIT=WORK,SPACE=(CYL,(1,1))  00500019
//          DD *                                             00510012
//          DNAME=MAIN,DISP=SHR,UNIT=WORK,SPACE=(CYL,(1,1))  00520012

```

Figure 3-20 The job control card for a new load module creation.

(1) S S C - L 図形出力用入力データ作成マニュアル

行数	変数名	書式	変数の説明
1	LTP(2)	20A4	タイトル（80文字以内）、出力各ページのヘッドノート
2	LXOPT LFIGS	FF*	横（時間）軸の単位 LXOPT=1 : 秒 LXOPT=2 : 分 LXOPT=3 : 時間 LXOPT=4 : 常用対数（Log（秒）） 1ページに描かれるグラフの数 LFIGS=1 : 1ページ1枚 LFIGS=2 : 1ページ2枚 LFIGS=3 : 1ページ3枚 LFIGS=4 : 1ページ4枚
3	ANSX	A1	横（時間）軸のスケール設定オプション ANSX=Y : 自動設定（最大値と最小値から自動的にスケールを設定する） ANSX=N : ユーザー入力（ユーザーが指定する）
4	TIN(4)	FF	横（時間）軸指定パラメータ、ANSX=Nの場合のみ入力する TIN(1) : 横軸の始点（最小値） TIN(2) : 横軸の目盛り幅 TIN(3) : 横軸の目盛りによる分割数 (TIN(1)+TIN(2)*TIN(3)が横軸の最大値となる) TIN(4) : 横軸の目盛り数字の小数点以下桁数
5	NGRAPH	I5	全グラフ数
6	NLINE	I5	n枚目のグラフに描かれる線の数
7	NIDEN(K)	16I5	n枚目のグラフのK本目の線種のデータ (K=1, NGRAPH)。後に、「作図するパラメータの指定の方法」で説明する。

8	ANSY	A1	n枚目のグラフの縦軸のスケール設定オプション ANSY= Y : 自動設定（最大値と最小値から自動的にスケールを設定する） ANSY= N : ユーザー入力（ユーザーが指定する）
9	TIN(4)	FF	n枚目のグラフの縦軸指定パラメータ、ANSY=Nの場合のみ入力する TIN(1) : 縦軸の始点（最小値） TIN(2) : 縦軸の目盛り幅 TIN(3) : 縦軸の目盛りによる分割数 (TIN(1)+TIN(2)*TIN(3)が縦軸の最大値となる) TIN(4) : 縦軸の目盛り数字の小数点以下桁数
10	KL KY	2I5	n枚目のグラフのタイトルの文字数 n枚目のグラフの縦軸のタイトルの文字数
11	LTL	20A4	n枚目のグラフのタイトル（80文字以内）
12	LTLY	20A4	n枚目のグラフの縦軸のタイトル（80文字以内）
以上、6行から12行をNGRAPH回繰り返す			

Note * Free Formatで入力する。

(2) 作図するパラメタの指定の方法

1000位 以下の付表中の大分類を示す。

100位 ループ番号或はチャンネル番号を16進数で入力する。大分類2、6、7の変数はループ依存であるため、ループ番号を指定する。大分類4の変数は、炉心チャンネル依存であるため、チャンネル番号を指定する。大分類1、3、5、8の変数に関しては、この数字は意味を持たないので、0を入れておけばよい。なお、チャンネル数は10以上の場合にはA、B、Cなど(16進数)を入力する。

10位と1位 以下の付表中の小分類を示す。

(例1)

第2 ループの IHX 1 次系側出口温度を図形出力したい場合には

2 2 0 4

と入力する。

(例2)

第5 チャンネルの集合体出口冷却材温度を図形出力したい場合には

4 5 0 3

と入力する。

(例3)

第1 3 チャンネルの集合体出口冷却材温度を図形出力したい場合には

4 5 D 3

と入力する。

(例4)

DRACS ループの 1 次系冷却材全流量を図形出力したい場合には

3 0 1 6

と入力する。

付表 作図するパラメータの指定方法

大分類	小分類	変数	単位
1	1	原子炉炉心全出力（定格出力に対する相対値）	—
	2	原子炉炉心核分裂出力（定格出力に対する相対値）	—
2	1	原子炉容器入口温度	°C
	2	原子炉容器出口温度	°C
	3	中間熱交換器（IHX）1次系側入口（ホットレグ）温度	°C
	4	中間熱交換器（IHX）1次系側出口（コールドレグ）温度	°C
	5	中間熱交換器（IHX）2次系側入口（コールドレグ）温度	°C
	6	中間熱交換器（IHX）2次系側出口（ホットレグ）温度	°C
	7	蒸気発生器（SG）ナトリウム側入口（ホットレグ）温度	°C
	8	蒸気発生器（SG）ナトリウム側出口（コールドレグ）温度	°C
	9	補助炉心冷却系（IRACS）ナトリウム側入口（ホットレグ）温度	°C
	10	補助炉心冷却系（IRACS）ナトリウム側出口（コールドレグ）温度	°C
	11	補助炉心冷却系（IRACS）空気側入口温度	°C
	12	補助炉心冷却系（IRACS）空気側出口温度	°C
	13	補助炉心冷却系（IRACS）空気側スタック温度	°C
3	1	原子炉容器下部プレナム冷却材温度	°C
	2	原子炉容器上部プレナムA（上部）領域冷却材温度	°C
	3	原子炉容器上部プレナムB（下部）領域冷却材温度	°C
	4	直接炉心冷却系（DRACS）1次系原子炉容器出口（ホットレグ）温度	°C
	5	直接炉心冷却系（DRACS）1次系中間熱交換器入口（ホットレグ）温度	°C
	6	直接炉心冷却系（DRACS）1次系中間熱交換器出口（コールドレグ）温度	°C
	7	直接炉心冷却系（DRACS）1次系原子炉容器入口（コールドレグ）温度	°C
	8	直接炉心冷却系（DRACS）2次系中間熱交換器出口（ホットレグ）温度	°C

	9	直接炉心冷却系（D R A C S）2次系空気冷却器ナトリウム側入口（ホットレグ）温度	°C
	10	直接炉心冷却系（D R A C S）2次系空気冷却器ナトリウム側出口（コールドレグ）温度	°C
	11	直接炉心冷却系（D R A C S）2次系中間熱交換器入口（コールドレグ）温度	°C
	12	直接炉心冷却系（D R A C S）2次系空気冷却器空気側入口（コールドレグ）温度	°C
	13	直接炉心冷却系（D R A C S）2次系空気冷却器空気側出口（ホットレグ）温度	°C
	14	直接炉心冷却系（D R A C S）2次系空気冷却器空気側スタック温度	°C
	15	直接炉心冷却系（D R A C S）1次系冷却材流量（1ループ当たり）	kg/s
	16	直接炉心冷却系（D R A C S）1次系冷却材流量（全ループ合計）	kg/s
	17	直接炉心冷却系（D R A C S）2次系冷却材流量（1ループ当たり）	kg/s
	18	直接炉心冷却系（D R A C S）2次系空気冷却器空気流量（1ループ当たり）	kg/s
4	1	炉心各チャンネル冷却材流量	kg/s
	2	炉心各チャンネル冷却材比流量（チャンネル流量／全流量）	—
	3	炉心各チャンネル集合体出口冷却材温度	°C
5	1	全炉心冷却材流量	kg/s
	2	原子炉容器カバーガス圧力	Pa
	3	原子炉容器冷却材液位	m
	4	ガードベッセル冷却材液位	m
	5	ガードパイプ冷却材液位	m
	6	破損口からの冷却材流出流量	kg/s
6	1	1次主冷却系冷却材流量（炉容器出口～ポンプタンク）	kg/s
	2	1次主冷却系冷却材流量（ポンプタンク～炉容器入口）	kg/s
	3	1次主冷却系冷却材流量（配管破損部下流側）	kg/s

7	1	2次主冷却系冷却材流量 (I H X～ポンプタンク)	kg/s
	2	2次主冷却系冷却材流量 (ポンプタンク～I H X)	kg/s
	3	2次主冷却系冷却材流量 (配管破損部下流側)	kg/s
	4	2次主冷却系冷却材流量 (I R A C S 冷却材流量)	kg/s
	5	2次主冷却系冷却材流量 (S G 冷却材流量)	kg/s
	6	補助炉心冷却系空気冷却器空気流量	kg/s
8	1	主炉停止系制御棒による投入反応度	\$
	2	後備炉停止系制御棒による投入反応度	\$
	3	コールドシャットダウンマージン (一定値)	\$
	4	主炉停止系スタックロッドの制御棒価値 (一定値)	\$
	5	主炉停止系スタックロッドの制御棒価値 (一定値)	\$
	6	全フィードバック反応度	\$
	7	外部投入反応度	\$
	8	全投入反応度	\$
	9	ドップラー反応度	\$
	10	冷却材ボイド反応度	\$
	11	燃料軸方向膨張による反応度 (合計)	\$
	12	燃料軸方向膨張による反応度 (燃料密度効果)	\$
	13	燃料軸方向膨張による反応度 (形状効果)	\$
	14	炉心支持板膨張効果による反応度 (合計)	\$
	15	炉心支持板膨張効果による反応度 (冷却材密度効果)	\$
	16	炉心支持板膨張効果による反応度 (燃料密度効果)	\$
	17	炉心支持板膨張効果による反応度 (構造材密度効果)	\$
	18	炉心支持板膨張効果による反応度 (形状効果)	\$
	19	構造材膨張効果による反応度 (合計)	\$
	20	構造材膨張効果による反応度 (被覆管軸方向膨張効果)	\$
	21	構造材膨張効果による反応度 (被覆管径方向膨張効果)	\$
	22	構造材膨張効果による反応度 (ラッパー管軸方向膨張効果)	\$

```
//T107DSSC JOB ( ),PLOT,MSGCLASS=X,MSGLEVEL=(2,1),NOTIFY=T107D,      00010051
//          ATTR=(T0,C4,W3)          00020053
//*****                                         00030000
//FISPLG EXEC PGM=SSCPH                      00040015
//STEPLIB  DD DSN=T1076.GRAPH.LOAD,DISP=SHR    00050015
//FT05F001 DD DSN=T107D.SSCL.GRAPH.DATA(LOPI),DISP=SHR   00060051 入力データ
//FT06F001 DD SYSOUT=*                         00070000
//FT11F001 DD DSN=T107D.SSCLPLT1.DATA,DISP=SHR    00080054 プロット用データ
//GDFILE  DD SYSOUT=U                          00090059
//PLOTPRM DD DUMMY                           00100000
//PLOTLOG DD SYSOUT=*                         00110000
//                                         00120000
//
```

Figure 3-21 The job control card for the plotting of SSC-L results.

```
SSC-L CY42 VERIFY TEST (LOPI)
1,4
H
0.0,100.0,3.0,1.0
31
2
1001 1002
N
0.0,0.2,6.0,1.0
17 14
1 REACTOR POWER
RELATIVE POWER
2
2101 2102
N
0.0,100.0,6.0,0.0
71 15
2 SODIUM TEMPERATURE AT REACTOR VESSEL INLET(2) AND OUTLET(1) IN LOOP 1
TEMPERATURE (C)
2
2201 2202
N
0.0,100.0,6.0,0.0
71 15
3 SODIUM TEMPERATURE AT REACTOR VESSEL INLET(2) AND OUTLET(1) IN LOOP 2
TEMPERATURE (C)
2
3001 3003
N
0.0,100.0,6.0,0.0
55 15
4 COOLANT TEMPERATURE IN UPPER (2) AND LOWER(1) PLENA
TEMPERATURE (C)
2
4103 4203
N
300.0,100.0,5.0,0.0
62 15
5 COOLANT TEMPERATURE AT FUEL(1) AND BLANKET(2) ASSEMBLY EXIT
TEMPERATURE (C)
2
4303 4403
N
300.0,100.0,5.0,0.0
66 15
6 COOLANT TEMPERATURE AT REFLECTOR(1) AND BYPASS(2) ASSEMBLY EXIT
TEMPERATURE (C)
2
4101 4201
N
0.0,100.0,4.0,1.0
63 18
7 COOLANT MASS FLOW RATE IN FUEL(1) AND BLANKET(2) ASSEMBLY
MASS FLOW (KG/SEC)
2
4301 4401
Y
67 18
8 COOLANT MASS FLOW RATE IN REFLECTOR(1) AND BYPASS(2) ASSEMBLY
MASS FLOW (KG/SEC)
2
2103 2104
N
0.0,100.0,6.0,0.0
69 15
9 PRIMARY COOLANT TEMPERATURE AT IHX INLET(1) AND OUTLET(2) IN LOOP1
TEMPERATURE (C)
2
2203 2204
N
0.0,100.0,6.0,0.0
70 15
10 PRIMARY COOLANT TEMPERATURE AT IHX INLET(1) AND OUTLET(2) IN LOOP2
TEMPERATURE (C)
2
2105 2106
N
0.0,0,100.0,6.0,1.0
71 15
11 SECONDARY COOLANT TEMPERATURE AT IHX INLET(1) AND OUTLET(2) IN L 1
```

Figure 3-22 Sample input data for the plotting of SSC-L results.

TEMPERATURE (C)
 2
 2205 2206
 N
 000.0,100.0,6.0,1.0
 71 15
 12 SECONDARY COOLANT TEMPERATURE AT IHX INLET(1) AND OUTLET(2) IN L 2
 TEMPERATURE (C)
 2
 2107 2108
 Y
 71 15
 13 SECONDARY COOLANT TEMPERATURE AT SG INLET(1) AND OUTLET(2) IN L 1
 TEMPERATURE (C)
 2
 2207 2208
 Y
 71 15
 14 SECONDARY COOLANT TEMPERATURE AT SG INLET(1) AND OUTLET(2) IN L 2
 TEMPERATURE (C)
 2
 2109 2110
 N
 000.0,100.0,6.0,1.0
 71 15
 15 SECONDARY COOLANT TEMPERATURE AT ACS INLET(1) AND OUTLET(2) IN L 1
 TEMPERATURE (C)
 2
 2209 2210
 N
 000.0,100.0,6.0,1.0
 71 15
 16 SECONDARY COOLANT TEMPERATURE AT ACS INLET(1) AND OUTLET(2) IN L 2
 TEMPERATURE (C)
 3
 2111 2112 2113
 N
 0.0,100.0,5.0,1.0
 72 15
 17 AIR TEMPERATURE AT INLET(1) , OUTLET(2) AND STACK(3) OF ACS IN LOOP 1
 TEMPERATURE (C)
 3
 2211 2212 2213
 N
 0.0,100.0,5.0,1.0
 72 15
 18 AIR TEMPERATURE AT INLET(1) , OUTLET(2) AND STACK(3) OF ACS IN LOOP 2
 TEMPERATURE (C)
 1
 5001
 N
 0.0,1000.0,5.0,1.0
 23 18
 19 TOTAL CORE FLOW RATE
 MASS FLOW (KG/SEC)
 3
 6101 6102 6103
 N
 -500.0,500.0,4.0,1.0
 60 18
 20 PRIMARY LOOP MASS FLOW RATE (LOOP1)
 MASS FLOW (KG/SEC)
 2
 6201 6202
 N
 -500.0,500.0,4.0,1.0
 60 18
 21 PRIMARY LOOP MASS FLOW RATE (LOOP2)
 MASS FLOW (KG/SEC)
 2
 7101 7201
 Y
 36 18
 22 SECONDARY LOOP MASS FLOW RATE
 MASS FLOW (KG/SEC)
 3
 6101 7101 7106
 N
 -500.0,500.0,4.0,1.0
 46 18

Figure 3-22 (Continued)

23 MAIN COOLANT LOOP MASS FLOW RATE IN LOOP 1
MASS FLOW (KG/SEC)
3
6201 7201 7206
N
-500.0,500.0,4.0,1.0
46 18
24 MAIN COOLANT LOOP MASS FLOW RATE IN LOOP 2
MASS FLOW (KG/SEC)
3
5003 5004 5005
N
0.0,2.0,5.0,0.0
65 16
25 SODIUM LEVEL IN REACTOR VESSEL AND GUARD VESSEL
SODIUM LEVEL (M)
1
5002
Y
65 13
26 REACTOR COVER GAS PRESSURE
PRESSURE (PA)
4
3004 3005 3006 3007
N
0.0,100.0,6.0,0.0
65 15
27 DRACS COOLANT TEMPERATURE IN PRIMARY LOOP (1:LP, 2:HL, 3:CL)
TEMPERATURE (C)
4
3008 3009 3010 3011
N
100.0,100.0,5.0,1.0
67 15
28 DRACS COOLANT TEMPERATURE IN SECONDARY LOOP(1:LP, 2:HL, 3:CL)
TEMPERATURE (C)
3
3012 3013 3014
N
0.0,100.0,4.0,1.0
71 15
29 DRACS AIR TEMPERATURES IN AIR COOLER (1:INLET , 2:OUTLET , 3: STACK)
TEMPERATURE (C)
3
3015 3017 3018
N
0.0,10.0,4.0,1.0
63 18
30 DRACS LOOP MASS FLOW RATE (1: PRIMARY , 2:SECONDARY , 3:AIR)
MASS FLOW (KG/SEC)
1
5006
N
-1000.0,1000.0,5.0,1.0
70 20
31 DISCHARGE MASS FLOW RATE
MASS FLOW (KG/S)

Figure 3-22 (Continued)

4. 結 論

原子炉工学室では、ループ型およびプール型の高速増殖炉の通常運転状態から事故にいたるまでを、全プラントシステムにわたって一貫して解析できるプログラム（システムコード）の体系の確立を目指している。ループ型高速炉のシステムコードとしては、SSC-Lのバージョン3.2を導入整備し、高速実験炉常陽や、原型炉もんじゅ、高速増殖実証炉に適用するべく、改良を実施してきた。その間に、機器単体の試験や、常陽における自然循環試験に対する適用を通じて、コードの検証度を高めるよう努めてきた。さらに、SSC-Lを、システムコードとして、最大限に解析精度が優れたコードとするために多くのシステムのモデルや現象論的モデルを開発してきた。

SSC-Lのバージョン3.2は、常陽の自然循環試験等の解析によって検証され、また、もんじゅの各種事故解析や確率論的安全評価におけるプラント熱流動応答解析に適用されるに及んで、現段階では完成度の高いものに到達したと判断している。そこで、これを機に、これまでのコードの開発改良に関する成果を集大成することと、今後SSC-Lを利用する場合に有益な情報を整理しておくことを意図して、本報告書はまとめられた。

第1章には、SSC-Lが米国において開発された経緯、SSC-Lの一般的な特徴と国内外における利用の現状を述べた。さらに、原子炉工学室において、SSC-Lの改良がどの様な観点から行なわれてきたかをまとめた。併せて、簡易システムコード、プール型炉のシステムコードも含めて、原子炉工学室におけるシステムコード体系を整理した。

第2章では、これまでに実施してきたSSC-Lの改良、モデルの開発をまとめた。これらの改良等は、結果的にはコード全体に及んでおり、SSC-Lのほとんどの部分に手が加えられたことになる。その具体的な内容は、原子炉容器内の熱流動と核特性、熱輸送系の伝熱流動、中間熱交換器の伝熱流動、崩壊熱除去系（IRACS, DRACS）のモデル化、原子炉保護系のモデルと、システム毎に小節に分けて述べた。モデルの概要だけでなく、解析例も必要に応じて掲載し、その開発・改良が解析精度の向上やプラントの模擬度の向上に寄与していることを示した。

これらのモデルの改良や開発によって、少なくとも、実験炉常陽と原型炉もんじゅに対しては、プラント動特性評価に必要な全てのシステムをモデル化できるようになった。また、設計評価で想定される過渡事象や事故、確率論的安全評価でのみ仮想されるような稀有事象の解析にも適用できるようになった。現象論的には、多次元効果等ができるだけ忠実に模擬できるように考慮して改良を進め、解析精度の向上をはかっている。

ただし、本報告書に含めたものは、動燃において実施された成果のみである。この他に、低熱流束低流量における沸騰モデル[26]、上部プレナムの2次元モデル[29]、集合体内熱移行モデル[27]が、動燃との契約の元で、米国のBNLにおいて開発されている。これらのモデルの概要是、各々の報告書に詳しいので改めて述べなかった。今後、原子炉工学室において、各モデルの利用や改良が進められるに応じて、適宜、報告を行なう予定である。また、

B N L より公開されている S S C - L のドキュメント [1] に記述してある部分についても改めて述べることはしなかった。従って、これらのモデルを利用する場合や、本報告書で不十分な場合には、必要に応じて、文献を参照されたい。

第3章では、第2章に述べたモデルが組み込まれた、S S C - L の P N C バージョンを利用するに必要な情報を整理した。内容は、S S C - L の 2 つのバージョン（サイクル 4 1 とサイクル 4 2 ）の比較と各々の利点、及び、入力データ、実行方法である。さらに、解析結果の図形出力の方法とそのための入力データについても述べた。S S C - L の P N C バージョンを使用する場合には、本章にその方法を述べてある。

S S C - L の改良、モデルの開発の第1段階が、これまでで終了したと考えれば、今後の改良と利用に関わる課題は、以下の通りにまとめられる。

- (1) 原型炉もんじゅの各種事故事象解析や確率論的安全評価研究、高速増殖大型炉の安全評価研究に一層広く、本格的に適用していくこと。
- (2) これまでに十分に使用経験が蓄積されていないモデル（上部プレナムの2次元モデル、沸騰モデル、集合体内熱移行モデル）を整備し、適用例を拡大して行くこと。必要ならば、改良を加えて行くこと。
- (3) プラント動特性試験装置(PLANDTL) で実施される試験や、原型炉もんじゅの起動試験等の解析評価を通じて、コードの検証度をさらに高めて行くこと、
- (4) 高速炉の安全に対する新しい考え方（例えば、固有の安全性の活用）や、実証炉に向けて新しいシステム（例えば、原子炉停止系と崩壊熱除去系）の採用などに対応できるべく、モデルの開発を進めて行くこと。具体例を挙げれば、
 - ① A T W S の初期段階の解析が可能なように反応度効果のモデルを充実させていくこと、
 - ② 炉壁冷却系、多様な崩壊熱除去系（D R A C S , P R A C S 等）を採用する場合の安全評価が可能なようにモデルを改良していくこと、等が考えられる。

5. 謝 辞

本研究を遂行するに当たり、SSC-Lの開発者である米国ブルックヘブン国立研究所のDr. J. G. Guppy、Dr. G. J. Van Tuyleをはじめとする原子力安全解析部のスタッフ一同には、SSC-Lが動燃に導入されて以来、多くの協力を頂いています。

開発調整部の渡辺章主任研究員には、長期にわたる動燃におけるSSC-Lの開発期間を通じて、有力な支援を頂きました。大洗工学センター炉心安全工学室の田中室長には長年にわたりSSC開発に関わってこられた経験から、多くの助言、協力を頂きました。原子炉工学室の柴室長には、本研究をまとめるに当たり、有益な助言、激励を頂きました。

二ノ方室長代理を初めとする、原子炉工学室解析グループの方々と、相澤主任研究員を初めとするもんじゅPRA検討会のメンバーの方々には、多くの技術的な討論をして頂き、またコード開発する上で協力を頂きました。

そのほか、本研究を行なうに当たって、極めて多くの方に助力して頂きました。以上の方々に感謝の意を表します。

6. 参考文献

- [1] Guppy, J. G., "Super System Code (SSC, Rev. 2) An Advanced Thermo-hydraulic Simulation Code for Transients in LMFBRs," NUREG/CR-3169, BNL-NUREG-51650, April 1983.
- [2] 吉川信治 他、SSC-Lの適用解析（I）もんじゅ1次系自然循環解析、PNC N941 84-26 Feb. 1984.
- [3] 山口彰、二ノ方寿、高速増殖炉各種事故事象解析に対するSSC-Lの適用性評価、PNC SN941 85-62, Mar. 1985.
- [4] 山口彰、二ノ方寿、高速増殖原型炉「もんじゅ」配管破損事象解析：SSC-LとPIBRAの比較評価、PNC ZN941 85-99, July 1985.
- [5] 吉川信治、前川勇、山口彰、二ノ方寿、SSC-L／COMMIX-1Aによる「常陽」自然循環の解析、PNC N941 85-68、March 1985.
- [6] Yoshikawa, S., Yamaguchi, A. et al. "Integrated Analysis of Natural Circulation Test in JOYO Using SSC-L and COMMIX-1A," International Topical Meeting on Fast Reactor Safety, Knoxville, April 1985.
- [7] 大岩章夫、山口彰、吉川信治、「SSC-Lによる常陽MK-II炉心自然循環試験解析」PNC N9410 87-113, July, 1987.
- [8] 山口彰、昭和60年度 要素技術設計研究「崩壊熱除去系の信頼性の検討」、PNC N9410 86-026、March 1986.
- [9] Additon, S. L., McCall, T. B. and Wolfe, C. F., "IANUS- Outline Description, Westinghouse Advanced Reactors Division," Waltz Mill, Pennsylvania, FPC-939.
- [10] "LMFBR Demonstration Plant Simulation Model, DEMO," Westinghouse Advanced Reactors Division, WARD-D-0005 (Rev 3), February 1975.
- [11] Brosche, D. , "NATRANS-Ein Rechenmodell zur Berechnung des Dynamischen Verhaltens von Reaktorkuhlkreislaufen bei Stoerfallen," Laboratorium fuer Reaktorregelung and Anlagensicherung Garching, Report MRR-71, April 1971.
- [12] Martin, B. A., Agrawal, D. C. et al., "NALAP: An LMFBR System Transient Code," BNL-50457, July 1975.
- [13] 中井良大 他、「高速増殖炉の安全解析に用いる計算コードについて」、PNC N241 81-28, November 1981.
- [14] Madni, I. K. and Cazzoli, E. G., "An Advanced Thermohydraulic Simulation Code for Pool-Type LMFBRs (SSC-P Code)," BNL-NUREG-51650 April 1983.
- [15] Madni, I. K., et al., "SSC Modeling for Pool Type Liquid Metal Reactors," Draft Report, January 1986.
- [16] 山口彰、田嶋雄治、長谷川俊行、高速増殖大型炉の設計主要目に関する研究

(I) プール型高速増殖炉システムコード S S C - P 改良整備報告書および使用説明書、
PNC N9410 86-026, April 1987.

- [17] Horak, J. G., Guppy, J. G., and Kennett, R. J., "Validation of SSC Using the FFTF Natural Circulation Tests," BNL-NUREG-31437, December 1982.
- [18] Horak, J. G., Kennett, R. J., and Guppy, J. G., "Long-Term Post Test Simulation of the FFTF Natural Circulation Tests Using SSC," Trans. Am. Nucl. Soc., 46, pp 798, 1984
- [19] Guppy, J. G., et al., "Independent Assessment of the Natural-Circulation Capability of the Heterogeneous Core CRBR," Trans. Am. Nucl. Soc., 45, pp 416, 1983
- [20] Khatib-Rahbar, M., Guppy, J. G., and Agrawal, A. K., "Hypothetical Loss of Heat Sink and In-Vessel Natural Convection: Homogeneous and Heterogeneous Core Designs", Decay Heat Removal and Natural Convection in Fast Breeder Reactors, McGRAW-HILL International Book Company 1981.
- [21] Schubert, B., "Analysis of Decay Heat Removal in KNK-II", Proc. of 2nd Specialists' Meeting on Decay Heat Removal and Natural Convection in LMFBRs, BNL, April 1985.
- [22] Bonigke, G. and Quast, U., "Simulation of the SNR-300 Plant Behaviour with and without Failure of the Required Safety System", Proc. of 2nd Specialists' Meeting on Decay Heat Removal and Natural Convection in LMFBRs, BNL, April 1985.
- [23] Madni, I. K., "Modeling Considerations for the Primary System at the Experimental Breeder Reactor-II," BNL-NUREG-51797, 1984.
- [24] Iwashita, T., et al., "Verification Study of SSC-L(I)", PNC SN941 83-46 April 1984
- [25] 大岩章夫、他、SSC-Lによるプラント過渡応答予備解析、March 1986.
- [26] Khatib-Rahbar, M. and Cazzoli, E. G., "Modeling and Analysis of Low Heat Flux Natural Convection Sodium Boiling in LMFBRs," NUREG/CR-2006, BNL-NUREG-51541, Sept. 1982.
- [27] Khatib-Rahbar, M. and Cazzoli, E. G., "Two-Dimensional Modeling of Intra-Subassembly Heat Transfer and Buoyancy-Induced Flow Redistribution in LMFBRs," NUREG/CR-3498, BNL-NUREG-51713, June 1984.
- [28] Ninokata, H., Yamaguchi, A. and Deguchi, A., "An Analytical Investigation of Decay Heat Removal Performances of an LMFBR under Adverse Thermal Conditions," International Conference on Science and Technology of Fast Reactor Safety, Guernsey, May 1986.
- [29] B.C.Chan, "Improved Modeling and Numerics to Solve Two-Dimensional Elliptic

Fluid Flow and Heat Transfer Problems," NUREG/CR-3705, BNL-NUREG-51751, May 1986.

- [30] Horak, J. G., et al., "An Improved Inter-Assembly Heat Transfer Model for SSC," Draft Report 1985.
- [31] 吉川信治、山口彰、高速炉プラント動特性コードにおける集合体間熱移行モデルの開発、日本原子力学会昭和61年秋の分科会、B 4 6 .
- [32] Yang, J. W., "Penetration of core flow in upper plenum of an LMFBR," Trans. Am. Nucl. Soc., 23, pp 414, 1976
- [33] 大島宏之、山口彰、二ノ方寿、高速増殖炉システムコード S S C - L の整備改良 - 反応度フィードバックモデルの改良 - 、 PNC SN9410 87-122, August 1987.
- [34] 原子炉工学室編、プラント過渡応答試験 計画書、1986年5月
- [35] Horak, W., "The Effect of Pipe Insulation Losses on a Loss-of-Heat-Sink Accident for an LMR", Proc. of 2nd Specialists' Meeting on Decay Heat Removal and Natural Convection in LMFBRs, BNL, April 1985.
- [36] Quan, V. and Agrawal, A. K., "A Pipe-Break Model for LMFBR Safety Analysis," BNL-NUREG-50688, 1977.
- [37] 山口彰、吉川信治、長谷川俊行、Super System Code (SSC) の高速炉崩壊熱除去機能評価解析への適用、日本原子力学会昭和62年秋の分科会、B 8 .
- [38] Cady, K. B., "An air Blast Heat Exchanger System Model," BNL-NUREG-26237, June 1979.
- [39] B. C. Chan, et al., "Direct Reactor Auxiliary Cooling System Modeling in SSC" BNL-NUREG-32170, Oct. 1982.
- [40] 山口彰、田嶋雄次、SSC-Lの配管破損モデルの改良と1次系主冷却系配管破損事故の解析、内部資料 (PNC Report 予定) 1987年10月.

付録

S S C - L 改良のコレクションセット

```
TIME<10:24:50> DATE<10/24/87>
T107D.SSCL2.CS.DATA
MEMBER NAME CGAS

ICKCGS = 1
WRITE(6,9200)
9200 FORMAT(//)
WRITE(6,9100) S9HSTR
9100 FORMAT(' ****'*)
*   * *
*   *   COVER GAS ISOLATION IS ACTUATED AT   */
*   *   TIME =',E12.4,   '
*   * *
*   * ****
ELSE
END IF
300 CONTINUE
*/ ****
*/
*/      RESTART FILE
*/
*/ ****
*INSERT SVCHTP.26
COMMON /CGAS1/ RCGAS(4)
COMMON /CGAS2/ ICGAS(2)
*BEFORE SAVE9T.30
WRITE(NSAVE) RCGAS , ICGAS
*BEFORE REST9T.48
READ (NSAVE) RCGAS , ICGAS
*/ ****
*/
*/      COMMON DECK
*/
*/ ****
*CD /YNGCGS/
COMMON /CGAS1/ T6CGIS , T6DELY , Z6PBRK , DELVCG
COMMON /CGAS2/ ICKCGS , ICKPBR
```

(1) 原子炉容器カバーガス締切モデル

```

TIME<10:24:50> DATE<10/24/87>
T107D.SSCL2.CS.DATA
MEMBER NAME CGAS

*ID CGAS
*/ ****
*/
/* COVER GAS LINE ISOLATION MODEL
*/
/* VARIABLES LIST
*/
T6CGIS : TIME WHEN COVER GAS LINE ISOLATION IS ACTUATED.
T6DELY* : TIME DELAY OF THE ISOLATION AFTER THE SIGNAL.
Z6PBRK* : REACTOR SODIUM LEVEL SETTING VALUE FOR ISOLATION.
DELVCG* : DECREASED VOLUME OF COVER GAS TANK.
ICKCGS : CONTROL PARAMETER FOR COVER GAS ISOLATION.
ICKPBR : CONTROL PARAMETER FOR ISOLATION SIGNAL.
*/
/* USER INPUT
*/
BY A. YAHAGUCHI      MAY, 1985
*/
*/ ****
*INSERT BLKDAT.207
*CALL /YMGCGS/
      DATA T6DELY /4.0/, Z6PBRK /5.5/, DELVCG /60.0/
*INSERT CDRR9R.18
*CALL /YMGCGS/
      NAMELIST /CGAS/ T6DELY, Z6PBRK, DELVCG
*BEFORE CDRR9R.128
      READ (4,CGAS)
      WRITE(6,CGAS)
*/
*/ ****
*/
/* SUBROUTINE INIT6T
*/
*/ ****
*INSERT INIT6T.44
*CALL /YMGCGS/
*INSERT INIT6T.319
      ICKCGS = 0
      ICKPBR = 0
*/
*/ ****
*/
/* SUBROUTINE EQIV1T
*/
*/ ****
*INSERT EQIV1T.134
      IF (L6CGAS.EQ.2) THEN
*INSERT EQIV1T.135
      ELSE
      END IF
*/
*/ ****
*/
/* SUBROUTINE VESL1T
*/
*/ ****
*INSERT VESL1T.70
*CALL /YMGCGS/
*INSERT VESL1T.139
      IF (ICKPBR.EQ.1) GO TO 220
      IF (Z6HALV.GE.Z6PBRK) GO TO 300
      T6CGIS = S9HSTR + T6DELY
      ICKPBR = 1
      WRITE(6,9000) S9HSTR,T6CGIS,Z6HALV,Z6PBRK
9000  FORMAT(' ****')
      ' * '
      ' * SODIUM LEVEL LOW-LOW SIGNAL IS GENERATED AT '
      ' * TIME =',E12.4, ', '
      ' * COVER GAS ISOLATION WILL BE ACTUATED AT '
      ' * TIME =',E12.4, ', '
      ' * MEASURED SODIUM LEVEL =',E12.4, ', '
      ' * SETTING SODIUM LEVEL =',E12.4, ', '
      ' * ****'
220  CONTINUE
      IF (ICKCGS.EQ.1) GO TO 300
      IF (S9HSTR.GE.T6CGIS) THEN
          B6CGAS = B6CGAS * (V6CGAS - DELVCG) / V6CGAS
          V6CGAS = V6CGAS - DELVCG
          Z6GAS = V6CGAS / A6GL + Z6HALV

```

(2) 原子炉容器上部プレナム

```

TIME<10:24:50> DATE<10/24/87>
T107D.SSCL2.CS.DATA
MEMBER NAME UPLENA

*ID UPLENA
*/ ****
*/ RESTART FILE; INPUT AND OUTPUT
*/ ****
*INSERT SVCHTP.26
    COMMON /UPLN1U/ UUPLN1(4)
*BEFORE SAVE9T.30
    WRITE(NSAVE) UUPLN1
*BEFORE REST9T.48
    READ (NSAVE) UUPLN1
*/ ****
*/ NEW COMMON DECK
*/ ****
*CD /UPLN1U/
    COMMON /UPLN1U/ S6CURR, S6PREV, Z6JNEW, Z6JOLD
*/ ****
*/ SUBROUTINE DRIV9T
*/ ****
*INSERT DRIV9T.43
*CALL /UPLN1U/
*INSERT DRIV1T.19
    Z6JOLD = Z6JET
    S6PREV = S1FLOW
*/ ****
*/ SUBROUTINE UPLN6S
*/ ****
*INSERT UPLN6S.30
*CALL /UPLN1U/
*INSERT UPLN6S.184
    Z6JOLD = Z6UPLN - Z6TCOR
    S6PREV = 0.0
*/ ****
*/ SUBROUTINE VESL1T
*/ ****
*INSERT VESL1T.70
*CALL /UPLN1U/
*DELETE VESL1T.123
    DZ = ABS(Z6JOLD-Z6NALV)
    IF(DRHO.GT.Z9MIN .AND. DZ.LT.0.01) Z6JOLD = 0.0
    IF (DRHO.LT.Z9MIN) GO TO 110
*DELETE VESL1T.127
    110 CONTINUE
    IF(Z.GT.Z6NALV) Z=Z6NALV
C <<<< Z DETERMINED FROM RHOB & RHOC >>>>
C <<<< THEN Z-CALCULATION FROM RHOA & RHOB STARTED. >>>>
    RHOA=DENS1D(T6NAA)
    DRHO=RHOB-RHOA
    IF(Z.GT.Z6JOLD) THEN
C <<<< Z CALCULATED FROM RHOB & RHOA >>>>
        U=(W6CT/(A6JET*RHOB))*((Z-Z6JOLD)/Z)**(1./1.57)
        IF(DRHO.LT.Z9MIN) GO TO 120
        Z = Z6JOLD
        FR=(U**2.)/(RFR*C9GRAV*DRHO/RHOA)
        IF (FR.GT.0.) Z=Z6JOLD+1.0484*FR**.785*RFR
    120   CONTINUE
    ZL=Z6JOLD
C <<<< THEN DZ/DT WILL BE LIMITED BY JET VELOCITY. >>>>
    IF(U.GT.0.) ZL=Z6JOLD+(S1FLOW-S6PREV)*U
    IF (Z.GT.ZL) Z=ZL
    ELSE
        Z = Z6JOLD
    END IF
    IF (Z.GT.Z6NALV) Z=Z6NALV
*/ ****
*/ SUBROUTINE UPLN6T
*/ ****
*INSERT UPLN6T.11
*CALL /UPLN1U/
*CALL TFLOW1
*INSERT CHNG42.265
    WCOUT = W6BPAS
*INSERT CHNG42.270
    WCOUT = WCOUT + WCHAN
*INSERT CHNG42.327
    HTKA = 0.0
    IF (RVA.GT.RVAMIN) HTKA = 1.0 / RVA

```

```
TIME<10:24:50> DATE<10/24/87>
T107D.SSCL2.CS.DATA
MEMBER NAME UPLENA
*DELETE CHNG42.329
 1 ZA*(UALM1*(T6M1-T6NAA)+UALM2*(T6M2-T6NAA)))*HTKA
*BEFORE CHNG42.330
 HTKB = 0.0
 IF (RVB.GT.RVAMIN) HTKB = 1.0 / RVB
*DELETE CHNG42.331
 1 ZB*(UALM1*(T6M1-T6NAB)+UALM2*(T6M2-T6NAB)))*HTKB
 W6BT0A = WCOUT
 DELTIM = S1FLOW - S6PREV
 IF (DELTIM.GT.1.0E-6) W6BT0A = W6BT0A
 1 -A6GL*(Z6JET-Z6JOLD)/DELTIM*DENS1D(T6NAB)
 IF (W6BT0A.GT.0.) THEN
   DEA = DEA + W6BT0A*(E6NAB-E6NAA)*HTKA
 ELSE
   DEB = DEB - W6BT0A*(E6NAA-E6NAB)*HTKB
 END IF
```

(3) 原子炉容器下部プレナム多点モデル

```

TIME<10:24:50> DATE<10/24/87>
T1070.SSCL2.CS.DATA
MEMBER NAME LPLENA
*//**
*//**
*// MODIFICATION OF LOWER PLENUM
*// DIVIDED INTO TWO REGION
*//**
*//**
*// DESCRIPTIONS OF VARIABLES
*//**
*// P6INHI PRESSURE LOSS FROM INLET PLENUM TO HIGH PRESSURE PLENUM
*// P6INLO PRESSURE LOSS FROM INLET PLENUM TO LOW PRESSURE PLENUM
*// P6INBY PRESSURE LOSS FROM INLET PLENUM TO BYPASS CHANNEL
*// P6HILO PRESSURE LOSS FROM LOW PRESSURE PLENUM TO HIGH PRESSURE
*// PLENUM
*// W6INHI MASS FLOW RATE FROM INLET PLENUM TO HIGH PRESSURE PLENUM
*// W6INLO MASS FLOW RATE FROM INLET PLENUM TO LOW PRESSURE PLENUM
*// W6INBY MASS FLOW RATE FROM INLET PLENUM TO BYPASS CHANNEL
*// W6HILO MASS FLOW RATE FROM LOW PRESSURE PLENUM TO HIGH PRESSURE
*// PLENUM
*// F6INHI PRESSURE FORM LOSS COEFFICIENT FROM INLET PLENUM TO
*// HIGH PRESSURE PLENUM
*// F6INLO PRESSURE FORM LOSS COEFFICIENT FROM INLET PLENUM TO
*// LOW PRESSURE PLENUM
*// F6INBY PRESSURE FORM LOSS COEFFICIENT FROM INLET PLENUM TO
*// BYPASS CHANNEL
*// F6HILO PRESSURE FORM LOSS COEFFICIENT FROM HIGH PRESSURE PLENUM
*// TO LOW PRESSURE PLENUM
*// PLENUM
*//**
*//**
*// IDENT LPN
*//**
*// NEW COMMON DECK /LPHOD1/ AND /LPHOD/
*//**
*// ****
*CD /LPHOD1/
C
C /LPHOD1/
C
COMMON /LPHOD1/ L6PLN
*CD /LPHOD2/
C
C /LPHOD2/
C
COMMON /LPHOD2/
1      P6INHI, W6INHI, F6INHI, P6INLO, W6INLO, F6INLO,
2      P6HILO, W6HILO, F6HILO
*//**
*// BLOCK DATA
*//**
*// ****
*INSERT BLKDAT.29
C
*CALL /LPHOD1/
C
*CALL /LPHOD2/
C
*INSERT BLKDAT.207
DATA P6INHI /1.6268E4/
DATA W6INHI /4017.7/
DATA P6INLO /3.9298E5/
C DATA W6INLO /92.0/
DATA W6INLO /249.0/
DATA P6HILO /3.76712E5/
DATA W6HILO /550.4/
*//**
*// RESTART FILE READ/WRITE
*//**
*// ****
*INSERT SVCMTP.26
COMMON /LPHOD1/ LLPHOD(1)
COMMON /LPHOD2/ ULPHOD(9)
*BEFORE SAVE9T.30
WRITE(NSAVE) LLPHOD
WRITE(NSAVE) ULPHOD
*BEFORE REST9T.48
READ(NSAVE) LLPHOD
READ(NSAVE) ULPHOD
*//**
*// NAMELIST INPUT
*//**

```

```

TIME<10:24:50> DATE<10/24/87>
T107D.SSCL2.CS.DATA
MEMBER NAME LPLENA
/* ****
*INSERT CRDR9R.18
C
*CALL /LPHOD1/
C
*CALL /LPHOD2/
C
      NAMELIST /LPMOD/ L6LPLN , P6INHI , W6INHI , P6INLO , W6INLO ,
      2          P6HILO , W6HILO
*BEFORE CRDR9R.128
      READ (4,LPMOD)
      WRITE(6,LPMOD)
/* ****
*/
/* . . .
SUBROUTINE PRES6S
*/
/* ****
*INSERT PRES6S.16
C
*CALL /LPHOD1/
C
*CALL /LPHOD2/
C
*INSERT PRES6S.159
      IF (L6LPLN.EQ.0) GO TO 650
C
C   CALCULATE THEW PRESSURE FOMR LOSS COEFFICIENT
C
      P6INLO = P6INHI + P6HILO
      IF(L6ATYP(IL6ATY+N6CHI).EQ.1) THEN
         DELTP = P6INHI
      ELSE
         IF(L6ATYP(IL6ATY+N6CHI).EQ.2) THEN
            DELTP = P6INLO
         ELSE
            IF(L6ATYP(IL6ATY+N6CHI).EQ.3) THEN
               DELTP = P6INLO
            ELSE
               IF(L6ATYP(IL6ATY+N6CHI).EQ.4) THEN
                  DELTP = P6INLO
               ELSE
                  WRITE(L9OUT,90000)
                  STOP
               END IF
            END IF
         END IF
      END IF
      PFLOSS = PFLOSS + DELTP
      F6INHI = P6INHI / W6INHI / W6INHI
      F6INLO = P6INLO / W6INLO / W6INLO
      F6HILO = P6HILO / W6HILO / W6HILO
*INSERT PRES6S.162
      650 CONTINUE
*BEFORE PRES6S.249
90000 FORMAT(' ****
      1      *      */
      2      *      ERROR      */
      3      *      ROD TYPE MUST BE 1,2,3 OR 4  */
      4      *      */
      5      *      ****')
/* ****
*/
/* . . .
SUBROUTINE OPTN6S
/* . . .
OBTAIN W6HILO
/* ****
*INSERT OPTN6S.25
C
*CALL /LPHOD1/
C
*CALL /LPHOD2/
C
*INSERT OPTN6S.58
      W6HPLM = 0.0
      DO 10 I = 1 , N6CHAN
         AW6CHA = W6TOT * F6FLOW(IF6FLO+I)
         IF(L6ATYP(IL6ATY+I).EQ.1) W6HPLM = W6HPLM + AW6CHA
10     CONTINUE

```

```

TIME<10:24:50> DATE<10/24/87>
T107D.SSCL2.CS.DATA
MEMBER NAME LPLENA
      W6HILO = W6INHI - W6HPLM
      *INSERT OPTN6S.100
      W6HPLM = 0.0
      DO 20 I = 1 , N6CHAN
         I11 = IW6CHA + I
         IF(IL6ATYP(IL6ATY+K).EQ.1) W6HPLM = W6HPLM + W6CHAN(I11)
20    CONTINUE
      W6HILO = W6INHI - W6HPLM
      */
      **** SUBROUTINE VESL1T
      */
      ****
      *INSERT VESL1T.70
C
      *CALL /LPN001/
C
      *CALL /LPN002/
C
      *INSERT VESL1T.170
      IF (L6LPLN.EQ.0) GO TO 680
      W6HPLM = 0.0
      W6LPLM = 0.0
      DO 670 K=1,N6CHAN
         IF (L6ATYP(IL6ATY+K).EQ.1) W6HPLM = W6HPLM + W6CHAN(IW6CHA+K)
         IF (L6ATYP(IL6ATY+K).EQ.2) W6LPLM = W6LPLM + W6CHAN(IW6CHA+K)
         IF (L6ATYP(IL6ATY+K).EQ.3) W6LPLM = W6LPLM + W6CHAN(IW6CHA+K)
         IF (L6ATYP(IL6ATY+K).EQ.4) W6LPLM = W6LPLM + W6CHAN(IW6CHA+K)
670   CONTINUE
C
C      CASE (A)
      WP4 = WLP4P(F6INHI,F6INLO,F6HILO,W6HPLM,W6LPLM,ICHK)
      WP1 = WP4 + W6HPLM
      WP3 = W6LPLM - WP4
      IF (ICHK.NE.0) GO TO 671
      IF (.WP1.GE.0.0. AND .WP3.GE.0.0. AND .WP4.GE.0.0) THEN
         W6INHI = WP1
         W6INLO = WP3
         W6HILO = WP4
         GO TO 680
      ELSE
         IF(.WP1.LT.0.0. AND .WP3.LT.0.0. AND .WP4.LT.0.0) THEN
            W6INHI = WP1
            W6INLO = WP3
            W6HILO = WP4
            GO TO 680
         END IF
      END IF
671   CONTINUE
C
C      CASE (B)
      WP4 = WLP4P(F6INHI,F6INLO,-F6HILO,W6HPLM,W6LPLM,ICHK)
      WP1 = WP4 + W6HPLM
      WP3 = W6LPLM - WP4
      IF (ICHK.NE.0) GO TO 672
      IF (.WP1.GE.0.0. AND .WP3.GE.0.0. AND .WP4.LT.0.0) THEN
         W6INHI = WP1
         W6INLO = WP3
         W6HILO = WP4
         GO TO 680
      ELSE
         IF(.WP1.LT.0.0. AND .WP3.LT.0.0. AND .WP4.GE.0.0) THEN
            W6INHI = WP1
            W6INLO = WP3
            W6HILO = WP4
            GO TO 680
         END IF
      END IF
672   CONTINUE
C
C      CASE (C)
      WP4 = WLP4P(F6INHI,-F6INLO,F6HILO,W6HPLM,W6LPLM,ICHK)
      WP1 = WP4 + W6HPLM
      WP3 = W6LPLM - WP4
      IF (ICHK.NE.0) GO TO 673
      IF (.WP1.GE.0.0. AND .WP3.LT.0.0. AND .WP4.GE.0.0) THEN

```

```

TIME<10:24:50> DATE<10/24/87>
T107D.SSCL2.CS.DATA
MEMBER NAME LPLENA
    W6INHI = WP1
    W6INLO = WP3
    W6HILO = WP4
    GO TO 680
ELSE
    IF(WP1.LT.0.0. AND .WP3.GE.0.0. AND .WP4.LT.0.0) THEN
        W6INHI = WP1
        W6INLO = WP3
        W6HILO = WP4
        GO TO 680
    END IF
END IF
673  CONTINUE
C
C      CASE (D)
WP4 = WLP4P(F6INHI,-F6INLO,-F6HILO,W6HPLM,W6LPLM,ICHK)
WP1 = WP4 + W6HPLM
WP3 = W6LPLM - WP4
IF (ICHK.NE.0) GO TO 674
IF (WP1.GE.0.0. AND .WP3.LT.0.0. AND .WP4.LT.0.0) THEN
    W6INHI = WP1
    W6INLO = WP3
    W6HILO = WP4
    GO TO 680
ELSE
    IF(WP1.LT.0.0. AND .WP3.GE.0.0. AND .WP4.GE.0.0) THEN
        W6INHI = WP1
        W6INLO = WP3
        W6HILO = WP4
        GO TO 680
    END IF
END IF
674  CONTINUE
C      NEGATIVE ROOT
C
C      CASE (A')
WP4 = WLP4M(F6INHI,F6INLO,F6HILO,W6HPLM,W6LPLM,ICHK)
WP1 = WP4 + W6HPLM
WP3 = W6LPLM - WP4
IF (ICHK.NE.0) GO TO 675
IF (WP1.GE.0.0. AND .WP3.GE.0.0. AND .WP4.GE.0.0) THEN
    W6INHI = WP1
    W6INLO = WP3
    W6HILO = WP4
    GO TO 680
ELSE
    IF(WP1.LT.0.0. AND .WP3.LT.0.0. AND .WP4.LT.0.0) THEN
        W6INHI = WP1
        W6INLO = WP3
        W6HILO = WP4
        GO TO 680
    END IF
END IF
675  CONTINUE
C      CASE (B')
WP4 = WLP4M(F6INHI,F6INLO,-F6HILO,W6HPLM,W6LPLM,ICHK)
WP1 = WP4 + W6HPLM
WP3 = W6LPLM - WP4
IF (ICHK.NE.0) GO TO 676
IF (WP1.GE.0.0. AND .WP3.GE.0.0. AND .WP4.LT.0.0) THEN
    W6INHI = WP1
    W6INLO = WP3
    W6HILO = WP4
    GO TO 680
ELSE
    IF(WP1.LT.0.0. AND .WP3.LT.0.0. AND .WP4.GE.0.0) THEN
        W6INHI = WP1
        W6INLO = WP3
        W6HILO = WP4
        GO TO 680
    END IF
END IF
676  CONTINUE

```

```

TIME<10:24:50> DATE<10/24/87>
T107D.SSCL2.CS.DATA
MEMBER NAME LPLENA
C
C      CASE (C')
WP4 = WLP4M(F6INHI,-F6INLO,F6HILO,W6HPLM,W6LPLM,ICHK)
WP1 = WP4 + W6HPLM
WP3 = W6LPLM - WP4
IF (ICHK.NE.0) GO TO 677
IF (WP1.GE.0.0. AND .WP3.LT.0.0. AND .WP4.GE.0.0) THEN
    W6INHI = WP1
    W6INLO = WP3
    W6HILO = WP4
    GO TO 680
ELSE
    IF(WP1.LT.0.0. AND .WP3.GE.0.0. AND .WP4.LT.0.0) THEN
        W6INHI = WP1
        W6INLO = WP3
        W6HILO = WP4
        GO TO 680
    END IF
END IF
677  CONTINUE
C
C      CASE (D')
WP4 = WLP4M(F6INHI,-F6INLO,-F6HILO,W6HPLM,W6LPLM,ICHK)
WP1 = WP4 + W6HPLM
WP3 = W6LPLM - WP4
IF (ICHK.NE.0) GO TO 678
IF (WP1.GE.0.0. AND .WP3.LT.0.0. AND .WP4.LT.0.0) THEN
    W6INHI = WP1
    W6INLO = WP3
    W6HILO = WP4
    GO TO 680
ELSE
    IF(WP1.LT.0.0. AND .WP3.GE.0.0. AND .WP4.GE.0.0) THEN
        W6INHI = WP1
        W6INLO = WP3
        W6HILO = WP4
        GO TO 680
    END IF
END IF
678  CONTINUE
C
C      IMPROPER EQUATION
C
      WRITE(6,90000) W6HPLM,W6LPLM,F6INHI,F6INLO,F6HILO
      CALL EXIT9U(99999,'VESL1T  ')
680  CONTINUE
*INSERT VESL1T.177
      IF (L6LPLN.EQ.0) GO TO 690
      IF (L6ATYP(IL6ATY+K).EQ.1) PDADD = F6INHI*W6INHI*ABS(W6INHI)
      IF (L6ATYP(IL6ATY+K).EQ.2) PDADD = F6INLO*W6INLO*ABS(W6INLO)
      IF (L6ATYP(IL6ATY+K).EQ.3) PDADD = F6INLO*W6INLO*ABS(W6INLO)
      IF (L6ATYP(IL6ATY+K).EQ.4) PDADD = F6INLO*W6INLO*ABS(W6INLO)
      PDFRIC = PDFRIC + PDADD
*BEFORE VESL1T.178
690  CONTINUE
*INSERT VESL1T.210
90000 FORMAT(' ****')
1      ' *          */'
2      ' *      ERROR          */'
3      ' *      LOWER PLUNUM FLOW MISMATCH */'
4      ' *      IN SUBROUTINE VESL1T      */'
5      ' *      W6HPLM= ',E15.6,      ' */'
5      ' *      W6LPLM= ',E15.6,      ' */'
5      ' *      F6INHI= ',E15.6,      ' */'
5      ' *      F6INLO= ',E15.6,      ' */'
5      ' *      F6HILO= ',E15.6,      ' */'
5      ' *          */'
6      ' ****')
*/ ****
*/
*/      NEW DEFINED DECK, WLP4P
*/
*/ ****
*DK WLP4P
      FUNCTION WLP4P(F1,F3,F4,WH,WL,IC)
      FACT1 = F1 + F4 - F3

```

```
TIME<10:24:50> DATE<10/24/87>
T107D.SSCL2.CS.DATA
MEMBER NAME LPLENA
      FACT2 = - F1*WH - F3*WL
      FACT3 = F1*F3 * (WH+WL)*(WH+WL) +
1          F4*(F3*WL*WL - F1*WH*WH)
      IF (FACT3.LT.0.0) GO TO 100
      FACT3 = SQRT(FACT3)
      WLP4P = (FACT2 + FACT3) / FACT1
      IC = 0
      RETURN
100   IC = 1
      RETURN
      END
*/ ****
*/
* NEW DEFINED DECK, WLP4M
*/
*/ ****
*DK WLP4M
      FUNCTION WLP4M(F1,F3,F4,WH,WL,IC)
      FACT1 = F1 + F4 - F3
      FACT2 = - F1*WH - F3*WL
      FACT3 = F1*F3 * (WH+WL)*(WH+WL) +
1          F4*(F3*WL*WL - F1*WH*WH)
      IF (FACT3.LT.0.0) GO TO 100
      FACT3 = SQRT(FACT3)
      WLP4M = (FACT2 - FACT3) / FACT1
      IC = 0
      RETURN
100   IC = 1
      RETURN
      END
```

(4) 全炉心集合体間熱移行モデル

```

TIME<10:24:50> DATE<10/24/87>
T107D.SSCL2.CS.DATA
MEMBER NAME INSAM

*IDENT INSPNC
*CD. INAS
    COMMON /ISADAT/ ANF(19)          000100002
    ****NAMELIST STATEMENTS          000200002
    ****
*INSERT CDRR9R.18                  000300002
*CALL INAS
    NAMELIST /ISAHT/ ANF           000400002
*BEFORE CDRR9R.128                 000500002
    READ (4,ISAHT)
    WRITE(6,ISAHT)                 000600002
*FOR RESTART                       000700002
*SUBROUTINE LOAD6S                 000800002
*INSERT SVCHTP.26                  000900002
*BEFORE SAVE9T.30                  001000002
    READ(1,SAVE9T)                 001100002
    WRITE(6,SAVE9T)                 001200002
*FOR RESTART                         001300002
*SUBROUTINE LOAD6S                 001400002
*INSERT SVCMTP.26                  001500002
*BEFORE REST9T.48                  001600002
    READ(1,REST9T)                 001700002
    WRITE(6,REST9T)                 001800002
*BEFORE REST9T.48                  001900002
    READ(1,REST9T)                 002000002
    WRITE(6,REST9T)                 002100002
*SUBROUTINE LOAD6S                 002200002
*SUBROUTINE LOAD6S.4                002300002
*INSERT LOAD6S.4                   002400002
*CALL /VD9V/
*CALL /6IV0/
*DELETE LOAD6S.8,128               002500002
    N6CHAN = N6CHAN - 1            002600002
    NSIZE = 3 * N6CHAN - 1          002700002
    DO 1000 L1 = 1 , 3481          002800002
    ACL1 = 0.0
1000  CONTINUE
C
C      FOR THE FIRST CHANNEL
C
    I1 = 1                          002900002
    I2 = 1                          003000002
    A(NSIZE*(I2-1)+I1) = UC(1,2) * 0.5 + WCP(1) 003100002
    I2 = 2                          003200002
    A(NSIZE*(I2-1)+I1) = -UC(1,2) 003300002
    I1 = 2                          003400002
    I2 = 1                          003500002
    A(NSIZE*(I2-1)+I1) = -0.5*UC(1,2) 003600002
    I2 = 2                          003700002
    A(NSIZE*(I2-1)+I1) = UC(1,2) + UI(1) 003800002
    I2 = 3                          003900002
    A(NSIZE*(I2-1)+I1) = -UI(1)   004000002
C
C
    DO 5000 ICH = 2,N6CHAN         004100002
    I1 = ICH*3-3                   004200002
    I2 = ICH*3-4                   004300002
    A(NSIZE*(I2-1)+I1) = -UI(ICLH-1) 004400002
    I2 = I2 + 1                   004500002
    A(NSIZE*(I2-1)+I1) = UC(ICLH,1) + UI(ICLH-1) 004600002
    I2 = I2 + 1                   004700002
    A(NSIZE*(I2-1)+I1) = - 0.5 * UC(ICLH,1) 004800002
C
C
    I1 = I1 + 1                   004900002
    I2 = I2 - 1                   005000002
    A(NSIZE*(I2-1)+I1) = -UC(ICLH,1) 005100002
    I2 = I2 + 1                   005200002
    A(NSIZE*(I2-1)+I1) = (UC(ICLH,1) + UC(ICLH,2))*0.5 + WCP(ICLH) 005300002
    I2 = I2 + 1                   005400002
    A(NSIZE*(I2-1)+I1) = - UC(ICLH,2) 005500002
C
C
    I1 = I1 + 1                   005600002
    I2 = I2 - 1                   005700002
    A(NSIZE*(I2-1)+I1) = -0.5*UC(ICLH,2) 005800002
    I2 = I2 + 1                   005900002
    A(NSIZE*(I2-1)+I1) = UC(ICLH,2) + UI(ICLH) 006000002
    I2 = I2 + 1                   006100002
    A(NSIZE*(I2-1)+I1) = - UI(ICLH) 006200002
5000  CONTINUE
C

```

```

TIME<10:24:50> DATE<10/24/87>
T107D.SSCL2.CS.DATA
MEMBER NAME INSAM
C      LAST CHANNEL                               00770002
C
C      ICH = N6CHAN                                00780002
C      I1 = ICH*3-3                                 00790002
C      I2 = ICH*3-4                                 00800002
C      A(NSIZE*(I2-1)+I1) = -UI(ICH-1)            00810002
C      I2 = I2 + 1                                 00820002
C      A(NSIZE*(I2-1)+I1) = UC(ICH,1) + UI(ICH-1) 00830002
C      I2 = I2 + 1                                 00840002
C      A(NSIZE*(I2-1)+I1) = - 0.5 * UC(ICH,1)       00850002
C
C      I1 = I1 + 1                                 00860002
C      I2 = I2 - 1                                 00870002
C      A(NSIZE*(I2-1)+I1) = -UC(ICH,1)             00880002
C      I2 = I2 + 1                                 00890002
C      A(NSIZE*(I2-1)+I1) = (UC(ICH,1)+UC(ICH,2))*0.5 + WCP(ICH) 00900002
C      I2 = I2 + 1                                 00910002
C      A(NSIZE*(I2-1)+I1) = -UC(ICH,2)             00920002
C
C      I1 = I1 + 1                                 00930002
C      I2 = I2 - 1                                 00940002
C      A(NSIZE*(I2-1)+I1) = UC(ICH,2)              00950002
C
C      LOAD ARRAY B                               00960002
C
C      THE FIRST CHANNEL                         00970002
C
C      B(1) = (WCP(1) - 0.5*UC(1,2))*TCI(1) + QC(1) 00980002
C      B(2) = 0.5*UC(1,2)*TCI(1) + QD(1,2)          00990002
C
C      ORDINARY CHANNEL                         01000002
C
C      DO 6000 ICH = 2,N6CHAN                   01010002
C      B(ICH*3-3) = 0.5*UC(ICH,1)*TCI(ICH) + QD(ICH,1) 01020002
C      B(ICH*3-2) = (WCP(ICH)-0.5*(UC(ICH,1) + UC(ICH,2)))*TCI(ICH) + 01030002
C      1           QC(ICH)                      01040002
C      B(ICH*3-1) = 0.5 * UC(ICH,2) * TCI(ICH) + QD(ICH,2) 01050002
C
6000  CONTINUE                                01060002
C
C      LAST CHANNEL                            01070002
C
C      ICH = N6CHAN                                01080002
C      B(ICH*3-3) = 0.5*UC(ICH,1)*TCI(ICH) + QD(ICH,1) 01090002
C      B(ICH*3-2) = (WCP(ICH) - (UC(ICH,1)+UC(ICH,2))*0.5)*TCI(ICH) + 01100002
C      1           QC(ICH)                      01110002
C      B(ICH*3-1) = 0.5*TCI(ICH)*UC(ICH,2) + QD(ICH,2) 01120002
C
*/ **** SOLV6S.4                                01130002
*/ **** CALL /VD9V/                             01140002
*CALL /VD9V/
*CALL /6IVD/
*DELETE SOLV6S.8
      DIMENSION WK(S9)
*DELETE SOLV6S.10
      NSIZE = 3*N6CHAN - 1
      CALL SOLV9U(A,B,WK,NSIZE)
*DELETE SOLV6S.15,23
      ERM = ERM + ABS(TCO(1)-WK(1))/WK(1) + ABS(TD(1,2)-WK(2))/WK(2)
      TCO(1) = WK(1)
      TD(1,2) = WK(2)
      DO 1000 I = 2,N6CHAN
      I1 = I*3-3
      ERM = ERM +
      1      ABS(TD(I,1) - WK(I1))/WK(I1) +
      2      ABS(TCO(I) - WK(I1+1))/WK(I1+1) +
      3      ABS(TD(I,2) - WK(I1+2))/WK(I1+2)
      TD(I,1) = WK(I1)
      TCO(I) = WK(I1+1)
      TD(I,2) = WK(I1+2)
1000  CONTINUE                                01150002
*/ **** CALC7R                                  01160002
*/ **** 01170002
*/ **** 01180002
*/ **** 01190002
*/ **** 01200002
*/ **** 01210002
*/ **** 01220002
*/ **** 01230002
*/ **** 01240002
*/ **** 01250002
*/ **** 01260002
*/ **** 01270002
*INSERT SOLV6S.4                                01280002
*CALL /VD9V/                                01290002
*CALL /6IVD/
*DELETE SOLV6S.8
      DIMENSION WK(S9)
*DELETE SOLV6S.10
      NSIZE = 3*N6CHAN - 1
      CALL SOLV9U(A,B,WK,NSIZE)
*DELETE SOLV6S.15,23
      ERM = ERM + ABS(TCO(1)-WK(1))/WK(1) + ABS(TD(1,2)-WK(2))/WK(2)
      TCO(1) = WK(1)
      TD(1,2) = WK(2)
      DO 1000 I = 2,N6CHAN
      I1 = I*3-3
      ERM = ERM +
      1      ABS(TD(I,1) - WK(I1))/WK(I1) +
      2      ABS(TCO(I) - WK(I1+1))/WK(I1+1) +
      3      ABS(TD(I,2) - WK(I1+2))/WK(I1+2)
      TD(I,1) = WK(I1)
      TCO(I) = WK(I1+1)
      TD(I,2) = WK(I1+2)
1000  CONTINUE                                01300002
*/ **** 01310002
*/ **** 01320002
*/ **** 01330002
*/ **** 01340002
*/ **** 01350002
*/ **** 01360002
*/ **** 01370002
*/ **** 01380002
*/ **** 01390002
*/ **** 01400002
*/ **** 01410002
*/ **** 01420002
*/ **** 01430002
*/ **** 01440002
*/ **** 01450002
*/ **** 01460002
*/ **** 01470002
*/ **** 01480002
*/ **** 01490002
*/ **** 01500002
*/ **** 01510002
*/ **** 01520002

```

```

TIME<10:24:50> DATE<10/24/87>
T107D.SSCL2.CS.DATA
MEMBER NAME INSAM
*INSERT CALC7R.39
    NSAPCL = N6CHAN
*DELETE RORMOD.596
    IF (MOD((K-N6IND),NSAPCL).NE.1) GO TO 8130
*DELETE RORMOD.608
    IF (Z6DELT(IND)-Z6DELT(INDREF).LE.Z9MIN) GO TO 8140
* ****
*VRFY7R
* ****
*INSERT VRFY7R.41
    NSAPCL = N6CHAN
*DELETE RORMOD.403
    IF (N6CHAN.EQ.N6IND+NSAPCL*N6CLUS) GO TO 8120
*INSERT RDRMOD.407
    IF (NSAPCL.LE.20) GO TO 8125
        N7ERR = N7ERR + 1
        WRITE(NOUT,98500) NSAPCL
        GO TO 6800
8125 CONTINUE
*INSERT RDRMOD.455
98500 FORMAT(10X,49H ERROR.... CURRENT MODELLING ASSUMPTIONS REQUIRE ,
    + /,51HTHAT NUMBER OF CHANNEL PER CLUSTER IS LESS THAN 20.,
    + /,50X,9HNSAPCL = ,I5)
* ****
*PRE6S
* ****
*DELETE PRE6S.15
    DO 100 I=1,N6CHAN
*INSERT PRE6S.20
    ASA(I) = FLOAT(N5ASSY(IN5ASS+I6))
*INSERT PRE6S.28
    C      WG(I) = WG(I) / ASA(I)
* ****
*GEOM6S
* ****
*INSERT PRE6S.50
*CALL /6IVD/
*DELETE PRE6S.51
    DO 100 I = 1,N6CHAN
* ****
*COEF6S
* ****
*INSERT COEF6S.4
*CALL /VD9V/
*CALL /6IVD/
*DELETE COEF6S.8
    DO 1000 I = 1,N6CHAN
*INSERT COEF6S.14
    TDW = T0(1,2)
    TF = 0.5*(TC0(1)+TC1(1))
    L = 1
    UCC(1,2) = UAC05C(TDW,TF,L)
*DELETE COEF6S.16
    DO 2000 I = 2,N6CHAN
*DELETE COEF6S.24,94
    N6CHAN = N6CHAN - 1
    DO 4000 LL = 1 , N6CHAN
    L1 = LL
    L2 = LL+1
    T1 = TD(LL,2)
    T2 = TD(LL+1,1)
    UI(LL) = UAINSC(T1,T2,L1,L2)
    XH(LL) = XMINSC(T1,T2,L1,L2)
4000 CONTINUE
* ****
*OPTN6S
* ****
*INSERT OPTN6S.51
    NSAPCL = N6CHAN
*// PNC CONVERSION FAILED
*// DELETE INTERMOD.8
*DELETE INTERMOD.11
    DO 210 I = 1 , N6CHAN
*// PNC CONVERSION FAILED
*// DELETE INTERMOD.18
*DELETE INTERMOD.21

```

```

TIME<10:24:50> DATE<10/24/87>
T107D.SSCL2.CS.DATA
MEMBER NAME INSAM

      DO 230 I = 1 , N6CHAN          02290002
/* PNC CONVERSION FAILED          02300002
/* *DELETE INTERMOD.19          02310002
*DELETE INTERMOD.22          02320002
      N6CHI = N6IND + (K-1)*NSAPCL + I          02330002
/* ****          ****          ****          02340002
/* STOR6S          02350002
/* ****          ****          ****          02360002
*DELETE STOR6S.16          02370002
      DO 1000 I = 1,N6CHAN          02380002
*INSERT STOR6S.38          02390002
C          INNERMOST CHANNEL DOES NOT HAVE INNER DUCT          02400002
      IF (I6.EQ.1) B6DUCT(IB6DUC+L3 ) = 0.0          02410002
C          MULTIPLY NUMBER OF SUBASSEMBLY "ASA(I)"          02420002
      IF (I6.EQ.1) B6DUCT(IB6DUC+L3+1) = 2.0 * B6DUCT(IB6DUC+L3+1)          02430002
C      1          * ASA(I)          02440002
C      IF (I6.NE.1) B6DUCT(IB6DUC+L3 ) = B6DUCT(IB6DUC+L3 ) * ASA(I)          02450002
C      IF (I6.NE.1) B6DUCT(IB6DUC+L3+1) = B6DUCT(IB6DUC+L3+1) * ASA(I)          02460002
*DELETE STOR6S.44,91          02470002
      N6CHAN = N6CHAN - 1          02480002
      DO 2000 ICH=1,N6CHAN          02490002
C          OUTER DUCTS          02500002
      Q6DUCT(IQ6DUC+L3+1) = UI(ICH)*(TD(ICH+1,1) - TD(ICH,2))          02510002
      B6DUCT(IB6DUC+L3+1) = B6DUCT(IB6DUC+L3+1) + XM(ICH)          02520002
      L3 = L3 + 2*NSL          02530002
C          INNER DUCTS          02540002
      Q6DUCT(IQ6DUC+L3) = UI(ICH)*(TD(ICH,2)-TD(ICH+1,1))          02550002
      B6DUCT(IB6DUC+L3) = B6DUCT(IB6DUC+L3) + XM(ICH)          02560002
2000  CONTINUE          02570002
C          OUTERMOST DUCT IS ADIABATIC          02580002
      Q6DUCT(IQ6DUC+L3+1) = 0.0          02590002
/* ****          ****          ****          02600002
/* UAINSC          02610002
/* ****          ****          ****          02620002
*INSERT UAINSC.10          02630002
*CALL INAS          02640002
*INSERT UAINSC.13          02650002
C          MULTIPLY NUMBER OF SIDES BETWEEN ADJACENT CHANNELS          02660002
      A = A * ANF(L1)          02670002
/* ****          ****          ****          02680002
/* UAC05C          02690002
/* ****          ****          ****          02700002
*INSERT UAC05C.13          02710002
C          MULTIPLY NUMBER OF SUB-ASSEMBLY, "ASA(I)"          02720002
      UAC05C = UAC05C * ASA(I)          02730002
/* ****          ****          ****          02740002
/* XMINSC          02750002
/* ****          ****          ****          02760002
*INSERT XMINSC.13          02770002
C          MULTIPLY NUMBER OF SIDES BETWEEN ADJACENT CHANNELS          02780002
      A = A * ANF(L1)          02790002
/* ****          ****          ****          02800002
/* XMINSC          02810002
/* ****          ****          ****          02820002
*INSERT XMINSC.10          02830002
*CALL INAS          02840002
*INSERT XMINSC.13          02850002
C          MULTIPLY NUMBER OF SIDES BETWEEN ADJACENT CHANNELS          02860002
      A = A * ANF(L1)          02870002
/* ****          ****          ****          02880002
/* COMMON          02890002
/* ****          ****          ****          02900002
/* COMMON          02910002
/* ****          ****          ****          02920002
*DELETE //7T.4,8          02930002
      + UC(20,2), UI(20) , TD(20,2) , TCO(20) , TCI(20) , W(20) , 02940002
      + AF(20) , YHI(20) , YHO(20) , XM(20) , QAC(20) , QAS(20) , 02950002
      + AW(20) , DW(20) , AYHD(20) , APWD(20) , WG(20) , APD(20) , 02960002
      + DZ(20) , VC(20) , AI(20) , AO(20) , QC(20) , QD(20,2) , 02970002
      + WCP(20) , QF(20,2) , RCP(20,2) , TFP(20) , H(20) , XM(19) , 02980002
      + ASA(20)          02990002
*DELETE /ASSSS/.3          03000002
C          MAXIMUM NUMBER OF CHANNELS IS 20. THEN DIMENSION SIZE OF          03010002
C          A, B, AND X IS (3*20-1)=59.          03020002
COMMON /ASSSS/ A(3481) , B(59)          03030002
                                         03040002

```

```

TIME<10:24:50> DATE<10/24/87>
T107D.SSCL2.CS.DATA
MEMBER NAME INSAH

/* **** 03050002
/* **** 03060002
*/
/*      TRANSIENT CALCULATION          03070002
*/
/* **** 03080002
/* **** 03090002
/* **** 03100002
/* **** 03110002
/* QCAC6T                           03120002
/* **** 03130002
*INSERT QCAC6T.9                   03140002
*CALL /6IVD/
*DELETE QCAC6T.12,51              03150002
    N6CHAN = N6CHAN - 1           03160002
    DO 2000 ICH=1,N6CHAN         03170002
    Q6DUCT(I06DUC+L3+1) = UI(ICH)*(TD(ICN+1,1)-TD(ICN,2)) 03180002
    L3 = L3 + 2*NSL               03190002
    Q6DUCT(I06DUC+L3) = UI(ICH)*(TD(ICN,2)-TD(ICN+1,1)) 03200002
2000  CONTINUE                      03210002
/* **** 03220002
/* GEOM6T                           03230002
/* **** 03240002
/* **** 03250002
*DELETE GEOM6T.15                 03260002
    DO 100 I = 1 , N6CHAN        03270002
/* **** 03280002
/* PREA6T                            03290002
/* **** 03300002
*DELETE PREA6T.16                 03310002
    DO 100 I = 1 , N6CHAN        03320002
*INSERT PREA6T.22                03330002
    ASA(I) = FLOAT(N5ASSY(IN5ASS+I6)) 03340002
/* **** 03350002
/* COFF6T                           03360002
/* **** 03370002
*INSERT COFF6T.4                  03380002
*CALL /VD9V/
*CALL /6IVD/
*DELETE COFF6T.9,67              03390002
    N6CHAN = N6CHAN - 1           03400002
    DO 100 I = 1,N6CHAN         03410002
    T1 = TD(I,2)                 03420002
    L1 = I                       03430002
    T2 = TD(I+1,1)               03440002
    L2 = I + 1                   03450002
    UI(I) = UAINSC(T1,T2,L1,L2) 03460002
100   CONTINUE                      03470002
/* **** 03480002
/* **** 03490002
/* COEF5T                           03500002
/* **** 03510002
/* **** 03520002
/* PNC CONVERSION FAILED          03530002
/* *INSERT INTERMOD.50            03540002
*INSERT INTERMOD.53              03550002
    IF(B6DUCT(I06DUC+2*(JSL-J6SLI-1)+3-L).LT.Z9MIN) GO TO 1510 03560002
/* PNC CONVERSION FAILED          03570002
/* *INSERT INTERMOD.52            03580002
*INSERT INTERMOD.55              03590002
C
C      FOR INNERMOST SUB-ASSEMBLY 03600002
    IF (K.EQ.N6IND+1) GNRSD = GNRSD * 2.0 03610002
/* PNC CONVERSION FAILED          03620002
/* *INSERT INTERMOD.58            03630002
*INSERT INTERMOD.61              03640002
    GO TO 1520                      03650002
1510  CONTINUE                      03660002
C
C      FOR INNER DUCT OF INNERMOST SUBASSEMBLY, TEMPERATURE IS 03670002
C      NOT DEFINED                  03680002
    AX(L,L) = 1.0                   03690002
    WK(L) = TTOLD(CITTOLD+NR+2-L) 03700002
1520  CONTINUE                      03710002
/* PNC CONVERSION FAILED          03720002
/* *INSERT INTERMOD.62            03730002
*INSERT INTERMOD.65              03740002
    IF(K.NE.N6IND+1) GO TO 1700 03750002
    G1 = 0.0                         03760002
    G2 = G2 * 2.0                   03770002
1700  CONTINUE                      03780002
                                03790002
                                03800002

```

```

TIME<10:24:50> DATE<10/24/87>
T107D.SSCL2.CS.DATA
MEMBER NAME INSAM
*/* ****03810002
*/      SGHAST          03820002
*/ ****03830002
*/ PNC CONVERSION FAILED          03840002
*/ *INSERT INTERMOD.199          03850002
*INSERT INTERMOD.202          03860002
    IF (K.NE.N6IND+1) RETURN          03870002
    SIGMA(SIGMA+NR) = 0.0          03880002
    SIGMA(SIGMA+NR+1) = 2.0 * SIGMA(SIGMA+NR+1)          03890002
*/ ****03900002
*/      DUTC6U          03910002
*/ ****03920002
*INSERT DUTC6U.9          03930002
    DIMENSION IA(13) , A(13)          03940002
    NDATA = 13          03950002
    NMINO = 1          03960002
*INSERT DUTC6U.13          03970002
    NSAPCL = N6CHAN - N6IND          03980002
*INSERT DUTC6U.16          03990002
    DO 400 L1 = 1 , 2          04000002
    LCOUN = 0          04010002
    NMIN = 1          04020002
    NMAX = NDATA          04030002
*INSERT DUTC6U.18          04040002
30   CONTINUE          04050002
    IF (NSAPCL.LE.NMAX) NMAX = NSAPCL          04060002
    NMAXO = NMAX - LCOUN*NDATA          04070002
    DO 50 LL = NMIN , NMAX          04080002
    ICO = LL - NMIN + 1          04090002
    IA(ICO) = LL + N6IND          04100002
50   CONTINUE          04110002
*DELETE DUTC6U.20          04120002
    IF (L1.EQ.1) WRITE(6,21) (IA(LL),LL = NMINO,NMAXO)          04130002
    IF (L1.EQ.2) WRITE(6,31) (IA(LL),LL = NMINO,NMAXO)          04140002
*INSERT DUTC6U.23          04150002
    DO 100 LL = NMIN,NMAX          04160002
    ICO = LL - NMIN + 1          04170002
    A(ICO) = T6DUCT(IT+(LL-1)*INSL+L1)          04180002
100  CONTINUE          04190002
*DELETE DUTC6U.24,32          04200002
    WRITE(6,101) J,(A(LL),LL=NMINO,NMAXO)          04210002
*INSERT DUTC6U.33          04220002
    IF (NMAX.GE.NSAPCL) GO TO 220          04230002
    LCOUN = LCOUN + 1          04240002
    NMIN = NMAX + 1          04250002
    NMAX = NMAX + 13          04260002
    GO TO 30          04270002
220  CONTINUE          04280002
*DELETE DUTC6U.34,48          04290002
400  CONTINUE          04300002
*/ *DELETE DUTC6U.53,60          04310002
*DELETE PNC.164,169          04320001
*DELETE DUTC6U.59,60          04330002
21   FORMAT( //,T56,'     INNER SURFACES'//,
    +   T11,13(1H,I2,3H,1),3X),/)          04340002
31   FORMAT( //,T56,'     OUTER SURFACES'//,
    +   T11,13(1H,I2,3H,2),3X),/)          04350002
101  FORMAT(3X,I4,13(F8.2,1X))          04360002
                                04370002
                                04380002

```

(5) 反応度フィードバックモデル

```

TIME<10:24:50> DATE<10/24/87>
T107D.SSCL2.CS.DATA
MEMBER NAME REAC
*! ****
*!
*!      REACTIVITY FEEDBACK MODEL
*!          FOR TRANSIENT ANALYSIS
*!
*! ****
*I0ENT REAC
*!
*!      RESTART FILE
*!
*! ****
*INSERT SVCNTP.26
      COMMON /REAC1S/ R1REAC(6)
      COMMON /REAC2T/ R2REAC(203)
      COMMON /REAC3T/ R3REAC(4)
      COMMON /REAC4T/ R4REAC(900)
      COMMON /LEAC5T/ L5REAC(2)
      COMMON /REAC6T/ R6REAC(30)
*BEFORE SAVE9T.30
      WRITE(NSAVE) R1REAC,R2REAC,R3REAC,R4REAC,R6REAC
      WRITE(NSAVE) L5REAC
*BEFORE REST9T.48
      READ (NSAVE) R1REAC,R2REAC,R3REAC,R4REAC,R6REAC
      READ (NSAVE) L5REAC
*!
*!      COMMON DECK
*!
*! ****
*CD /REAC1S/
      COMMON /REAC1S/ R5SUPP,REACNA,REACFU,REACST,REACFG,T6LHTB
*CD /REAC2T/
      COMMON /REAC2T/ R5GDEN,R5GFIG,T5BASE(200),TIME2
*CD /REAC3T/
      COMMON /REAC3T/ RSSTRC,RCLDAX,RCLDRD,RWRPAX
*CD /REAC4T/
      COMMON /REAC4T/ F5SWGT(300),TCLDBS(200),TSTRBS(200),TC00BS(200)
*CD /LEAC5T/
      COMMON /LEAC5T/ LSSTRC,L5SUPP
*CD /REAC6T/
      COMMON /REAC6T/ X1CLIR(15),X1CLOR(15)
*!
*!      WRIT8T
*!
*! ****
*INSERT WRIT8T.16
*CALL /REAC1S/
*CALL /REAC2T/
*CALL /REAC3T/
*!
*!      NAMELIST
*!
*! ****
*INSERT CRDR9R.18
*CALL /REAC4T/
*CALL /LEACST/
      NAMELIST /STRCT/ L5SUPP, LSSTRC ,F5SWGT
*BEFORE CRDR9R.128
      READ (4,STRCT)
      WRITE(6,STRCT)
*!
*!      INIT5T
*!
*! ****
*INSERT INIT5T.29
*CALL /60VD/
*CALL /REAC1S/
*CALL /REAC2T/
*CALL /REAC3T/
*CALL /REAC4T/
*DELETE INIT5T.34
      JINDEXZ = IZ5ELE
*DELETE INIT5T.39,46
      JINDEXZ = JINDEXZ+1
      KZ6 = IZ5REF+JINDEXT
      Z5REF(KZ6) = Z5ELEV(JINDEXZ+1)-Z5ELEV(JINDEXZ)
      JINDEXT = JINDEXT+1
*INSERT INIT5T.47
      JINDEXZ = JINDEXZ+1
*INSERT INIT5T.108
      RSSUPP = 0.0
      REACNA = 0.0

```

```

TIME<10:24:50> DATE<10/24/87>
T107D.SSCL2.CS.DATA
MEMBER NAME REAC
    REACFU = 0.0
    REACST = 0.0
    REACFG = 0.0
    R5STRC = 0.0
    RCLDAX = 0.0
    RCLDRD = 0.0
    RWRPAX = 0.0
    RSGDEN = 0.0
    RSGFIG = 0.0
    TIME2 = 0.0
*INSERT INITST.168
C
    JINDXT = 1
    JINDXA = 1
    JTEHNA = IT6NOD
    JKOFF = 0
C
    DO 700 K=1, N5CHAN
        NFR = NSNFR(INSNFR+K)
        JJ = NSSLIC(INSSLI+K)
        NJLOW = 0
        NJHIGH = JJ
        IF (Z5UFGP(IZ5UFG+K) .LT. Z9MIN) GO TO 800
        NJHIGH = NJHIGH-N5UFGP(IN5UFG+K)
    800 CONTINUE
        IF (Z5LFGP(IZ5LFG+K) .LT. Z9MIN) GO TO 801
        NJLOW = NSLFGP(IN5LFG+K)+1
    801 DO 725 J=1,JJ
        JTEHNA = JTEHNA+1
        IF (J .LT. NJLOW .OR. J .GT. NJHIGH) GO TO 802
        JKR = IN5JK+JKOFF+J
        KK2 = IT5FUE+N5JK(JKR)+2+NFR
        KK4 = IT5FUE+N5JK(JKR)+4+NFR
        TCLDBS(JINDXA) = TSFUEL(KK2)
        TSTRBS(JINDXA) = TSFUEL(KK4)
        TCOOBS(JINDXA) = (T6NODE(JTEHNA)+T6NODE(JTEHNA+1))/2.0
        T5BASE(JINDXA) = TSDPAV(IT5DPA+JINDXA)
        JINDXA=JINDXA+1
    802 JINDXT=JINDXT+1
    725 CONTINUE
        JTEHNA = JTEHNA+1
        JKOFF = JKOFF+JJ
    700 CONTINUE
/* ****
/*      INIT6T
/* ****
*INSERT INIT6T.44
*CALL /REAC1S/
*INSERT INIT6T.303
    T6LMTB = T6INLT
*DELETE INIT6T.310,314
/* ****
/*      REACST
/* ****
*INSERT REACST.9
*CALL /REAC1S/
*CALL /REAC3T/
*CALL /LEAC5T/
*INSERT REACST.24
    IF (LSSUPP.GT.0) CALL SUPPST
    IF (LSSTRC.GT.0) CALL STRCST
*DELETE REACST.28
    R5EXT. = -(R5DOPP+R5VOID+R5GROW+R5SUPP+R5STRC)
*DELETE REACST.31
    F8RFBK = (R5DOPP+R5VOID+R5GROW+R5SUPP+R5STRC)/F5BETT
*DELETE REACST.49
    R5RHO = R5EXT+R5DOPP+R5VOID+R5GROW+R5SUPP+R5STRC+R8RIN
*DELETE REACST.52
    F8RFBK= (R5DOPP+R5VOID+R5GROW+R5SUPP+R5STRC)/F5BETT
/* ****
/*      CALC7R
/* ****
*INSERT CALC7R.536
    ACHAN = A6ROD(IA6ROD+K)
    XN6 = FLOAT(CN6RODS(IN6ROD+K))
*INSERT CALC7R.795

```

```

TIME<10:24:50> DATE<10/24/87>
T107D.SSCL2.CS.DATA
MEMBER NAME REAC

        JV6NOD = JV6NOD
*INSERT CALC7R.800
        ACHAN = A6R0D(IA6R0D+NCHANL)
        XN6 = FLOAT(N6R0D*(IN6R0D+NCHANL))
*DELETE CALC7R.802
        Z6DELT(JZ6DEL+NODE) = Z6ELEV(JZ6ELE+NODE+1) - Z6ELEV(JZ6ELE+NODE)
        KK = JV6NOD + NODE
        V6NODE(JV6NOD+NODE) = ACHAN * XN6 * Z6DELT(JZ6DEL+NODE)
5100  CONTINUE
*INSERT CALC7R.804
        JV6NOD = JV6NOD + LSTNOD
* ****
*// DOPPST
* ****
*DELETE DOPPST.48
        ALFA=FSBDOP(IF5BDO+JINDXT)*(1.0-VOID)+FSGDOP(IF5GDO+JINDXT)*VOID
*// ****
*// GROWST
*// ****
*BEFORE GROWST.21
*CALL /REAC2T/
*CALL /6IVD/
*INSERT GROWST.32
        FSFWGT = 0.194
*INSERT GROWST.33
        HEITWD = 0.0
        DELTHW = 0.0
        R5GFIG = 0.0
        R5GDEN = 0.0
*INSERT GROWST.38
        LRATYP = L6ATYP(IL6ATY+K)
*INSERT GROWST.41
        TODELZ = 0.0
        TOTALZ = 0.0
*INSERT GROWST.52
        TF8BASE = T5BASE(J1NOXA)
*DELETE GROWST.86,87
        9 AREA = XNF*XN5*(C9PI*((RIN**2)+(DELTR**2)))
        10 VOLUME = AREA*ZSREF(I2SREF+JINDXT)
*DELETE GROWST.92
        R5GDEN = R5GDEN+F5AWGT(IF5AWG+JINDXT)*FULHAS
*INSERT GROWST.96
        R5GFIG = R5GDEN*(-0.5)
        R5GROW = R5GDEN+R5GFIG
*// ****
*// VOIDST
*// ****
*DELETE VOIDST.59
        R5VOID = R5VOID+F5VWGT(IF5VWG+JINDXT)*DELHAS
*// ****
*// VRFY7R
*// ****
*INSERT VRFY7R.35
*CALL /REAC6T/
*INSERT VRFY7R.289
        X1CLIR(K) = XSCLIR(L2)
        X1CLOR(K) = XSCLOR(L1)
*// ****
*// SUBROUTINE SUPPST
*// ****
*DK SUPPST
        SUBROUTINE SUPPST
C
C      CALCULATION FOR REACTIVITY BY EXPANSION
C          OF SUPPORTING STRUCTURE
C
*CALL /REAC1S/
*CALL /REAC4T/
*CALL /REAC6T/
*CALL /VD9V/
*CALL /T63/
*CALL /5NVD/
*CALL /5VD/
*CALL /6VD/
*CALL /60VD/

```

```

TIME<10:24:50> DATE<10/24/87>
T107D.SSCL2.CS.DATA
MEMBER NAME REAC
*CALL /6IVD/
*CALL /C5VD/
*CALL /R5VD/
*CALL /26RVD/
*CALL /T62/
*CALL /DAT5TD/
*CALL DATA9C
*CALL /PCS10/
*CALL /UNIT/
*CALL /AC1/
*CALL /AC7/
C
C
C***** C O D E S T R U C T U R E : *****
C
C
C
C.    1.0    COMPUTE THERMAL EXPANTION
C.    2.0    COMPUTE NA DENSITY EFEECT
C.    3.0    COMPUTE FUEL DENSITY EFFECT
C.    4.0    COMPUTE STRUCTURE DENSITY EFFECT
C.    5.0    COMPUTE FIGURE EXPANTION EFFECT
C
C
C
C***** *****
C
C.
*CALL (ALFA5A)
*CALL (DENSSD)
C.
      TT1=T6LMTB
      TT2=T6LMT
C
      REXCOF = 0.173
      FACTOR = 0.5
C
      AL1 = C7A0(1)*(TT2-TT1)
      AL2 = C7A1(1)*(TT2**2-TT1**2)/2.0
      AL3 = C7A2(1)*(TT2**3-TT1**3)/3.0
      ALPHDT = FACTOR*(AL1+AL2+AL3)
C
      RSSUPP = 0.0
      REACNA = 0.0
      REACFU = 0.0
      REACST = 0.0
      REACFG = 0.0
      JOENNA = ID6C00
      JINDXT = 1
      JINDXA = 1
      JKOFF = 0
      JKZOFF = 0
C
      DO 100 K=1, NSCHAN
      KK1 = IY5FLA+L6ATYP(IL6ATY+K)
      KK2 = IA6ROD+K
      KK3 = IN6ROD+K
      ARO = SQRT(3.0)*(Y5FLAT(KK1)**2)*N5ASSY(IN5ASS+K)/2.0
      FRACNA = A6ROD(KK2)*N6RODS(KK3)/ARO
C
      NFR = NSNFR(IN5NFR+K)
      XNF = FLOAT(NFR)
      XN5 = FLOAT(N5RODS(IN5ROD+K))
      JJ = NSSSLIC(IN5SLI+K)
      NJLOW = 0
      NJHIGH = JJ
      IF (Z5UFGP(I25UFG+K) .LT. Z9MIN) GO TO 1
      NJHIGH = NJHIGH-N5UFGP(IN5UFG+K)
1   CONTINUE
      IF (Z5LFGP(I25LFG+K) .LT. Z9MIN) GO TO 2
      NJLOW = N5LFGP(IN5LFG+K)+1
2   DO 125 J=1,JJ
      JOENNA = JOENNA+1
      IF (J .LT. NJLOW .OR. J .GT. NJHIGH) GO TO 3
C ***** COMPUTE NA DENSITY EFFECT

```

```

TIME<10:24:50> DATE<10/24/87>
T107D.SSCL2.CS.DATA
MEMBER NAME REAC

C *****
      RHONA = (D6COOL(JDENNA)+D6COOL(JDENNA+1))/2.0
      WEGNA = RHONA*V6NOD(E1V6NOD+JINDXT)
      AFAC1 = 2.0*ALPHDT*WEGNA/FRACNA
      REANA = AFAC1*FSVWGT(IF5VWG+JINDXT)*(-1.0)
      REACNA = REACNA+REANA
      IF (J.NE.JJ) GO TO 4
      IF (P6NODE(IP6NOD+JINDXT).LT.P6MIN) GO TO 4
      IF (T6NODE(IT6NOD+JINDXT).LT.SATT1S(P6NODE(IP6NOD+JINDXT)))
      1   +T6SUPH) GO TO 4
      WRITE(L90UT,1000) K
      1000 FORMAT(37HO SODIUM BOILING DETECTED IN CHANNEL ,I2,
      +           21H BY SUBROUTINE VOIDST)
      4  CONTINUE

C
C *****
C ***** COMPUTE FUEL DENSITY EFFECT
C *****
      JTYP = J5TYP(IJ5TYP+JINDXT)
      LOC = IC5AF+5*(JTYP-1)
      LOC1 = IC5DF+3*(JTYP-1)
      TEXTRA = T5DPAV(IT5DPA+JINDXA)

C
      TLLOW = C5AF(4+LOC)
      T = TEXTRA
      5  IF (T.GT.TLOW) GO TO 6
      ALFA = ALFASA(T,LOC)
      DENS = DENSSD(T,ALFA,LOC1)
      GO TO 8
      6  THIGH = C5AF(5+LOC)
      IF (T.GT.THIGH) GO TO 7
      ALFFLOW = ALFASA(TLOW,LOC)
      DENLOW = DENSSD(TLOW,ALFFLOW,LOC1)
      ALFHGH = C5AF(3+LOC)
      DENHGH = C5DF(3+LOC1)
      TMULT = (T-TLOW)/(THIGH-TLOW)
      ALFA = ALFFLOW+(ALFHGH-ALFFLOW)*TMULT
      DENS = DENLOW+(DENHGH-DENLOW)*TMULT
      GO TO 8
      7  ALFA = C5AF(3+LOC)
      DENS = C5DF(3+LOC)/(1.0+ALFA*(T-THIGH))**3
      8  CONTINUE
      ALFEXT=ALFA
      LL = LPNT9U(8H X5SS1)/4
      RIN = X5SS1(IX5SS1+JINDXT)
      DELTR = X5SS1(IX5SS1+JINDXT+LL)
      IF (L5MESH.GT.0) GO TO 9
      AREA = ((RIN+(XNF*DELTR))**2-(RIN**2))*C9PI*XNS
      GO TO 10
      9  AREA = XHF*XNS*(C9PI*((RIN**2)+(DELTR**2)))
      10 VOLUME = AREA*Z5REF(IZ5REF+JINDXT)
      WEGFUE = DENS*VOLUME
      AFAC2 = 2.0*ALPHDT*WEGFUE
      REAFU = AFAC2*FSAWGT(IF5AWG+JINDXT)
      REACFU = REACFU+REAFU

C *****
C ***** COMPUTE STRUCTURE DENSITY EFFECT
C *****
      JKR = INSJK+JKOFF+J
      KK4 = ITSFUE+N5JK(JKR)+4+NFR
      TSTR = TSFUEL(KK4)
      JJJ = IZ5ELE+JKZOFF+J
      RINSTR = X1CLIR(K)
      ROUTST = X1CLOR(K)
      ACLAD = C9PI*(ROUTST**2-RINSTR**2)
      ASTRC = ACLAD+V5STR((IV5STR+K)
      DENSTR = DEN570(1,TSTR)
      VOLSTR = XNS*ASTRC*(Z5ELEV(JJJ+1)-Z5ELEV(JJJ))
      WEGSTR = VOLSTR*DENS
      AFAC3 = 2.0*ALPHDT*WEGSTR
      REAST = AFAC3*FSVWGT(JINDXA)
      REACST = REACST+REAST

C
      RSSUPP = RSSUPP+REANA+REAFU+REAST
C
      JINDXA=JINDXA+1

```

```

TIME<10:24:50> DATE<10/24/87>
T1070.SSCL2.CS.DATA
MEMBER NAME REAC

      3   JINDXT=JINDXT+1
  125  CONTINUE
      JOENNA = JOENNA+1
      JKOFF  = JKOFF+JJ
      JKZOFF = JKZOFF+JJ+1
  100  CONTINUE
C
      REACFG = ALPHDT*REXCOF
      RSSUPP = RSSUPP+REACFG
C
      RETURN
      END
*/ ****
*/      SUBROUTINE STRCST
*/
*/ ****
*DK STRCST
      SUBROUTINE STRCST
C
C
      CALCULATION FOR REACTIVITY BY
      EXPANSION OF STRUCTURE
C
*CALL /REAC3T/
*CALL /REAC4T/
*CALL /REAC6T/
*CALL /VD9V/
*CALL /T63/
*CALL /5NVD/
*CALL /5VD/
*CALL /6VD/
*CALL /60VD/
*CALL /6IVD/
*CALL /CSVD/
*CALL /R5VD/
*CALL /26RVD/
*CALL /T62/
*CALL /DAT5TD/
*CALL DATA9C
*CALL /PCS10/
*CALL /UNIT/
*CALL /AC1/
*CALL /AC7/
C
C
*****      C O D E      S T R U C T U R E :      *****
C
C
C      1.0    COMPUTE EACH COEFFICIENT
C      2.0    COMPUTE EACH REACTIVITY
C              (EFFECT OF CLAD ,SPACER AND WRAPPER TUBE)
C
***** ****
C
      RSSTRC = 0.0
      RCLDAX = 0.0
      RCLDRD = 0.0
      RWRPAX = 0.0
C
      JINDXT = 1
      JINDXA = 1
      JOENNA = ID6CO0
      JTEMNA = IT6N00
      JKOFF = 0
C
      DO 100 K=1, NSCHAN
      NFR = NSNFR(INSNFR+K)
      LRTYP = L6ATYP(IL6ATY+K)
C
      RODS = N6RODS(IN6ROD+K)
      RIN = X1CLIR(K)
      ROUT = X1CLOR(K)
      ACLAD = C9PI*(ROUT**2-RIN**2)*RODS
C

```

```

TIME<10:24:50> DATE<10/24/87>
T107D.SSCL2.CS.DATA
MEMBER NAME REAC

      HHEXC = Y5FLAT(IY5FLA+LRTYP)
      DELHX = X5HXCN(IX5HXC+LRTYP)
      ASSYN = N5ASSY(IN5ASS+K)
      AWRAP = 2.0*SQRT(3.0)*HHEXC*DELHX*ASSYN
C
      RWIRE = Y5WIRE(IY5WIR+LRTYP)/2.0
      PDWIR = F6PWD (I6PWD+LRTYP)
      ASPAC = C9PI*RWIRE*RWIRE=SQRT(1.0+(C9PI/PDWIR)**2)*RODS
C
      APIN = C9PI*ROUT*ROUT*RODS
      ACOOL = A6R0D(CA6R0D+K)*RODS
C
      ASTRC = ACLAD+AWRAP+ASPAC
C
      FCLAD = ACLAD/ASTRC
      FWRAP = AWRAP/ASTRC
      FPIN = APIN/ACOOL
C
      JJ = N5SLICK(IN5SLI+K)
      NJLOW = 0
      NJHIGH = JJ
      IF (Z5UFGP(I25UFG+K) .LT. Z9MIN) GO TO 1
      NJHIGH = NJHIGH-N5UFGP(IN5UFG+K)
1  CONTINUE
      IF (Z5LFGP(I25LFG+K) .LT. Z9MIN) GO TO 2
      NJLOW = N5LFGP(IN5LFG+K)+1
2  DO 125 J=1,JJ
      JDENNA = JOENNA+1
      JTEMNA = JTEMNA+1
      IF (J .LT. NJLOW .OR. J .GT. NJHIGH) GO TO 3
      JK = IN5JK+JKOFF+J
      KK1 = IT5FUE+NSJK(JK)+2+NFR
      KK2 = IT5FUE+NSJK(JK)+4+NFR
      TCLAD = TSFUEL(KK1)
      TSTRC = TSFUEL(KK2)
      TCOOL = (T6NODE(JTEHNA)+T6NODE(JTENNA+1))/2.0
      TCLADB = TCLDBS(JINDXA)
      TSTRCB = TSTRBS(JINDXA)
      TCOOLB = TCOOBS(JINDXA)
C
      ALPHCL = ALFA7A(1,TCLAD)
      ALPHST = ALFA7A(1,TSTRC)
      WETCLD = DEN57D(1,TCLAD)*ACLAD*Z5REF(I25REF+JINDXT)
      WETSTR = DEN57D(1,TSTRC)*AWRAP*Z5REF(I25REF+JINDXT)
      RHONAT = (D6COOL(JDENNA)+D6COOL(JDENNA+1))/2.0
      WETNAT = RHONAT*V6NODE(IV6NOD+JINDXT)
      COEFNA = F5VWGT(IF5VWG+JINDXT)
C
      RCLDA1 = ALPHCL*FCLAD*WETCLD*F5SWGT(JINDXA)*(TCLAD-TCLADB)
      RCLDR1 = 2.0*ALPHCL*FPIN*WETNAT*COEFNA*(TCOOL-TCOOLB)
      RWRPA1 = ALPHST*FWRAP*WETSTR*F5SWGT(JINDXA)*(TSTRC-TSTRCB)
C
      RCLDAX = RCLDAX+RCLDA1
      RCLDRD = RCLDRD+RCLDR1
      RWRPAX = RWRPAX+RWRPA1
C
      R5STRC = R5STRC+RCLDA1+RCLDR1+RWRPA1
C
      JINDXA=JINDXA+1
3  JINDXT=JINDXT+1
125 CONTINUE
      JDENNA = JOENNA+1
      JTEMNA = JTEMNA+1
      JKOFF = JKOFF+JJ
100 CONTINUE
C
      RETURN
END

```

(6) 原子炉熱輸送系配管壁から周辺雰囲気への熱放散モデル

```

TIME<13:46:18> DATE<11/12/87>
T107D.SSCL2.CS.DATA
MEMBER NAME PWHR

/* ****
*/
/*      DECAY HEAT REMOVAL FROM PIPING WALL
      A. YAMAGUCHI          1985 7/11
*/
/* ****
*/
*ID PWHR
/* ****
*/
/* DEFINE NEW COMMON DECK
*/
/* ****
*/
*CD PWHRD
    COMMON /PWHR0/ Y1TI(10), Y2TI(10), T1A, T2A,
    1 F1BO(3), F2BO(3), B1GS, B2GS, F1EMXP
    COMMON /PWHR1/ IY1TIN, IY2TIN, IF1THJ, IF1TIN,
    1 IF1THL, IF2THJ, IF2THL, IT1INA,
    2 IT1INS, IT2INA, IT2INS, IT1ATS, IT1ATP,
    3 IT2ATS, IT2ATP, IF1BOU, IF2BOU, IB1GCA,
    4 LB2GCA
    COMMON /PWHR2/ LY1TIN, LY2TIN, LF1THJ, LF1TIN,
    1 LF1THL, LF2THJ, LF2THL, LT1INA,
    2 LT1INS, LT2INA, LT2INS, LT1ATS, LT1ATP,
    3 LT2ATS, LT2ATP, LF1BOU, LF2BOU, LB1GCA,
    4 LB2GCA
    COMMON /PWHR3/ L1PWHR, L2PWHR, ITRMAX
    COMMON /PWHR4/ C1K10, C1K11, C1K12, C1K13,
    1 C1H10, C1H11, C1H12
    DIMENSION Y1TINS(1), Y2TINS(1), F1THJK(1), F1TINS(1),
    1 F1THLK(1), F2THJK(1), F2TINS(1), F2THLK(1), T1INSA(1),
    2 T1INSS(1), T2INSA(1), T2INSS(1), T1ATMS(1), T1ATMP(1),
    3 T2ATMS(1), T2ATMP(1), F1BOUN(1), F2BOUN(1), B1GCAB(1),
    4 B2GCAB(1)
    EQUIVALENCE (C9VDIM(1), Y1TINS(1), Y2TINS(1), F1THJK(1),
    1 F1TINS(1), F1THLK(1), F2THJK(1), F2TINS(1), F2THLK(1),
    2 T1INSA(1), T1INSS(1), T2INSA(1), T2INSS(1), T1ATMS(1),
    3 T1ATMP(1), T2ATMS(1), T2ATMP(1), F1BOUN(1), F2BOUN(1),
    4 B1GCAB(1), B2GCAB(1))
/*
*/
/* BLOCK DATA
*/
/* ****
*/
*OK BLKNEW
    BLOCK DATA
*CALL /V09V/
*CALL PWHRD
    DATA C1K10 / 0.003/, C1K11 / 1.0 E-4/, C1K12 / 0.0 /, C1K13 / 2.10E-10/, C1H10 / 0.8512/, C1H11 / 0.25 /, C1H12 / 2.3035E-9/
    END
/*
*/
/* FOR RESTART FILE
*/
/* ****
*/
*INSERT SVCMTP.26
    COMMON /PWHR0/ UPWHR0(31)
    COMMON /PWHR1/ IPWHR1(20)
    COMMON /PWHR2/ IPWHR2(20)
    COMMON /PWHR3/ IPWHR3(3)
    COMMON /PWHR4/ UPWHR4(7)
*BEFORE SAVE9T.30
    WRITE(NSAVE) UPWHR0,IPWHR1,IPWHR2,IPWHR3,UPWHR4
*BEFORE REST9T.48
    READ(NSAVE) UPWHR0,IPWHR1,IPWHR2,IPWHR3,UPWHR4
/*
*/
/* SUBROUTINE PRET1T
*/
/* ****
*/
*INSERT PRET1T.24
*CALL PWHRD
*INSERT PRET1T.80
    IF (L1PWHR.EQ.0) THEN
*INSERT PRET1T.85
        END IF
*INSERT PRET1T.86
    IF (L1PWHR.EQ.0) THEN
*INSERT PRET1T.96
        END IF
*INSERT PRET1T.100
    IF (L2PWHR.EQ.0) THEN

```

```

TIME<13:46:18> DATE<11/12/87>
T107D.SSCL2.CS.DATA
MEMBER NAME PWHR
*INSERT PRET1T.105
    END IF
*INSERT PRET1T.106
    IF (L2PWHR.EQ.0) THEN
*INSERT PRET1T.116
    END IF
*/ ****
*/   SUBROUTINE READ1R
*/ ****
*INSERT READ1R.31
*CALL PWHRD
*INSERT READ1R.240
    LY1TIN = J1REF
    IY1TIN = NPNT9U(8H Y1TINS,LY1TIN,M4)
*INSERT READ1R.244
    LY2TIN = J2REF
    IY2TIN = NPNT9U(8H Y2TINS,LY2TIN,M4)
*/ ****
*/   SUBROUTINE CALC1R
*/ ****
*INSERT CALC1R.43
*CALL PWHRD
*INSERT CALC1R.187
    LF1THJ = J1REF
    IF1THJ = NPNT9U(8H F1THJK,LF1THJ,M4)
    LF1TIN = J1REF
    IF1TIN = NPNT9U(8H F1TINS,LF1TIN,M4)
    LF1THL = J1REF
    IF1THL = NPNT9U(8H F1THLK,LF1THL,M4)
*INSERT CALC1R.189
    LT1INA = I1REF
    IT1INA = NPNT9U(8H T1INSA,LT1INA,M4)
    LT1INS = I1REF
    IT1INS = NPNT9U(8H T1INSS,LT1INS,M4)
    LT1ATS = N1LOOP
    IT1ATS = NPNT9U(8H T1ATMS,LT1ATS,M4)
    LT1ATP = N1LOOP
    IT1ATP = NPNT9U(8H T1ATHP,LT1ATP,M4)
    LF1BOU = N1LOOP
    IF1BOU = NPNT9U(8H F1BOUN,LF1BOU,M4)
    LB1GCA = N1LOOP
    IB1GCA = NPNT9U(8H B1GCAB,LB1GCA,M4)
*INSERT CALC1R.337
    LF2THJ = J2REF
    IF2THJ = NPNT9U(8H F2THJK,LF2THJ,M4)
    LF2TIN = J2REF
    IF2TIN = NPNT9U(8H F2TINS,LF2TIN,M4)
    LF2THL = J2REF
    IF2THL = NPNT9U(8H F2THLK,LF2THL,M4)
*INSERT CALC1R.339
    LT2INA = I2REF
    IT2INA = NPNT9U(8H T2INSA,LT2INA,M4)
    LT2INS = I2REF
    IT2INS = NPNT9U(8H T2INSS,LT2INS,M4)
    LT2ATS = N1LOOP
    IT2ATS = NPNT9U(8H T2ATMS,LT2ATS,M4)
    LT2ATP = N1LOOP
    IT2ATP = NPNT9U(8H T2ATHP,LT2ATP,M4)
    LF2BOU = N1LOOP
    IF2BOU = NPNT9U(8H F2BOUN,LF2BOU,M4)
    LB2GCA = N1LOOP
    IB2GCA = NPNT9U(8H B2GCAB,LB2GCA,M4)
*INSERT CALC1R.379
    DO 1100 KK = 1 , N1LOOP
    B1GCAB(B1GCA+KK) = B1GS
    B2GCAB(B2GCA+KK) = B2GS
    F1BOUN(F1BOU+KK) = F1BO(KK)
    F2BOUN(F2BOU+KK) = F2BO(KK)
1100  CONTINUE
*INSERT CALC1R.423
    DO 1750 J = 1 , N
    Y1TINS(IY1TIN+J) = Y1TI(J)
1750  CONTINUE
*INSERT CALC1R.443
    L6Z = L1PZ + IY1TIN
*INSERT CALC1R.452

```

```

TIME<13:46:18> DATE<11/12/87>
T107D.SSCL2.CS,DATA
MEMBER NAME PWHR
      LL = L6Z + J
      Y1TINS(LL) = Y1TINS(IY1TIN+J)
*INSERT CALC1R.500
      DO 2850 J = 1 , NPIPE
      Y2TINS(IY2TIN+J) = Y2TI(J)
2850  CONTINUE
*INSERT CALC1R.514
      LU22 = L2PZ + IY2TIN
*INSERT CALC1R.525
      LU2 = LU22 + J
      Y2TINS(LU2) = Y2TINS(IY2TIN+J)
*/* **** SUBROUTINE PIPE1S ****
*/* **** SUBROUTINE PIPE1S ****
*/* **** SUBROUTINE PIPE1S ****
*INSERT PIPE1S.22
*CALL PWHRD
*DELETE PIPE1S.59,61
      IF (L1PWHR.EQ.0) THEN
        DO 100 I = 2,M
          IJK = IT1NA+I+IFS
          T1NA(IJK) = T1NA(IT1NA+1+IFS)
100   CONTINUE
      ELSE
        CALL PWHR1S (J,M)
      END IF
*/* **** SUBROUTINE LOOP1S ****
*/* **** SUBROUTINE LOOP1S ****
*/* **** SUBROUTINE LOOP1S.29 ****
*CALL DAT12T
*CALL PWHRD
*INSERT LOOP1S.187
      IF (L1PWHR.NE.0) THEN
        DO 120 IK = 1 , N1LOOP
        T1ATMS(IT1ATS+IK) = T1A
        T1ATMP(IT1ATP+IK) = T1A
120   CONTINUE
      END IF
*INSERT LOOP1S.239
      IF (L1PWHR.NE.0) THEN
        JK = IF1THI + IK + J
        F1THIK(JK) = F1THIK(IF1THI+J)
        JK = IF1THJ + IK + J
        F1THJK(JK) = F1THJK(IF1THJ+J)
        JK = IF1TIN + IK + J
        F1TINS(JK) = F1TINS(IF1TIN+J)
        JK = IF1THL + IK + J
        F1THLK(JK) = F1THLK(IF1THL+J)
        JK = IA1WAL + IK + J
        A1WALL(JK) = A1WALL(IA1WAL+J)
        JK = IB1WAL + IK + J
        B1WALL(JK) = B1WALL(IB1WAL+J)
        JK = IV1OLN + IK + J
        V1OLNA(JK) = V1OLNA(IV1OLN+J)
      END IF
*INSERT LOOP1S.240
      M1 = M - 1
*DELETE LOOP1S.243
      DO 680 I = 1,M
*DELETE LOOP1S.245
      T1NA(IJK) = T1NA(JK1+I)
680   CONTINUE
      IF (L1PWHR.NE.0) THEN
        JK = IT1WAL + L1NODE(IL1NOD+IK+J)
        JK1 = IT1WAL + L1NODE(IL1NOD+J)
        DO 690 I = 1,M1
        IJK = JK + I
        T1WALL(IJK) = T1WALL(JK1+I)
        T1INSA(IJK) = T1INSA(JK1+I)
        T1INSS(IJK) = T1INSS(JK1+I)
690   CONTINUE
      END IF
700   CONTINUE
*/* **** SUBROUTINE PIPE2S ****
*/* **** SUBROUTINE PIPE2S ****
*/* **** SUBROUTINE PIPE2S ****

```

```

TIME<13:46:18> DATE<11/12/87>
T107D.SSCL2.CS.DATA
MEMBER NAME PWHR
*INSERT PIPE2S.17
*CALL PWHRD
*DELETE PIPE2S.49,51
  IF (L2PWHR.EQ.0) THEN
    DO 100 I = 2,N
      IJK = IT2NA+I+IFS
      T2NA(IJK) = T2NA(IT2NA+IFS+1)
100   CONTINUE
  ELSE
    CALL PWHR2S (J,N)
  END IF
*/
*/ **** SUBROUTINE LOOP2S ****
*INSERT LOOP2S.22
*CALL DAT12T
*CALL PWHRD
*INSERT LOOP2S.224
  IF (L2PWHR.NE.0) THEN
    DO 120 IK = 1 , N1LOOP
      T2ATNS(IT2ATS+IK) = T2A
      T2ATNP(IT2ATP+IK) = T2A
120   CONTINUE
  END IF
*INSERT LOOP2S.289
  IF (L2PWHR.NE.0) THEN
    JK = IF2THI + NPP + J
    F2THIK(JK) = F2THIK(IF2THI+J)
    JK = IF2THJ + NPP + J
    F2THJK(JK) = F2THJK(IF2THJ+J)
    JK = IF2TIN + NPP + J
    F2TINS(JK) = F2TINS(IF2TIN+J)
    JK = IF2THL + NPP + J
    F2THLK(JK) = F2THLK(IF2THL+J)
    JK = IA2WAL + NPP + J
    A2WALL(JK) = A2WALL(IA2WAL+J)
    JK = IB2WAL + NPP + J
    B2WALL(JK) = B2WALL(IB2WAL+J)
    JK = IV2OLN + NPP + J
    V2OLNA(JK) = V2OLNA(IV2OLN+J)
  END IF
*INSERT LOOP2S.290
  N1 = N - 1
*DELETE LOOP2S.294
  DO 1280 I = 1,N
*DELETE LOOP2S.296
  T2NA(IJK) = T2NA(JK1+I)
1280 CONTINUE
  IF (L2PWHR.NE.0) THEN
    JK = IT2WAL + L2NODE(IL2NOD+NPP+J)
    JK1 = IT2WAL + L2NODE(IL2NOD+J)
    DO 1290 I = 1,N1
      IJK = JK + I
      T2WALL(IJK) = T2WALL(JK1+I)
      T2INSA(IJK) = T2INSA(JK1+I)
      T2INSS(IJK) = T2INSS(JK1+I)
1290 CONTINUE
  END IF
1300 CONTINUE
*/
*/ **** SUBROUTINE LOOP1T ****
*INSERT LOOP1T.45
*CALL PWHRD
*CALL INTEG9
*INSERT LOOP1T.56
C     WRITE (98,1000) S9MSTR
1000 FORMAT(' **** OUTPUT FOR PIPING WALL HEAT REMOVAL **')
1      '      S9MSTR =',E14.6,'SEC'
2      ' **** '
3      ' **** '
*INSERT LOOP1T.60
C
C     INITIALIZE THE ATMOSPHERE TEMPERATURE
C
IF (L1PWHR.NE.0) THEN

```

```

TIME<13:46:18> DATE<11/12/87>
T107D.SSCL2.CS.DATA
MEMBER NAME PWHR
      T1ATMS(IT1ATS+K) = 0.0
      T2ATMS(IT2ATS+K) = 0.0
    END IF
*DELETE LOOP1T.113
  IF (L1PWHR.NE.0) THEN
    T1ATMS(IT1ATS+K) = T1ATMS(IT1ATS+K) + T1ATMP(IT1ATP+K)
C     WRITE(98,1100) T1ATMS(IT1ATS+K)
1100   FORMAT(' ATMOSPHERE TEMPERATURE IS',E12.4,' K')
C
C
      T1ATMP(IT1ATP+K) = T1ATMS(IT1ATS+K)
    END IF
  NPIPES = NPIPES + JMAX
  IF (L2PWHR.NE.0) THEN
    T2ATMS(IT2ATS+K) = T2ATMS(IT2ATS+K) + T2ATMP(IT2ATP+K)
C     WRITE(98,1100) T2ATMS(IT2ATS+K)
C
C
      T2ATMP(IT2ATP+K) = T2ATMS(IT2ATS+K)
    END IF
  END IF
1  CONTINUE
*/ ****
*/ SUBROUTINE PIPE1T
*/ ****
*INSERT PIPE1T.31
*CALL DATA9C
*CALL /BRKIT/
*CALL PWHRD
*INSERT PIPE1T.61
  IF (L1PWHR.NE.0) THEN
    DELX = V10LNA(I10LN+J+NPIPES) / A1PIPE(IA1PIP+J+NPIPES)
    YTHIIN = Y1TINS(IY1TIN+J+NPIPES)
    YTHICK = Y1THIK(Y1THI+J+NPIPES)
    R3 = 0.5 * Y + YTHICK + YTHIIN
  END IF
*INSERT PIPE1T.64
C     WRITE(98,1500) K,J
1500   FORMAT(1H ,**PRIMARY LOOP** LOOP=',I3,' PIPE=',I3/
1           ' NODE',6X,'TOUT',8X,'TWAL',8X,'TINA',8X,'TINS')
*INSERT PIPE1T.82
  IF (L1PWHR.NE.0) THEN
    TINA = T1INSA(IT1INA+I1+IW)
    TINS = T1INSS(IT1INS+I1+IW)
  END IF
*INSERT PIPE1T.85
  IF (L1PWHR.NE.0) THEN
    HKI = CONDIN(TINA)
    HA = HETRIACTNS , T1ATMS(IT1ATS+K))
  END IF
*INSERT PIPE1T.88
  IF (L1PWHR.NE.0) THEN
    CPA = HCAP8C (T1ATMP(IT1ATP+K))
  END IF
*INSERT PIPE1T.99
  IF (L1PWHR.NE.0) THEN
    USUBWA = F1THJK(IF1THJ+J+NPIPES)/AKW +
1        F1TINS(IF1TIN+J+NPIPES)/HKI +
2        0.5/C9PI/DELX/R3/HA
    USUBWA = 1.0 / USUBWA
  END IF
*DELETE PIPE1T.101
  IF (L1PWHR.EQ.0) THEN
    T1PWAL(IT1PWA+IW) = TW + H*TERM*(TBAR-TW)
  ELSE
    TERM2 = USUBWA / CPW / B1WALL(CB1WAL+J+NPIPES)
    T1PWAL(IT1PWA+IW) = TW+H*TERM*(TBAR-TW) -
1        TERM2 * (TW - T1ATMP(IT1ATP+K))
    T1ATMS(IT1ATS+K) = T1ATMS(IT1ATS+K) + F1BOUN(IF1BOU+K) * H /
1        B1GCAB(I81GCA+K) / CPA * USUBWA *
2        (TW - T1ATMP(IT1ATP+K))
    FACTR1 = F1THJK(IF1THJ+J+NPIPES) / AKW
    FACTR2 = F1TINS(IF1TIN+J+NPIPES) / HKI
    FACTR3 = 0.5 / C9PI / DELX / R3 / HA
    FACTR = FACTR1 + FACTR2 + FACTR3
    FACTR4 = F1THLK(IF1THL+J+NPIPES) / HKI
    QCOOL = (TW - T1ATMP(IT1ATP+K)) / FACTR
  END IF

```

```

TIME<13:46:18> DATE<11/12/87>
T1070.SSCL2.CS.DATA
MEMBER NAME PWHR

C      UPDATE NEW VARIABLES
C
      T1INSS(IT1INS+I1+IW) = T1ATMP(IT1ATP+K) + QCool * FACTR3
      T1INSA(IT1INA+I1+IW) = T1INSS(IT1INS+I1+IW) +
      1           QCool * FACTR4
      WRITE (98,2000) I,T1NA(IT1NA+I1+I+1),T1PWAL(IT1PWA+IW),
      C 1           T1INSA(IT1INA+I1+IW),T1INSS(IT1INS+I1+IW)
      2000   FORMAT(1H ,I3,4F12.3)
      END IF
*/ ****
/* SUBROUTINE PIPE2T
/* ****
*INSERT PIPE2T.47
*CALL /BRK2T/
*CALL DATA9C
*CALL PWHRD
*INSERT PIPE2T.60
      IF (L2PWHR.NE.0) THEN
          DELX = V20LNA(IV20LN+J+NP) / A2PIPE(IA2PIP+J+NP)
          YTHIIN = Y2TINS(IY2TIN+J+NP)
          YTHICK = Y2THIK(IY2THI+J+NP)
          R3 = 0.5 * Y + YTHICK + YTHIIN
      END IF
*INSERT PIPE2T.69
      WRITE(98,1500) K,J
      1500 FORMAT(1H ,**INTERMEDIATE LOOP** LOOP=',I3,' PIPE=',I3/
      1           ' NODE',6X,'TOUT',8X,'TWAL',8X,'TINA',8X,'TINS')
*INSERT PIPE2T.87
      IF (L2PWHR.NE.0) THEN
          TINA = T2INSA(IT2INA+I1+IW)
          TINS = T2INSS(IT2INS+I1+IW)
      END IF
*INSERT PIPE2T.90
      IF (L2PWHR.NE.0) THEN
          HKI = CONDIN(TINA)
          HA = HETRIA(TINS , T2ATMS(IT2ATS+K))
      END IF
*INSERT PIPE2T.93
      IF (L2PWHR.NE.0) THEN
          CPA = HCAP8C (T2ATMP(IT2ATP+K))
      END IF
*INSERT PIPE2T.98
      IF (L2PWHR.NE.0) THEN
          USUBWA = F2THJK(IF2THJ+J+NP)/AKW +
          1           F2TINS(IF2TIN+J+NP)/HKI +
          2           0.5/C9PI/DELX/R3/HA
          USUBWA = 1.0 / USUBWA
      END IF
*DELETE PIPE2T.105
      IF (L2PWHR.EQ.0) THEN
          T2PWAL(IT2PWA+IW) = TW + H*TERM*(TBAR-TW)
      ELSE
          TERM2 = USUBWA / CPA / B2WALL(IB2WAL+J+NP)
          T2PWAL(IT2PWA+IW) = TW+H*TERM*(TBAR-TW) -
          1           TERM2 * (TW - T2ATMP(IT2ATP+K))
          T2ATMS(IT2ATS+K) = T2ATMS(IT2ATS+K) + F2BOUN(IF2BOU+K) * H /
          1           B2GCAB(B2GCA+K) / CPA * USUBWA *
          2           (TW - T2ATMP(IT2ATP+K))
          FACTR1 = F2THJK(IF2THJ+J+NP) / AKW
          FACTR2 = F2TINS(IF2TIN+J+NP) / HKI
          FACTR3 = 0.5 / C9PI / DELX / R3 / HA
          FACTR = FACTR1 + FACTR2 + FACTR3
          FACTR4 = F2THLK(IF2THL+J+NP) / HKI
          QCool = (TW - T2ATMP(IT2ATP+K)) / FACTR
C      UPDATE NEW VARIABLES
C
          T2INSS(IT2INS+I1+IW) = T2ATMP(IT2ATP+K) + QCool * FACTR3
          T2INSA(IT2INA+I1+IW) = T2INSS(IT2INS+I1+IW) +
          1           QCool * FACTR4
          WRITE (98,2000) I,T2NA(IT2NA+I1+I+1),T2PWAL(IT2PWA+IW),
          C 1           T2INSA(IT2INA+I1+IW),T2INSS(IT2INS+I1+IW)
          2000   FORMAT(1H ,I3,4F12.3)
      END IF
*/ ****

```

```

TIME<13:46:18> DATE<11/12/87>
T107D.SSCL2.CS.DATA
MEMBER NAME PWHR
      NAMELIST STATEMENT
      ****
*INSERT CDRR9R.18
*CALL PWHRD
      NAMELIST /PWHR/ L1PWHR , L2PWHR , Y1TI , Y2TI , T1A , T2A ,
      1           F1EMXP , ITRMAX , F1B0 , F2B0 , B1GS, B2GS
*BEFORE CDRR9R.128
      READ (4,PWHR)
      WRITE(6,PWHR)
      ****
      FUNCTION HCAP8C
      ****
*DK HCAP8C
      FUNCTION HCAP8C ( T )
C.....
C
C..IDENTIFICATION:
C -----
C
C
C          H C A P 8 C
C
C
C          SPECIFIC HEAT CAPACITY OF N2
C
C*****      C O D E      S T R U C T U R E : *****
C      - - - - -
C
C          COMPUTE HCAP8C
C
C
C*****      H C A P 8 C
C
C
C          HCAP8C = 0.2426
C          HCAP8C=2.4021E-1+T*(1.91758E-6 +T*( 1.31187E-7 -1.03759E-10*T ))
C          HCAP8C = 1042.6
C          RETURN
C          END
*      ****
*      FUNCTION METRIA
*      ****
*DK METRIA
      FUNCTION METRIA (TS,TA)
C.....
C
C..IDENTIFICATION:
C -----
C
C
C          H E T R I A
C
C
C          HEAT TRANSFER COEFFICIENT FROM PIPING INSULATOR
C          SURFACE TO ATMOSPHERE
C
C
C*****      D A T A      D E F I N I T I O N S : *****
C      - - - - -
*CALL /VD9V/
*CALL PWHRD
C
C
C*****      C O D E      S T R U C T U R E : *****
C
C
C          COMPUTE METRIA
C
C
C*****      M E T R I A
C
C
C          METRIA = C1HI0*(TS-TA)**C1HI1 + C1HI2*(TS*TS*TS + TS*TS*TA +
C          1           TS*TA*TA + TA*TA*TA)
C

```

```

TIME<13:46:18> DATE<11/12/87>
T107D.SSCL2.CS.DATA
MEMBER NAME PWHR

      RETURN
      END
      *****
      FUNCTION CONDIN
      *****
      *DK CONDIN
      FUNCTION CONDIN (T)
C.....C
C
C..IDENTIFICATION:
C -----
C
C
C          C O N D I N
C
C
C          HEAT CONDUCTIVITY OF PIPING INSULATOR
C
C
C***** DATA DEFINITIONS : *****
C
*CALL /VD9V/
*CALL PWHRD
C
C
C***** CODE STRUCTURE : *****
C
C
C          COMPUTE HETRIA
C
C
C***** *****
C
C          CONDIN = C1KI0 + T*(C1KI1 + T*(C1KI2 + C1KI3*T))
C
      RETURN
      END
      *****
      SUBROUTINE PWHR1S
      *****
      *DK PWHR1S
      SUBROUTINE PWHR1S (JJ,HH)
C
C
C.....C
C
C..IDENTIFICATION:
C -----
C
C          P W H R 1 S
C
C
C          THIS ROUTINE SOLVES THE STEADY STATE TEMPERATURE
C          EQUATIONS FOR PIPE J IN THE COOLANT LOOP. PIPE WALL AND
C          ATMOSPHER TEMPERATURES ARE ALSO CALCULATED BY ITERATIVE
C          METHOD.
C
C
C
C***** DATA DEFINITIONS : *****
C
C
*CALL /VD9V/
*CALL PWHRD
*CALL DATA9C
*CALL DATA1L
*CALL DATA1A
*CALL DAT12T
*CALL /BRK1T/
*CALL /LOCL1/
*CALL /5VD/
*CALL /UNIT/
      CHARACTER ERR*1
C
C
C

```



```

TIME<13:46:18> DATE<11/12/87>
T107D.SSCL2.CS.DATA
MEMBER NAME PWHR

      TINS = TATHM * (1.0 + F1EMXP)
      TINSP = TINS
      TWAL = TBARP
      TWALP = TWAL
      TINA = 0.5 * (TINSP + TWAL)
      TINAP = TINA
      EIN = ENTH1H(TIN)
      RESIDP = 1.E10
      K0ITR = 0
C
C      ITERATION **** STEP 0 ****
C      OUTER ITERATION LOOP
C
10    CONTINUE
      T1 = TIN
      T2 = TATHM
      HA = HETRIA (TINSP , TATHM)
      HKI = CONDIN (TINAP)
      HKP = COND?K (LS,TWALP)
      AK = COND1K (TBARP)
      C = HCAP1C (TBARP)
      ANU = VISC1H (TBARP)
      PEC = APEC*C/AK
      PR = C * ANU / AK
      RE = APEC / ANU
      AHUS = ANUS1U(PEC,RE,PR,2)
      H = ANUS * AK / Y
      FACTR = F1THJK(IF1THJ+J)/HKP + F1TINS(IF1TIN+J)/HKI + FSURF/HA +
1      FINSU / H + FWALL / HKP
      FACTR = W1REF(IW1REF+1) * FACTR
      FACTR = 1.0 / FACTR
C
C      ITERATION **** STEP A ****
C      CALCULATE OUTLET AND AVERAGE COOLANT TEMPERATURE
C
50    CONTINUE
      EOUT = ENTH1H(TOUT)
      EIN = HCAP1C(T1NA(IJK1)) * TINA(IJK1)
      EOUT = HCAP1C(T1NA(IJK)) * TINA(IJK)
      RESID = EOUT - EIN + FACTR*(TBAR-TATHM)
      IF (RESID.GE.0.0) THEN
        T1 = TOUT
      ELSE
        T2 = TOUT
      END IF
      TOUTP = TOUT
      TBARP = TBAR
      TOUT = 0.5*(T1+T2)
      TBAR = 0.5 * (TIN + TOUT)
      EPS = ABS((TOUT-TOUTP)/TOUTP)
      IF (EPS.LE.F1EMXP) GO TO 100
      KITR = KITR + 1
      IF (KITR.GE.ITRMAX) THEN
        ERR = 'A'
        GO TO 900
      ELSE
        GO TO 50
      END IF
C
C      ITERATION **** STEP B ****
C      CALCULATE INSULATOR SURFACE TEMPERATURE
C
100   CONTINUE
      EOUT = ENTH1H(TOUT)
      QCool = W1REF(IW1REF+1)*(EIN-EOUT)
      FACTR = QCool * FSURF
      KITR = 0
120   CONTINUE
C120   HA = HETRIA (TINSP , TATHM)
      TINS = TATHM + FACTR / HA
      EPS = ABS((TINS-TINSP)/TINSP)
      TINSP = TINS
      IF (EPS.LE.F1EMXP) GO TO 150
      KITR = KITR + 1
      IF (KITR.GE.ITRMAX) THEN
        ERR = 'B'

```

```

TIME<13:46:18> DATE<11/12/87>
T107D.SSCL2.CS.DATA
MEMBER NAME PWHR

      GO TO 900
      ELSE
      GO TO 120
      END IF
150  CONTINUE
C
C      ITERATION **** STEP C ****
C      CALCULATE AVERAGE TEMPERATURE OF INSULATOR
C
      FACTR = QCOOL * F1THLK(IF1THL+J)
      KITR = 0
220  CONTINUE
C220  HKI = CONDIN (TINAP)
      TINA = TINS + FACTR / HKI
      EPS = ABS((TINA-TINAP)/TINAP)
      TINAP = TINA
      IF (EPS. LE .F1EMXP) GO TO 250
      KITR = KITR + 1
      IF (KITR.GE.ITRMAX) THEN
          ERR = 'C'
          GO TO 900
      ELSE
          GO TO 220
      END IF
250  CONTINUE
C
C      ITERATION **** STEP D ****
C      CALCULATE PIPING WALL TEMPERATURE
C
      FACTR1 = QCOOL * FINSU
      FACTR2 = QCOOL * FWALL
      KITR = 0
320  CONTINUE
      TWAL = TBAR - FACTR1 / H - FACTR2 / HKP
      EPS = ABS((TWAL-TWALP)/TWALP)
      TWALP = TWAL
      IF (EPS. LE .F1EMXP) GO TO 350
      KITR = KITR + 1
      IF (KITR.GE.ITRMAX) THEN
          ERR = 'D'
          GO TO 900
      ELSE
          GO TO 320
      END IF
350  CONTINUE
C
C      ITERATION **** STEP F ****
C
      EPS = (TOUT - TOUTO) / TOUTO
      IF (ABS(EPS).LE.F1EMXP) GO TO 700
      KOITR = KOITR + 1
      IF (KOITR.GE.ITRMAX) THEN
          ERR = 'F'
          GO TO 900
      ELSE
          TOUTO = TOUT
          GO TO 10
      END IF
700  CONTINUE
      T1NA(IJK) = TOUT
      T1WALL(IT1WAL+IFS+I1) = TWAL
      T1INSA(IT1INA+IFS+I1) = TINA
      T1INSS(IT1INS+IFS+I1) = TINS
      C
      WRITE (98,2000) I,TOUT,TWAL,TINA,TINS
2000 FORMAT(1H ,I3,4F12.3)
800  CONTINUE
      RETURN
900  CONTINUE
      WRITE(L9OUT,1000) ERR,J,I
1000 FORMAT(' ****'/*SUBROUTINE PWHR1S NOT CONVERGENT IN STEP = ',A1,8X,'*/,
1      ' *',/*PIPE NUMBER=',I3,6X,'*/,
2      ' *',/*NODE NUMBER=',I3,6X,'*/,
3      ' *',/*'*/
4      ' *',/*'*/
5      ' *',/*'*/
6      ' *',/*'*/

```

```

TIME<13:46:18> DATE<11/12/87>
T1070.SSCL2.CS.DATA
MEMBER NAME PWHR

    * ****
    STOP
    END
    * ****
    * SUBROUTINE PWHR2S
    * ****
    *DK PWHR2S
        SUBROUTINE PWHR2S (JJ,MM)
C
C
C.....*****
C
C..IDENTIFICATION:
C -----
C
C          P W H R 2 S
C
C          THIS ROUTINE SOLVES THE STEADY STATE TEMPERATURE
C          EQUATIONS FOR PIPE J IN THE SECONDARY COOLANT LOOP.
C          PIPE WALL AND ATMOSPHERE TEMPERATURES ARE ALSO CALCULATED
C          BY ITERATIVE METHOD.
C
C
C
C***** DATA DEFINITIONS : *****
C
C
C
*CALL /VD9V/
*CALL PWHRD
*CALL DATA9C
*CALL DATA1L
*CALL DATA2A
*CALL DAT12T
*CALL /BRK2T/
*CALL /LOCL1/
*CALL /5VD/
*CALL /UNIT/
CHARACTER ERR*1
C
C
C
C***** CODE STRUCTURE : *****
C
C
C
C          UNDER THE ASSUMPTIONS MENTIONED ABOVE, THE STEADY
C          STATE FLOW EQUATIONS ARE SOLVED BY,
C
C
C          1. SET ALL TEMPERATURES TO INLET VALUE
C
C
C***** STATEMENT FUNCTIONS : *****
C
C
C
C
C
C***** *****
C
C
J = JJ
M = MM
MM1 = M - 1
C WRITE(98,1500) JJ
1500 FORMAT(1H ,**INTERMEDIATE LOOP**      PIPE=',I3/
1           ' NODE',6X,'TOUT',8X,'TWAL',8X,'TINA',8X,'TINS')
C
C          INTERMEDIATE LOOP
C
TATH = T2ATMS(IT2ATS+1)
LS = L1STRC - 69
D2RHOW = DENS70(LS,T5REF)
YTHICK=Y2THIK(IY2THI+J)

```

```

TIME<13:46:18> DATE<11/12/87>
T107D.SSCL2.CS.DATA
MEMBER NAME PWHR
      YTHIIN=Y2TINS(IY2TIN+J)
      Y=Y2PIPE(IY2PIP+J)
      R1 = 0.5 * Y
      R2 = R1 + YTHICK
      R3 = R2 + YTHIIN
      DELX=X2PIPE(IX2PIP+J)/FLOAT(MH1)
      ATHIK = C9PI*Y*YTHICK
      A2WALL(IA2WAL+J) = C9PI*Y*DELX
      B2WALL(IB2WAL+J)=D2RHOW*DELX*ATHIK
      V2DLWA(IV2DLN+J) = DELX*A2PIPE(IA2PIP+J)
      APEC = W2NOW*Y/A2PIPE(IA2PIP+J)
      KFTH=IF2THI+J
      F2THIK(KFTH)=0.5*Y*ALOG((Y+YTHICK)/Y)
      KFTH=IF2THJ+J
      F2THJK(KFTH)=0.5/C9PI/DELX*ALOG((2.0*R2)/(R1+R2))
      KFTH=IF2TIN+J
      F2TINS(KFTH)=0.5/C9PI/DELX*ALOG(R3/R2)
      KFTH=IF2THL+J
      F2THLK(KFTH)=0.5/C9PI/DELX*ALOG((2.0*R3)/(R2+R3))
      FSURF = 0.5/C9PI/DELX/R3
      FINSU = 0.5/C9PI/DELX/R1
      FWALL = 0.5/C9PI/DELX/R1*F2THIK(IF2THI+J)

C PIPE NODE LOOP
C
DO 800 I = 2 , N
I1 = I - 1
IFS = L2NODE(IL2N00+L2PIPE(IL2PIP+1)+J)
IJK = IT2NA + I +IFS
IJK1 = IT2NA + I1 +IFS

C ITERATION **** STEP ****
C OBTAIN PREDICTER FOR AVERAGE COOLANT TEMPERATURE
C
T2NA(IJK) = T2NA(IJK1) * (1.0 - 1.E-8)
TIN = T2NA(IJK1)
TOUTP = 0.5 * (TIN + TATH)
TOUT = TOUTP
TOUTO = TOUT
TBAR = 0.5 * (TIN + TOUT)
TBARP = TBAR
TINS = TATH * (1.0 + F1EMXP)
TINSP = TINS
TWAL = TBARP
TWALP = TWAL
TINA = 0.5 * (TINSP + TWAL)
TINAP = TINA
EIN = ENTH1H(TIN)
RESIDP = 1.E10
KOITR = 0
C EIN = HCAP1C(T2NA(IJK1)) * T2NA(IJK1)
C EOUT = HCAP1C(T2NA(IJK)) * T2NA(IJK)
C EIN = ENTH1H(T2NA(IJK1))
C EOUT = ENTH1H(T2NA(IJK))
C
C ITERATION **** STEP 0 ****
C     OUTER ITERATION LOOP
C
10  CONTINUE
T1 = TIN
T2 = TATH
HA = HETRIA (TINSP , TATH)
HKI = CONDIN (TINAP)
HKB = COND7K (LS,TWALP)
AK = CONDIK (TBARP)
C = HCAP1C (TBARP)
ANU = VISC1N (TBARP)
PEC = APEC*C/AK
PR = C * ANU / AK
RE = APEC / ANU
ANUS = ANUSIU(PEC,RE,PR,2)
H = ANUS * AK / Y
FACTR = F2THJK(IF2THJ+J)/HKB + F2TINS(IF2TIN+J)/HKI + FSURF/HA +
      FINSU / H + FWALL / HKB
FACTR = W2NOW * FACTR
FACTR = 1.0 / FACTR

```

```

TIME<13:46:18> DATE<11/12/87>
T107D.SSCL2.CS.DATA
MEMBER NAME PWHR

C      ITERATION **** STEP A ****
C      CALCULATE OUTLET AND AVERAGE COOLANT TEMPERATURE
C
      KITR = 0
50    CONTINUE
      EOUT = ENTH1H(TOUT)
C     EIN = HCAP1C(T2NA(IJK1)) * T2NA(IJK1)
C     EOUT = HCAP1C(T2NA(IJK)) * T2NA(IJK)
      RESID = EOUT - EIN + FACTR*(TBAR-TATH)
      IF (RESID.GE.0.0) THEN
        T1 = TOUT
      ELSE
        T2 = TOUT
      END IF
      TOUTP = TOUT
      TBARP = TBAR
      TOUT = 0.5*(T1+T2)
      TBAR = 0.5 * (TIN + TOUT)
      EPS = ABS((TOUT-TOUTP)/TOUTP)
      IF (EPS.LE.F1ENXP) GO TO 100
      KITR = KITR + 1
      IF (KITR.GE.ITRMAX) THEN
        ERR = 'A'
        GO TO 900
      ELSE
        GO TO 50
      END IF
C
C      ITERATION **** STEP B ****
C      CALCULATE INSULATOR SURFACE TEMPERATURE
C
100   CONTINUE
      QCOOL = W2NOW * (EIN-EOUT)
      FACTR = QCOOL *FSURF
      KITR = 0
C120   HA = HETRIA (TINSP , TATH)
120   CONTINUE
      TINS = TATH + FACTR / HA
      EPS = ABS((TINS-TINSP)/TINSP)
      TINSP = TINS
      IF (EPS. LE .F1EMXP) GO TO 150
      TINSP = TINS
      KITR = KITR + 1
      IF (KITR.GE.ITRMAX) THEN
        ERR = 'B'
        GO TO 900
      ELSE
        GO TO 120
      END IF
150   CONTINUE
C
C      ITERATION **** STEP C ****
C      CALCULATE AVERAGE TEMPERATURE OF INSULATOR
C
      TINA = TINS
      TINAP = TINA
      FACTR = QCOOL * F2THLK(IF2THL+J)
      KITR = 0
C220   HKI = CONDIN (TINAP)
220   CONTINUE
      TINA = TINS + FACTR / HKI
      EPS = ABS((TINA-TINAP)/TINAP)
      TINAP = TINA
      IF (EPS. LE .F1EMXP) GO TO 250
      KITR = KITR + 1
      IF (KITR.GE.ITRMAX) THEN
        ERR = 'C'
        GO TO 900
      ELSE
        GO TO 220
      END IF
250   CONTINUE
C
C      ITERATION **** STEP D ****
C      CALCULATE PIPING WALL TEMPERATURE

```

```

TIME<13:46:18> DATE<11/12/87>
T107D.SSCL2.CS.DATA
MEMBER NAME PWHR

C
C      FACTR1 = 0.5 * QCOOL / C9PI / DELX * ALOG((2.0*R2)/(R1+R2))
C      FACTR2 = 0.5 * QCOOL / C9PI / DELX * ALOG((R3+R2)/(2.0*R2))
C      FACTR1 = QCOOL * FINSU
C      FACTR2 = QCOOL * FWALL
C      KITR = 0
C      HKI = CONDIN (TINA)
C320    HKP = COND7K (LS,TWALP)
320  CONTINUE
C      TWAL = TINA + FACTR1 / HKP + FACTR2 / HKI
C      TWAL = TBAR - FACTR1 / R - FACTR2 / HKP
C      EPS = ABS((TWAL-TWALP)/TWALP)
C      TWALP = TWAL
C      IF (EPS, LE .F1EMXP) GO TO 350
C      KITR = KITR + 1
C      IF (KITR.GE.ITRMAX) THEN
C          ERR = 'D'
C          GO TO 900
C      ELSE
C          GO TO 320
C      END IF
350  CONTINUE
C
C      ITERATION **** STEP F ****
C
C      EPS = (TOUT - TOUTO) / TOUTO
C      IF (ABS(EPS).LE.F1EMXP) GO TO 700
C      KOITR = KOITR + 1
C      IF (KOITR.GE.ITRMAX) THEN
C          ERR = 'F'
C          GO TO 900
C      ELSE
C          TOUTO = TOUT
C          GO TO 10
C      END IF
700  CONTINUE
T2NA(IJK) = TOUT
T2WALL(IT2WAL+IFS+II) = TWAL
T2INSA(IT2INA+IFS+II) = TINA
T2INSS(IT2INS+IFS+II) = TINS
C      WRITE (98,2000) I,TOUT,TWAL,TINA,TINS
2000 FORMAT(1H ,13,4F12.3)
800  CONTINUE
RETURN
900  CONTINUE
      WRITE(L9OUT,1000) ERR,J,I
1000 FORMAT(' ****SUBROUTINE PWHR2S NOT CONVERGENT IN STEP = ',A1,8X,'')
1      ' *
2      ' *      SUBROUTINE PWHR2S      NOT CONVERGENT IN      */
3      ' *                      STEP = ',A1,8X,'      */
4      ' *      PIPE NUMBER=',I3,6X,'      */
5      ' *      NODE NUMBER=',I3,6X,'      */
6      ' *
7      ' ****')*
STOP
END

```

(7) 原子炉容器ガードペッセルモデル

```

TIME<10:24:50> DATE<10/24/87>
T107D.SSCL2.CS.DATA
MEMBER NAME GDPIP

*ID GDPIP
*/ ****
*/
* GUARD PIPE MODEL IN PRIMARY LOOP
*/
* CODED BY A.YAMAGUCHI
* DECEMBER 1984
*/
*/
* ****
*/
* ****
*/
* COMMON DECK
*/
* ****
*CD /GVSL1Y/
COMMON /GVH001/ IGVOPT
COMMON /GVH00P/ IV1GP ,IF1UNV ,IF1GP ,IV1HIP ,IZ1MAP
COMMON /GVH00L/ LV1GP ,LF1UNV ,LF1GP ,LV1HIP ,LZ1MAP
COMMON /GVH00U/ 2GV , ZGP , V1HIP , Z1MAP , V1MAXP,
1      DRGVB , DRGVIB , CRGV , F1GP1 , F1GP2 , F1GP3 ,
2      GVPHT(10) , GVVT(10) , GPVT(10)
DIMENSION V1GP(1), F1UNCV(1), F1GP(1), V1HIP(1), Z1HAGP(1)
EQUIVALENCE ( C9V0IM(1), V1GP(1) ,
1             F1UNCV(1), F1GP(1) , V1HIP(1), Z1HAGP(1) )
*/
* ****
*/
* BLOCK DATA
*/
* ****
*INSERT BLKDAT.200
*CALL /GVSL1Y/
C
C     DATA FOR MONJU GUARD PIPE
C
DATA V1HIP /2.0/, F1GP1 /0.0/, F1GP2 /0.610193826/, F1GP3 /0.0/,
X     Z1MAP /8.51/,
X     V1MAXP /15.93/, DRGVB /0.032/, DRGVIB /0.89/
DATA GVPHT/0.0 , 0.904 , 1.8 , 5.7 , 7.0 , 7.62 , 7.9 ,
1      8.3 , 8.4 , 8.51 ,
2      GVVT/35.0 , 42.27 , 53.83 , 91.68 , 115.70 , 123.55 ,
3      129.24 , 136.62 , 138.21 , 139.80 ,
4      GPVT/2.0 , 4.2 , 5.8 , 10.8 , 12.6 , 13.76 , 14.50 ,
5      15.29 , 15.61 , 15.93/
*/
* ****
* NAMELIST INPUT
*/
* ****
*INSERT CRDR9R.18
*CALL /GVSL1Y/
C
***** VARIABLE DESCRIPTIONS
C     IGVOPT : IF EQ 1 THEN USE SECOND ORDER POLINOMIAL FUNCTION
C               IF EQ 0 THEN USE HEIGHT VS VOLUME TABLE
C               AS THE RELATION BETWEEN GUARD VESSEL/PIPE AND THE SODIUM
C               HEIGHT
C     V1HIP : GUARD PIPE VOLUME BELOW ZERO LEVEL
C     F1GP1 : COEFFICIENT OF THE
C     F1GP2 : COEFFICIENT OF THE
C     F1GP3 : COEFFICIENT OF THE
C     Z1MAP : MAXIMUM SODIUM LEVEL IN THE GUARD PIPE
C     V1MAXP : MAXIMUM SODIUM VOLUME IN THE GUARD PIPE
C     DRGVB : GAP WIDTH OF THE SEPARATION STRUCTURE
C     DRGVIB : INNER DIAMETER OF THE CIRCULAR GAP
C
NAMELIST /GVH00/ IGVOPT , V1HIP , F1GP1 , F1GP2 , F1GP3 ,
1      Z1MAP , V1MAXP , DRGVB , DRGVIB , GVPHT , GVVT ,
2      GPVT
*BEFORE CRDR9R.128
READ (4,GVH00)
WRITE(6,GVH00)
*/
* ****
*/
* RE-START; READ AND WRITE
*/
* ****
*INSERT SVCHTP.26

```

```

TIME<10:24:50> DATE<10/24/87>
T107D.SSCL2.ES.DATA
MEMBER NAME GDPIP
    COMMON /GVMODU/ UGVSL(41)
    COMMON /GVMODP/ IGVSL(5)
    COMMON /GVMODL/ LGVSL(5)
    COMMON /GVMOD1/ LGVMOD(1)
*BEFORE SAVE9T.30
    WRITE(NSAVE) UGVSL
    WRITE(NSAVE) IGVSL
    WRITE(NSAVE) LGVSL
    WRITE(NSAVE) LGVMOD
*BEFORE REST9T.48
    READ (NSAVE) UGVSL
    READ (NSAVE) IGVSL
    READ (NSAVE) LGVSL
    READ (NSAVE) LGVMOD
*/
*/
/*
SUBROUTINE READ1R
*/
/*
***** INSERT READ1R.196
    N1EQ = N1EQ + N1LOOP
*/
/*
SUBROUTINE CALC1R
*/
/*
***** INSERT CALC1R.43
*CALL /GVSL1Y/
*INSERT CALC1R.223
    LV1HIP = N1LOOP
    IV1HIP = NPNT9U(8H V1HIPGP,LV1HIP,M4)
    LF1GP = 3*N1LOOP
    IF1GP = NPNT9U(8H F1GP,LF1GP,M4)
    LZ1MAP = N1LOOP
    Z1HAP = NPNT9U(8H Z1HAGP,LZ1MAP,M4)
*INSERT CALC1R.229
    LF1UNV = N1LOOP
    IF1UNV = NPNT9U(8H F1UNCV,LF1UNV,M4)
    LV1GP = N1LOOP
    IV1GP = NPNT9U(8H V1GP,LV1GP,M4)
*/
/*
SUBROUTINE INIT1T
*/
/*
***** INSERT INIT1T.64
*CALL /GVSL1Y/
*INSERT INIT1T.386
    V1GP(IV1GP+K) = 0.
*INSERT INIT1T.398
    V1HIP(IV1HIP+K) = V1HIP
    Z1HAP(Z1MAP+K) = Z1MAP
    F1GP(IF1GP+1+3*(K-1)) = F1GP1
    F1GP(IF1GP+2+3*(K-1)) = F1GP2
    F1GP(IF1GP+3+3*(K-1)) = F1GP3
C
C          CALCULATE PRESSURE LOSS COEFFICIENT OF REACTOR G/V
C          SEPARATION MECHANISM
C
    XI = 1.0
    ARGV2 = C9PI * DRGVG * DRGVID
    ARGV2 = ARGV2 * ARGV2
    CRGV = 0.5 * XI / ARGV2
*/
/*
SUBROUTINE EQIV1T
*/
/*
***** INSERT EQIV1T.54
*CALL /GVSL1Y/
*INSERT EQIV1T.99
    KK = KK + 1
    Y1(IY1+KK) = V1GP(IV1GP+K)
*INSERT EQIV1T.159
    KK = KK + 1
    V1GP(IV1GP+K) = Y1(IY1+KK)

```

```

TIME<10:24:50> DATE<10/24/87>
T107D.SSCL2.CS.0.DAT
MEMBER NAME GOPIP
*INSERT EQIV1T.198
    KK = KK + 1
    Y1DYDT(IY1DYD+KK) = F1UNCV(IF1UNV+K)
*/
*****/
*/      SUBROUTINE GVSL1T
*/
*/
*INSERT GVSL1T.46
*CALL /GVSL1Y/
*DELETE GVSL1T.68
    IF (VGV.GE.V1MAX) THEN
        VGV = V1MAX
        V1GV(IV1GV+K) = V1MAX
    END IF
*INSERT GVSL1T.72
C     IF (IGVOPT.EQ.1) THEN
C       IF (IGVOPT.EQ.1. OR .IGVOPT.EQ.3) THEN
*DELETE GVSL1T.73,76
    IF (VGV.LE.VMIN) GO TO 200
    DO 100 IGVP = 2 , 10
    IF (VGV.LE.GVVT(IGVP)) THEN
        ZGV = GVPHT(IGVP-1) + (GVPHT(IGVP)-GVPHT(IGVP-1))
        1           *(VGV-GVVT(IGVP-1))/(GVVT(IGVP)-GVVT(IGVP-1))
        GO TO 200
    ELSE
        ZGV = ZMAX
        GO TO 100
    END IF
    100  CONTINUE
    200  CONTINUE
    ELSE
        IF(VGV.GT.VMIN) ZGV =
        1           F1GV(IF1GV+1+3*(K-1)) +
        2           F1GV(IF1GV+2+3*(K-1))*(VGV-VMIN) +
        3           F1GV(IF1GV+3+3*(K-1))*(VGV-VMIN)*(VGV-VMIN)
        IF(ZGV.GE.ZMAX) ZGV = ZMAX
    END IF
*INSERT GVSL1T.77
C
C     IN GUARD PIPE
C
    JCKGP = 0
C     IF (L1GV(IL1GV+K).EQ.2) THEN
    IF (IGVOPT.LT.2) THEN
        VGP = V1GP(IV1GP+K)
        ZMAXP = Z1MAGP(IZ1HAP+K)
        VMINP = V1MIGP(IV1HIP+K)
        IF (VGP.GE.V1MAXP) THEN
            VGP = V1MAXP
            V1GP(IV1GP+K) = V1HAXP
            JCKGP = 1
        END IF
C
C     COMPUTE ZGP
C
    ZGP = 0.0
    IF (IGVOPT.EQ.1) THEN
        IF (VGP.LE.VMINP) GO TO 400
        DO 300 IGVP = 2 , 10
        IF (VGP.LE.GPVT(IGVP)) THEN
            ZGP = GVPHT(IGVP-1) + (GVPHT(IGVP)-GVPHT(IGVP-1))
            1           *(VGP-GPVT(IGVP-1))/(GPVT(IGVP)-GPVT(IGVP-1))
            GO TO 400
        ELSE
            ZGP = ZMAXP
            GO TO 300
        END IF
    300  CONTINUE
    400  CONTINUE
    ELSE
        IF(VGP.GT.VMINP) ZGP =
        1           F1GP(IF1GP+1+3*(K-1)) +
        2           F1GP(IF1GP+2+3*(K-1))*(VGP-VMINP) +
        3           F1GP(IF1GP+3+3*(K-1))*(VGP-VMINP)*(VGP-VMINP)
    END IF

```

```

TIME<10:24:50> DATE<10/24/87>
T107D.SSCL2.CS.DATA
MEMBER NAME GDOPIP
      IF(ZGP.GE.ZMAXP) THEN
        ZGP = ZMAXP
      C      JCKGP = 1
      END IF
    END IF
*INSERT GVSL1T.83
C      IF (L1GV(L1GV+K).EQ.2) THEN
        IF (IGVOPT.LT.2) THEN
          IF(ZGP.GT.Z1BK(Z1BK+K))
            1 P1EXTR(IP1EXT+K)= P9ATH + (ZGP - Z1BK(Z1BK+K))*(RHO*C9GRAV)
C      COMPUTE FLOW RATE FROM GUARD PIPE TO GUARD VESSEL
C
      IF (ZGP.GE.ZGV) THEN
        WPGPV = C9GRAV * RHO * RHO / CRGV
        WPGPV = WPGPV * (ZGP - ZGV)
        WPGPV = SQRT(WPGPV)
      ELSE
        WPGPV = C9GRAV * RHO * RHO / CRGV
        WPGPV = WPGPV * (ZGV-ZGP)
        WPGPV = - SQRT(WPGPV)
      END IF
C
      COMPUTE F1UNCG AND F1UNCN
C
      DELW = (W1PIPE(IW1PIP+JBK+NP)-W1PIPE(IW1PIP+JBK+1+NP))
      IF (JCKGP.EQ.0) THEN
        F1UNCG(IF1UNG+K) = WPGPV / RHO
        F1UNCV(IF1UNV+K) = (DELW - WPGPV) / RHO
      ELSE
        DELGP = DELW - WPGPV
        IF(DELGP.GT.0.0) THEN
          F1UNCG(IF1UNG+K) = DELW / RHO
          F1UNCV(IF1UNV+K) = 0.0
        ELSE
          F1UNCG(IF1UNG+K) = WPGPV / RHO
          F1UNCV(IF1UNV+K) = DELGP / RHO
        END IF
      END IF
      ELSE
*INSERT GVSL1T.90
      END IF
*/ ****
*/
*   SUBROUTINE WRIT1T
*/
*/ ****
*INSERT WRIT1T.18
*CALL /GVSL1Y/
*CALL /T62/
*INSERT WRIT1T.283
      WRITE(L90OUT,140) Z6HALV , P6CGAS , ZGV , ZGP
140  FORMAT(//36X,'SODIUM LEVEL IN REACTOR VESSEL =',F15.4,'(H)'/
           1       36X,'COVER GAS PRESSURE           =',F15.4,'(PA)'/
           2       36X,'SODIUM LEVEL IN GUARD VESSEL =',F15.4,'(H)'/
           2       36X,'SODIUM LEVEL IN GUARD PIPE   =',F15.4,'(H)')

```

(8) 中間熱交換器モデル

```

TIME<10:24:50> DATE<10/24/87>
T1070.SSCL2.CS.DATA
MEMBER NAME IHX
*ID IHX
*/ ****
*/ SUBROUTINE NU CORELATION
*/ ****
*DELETE IHX1S.145
ANUSP = ANUS2U(PEP,1)
*DELETE IHX1S.148
ANUSS = ANUS2U(PES,2)
*DELETE IHX1T.195
ANUSP = ANUS2U(PEP,1)
*DELETE IHX1T.367
ANUSS = ANUS2U(PES,2)
*DECK ANUS2U
FUNCTION ANUS2U(RPEC,1)
C
PEC = ABS(RPEC)
C
***** NUSSELT NUMBER CORELATION IN IHX
C      FROM PNC SN941 84-115
C
IF (I.EQ.1) THEN
C
C      PRIMARY SIDE
C
IF (PEC.GE.50.0) THEN
ANUS2U = 0.625 * PEC**0.4
ELSE
IF (PEC.GE.40.0) THEN
ANUS2U = 1.5 + 0.14886*(PEC-40.0)
ELSE
IF (PEC.GE.32.3) THEN
ANUS2U = 1.5
ELSE
ANUS2U = 4.673E-3 * PEC**1.661
END IF
END IF
END IF
ELSE
C
C      SECONDARY SIDE
C
IF (PEC.GE.123.0) THEN
ANUS2U = 0.625 * PEC**0.4
ELSE
ANUS2U = 1.2E-3 * PEC**1.7
END IF
END IF
C
C      NUSSELT NUMBER MUST BE GT. 1.0
C
IF (ANUS2U.LT.1.0) ANUS2U = 1.0
RETURN
END
*/ ****
*/ SUBROUTINE IHX1S
*/ ****
*INSERT IHX1S.123
ALPHA = 0.5
*DELETE IHX1S.126,127
TPBAR = ALPHA*TPI + (1.0 - ALPHA)*TPO
TSBAR = ALPHA*TSI + (1.0 - ALPHA)*TSO
*DELETE IHX1S.167,168
G1=BETAW*CPBAR
G2=-W2REF(KW2REF)*CSBAR
CIHX=B*C/(B+C)*(G1+G2)/(G1*G2)
ALPHA = (1.-(1.+CIHX)*EXP(-CIHX))/CIHX/(1.-EXP(-CIHX))
IF (ABS(CIHX).LT.29MIN) ALPHA = 0.5
TPBAR = ALPHA*TPI + (1.0-ALPHA)*TPO1
TSBAR = ALPHA*TSI + (1.0-ALPHA)*TSO1
*/ ****
*/ SUBROUTINE IHX1T
*/ ****
*INSERT IHX1T.48
*CALL LOHS
*I,IHX1T.79
FP=.5*Y1TUB2*ALOG(2.*Y1TUB2/(Y1TUB1+Y1TUB2))

```

```

TIME<10:24:50> DATE<10/24/87>
T107D.SSCL2.CS.DATA
MEMBER NAME IHX
      FS=.5*Y1TUB1*ALOG((Y1TUB1+Y1TUB2)/(2.*Y1TUB1))
*D,IHX1T.126
      DELX = X1PIPE(IX1PIP+JIHX)/FLOAT(NM1)
      XL = X1PIPE(IX1PIP+JIHX)
*I,IHX1T.143
      T1NA1 = T1PNA(IT1PNA+1)
*I,IHX1T.163
      T1NAH = T1PNA(IT1PNA+N)
*I,IHX1T.165
      IF (WSP.LT.0.0) GO TO 70
C
C           SECONDARY INLET
C
      TBAR = .5*(T2IN(IT2IN+N) + T1DOWN(IT1DOW+N))
      EX = H*ABS(WSP)/(DENSI0(TBAR)*V2DOWN)
      IF (L1FDIR.EQ.1) THEN
          EPDOWN(IEPDOW+N) = E2PIN
      ELSE
          EPDOWN(IEPDOW+N) = (E1DOWN(IE1DOW+N) + EX*E2PIN)/(1.+EX)
      END IF
      TPDOWN(ITPDOW+N) = TEMP1T(EPDOWN(IEPDOW+N))
C
      TBAR = .5*(T1DOWN(IT1DOW+N) + T1NAS(IT1NAS+I2+N))
      EX = H*ABS(WSP)/(DENSI0(TBAR)*V2PLEN(1))
      E1PNAS(IE1PNS+N) =
      1      ( E1NAS(IE1NAS+I2+N) + EX*EPDOWN(IEPDOW+N))/(1.+EX)
      T1PNAS(IT1PNS+N) = TEMP1T(E1PNAS(IE1PNS+N))
      T1NAS= T1PNAS(IT1PNS+N)
C
      GO TO 75
C
70 CONTINUE
C           (REVERSE FLOW-SECONDARY OUTLET)
C
      TBAR = .5*(T1NAS(IT1NAS+I2+1)+T2OUT(IT2OUT+N))
      RHO = DENSI0(TBAR)
      EX = H*ABS(WSP)/(RHO*V2PLEN(2))
      E1PNAS(IE1PNS+1) = (E1NAS(IE1NAS+I2+1) + EX*E2POUT)/(1.+EX)
      T1PNAS(IT1PNS+1) = TEMP1T( E1PNAS(IE1PNS+1) )
      T1NAS1 = T1PNAS(IT1PNS+1)
C
75 CONTINUE
C
*I,IHX1T.170
C
C           NOW ITERATION STARTS.
C
      ITIHX=0
      ACCL=-.5
C
C           GUESS NEW STEP VALUES BY PREVIOUS VALUES.
C
      DO 172 I=1,N
      IL=IE1NA+I1+I
      IN=IE1PNA+I
      IF ((I.GT.1.AND.WP.GT.0.).OR.(I.LT.N.AND.WP.LE.0.)) THEN
          E1PNA(IN)=E1NA(IL)
          T1PNA(IT1PNA+I)=T1NA(IT1NA+I1+I)
      ENDIF
      IL = ISHELL+I
      IN = IT1PSH+I
      IF (I.LT.N) T1PSH(IN)=T1SHEL(IL)
      IF ((I.LT.N.AND.WP.GT.0.).OR.(I.GT.1.AND.WP.LE.0.)) THEN
          IF (I.LT.N) E1PNAS(IE1PNS+I)=E1NAS(IE1NAS+I2+I)
          IF (I.LT.N) T1PNAS(IT1PNS+I)=T1NAS(IT1NAS+I2+I)
      ENDIF
      IF (I.LT.N) T1PTUB(IT1PTU+I)=T1TUBE(ITUBE+I)
172 CONTINUE
      CHNGPR = 0.0
      ALPHA = 0.5
      111 CHNGMX = 0.0
      FDEVMX = 0.0
*D,IHX1T.187
      TT=T1PTUB(IT1PTU+IP)
      TSH=T1PSH(IT1PSH+IP)

```

```

TINE<10:24:50> DATE<10/24/87>
T107D.SSCL2.CS.DATA
MEMBER NAME IHX
      TPBAR=ALPHA*T1PNA(IT1PNA+IIP) + (1.0-ALPHA)*T1PNA(IT1PNA+IP1)
*INSERT IHX1T.202
      EXX = AKP*H/DELX/DELX/RHO/CP
*DELETE IHX1T.211,214
      IF (I.GT.1) GO TO 997
      U1=APT*USUBPT(IUSUBP+IP)
      TS=T1PHAS(IT1PHS+IP)
      AKS=COND1K(TS)
      AKT=COND7K(L1STRC,TT)
      ANU=VISC1N(TS)
      CS=HCAP1CTS
      PES=APES*CS/AKS
      PR=CS*ANU/AKS
      RE=APES/ANU
      REP=RE
      ANUSS=ANU$1U(PES,RE,PR,2)
      USUBST(IUSUBS+1)=
      1 1./(Y1TUB1/(ANUSS*AKS)+FS/AKT+H1FLS)
      U2=AST*USUBST(IUSUBS+1)
      G1=WPP*CP
      G2=-WSP*CS
      CIHX=U1*U2/(U1+U2)*(G1+G2)/G1/G2
      IF (CIHX.GT.0.) THEN
      ALPHA=(1.-(1.+CIHX)*EXP(-CIHX))/CIHX/(1.-EXP(-CIHX))
      ELSE
      ALPHA=(EXP(CIHX)-1.-CIHX)/CIHX/(EXP(CIHX)-1)
      ENDIF
      IF (ABS(CIHX).LT.1.0E-4) ALPHA = .5
      997 CONTINUE
C
C      AVERAGE TEMPERATURE
C
      IF (WP.GE.0.) THEN
      TPBAR = ALPHA*T1PNA(IT1PNA+IIP)+(1.-ALPHA)*T1PNA(IT1PNA+IP1)
      ELSE
      TPBAR = ALPHA*T1PNA(IT1PNA+IP1)+(1.-ALPHA)*T1PNA(IT1PNA+IIP)
      ENDIF
C
C      OUTLET BOUNDARY
C
      IF (I.EQ.NH1) THEN
      TPTT = TPBAR - TT
      IF (TPTT.LT.Z9MIN) TPTT = 0.0
      TPTS = TPBAR - TSH
      IF (TPTS.LT.Z9MIN) TPTS = 0.0
      E1NEW=
      1      (E1NA(IE1NA+I1+IP1) + EX*E1PNA(IE1PNA+IIP) - YI*TPTT -
      2      ZI*TPTS + EXX*E1PNA(IE1PNA+IIP)) / (1.+EX+EXX)
      ELSE
      IP2=IP1*2-IIP
      TPTT = TPBAR - TT
      IF (TPTT.LT.Z9MIN) TPTT = 0.0
      TPTS = TPBAR - TSH
      IF (TPTS.LT.Z9MIN) TPTS = 0.0
      E1NEW=
      1      (E1NA(IE1NA+I1+IP1) + EX*E1PNA(IE1PNA+IIP) - YI*TPTT -
      2      ZI*TPTS + EXX*(E1PNA(IE1PNA+IIP)+E1PNA(IE1PNA+IP2)))
      3      /(1.0 + EX + 2.0*EXX)
      ENDIF
      FDEV=ABS(TEMP1T(E1PNA(IE1PNA+IP1))-TEMP1T(E1NEW))
      CHNG=ABS(TEMP1T(E1NA(IE1NA+I1+IP1))-TEMP1T(E1NEW))
      TNEW=TEMP1T(E1NEW)
      T1PNA(IT1PNA+IP1)=(1.+ACCL)*TNEW-ACCL*T1PNA(IT1PNA+IP1)
      E1PNA(IE1PNA+IP1)=ENTH1H(T1PNA(IT1PNA+IP1))
      IF (CHNGMX.LT.CHNG) CHNGMX = CHNG
      IF (FDEVMX.LT.FDEV) FDEVMX = FDEV
C
C      PRIMARY FLOW INLET BOUNDARY
C
      IF (IIP.EQ.1) THEN
      TBAR = .5*(T1IN(IT1IN+K)+T1NA(IE1NA+I1+1))
      EX = H*ABSC(WPP)/(CDENS1D(TBART)*V1PLEN(1))
      EXX = AKP*H/DELX/DELX/RHO*V1NA/V1PLEN(1)/CP
      EINNEW = (E1NA(IE1NA+I1+1) + EX*E1PIN +
      1           EXX*E1PNA(IE1PNA+2)) / (1.0 + EX + EXX)

```

```

TIME<10:24:50> DATE<10/24/87>
T107D.SSCL2.CS.DATA
MEMBER NAME IHX

    TINNEW = TEMP1T(EINNEW)
    FDEV=ABS(TEMP1T(E1PNA(IE1PNA+1))-TINNEW)
    CHNG=ABS(TEMP1T(E1NA(IE1NA+I1+1))-TINNEW)
    T1PNA(IT1PNA+1)=(1.+ACCL)*TINNEW-ACCL*T1PNA(IT1PNA+1)
    E1PNA(IE1PNA+1)=ENTH1H(T1PNA(IT1PNA+1))
    IF (CHNGMX.LT.CHNG) CHNGMX = CHNG
    IF (FDEVMX.LT.FDEV) FDEVMX = FDEV
    ENDIF

C      PRIMARY FLOW (REVERSAL) INLET BOUNDARY
C
    IF (IIP.EQ.N) THEN
        TBAR = .5*(T1NA(IT1NA+I1+N)+T1OUT(IT1OUT+K))
        RHO=DENS1D(TBAR)
        EX = H=ABS(WP)/(RHO*V1PLEN(2))
        EXX = AKP=H/DELX/DELX/RHO*V1NA/V1PLEN(2)/CP
    C
        EINNEW = (E1NA(IE1NA+I1+N) + EX*E1POUT +
                  EXX*T1PNA(IT1PNA+N-1)) / (1.0 + EX + EXX)
        TINNEW = TEMP1T(EINNEW)
        FDEV=ABS(TEMP1T(E1PNA(IE1NA+I1+N))-TINNEW)
        CHNG=ABS(TEMP1T(E1NA(IE1NA+I1+N))-TINNEW)
        T1PNA(IT1PNA+N)=(1.+ACCL)*TINNEW-ACCL*T1PNA(IT1PNA+N)
        E1PNA(IE1PNA+N)=ENTH1H(T1PNA(IT1PNA+N))
        IF (CHNGMX.LT.CHNG) CHNGMX = CHNG
        IF (FDEVMX.LT.FDEV) FDEVMX = FDEV
    ENDIF
*D,IHX1T.218
*D,IHX1T.220
    TNEW=(T1SHEL(I$HELL+IP)+EX*TPBAR)/(1.+EX)
    FDEV=ABS(T1PSH(IT1PSH+IP)-TNEW)
    CHNG=ABS(T1SHEL(I$HELL+IP)-TNEW)
    T1PSH(IT1PSH+IP)=(1.+ACCL)*TNEW-ACCL*T1PSH(IT1PSH+IP)
    IF (CHNGMX.LT.CHNG) CHNGMX = CHNG
    IF (FDEVMX.LT.FDEV) FDEVMX = FDEV
*D,IHX1T.223,335
*D,IHX1T.355
    TT = T1PTUB(IT1PTU+IS)
*D,IHX1T.357
    IF (WSP.GE.0.) THEN
        TSBAR = (1.-ALPHA)*T1PNAS(IT1PNS+IIS)+ALPHA*T1PNAS(IT1PHS+IS1)
    ELSE
        TSBAR = (1.-ALPHA)*T1PNAS(IT1PNS+IS1)+ALPHA*T1PNAS(IT1PNS+IIS)
    ENDIF
*INSERT IHX1T.372
    EXX = AKS=H/DELX/DELX/RHO/CS
    IF (S9MSTR.GT.S9L0HS) THEN
        YI = 0.0
    ELSE
*INSERT IHX1T.373
        END IF
*DELETE IHX1T.380,383
    IF (I.EQ.NH1) THEN
        TTTS = TT - TSBAR
        IF (TTTS.LT.Z9MIN) TTTS = 0.0
        E1NEW =
            1   (E1NAS(IE1NAS+I2+IS1) + EX*E1PNAS(IE1PNS+IIS) + YI*TTTS
            2   + EXX*E1PNAS(IE1PHS+IS1)) / (1.0 + EX + EXX)
    ELSE
        IS2=IS1=2-IIS
        TTTS = TT - TSBAR
        IF (TTTS.LT.Z9MIN) TTTS = 0.0
        E1NEW =
            1   (E1NAS(IE1NAS+I2+IS1) + EX*E1PNAS(IE1PNS+IIS) + YI*TTTS
            2   + EXX*(E1PNAS(IE1PNS+IIS)+E1PNAS(IE1PNS+IS2)))
            3   / (1.0 + EX + 2.0*EXX)
    ENDIF
    TNEW=TEMP1T(E1NEW)
    FDEV=ABS(TNEW-TEMP1T(E1PNAS(IE1PNS+IS1)))
    CHNG=ABS(TNEW-TEMP1T(E1NAS(IE1NAS+I2+IS1)))
    T1PNAS(IT1PNS+IS1)=(1.+ACCL)*TNEW-ACCL*T1PNAS(IT1PNS+IS1)
    E1PNAS(IE1PNS+IS1)=ENTH1H(T1PNAS(IT1PNS+IS1))
    IF (CHNGMX.LT.CHNG) CHNGMX = CHNG
    IF (FDEVMX.LT.FDEV) FDEVMX = FDEV

C      SECONDARY FLOW (REVERSAL)

```

```

TIME<10:24:50> DATE<10/24/87>
T107D.SSCL2.CS.DATA
MEMBER NAME IHX
C
IF (IIS.EQ.1) THEN
  TBAR = .5*(T1NAS(IT1NAS+I2+1)+T2OUT(IT2OUT+K))
  RHO = DENS1D(TBAR)
  EX = H*ABS(WSP)/(RHO*V2PLEN(2))
  EXX = AKS*H/DELX/DELX/RHO*V2NA/V2PLEN(2)/CS
C
EINNEW = (E1NAS(IE1NAS+I2+1) + EX*E2POUT +
  EXX*E1PNAS(IE1PNS+2)) / (1.0 + EX + EXX)
2  TINNEW=TEMP1T(EINNEW)
  FDEV=ABS(TINNEW-TEMP1T(E1PNAS(IE1PNS+1)))
  CHNG=ABS(TINNEW-TEMP1T(E1NAS(IE1NAS+I2+1)))
  T1PNAS(IT1PNS+1)=(1.+ACCL)*TINNEW-ACCL*T1PNAS(IT1PNS+1)
  E1PNAS(IE1PNS+1)=ENTH1H(T1PNAS(IT1PNS+1))
  IF (CHNGMX.LT.CHNG) CHNGMX=CHNG
  IF (FDEVMX.LT.FDEV) FDEVMX=FDEV
ENDIF
C
C      SECONDARY FLOW
C
IF (IIS.EQ.N) THEN
  TBAR = .5*(T1DOWN(IT1DOWN+K) + T1NAS(IT1NAS+I2+N))
  EX = H*ABS(WSP)/(DENS1D(TBAR)*V2PLEN(1))
  EXX = AKS*H/DELX/DELX/RHO*V2NA/V2PLEN(1)/CS
C
EINNEW = (E1NAS(IE1NAS+I2+N) + EX*EPDOWN(IEPDOW+K) +
  EXX*E1PNAS(IE1PNS+N-1)) / (1.0 + EX + EXX)
2  TINNEW=TEMP1T(EINNEW)
  FDEV=ABS(TINNEW-TEMP1T(E1PNAS(IE1PNS+N)))
  CHNG=ABS(TINNEW-TEMP1T(E1NAS(IE1NAS+I2+N)))
  T1PNAS(IT1PNS+N)=(1.+ACCL)*TINNEW-ACCL*T1PNAS(IT1PNS+N)
  E1PNAS(IE1PNS+N)=ENTH1H(T1PNAS(IT1PNS+N))
  IF (CHNGMX.LT.CHNG) CHNGMX=CHNG
  IF (FDEVMX.LT.FDEV) FDEVMX=FDEV
ENDIF
*D,IHX1T.385,407
C
C      TUBE WALL
C
DO 150 I=1,NM1
C
IP1 = I + 1
IM1 = I - 1
TT= T1TUBE(ITTUBE+I)
C
CT = HCAP7C(L1STR,TT)
AKT=COND7K(L1STR,TT)
RHOST = DENS7D(L1STR,TT)
C
EX = H*APT*USUBPT(IUSUBP+1)/CT/BTUBE
IF(S9HSTR.GT.S9LOHS) THEN
  YI=0.
  ZI=0.
ELSE
  YI = H*AST*USUBST(IUSUBS+1)/CT/BTUBE
  ZI = H*AKT/DELX/DELX/CT/RHOST
END IF
C
TPBAR =
1  ALPHA*T1PNA(IT1PNA+I) + (1.-ALPHA)*T1PNA(IT1PNA+IP1)
IF (WP.LT.0.) TPBAR =
1  ALPHA*T1PNA(IT1PNA+IP1) + (1.-ALPHA)*T1PNA(IT1PNA+I)
TSBAR=
1  ALPHA*T1PNAS(IT1PNS+I) + (1.-ALPHA)*T1PNAS(IT1PNS+IP1)
IF (WSP.LT.0.) TSBAR =
1  ALPHA*T1PNAS(IT1PNS+IP1) + (1.-ALPHA)*T1PNAS(IT1PNS+I)
C
IF (I.EQ.1) THEN
  T1PNEW =
1    CTT + EX*TPBAR + YI*TSBAR + ZI*T1PTUB(IT1PTU+IP1)
1    / (1. + EX + YI + ZI)
END IF
IF (I.EQ.NH1) THEN
  T1PNEW =
1    CTT + EX*TPBAR + YI*TSBAR + ZI*T1PTUB(IT1PTU+IM1)
1    / (1. + EX + YI + ZI)

```

```

TIME<10:24:50> DATE<10/24/87>
T107D.SSCL2.CS.DATA
MEMBER NAME IHX

      END IF
      IF (.I.NE.1. AND .I.NE.NN1) THEN
        T1PNEW =
          1           (TT + EX*TTPBAR + YI*TSBAR + ZI*
          1           (T1PTUB(IT1PTU+I-1)+T1PTUB(IT1PTU+IP1)))
          1           / (1. + EX + YI + 2.0*ZI)
      END IF
      FDEV = ABS(T1PNEW-T1PTUB(IT1PTU+I))
      CHNG = ABS(T1PNEW-TT)
      T1PTUB(IT1PTU+I)=(1.+ACCL)*T1PNEW-ACCL*T1PTUB(IT1PTU+I)
      IF (CHNGMX.LT.CHNG) CHNGMX=CHNG
      IF (FDEVMX.LT.FDEV) FDEVMX=FDEV
C
      150 CONTINUE
      ITIHX = ITIHX +1
      IF (FDEVMX/CHNGMX.LT.2.0E-2.OR.FDEVMX.LT.1.0E-4) GO TO 777
      IF(ITIHX.GT.60) THEN
        WRITE(6,*)'TROUBLE IN IHX AT T=',S1LOOP
        WRITE(6,*)'FDEVMX,CHNGMX=',FDEVMX,CHNGMX
        DO 159 INOD=1,NIHX,1
        WRITE(6,*)' T1PSH(IT1PSH+INOD),T1PNA(IT1PNA+INOD),
          1           T1PTUB(IT1TUB+INOD),T1PNAS(IT1PNS+INOD)
      159 CONTINUE
      CALL EXIT9U(8888,8HIHX1T++)
      ENDIF
      ACCL=-.5
      FDEVPR = FDEVMX
      GO TO 111
      777 CONTINUE
      IF (W.LT.0.) GO TO 160
C
C           PRIMARY OUTLET
C
      TBAR = .5*(T1PNA(IT1PNA+N)+T1OUT(IT1OUT+K))
      RHO=DENS1D(TBAR)
      EX = H*ABS(WP)/(RHO*V1PLEN(2))
C
      E1POUT = (ENTH1H(IT1OUT(IT1OUT+K))
      1           + (1.-F1BETA(IF1BET+K))*EX*E1PNA(IE1PNA+N)
      1           + F1BETA(IF1BET+K)*EX*E1PBYP)/
      1           (1. + EX)
      E1OUHX(IE1OUH+K) = E1POUT
      T1POUT = TEMP1T(E1POUT)
      T1OUHX(IT1OUH+K) = T1POUT
      GO TO 165
C
      160 CONTINUE
C
C           (REVERSE FLOW-PRIHARY INLET)
C
      TBAR = .5*(T1IN(IT1IN+K)+T1NA(IT1NA+I1+1))
      EX=H*ABS(WP)/(DENS1D(TBAR)*V1PLEN(1))
      E1PIN=(ENTH1H(T1IN(IT1IN+K)) +
      1           EX*E1PNA(IE1PNA+1))/(1.+EX)
      T1PIN = TEMP1T(E1PIN)
      E1INHX(IE1INH+K) = E1PIN
      T1INHX(IT1INH+K) = T1PIN
      E1PBYP = E1BYP(IE1BYP+K)
C
      165 CONTINUE
*I,IHX1T,408
      IF (WSP.LT.0.0) GO TO 170
C
*D,IHX1T,411
      TBAR = .5*(T1PNAS(IT1PNS+1)+T2OUT(IT2OUT+K))
*I,IHX1T,418
      GO TO 175
C
      170 CONTINUE
C
C           (REVERSE FLOW-SECONDARY INLET)
C
      TBAR = .5*(T1DOWN(IT1DOWN+K) + T1NAS(IT1NAS+I2+N))
      EX = H*ABS(WSP)/(DENS1D(TBAR)*V2PLEN(1))
      EPDOWN(IEPDOW+K) = E1PNAS(IE1PNA+N)
      IF (L1FDIR.EQ.1) GO TO 171

```

```

TIME<10:24:50> DATE<10/24/87>
T107D.SSCL2.CS.DATA
MEMBER NAME IHX
      EPDOWN(IEPDOW+K) = (E1DOWN(IE1DOW+K) +
1      EX*E1PNAS(IE1PNS+N))/(1.+EX)
171  CONTINUE
      TPDOWN(ITPDOW+K) = TEMP1T(EPDOWN(IEPDOW+K))
C
      TBAR = .5*(T2IN(IT2IN+K)+T1DOWN(IT1DOW+K))
      EX = H*ABS(WSP)/(DEN51D(TBAR)*V2DOWN)
      E2PIN = (ENTH1H(T2IN(IT2IN+K)) +
1      EX*EPDOWN(IEPDOW+K))/(1.+EX)
      T2PIN = TEMP1T(E2PIN)
      E2INHX(IE2INH+K) = E2PIN
      T2INHX(IT2INH+K) = T2PIN
175  CONTINUE
*D,IHX1T.420,443
C
C          UPDATE VARIABLES
C
      T1IN(IT1IN+K) = T1INHX(IT1INH+K)
      T1OUT(IT1OUT+K) = T1OUHX(IT1OUH+K)
      E1BYP(IE1BYP+K) = E1PBYP
      T1BYP(IT1BYP+K) = TEMP1T( E1PBYP)
C
      DO 178 I=1,N
C
      IL=IE1NA+I1+1
      IN=IE1PNA+I
      FDEV=YDEL(E1PNA(IN),E1NA(IL))
      E1NA(IL)=E1PNA(IN)
      IF (FDEV.LT.F1MAXD) GO TO 120
      F1MAXN = HHXE1
      L1MAXD=IL
      F1MAXD=FDEV
120  CONTINUE
      T1NA(IT1NA+I1+I) = T1PNA(IT1PNA+I)
      IF(I.EQ.N) GO TO 178
C
      IL=ISHELL+I
      IN=IT1PSH+I
      FDEV=YDEL(T1PSH(IN),T1SHEL(IL))
      T1SHEL(IL)=T1PSH(IN)
      IF (FDEV.LT.F1MAXD) GO TO 176
      L1MAXD=IL
      F1MAXN = HSHEL
      F1MAXD=FDEV
C
176  CONTINUE
178  CONTINUE
      W1PIPE(IW1HLF+JIHX+NPIPES)=WP
* / **** SUBROUTINE LOOP1T ****
* / **** SUBROUTINE LOOP1T ****
*DELETE LOOP1T.54
*DELETE LOOP1T.85
      5 CALL LOOP2T(K)
*DELETE LOOP1T.107
      100 CALL LOOP2T(K)
*DELETE LOOP1T.112
*DELETE DRIV9T.223
*DELETE LOOP2T.2
      SUBROUTINE LOOP2T(K)
* / **** ****
* /
* /          PLOHS ACCIDENT ANALYSIS WITH THE ADIABATIC CONDITION AT
* /          INTERMEDIATE HEAT EXCHANGER
* /
* /          FOR THIS ANALYSIS, MEMBER IHX MUST BE EXCLUDED
* /
* / **** ****
*CD LOHS
      COMMON /LOHS1L/ S9LOHS , S9PMSP , S9NOSG
* / **** ****
* /          FOR RESTART FILE
* / **** ****
*INSERT SVCMTP.26
      COMMON /LOHS1L/ ULOHS9(3)
*BEFORE SAVE9T.30

```

```

TIME<10:24:50> DATE<10/24/87>
T107D.SSCL2.CS.DATA
MEMBER NAME IHX

        WRITE(NSAVE) ULOHS9
*BEFORE REST9T.48
        READ(NSAVE) ULOHS9
*! ****SET INITIAL VALUE FOR S9LOHS
*! ****
*INSERT CDR9R.28
*CALL LOHS
        NAMELIST /NOIHX/ S9LOHS ,S9PMSP ,S9NOSG
*BEFORE CDR9R.128
        READ (4,NOIHX)
        WRITE(6,NOIHX)
*! ****SUBROUTINE PIPE2T
*! ****
*! *INSERT PIPE2T.47
*! *CALL INTEG9
*! *CALL LOHS
*! *INSERT PIPE2T.113
*!     IF(S9MSTR.GT.S9LOHS) THEN
*!         FDEV = 0.0
*!     ELSE
*! *INSERT PIPE2T.114
*!     END IF
*! ****SUBROUTINE PIPE1T
*! ****
*! *INSERT PIPE1T.31
*! *CALL INTEG9
*! *CALL LOHS
*! *INSERT PIPE1T.109
*!     IF(S9MSTR.GT.S9LOHS) THEN
*!         FDEV = 0.0
*!     ELSE
*! *INSERT PIPE1T.110
*!     END IF
*! ****SUBROUTINE DRIV1T
*! ****
*INSERT DRIV1T.9
*CALL LOHS
*!
*!     NOT CALL EQIV2T
*!
*DELETE DRIV1T.24
        IF(S9MSTR.LE.S9LOHS) CALL EQIV2T(2)
*!
*!     NOT CALL FLOW2T
*!
*DELETE DRIV1T.28
        IF(S9MSTR.LE.S9LOHS) CALL FLOW2T
*! ****SUBROUTINE PUMP1T
*! ****
*INSERT PUMP1T.58
*CALL LOHS
*INSERT PUMP1T.63
        IF(L1PONY(IL1PON+K).EQ.1.AND.S1FLOW.GE.S9PMSP)
        1           L1PONY(IL1PON+K) = 0
*!
*!
*!     LOSS OF HEAT SINK ACCIDENT ANALYSIS
*!     HEAT TRANSFER IN STEAM GENERATOR IS NEGLECTED AT
*!     ARBITRARY TIME
*!
*! ****SUBROUTINE HXHT3T
*! ****
*DELETE HXHT3T.132
        TAUNEW = 1.0
*!
*! ****SUBROUTINE HWS3C
*! ****
*INSERT HWS3C.14
*CALL LOHS

```

```
TIME<10:24:50> DATE<10/24/87>
T107D.SSCL2.CS.DATA
MEMBER NAME IHX
*CALL /VD9V/
*CALL INTEG9
*INSERT HWS3C.42
    IF (S9HSTR.GT.S9NDSG) H = 0.0
*/
*****SUBROUTINE ADTW3T
*/
*****INSERT ADTW3T.15
*CALL LOHS
*CALL INTEG9
*INSERT ADTW3T.46
    IF (S9MSTR.GT.S9NOSG) THEN
        FWS=0.0
        GOTO 9401
    ENDIF
*INSERT ADTW3T.47
9401 CONTINUE
*/
*****FUNCTION ENTL3H
*/
*****DELETE WPROP.398,399
```

(9) 補助炉心冷却系 (IRACS) モデル

```

TIME<10:24:50> DATE<10/24/87>
T1070.SSCL2.CS.DATA
MEMBER NAME IRACSM
*/
*****/
*/
/*
***** INTERFACE WITH SSC AND IRACS
*/
*/
*/
*/
***** LINES,78
*ID ACS
*/
*****
*/
FOR RESTART
*/
***** INSERT SVCMPTR.26
COMMON /ACPNTR/ IACPNT(24)
COMMON /ACSDAT/ RACSDA(185)
COMMON /ACSAIR/ RACSAI(7)
COMMON /ACSDAI/ IACSDA(12)
*BEFORE SAVE97.30
WRITE(NSAVE) IACPNT , RACSDA , RACSAI , IACSDA
*BEFORE REST97.48
READ(NSAVE) IACPNT , RACSDA , RACSAI , IACSDA
*/
***** SUBROUTINE END02S
*/
***** B,END02S.17
*CALL,ACPNTR
*D,END02S.52
GO TO 250
*1,END02S.56
C
C          CHECK IF PIPE FLOWS ACS SIDE
C
250 IF(JJ.EQ.L2SMIX(IL2SMI+1))    TNEW = T20UHX(IT20UH+1)
C
C          CHECK IF PIPE FLOWS ACS
C
IF(JJ.EQ.L2ACS(IL2ACS+1))    TNEW = T20UEV(IT20UE+1)
*/
***** SUBROUTINE CALC1R
*/
***** *1,CALC1R.15
*CALL,ACPNTR
*I,CALC1R.112
LT2DAC = N1LOOP
IT2DAC = NPNT9UC(8H) T20UAC,LT2AC,M4)
LT2IAC = N1LOOP
IT2IAC = NPNT9UC(8H) T21HAC,LT2IAC,M4)
LT2WFA = 21*N1LOOP
IT2WFA = NPNT9UC(8H) T2WFAC,LT2WFA,M4)
LT2NFA = 21*N1LOOP
IT2NFA = NPNT9UC(8H) T2NFAC,LT2NFA,M4)
LT2AFA = 21*N1LOOP
IT2AFA = NPNT9UC(8H) T2AFAC,LT2AFA,M4)
LT2IAI = N1LOOP
IT2IAI = NPNT9UC(8H) T2IAIR,LT2IAI,M4)
LT2OAI = N1LOOP
IT2OAI = NPNT9UC(8H) T2OAIR,LT2OAI,M4)
LT2NPL = 2*N1LOOP
IT2NPL = NPNT9UC(8H) T2NPLN,LT2NPL,M4)
LT2APL = 2*N1LOOP
IT2APL = NPNT9UC(8H) T2APLN,LT2APL,M4)
*I,CALC1R.281
LW2SG = 2*N1LOOP
IW2SG = NPNT9UC(8H) W2SG,LW2SG,M4)
*I,CALC1R.315
LP2LSA = N1LOOP
IP2LSA = NPNT9UC(8H) P2LOSA,LP2LSA,M4)
LP2LSS = N1LOOP
IP2LSS = NPNT9UC(8H) P2LOSS,LP2LSS,M4)
*I,CHNG41.769
LL2H = IL2HOT+K
L2HOT(LL2H) = L2HOT(IL2HOT+1)
LL2SM = IL2SMI+K
L2SMIX(LL2SM) = L2SMIX(IL2SMI+1)
LL2AC = IL2ACS+K
L2ACS(LL2AC) = L2ACS(IL2ACS+1)

```

```

TIME<10:24:50> DATE<10/24/87>
T107D.SSCL2.CS.DATA
MEMBER NAME IRACSM

      LL2AM = IL2AMI+K
      L2AMIX(LL2AM) = L2AMIX(IL2AMI+1)
* **** SUBROUTINE READ1R ****
* ****
*I,READ1R.31
*CALL,ACPNTR
*I,CHNG41.596
      LL2HOT = KREF
      IL2HOT = NPNT9U(8H  L2HOT,LL2HOT,M2)
      LL2SMI = KREF
      IL2SMI = NPNT9U(8H  L2SMIX,LL2SMI,M2)
      LL2ACS = KREF
      IL2ACS = NPNT9U(8H  L2ACS,LL2ACS,M2)
      LL2AMI = KREF
      IL2AMI = NPNT9U(8H  L2AMIX,LL2AMI,M2)
*I,READ1R.131
      LP2PDA = KREF
      IP2PDA = NPNT9U(8H  P2PDAC,LP2PDA,M4)
      LF2LSA = KREF
      IF2LSA = NPNT9U(8H  F2LOSA,LF2LSA,M4)
      LX2ACS = KREF
      IX2ACS = NPNT9U(8H  X2ACS,LX2ACS,M4)
      LX2SG = KREF
      IX2SG = NPNT9U(8H  X2SG,LX2SG ,M4)
      LE2INA = KREF
      IE2INA = NPNT9U(8H  E2INAC,LE2INA,M4)
      LE2OUA = KREF
      IE2OUA = NPNT9U(8H  E2OUAC,LE2OUA,M4)
      LW2ACS = 2*KREF
      IW2ACS = NPNT9U(8H  W2ACS,LW2ACS,M4)
      LW2AIR = 2*KREF
      IW2AIR = NPNT9U(8H  W2AIR,LW2AIR,M4)
*I,CHNG41.598
      L=IL2HOT+K
      L2HOT(L)=IA(7)
      L=IL2SMI+K
      L2SMIX(L)=IA(8)
      L=IL2ACS+K
      L2ACS(L)=IA(9)
      L=IL2AMI+K
      L2AMIX(L)=IA(10)
*I,READ1R.543
      L=IP2PDA+K
      P2PDAC(L)=A(3)
* **** SUBROUTINE VRFY1R ****
* ****
*D,CHNG41.742
      DIMENSION NAM(24,2)
*CALL,ACPNTR
*I,CHNG41.743
      X,    NAM(21,1), NAM(21,2) /4HL2HD,4HT   /
      X,    NAM(22,1), NAM(22,2) /4HL2SM,4HIX   /
      X,    NAM(23,1), NAM(23,2) /4HL2AC,4HS   /
      X,    NAM(24,1), NAM(24,2) /4HL2AN,4HIX   /
*D,CHNG41.744
      2400 IF (L2SG(IL2SG+K).LE.NP2) GO TO 2410
*I,VRFY1R.127
      2410 IF (L2HOT(IL2HOT+K).LE.NP2) GO TO 2420
      NIERR = NIERR + 1
      WRITE (NOUT,8000) NAM(21,1),NAM(21,2),K
      2420 IF (L2SMIX(IL2SMI+K).LE.NP2) GO TO 2430
      NIERR = NIERR + 1
      WRITE (NOUT,8000) NAM(22,1),NAM(22,2),K
      2430 IF (L2ACS(IL2ACS+K).LE.NP2) GO TO 2440
      NIERR = NIERR + 1
      WRITE (NOUT,8000) NAM(23,1),NAM(23,2),K
      2440 IF (L2AMIX(IL2AMI+K).LE.NP2) GO TO 2500
      NIERR = NIERR + 1
      WRITE (NOUT,8000) NAM(24,1),NAM(24,2),K
* **** SUBROUTINE LIST1R ****
* ****
*D,CHNG41.745
      +     NR1001(11,2),NR1002(3,2),NR1003(5,2),

```

```

TIME<10:24:50> DATE<10/24/87>
T1070.SSCL2.CS.DATA
MEMBER NAME IRACSH

*I,CHNG41.746
    +, NR1001( 8,1),NR1001( 8,2) /4HL2HD,4HT   /
    +, NR1001( 9,1),NR1001( 9,2) /4HL2SM,4HIX   /
    +, NR1001(10,1),NR1001(10,2) /4HL2AC,4HS   /
    +, NR1001(11,1),NR1001(11,2) /4HL2AM,4HIX   /
*I,LIST1R.125
    +, NR1003( 5,1),NR1003( 5,2) /4HP2PD,4HAC   /
*I,LIST1R.35
*CALL,ACPNTR
*I,CHNG41.747
    +, NR1001(8,1),NR1001(8,2), (NDM( 1,J),J=1,4), L2HOT(IL2HOT+IM)
    +, NR1001(9,1),NR1001(9,2), (NDM( 1,J),J=1,4), L2SMIX(IL2SMI+IM)
    +, NR1001(10,1),NR1001(10,2), (NDM( 1,J),J=1,4), L2ACS(IL2ACS+IM)
    +, NR1001(11,1),NR1001(11,2), (NDM( 1,J),J=1,4), L2AMIX(IL2AMI+IM)
*I,LIST1R.345
    +, NR1003(5,1),NR1003(5,2), (NDM( 9,J),J=1,4), P2PDAC(IP2PDA+IM)
*D,BLKDR.50
    DATA N1WORD(21)/10/,N1WORD(22)/3/,N1WORD(23)/3/
*B,READ8R.27
*CALL,ACPNTR
*I,READ8R.62
    W2ACS(IW2ACS+1) = A(4)
    W2AIR(IW2AIR+1) = A(5)
*/
***** SUBROUTINE LIST8R *****
*/
***** SUBROUTINE LIST8R.20 *****
*D,BLKDR.69
    DIMENSION      NR1(6,2), NR2(4,2), NR3(9,2), NR4(5,2),
*I,LIST8R.21
*CALL,ACPNTR
*I,LIST8R.42
    +, NR3( 8,1),NR3( 8,2) /4HW2AC,4HS   /
    +, NR3( 9,1),NR3( 9,2) /4HW2AI,4HR   /
*I,LIST8R.91
    +, NR3( 8,1),NR3( 8,2), (NDM( 5,J),J=1,4),W2ACS(IW2ACS+1)
    +, NR3( 9,1),NR3( 9,2), (NDM( 5,J),J=1,4),W2AIR(IW2AIR+1)
*D,BLKDR.69
    DATA N8WORD(1)/2/, N8WORD(2)/3/, N8WORD(3)/5/
*/
***** SUBROUTINE LOOP2S *****
*/
***** SUBROUTINE LOOP2S.22 *****
*B,LOOP2S.22
*CALL,ACPNTR
*I,LOOP2S.223
    W2NOW1=W2NOW
*I,LOOP2S.225
    IF(J.GT.L2HOT(IL2HOT+1).AND.J.LE.L2SMIX(IL2SMI+1))
    1 W2NOW=W2NOW-W2ACS(IW2ACS+1)
    IF(J.GT.L2SMIX(IL2SMI+1).AND.J.LE.L2AMIX(IL2AMI+1))
    1 W2NOW=W2ACS(IW2ACS+1)
    IF(J.GT.L2AMIX(IL2AMI+1)) W2NOW=W2NOW1
*I,INSERT LOOP2S.250
C
C      ACCS CALCULATION
C
    DO 1250 K = 1 , N1LOOP
        IK = IP2LSS + K
        P2LOSS(IK) = P2LOSS(IP2LSS+1)
        IK = IP2PDA + K
        P2PDAC(IK) = P2PDAC(IP2PDA+1)
        IK = IW2ACS + K
        W2ACS(IK) = W2ACS(IW2ACS+1)
        IK = IW2AIR + K
        W2AIR(IK) = W2AIR(IW2AIR+1)
1250  CONTINUE
C
    CALL ACCS2S
*/
***** SUBROUTINE PRES2S *****
*/
***** SUBROUTINE PRES2S.17 *****
*CALL,ACPNTR
*I,PRES2S.64
    JACSI = L2ACS(IL2ACS+1) + 1
*I,PRES2S.71
    IPP = IP2IN+JACSI

```

```

TIME<10:24:50> DATE<10/24/87>
T107D.SSCL2.CS.DATA
MEMBER NAME IRACSH

      P2IN(IPP) = -P2PDAC(IP2PDA+1)
*0,PRES2S.79,81
      IF(J.EQ.L2AMIX(IL2AMI+1)) THEN
      P2OUT(IPP) = PSG
      ENDIF
      IPP1 = IP2IN+J+1
      IF(J.EQ.L2SMIX(IL2SMI+1)) THEN
      PSG = P2OUT(IPP)
      P2IN(IPP1) = P2OUT(IP2OUT+L2HOT(IL2HOT+1))
      ELSE
      P2IN(IPP1) = P2IN(IPP)+P2OUT(IP2OUT+J)
      ENDIF
      200 CONTINUE
*INSERT PRES2S.99
C
C      P2LOSS CALCULATION STARTS.
C
      P2LOSS(IP2LSS+1)=
      1 P2OUT(IP2OUT+L2HOT(IL2HOT+1)) -
      2 P2OUT(IP2OUT+L2SMIX(IL2SMI+1))
*/
***** SUBROUTINE PRNT1T
*/
***** *****
*D,CHNG41.1529
      603 FORMAT(//,' W2PIPE=',10F10.2)
*/ ACS EXISTS
*1,PRNT1T.24
*CALL ACPNTR
*CALL ACSDAT
*INSERT,PRNT1T.121
      ACS = W2ACS(IW2ACS+K)
      SG = W2SG(IW2SG+K)
      AIR = W2AIR(IW2AIR+K)
      WRITE(L90UT,500) ACS,SG,AIR
  500 FORMAT(//1H ,T5,'W2ACS = ',F10.3/
      1           1H ,T5,'W2SG = ',F10.3/
      2           1H ,T5,'W2AIR = ',F10.3/)
      IST = 20*(K-1)+1
      LGT = IST + 19
      WRITE(L90UT,505)
  505 FORMAT(//1H ,T9,'T2WFAC')
      WRITE(L90UT,510) (T2WFAC(IT2WFA+NN),NN=IST,LGT)
  510 FORMAT(//1H ,T9,10F10.3)
      IST = 21*(K-1)+1
      LGT = IST + 20
      WRITE(L90UT,515)
  515 FORMAT(//1H ,T9,'T2NFAC')
      WRITE(L90UT,520) (T2NFAC(IT2NFA+NN),NN=IST,LGT)
  520 FORMAT(//1H ,T9,7F10.3)
      WRITE(L90UT,525)
  525 FORMAT(//1H ,T9,'T2AFAC')
      WRITE(L90UT,530) (T2AFAC(IT2AFA+NN),NN=IST,LGT)
  530 FORMAT(//1H ,T9,7F10.3)
      ACSIN = T2INAC(IT2INAC+K)
      ACSOUT = T2OUAC(IT2OUAC+K)
      AIRIN = T2IAIR(IT2IAI+K)
      AIROUT = T2OAIR(IT2OAI+K)
      WRITE(L90UT,540) ACSIN,ACSOUT,AIRIN,AIROUT
  540 FORMAT(//1H ,T5,'T2INAC = ',F10.3/
      1           1H ,T5,'T2OUAC = ',F10.3/
      2           1H ,T5,'T2IAIR = ',F10.3/
      3           1H ,T5,'T2OAIR = ',F10.3/)
      KK1 = 2*(K-1)+1
      KK2 = KK1 + 1
      WRITE(L90UT,550) T2NPLN(IT2NPL+KK1),T2NPLN(IT2NPL+KK2)
  550 FORMAT(//1H ,T5,'PLENUM INLET TEMPERATURE AT NA SIDE = ',F10.3/
      1           1H ,T5,'PLENUM OUTLET TEMPERATURE AT NA SIDE = ',F10.3/)
      WRITE(L90UT,560) T2APLN(IT2APL+KK2),T2APLN(IT2APL+KK1)
  560 FORMAT(//1H ,T5,'PLENUM INLET TEMPERATURE AT AIR SIDE = ',F10.3/
      1           1H ,T5,'PLENUM OUTLET TEMPERATURE AT AIR SIDE = ',F10.3/)
*/
***** SUBROUTINE WRIT2T
*/
***** *****
*INSERT WRIT2T.14
*CALL ACPNTR
*/
***** *****

```

```

TIME<10:24:50> DATE<10/24/87>
T107D.SSCL2.CS.DATA
MEMBER NAME IRACSH
      *!/ SUBROUTINE PAGE9U
      */ ****
      *DELETE,PAGE9U.25,26
         11 FORMAT(1H1,3(2X,2A4),4X,20A4,1X,'PAGE',15,
            1     /3X,10A4,46X,2A4,2X,2A4,F8.3,' SEC.'//)
      */ ****
      *!/ SUBROUTINE RITE1S
      */ ****
      *DELETE,RITE1S.89
      *DELETE,RITE1S.97
      *DELETE,RITE1S.103
      *DELETE,RITE1S.125
      *DELETE,RITE1S.174
      70000 FORMAT(/31X,25('*'),5X,'PIPE NUMBER ',I2,5X,25('*'))
      */ ****
      *!/ SUBROUTINE RITE2S
      */ ****
      *INSERT,RITE2S.19
      *CALL,ACPNTR
      C
      *BEFORE RITE2S.31
      C
         IF(L2ACS(IL2ACS+1) .NE. 0) WRITE(NOUT,17000) L2ACS(IL2ACS+1)
      *DELETE,RITE2S.94
         X38X,5X,I3,' PIPES')
      *INSERT,RITE2S.95
      17000 FORMAT(48X,'AIR COOLER FOLLOWS PIPE NUMBER',I3)
      */ ****
      *DELETE,RITE2S.47
      *DELETE,RITE2S.98
      30000 FORMAT(/31X,25('*'),5X,'PIPE NUMBER ',I2,5X,25('*'))
      */ ****
      *BEFORE,RITE2S.52
         IF (L2ACS(IL2ACS+1) .EQ. J) GO TO 1050
      *INSERT,RITE2S.63
      C
      C          -AIR COOLER-
      C
      1050 WRITE (NOUT,41000)
         WRITE (NOUT,35000) T2INEV(IT2INE+1),T2OUEV(IT2OUE+1),
            1           W2ACS(IW2ACS+1),P2PDAC(IP2PDA+1)
         GO TO 1300
      */ **** AIR COOLER
      *INSERT,RITE2S.111
      41000 FORMAT(1111,63X,'AIR COOLER'/63X,3(''),1X,6(''))
      *INSERT,RITE2S.109
      35000 FORMAT(11,48X,'INLET TEMPERATURE   =',1PE12.5,' K'
         1     ,48X,'OUTLET TEMPERATURE =',1PE12.5,' K'
         2     ,48X,'FLOW RATE        =',1PE12.5,' KG/S'
         3     ,48X,'PRESSURE DROP    =',1PE12.5,' N/M2')
      */ **** EVAPOLATER
      *DELETE,RITE2S.61,62
         WRITE (NOUT,34000) T2INEV(IT2INE+1),T2OUEV(IT2OUE+1),
            1           W2SG(IW2SG+1),P2PDEV(IP2PDE+1)
      *DELETE,RITE2S.109,109
      34000 FORMAT(11,48X,'INLET TEMPERATURE   =',1PE12.5,' K'
         1     ,48X,'OUTLET TEMPERATURE =',1PE12.5,' K'
         2     ,48X,'FLOW RATE        =',1PE12.5,' KG/S'
         3     ,48X,'PRESSURE DROP    =',1PE12.5,' N/M2')
      */ ****
      *DELETE,RITE2S.122
      46000 FORMAT(1
      */ ****
      *!/ SUBROUTINE PBAL9S
      */ **** ACCS FLOW BYPASS POINT (BETWEEN PIPE1 - PIPE2)
      *INSERT PBAL9S.40
      *CALL ACPNTR
      *DELETE PBAL9S.179
         WINT(NL)=(W2REF(KW2REF)-W2ACS(IW2ACS+1))*(F1LUHP(IF1LUM+NL))
      */ ****
      *INSERT INIT2T.77
      *CALL ACPNTR
      *INSERT INIT2T.126
         W2SG(IW2SG+K) = W - W2ACS(IW2ACS+K)
      */ ****

```

```

TIME<10:24:50> DATE<10/24/87>
T107D.SSCL2.CS.DATA
MEMBER NAME IRACSM

*!/ SUBROUTINE DEFN2T
*!/ ****
*! INSERT,DEFN2T.35
*! CALL,ACPNTR
*! INSERT,DEFN2T.43
    JHOT = L2HOT(IL2HOT+K)
    JSMIX = L2SMIX(IL2SMI+K)
    JAMIX = L2AMIX(IL2AMI+K)
*! INSERT,DEFN2T.50
    IF(J.GT.JHOT.AND.J.LE.JSMIX)
        1W2PIPE(IW2PIP+NPIPE+J) = W2SG(IW2SG+K)*C2PIPE(IC2PIP+NPIPE+J)
        IF(J.GT.JSMIX.AND.J.LE.JAMIX)
            1W2PIPE(IW2PIP+NPIPE+J) = W2ACS(IW2ACS+K)*C2PIPE(IC2PIP+NPIPE+J)
*!/ ****
*!/ SUBROUTINE PRNT9T
*!/ ****
*! BEFORE PRNT9T.37
*! CALL ACSDAT
*! DELETE,PRNT9T.76
    WRITE(NUOUT,201) S9TIME,S1WCPU,S1ECPU,S3CPU,SOCPUS,SSCPU,S6CPU,
*! INSERT,PRNT9T.153
    + 46X,1H+,14X,9HSOCPUS = ,1PE11.4,9X,1H%,/
*!/ ****
*!/ SUBROUTINE INIT9T
*!/ ****
*! INSERT INIT9T.20
*! CALL ACSDAT
*! INSERT,INIT9T.71
    SOCPUS=0.0
*!/ ****
*!/ NAMELIST STATEMENTS
*!/ ****
*! INSERT CRDR9R.18
C
*! CALL ACSDAT
C
*! CALL /ACSM/
C
    NAMELIST /ACS/ S2DACS, S2BVOP, S2STRT, N2ACSO, T2CNST,
    1     S2LHTS, F1ORGH, F1FINL, NTABLE, TINTTAB, FLWTAB,
    2     TENTTAB, LOADBA, A2STCK, T2AIRE, T2AORE, T2AIIC,
    2     T2AOIC, W2AREF, S2LOAF,
    3     T2NIRE, T2NORE, W2NREF, P2AREF, H2STCK, TAU2,
    4     F2STC1, AOCROS, DOWET, XNODE, WTHICK, VOOLUM
*! BEFORE CRDR9R.128
    READ (4,ACS)
    WRITE(6,ACS)
*!/ ****
*!/ SUBROUTINE PUMP2S
*!/ ****
*! PUMP2S.24
*! CALL,ACPNTR
*! CALL,ACSDAT
*! PUMP2S.54
    100 IF(J.LE.L2SMIX(IL2SMI+1).OR.J.GT.L2AMIX(IL2AMI+1))
        1PRPUMP=PUMP+PDRDP(IPDRDP+J)
*!/ ****
*!/ SUBROUTINE DRIV9T
*!/ ****
*! INSERT,DRIV9T.43
*! CALL,ACSDAT
*! INSERT,DRIV9T.206
    IF (S1FLOW.LE.S2DACS+S9MINA) THEN
*! BEFORE DRIV9T.209
    ELSE
        DO S1 NLP = 1, N1LOOP
            T2OUEV(IT2OUE+NLP) = T2INEV(IT2INE+NLP)
            E2OUEV(IE2OUE+NLP) = E2INEV(IE2INE+NLP)
        END IF
*! INSERT DRIV9T.210
        CALL SECOND(TIME)
        CALL ACCS2T
        CALL SECOND(S9TIME)
        SOCPUS=SOCPUS+S9TIME-TIME
*!/ ****
*!/ SUBROUTINE FUNC2T

```

```

TIME<10:24:50> DATE<10/24/87>
T107D.SSCL2.CS.DATA
MEMBER NAME IRACSH
/* ****
*INSERT, FUNC2T.28
C
*CALL, INTEG9
*CALL, TFLOW1
*CALL, ACPNTR
*CALL, ACSDAT
C
*DELETE, FUNC2T.51,53
IF (S1FLOW.LE.S2DACS+69MINA) THEN
  F2UNC2(IF2UN2+K)=
    1      (P2IN(IP2IN+NPIPE+JP1)-P2OUT(IP2OUT+NPIPE+JT) -
    2      (P2LOS2(IP2LS2+K)+P2LOSS(IP2LSS+K))) /
    3      (X2TWO(IX2TWO+K)+X2SG(IX2SG+K))
  ELSE
    F2UNC2(IF2UN2+K)=
    1      (P2IN(IP2IN+NPIPE+JP1)-P2OUT(IP2OUT+NPIPE+JT) -
    2      (P2LOS2(IP2LS2+K)+P2LOSA(IP2LSA+K))) /
    3      (X2TWO(IX2TWO+K)+X2ACS(IX2ACS+K))
END IF
/* ****
*/ SUBROUTINE LOOP2T
/* ****
*INSERT, LOOP2T.48
C
*CALL ACPNTR
*CALL ACSDAT
C
*D,LOOP2T.50,267
  L1PORS=2
  NP=0
  NP1=0
  IF (K.GT.1) THEN
    DO 123 JK=1,K-1,1
    NP=NP+N2PIPE(IN2PIP+JK)
    NP1=NP1+N1PIPE(IN1PIP+JK)
  123 CONTINUE
  ENDIF
  NH=N2PIPE(IN2PIP+K)
  LEV=L2SG(IL2SG+K)
  LAC=L2ACS(IL2ACS+K)
  LHT=L2HOT(IL2HOT+K)
  LAM=L2AMIX(IL2AM1+K)
  LSM=L2SMIX(IL2SM1+K)
C
C 3 FLOW SECTIONS EXIST IN THE 2RY LOOP IN <HONJU> PLANT.
C  <IHX>, <ACS> AND <SG>.
C  LFIHX, LFACS, LFSG MEAN FLOW DIRECTION.
C
  LFIHX=1
  LFACS=1
  LFSG =1
  IF (W2PIPE(IW2PIP+NP+1).LT.0.) LFIHX = -1
  IF (W2PIPE(IW2PIP+NP+LAC).LT.0.) LFACS = -1
  IF (W2PIPE(IW2PIP+NP+LEV).LT.0.) LFSG = -1
C
C
C<<<<<  DOWN STREAMS OF EACH COMPONENTS. >>>>>
C
***** STEAM GENERATOR *****
C
  IF (LFSG.EQ.1) THEN
    JSTART=LEV+1
    JEND=LSH
    E2PNA(IE2PNA+1)=E2OUEV(IE2OUE+K)
    DO 1 J=JSTART,JEND
    CALL PIPE2T(J,K,NP)
    IF (J.NE.JEND) CALL END2T(J,K,NP)
  1 CONTINUE
  ETENS = E2NA(IE2NA+N2NODE(IN2NOD+NP+JEND)+L2NODE(IL2NOD+L2PIPE(IL2PIP+K)+JEND))
  1 WTEINS = W2PIPE(IW2PIP+NP+JEND)
  ELSE
    JFIRST=LHT+1
    JEND=LEV
    DO 2 JJ=JFIRST,JEND

```

```

TIME<10:24:50> DATE<10/24/87>
T107D.SSCL2.CS.DATA
MEMBER NAME IRACSH

        J=JEND+JFIRST-JJ
        CALL END2T(J,K,NP)
2      CALL PIPE2T(J,K,NP)
        WREVSG=-W2PIPE(IW2PIP+NP+JFIRST)
        EREVSG=E2NA(IE2NA+N2NODE(IL2NOD+L2PIPE(IL2PIP+K)+JFIRST)+1)
        ENDIF
C
C***** AIR COOLER *****
C
        IF (N2ACSO(K).EQ.2.0R.N2ACSO(K).EQ.3) THEN
            IF (T2OUAC(IT2OAC+K).LE.T2CNST) N2ACSO(K) = 4
        END IF
        IF (N2ACSO(K).EQ.4) THEN
            T2OUAC(IT2OAC+K)=T2CNST
            E2OUAC(IE2OUA+K)=EHTH1H(T2CNST)
        ENDIF
        IF (LFACCS.EQ.1) THEN
            E2PNA(IE2PNA+1) = E2OUAC(IE2OUA+K)
            JSTART=LAC+1
            JEND=LAN
            DO 3 J=JSTART,JEND
            CALL PIPE2T(J,K,NP)
            IF (J.NE.JEND) CALL END2T(J,K,NP)
3      CONTINUE
            ETEINA = E2NA(IE2NA+N2NODE(IN2NOD+NP+JEND)+1
1          L2NODE(IL2NOD+L2PIPE(IL2PIP+K)+JEND))
            WTEINA=W2PIPE(IW2PIP+NP+JEND)
        ELSE
            NN=N2NODE(IN2NOD+J+NP)
            E2PNA(IE2PNA+NN) = E2INAC(IE2INA+K)
            JFIRST=LSH+1
            JEND=LAC
            DO 4 JJ=JFIRST,JEND
            J=JFIRST+JEND-JJ
            CALL END2T(J,K,NP)
            CALL PIPE2T(J,K,NP)
4      CONTINUE
            EREVAC = E2NA(IE2NA+N2NODE(IL2NOD+L2PIPE(IL2PIP+K)+JFIRST)+1)
            WREVAC = -W2PIPE(IW2PIP+NP+JFIRST)
        ENDIF
C
C***** IHX *****
C
        IF (LFIHX.EQ.1) THEN
C ..... CALCULATE TEMPERATURE AT THE MIXING TEE .....
C
            QMXTEE=0.
            WMXTEE=0.
            TSG=TEMP1T(ETEINS)
            TAC=TEMP1T(ETEINA)
            IF (LFSG.EQ.1) THEN
                WMXTEE = WMXTEE+WTEINS
                QMXTEE = QMXTEE+WTEINS*ETEINS
            ENDIF
            IF (LFACCS.EQ.1) THEN
                WMXTEE = WMXTEE+WTEINA
                QMXTEE = QMXTEE+WTEINA*ETEINA
            ENDIF
            EMXTEE = QMXTEE/WMXTEE
            E2PNA(IE2PNA+1) = EMXTEE
            JFIRST=LAH+1
            JEND=N2PIPE(IN2PIP+K)
            DO 5 J=JFIRST,JEND
            CALL PIPE2T(J,K,NP)
5      CALL END2T(J,K,NP)
C
            CALL IHX1T(K,NP1,NP)
C
            E2PNA(IE2PNA+1) = E2OUHX(IE2OUH+K)
            JFIRST=1
            JEND=LHT
            DO 7 J=JFIRST,JEND
            CALL PIPE2T(J,K,NP)
7      CALL END2T(J,K,NP)
            EIHXBR=E2NA(IE2NA+N2NODE(IN2NOD+NP+JEND)+1

```

```

TIME<10:24:50> DATE<10/24/87>
T107D.SSCL2.CS.DATA
MEMBER NAME IRACSM
      1           L2NODE(IL2NOD+L2PIPE(IL2PIP+K)+JEND))
      WIHXBR=W2PIPE(IW2PIP+NP+LHT)
      ELSE
C
C ..... CALCULATE TEMPERATURE AT THE BRANCH POINT .....
C
      QBRNCH=0,
      WBRNCH=0.
      IF (LFSG.EQ.-1) THEN
      WBRNCH = WBRNCH+WREVSG
      QBRNCH = QBRNCH+WREVSG*EREVSG
      ENDIF
      IF (LFACS.EQ.-1) THEN
      WBRNCH = WBRNCH+WREVAC
      QBRNCH = QBRNCH+WREVAC*EREVAC
      ENDIF
      EBRNCH = QBRNCH/WBRNCH
      E2PNA(IE2PNA+N2NODE(IN2NOD+J+NP)) = EBRNCH
      JFIRST=1
      JEND=LHT
      DO 6 JJ=JFIRST,JEND
      J=JFIRST+JEND-JJ
      CALL END2T(J,K,NP)
      CALL PIPE2T(J,K,NP)
      6 CONTINUE
      E20UHX(IE20UH+K) = E2PNA(IE2PNA+1)
      T20UHX(IT20UH+K) = TEMP1T(E20UHX(IE20UH+K))
C
      CALL IHX1T(K,NP1,NP)
C
      E2PNA(IE2PNA+N2NODE(IN2NOD+N2PIPE(IN2PIP+K)+NP))=
      1 E2INHX(IE2INH+K)
      JFIRST=LAM+1
      JEND=N2PIPE(IN2PIP+K)
      DO 8 JJ=JFIRST,JEND
      J=JFIRST+JEND-JJ
      CALL END2T(J,K,NP)
      CALL PIPE2T(J,K,NP)
      8 CONTINUE
      EREVHX = E2NA(IE2NA+L2NODE(IL2NOD+L2PIPE(IL2PIP+K)+JFIRST)+1)
      WREVHX = -W2PIPE(IW2PIP+NP+JFIRST)
      ENDIF
C
C <<<<< UP STREAMS OF EACH COMPONENTS. >>>>>
C
C
C ..... CALCULATE TEMPERATURE AT THE BRANCH POINT .....
C
      IF W(IHX)<0, ALREADY GIVEN
      IF (LFIHX.EQ.1) THEN
      QBRNCH=EIHXBRIWIHXBR
      WBRNCH=WIHXBR
      IF (LFACS.EQ.-1) THEN
      QBRNCH=QBRNCH+WREVAC*EREVAC
      WBRNCH=WBRNCH+WREVAC
      ENDIF
      EBRNCH=QBRNCH/WBRNCH
      ENDIF
C
C ..... CALCULATE TEMPERATURE AT THE MIXING TEE .....
C
      IF W(IHX)>0, ALREADY GIVEN
      IF (LFIHX.EQ.-1) THEN
      QMXTEE=EREVHX*WREVHX
      WMXTEE=WREVHX
      IF (LFACS.EQ.1) THEN
      QMXTEE=QMXTEE+WTEINA*ETEINA
      WMXTEE=WMXTEE+WTEINA
      ENDIF
      EHXTREE=QMXTEE/WMXTEE
      ENDIF
C
C ***** STEAM GENERATOR *****
C
      IF (LFSG.EQ.1) THEN
      E2PNA(IE2PNA+1)=EBRNCH
      JFIRST=LHT+1

```

```

TIME<10:24:50> DATE<10/24/87>
T107D.SSCL2.CS.DATA
MEMBER NAME IRACSM

        JEND=LEV
        DO 9 J=JFIRST,JEND
        CALL PIPE2T(J,K,NP)
9 CALL END2T(J,K,NP)
E2INEV(IE2INE+K)=E2PNA(IE2PNA+N2NODE(IN2HOD+J+NP))
T2INEV(IT2INE+K)=TEHP1T(E2INEV(IE2INE+K))
ELSE
E2PNA(IE2PNA+1) = EHXTET
JFIRST = LEV+1
JEND = LSM
DO 10 JJ=JFIRST,JEND
J=JFIRST+JEND-JJ
CALL END2T(J,K,NP)
10 CALL PIPE2T(J,K,NP)
II=L2NODE(IL2NOD+L2PIPE(IL2PIP+K)+LEV+1)
E20UEVC(IE20UE+K) = E2NA(IE2NA+II+1)
ENDIF

C
C***** AIR COOLER *****C
C
        IF (LFACS.EQ.1) THEN
        E2PNA(IE2PNA+1)=EBRNCH
        JFIRST=LSM+1
        JEND=LAC
        DO 11 J=JFIRST,JEND
        CALL PIPE2T(J,K,NP)
11 CALL END2T(J,K,NP)
E2INAC(IE2INA+K)=E2PNA(IE2PNA+N2NODE(IN2HOD+J+NP))
T2INAC(IT2IAC+K)=TEHP1T(E2INAC(IE2INA+K))
ELSE
E2PNA(IE2PNA+1) = EHXTET
JFIRST = LAC+1
JEND = LAN
DO 12 JJ=JFIRST,JEND
J=JFIRST+JEND-JJ
CALL END2T(J,K,NP)
12 CALL PIPE2T(J,K,NP)
II=L2NODE(IL2NOD+L2PIPE(IL2PIP+K)+LAN+1)
E20UAC(IE20UA+K) = E2NA(IE2NA+II+1)
T20UAC(IT20AC+K)=TEHP1T(E20UAC(IE20UA+K))
ENDIF
* *****
*      SUBROUTINE PDFG2T
* *****
*INSERT PDFG2T.53
C
C          PRIMARY SIDE OF ACS.
C
        CALL HACS2T(K)
C
* *****
*      SUBROUTINE PLOS2T
* *****
*INSERT PLOS2T.43
C
*CALL,DATA1H
*CALL,TFLW1
*CALL,ACPNTR
C
*INSERT PLOS2T.53
C
        JHOT=L2HOT(IL2HOT+K)
        JBR=JHOT+1
        JMXS=L2SHMIX(IL2SHI+K)
        JAIS=JMXS+1
        JHXA=L2AMIX(IL2AMI+K)
*INSERT PLOS2T.58
        PDACS=P2PDAC(IP2PDA+K)
*DELETE PLOS2T.145
        DO 430 J = 1 , JHOT
*INSERT PLOS2T.151
C
C--> MIXING TEE --> TANK
C
        DO 422 J=JMXA+1, JTANK
        PDFG=PDFG+

```

```

TIME<10:24:50> DATE<10/24/87>
T107D.SSCL2.CS.DATA
MEMBER NAME IRACSM
      1   C2EV(IC2EV+NPIPE+J)*PDEV+
      1   P2PDFG(IP2PDF+NPIPE+J)
      422 CONTINUE
C
      P2LOS2(IP2LS2+K)=PDFG
C
C----- PRESSURE LOSS THROUGH ACS
C
      PDFG=0.
      DO 423 J=JAIN,JHXA
      PDFG=PDFG+
      1   C2EV(IC2EV+NPIPE+J)*PDEV+
      1   P2PDFG(IP2PDF+NPIPE+J)
      423 CONTINUE
C
      PDFG=PDFG+PDACS
C
      P2LOSA(IP2LSA+K)=PDFG
C
C----- PRESSURE LOSS THROUGH SG
C
      PDFG=0.
      DO 424 J=JBR,JMXS
      PDFG=PDFG+
      1   C2EV(IC2EV+NPIPE+J)*PDEV+
      1   P2PDFG(IP2PDF+NPIPE+J)
      424 CONTINUE
C
      P2LOSS(IP2LSS+K)=PDFG
C
/* **** SUBROUTINE XI2T ****
*/
* CALL,ACSDAT
* CALL,ACPNTR
C
*INSERT XI2T.56
      X2ACS(IX2ACS+K) = 0.0
      X2SG(IX2SG+K) = 0.0
*INSERT XI2T.111
      JFIN = L2HOT(IL2HOT+K)
*DELETE XI2T.112
      DO 240 J=1,JFIN
*INSERT XI2T.117
      JSTART = JFIN+1
      JFIN = L2SMIX(IL2SMI+K)
      DO 250 J=JSTART,JFIN
      X2SG(IX2SG+K) = X2SG(IX2SG+K)+  

      1     X1STGN*C2EV(IC2EV+NPIPE+J)  

      2     +X2PIPE(IX2PIP+NPIPE+J)/A2PIPE(IA2PIP+NPIPE+J)*C2PIPE(IC2PIP+  

      3     NPIPE+J)
      250 CONTINUE
C
      JSTART = JFIN+1
      JFIN = L2AMIX(IL2AMI+K)
      DO 260 J=JSTART,JFIN
      X2ACS(IX2ACS+K) = X2ACS(IX2ACS+K)+  

      1     X1STGN*C2EV(IC2EV+NPIPE+J)  

      2     +X2PIPE(IX2PIP+NPIPE+J)/A2PIPE(IA2PIP+NPIPE+J)*C2PIPE(IC2PIP+  

      3     NPIPE+J)
      260 CONTINUE
C
      X2ACS(IX2ACS+K) = X2ACS(IX2ACS+K) + XNODE(1)/AOCROS(1)*20.0
C
/* **** SUBROUTINE EQIV2T ****
*/
*I EQIV2T.38
*CALL ACPNTR
*CALL ACSDAT
*CALL TFLOW1
*CALL INTEG9
*I EQIV2T.70
      IF (S1FLOW.LT.S2DACS+S9MINA) THEN
          W2SG(IW2SG+K) = W2TWO(IW2TWO+K)

```

```

TIME<10:24:50> DATE<10/24/87>
T107D.SSCL2.CS.DATA
MEMBER NAME IRACSH

        END IF
        IF (S1FLOW.GE.S2DACS+S9MINA) THEN
            W2SG(IW2SG+K) = 0.0
            W2ACS(IW2ACS+K) = W2TWO(IW2TWO+K)
        END IF
*! ****
*! ****
*! **** ACS MODEL
*!
*! ****
*! **** NEW COMMON DECK
*! ****
*CD ACPNTR
C
C ACPNTR
C
C           IN CONNECTION WITH ACS
C
        DIMENSION      W2ACS(1),    W2SG(1),    W2AIR(1),    P2LOSA(1),
1          P2LOSS(1),   T2WFAC(1),   T2NFACT(1),   T2AFAC(1),   T2INAC(1),
2          T2OUAC(1),   T2IAIR(1),   T2OAIR(1),   T2NPLNC(1),   T2APLN(1),
3          P2PDAC(1),   F2L0SA(1),   X2ACS(1),    X2SG(1),    E2INAC(1),
4          L2HOT(1),    L2SHIX(1),   L2ACS(1),    L2AHIX(1),   E2OUAC(1),
EQUIVALENCE ( C9VDIH(1), W2ACS(1),    W2SG(1),    W2AIR(1),
1          P2LOSS(1),   P2LOSA(1),   T2WFAC(1),   T2NFACT(1),   T2AFAC(1),
2          T2INAC(1),   T2OUAC(1),   T2IAIR(1),   T2OAIR(1),   T2NPLNC(1),
3          T2APLN(1),   P2PDAC(1),   F2L0SA(1),   X2ACS(1),    X2SG(1),
4          E2INAC(1),   L2HOT(1),    L2SHIX(1),   L2ACS(1),    L2AHIX(1),
5          E2OUAC(1))
        COMMON /ACPNTR/ IW2ACS,     IW2SG,     IW2AIR,     IP2LSA,
1          IP2LSS,     IT2WFA,     IT2NFA,     IT2AFA,     IT2IAC,
2          IT2OAC,     IT2IAI,     IT2OAI,     IT2NPL,     IT2APL,
3          IP2PDA,     IF2LSA,     IX2ACS,     IX2SG,     IE2INA,
4          IL2HOT,     IL2SHI,     IL2ACS,     IL2AMI,     IE2OUA
C
*CD ACSDAT
C
C ACSDAT 46+ 26 + 8 + 60 + 8 + 9 + 7 + 6 + 3 + 12 = 185
C ACSDAT 46 72 80 140 148 157 164 170 173 185 = 185
        COMMON /ACSDAT/ TOFLOW(2,21), TOBNDR(2,2),
A          WOFLOW(2),  TOWALL(20),  TONEXT(2,2),
B          AOCROS(3),  DOWET(2),  XONODE(3),
F          TEMTAB(20), FLWTA8(20), TIMTAB(20),
H          VOOLUH(2,2), TOPLEN(2,2),
D          WTHICK,  DELT1,  ALPHA, S2LHTS(3), S2LOAF(3),
J          S2DACS,  S2BVDP(3), F2STCK, A2STCK, H2STCK,
K          TAU2,  C2STCK, T2AIRE, T2AORE, W2AREF, P2AREF,
K          W2NREF, T2AIIC, T2AOIC,
L          F2STC1, T2CNST, F10RGH(3), F1FINL(3), S2STR(3), SOCPU
        COMMON /ACSAIR/ T2AIRO, T2AIR1(3), T2AIRS(3)
        COMMON /ACSDAI/ IP(2), NTABLE, HOATER(3), N2ACSO(3), LOADBA(3)
*CD /ACSM/
C
C           /ACSM/
COMMON /ACSM/ T2NIRE, T2NORE
C
*! ****
*! **** BLOCK DATA
*! ****
*I,BLKDAT.207
*! **** BLOCK DATA
*CALL ACSDAT
C----- HOATER: MATERIAL ID OF FLUID OR HEAT TRANSFER TUBE
C----- 1 DENOTES SODIUM, 2 DENOTES AIR, AND 3 DENOTES METAL
DATA HOATER /1,2,3/
C--AOCROS(1):CROSS SECTIONAL AREA OF PRIMARY PATH
C--AOCROS(2):CROSS SECTIONAL AREA OF SECONDARY PATH
C--AOCROS(3):CROSS SECTIONAL AREA OF HEAT TRANSFER TUBE
DATA AOCROS /0.09599476, 12.3, 0.105/
C--DOWET(1): WETTED PERIMETER OF PRIMARY SIDE OF H.T. TUBE
C--DOWET(2): WETTED PERIMETER OF SECONDARY SIDE OF H.T. TUBE
DATA DOWET /8.649, 454.6/
C--XONODE: MESH LENGTHS OF PRIMARY PATH,SECONDARY PATH,H.T.TUBE

```

```

TIME<10:24:50> DATE<10/24/87>
T107D.SSCL2.CS.DATA
MEMBER NAME IRACSH

      DATA XNODE /0.805, 0.16235, 0.805/
C--LOCATION WHERE B.C. ARE GIVEN
      DATA IP /1,2/
C--WTHICK :THICKNESS OF H.T. TUBE (FIN NOT CONSIDERED)
      DATA WTHICK /0.0032/
C--VOOLUM :PLENUM VOLUME
      DATA VOOLUM /0.5516, 7.2, 0.5516, 7.2/
*/
      END
*/
***** SUBROUTINE ACCS2S
*/
***** OK ACCS2S
      SUBROUTINE ACCS2S
C
*CALL /VD9V/
C
*CALL DATA9C
C
*CALL DATA1H
C
*CALL /1/
C
*CALL /LOCL1/
C
*CALL DATA12
C
*CALL ACPNTR
C
*CALL ACSDAT
C
*CALL /ACSH/
C
*CALL /BRK2T/
C
*CALL DATA2E
C
*CALL DATA2A
C
C-----
C     CALLED FROM PBAL9S
C     CALLS UNIVOS
C-----
C     DATA STRUCTURE:
C     T2NFAF(IT2NFA+(K-1)*21+NNODE):
C     SODIUM TEMPERATURE AT NNODE' TH NNODE IN ACCS OF K' TH LOOP
C     T2AFAC(IT2NFA+(K-1)*21+NNODE):
C     AIR TEMPERATURE AT NNODE' TH NNODE IN ACCS OF K' TH LOOP
C     W2ACS(IW2ACS+K):
C     SODIUM FLOW RATE OF ACCS IN K' TH LOOP
C     W2AIR(IW2AIR+K):
C     AIR FLOW RATE OF ACCS IN K' TH LOOP
C-----
C
      IFOVER=IPDROP+N2PIPE(IN2PIP+1)
C
      DO 100 K=1,N1LOOP
      J2AC=L2ACS(IL2ACS+K)
      TONEXT(1,1)=T2INEV(IT2INE+1)
      TONEXT(1,2)=T2OUEV(IT2OUE+1)
      TOPLEN(1,1)=T2INEV(IT2INE+1)
      TOPLEN(1,2)=T2OUEV(IT2OUE+1)
      T2NPLN(IT2NPL+2*(K-1)+1)=T2INEV(IT2INE+1)
      T2NPLN(IT2NPL+2*(K-1)+2)=T2OUEV(IT2OUE+1)
      T2INAC(IT2IAC+K)=T2INEV(IT2INE+1)
      T2OUC(IT2OAC+K)=T2OUEV(IT2OUE+1)
      E2INAC(IE2INA+K)=ENTH1H(T2INAC(IT2IAC+K))
      E2OUC(IE2OUA+K)=ENTH1H(T2OUC(IT2OAC+K))
C
C     REFERENCE AND INITIAL CONDITION OF AIR MASS FLOW RATE
C
      CALL IACS2S
C---- GLOBAL CONTAINER TO TEMPORARY DATA IN UNIVHX.
      WOFLOW(1) = W2ACS(IW2ACS+K)
      WOFLOW(2) = W2AIR(IW2AIR+K)
C
C     TEMPERATURE DISTRIBUTION IN IRACS

```

```

TIME<10:24:50> DATE<10/24/87>
T107D.SSCL2.CS.DATA
MEMBER NAME IRACSM

C
      CALL UNIVOS(K)
      W2ACS(IW2ACS+K) = WOFLOW(1)
      W2AIR(IW2AIR+K) = WOFLOW(2)
      T2APLN(IT2APL+2*(K-1)+1)=TONEXT(2,1)
      T2APLN(IT2APL+2*(K-1)+2)=TONEXT(2,2)
      T2IAIR(IT2IAI+K) = TONEXT(2,2)
      T20AIR(IT20AI+K) = TONEXT(2,1)
      T2AIRS(K) = TONEXT(2,1)
      T2AIR1(K) = TONEXT(2,2)
      T2AIR0 = TONEXT(2,2)
C---- TEMPORARY DATA TO GLOBAL CONTAINER
      T2OUAC(IT2OAC+K) = TONEXT(1,2)
      DO 300 N=1,21
      T2NFAC(IT2NFA+(K-1)*21+N)=TOFLLOW(1,N)
      T2AFAC(IT2AFA+(K-1)*21+N)=TOFLLOW(2,N)
      IF(N.LT.21) T2WFAC(IT2WFA+(K-1)*20+N)=TOWALL(N)
      300 CONTINUE
C
C      SET INITIAL CONDITION
C
C---- CALCULATE PRESSURE LOSSES.
      CALL PLOSOS(K)
      100 CONTINUE
      RETURN
      99999 WRITE(6,30000)
      CALL EXIT9U(99999,'ACCS2S   ')
C
C      FORMAT
C
      30000 FORMAT(1H1,' ****ERROR IN ACCS2S ****'
     1          '      ERROR IN ACCS2S '
     2          '      NUMBER OF PIPE THROUGH THE ACS PATH'
     3          '      MUST BE LESS THAN 5.'
     4          ' ****')
      END
*/ ****
*/      SUBROUTINE PLOSOS
*/ ****
*DECK PLOSOS
      SUBROUTINE PLOSOS(K)
C
*CALL /VD9V/
C
*CALL /LOCL1/
C
*CALL /I/
C
*CALL ACSDAT
C
*CALL ACPNTR
C
*CALL DATA9C
C
C
      NACS = 21
      W = W2ACS(IW2ACS+K)
      W2 = W * W
      SIGNW = SIGN(1.,W)
      WHODW = SIGNW * W2
      A2 = AOCROS(1) * AOCROS(1)
      DXN = XNODE(1)
      DXA = XNODE(2)
      J2AC = L2ACS(IL2ACS+K)
C
      FLOW = 4.0 * W / DOWET(1)
C
      RHOSIN = 0.0
C
      DO 25 I=1,NACS
      RHO = DENS1D(T2NFAC(IT2NFA+(K-1)*NACS+I))
      RE = FLOW/VISC1H(T2NFAC(IT2NFA+(K-1)*NACS+I))
      F = FRICCRE,O.)
      FOVERD(IFOVER+I) = F / RHO
      IF(I.EQ.NACS) GOTO 25
C

```

```

TIME<10:24:50> DATE<10/24/87>
T107D.SSCL2.CS.DATA
MEMBER NAME IRACSH
      TEMP =      (T2NFAC(IT2NFA+(K-1)*NACS+I)
      1          +T2NFAC(IT2NFA+(K-1)*NACS+I+1))/2.
      RHOSIN = RHOSIN + DENS1D(TEMP)

C   25 CONTINUE
C
C       DENSITIES FOR PRIMARY SIDE OF ACS
C
C       RHON=RHO
C       RH01=DENS1D(T2NFAC(IT2NFA+(K-1)*NACS+1))
C       RHOAVG=.5*(RHON+RH01)

C       TERMS IN PRESSURE DROP
C
C       DEQ = 4.0 * AOCROS(1) / DOWET(1)
C       PDFLOW=W2*(1./RHON-1./RH01)/A2
C
C       PDFRIC = 0.5*WHDW / DEQ / A2 * SIMP1U(FOVERD(IFOVER+1),NACS,DXH)
C
C       PDGRAV=C9GRAV*RHOSIN*DXA
C
C       PDKLOS = F2LOSA(IF2LSA+K) * W2 / RHOAVG
C
C ##### ADJUST PRESSURE LOSS TO BE EQUAL TO THAT OF SG-PATH. #####
C----- PRESSURE LOSS THROUGH ACS
C
C       PDFG=0.
C       Jain=L2SMIX(IL2SMI+1)+1
C       JMXA=L2AMIX(IL2AMI+1)
C       WRITE(6,20000)
C       DO 423 J=JAIN,JMXA
C       PDFG = PDFG + PDROP(IPDROP+J)
C       WRITE(6,21000) J , PDROP(IPDROP+J)
423 CONTINUE
C
C       PDFG = PDFG + PDFLOW + PDFRIC + PDKLOS - PDGRAV
C       PDBV = CVALOC(0.0,W,RHOAVG,K)
C       P2PDAC(IP2PDA+K) = PDFLOW + PDFRIC + PDKLOS - PDGRAV
C       PDAP = PDFG + PDBV
C       DP = P2LOSS(IP2LSS+K) - PDAP
C       WRITE(6,22000)
C       WRITE(6,23000) PDFLOW, PDFRIC, PDKLOS, -PDGRAV, P2PDAC(IP2POA+K),
C       1           PDBV
C       WRITE(6,24000) P2LOSS(IP2LSS+K) , PDAP , DP
C       RETURN
20000 FORMAT(////' ***** PRESSURE DROP ACROSS THE ACS PATH *****'
1           , '(IN THE INITIAL CONDITION)')
21000 FORMAT(10X,' PIPE NUMBER =',13.5X,'PRESSURE LOSS =',E15.6,' PA')
22000 FORMAT(////' ***** PRESSURE DROP AT THE ACS *****')
23000 FORMAT(10X,'ACCELERATION PRESSURE LOSS =',E15.6,' PA'
1           10X,'FRICTION PRESSURE LOSS    =',E15.6,' PA'
2           10X,'FORM PRESSURE LOSS     =',E15.6,' PA'
3           10X,'GRAVITY PRESSURE LOSS  =',E15.6,' PA'
4           5X,'TOTAL PRESSURE LOSS OF THE ACS ITSELF =',E15.6,' PA'
5           10X,'PRESSURE LOSS OF THE EXIT B-VALVE =',E15.6,' PA')
24000 FORMAT(//10X,'PRESSURE LOSS THROUGH THE SG PATH =',E15.6,' PA'
1           10X,'PRESSURE LOSS THROUGH THE ACS PATH =',E15.6,' PA'
2           10X,'THE DIFFERENCE        =',E15.6,' PA)
END
*/ ****
*/      SUBROUTINE PLOSOR
*/ ****
*DECK PLOSOR
      SUBROUTINE PLOSOR(K)
C
*CALL /VD9V/
C
*CALL /LOCL1/
C
*CALL /1/
C
*CALL ACSDAT
C
*CALL ACPNTR
C
*CALL /ACSH/

```

```

TIME<10:24:50> DATE<10/24/87>
T107D.SSCL2.CS.DATA
MEMBER NAME IRACSH
C
*CALL DATA9C
C
      DIMENSION P2DREF(5)
C
      SET PRESSURE LOSS COEFFICIENT BASED ON REFERENCE CONDITION
C
      NACS = 21
      J2AC=L2ACCS(IL2ACS+K)
      DPACS = P2PDAC(IP2PDA+K)
      W=W2NREF
      W2=W*W
      SIGNW=SIGN(1.,W)
      WHODW=SIGNW*W2
      A2=AOCROS(1)*AOCROS(1)
      DXN = XONODE(1)
      DXA = XONODE(2)
C
      FLOW = 4.0 * W / DOWET(1)
C
      RHOSIN=0.
C
      DO 500 I=1,NACS
      RHO = DENS1D(TOFLLOW(1,I))
      RE = FLOW/VISC1N(TOFLLOW(1,I))
      F=FRICC(RE,0.)
      FOVERD(IFOVER+I)=F/RHO
      IF(I.EQ.NACS) GOTO 500
C
      TEMP = 0.5 * (TOFLLOW(1,I) + TOFLLOW(1,I+1))
      RHOSIN = RHOSIN + DENS1D(TEMP)
C
      500 CONTINUE
C
C           DENSITIES FOR PRIMARY SIDE OF ACS
C
      RHON=DENS1D(T2NORE)
      RH01=DENS1D(T2NIRE)
      RHOAVG=.5*(RHON+RH01)
C
C           TERMS IN PRESSURE DROP
C
      PDFLOW = W2 * (1.0/RHON-1.0/RH01)/A2
C
      DEQ = 4.0 * AOCRDS(1) / DOWET(1)
      PDFRIC = 0.5*WHODW / DEQ / A2 * SIMP1U(FOVERD(IFOVER+1),NACS,DXN)
C
      PDGRAV = C9GRAV * RHOSIN * DXA
C
      PDFG=0.
      JAIN=L2SMIX(IL2SMI+1)+1
      JHXA=L2AMIX(IL2AMI+1)
      IF ((JHXA-JAIN).GT.4) GO TO 99999
      WRITE(6,10000)
      JJJ = 0
      DO 600 J=JAIN,JHXA
      JJJ = JJJ + 1
      CALL PDAC2S(J, JJJ, P2DREF)
      PDFG=PDFG+
      1   P2DREF(JJJ)
      WRITE(6,11000) J , P2DREF(JJJ)
      600 CONTINUE
C
      PDFG=PDFG+PDFLOW+PDFRIC-PDGRAV
      WRITE(6,12000)
      WRITE(6,13000) PDFLOW , PDFRIC , -PDGRAV , PDFG
      DP = DPACS - PDFLOW - PDFRIC
      WRITE(6,14000)
      WRITE(6,15000) DPACS , PDFLOW+PDFRIC , DP
C
C           CALCULATE PRESSURE FORM LOSS COEFFICIENT FOR ADJUSTMENT
C
      F2LOSA(IF2LSA+K) = DP / W2 * RHOAVG
      RETURN
99999 WRITE(6,30000)
      CALL EXIT9U(99999,'PLDSOR ')

```

```

TIME<10:24:50> DATE<10/24/87>
T107D.SSCL2.CS.DATA
MEMBER NAME IRACSH

C
C      FORMAT
C
30000 FORMAT(1H1,' ****ERRDR IN PLOSOR ****'
1      , '    ERRDR IN PLOSOR '
2      , '    NUMBER OF PIPE THROUGH THE ACS PATH'
3      , '    MUST BE LESS THAN 5.'
4      , ' ****')
10000 FORMAT(1H1,' **** PRESSURE DROP ACROSS THE ACS PATH ****'
1      , '    (IN THE REFERENCE CONDITION)')
11000 FORMAT(10X,' PIPE NUMBER =',I3,5X,'PRESSURE LOSS =',E15.6,' PA')
12000 FORMAT(1H1,' **** PRESSURE DROP AT THE ACS ****')
13000 FORMAT(10X,'ACCELERATION PRESSURE LOSS =',E15.6,'PA'
1      10X,'FRICTION PRESSURE LOSS     =',E15.6,'PA'
2      10X,'GRAVITY PRESSURE LOSS   =',E15.6,'PA'
3      5X,'TOTAL PRESSURE LOSS THROUGH THE ACS PATH =',E15.6,' PA')
14000 FORMAT(1H1,' **** PRESSURE DROP THROUGH THE SG PATH ****')
15000 FORMAT(10X,'DESIGN PRESSURE LOSS AT THE ACS      =',E15.6,' PA'
1      10X,'PRESSURE LOSS AT THE ACS(W/O G-LOSS) =',E15.6,' PA'
2      10X,'THE DIFFERENCE          =',E15.6,' PA')
END
*/ ****
*/      FUNCTION VISCOA
*/ ****
*OK VISCOA
      FUNCTION VISCOA(TEMP)
C----- VISCOSITY OF AIR -----
      VISCOA = VAIR3C(TEMP) / DENSOA(TEMP)
      RETURN
      END
*/ ****
*/      FUNCTION VAIR3C
*/ ****
*OK VAIR3C
      FUNCTION VAIR3C(T)
C----- VISCOSITY OF AIR -----
      DIMENSION VISCAI(4)
      DATA VISCAI /4.735E-06, 4.932E-08, -9.000E-12, -3.639E-15/
      VAIR3C=VISCAI(1)+(VISCAI(2)+(VISCAI(3)+VISCAI(4)*T)*T)*T
      RETURN
      END
*/ ****
*/      FUNCTION CAPAOA
*/ ****
*OK,CAPAOA
      FUNCTION CAPAOA(TEMP)
C----- SPECIFIC HEAT CAPASITY OF AIR -----
*CALL DATA9C
C
      DIMENSION CAPAAI(4)
      DATA CAPAAI /161800.2, 984.36, 0.012504, 4.6751E-5/
      CAPAOA = CAPAAI(2) + (2.0*CAPAAI(3) + 3.0*CAPAAI(4)*TEMP)*TEMP
      CAPAOA = CAPAOA * C9RGAS / 287.0
      RETURN
      END
*/ ****
*/      FUNCTION DENSOA
*/ ****
*OK,DENSOA
      FUNCTION DENSOA(TEMP)
C----- DENSITY OF AIR -----
C
*CALL DATA9C
C
      DENSOA = P9ATH / 287.00 / TEMP
      RETURN
      END
*/ ****
*/      FUNCTION ENTAOA
*/ ****
*OK ENTAOA
      FUNCTION ENTAOA(TEMP)
C----- SPECIFIC ENERGY OF AIR -----
C
*CALL DATA9C
C

```

```

TIME<10:24:50> DATE<10/24/87>
T107D.SSCL2.CS.DATA
MEMBER NAME IRACSH

C
      DIMENSION CAPAAI(4)
      DATA CAPAAI /161800.2 , 984.36 , 0.012504 , 4.6751E-5/
      ENTAOA = CAPAAI(1) +
      1      TEMP*(CAPAAI(2) + TEMP*(CAPAAI(3) + TEMP*CAPAAI(4)))
      RETURN
      END
      ****
      /* FUNCTION TEMPOA
      ****
      *DK,TEMPOA
      FUNCTION TEMPOA(ENT)
      C----- TEMPERATURE OF AIR -----
      C
      *CALL /AC1/
      *CALL /UNIT/
      C
      C
      DATA C0 /-1.6593E02/, C1 /1.02746E-03/, C2 /-1.62E-11/
      1      C3 /-2.81E-17/
      L1TERR = 0
      T1 = C0 + (C1 + (C2 + C3*ENT) * ENT) * ENT
      EO = ENT
      E1 = ENTAOA(T1)
      DO 100 M = 1,25
      DT = C1*T1 * T1
      E2 = ENTAOA(T1+DT)
      TEMPOA = T1 + (EO-E1) / (E2-E1) * DT
      E1 = ENTAOA(TEMPOA)
      IF(ABS((E1-EO)/EO).LT.C1*T2) THEN
          RETURN
      END IF
      100   T1 = TEMPOA
      WRITE(L90UT,10000)
      L1TERR = L1TERR + 1
      IF (L1TERR.GT.10) CALL EXIT9U(11001,8HTEMPOA )
      RETURN
      10000 FORMAT(//,39H *** WARNING- NO CONVERGENCE IN TEMPOA,/)
      END
      ****
      /* FUNCTION CONDOA
      ****
      *DK,CONDOA
      FUNCTION CONDOA(TEMP)
      C----- THERMAL CONDUCTIVITY OF AIR -----
      DIMENSION CONDAI(6),TEMPST(6)
      DATA CONDAI /2.408E-02, 2.722E-02, 3.164E-02,
      1      3.594E-02, 4.489E-02, 6.129E-02/
      DATA TEMPST /273.15,313.15,373.15,433.15,573.15,873.15/
      IF(TEMP.GE.TEMPST(1)) GOTO 100
      CONDOA=CONDAI(1)
      RETURN
      100 IF(TEMP.LE.TEMPST(6)) GOTO 200
      CONDOA=CONDAI(6)
      RETURN
      200 DO 300 IDATA=1,5
      IF(TEMP.GT.TEMPST(IDATA+1)) GOTO 300
      CONDOA=(CONDAI(IDATA)*(TEMPST(IDATA+1)-TEMP)+CONDAI(IDATA+1)*
      1*(TEMP-TEMPST(IDATA)))/(TEMPST(IDATA+1)-TEMPST(IDATA))
      RETURN
      300 CONTINUE
      END
      ****
      /* FUNCTION HTRNOA
      ****
      *DK,HTRNOA
      FUNCTION HTRNOA(TEMP,WFLOW)
      C
      *CALL ACSDAT
      C
      AREA=AOCROS(C2)
      DEQ=4.0*AREA/DOWET(2)
      REYNOL=ABS(WFLOW)/AREA/VISCOA(TEMP)*DEQ
      PRNTL =CAPAOA(TEMP)*VISCOA(TEMP)*DENSOA(TEMP)/CONDOA(TEMP)
      HALPHA=.092*REYNOL**.723 * PRNTL**(.1/3.) *CONDOA(TEMP)/DEQ
      HTRNOA=HALPHA*(.1084+.9*1.3219)/1.43/1.16

```

```

TIME<10:24:50> DATE<10/24/87>
T107D.SSCL2.CS.DATA
MEMBER NAME IRACSM

      RETURN
      END
* / ****
* /      FUNCTION CAPAOC
* / ****
*DK,CAPAOC
      FUNCTION CAPAOC(IM,TEMP)
C-----THIS FUCNTION CALCULATES HEAT CAPACITY OF ID' TH MATERIAL
C-----SIMPLE EQUATION CODED TEMPORARILY.
*CALL,ACSDAT
      IF(HOATER(IM).EQ.1) CAPAOC=CAPAOS(TEMP)
      IF(HOATER(IM).EQ.2) CAPAOC=CAPAOA(TEMP)
      IF(HOATER(IM).EQ.3) CAPAOC=CAPAOH(TEMP)
      RETURN
      END
* / ****
* /      FUNCTION DENSOC
* / ****
*DK,DENSOC
      FUNCTION DENSOC(IM,TEMP)
*CALL,ACSDAT
      IF(HOATER(IM).EQ.1) DENSOC=DENSOS(TEMP)
      IF(HOATER(IM).EQ.2) DENSOC=DENSOA(TEMP)
      IF(HOATER(IM).EQ.3) DENSOC=DENSOH(TEMP)
      RETURN
      END
* / ****
* /      FUNCTION ENTAOC
* / ****
*DK,ENTAOC
      FUNCTION ENTAOC(I,TEMP)
C---- ENTHALPY OF EACH MATERIAL -----
*CALL,ACSDAT
      IF(HOATER(I).EQ.1) ENTAOC=ENTAOS(TEMP)
      IF(HOATER(I).EQ.2) ENTAOC=ENTAOA(TEMP)
      IF(HOATER(I).EQ.3) ENTAOC=ENTAOH(TEMP)
      RETURN
      END
* / ****
* /      FUNCTION TEMPOC
* / ****
*DK,TEMPOC
      FUNCTION TEMPOC(I,ENT)
C      OBTAIN TEMPERATURE FOR EACH COOLANT (AIR/SODIUM)
C
*CALL,ACSDAT
      IF(HOATER(I).EQ.1) TEMPOC=TEMP1(ENT)
      IF(HOATER(I).EQ.2) TEMPOC=TEMPOA(ENT)
      RETURN
      END
* / ****
* /      FUNCTION HTRNOC
* / ****
*DK,HTRNOC
      FUNCTION HTRNOCK(IM,TEMP,VELO)
*CALL,ACSDAT
C-----THIS FUNCTION CALCULATES HEAT TRANSFER COEFFICIENT.
      IF(HOATER(IM).EQ.1) HTRNOC=1.0
      1/(1.0/HTRNOS(TEMP,VELO)+1./HTRNOH(TEMP))
      IF(HOATER(IM).EQ.2) HTRNOC=1.0
      1/(1.0/HTRNOA(TEMP,VELO)+1./HTRNOH(TEMP))
      2
      +1.0/2907.64)
      RETURN
      END
* / ****
* /      FUNCTION CAPAOM
* / ****
*DK,CAPAOM
      FUNCTION CAPAOM(TEMP)
C---- SPECIFIC HEAT CAPACITY OF METAL (J/KG.K) -----
      DIMENSION CAPAME(4)
      DATA CAPAME /380.962, 0.535104, -6.10413E-04, 3.02469E-07/
      CAPAOM=((CAPAME(4)*TEMP+CAPAME(3))*TEMP+CAPAME(2))*TEMP+CAPAME(1)
      RETURN
      END
* / ****

```

```

TIME<10:24:50> DATE<10/24/87>
T107D.SSCL2.CS.DATA
MEMBER NAME IRACSM

* / FUNCTION CONDOM
* / ****
* / *DK,COND0H
      FUNCTION CONDOM(TEMP)
C----- THERMAL CONDUCTIVITY OF METAL -----
      DIMENSION CONDHE(4)
      DATA CONDHE /9.01748, 1.62997E-02, -4.80329E-06, 2.18422E-09/
      CONDOM=((CONDHE(4)*TEMP+CONDHE(3))*TEMP+CONDHE(2))*TEMP+CONDHE(1)
      RETURN
      END
* / ****
* / FUNCTION DENSON
* / ****
* / *DK,DENSON
      FUNCTION DENSON(TEMP)
      DIMENSION DENSME(3)
      DATA DENSME /1.7887E-05, 2.3977E-09, 3.2692E-13/
      DATA RHOSTA /7820./
      DATA TEMSTA /298.15/
      EXSPAN=(TEMP*DENSME(3)+DENSHE(2))*TEMP+DENSME(1)
      DENSON=RHOSTA/(1+EXSPAN*(TEMP-TEMSTA))**3
      RETURN
      END
* / ****
* / FUNCTION ENTAOM
* / ****
* / *DK,ENTAOAM
      FUNCTION ENTAOM(TEMP)
C----- SPECIFIC HEAT CAPACITY OF METAL (J/KG.K) -----
      DIMENSION CAPAME(4)
      DATA CAPAME /380.962, 0.535104, -6.10413E-04, 3.02469E-07/
      ENTAOM=((CAPAME(4)/4.*TEMP+
      1   CAPAME(3)/3.)*TEMP+
      2   CAPAME(2)/2.)*TEMP+
      3   CAPAME(1))*TEMP
      RETURN
      END
* / ****
* / FUNCTION HTRNOM
* / ****
* / *DK,HTRNOM
      FUNCTION HTRNOM(TEMP)
C----- EQUIVALENT HEAT TRANSFER COEFFICIENT BETWEEN
C     THE CENTER AND THE SURFACE OF TUBE WALL.
*CALL,ACSDAT
      HTRNOM=2.*COND0H(TEMP)/WTHICK
      RETURN
      END
* / ****
* / FUNCTION CAPAOS
* / ****
* / *DK,CAPAOS
      FUNCTION CAPAOS(TEMP)
C----- SPECIFIC HEAT CAPACITY OF SODIUM (J/KG.K)-----
      CAPAOS=HCAP1C(TEMP)
      RETURN
      END
* / ****
* / FUNCTION CONDOS
* / ****
* / *DK,CONDOS
      FUNCTION CONDOS(TEMP)
C----- THERMAL CONDUCTIVITY OF SODIUM -----
      CONDOS=COND1K(TEMP)
      RETURN
      END
* / ****
* / FUNCTION DENOS
* / ****
* / *DK,DENOS
      FUNCTION DENOS(TEMP)
C----- DENSITY OF SODIUM (KG/M3)
      DENOS = DENS1D(TEMP)
      RETURN
      END
* / ****

```

```

TIME<10:24:50> DATE<10/24/87>
T1070.SSCL2.CS.DATA
MEMBER NAME IRACSH

*!           FUNCTION ENTAOS
*! ****
*! *DK,ENTAOS
      FUNCTION ENTAOS(TEMP)
C----- SPECIFIC HEAT CAPACITY OF SODIUM (J/KG.K)-----
      DIMENSION CAPASO(3)
      DATA CAPASO /1630.22, -0.83354, 4.62838E-04/
      ENTAOS=((CAPASO(3)/3.*TEMP+CAPASO(2)/2.)*TEMP+CAPASO(1))*TEMP
      ENTAOS = ENTH1H(TEMP)
      RETURN
      END
*! ****
*!           FUNCTION HTRNOS
*! ****
*! *DK,HTRNOS
      FUNCTION HTRNOS(TEMP,WFLOW)
*CALL,ACSDAT
      DEQ=4.*AOCROS(1)/DOWET(1)
      REYNOL=ABS(WFLOW)/VISCOS(TEMP)/AOCROS(1)*DEQ
      PRNTL=CAPASO(TEMP)*VISCOS(TEMP)*DENSO(TEMP)/CONDOS(TEMP)
      PECLET=REYNOL*PRNTL
C----- RUBARSKY-KAUFMAN
      HTRNOS =CONDOS(TEMP)/DEQ*(.625*PECLET**.4)
      RETURN
      END
*! ****
*!           FUNCTION VISCOS
*! ****
*! *DK,VISCOS
      FUNCTION VISCOS(TEMP)
C----- VISCOCITY OF SODIUM -----
      VISCOS=VISC1N(TEMP)
      RETURN
      END
*! ****
*!           SUBROUTINE ABALOS
*! ****
*! *DK ABALOS
      SUBROUTINE ABALOS (WP, WS, TPIN, TPOUT, TSIN, TSOUT)
C
*CALL,ACSDAT
C
C     ESTIMATE AIR EXIT (HOT SIDE) TEMPERATURE AND/OR ENTHALPY
C
      EPIN = ENTAOC(1,TPIN)
      EPOUT = ENTAOC(1,TPOUT)
      ESIN = ENTAOC(2,TSIN)
      ESOUT = ENTAOC(2,TSOUT)
      QTRANS = WP * (EPIN - EPOUT)
      WRITE(6,1001) QTRANS
1001 FORMAT(1X,'TRANSFERRED ENERGY PER SECOND=',1PE13.5)
      ESOUT = ESIN - QTRANS/WS
      TPIN = TEMP0C(1,EPIN)
      TPOUT = TEMP0C(1,EPOUT)
      TSIN = TEMP0C(2,ESIN)
      TSOUT = TEMP0C(2,ESOUT)
      WRITE (6,1000) WP,WS,TPIN,TPOUT,TSIN,TSOUT
1000 FORMAT(' ***** IN ABALOS *****')
      1      '          WP   =',1PE13.5,'    WS   =',1PE13.5,/
      2      '          TPIN =',1PE13.5,'    TPOUT=',1PE13.5,/
      3      '          TSIN =',1PE13.5,'    TSOUT=',1PE13.5)
      RETURN
      END
*! ****
*!           SUBROUTINE UNIVOS
*! ****
*! *DK,UNIVOS
      SUBROUTINE UNIVOS(K)
C*****
C*     THIS ROUTINE CALCULATES THE TEMPERATURE *
C*     DISTRIBUTION OF THE HEAT EXCHANGER IN STEADY *
C*     STATE. *
C*****
C***** INITIALIZATION
*CALL /VD9V/

```

```

TIME<10:24:50> DATE<10/24/87>
T107D.SSCL2.CS.DATA
MEMBER NAME IRACSM
*CALL DATA2E
*CALL /ACSM/
*CALL,ACSDAT
C
      TALLOW = 1.0E-08
      NNODE = 20
C
C   GET ALPHA IN THE REFERENCE CONDITION
C
      IF(IP(2).EQ.2)
1       CALL ABALOS(W2NREF,W2AREF,T2NIRE,T2NORE,T2AIRE,T2AORE)
      TONEXT(1,1) = T2NIRE
      TONEXT(1,2) = T2NORE
      TONEXT(2,2) = T2AIRE
      TONEXT(2,1) = T2AORE
      TOFLOW(1,1) = T2NIRE
      TOFLOW(2,1) = T2AORE
C
      CALL RBALOS
C
      CALL PLOSOR(K)
C
C   INITIALIZATION
C
      IF(IP(2).EQ.2)
1       CALL ABALOS(WOFLW(1),WOFLW(2),T2INEV(IT2INE+1),
2                           T2OUEV(IT2OUE+1),T2AIIC,T2AOIC )
      TONEXT(1,1) = T2INEV(IT2INE+1)
      TONEXT(1,2) = T2OUEV(IT2OUE+1)
      TONEXT(2,1) = T2AOIC
      TONEXT(2,2) = T2AIIC
      TOFLOW(1,1) = TONEXT(1,1)
      TOFLOW(2,1) = T2AOIC
C
      CALL HBALOS
C
      TOPLEN(1,1) = TOFLOW(1,1)
      TOPLEN(1,2) = TOFLOW(1,NNODE+1)
      TOPLEN(2,1) = TOFLOW(2,1)
      TOPLEN(2,2) = TOFLOW(2,NNODE+1)
      TONEXT(2,1) = TOFLOW(2,1)
      TONEXT(2,2) = TOFLOW(2,NNODE+1)
      RETURN
END
*/
***** SUBROUTINE RBALOS *****
*/
***** SUBROUTINE HBALOS *****
*DECK RBALOS
      SUBROUTINE RBALOS
C
C   GET ALPHA BY ITERATION
C
*CALL ACSDAT
*CALL ACPNTR
*CALL /VD9V/
C
C
      NNODE = 20
      W1 = W2NREF
      W2 = - W2AREF
C
C   TRANSFERRED ENERGY FROM PRIMARY COOLANT
C
      QTOACS = W1 * (ENTAOC(1,TONEXT(1,1)) - ENTAOC(1,TONEXT(1,2)))
      ALPHA0 = 1.0
      ALPHA1 = 1.0
      ALPHA = 1.0
      DO 500 I = 1 , 50
      CALL TDISOS (ALPHA , W2NREF , W2AREF)
      QPRIM = W1 * (ENTAOC(1,TOFLOW(1,1))-ENTAOC(1,TOFLOW(1,NNODE+1)))
      QSCND = W2 * (ENTAOC(2,TOFLOW(2,1))-ENTAOC(2,TOFLOW(2,NNODE+1)))
      WRITE (6,2000) ((TOFLOW(1,K),TOFLOW(2,K)),K=1,NNODE+1)
2000  FORMAT (' TOFLOW(NA)=',F10.3,' TOFLOW(AIR)=',F10.3)
      WRITE (6,1000) W1 , W2 , ALPHA , QTOACS , QPRIM , QSCND
1000  FORMAT(//' ***** RBALOS ***** W1 =',1PE13.5,' W2=',1PE13.5,
      1           ' CORRECTION FACTOR=',1PE13.5,/)


```

```

TIME<10:24:50> DATE<10/24/87>
T107D.SSCL2.CS.DATA
MEMBER NAME IRACSH
      1      , PRESCRIBED HEAT LOSS =',E18.8,/
      2      , COMPUTED HEAT LOSS =',E18.8,/
      2      , COMPUTED HEAT GAIN =',E18.8)

C
C     CHECK FOR CONVERGENCE
IF (ABS((QTOACS-QPRIM)/QTOACS).GT.1.0E-5) GO TO 300
IF (ABS((QTOACS-QSCND)/QTOACS).GT.1.0E-5) GO TO 300
RETURN
300 QAV = 0.5*(QPRIM + QSCND)
ALPHA = QTOACS / QAV * ALPHA1
C
IF (I.EQ.1) GO TO 100
50 IF (ABS(ALPHA-ALPHA1).LT.ABS(ALPHA1-ALPHAO)) GO TO 100
ALPHA = 0.5 * (ALPHA + ALPHA1)
GO TO 50
100 CONTINUE
ALPHAO = ALPHA1
ALPHA1 = ALPHA
500 CONTINUE
CALL ERR9U (8HRBALOS ,200)
RETURN
END
*/ ****
*/      SUBROUTINE HBALOS
*/ ****
*DECK HBALOS
      SUBROUTINE HBALOS
C
C     SET INITIAL CONDITION
C     OBTAIN TEMPERATURE DISTRIBUTION AND SECONDARY FLOW RATE
C     USING ALPHA
*CALL /VD9V/
C
*CALL ACSDAT
C
*CALL ACPNTR
C
      NNODE = 20
      W1 = WOFLOW(1)
      W2 = - WOFLOW(2)
      QTOACS = W1 * (E2INAC(IE2INA+1) - E20UAC(IE20UA+1))
      TSAVE = TONEXT(1,2)
      DTAIC = TONEXT(1,2) - TONEXT(2,2)
      DTBIC = TONEXT(1,1) - TONEXT(2,1)
      DTABI = (DTAIC-DTBIC) / ALOG(DTAIC/DTBIC)
      UAO = QTOACS / DTABI
      UA1 = UAO
      DO 500 I = 1 , 50
      CALL TDISOS (ALPHA , WOFLOW(1) , WOFLOW(2))
      QAGAIN = W2*(ENTAOC(2,TOFLOW(2,1)) - ENTAOC(2,TOFLOW(2,NNODE+1)))
      WRITE (6,1000) W1 , W2 , QTOACS , QAGAIN
1000 FORMAT(//' ***** HBALOS *****' W1 =',1PE13.5,' W2=',1PE13.5,/
      1      , COMPUTED HEAT LOSS =',E18.8,/
      2      , COMPUTED HEAT GAIN =',E18.8)

C
C     CHECK FOR CONVERGENCE
C
IF (ABS((QTOACS-QAGAIN)/QTOACS).LE.1.0E-5) GO TO 200
      DTA = TOFLOW(1,NNODE+1) - TOFLOW(2,NNODE+1)
      DTB = TOFLOW(1,1) - TOFLOW(2,1)

C
C     CALCULATE LOG MEAN TEMPERATURE DIFFERENCE
C
      DTBAR = (DTA-DTB) / ALOG(DTA/DTB)
      UA = QAGAIN / DTBAR
      IF (I.EQ.1) THEN
        DELUA = UA - UA1
        IF (ABS(DELUA/UA1).GT.0.1) UA = UA1 + 0.1*SIGN(UA1,DELUA)
        GO TO 100
      END IF
50 IF (ABS(UA-UA1).LT.ABS(UA1-UA)) GO TO 100
      UA = 0.5 * (UA + UA1)
      GO TO 50
100 CONTINUE
      UAO = UA1
      UA1 = UA

```

```

TIME<10:24:50> DATE<10/24/87>
T1070.SSCL2.CS.DATA
MEMBER NAME IRACSM

DTBNEW = QTOACS / UA
DTA = TSAVE - TONEXT(2,2)
DTB = DT9S(DTBNEW,DTA)
TOFLOW(2,1) = TOFLOW(1,1) - DTB
W2 = QTOACS / (ENTAOA(TOFLOW(2,1)) - ENTAOA(TONEXT(2,2)))
WFLOW(2) = ~ W2
500 CONTINUE
CALL ERR9U (BHHBALOS ,200)
200 CONTINUE
RETURN
END

*/ ****
*/ SUBROUTINE TDISOS
*/ ****
*DK,TDISOS
      SUBROUTINE TDISOS(ALPHAT,W1,W2)
C
*CALL /VD9V/
C
*CALL DATA1A
C
*CALL ACSDAT
C
*CALL /UNIT/
C
      EQUIVALENCE (L9OUT , NOUT)
C
      NOGOOD = 0
      L1ERR = 0
      NITER = 20
      NNODE = 20
      WRITE(6,5001) ALPHAT,W1,W2.
5001 FORMAT(2X,'ENTERED IN TDISOS, AREA CORRECTION FACTOR IS,',1PE13.5,
     1      '   W1=',E12.5,'   W2=',E12.5)
      DO 600 INODE=1,NNODE
      TPI = TOFLOW(1,INODE)
      TPO = TPI
      TSI = TOFLOW(2,INODE)
      TSO = TSI
      B = ALPHAT * HTRNOC(1,TPI,W1) * DOWET(1) * XONODE(1)
      C = ALPHAT * HTRNOC(2,TSI,W2) * DOWET(2) * XONODE(2)
      TT = (C*TSI + B*TPI) / (C+B)
C
C      ENTHALPIES
C
      EP1 = ENTAOC(1,TPI)
      ES1 = ENTAOC(2,TSI)
C
C      DO 400 L = 1 , NITER
      TPBAR = 0.5 * (TPI + TPO)
      TSBAR = 0.5 * (TSI + TSO)
C
C      THERMAL CONDUCTIVITY
C
C      HEAT CAPACITY
C
      CPBAR = CAPAOC(1,TPBAR)
      CSBAR = CAPAOC(2,TSBAR)
      B = ALPHAT * HTRNOC(1,TPBAR,W1) * DOWET(1) * XONODE(1)
      C = ALPHAT * HTRNOC(2,TSBAR,W2) * DOWET(2) * XONODE(2)
C
C      COMPUTE TEMPERATURE DISTRIBUTION
C
      EP01 = (EP1 + B*(TT-TPBAR) / W1)
      ES01 = (ES1 + C*(TT-TSBAR) / W2)
      TP01 = TEMP0C(1,EP01)
      TSO1 = TEMP0C(2,ES01)
      TPBAR = 0.5 * (TPI + TP01)
      TSBAR = 0.5 * (TSI + TSO1)
      TT1 = (C*TSBAR + B*TPBAR) / (C+B)
C
C      CHECK FOR CONVERGENCE
C
      IF (ABS(TP01 - TPO) .GT. TICONV) GO TO 300

```

```

TIME<10:24:50> DATE<10/24/87>
T107D.SSCL2.CS.DATA
MEMBER NAME IRACSH

      IF (ABS(TSO1 - TSO) .GT. T1CONV) GO TO 300
      IF (ABS(TT1 - TT) .GT. T1CONV) GO TO 300
      GO TO 500
300  TPO = TP01
      TSO = TS01
      TT = TT1
400  CONTINUE
      NOGOOD = NOGOOD + 1
500  TOFLOW(1,INODE+1) = TP01
      TOFLOW(2,INODE+1) = TSO1
      TOWALL(INODE)=TT1
600  CONTINUE
C
C           SEE IF COMPUTATION WAS ERROR FREE
C
      IF (NOGOOD .EQ. 0) GO TO 700
      L1ERR = L1ERR + 4
      WRITE (NOUT,20000) L1ERR, NOGOOD
C
C           COMPUTE PLENA TEMPERATURES
C
700  EPOUT = ENTAOC(1,TOFLOW(1,NNODE+1))
      ESOUT = ENTAOC(2,TOFLOW(2,NNODE+1))
C
C           HEAT LOSS AND HEAT GAIN
C
800  QTOAIR = W1*(ENTAOC(1,TOFLOW(1,1))-EPOUT)
      QAGAIN = - W2*(ENTAOC(2,TOFLOW(2,1))-ESOUT)
C
C           CHECK IF THE COMPUTATION IS GOOD
C
      IF (ABS((QTOAIR - QAGAIN)/QTOAIR).LT.1.E-5) GO TO 900
      L1ERR = L1ERR + 4
      WRITE (NOUT,30000) QTOAIR, QAGAIN
900  CONTINUE
C
C           RETURN
10000 FORMAT (//10X,23H***** ENTERING TDISOS//)
20000 FORMAT(1H1,1X,8H*****,/,
           X 5X,8H1ERR = ,15,2X,I3,45HNODE TEMPERATURE FAILED TO CONVERGE IN
           XTDISOS)
30000 FORMAT(5X,17H*****IN TDISOS,/ ,7X,19HCOMPUTED HEAT LOSS ,E18.8,/,
           1 ,7X,19HCOMPUTED HEAT GAIN ,E18.8,/ ,5X,8H*****)
           END
*/ ****
*/          SUBROUTINE UNIVOT
*/ ****
*OK,UNIVOT
          SUBROUTINE UNIVOT(K)
C
C
C.. IDENTIFICATION
C -----
C
C           U N I V O T
C
C           THIS SUBROUTINE SOLVES TRANSIENT ENERGY EQUATIONS
C           IN THE IRACS
C
C*****
C           CODE STRUCTURE
C -----
C
C           3.2 FOR REVERSE FLOW, REVERSE THE MARCHING
C           DIRECTION.
C
C           3.3 UPDATE VARIABLES.
C
C*****

```

```

TIME<10:24:50> DATE<10/24/87>
T107D.SSCL2.CS.DATA
MEMBER NAME IRACSM
C
C
*CALL /VD9V/
C
*CALL ACSDAT
C
*CALL TLOOP1
C
*CALL DATA9C
C
*CALL TFLOW1
C
*CALL INTEG9
C
      DIMENSION TOFLOP(2,21) , TOWALP(20)
C.
C
      YDEL(X,XP) = ABS((X-XP)/XP)
C
      V1NA = AOCROS(1) * XONODE(1)
      V2NA = AOCROS(2) * XONODE(2)
      VTNA = AOCROS(3) * XONODE(3)
      BTUBE = DENSOC(3,300.0) * AOCROS(3) * XONODE(3)
      NACS = 21
      N=NACS
      NM1=N-1
C
C           VDIM OFFSET FOR BIDIMENSIONAL ARRAYS,
C           SECONDARY SIDE
C
      I2=0
      DO 20 IOUT = 1 , NACS
      DO 20 IIN = 1 , 2
20     TOFLOP(IIN,IOUT) = TFLOW(IIN,IOUT)
      DO 40 IIN = 1 , NM1
40     TOWALP(IIN) = TOWALL(IIN)
C
      H=DELT1
C
C           BOUNDARY CONDITIONS
C
      WP = WOFLOW(1)
      WS = WOFLOW(2)
C
      E1PIN = ENTAOC(1,TOPLEN(1,IP(1)))
      E2PIN = ENTAOC(2,TOPLEN(2,IP(2)))
      E1POUT = ENTAOC(1,TOPLEN(1,3-IP(1)))
      E2POUT = ENTAOC(2,TOPLEN(2,3-IP(2)))
C
C           INLET BOUNDARY
C
      IF(IP(1).EQ.1) IPIN = 1
      IF(IP(1).EQ.2) IPIN = NACS
      IF(IP(2).EQ.1) ISIN = 1
      IF(IP(2).EQ.2) ISIN = NACS
      TOFLOP(1,IPIN) = TEMPOC(1,E1PIN)
      TOFLOP(2,ISIN) = TEMPOC(2,E2PIN)
C
C           HEAT TRANSFER REGION
C
C
C           NOW ITERATION STARTS.
C
      ITACS = 0
      ACCL = -0.5
C
C           GUESS NEW STEP VALUES BY PREVIOUS VALUES.
C
      CHNGPR = 0.0
      111 CHNGHX = 0.0
      FDEVHX = 0.0
      DO 50 I=1,NM1
      DEFINE NODE COUNTERS FOR PRIMARY FLOW
C
      IF (IP(1).EQ.1) THEN
          IN = I

```

```

TIME<10:24:50> DATE<10/24/87>
T107D.SSCL2.CS.DATA
MEMBER NAME IRACSM
      IN1 = IN + 1
      IIN = I
    ELSE
      IN = N - I
      IN1 = IN
      IIN = IN + 1
    END IF
C           PRIMARY COOLANT
C
      TT=TOWALP(IN)
      TPBAR = 0.5 * (TOFLOP(1,IIN) + TOFLOP(1,IN1))
      EPOLD = ENTAOC(1,TOFLOW(1,IN1))
C
      RHO = DENS1D(TPBAR)
      EX = H * ABS(WP) / (RHO=V1NA)
      UAPT = HTRNOC(1,TPBAR,WP) * ALPHA * DOWET(1) * XONODE(1)
      EXX = H * UAPT / (RHO=V1NA)
      TPTT = TPBAR - TT
      IF (ABS(TPTT).LT.Z9MIN) TPTT = 0.0
C
      EPNW = (EPOLD + EX * ENTAOC(1,TOFLOP(1,IIN)) -
1             EXX * TPTT) / (1.0 + EX)
C           OUTLET BOUNDARY
C
      TPNEW = TEMPOC(1,EPNW)
C
      CHNG = ABS(TPNEW-TOFLOW(1,IN1))
      FDEV = ABS(TPNEW-TOFLOP(1,IN1))
      TOFLOP(1,IN1) = (1.0+ACCL)*TPNEW - ACCL*TOFLOP(1,IN1)
      IF (CHNGMX.LT.CHNG) CHNGMX = CHNG
      IF (FDEVMX.LT.FDEV) FDEVMX = FDEV
C
      50 CONTINUE
C           HEAT TRANSFER REGION.
C
      DO 100 I=1,NM1
C
      IF (IP(2).EQ.2) THEN
        IS = N - I
        IS1 = IS
        IIS = IS + 1
      ELSE
        IS = I
        IS1 = IS + 1
        IIS = I
      END IF
C
C           SECONDARY COOLANT
C
      TT = TOWALP(IS)
C
      TSBAR = 0.5 * (TOFLOP(2,IIS) + TOFLOP(2,IS1))
      ESOLD = ENTAOC(2,TOFLOW(2,IS1))
C
      RHO = DENSOC(2,TSBAR)
      EX = H * ABS(WS) / (RHO=V2NA)
      UAST = HTRNOC(2,TSBAR,WS) * ALPHA * DOWET(2) * XONODE(2)
      EXX = H * UAST / (RHO=V2NA)
      TSTT = TSBAR - TT
      IF (ABS(TSTT).LT.Z9MIN) TSTT = 0.0
C
      ESNEW = (ESOLD + EX * ENTAOC(2,TOFLOP(2,IIS)) -
1             EXX * TSTT) / (1.0 + EX)
C           OUTLET BOUNDARY
C
      TSNEW = TEMPOC(2,ESNEW)
C
      CHNG = ABS(TSNEW-TOFLOW(2,IS1))
      FDEV = ABS(TSNEW-TOFLOP(2,IS1))
      TOFLOP(2,IS1) = (1.0+ACCL)*TSNEW - ACCL*TOFLOP(2,IS1)
      IF (CHNGMX.LT.CHNG) CHNGMX = CHNG

```

```

TIME<10:24:50> DATE<10/24/87>
T1070.SSCL2.cs.DATA
MEMBER NAME IRACSM
      IF (FDEVMX.LT.FDEV) FDEVMX = FDEV
C
      100 CONTINUE
C
C           TUBE WALL
C
      DO 150 I=1,NM1
C
      IP1 = I + 1
      IM1 = I - 1
      TT = TOWALP(I)
      TTOLD = TOWALL(I)
C
      CT = CAPAOC(3,TT)
C
      EX = H/CT/8TUBE
      TPBAR = 0.5 * (TOFLOP(1,I) + TOFLOP(1,IP1))
      TSBAR = 0.5 * (TOFLOP(2,I) + TOFLOP(2,IP1))
      UAPT = HTRNOC(1,TPBAR,WP) * DOWET(1) * XONODE(1) * ALPHA
      UAST = HTRNOC(2,TSBAR,WS) * DOWET(2) * XONODE(2) * ALPHA
C
C           ADIABATIC CONDITION IN AIR COOLER
C           IF LOADBACK().GT.0 THEN HEAT TRANSFER
C           IF LOADBA(K).LE.0 THEN NO HEAT TRANSFER
C           IF ABS(LOADBA(K)).EQ.1 MAIN ACS LOOP; STOP VALVE OPEN
C           IF ABS(LOADBA(K)).EQ.2 ACS OUTLET BYPASS LINE; VALVE OPEN
C           IF ABS(LOADBA(K)).EQ.3 ACS OUTLET BYPASS LINE; VALVE CLOSE
C
      IF (LOADBACK).LT.0. AND .S1FLOW+S9MINA.GE.S2LOAF(K)) THEN
         UAST = 0.0
      END IF
C
      YI = EX * UAPT
      ZI = EX * UAST
      T1PNW = (TTOLD + YI*TPBAR + ZI*TSBAR) / (1.0 + EX*(UAPT+UAST))
      CHNG = ABS(T1PNW-TTOLD)
      FDEV = ABS(T1PNW-TT)
      TOWALP(I)=(1.+ACCL)*T1PNW-ACCL*TOWALP(I)
      IF (CHNGMX.LT.CHNG) CHNGMX=CHNG
      IF (FDEVMX.LT.FDEV) FDEVMX=FDEV
C
      150 CONTINUE
C
      ITACS = ITACS + 1
      IF (FDEVMX/CHNGMX.LT.2.0E-2.0R.FDEVMX.LT.1.0E-4) GO TO 500
      IF (ITACS.GT.60) THEN
         WRITE(6,*) 'TROUBLE IN ACS AT T=',S1LOOP
         WRITE(6,*) 'FDEVMX,CHNGMX=',FDEVMX,CHNGMX
         DO 160 INOD=1,NM1
         WRITE(6,1000) TOFLOP(1,INOD),TOWALP(INOD),TOFLOP(2,INOD)
      160 CONTINUE
      WRITE(6,1100) TOFLOP(1,INOD),TOFLOP(2,INOD)
      CALL EXIT9U(8888,8HUNIVOT++)
      ENDIF
1000  FORMAT(10X,3F15.5)
1100  FORMAT(10X,F15.5,15X,F15.5)
      ACCL=.5
      FDEVPR = FDEVMX
      GO TO 111
500   CONTINUE
C
C           UPDATE VARIABLES
C
C
      DO 300 I=1,N
      TOFLOP(1,I) = TOFLOP(1,I)
      TOFLOP(2,I) = TOFLOP(2,I)
300   CONTINUE
C
      DO 400 I=1,N
      TOWALL(I) = TOWALP(I)
400   CONTINUE
      RETURN
      END
*! ****
*!          SUBROUTINE ACCS2T

```

```

TIME<10:24:50> DATE<10/24/87>
T107D.SSCL2.CS.DATA
MEMBER NAME IRACSM

/* ****
*DK,ACCS2T
SUBROUTINE ACCS2T
C--- ACCS TRANSIENT CALCULATION ROUTINE --- PROGRAMMED BY S.YOSHIKAWA---
C
C   C O D E   S T R U C T U R E
C
C   ** DO STATEMENT .... ITERATE THE NUMBER OF LOOPS .....
C
C   <<< STAGE 1 >>>
C   FETCH THE QUANTITIES FROM GLOBAL CONTAINER
C   <<< STAGE 2 >>>
C   CALCULATE TRANSIENT EQUATION AND ADVANCES THE QUANTITIES
C   <<< STAGE 3 >>>
C   RETURN THE QUANTITY VARIABLES TO GLOBAL CONTAINER
C   ** CONTINUE STATEMENT
C   RETURN
C   END
C
*CALL /V09V/
C
*CALL,TLOOP1
C
*CALL,ACSDAT
C
*CALL ACPNTR
C
*CALL DATA1H
C
*CALL TFLOW1
C
*CALL INTEG9
C
      DO 100 K=1,N1LOOP
      IF (N2ACSO(K).EQ.4) GO TO 100
C
C       FLOW REVERSAL CHECK
C
      WCHK1=W2ACS(IW2ACS+K)
      IF (WCHK1.GT.0.) IP(1) = 1
      IF (WCHK1.LT.0.) IP(1) = 2
      WCHK2=W2AIR(IW2AIR+K)
      IF (WCHK2.GT.0.) IP(2) = 1
      IF (WCHK2.LT.0.) IP(2) = 2
C
      IF (IP(1).EQ.1) THEN
      TOBNDR(1,IP(1)) = TEMP1T(E2INAC(IE2INA+K))
      ELSE
      TOBNDR(1,IP(1)) = TEMP1T(E2OUAC(IE2OUA+K))
      ENDIF
      TOPLEN(1,1)=T2NPLN(IT2NPL+2*(K-1)+1)
      TOPLEN(1,2)=T2NPLN(IT2NPL+2*(K-1)+2)
      TOPLEN(2,1)=T2APLN(IT2APL+2*(K-1)+1)
      TOPLEN(2,2)=T2APLN(IT2APL+2*(K-1)+2)
C--- DISTRIBUTIONS OF FLOW RATE & TEMPERATURE-----
      IF (S1FLOW+S9MINA.GT.S2STRT(K)) THEN
      IF (N2ACSO(K).EQ.0.OR.N2ACSO(K).EQ.2) THEN
      CALL INTP9U(FLWTAB,TIMTAB,NTABLE,S1FLOW,W)
      ELSE
      CALL IACS2T (K,W)
      END IF
      WOFLOW(2)=W
      W2AIR(IW2AIR+K)=W
      ELSE
      WOFLOW(2) = W2AIR(IW2AIR+K)
      END IF
      WOFLOW(1)=W2ACS(IW2ACS+K)
      DO 200 INODE=1,21
      TOFLOW(1,INODE)=T2NFAC(IT2NFA+(K-1)*21+INODE)
      TOFLOW(2,INODE)=T2AFAC(IT2AFA+(K-1)*21+INODE)
      IF(INODE.LT.21) TOWALL(INODE)=T2WFAC(IT2WFA+(K-1)*20+INODE)
200  CONTINUE
C--- PLENA TEMPERATURES ----
      T2INAC(IT2IAC+K)=TEMP1T(E2INAC(IE2INA+K))
      T2OUAC(IT2OAC+K)=TEMP1T(E2OUAC(IE2OUA+K))
C

```

```

TIME<10:24:50> DATE<10/24/87>
T107D.SSCL2.CS.DATA
MEMBER NAME  IRACSH
C      INLET BOUNDARY CONDITION (TEMPERATURE OF AIR)
C
C      CALL INTP9U(TEMTAB,TIMTAB,NTABLE,0.,T)
C      TOBNDR(2,2)=T
C---- TIME STEP WIDTH
C      DELT1=S1DELT
C STAGE 2 CALCULATION
C      CALL DRIVOT(K)
C STAGE 3 RETURN TO GLOBAL CONTAINER
C---- DISTRIBUTIONS OF FLOW RATE & TEMPERATURE
C      T2NPLN(IT2NPL+(K-1)*2+1)=TOPLEN(1,1)
C      T2NPLN(IT2NPL+(K-1)*2+2)=TOPLEN(1,2)
C      T2APLN(IT2APL+(K-1)*2+1)=TOPLEN(2,1)
C      T2APLN(IT2APL+(K-1)*2+2)=TOPLEN(2,2)
DO 300 INODE=1,21
C      T2WFAC(IT2WFA+(K-1)*21+INODE)=TOFLOW(1,INODE)
C      T2AFAC(IT2AFA+(K-1)*21+INODE)=TOFLOW(2,INODE)
C      IF(INODE.LT.21) T2WFAC(IT2WFA+(K-1)*20+INODE)=TOWALL(INODE)
300 CONTINUE
C      E20UAC(IE20UA+K)=ENTH1H(TOPLEN(1,2))
C      TIN = T2AFAC(IT2AFA+K*21)
C      T2IAIR(IT2IAI+K) = TIN
C      T2AIRO = TIN
C      TOUT = T2AFAC(IT2AFA+K*21-20)
C      T2AIR(IT2OAI+K) = TOUT
C      T2AIR1(K) = TOUT
100 CONTINUE
RETURN
END
*! **** SUBROUTINE DRIVOT
*! **** SUBROUTINE DRIVOT(K)
*DK,DRIVOT
SUBROUTINE DRIVOT(K)
C-----
C1
C1 THIS IS A TRANSIENT ANALYSIS MODULE FOR UNIVERSAL HEAT EXCHANGER
C1
C1 IP(1): PRIMARY PORT ID WHERE THE B.C. IS GIVEN
C1 IP(2): SECONDARY PORT ID WHERE THE B.C. IS GIVEN
C1 DELT1: TIME STEP WIDTH
*CALL /VD9V/
*CALL INTEG9
*CALL ACSDAT
NNODE = 20
C---- DETERMIN THE INTERNAL TIME STEP WIDTH---
C-- NOW, CALCULATION STARTS.-----
C----- PLENUM CALCULATION
CALL PLENOT(1,IP(1),TOBNDR(1,IP(1)),TOUT)
CALL PLENOT(2,IP(2),TOBNDR(2,IP(2)),TOUT)
CALL UNIVOT(K)
IEND1=41-IP(1)*NNODE
IEND2=41-IP(2)*NNODE
IPP1=3-IP(1)
IPP2=3-IP(2)
CALL PLENOT(1,IPP1,TOFLOW(1,IEND1),TOUT)
TOBNDR(1,3-IP(1))=TOUT
CALL PLENOT(2,IPP2,TOFLOW(2,IEND2),TOUT)
TOOUT2=TOUT
TOBNDR(2,3-IP(2))=TOUT
RETURN
END
*! **** SUBROUTINE HACS2T
*! **** SUBROUTINE HACS2T(K)
*DK,HACS2T
SUBROUTINE HACS2T(K)
C
C
C.....-----
C..IDENTIFICATION
C -----
C
H A C S 2 T

```

```

TIME<10:24:50> DATE<10/24/87>
T107D.SSCL2.CS.DATA
MEMBER NAME IRACSH
C           THIS SUBROUTINE COMPUTES TRANSIENT HYDRAULICS
C           IN THE ACS.
C
C
C
C*****THIS SUBROUTINE IS CALLED BY P0FG2T
C
C           CODE STRUCTURE
C           -----
C
C           2.1 SECONDARY SIDE FRICTION AND DENSITY COEFFS.
C           2.2 DENSITIES
C           2.3 PRESSURE DROP TERMS
C           2.4 TOTAL PRESSURE DROP ACROSS PRIMARY SIDE
C           OF ACS, P2PDAC
C
C*****CALL /V09V/
C
*CALL,/1/
C
*CALL,/BRK1T/
C
*CALL,LOCT1
C
*CALL,INTEG9
C
*CALL,DATA1X
C
*CALL,DATA1L
C
*CALL,DATA12
C
*CALL,DATA2A
C
*CALL,/A2TC/
C
*CALL,DATA9C
C
*CALL,DATA1A
C
*CALL,/A1TC/
C
*CALL,ATWO
C
*CALL,/AC1/
C
*CALL,/LOCL1/
C
*CALL,ACSDAT
C
*CALL,ACPNTR
C
*CALL,TFLOW1
C
C
C           J2AC=L2ACS(IL2ACS+K)
NACS=21
C
DXN = XNODE(1)
DXA = XNODE(2)
N=N2PIPE(IN2PIPE+K)
NA=L2ACS(IL2ACS+K)
W=W2ACS(IW2ACS+K)
W2=W*W
SIGNW=SIGN(1.,W)
WMODW=SIGNW*W2
A2=AOCROS(1)*AOCROS(1)
C
FLOW = 4.0 * W / DOWET(1)
C

```

```

TIME<10:24:50> DATE<10/24/87>
T107D.SSCL2.CS.DATA
MEMBER NAME IRACSM

RHOSIN=0.

C
DO 25 I=1,NACS
RHO= DENS1D(T2NFAC(IT2NFA+(K-1)*NACS+I))
RE=A8S(FLDW)/VISC1N(T2NFAC(IT2NFA+(K-1)*NACS+I))
F=FRIC(RE,0.)
FOVERD(IFOVER+I)=F/RHO
IF(I.EQ.NACS) GOTO 25
C
TEMP = (T2NFAC(IT2NFA+(K-1)*NACS+I)
1 + T2NFAC(IT2NFA+(K-1)*NACS+I+1))/2.
RHOSIN = RHOSIN + DENS1D(TEMP)
C
25 CONTINUE
C
C          DENSITIES FOR PRIMARY SIDE OF ACS
C
RHON=RHO
RHO1=DENS1D(T2NFAC(IT2NFA+(K-1)*NACS+1))
RHOAVG=.5*(RHON+RHO1)

C          TERMS IN PRESSURE DROP
C
PDFLOW=W2*(1./RHON-1./RHO1)/A2
C
DEQ = 4.0 * AOCROS(1) / DOWET(1)
PDFRIC = 0.5*WHDOW / DEQ / A2 * SIMP1U(FOVERD(IFOVER+1),NACS,DXN)
C
PDGRAV = C9GRAV*RHOSIN*DXA
C
IF(S1FLOW.GT.S2DACS+S9MINA)
1 PDLOSA = F2LSA(IF2LSA+K) * WHDOW / RHOAVG
C
          TOTAL PRESSURE DROP ACROSS PRIMARY SIDE OF ACS
C
P2PDAC(IP2PDA+K)= PDFLOW+PDFRIC-PDGRAV+PDLOSA
RETURN
END
*/
***** SUBROUTINE PLENOT
*/
***** *DK,PLENOT
SUBROUTINE PLENOT(IPATH,IBNDR,TIN,TOUTP)
C
*CALL ACSDAT
C
*CALL TLOOP1
C
C-----C <NEW PLENUM TEMP.><INLET TEMP>
C ----- =EXP(-<TNEW-TLDB>*QIN/VOLUME>
C <OLD PLENUM TEMP.><INLET TEMP>
C-----C
IF(VOLUME(IPATH,IBNDR).EQ.0) GOTO 100
EOUT = ENTAOC(IPATH,TOPLEN(IPATH,IBNDR))
EIN = ENTAOC(IPATH,TIN)
WFLOW = WFLOW(IPATH)
IF (IPATH.NE.1) WFLOW = - WFLOW
EX = WFLOW / DENSO(IPATH,TOPLEN(IPATH,IBNDR))
1 / VOLUME(IPATH,IBNDR) * DELT1
EOUTP = (EOUT + EX * EIN) / (1.0 + EX)
TOUTP = TEMPOC(IPATH,EOUTP)
TOPLEN(IPATH,IBNDR) = TOUTP
RETURN
100 TOUTP = TIN
TOPLEN(IPATH,IBNDR) = TIN
RETURN
END
*/
***** SUBROUTINE IACS2S
*/
***** *DECK IACS2S
SUBROUTINE IACS2S
C
C          THIS ROUTINE CALCULATE PRESSURE LOSS COEFFICIENT OF AIR
C          IN THE AIR COOLER

```

```

TIME<10:24:50> DATE<10/24/87>
T107D.SSCL2.CS.DATA
MEMBER NAME IRACSH
C           A. YAMAGUCHI      MAY 1986
C
C      REQUIRED INPUT PARAMETERS
C          T2AIRE = REFERENCE AIR INLET TEMPERATURE IN AC (K)
C          T2AORE = REFERENCE AIR OUTLET TEMPERATURE IN AC (K)
C          H2STCK = HEIGHT OF THE STACK IN AC (M)
C          P2AREF = REFERENCE INLET PRESSURE HEAD OF FAN (N/M**2)
C          W2AREF = REFERENCE MASS FLOW RATE OF AIR (KG/S)
C
C      OBTAINED OUTPUT PARAMETERS
C          F2STCK = PRESSURE LOSS COEFFICIENT OF AIR
C
C      *CALL ACSDAT
C      *CALL DATA9C
C          FACT1 = 1.0/T2AIRE - 1.0/T2AORE
C          C2STCK = C9GRAV * P9ATH / C9RGAS * H2STCK
C          DELTPS = FACT1 * C2STCK
C          P1 = P9ATH - DELTPS
C          P0 = P9ATH + P2AREF
C          R = P0/P1
C          T = T2AORE / T2AIRE
C          RTL = ALOG(R*T)
C          RL = ALOG(R)
C          FACT3 = 1.0 - 1.0/R/R/T
C          FACT4 = 1.0 + RTL/RL
C          FACT5 = - A2STCK/W2AREF*P0
C          FACT6 = C9RGAS*T2AIRE
C          F2STCK = -RTL + FACT5*FACT5/FACT6*FACT3/FACT4
C          F2STCK = F2STCK * 2.0
C
C      CALCULATE REYNOLDS NUMBER
C
C          TAVE = (T2AIRE + T2AORE) * 0.5
C          AREA = AOCROS(2)
C          DEQ = 4.0 * AREA / DOWET(2)
C          REY = ABS(W2AREF)/VISCOA(TAVE)/AREA*DEQ
C          F2STCK = F2STCK / REY**((F2STCK))
C          RETURN
C          END
*/
***** SUBROUTINE IACS2T
*/
***** *DECK IACS2T
SUBROUTINE IACS2T(K,W)
C
C      THIS ROUTINE CALCULATE NATURAL DRAFT MASS FLOW RATE OF AIR
C      IN THE AIR COOLER
C           A. YAMAGUCHI      MAY 1986
C
*CALL /VD9V/
C
*CALL TLOOP1
C
*CALL DATA9C
C
*CALL ACPNTR
C
*CALL ACSDAT
C
C      LOOP K
C
KK = K
WAIR = W2AIR(IW2AIR+KK)
TAU = T2AIRS(KK) / T2AIRO * TAU2
RLW = WAIR / W2AREF
TSNEW = RLW / TAU * (T2AIR1(KK) - T2AIRS(KK))
C
C      AIR TEMPERATURE IN STACK
C
T2AIRS(KK) = T2AIRS(KK) + S1DELT * TSNEW
C
C      CALCULATE AIR PRESSURE AT ACS OUTLET
C
IF (T2AIRO.EQ.T2AIRS(KK)) T2AIRS(KK) = T2AIRO + 0.1
FACT1 = 1.0/T2AIRO - 1.0/T2AIRS(KK)

```

```

TIME<10:24:50> DATE<10/24/87>
T107D.SSCL2.CS.DATA
MEMBER NAME IRACSH

DELTPS = FACT1 * C2STCK
P1 = P9ATM - DELTPS
P0 = P9ATM
R = P0/P1
T = T2AIR1(KK) / T2AIRO
RTL = ALOG(R=T)
RL = ALOG(R)

C
C      CALCULATE REYNOLDS NUMBER
C
TAVE = (T2AIRO + T2AIR1(KK)) * 0.5
AREA = A0CRDS(2)
DEQ = 4.0 * AREA / DOWET(2)
REY = ABS(WAIR)/VISCOA(TAVE)/AREA*DEQ
F2 = F2STCK * REY**F2STC1
FACT2 = 1.0 - 1.0/R/T
FACT3 = 1.0 + RTL/RL
FACT4 = RTL + 0.5 * F2
FACT5 = P0*PO/C9RGAS/T2AIRO
WABS = A2STCK*SQRT(FACT5*FACT2/FACT3/FACT4)

C
C      AIR MASS FLOW RATE
C
W = -WABS
RETURN
END

*/ ****
*/      DECAY HEAT REMOVAL BY THE BYPASS VALVE IN THE SECONDARY
*/      AC LOOP
*/
*/ ****
*/      NUMBER OF LOOPS DECREASE AT T = S2LHTS(K)
*/      N1LOOP MUST BE EQUAL TO 1
*/
*INSERT DRIV9T.124
IF (S9MSTR.GE.S2LHTS(K)) THEN
  F1LUMP(IF1LUH+K) = F1FINL(K) +
  1          *(F10RGN(K) - F1FINL(K)) * EXP(-S9MSTR + S2LHTS(K))
END IF
*INSERT VESL1T.70
*CALL ACSDAT
*INSERT VESL1T.197
DO 800 KKK = 1 , N1LOOP
  IF (S1FLOW.GE.S2LHTS(KKK)) THEN
    PINV = PINV - W1TWO(IW1TWO+KKK)
    1          *(F10RGN(KKK) - F1FINL(KKK)) * EXP(S2LHTS(KKK)-S1FLOW)
  END IF
800  CONTINUE
*D,PIPW2T.38
*CALL ACPNTR
*CALL ACSBAT
*CALL TLOOP1
*I,PIPW2T.80
  IF (J.EQ.L2ACS(IL2ACS+1).AND.ABS(LOADBA(K)).EQ.1) THEN
  ELSE
    IF (J.EQ.L2ACS(IL2ACS+1).AND.ABS(LOADBA(K)).EQ.3) THEN
      PDLOSS=PDLOSS+CVALOC(0.,W,RHOAVG,K)
    ELSE
      IF (J.EQ.L2ACS(IL2ACS+1).AND.ABS(LOADBA(K)).EQ.2) THEN
        PDLOSS=PDLOSS+CVALOC(S1LOOP,W,RHOAVG,K)
      ELSE
        ENDIF
      ENDIF
    ENDIF
  ENDIF

*/ ****
*/      SUBROUTINE CVALOC
*/
*DK,CVALOC
  FUNCTION CVALOC(TC,WFLOW,RHO,K)
*CALL ACSBAT
  DIMENSION TTAB(5),DTAB(5),OPEN(2),CV(2)
  DATA TTAB /0. , 100. , 101. , 999999. , 999999.0/
  DATA DTAB /0.5, 0.5 , 1.0 , 1.0 , 1.0/
  DATA OPEN /0.5, 1.0/
  DATA CV /200.0, 4.0/
  DATA AREA2 /2.668475253E-5/

```



```
TIME<10:24:50> DATE<10/24/87>
T107D.SSCL2.CS.DATA
MEMBER NAME IRACSM
      DO 200 I = 1,N
      IF (I.EQ.N) GO TO 200
      SININT = SININT+R2SIN(IR2SIN+IFS+I)
200 CONTINUE
C
C           VOLUME AVERAGED MOMENTUM EQUATION
C
      IF (J.LE.L2ACS(IL2ACS+1)) THEN
          TREF = T2NIRE
      ELSE
          TREF = T2NORE
      END IF
      RHO = DENS1D(TREF)
      VISC = VISC1H(TREF)
      RENO = W2NREF*Y2PIPE(IY2PIP+J)/(A2PIPE(IA2PIP+J)*VISC)
      E00 = F2EPS/Y2PIPE(IY2PIP+J)
      F = FRIC(RENO,E00)
      P2DREF(KK) = (.5*F*X2PIPE(IX2PIP+J)/Y2PIPE(IY2PIP+J) +F2LOSS(
X          IF2LOS+J))*W2NREF*ABS(W2NREF)/(RHO*A2PIPE(IA2PIP+J)*A2PIPE(
X          IA2PIP+J))+RHO*C9GRAV*SININT*DX
C
C           RETURN
END
```

(10) 直接炉心冷却系 (D R A C S) モデル

```

TIME<10:24:50> DATE<10/24/87>
T107D.SSCL2.CS.DATA
MEMBER NAME DRACS
*ID MCS
/* ****
*/ **** DRACIS INTERFACE
/* ****
*INSERT INIT6T.337
CALL FLNA1S
CALL FLNK1S
CALL STAK1S
/* ****
/* SUBROUTINE FLNA1S
/* ****
*OK FLNA1S
SUBROUTINE FLNA1S
*CALL /VD9V/
*CALL DATA9C
*CALL /26RVD/
*CALL /T62/
*CALL /T63/
*CALL /DRAC1V/
*CALL /BCDRC/
*CALL /YMGDRC/
*CALL /YHGSTK/
C1GRAV=C9GRAV
T1 = T1NAIR
X1 = DENS1D(T1)
Y1 = VISC1N(T1)
T2 = T1NAOR
X2 = DENS1D(T2)
Y2 = VISC1N(T2)
XAV = (X1+X2)/2.0
YAV = (Y1+Y2) / 2.0
TL = T6LPN
DL = DENS1D(TL)
C
CNA = W1NAR=W1NAR*(1./X1-1./X2)/(A1DHX*A1DHX)
CNA = CNA + W1NAR * W1NAR * (1./X2 - 1./DL) / (A1LPL*A1LPL)
C
RE1 = W1NAR * X1NA / (A1NA*Y1)
F1 = FRIC(RE1,0.0)
FNNAH = F1 * Y1NAH / (X1NA * X1 * A1NA * A1NA)
C
RE2 = W1NAR * X1NA / (A1NA*Y2)
F2 = FRIC(RE2,0.0)
FNAC = F2 * Y1NAC / (X1NA * X2 * A1NA * A1NA)
C
RE3 = W1NAR * X1DHSL / (A1DHX*YAV)
F3 = FRIC(RE3,0.0)
FDHX = F3 * Z1DHX / (X1DHSL * XAV * A1DHX * A1DHX)
C
FKNA = 0.5 * W1NAR * ABS(W1NAR) *
1 (FNNAH + FNAC + FDHX)
C
BYNA = C1GRAV * (XAV*Z1DHX + X2*Z1NAC - X1*Z1NAH)
C
ZGDRCI = Z6NALV - Z1UPL
PDRCIN = P6CGAS + X1*ZGDRCI*C1GRAV
C
PDRCOU = P6CGAS + XAV * (Z1NAC+Z1DHX-Z1NAH) * C1GRAV
C
PFCDNH = P1FC0
PFCDNH = PFCDNH - P1REFP
PDRCAC = PDRCIN - PDRCOU - PFCDNH
C
F1DRK IS KNOWN
C
IF (F1DRK.GT.0.0) GO TO 500
C
F1DRK IS UNKNOWN
C
IF (F1DRK.EQ.0.0) THEN
F1DRK = 2.0 * XAV * (CNA + PDRCAC + BYNA - FKNA)
1 / W1NAR / ABS(W1NAR)
GO TO 500
END IF
C
PRESSURE LOSS IS KNOWN

```

```

TIME<10:24:50> DATE<10/24/87>
T107D.SSCL2.CS.DATA
MEMBER NAME DRACS

C
    IF (F1DRK.LT.0.0) THEN
        F1DRK = - F1DRK
        F1DRK = 2.0 * XAV * F1DRK
        1          / W1NAR / ABS(W1NAR)
    END IF
C
500  CONTINUE
    CALL PAGE9U
    WRITE(6,9000) CNA , BYNA , FKNA , PDRCIN , PDRCOU , P1FCO ,
1          P1REFP , W1NAR , F1DRK
9000 FORMAT ('/////* **** DRACS STEADY STATE OUTPUT *****/'
1          '----- SUBROUTINE FLNK1S -----'
2          ' ACCELERATION PRESSURE LOSS      =',E12.4,' N/H**2'
3          ' GRAVITY PRESSURE LOSS          =',E12.4,' N/H**2'
4          ' FRICTION PRESSURE LOSS         =',E12.4,' N/H**2'
5          ' DRACS LOOP INLET PRESSURE     =',E12.4,' N/H**2'
6          ' DRACS LOOP OUTLET PRESSURE    =',E12.4,' N/H**2'
7          ' PRESSURE LOSS AT FCD          =',E12.4,' N/H**2'
8          ' PUMP PRESSURE RISE            =',E12.4,' N/H**2'
9          ' REFERENCE MASS FLOW RATE      =',E12.4,' KG/SEC'
A          ' OTHER PRESSURE LOSS COEFFICIENT =',E12.4)
    RETURN
END

*/ **** SUBROUTINE FLNK1S ****
*/ **** DK FLNK1S ****
SUBROUTINE FLNK1S
*CALL DATA9C
*CALL /DRAC1V/
*CALL /BCDRC/
*CALL /YNGDRC/
*CALL /YMGSTK/
C
    C1GRAV=C9GRAV
C
C
    T1=T1NKH
    X1=DENK1D(T1)
    Y1=VISCHK(X1,T1)
C
    T2=T1NKC
    X2=DENK1D(T2)
    Y2=VISCHK(X2,T2)
C
    XAV=(X1+X2)/2.0
    YAV=(Y1+Y2)/2.0
C
    CNK = W1NKR * W1NKR * (1./X1 - 1./X2) *
1          (1./A1DHTB/A1DHTB - 1./A1NHTB/A1NHTB)
    BYHK=C1GRAV*(-X1*Z1NKH*XAV*Z1NHH+X2*Z1NKC-XAV*Z1DHX)
C
C
    RE1 = W1NKR * X1NK / (A1NK*Y1)
    F1 = FRDRAC(RE1)
    FNHK = F1*Y1NKH / (X1NK*X1*A1NK**2)
C
    RE2 = W1NKR * X1NK / (A1NK*Y2)
    F2 = FRDRAC(RE2)
    FNKC = F2 * Y1NKC / (X1NK*X2*A1NK**2)
C
    RE3 = W1NKR * Y1KNI / (A1DHTB*YAV)
    F3 = FRDRAC(RE3)
    FDHX = F3 = Y1DHTB / (Y1KNI*XAV*A1DHTB**2)
C
    RE4 = W1NKR * X1NHTB / (A1NHTB*YAV)
    F4 = FRDRAC(RE4)
    FNHH = F4 * Y1NHTB / (X1NHTB*XAV*A1NHTB**2)
C
C
    F1DRNK IS KNOWN
C
    IF (F1DRNK.GT.0.0) THEN
        FNK = 0.5 * W1NKR * W1NKR = (FNHK+FNKC+FDHX+FNHH+F1DRNK/XAV)
        P2REFP = F1DRNK/2.0/XAV=W1NKR*ABS(W1NKR)-CNK-BYHK+FNK

```

```

TIME<10:24:50> DATE<10/24/87>
T107D.SSCL2.CS.DATA
MEMBER NAME DRACS
      GO TO 500
      END IF
C      F1DRNK IS UNKNOWN
C
C      IF (F1DRNK.EQ.0.0) THEN
C          FNK = 0.5 * W1NKR * W1NKR * (FNKH+FNKC+FDHX+FNHX)
C          F1DRNK = 2.0*XAV * (P2REFP+CNK+BYNK-FNK) / W1NKR / ABS(W1NKR)
C          GO TO 500
      END IF
C      PRESSURE LOSS IS KNOWN
C
C      IF (F1DRK.LT.0.0) THEN
C          FNK = 0.5 * W1NKR * W1NKR * (FNKH+FNKC+FDHX+FNHX)
C          F1DRNK = - F1DRNK
C          P2REFP = F1DRNK-CNK-BYNK+FNK
C          F1DRNK = 2.0 * XAV * F1DRNK
C          1           / W1NKR / ABS(W1NKR)
      END IF
C
C
C      500  WRITE(6,9000) CNK , BYNK , FNK , P2REFP , W1NKR , F1DRNK
C
C      SET INITIAL CONDITION
C
C      IF (W1NK.NE.0.0) THEN
C          T1=T1NKH
C          X1=DENK1D(T1)
C          Y1=VISCNK(X1,T1)
C
C          T2=T1NKC
C          X2=DENK1D(T2)
C          Y2=VISCNK(X2,T2)
C
C          XAV=(X1+X2)/2.0
C          YAV=(Y1+Y2)/2.0
C
C          CNK = W1NK * W1NK * (1./X1 - 1./X2) *
C          1           (1./A1DHTB/A1DHTB - 1./A1NHTB/A1NHTB)
C          BYNK=C1GRAV*(-X1*Z1NKH+XAV*Z1Nhx+X2*Z1NKC-XAV*Z1DHx)
C
C          RE1 = W1NK * X1NK / (A1NK*Y1)
C          F1 = FRDRAC(RE1)
C          FNKH = F1*Y1NK/(X1NK*X1*A1NK**2)
C
C          RE2 = W1NK * X1NK / (A1NK*Y2)
C          F2 = FRDRAC(RE2)
C          FNKC = F2 * Y1NKC / (X1NK*X2*A1NK**2)
C
C          RE3 = W1NK * Y1KNI/(A1DHTB*YAV)
C          F3 = FRDRAC(RE3)
C          FDHX = F3 * Y1DHTB / (Y1KNI*XAV*A1DHTB**2)
C
C          RE4 = W1NK * X1NHTB / (A1NHTB*YAV)
C          F4 = FRDRAC(RE4)
C          FNHX = F4 * Y1NHTB / (X1NHTB*XAV*A1NHTB**2)
C          FNK = 0.5 * W1NK * W1NK * (FNKH+FNKC+FDHX+FNHX+F1DRNK/XAV)
C          P2INIT = F1DRNK/2.0/XAV*W1NK*ABS(W1NK)-CNK-BYNK+FNK
C          F2INIT = P2INIT / P2REFP
C          00 600 K = 1 , 25
C          IF (P2EMPD(K).LT.F2INIT) THEN
C              P2EMPD(K) = F2INIT
C          ELSE
C              GO TO 700
C          END IF
C
C          600  CONTINUE
C
C      END IF
C
C      700  WRITE(6,9100) CNK , BYNK , FNK , P2INIT , W1NK
C      RETURN
C
C      9000 FORMAT ('/////* ***** DRACS STEADY STATE OUTPUT *****'
C      1           ' ----- SUBROUTINE FLNK1S -----'//'
C      1           ' ACCELELATION PRESSURE LOSS      =',E12.4,' N/M**2'/
C      1           ' GRAVITY PRESSURE LOSS        =',E12.4,' N/M**2'/
C      1           ' FRICTION PRESSURE LOSS     =',E12.4,' N/M**2'/

```

```

TIME<10:24:50> DATE<10/24/87>
T107D.SSCL2.CS.DATA
MEMBER NAME DRACS

      1      ' PUMP PRESSURE RISE          =',E12.4,' N/M**2'
      1      ' REFERENCE MASS FLOW RATE    =',E12.4,' KG/SEC'
      1      ' OTHER PRESSURE LOSS COEFFICIENT =',E12.4)
9100 FORMAT (/////* ***** DRACS INITIAL STATE OUTPUT ******/
      1      ' ----- SUBROUTINE FLNK1S -----'
      1      ' ACCELERATION PRESSURE LOSS    =',E12.4,' N/M**2'
      1      ' GRAVITY PRESSURE LOSS        =',E12.4,' N/M**2'
      1      ' FRICTION PRESSURE LOSS       =',E12.4,' N/M**2'
      1      ' PUMP PRESSURE RISE          =',E12.4,' N/M**2'
      1      ' INITIAL MASS FLOW RATE      =',E12.4,' KG/SEC')

C
      END

/* **** SUBROUTINE STAKIS ****
*OK STAKIS
SUBROUTINE STAKIS
*CALL DATA9C
*CALL /DRAC1V/
*CALL /BCDRC/
*CALL /YMGDRC/
*CALL /YHGSTK/
C
C
      PATH = P9ATM
      DNI = PATH / (Q1AIR*T1AIR)
      DNO = PATH / (Q1AIR*T1AOR)
      DAV = 0.5 * (DNI + DNO)
      CONST = 0.5 * W1AR**2 / DAV / A1STAK**2
      P1STR=C1AIR*Z1STAK*(1./T1AIR-1./T1AOR)

C      PRESSURE LOSS AT DAMPER
C
      IF (N1DAMP.EQ.0) GO TO 3
      FSTD1 = FLOAT(N1DCOS) / FLOAT(N1DAMP) * (1.0-R1AREA) *
      1      COS(0.5*C9PI*R1DCOS)
      FSTD2 = FLOAT(N1DFIN) / FLOAT(N1DAMP) * (1.0-R1AREA) *
      1      COS(0.5*C9PI*R1DFIN)
      FSTD = 1.0 / (1.0 - FSTD1 - FSTD2)
      FSTD = FSTD * FSTD - 1
      GO TO 4
      3 FSTD = 0.0
      4 CONTINUE
      PDDMP = FSTD * CONST

C      IN THIS CASE, PRESSURE LOSS ACROSS THE AIR COOLER IS KNOWN
C
      IF (F1STAK.LT.0.0) THEN
          PDACS = - F1STAK
          A = PATH - P1STR
          P2FANO = - P1STR + PDACS
          B = PATH + P2FANO
          F1STAK = PDACS / CONST
      END IF

C      IN THIS CASE, F1STAK IS KNOWN
C
      IF (F1STAK.GT.0.0) THEN
          PDACS = F1STAK * CONST
          P2FANO = P1STR + PDACS
          A = PATH - P1STR
          B = PATH + P2FANO
      END IF

C      IN THIS CASE, P2FANO IS KNOWN
C
      IF (F1STAK.EQ.0.0) THEN
          A = PATH - P1STR
          B = PATH + P2FANO
          PDACS = P1STR + P2FANO
          F1STAK = PDACS / CONST
      END IF

C      CALCULATE TIME CONSTANT IN STACK
C
      S1TAU0 = Z1STAK * A1STAK * DAV / W1AR

```



```

TIME<10:24:50> DATE<10/24/87>
T107D.SSCL2.CS.DATA
MEMBER NAME DRACS

      IF (L1DRAC.EQ.1) N1FEQT = N1FEQT + 2
      ****
      **
      ** SUBROUTINE EQIV1T
      **
      ****
      *INSERT EQIV1T.52
      *CALL /DVDTDR/
      *CALL /BCDRC/
      *INSERT EQIV1T.81
          IF (L1DRAC.EQ.1) THEN
              KBC = IY1 + LY1 - NSDNGP - 3
              Y1(KBC) = W1NA
              KBC = KBC + 1
              Y1(KBC) = W1NK
          END IF
      *INSERT EQIV1T.142
          IF (L1DRAC.EQ.1) THEN
              KBC = IY1 + LY1 - NSDNGP - 3
              W1NA = Y1(KBC)
              KBC = KBC + 1
              W1NK = Y1(KBC)
          END IF
      *INSERT EQIV1T.206
          IF (L1DRAC.EQ.1) THEN
              KBCC = IY1DYD + LY1DYD - NSDNGP - 3
              Y1DYDT(KBCC) = W1NAP
              KBCC = KBCC + 1
              Y1DYDT(KBCC) = W1NKP
          END IF
      ****
      **
      ** SUBROUTINE FLOW1T
      **
      ****
      *INSERT FLOW1T.61
      *CALL /BCDRC/
      C
      *BEFORE FLOW1T.108
          IF (L1DRAC.EQ.1) THEN
              CALL FLNA1T
          C
              IF (L1FLSP.GT.-1) GO TO 10
          C
              CALL FLNK1T
          10     CONTINUE
          END IF
      ****
      **
      ** INITIALIZATION      ****INIT1T****
      **
      ****
      *INSERT INIT1T.35
      *CALL /T63/
      *CALL /DVDTDR/
      *CALL /BCDRC/
      *INSERT INIT1T.296
      C      W1NA = 0.0
          IF (T1NAI.LT.0.0) T1NAI = T6NAB
          IF (T1NAO.LT.0.0) T1NAO = T6LPN
          CALL DCLP1S
          CALL DCLP2S
          L1FLSP = 1
          W1NAP = 0.0
          W1NKP = 0.0
      ****
      **
      ** SUBROUTINE VESL1T
      **
      ****
      *INSERT VESL1T.43
      *CALL /DVDTDR/
      *CALL /BCDRC/
      *INSERT VESL1T.82
          W6TOT = 0.0
      *DELETE VESL1T.93

```

```

TIME<10:24:50> DATE<10/24/87>
T107D.SSCL2.CS.DATA
MEMBER NAME DRACS

        W6TOT = W6TOT + F1LUMP(IF1LUM+K)*W1TWO(IW1TWO+K)
*DELETE VESL1T.100
2      CONTINUE
        WGTOT = W6TOT + F1LUMP(IF1LUM+K)*W1THRE(IW1THR+K)
*INSERT VESL1T.107
        W6VOUT = W6VOUT + W1DHX
        DO 50 K = 1 , N6CHAN
        WCORE = WCORE + W6CHAN(IW6CHA+K)
50      CONTINUE
        IF (L6BPAS.LT.1) GO TO 60
        WCORE = WCORE + W6BPAS
60      CONTINUE
*DELETE VESL1T.108,109
        W6TOT = W6TOT + W1DHX
        W6CT = WCORE - W6BPAS
*DELETE VESL1T.198
        PINV = (PINV + P6TERH + P1DHX) / (DENOM + X1DHX)
/* ****
*/
/*      SUBROUTINE COOL6T
*/
/* ****
*INSERT COOL6T.62
*CALL /BCDRC/
*INSERT COOL6T.103
        W6VOUT = W6VOUT + W1DHX
*DELETE COOL6T.116
*INSERT COOL6T.125
        WTOTL = WTOTL + WGCHAN(IW6CHA+K)
*INSERT COOL6T.130
        WTOTL = WTOTL + W6BPAS
/* ****
*/
/*      SUBROUTINE INIT6T
*/
/* ****
*INSERT INIT6T.51
*CALL /BCDRC/
*CALL /YMGORC/
*CALL /YMGSTK/
*INSERT INIT6T.242
C      INITIALIZE HEAT REMOVAL SYSTEM
C
        W1DHX = F1DLOP * W1NA
        P1DHX = 0.0
        X1DHX = 0.0
C
        Q1AIR = C9RGAS
        C1AIR = C9GRAV * P9ATM / C9RGAS
        A1LPL = A6LPLF
        A1DHTB = C1NTB * (Y1KNO*0.5)**2 * C9PI
        A1NA = (X1NA*0.5)**2 * C9PI
        A1NK = (X1NK*0.5)**2 * C9PI
        Y1KNSI = (A1DHX + A1DHTB) / C9PI
        Y1KNSI = SQRT(Y1KNSI) * 2.0
C
/* ****
*/
/*      SUBROUTINE LPLN6T
*/
/* ****
*INSERT LPLN6T.46
*CALL /BCDRC/
*CALL /YMGORC/
*INSERT LPLN6T.71
        IF (W1DHX.LE.0.0) GO TO 120
        WINT = WINT + W1DHX
        QIN = QIN + W1DHX*E1DRC(S(N1DRC))
120    CONTINUE
/* ****
*/
/*      SUBROUTINE LOOP1T
*/
/* ****
*INSERT LOOP1T.46

```

```

TIME<10:24:50> DATE<10/24/87>
T1070.SSCL2.CS.DATA
MEMBER NAME DRACS
*CALL /BCDRC/
C
*INSERT LOOP1T.55
    IF (L1DRAC.EQ.1) THEN
        IF(L1FLSP.GT.-1) GO TO 20
        CALL DRAC1T
20      CONTINUE
    END IF .
*/
***** SUBROUTINE UPLN6T
*/
***** INSERT UPLNGT.11
*CALL /BCDRC/
*/ IF CYCLE 42 THEN *INSERT CHNG42.305
*INSERT CHNG42.306
    IF (W1DHX.GE.0.0) GO TO 4000
    EOUT = ENTH1H(T1NHI)
    EBOUT = EBOUT + W1DHX * (EOUT - E6NAB)
4000  CONTINUE
*/
***** HONJU DRACS LOOP
*/
*/
***** INSERT DENK1D.13
    DENK1D = DNA
    RETURN
*INSERT VISCNK.2
    VISCNK = VISC1N(Y)
    RETURN
*/
***** SUBROUTINE DRAC1T
*/
***** INSERT DRACS.54
C
    DRACS PRIMARY LOOP THERMAL CALCULATION (BEFORE IHX)
    CALL DCLP1TC(S1DRCT,1)
*INSERT DRACS.55
C
    DRACS PRIMARY LOOP THERMAL CALCULATION (AFTER IHX)
    CALL DCLP1TC(S1DRCT,2)
C
    DRACS SECONDARY LOOP THERMAL CALCULATION (AFTER IHX)
    CALL DCLP2T(S1DRCT,1)
*INSERT DRACS.56
C
    DRACS SECONDARY LOOP THERMAL CALCULATION (AFTER IHX)
    CALL DCLP2T(S1DRCT,2)
*/
***** SUBROUTINE HXKN1T
*/
***** DELETE HXKN1T.11,17
*INSERT HXKN1T.18
*CALL /YMGDRC/
*CALL /YMGSTK/
*DELETE HXKN1T.32
*DELETE HXKN1T.38
    E1CPKR = HCAP1C(T)
*DELETE HXKN1T.39
    CONDKR = COND1K(T)
*INSERT HXKN1T.52
    IF (ABS(C-D).GT.Z9MIN .AND. C*D.GT.0.0) THEN
*BEFORE HXKN1T.54
    ELSE
        T1LMNR = 0.5 * (C + D)
    END IF
*DELETE HXKN1T.71
2      T = (T1NKH + T2DRCS(N2DRCS))/2.0

```

```

TIME<10:24:50> DATE<10/24/87>
T107D.SSCL2.CS.DATA
MEMBER NAME DRACS
*DELETE HXKN1T.74
  E1CPK = HCAP1C(T)
*DELETE HXKN1T.75
  CONDK = COND1K(T)
*DELETE HXKN1T.77,78
  T = (T1DRCS(L1DRCS) + T1NAO) / 2.0
*DELETE HXKN1T.83
  T = 0.25 * ((T1NKH+T2DRCS(N2DRCS)) + (T1DRCS(L1DRCS)+T1NAO))
*DELETE HXKN1T.85,87
  IF(T1NKH .GE. (T1DRCS(L1DRCS)-0.001))
    1          T1NKH = T1DRCS(L1DRCS) - 0.001
    IF(T1NAO .LE. (T2DRCS(N2DRCS)+0.001))
      1          T1NAO = T2DRCS(N2DRCS) + 0.001
    A = T1DRCS(L1DRCS) - T1NKH
    B = T1NAO - T2DRCS(N2DRCS)
*INSERT HXKN1T.87
  IF (ABS(A-B).GT.Z9MIN .AND. A*B.GT.0.0) THEN
*BEFORE HXKN1T.89
  ELSE
    T1LHN = 0.5 * (A + B)
  END IF
*INSERT HXKN1T.97
  IF (H1NK.GT.Z9MIN. AND .H1NA.GT.Z9MIN) THEN
*INSERT HXKN1T.100
  ELSE
    Q1NKN = 0.0
  END IF
*DELETE HXKN1T.102,109
  YY1 = F1NAR * Q1NKN * E1CPNR / (Q1NKNR * E1CPN)
  YY2 = F1NKNR * Q1NKN * E1CPKR / (Q1NKNR * E1CPK)
C
  S1TAUN = STAUN * D1NA / DINAR
  S1TAUK = STAUK * D1NK / D1NKR
C
  T1NAOP = (W1NA/W1NAR*(T1DRCS(L1DRCS)-T1NAO) - YY1*T1LHN) / S1TAUN
  T1NKH = (W1NK/W1NKR*(T2DRCS(N2DRCS)-T1NKH) + YY2*T1LHN) / S1TAUK
*/ ****
*/
*/      SUBROUTINE HXKA1T
*/
*/ ****
*INSERT HXKA1T.7
*CALL DATA9C
*CALL /YNGDRC/
*CALL /YHGSTK/
*DELETE HXKA1T.8,11
*DELETE HXKA1T.24
*DELETE HXKA1T.26
  E1CPKR = HCAP1C(T)
*INSERT HXKA1T.29
  IF (ABS(C-D).GT.Z9MIN. AND .C*D.GT.0.0) THEN
*BEFORE HXKA1T.31
  ELSE
    F1LMAR = 0.5 * (C + D)
  END IF
*DELETE HXKA1T.40,41
2   T = (T2DRCS(L2DRCS) + T1NKC)
*DELETE HXKA1T.43
  E1CPK = HCAP1C(T)
*DELETE HXKA1T.48
  TAU = S1TAU * D1NK / D1NKR
*DELETE HXKA1T.50
  XX1IN = (WA/W1AR)**.3 * TR**(-.21) / F1AR
*DELETE HXKA1T.51,52
  XX2 = (F1NKR*E1CPKR)/E1CPK*(TR**.21)*(WA/W1AR)**.7
*DELETE HXKA1T.54
  C = T2DRCS(L2DRCS) - T1AO
*INSERT HXKA1T.55
  IF (ABS(C-D).GT.Z9MIN. AND .C*D.GT.0.0) THEN
*DELETE HXKA1T.57
  ELSE
    T1LMA = 0.5 * (C + D)
  END IF
C
  T1NKCP = ((T2DRCS(L2DRCS)-T1NKC)*W1NK/W1NKR - XX2*T1LMA)/TAU
*DELETE HXKA1T.61,62

```

```

TIME<10:24:50> DATE<10/24/87>
T107D.SSCL2.CS.DATA
MEMBER NAME DRACS
      X2 = (T1NKC-T1AI) / (T2DRCS(L2DRCS)-T1AI)
      X = (T1AO-T1AI) / (T2DRCS(L2DRCS)-T1AI)
*DELETE HXKA1T.64
*DELETE HXKA1T.65
      IF ((1.0-X).GT.Z9MIN) THEN
          Y = ALOG((1.0-X)/X2)
          C = 1.0 - X - X2
      ELSE
          Y = 0.0
          C = 0.0
      END IF
*DELETE HXKA1T.66,67
      IF (ABS(Y).GT.Z9MIN) THEN
          Z = C / Y
          X = X - (X*XX1IN - Z) /
1           (XX1IN + ((1.0 - Z/(1.0-X))/Y))
      ELSE
          IF (ABS(C).LT.Z9MIN) THEN
              X = X - (X*XX1IN) / (XX1IN + 1.0)
          ELSE
              WRITE (6,9000)
              STOP
          END IF
      END IF
      IF (X.GT.1.0) X = 1.0
10    CONTINUE
*DELETE HXKA1T.68
      T1AO = T1AI + X*(T2DRCS(L2DRCS)-T1AI)
*INSERT HXKA1T.73
9000  FORMAT (1H1,///*****)
1      ,"/"
2      ,"/"      INVALID TEMPERATURES IN HXKA1T      "/"
3      ,"/"      T1NKC =',F10.2,'      "/"
4      ,"/"      T1NKH =',F10.2,'      "/"
5      ,"/"      T1AI =',F10.2,'      "/"
6      ,"/"      T1AO =',F10.2,'      "/"
7      ,"/"      X     =',E12.3,'      "/"
8      ,"/"      X2    =',E12.3,'      "/"
9      ,"/"
A      ,"/*****")
*/
*/
*/
SUBROUTINE STAK1T
*/
*/
*INSERT STAK1T.3
*CALL /VD9V/
*CALL INTEG9
*CALL DATA9C
*CALL YMGSSTK/
*DELETE STAK1T.8,11
*DELETE STAK1T.20,21
*INSERT STAK1T.28
  PATH = P9ATH
*INSERT STAK1T.28
  TMFAN = S9HSTR - S1DRCS
  IF (TMFAN.LT.0.0) TMFAN = 0.0
  CALL INT9U (P1FANH , T1FANH , N1FANH , TMFAN , PMFAN)
  PMFAN = P2FANO * PMFAN
*INSERT STAK1T.29
  B = PATH + PMFAN
  IF (N1DAMP.EQ.0) GO TO 3
  FSTD1 = FLOAT(N1DCOS) / FLOAT(N1DAMP) * (1.0-R1AREA) *
1   COS(0.5*C9PI*R1DCOS)
  FSTD2 = FLOAT(N1DFIN) / FLOAT(N1DAMP) * (1.0-R1AREA) *
1   COS(0.5*C9PI*R1DFIN)
  FSTD = 1.0 / (1.0 - FSTD1 - FSTD2)
  FSTD = FSTD * FSTD - 1
  GO TO 4
3 FSTD = 0.0
4 WRAT = W1A / W1AR
  TRAT = T1AO / T1AOR
  IF (WRAT.LE.0.0) THEN
    FSTAK = 0.0
  ELSE
    FSTAK = (F1STAK+FSTD) * WRAT**(-0.32) * TRAT**0.23

```

```

TIME<10:24:50> DATE<10/24/87>
T1070.SSCL2.CS.DATA
MEMBER NAME DRACS
      END IF
      *DELETE STAK1T.33
      F1 = B * DH1
      R = B / A
      T = T1AO / T1AI
      IF <ABS(R-1.0).LE.29MIN> THEN
          FACTR = 0.0
      ELSE
          F2 = ALOG(R*T)
          F3 = ALOG(R)
          FACTR = F1 * (1.0-1.0/R/R/T) / (1.0+F2/F3) / (F2+0.5*FSTAK)
      END IF
      END IF
      W1A = A1STAK * SQRT(FACTR)
      */
      */
      */
      SUBROUTINE FLNA1T
      */
      */
      */
      *INSERT FLNA1T.15
      *CALL /YHGDRC/
      *DELETE FLNA1T.17,18
      *DELETE FLNA1T.20,21
      *DELETE FLNA1T.29,35
      *INSERT FLNA1T.39
      Y1 = VISC1N(T1)
      *INSERT FLNA1T.41
      Y2 = VISC1N(T2)
      *INSERT FLNA1T.42
      YAV = (Y1+Y2) / 2.0
      *DELETE FLNA1T.43
      TL = T6LPN
      DL = DENS1D(TL)
      ZLPN = Z6BCOR - Z6IN0Z - Z1LPL
      ZANA = Z1DHX/A1DHX + F1DLOP * ABS(ZLPN)/A1LPL + (Y1NAH+Y1NAC)/A1NA
      *INSERT FLNA1T.45
      CNA = CNA + W1NA * W1NA * (1./X2 - 1./DL) / (A1LPL*A1LPL)
      *INSERT FLNA1T.46
      RE1 = W1NA * X1NA / (A1NA*Y1)
      F1 = FRIC(RE1,0.0)
      FNAA = F1 * Y1NAH / (X1NA * X1 * A1NA * A1NA)
      C
      RE2 = W1NA * X1NA / (A1NA*Y2)
      F2 = FRIC(RE2,0.0)
      FNAC = F2 * Y1NAC / (X1NA * X2 * A1NA * A1NA)
      C
      RE3 = W1NA * X1DHSL / (A1DHX*YAV)
      F3 = FRIC(RE3,0.0)
      FDHX = F3 * Z1DHX / (X1DHSL * XAV * A1DHX * A1DHX)
      C
      *DELETE FLNA1T.47
      FKNA = 0.5 * W1NA * ABS(W1NA) * (FNAA + FNAC + FDHX + F1DRK/XAV)
      *DELETE FLNA1T.49
      BYNA = C1GRAV * (XAV*Z1DHX + X2*Z1NAC + DL*ZLPN - X1*Z1NAH)
      *DELETE FLNA1T.54,56
      *DELETE FLNA1T.57
      PDRCOU = P6INLT - DL * ZLPN * C1GRAV
      *INSERT FLNA1T.59
      THPUMP = S9MSTR - S1DRCS
      IF <THPUMP.LT.0.0> THPUMP = 0.0
      CALL INTPU(P1EMPD, T1EMPD, N1EMPD, THPUMP, DPPUMP)
      PFCDNM = PFCDNM - DPPUMP * P1REFP
      *DELETE FLNA1T.60
      PDRCAC = PORCIN - P6INLT - PFCDNM
      *INSERT FLNA1T.63
      C
      C     DRACS START CONDITION
      C
      IF <S9MSTR.GT.S1DRCS> GO TO 10
      *DELETE FLNA1T.64
      *DELETE FLNA1T.76,79
      PDRC = CNA + BYNA + PDRCIN - PFCDNM
      P1DHX = F1DLOP * (PDRC-FKNA) / ZANA
      W1DHX = F1DLOP * W1NA
      X1DHX = F1DLOP / ZANA
      */
      */

```

```

TIME<10:24:50> DATE<10/24/87>
T107D.SSCL2.CS.DATA
MEMBER NAME DRACS
      */
      SUBROUTINE FLNK1T
      */
      ****
*INSERT FLNK1T.8
*CALL /VD9V/
*CALL INTEG9
*CALL /YMGDRC/
*DELETE FLNK1T.9,16
*DELETE FLNK1T.33
      CNK = W1NK * W1NK * (1./X1 - 1./X2) *
      1   (1./A1DHTB/A1DHTB - 1./A1NHTB/A1NHTB)
*DELETE FLNK1T.35
      YANK = Y1NKH/A1NK + Y1NKC/A1NK + Y1NHTB/A1NHTB + Y1DHTB/A1DHTB
*DELETE FLNK1T.48
      RE3 = W1NK * Y1KNI / (A1DHTB*YAV)
*DELETE FLNK1T.50
      FDHX = F3 * Y1DHTB / (Y1KNI*XAV*A1DHTB**2)
*DELETE FLNK1T.58
      TMPUMP = S9MSTR - S1DRCS
      IF (TMPUMP.LT.0.0) THPUMP = 0.0
      CALL INTP9U (P2EMPD , T2EMPD , N2EMPD , THPUMP , DPPUMP)
      DPPUMP = DPPUMP * P2REFP
      W1NKP = (DPPUMP+CNK+BYNK-FNK)/YANK
      ****
      */
      */
      OUTPUT DRACS RESULTS
      */
      ****
*DELETE DRACS.15
/*  WRITE(6,1)
*DELETE DRACS.48,49
/*  WRITE(6,60) L1FLAG , KK , K , S1NOW , T1NAI , T1NAO ,
/*  1           T1NKH , T1NKC , T1AI , T1AO , T1ST
/*60   FORHAT(1H ,315,8(1X,1PE11.4))
*DELETE HXKN1T.28,29
*DELETE HXKA1T.17,18
*DELETE FLNK1T.61
*INSERT WRIT1T.176
C
      WT = W6TOT
C
*DELETE WRIT1T.178
      WRITE(L90UT,120) WT
*INSERT WRIT1T.179
      WRITE(L90UT,220) W1NA
      220 FORMAT(/50X,27HPRIARY DRACS FLOW RATE   =,E15.4,8X,6H(KG/S))
      WRITE(L90UT,221) W1DHX
      221 FORMAT(50X, 27H          TOTAL    =,E15.4,8X,6H(KG/S))
      WRITE(L90UT,222) W1NK
      222 FORMAT(/50X,27HSECONDARY DRACS FLOW RATE =,E15.4,8X,6H(KG/S))
      WRITE(L90UT,223) W1A
      223 FORMAT(/50X,27HNH AIR FLOW RATE        =,E15.4,8X,6H(KG/S))
*INSERT WRIT1T.18
*CALL /DRAC1V/
*CALL /BCDRC/
*CALL /DVDTDR/
*INSERT PRNT6T.50
*CALL /DRAC1V/
*CALL /BCDRC/
*CALL /DVDTDR/
*CALL /YMGDRC/
      DATA LMCS0 /81/
*INSERT PRNT6T.61
C
      WRITE(LMCS0,50500) S6COOL
      50500 FORMAT(1H1,/,,'  MASTER CLOCK =',1PE12.4)
      WRITE(L90UT,51000) W1NA , W1DHX , T1NAI , T1NAO
C
      WRITE(LMCS0,51000) W1NA , W1DHX , T1NAI , T1NAO
      51000 FORMAT(/,15X,31H**** PRIMARY DRACS LOOP ***** ,/
      1   13X,6HW1NA ,6X,6HW1DHX ,6X,6HT1NAI ,6X,6HT1NAO ,/
      2   10X,1P4E12.4,/)
      WRITE(L90UT,52000) W1NK , T1NKC , T1NKH
C
      WRITE(LMCS0,52000) W1NK , T1NKC , T1NKH
      52000 FORMAT(/,15X,33H**** SECONDARY DRACS LOOP ***** ,/
      1   13X,6HW1NK ,6X,6HT1NKC ,6X,6HT1NKH ,/
      2   10X,1P3E12.4,/)
      WRITE(L90UT,53000) W1A , T1AI , T1AO , T1ST

```

```

TIME<10:24:50> DATE<10/24/87>
T107D.SSCL2.CS.DATA
MEMBER NAME DRACS

C      WRITE(LMCS0,53000) W1A , T1AI , T1AO , T1ST
53000 FORMAT(1,15X,41H***** NATURAL DRAFT HEAT EXCHANGER ***** ,/
1   13X,6HW1A ,6X,6HT1AI ,6X,6HT1AO ,6X,6HT1ST ,/
2   10X,1P4E12.4,/)
      WRITE(L9OUT,53500)
C      WRITE(LMCS0,53500)
53500 FORMAT(1,15X,'***** PRIMARY DRACS PIPE TEMPERATURE****',/)
      WRITE(L9OUT,54000) (T1DRCS(KKK),KKK=1,L1DRCS)
C      WRITE(LMCS0,54000) (T1DRCS(KKK),KKK=1,L1DRCS)
54000 FORMAT(13X,7HT1DRCS=,1P8E12.4)
      WRITE(L9OUT,54100)
C      WRITE(LMCS0,54100)
54100 FORMAT(13X,'          HEAT EXCHANGER EXISTS.',/)
      WRITE(L9OUT,54200) (T1DRCS(KKK),KKK=L1DRCS+1,N1DRCS)
C      WRITE(LMCS0,54200) (T1DRCS(KKK),KKK=L1DRCS+1,N1DRCS)
54200 FORMAT(13X,7HT1DRCS=,1P8E12.4,/)
      WRITE(L9OUT,54300)
C      WRITE(LMCS0,54300)
54300 FORMAT(1,15X,'***** SECONDARY DRACS PIPE TEMPERATURE****',/)
      WRITE(L9OUT,54400) (T2DRCS(KKK),KKK=1,L2DRCS)
C      WRITE(LMCS0,54400) (T2DRCS(KKK),KKK=1,L2DRCS)
54400 FORMAT(13X,7HT2DRCS=,1P8E12.4)
      WRITE(L9OUT,54500)
C      WRITE(LMCS0,54500)
54500 FORMAT(13X,'          HEAT EXCHANGER EXISTS.',/)
      WRITE(L9OUT,54600) (T2DRCS(KKK),KKK=L2DRCS+1,N2DRCS)
C      WRITE(LMCS0,54600) (T2DRCS(KKK),KKK=L2DRCS+1,N2DRCS)
54600 FORMAT(13X,7HT2DRCS=,1P8E12.4,/)
*/ ****
*/
*/      COMMON
*/
*/ ****
*DELETE /BCDRC/.4.5
      COMMON /VAR11/
1       L1FLAG , L1FLSP , L1DRAC , N9DRCS
*INSERT /BCDRC/.12
4       F1DLDP , S1DRCS
*COMDECK /YMGDRC/
C
C      COMMON FOR PRIMARY DRACS LOOP
C
COMMON /YMGDRC/
1   A1NA , Y1NAH , Y1NAC , Z1NAH , Z1NAC , X1NA , X1DHS1 ,
2   P1EMP0(25) , T1EMP0(25) , P2EMP0(25) , T2EMP0(25) ,
2   P1REFP , P2REFP ,
2   A1LPL , Z1NKH , Z1NKC , Z1NHH , Y1NKC , Y1NKH , Y1NHTB ,
3   Y1DHTB , X1NK , X1NHTB , A1NK , A1DHTB , A1NHTB , F1DRNK ,
4   T1NKC , T1NKH , T1NAIR , T1NAOR , W1NKR , Y1KNI , Y1KNO ,
5   Y1KNSI , C1NTB , STAUN , STAUK
6   ,G1DRCS(3,25) , G2DRCS(3,25) , T1DRCS(25) , T2DRCS(25) ,
7   E1DRCS(25) , E2DRCS(25)
COMMON /YMGDRI/
1   N1EPD , N2EPD
2   ,N1DRCS , N2DRCS , L1DRCS , L2DRCS
*COMDECK /YMGSTK/
C
C      DATA FOR PRIMARY DRACS LOOP
C
COMMON /YMGSTK/
1   S1TAUD , Z1STAK , C1AIR , A1STAK , Q1AIR , W1AR , T1AIR ,
2   T1AOR , F1STAK , R1AREA , R1DFIN , R1DCOS , S1TAU , P2FANO ,
3   P1FANH(25) , T1FANH(25)
COMMON /YMGSTI/
1   N1DAMP , N1DCOS , N1DFIN , N1FANH
*OK DCLP1S
      SUBROUTINE DCLP1S
C
C
C.....
C      A. YAMAGUCHI 1986
C
*CALL ***
*CALL /BCDRC/
*CALL /YMGDRC/
C

```

```

TIME<10:24:50> DATE<10/24/87>
T107D.SSCL2.CS.DATA
MEMBER NAME DRACS

C
      T1INDC = T1NAI
      T1OUDC = T1NAO
      DO 100 K = 1 , L1DRCS
      T1DRCS(K) = T1INDC
      E1DRCS(K) = ENTH1H(T1DRCS(K))
100   CONTINUE
      DO 200 K = L1DRCS+1 , N1DRCS
      T1DRCS(K) = T1OUDC
      E1DRCS(K) = ENTH1H(T1DRCS(K))
200   CONTINUE
      RETURN
      END
*DOK DCLP2S
      SUBROUTINE DCLP2S
C
C
C.....
C     A. YAHAGUCHI    1986
C
*CALL ***
*CALL /BCDRC/
*CALL /YMGDRC/
C
C
      T2INDC = T1NKH
      T2OUDC = T1NKC
      DO 100 K = 1 , L2DRCS
      T2DRCS(K) = T2INDC
      E2DRCS(K) = ENTH1H(T2DRCS(K))
100   CONTINUE
      DO 200 K = L2DRCS+1 , N2DRCS
      T2DRCS(K) = T2OUDC
      E2DRCS(K) = ENTH1H(T2DRCS(K))
200   CONTINUE
      RETURN
      END
*DOK DCLP1T
      SUBROUTINE DCLP1T(H,IDENT)
C
C
C.....
C     A. YAHAGUCHI    1986
C
*CALL ***
*CALL /T63/
*CALL /BCDRC/
*CALL /YMGDRC/
C
C
      IF (IDENT.EQ.1) THEN
         T1NAI = T6NAB
C
C     FOR THE FIRST NODE
C
      J = 1
      AREA = G1DRCS(1,J)
      DELTX = G1DRCS(2,J)
      TAV = 0.5 * (T1NAI + T1DRCS(J))
      RHOAV = DENS1D(TAV)
      EX = H * W1NA / RHOAV / AREA / DELTX
      E1DRCS(J) = (E1DRCS(J) + EX * ENTH1H(T1NAI)) / (1.0 + EX)
      T1DRCS(J) = TEMP1T(E1DRCS(J))
C
C     PRIMARY LOOP BEFORE HEAT EXCHANGER
C
      JFIRST = J + 1
      DO 100 J = JFIRST , L1DRCS
      AREA = G1DRCS(1,J)
      DELTX = G1DRCS(2,J)
      TAV = 0.5 * (T1DRCS(J-1) + T1DRCS(J))
      RHOAV = DENS1D(TAV)
      EX = H * W1NA / RHOAV / AREA / DELTX
      E1DRCS(J) = (E1DRCS(J) + EX * E1DRCS(J-1)) / (1.0 + EX)
      T1DRCS(J) = TEMP1T(E1DRCS(J))
100   CONTINUE

```

```

TIME<10:24:50> DATE<10/24/87>
T107D.SSCL2.CS.DATA
MEMBER NAME DRACS
      END IF
      IF (IDENT.EQ.2) THEN
C
C   FOR THE FIRST NODE
C
      J = L1DRCS + 1
      AREA = G1DRCS(1,J)
      DELTX = G1DRCS(2,J)
      TAV = 0.5 * (T1NA0 + T1DRCS(J))
      RHOAV = DENS1D(TAV)
      EX = H * W1NA / RHOAV / AREA / DELTX
      E1DRCS(J) = (E1DRCS(J) + EX * ENTH1H(T1NA0)) / (1.0 + EX)
      T1DRCS(J) = TEMP1T(E1DRCS(J))

C
C   PRIMARY LOOP BEFORE HEAT EXCHANGER
C
      JFIRST = J + 1
      DO 200 J = JFIRST , N1DRCS
      AREA = G1DRCS(1,J)
      DELTX = G1DRCS(2,J)
      TAV = 0.5 * (T1DRCS(J-1) + T1DRCS(J))
      RHOAV = DENS1D(TAV)
      EX = H * W1NA / RHOAV / AREA / DELTX
      E1DRCS(J) = (E1DRCS(J) + EX * E1DRCS(J-1)) / (1.0 + EX)
      T1DRCS(J) = TEHP1T(E1DRCS(J))
200    CONTINUE
      END IF
      RETURN
      END
*DK DCLP2T
      SUBROUTINE DCLP2T(H,IDENT)
C
C
C.....A. YAHAGUCHI 1986
C
*CALL ***
*CALL /BCDRC/
*CALL /YNGRC/
C
C
      IF (IDENT.EQ.1) THEN
C
C   FOR THE FIRST NODE
C
      J = 1
      AREA = G2DRCS(1,J)
      DELTX = G2DRCS(2,J)
      TAV = 0.5 * (T1NKH + T2DRCS(J))
      RHOAV = DENS1D(TAV)
      EX = H * W1NK / RHOAV / AREA / DELTX
      E2DRCS(J) = (E2DRCS(J) + EX * ENTH1H(T1NKH)) / (1.0 + EX)
      T2DRCS(J) = TEMP1T(E2DRCS(J))

C
C   PRIMARY LOOP BEFORE HEAT EXCHANGER
C
      JFIRST = J + 1
      DO 100 J = JFIRST , L2DRCS
      AREA = G2DRCS(1,J)
      DELTX = G2DRCS(2,J)
      TAV = 0.5 * (T2DRCS(J-1) + T2DRCS(J))
      RHOAV = DENS1D(TAV)
      EX = H * W1NK / RHOAV / AREA / DELTX
      E2DRCS(J) = (E2DRCS(J) + EX * E2DRCS(J-1)) / (1.0 + EX)
      T2DRCS(J) = TEMP1T(E2DRCS(J))
100    CONTINUE
      END IF
      IF (IDENT.EQ.2) THEN
C
C   FOR THE FIRST NODE
C
      J = L2DRCS + 1
      AREA = G2DRCS(1,J)
      DELTX = G2DRCS(2,J)
      TAV = 0.5 * (T1NKC + T2DRCS(J))
      RHOAV = DENS1D(TAV)

```

```
TIME<10:24:50> DATE<10/24/87>
T107D.SSCL2.CS.DATA
MEMBER NAME DRACS
      EX = H * W1NK / RHOAV / AREA / DELTX
      E2DRCS(J) = (E2DRCS(J) + EX * ENTH1H(T1NKC)) / (1.0 + EX)
      T2DRCS(J) = TEMP1T(E2DRCS(J))
C
C     PRIMARY LOOP BEFORE HEAT EXCHANGER
C
      JFIRST = J + 1
      DO 200 J = JFIRST , N2DRCS
      AREA = G2DRCS(1,J)
      DELTX = G2DRCS(2,J)
      TAV = 0.5 * (T2DRCS(J-1) + T2DRCS(J))
      RHOAV = DENS1D(TAV)
      EX = H * W1NK / RHOAV / AREA / DELTX
      E2DRCS(J) = (E2DRCS(J) + EX * E2DRCS(J-1)) / (1.0 + EX)
      T2DRCS(J) = TEMP1T(E2DRCS(J))
200    CONTINUE
      END IF
      RETURN
      END
```

(11) 原子炉保護系・制御系のモデル

```

TIME<10:24:50> DATE<10/24/87>
T1070.SSCL2.CS.DATA
MEMBER NAME PPS

*ID,PPS
/* ****
*/
/*      RESTART FILE ; READ AND WRITE
*/
/* ****
*DELETE CHNG41.78
COMMON /SETP8V/ RSTP8V(16)
/* ****
*/
/*      COMMON BLOCKS
*/
/* ****
*DELETE SETP8T.4
      X     T86SNZ,      Z83SHX,      Z83SHN,      F81SFL,      F82SFL,
      X     F81SF1,      F81SF2,      F82SF1,      F82SF2,      F86DST,
      X     F81SF3,      F81SF4
/* ****
*/
/*      LOW SODIUM LEVEL IN REACTOR VESSEL
*/
/* ****
*INSERT PS068F.24
      WRITE(L90UT,10050) Z86MHA , Z86SNA
      00010003
10050 FORMAT(24X,1H*,12X,24HMEASURED SODIUM LEVEL =,F10.5,12X,1H*)/ 00030002
      1      24X,1H*,12X,24HSET POINT SODIUM LEVEL =,F10.5,12X,1H*) 00040002
/* ****
*/
/*      LOW PRIMARY LOOP FLOW RELATIVE TO NEUTRON FLUX
*/
/* ****
*INSERT PS098F.8
*CALL /VD9V/                                /VD9V/ 2
*CALL SETP8T                                 /VD9V/ 2
*CALL TIME8T                                 /VD9V/ 2
*CALL /UNIT/                                  /UNIT/ 2
*CALL /PPS15/                                 /PPS15/2
*CALL DATA1M                                 DATA1M 2
*CALL SENSA8                                 DATA1M 2
C
C      LOW PRIMARY LOOP SODIUM FLOW RATE RELATIVE TO NEUTRON FLUX      PS148F18
C
C
*INSERT PS098F.9
      DO 100 I = 1, N1LOOP
      SETPT = F81SF1+F86MF*F81SF2
      IF(F81MF*(IF81MF+I).LE.SETPT) GO TO 200
      100 CONTINUE
      GO TO 300
      200 S8SCRN = S8PPS
      PS098F = 1
      WRITE(L90UT,10040)
      WRITE(L90UT, 10000) S8PPS
      WRITE(L90UT,10030)
      300 RETURN
      10030 FORMAT(24X,1H*,9X,40HDUE TO LOW PRIMARY LOOP SODIUM FLOW RATE      PS148F32
      X,9X,1H*/24X,1H*,9X,'RELATIVE TO NEUTRON FLUX',25X,'',
      X/24X,1H*,58X,1H*)                                         PS148F33
      C
      10010 FORMAT(1H1,25(/),24X,60(1H*)/24X,1H*,58X,1H*/          *WPPS* 2
      X24X,1H*,14X,28HP P S A C T I O N ,16X,1H*/          *WPPS* 3
      X24X,1H*,14X,28H-----,16X,1H*/          *WPPS* 4
      X24X,1H*,58X,1H*)                                         *WPPS* 5
      C
      10020 FORMAT(24X,60(1H*))                                     *WPPS* 6
      10040 FORMAT(1H1,25(/),24X,60(1H*)/24X,1H*,58X,1H*/          *WPPS* 7
      X24X,1H*,14X,28HP P S S I G N A L ,16X,1H*/          *WPPS* 8
      X24X,1H*,14X,28H-----,16X,1H*)                         *WPPS* 9
      X24X,1H*,58X,1H*)                                         *WPPS*10
      C
      10000 FORMAT(24X,1H*,4X,39HAUTOHATIC SCRAM SIGNAL INITIATED AT T =,   *WPPS*11
      XF7.3,4HSECS,4X,1H*/24X,1H*,58X,1H*)                      *WPPS*12
*DELETE PS098F.10
/* ****
*/
/*      HIGH PRIMARY LOOP FLOW RELATIVE TO NEUTRON FLUX
*/

```

```

TIME<10:24:50> DATE<10/24/87>
T107D.SSCL2.CS.DATA
MEMBER NAME PPS

/* ****
*INSERT PS168F.2
C.....*ID* 2
C.....*ID* 3
C..IDENTIFICATION: *ID* 4
C ----- *ID* 5
C P S 1 6 8 F PS098F 4
C ..... PS098F 5
C ..... PS098F 6
C ..... *** 2
C ..... *** 3
C **** 4
C ..... *** 5
*CALL /VD9V/ /VD9V/ 2
*CALL SETP8T /VD9V/ 2
*CALL TIME8T /VD9V/ 2
*CALL /UNIT/ /UNIT/ 2
*CALL /PPS15/ /PPS15/2
*CALL DATA1H DATA1H 2
*CALL SENS8 DATA1H 2
C PS148F18
C HIGH PRIMARY LOOP SODIUM FLOW RATE RELATIVE TO NEUTRON FLUX PS148F19
C PS148F20
*DELETE PS168F.3,5
*INSERT PS168F.6
DO 100 I = 1, N1LOOP PS148F21
SETPT = F81SF3+F86MFX*F81SF4 PS148F22
IF(F81MF1(IF81MF+1).GE.SETPT) GO TO 200 PS148F23
100 CONTINUE PS148F24
GO TO 300 PS148F25
200 S8SCRM = S8PPS PS148F26
PS168F = 1 PS148F27
WRITE(L90UT,10040) PS148F28
WRITE (L90UT, 10000) S8PPS PS148F29
WRITE(L90UT,10030) PS148F30
300 RETURN PS148F31
10030 FORMAT(24X,1H*,9X,41HDUE TD HIGH PRIMARY LOOP SODIUM FLOW RATE PS148F32
X,8X,1H*/24X,1H*,9X,'RELATIVE TO NEUTRON FLUX',25X,'*',
X/24X,1H*,58X,1H*) PS148F33
C *WPPS* 2
10010 FORMAT(1H1,25(/),24X,60(1H*)/24X,1H*,58X,1H/
X24X,1H*,14X,28HP P S A C T I O N,16X,1H*/ PS148F34
X24X,1H*,14X,28H-----,16X,1H*/ PS148F35
X24X,1H*,58X,1H*) PS148F36
C *WPPS* 7
10020 FORMAT(24X,60(1H*)) *WPPS* 8
10040 FORMAT(1H1,25(/),24X,60(1H*)/24X,1H*,58X,1H/
X24X,1H*,14X,28HP P S S I G N A L,16X,1H*/ *WPPS* 9
X24X,1H*,14X,28H-----,16X,1H*/ *WPPS* 10
X24X,1H*,58X,1H*) *WPPS* 11
C *WPPS* 12
10000 FORMAT(24X,1H*,4X,39HAUTOMATIC SCRAM SIGNAL INITIATED AT T =, *WPPS* 13
XF7.3,4HSECS,4X,1H*/24X,1H*,58X,1H*) *WPPS* 12
*WPPS* 13
*DELETE PS168F.7
/* ****
*/
/*      LOW SECONDARY LOOP FLOW RELATIVE TO NEUTRON FLUX
*/
/* ****
*INSERT PS178F.2
C.....*ID* 2
C.....*ID* 3
C..IDENTIFICATION: *ID* 4
C ----- *ID* 5
C P S 1 7 8 F PS098F 4
C ..... PS098F 5
C ..... PS098F 6
C ..... *** 2
C ..... *** 3
C **** 4
C ..... *** 5
*CALL /VD9V/ /VD9V/ 2
*CALL SETP8T /VD9V/ 2
*CALL /UNIT/ /UNIT/ 2
*CALL /PPS15/ /PPS15/2
*CALL DATA1H DATA1H 2

```

```

TIME<10:24:50> DATE<10/24/87>
T107D.SSCL2.CS.DATA
MEMBER NAME PPS

*CALL SENS8
C
C    LOW SECONDARY LOOP SODIUM FLOW RATE RELATIVE TO NEUTRON FLUX
C
*INSERT PS178F.4
    DO 100 I = 1, N1LOOP
    SETPT = F82SF1+F86HFX*F82SF2
    IF(F82MFL(IF82MF+I).GE.SETPT) GO TO 200
100 CONTINUE
GO TO 300
200 S8SCRM = S8PPS
PS178F = 1
WRITE(L90UT,10040)
WRITE(L90UT, 10000) S8PPS
WRITE(L90UT,10030)
300 RETURN
10030 FORMAT(24X,1H*,9X,42HDUE TO LOW SECONDARY LOOP SODIUM FLOW RATE
X,TX,1H*/24X,1H*,9X,'RELATIVE TO NEUTRON FLUX',25X,'**',
X/24X,1H*,58X,1H*)
C
10010 FORMAT(1H1,25(/),24X,60(1H*)/24X,1H*,58X,1H*/
X24X,1H*,14X,28HP P S A C T I O N ,16X,1H*/
X24X,1H*,14X,28H-----,16X,1H*/
X24X,1H*,58X,1H*)
C
10020 FORMAT(24X,60(1H*))
10040 FORMAT(1H1,25(/),24X,60(1H*)/24X,1H*,58X,1H*/
X24X,1H*,14X,28HP P S S I G N A L ,16X,1H*/
X24X,1H*,14X,28H-----,16X,1H*/
X24X,1H*,58X,1H*)
C
10000 FORMAT(24X,1H*,4X,39HAUTOMATIC SCRAM SIGNAL INITIATED AT T =,
XF7.3,4NSECS,4X,1H*/24X,1H*,58X,1H*)
*DELETE PS178F.5
*/ ****
*/
*   HIGH DIFFERENTIAL NEUTRON FLUX
*/
* ****
*INSERT PS188F.2
C.....*ID* 2
C.....*ID* 3
C..IDENTIFICATION: *ID* 4
C -----*ID* 5
C          P S 1 8 8 F PS098F 4
C          PS098F 5
C          PS098F 6
C          *** 2
C          *** 3
C**** 4
C          *** 5
*CALL /VD9V/ /VD9V/ 2
*CALL SETP8T /VD9V/ 2
*CALL TIME8T /VD9V/ 2
*CALL /UNIT/ /UNIT/ 2
*CALL /PPS15/ /PPS15/ 2
*CALL DATA1M DATA1M 2
*CALL SENS8 DATA1M 2
C
C    HIGH DIFFERENTIAL NEUTRON FLUX PS148F18
C
*INSERT PS188F.3
    FLXNOW = F86HFX
    IF(F86HFX.NE.1.0.AND.S8DELT.NE.0.AND.S8SCRM.NE.0) GO TO 100
    FLXPRE = F86HFX
    GO TO 300
100 DSSRT1 = LOG(1.0+F86DST)
    DSSRT2 = LOG(1.0+F86DST)
    DSHRT = (LOG(FLXNOW)-LOG(FLXPRE))/S8DELT
    SETPT = (DSHRT-DSSRT1)*(DSHRT-DSSRT2)
    IF(SETPT.GE.0.0) GO TO 200
    GO TO 300
200 PS188F = 1.0
    S8SCRM = S8PPS
    WRITE(L90UT,10040)
    WRITE(L90UT, 10000) S8PPS

```

```

TIME<10:24:50> DATE<10/24/87>
T107D.SSCL2.CS.DATA
MEMBER NAME PPS

        WRITE(L90UT,10030)
300      RETURN
10030  FORMAT(24X,1H*,9X,37HDUE TO HIGH DIFFERENTIAL NEUTRON FLUX
           X,12X,1H*/24X,1H*,58X,1H*)
C
10010  FORMAT(1H1,25(/),24X,60(1H*)/24X,1H*,58X,1H*/
           X24X,1H*,14X,28HP P S   A C T I O N ,16X,1H*/
           X24X,1H*,14X,28H-----,16X,1H*/
           X24X,1H*,58X,1H*)
C
10020  FORMAT(24X,60(1H*))
10040  FORMAT(1H1,25(/),24X,60(1H*)/24X,1H*,58X,1H*/
           X24X,1H*,14X,28HP P S   S I G N A L ,16X,1H*/
           X24X,1H*,14X,28H-----,16X,1H*/
           X24X,1H*,58X,1H*)
C
10000 FORMAT(24X,1H*,4X,39HAUTOMATIC SCRAM SIGNAL INITIATED AT T = ,
           XF7.3,4HSECS,4X,1H*/24X,1H*,58X,1H*)
*DELETE PS198F.4
*/
***** ****
*/
*     LOW PRIMARY PUMP ROTATIONAL SPEED
*/
* ****
*INSERT PS198F.2
C.....*ID* 2
C.....*ID* 3
C..IDENTIFICATION: *ID* 4
C -----*ID* 5
C.....PS098F 4
C.....PS098F 5
C.....PS098F 6
C.....*** 2
C.....*** 3
C**** *** 5
C.....*** 5
*CALL /VD9V/ /VD9V/ 2
*CALL PROP8T /VD9V/ 2
*CALL /UNIT/ /UNIT/ 2
*CALL TIME8T /VD9V/ 2
*CALL SENS8 DATA1H 2
*CALL /PPS15/ /PPS15/ 2
*CALL DATA1H DATA1H 2
      DATA F81SS1 /-0.0511/, F81SS2 /0.8711/
C
C     LOW PRIMARY PUMP ROTATIONAL SPEED
C
*INSERT PS198F.3
      SETPT = F81SS1 + F81SS2 * F86MFX
      DO 100 I = 1,N1LOOP
      IF (F81HSP(IF81MS+I).LE.SETPT) GO TO 200
100    CONTINUE
      GO TO 300
200    PS198F = 1
      S8CRM = S8PPS
      WRITE(L90UT,10040)
      WRITE(L90UT, 10000) S8PPS
      WRITE(L90UT,10030)
300    CONTINUE
10030  FORMAT(24X,1H*,9X,40HDUE TO LOW PRIMARY PUMP ROTATIONAL SPEED
           X,9X,1H*/24X,1H*,58X,1H*)
C
10010  FORMAT(1H1,25(/),24X,60(1H*)/24X,1H*,58X,1H*/
           X24X,1H*,14X,28HP P S   A C T I O N ,16X,1H*/
           X24X,1H*,14X,28H-----,16X,1H*/
           X24X,1H*,58X,1H*)
C
10020  FORMAT(24X,60(1H*))
10040  FORMAT(1H1,25(/),24X,60(1H*)/24X,1H*,58X,1H*/
           X24X,1H*,14X,28HP P S   S I G N A L ,16X,1H*/
           X24X,1H*,14X,28H-----,16X,1H*/
           X24X,1H*,58X,1H*)
C
10000 FORMAT(24X,1H*,4X,39HAUTOMATIC SCRAM SIGNAL INITIATED AT T = ,
           XF7.3,4HSECS,4X,1H*/24X,1H*,58X,1H*)
*/

```

```

TIME<10:24:50> DATE<10/24/87>
T107D.SSCL2.CS.DATA
MEMBER NAME PPS
*/
*DELETE LREC9T.28,29
+1, 2, 6, 2, 1, 1, 1,
+1, 2, 2, 1, 1, 1,
*INSERT READ9T.059
C.      CHECK NUMBER OF DATA POINTS READ AGAINST NUMBER REQUIRED
      IF (NWDS.NE.LENGTH) GO TO 10200
C.      STORE DATA
      F81SF1 = A(1)
      F81SF2 = A(2)
*INSERT READ9T.1010
C.      CHECK NUMBER OF DATA POINTS READ AGAINST NUMBER REQUIRED
      IF (NWDS.NE.LENGTH) GO TO 10200
C.      STORE DATA
      F81SF3 = A(1)
      F81SF4 = A(2)
*INSERT READ9T.1011
C.      CHECK NUMBER OF DATA POINTS READ AGAINST NUMBER REQUIRED
      IF (NWDS.NE.LENGTH) GO TO 10200
C.      STORE DATA
      F82SF1 = A(1)
      F82SF2 = A(2)
*INSERT READ9T.1012
C.      CHECK NUMBER OF DATA POINTS READ AGAINST NUMBER REQUIRED
      IF (NWDS.NE.LENGTH) GO TO 10200
C.      STORE DATA
      F86DST = A(1)
*DELETE LIST9T.69
+    NR8106(1,2),NR8107(1,2),NR8108(1,2),NR8109(2,2),NR8110(6,2),
*INSERT LIST9T.70
+    NR8116(2,2),NR8117(2,2),NR8118(1,2),NR8119(1,2),NR8120(1,2),
*INSERT LIST9T.314
DATA
+    NR8109( 1,1),NR8109( 1,2) /4HF81S,4HF1  /
+,   NR8109( 2,1),NR8109( 2,2) /4HF81S,4HF2  /
*INSERT LIST9T.332
DATA
+    NR8116( 1,1),NR8116( 1,2) /4HF81S,4HF3  /
+,   NR8116( 2,1),NR8116( 2,2) /4HF81S,4HF4  /
DATA
+    NR8117( 1,1),NR8117( 1,2) /4HF82S,4HF1  /
+,   NR8117( 2,1),NR8117( 2,2) /4HF82S,4HF2  /
DATA
+    NR8118( 1,1),NR8118( 1,2) /4HF86D,4HST  /
*INSERT LIST9T.1029
      WRITE(L90UT,10103)
+    NR8109(1,1),NR8109(1,2), F81SF1
+,   NR8109(2,1),NR8109(2,2), F81SF2
*INSERT LIST9T.1068
      WRITE(L90UT,10103)
+    NR8116(1,1),NR8116(1,2), F81SF3
+,   NR8116(2,1),NR8116(2,2), F81SF4
      GO TO 10000
*INSERT LIST9T.1069
      WRITE(L90UT,10103)
+    NR8117(1,1),NR8117(1,2), F82SF1
+,   NR8117(2,1),NR8117(2,2), F82SF2
      GO TO 10000
*INSERT LIST9T.1070
      WRITE(L90UT,10103)
+    NR8118(1,1),NR8118(1,2), F86DST
      GO TO 10000
*DELETE VRFY9T.499,502
*DELETE CHNG41.1254

```

(12) リスタート

```

TIME<10:24:50> DATE<10/24/87>
T107D.SSCL2.CS.DATA
MEMBER NAME RSTRTR
*1D RSTRTR
/* ****
/* MEMBER TLEFT
/* ****
*INSERT,DRIV9T.46
REAL=4 DUMMY
DATA BTIME1/0/,BTIME2/0/
*INSERT DRIV9T.102
BTIME1 = TLEFT(DUMMY) / 100.0
*BEFORE DRIV9T.274
BTIME2 = TLEFT(DUMMY) / 100.0
DIFF = BTIME1 - BTIME2
IF (BTIME2.LE.10.0*DIFF) GO TO 400
*DELETE,DRIV9T.360,363
*INSERT DRIV9T.364
400  CONTINUE
CALL SAVE9T
/* ****
/* SUBROUTINE SAVE9T
/* ****
*INSERT SAVE9T.7
REAL=4 DUMMY
*INSERT SAVE9T.13
TIME0 = TLEFT(DUMMY) / 100.0
*INSERT SAVE9T.30
TIME1 = TLEFT(DUMMY) / 100.0
CPU = TIME1 - TIME0
WRITE (L9OUT,11000) TIME0 , TIME1 , CPU
*INSERT SAVE9T.37
11000 FORMAT(////,5X,80(1H*),///,
X      10X,32HREMAINING CPU BEFORE WRITING IS ,E12.4,3HSEC//,
X      10X,32HREMAINING CPU AFTER WRITING IS ,E12.4,3HSEC//,
X      10X,32HCPU TIME NECESSARY WAS ..... ,E12.4,3HSEC///,
X      5X,80(1H*))

```

(13) その他のモデル改良

```

TIME<10:24:50> DATE<10/24/87>
T107D.SSCL2.CS.DATA
MEMBER NAME DPNC
*ID DPNC
/* *****
/* NOT INCLUDE INTER-SUBASSEMBLY HEAT TRANSFER MODEL
/* RECOMMENDED BY YOK 1985.10.17
/* *****
*INSERT READ7R.64
    N6IND = N6CHAN
*/ INSERT INTERMOD.11
/* N6CLUS = 0
*/ INSERT INTRAMOD.16
/* N6INTR = 0
*D LOOP1R.32
    DATA Z1CONV /0.2/
*/ *****
/* EXTENSION
/* *****
*DELETE BLKDAT.47
    X H8/4/, NAHMAX/750/
*DELETE /TABLES/.4
    Y RNAHLS(751), IPTLST(751)
*DELETE CHNG41.8
    COMMON /TABLES/ RTBLES(751), ITBLES(753)
*/ *****
/* DELETE CALL TBLDMP
/* *****
*DELETE CHNG42.73
/* *****
/* SURPRESS THE TIME STEP INFORMATION (WRTCUT)
/* *****
*DELETE,DRIV9T.257,258
/* *****
/* FLOW FRACTION IN THE CORE
/* *****
*I,PRNT6T.55
    WSUM=W6BPAS
    DO 321 K=1,N6CHAN
    WSUM=WSUM+W6CHAN(IW6CHA+K)
321 CONTINUE
    DO 322 K=1,N6CHAN
    F6FLOW(IF6FL0+K)=W6CHAN(IW6CHA+K)/WSUM
322 CONTINUE
C    F6FLBP=W6BPAS/WSUM
/* *****
/* SUBROUTINE PDCYST
/* *****
*DELETE PDCYST.83
    DFRAC=LOG(F5PD(JFPD-1))+(LOG(F5PD(JFPD))-LOG(F5PD(JFPD-1)))
*INSERT PDCYST.84
    DFRAC=EXP(DFRAC)
/* *****
/* CORRECT HYDRAULIC DIAMETER IN STEAM GENERATOR *****
/* *****
*DELETE CHNG41.868
    IF(IHGRD.EQ.1) DEQ=DOT*(POD*POD-1.0)
/* *****
/* FLUID DYNAMICS UPPER PLenum MODULE *****
/* *****
*INSERT UPLN6S.97
    T6M1 = T6OUTL
*DELETE UPLN6S.128,129
    T6CGAS = (UAGL*T6OUTL+UAGM1*T6M1+UAGM2*T6M2) /
    1 (UAGL+UAGM1+UAGM2)
    T6M3 = T6CGAS
/* *****
/* SUBROUTINE EXIT9U
/* *****
*DELETE PNC.9
    CHARACTER*8 WHERE
*DELETE PNC.13
    WRITE(L9OUT,30) WHERE, ITYP
/* *****
/* PROCEDURE OF RISIN CALCULATION WITH PIPE BREAK IS MODIFIED
/*
/* 1985.5.13 A. YAMAGUCHI
/*

```

```

TIME<10:24:50> DATE<10/24/87>
T107D,SSCL2.CS.DATA
MEMBER NAME BPNC
*! ****
*! INSERT RSET1T.159
    II = I1 + NNOD1
*! INSERT RSET2T.128
    II = I1 + NNOD1
*! ****
*! EQUATION FOR THE CONFINED FLOW MODEL IS MODIFIED
*!
*! CORRECT PIPE BREAK MODEL          A. YAMAGUCHI
*!                                     APR. 10 1985
*! ****
*! INSERT BREK1T.121
    * - (V1+V2)/2.0
*! ****
*! BUNDLE FRICTION FACTOR CORELATION
*!                                     A. YAMAGUCHI
*!                                     JUN. 21 1985
*! ****
*! DELETE FRIC6B.21
    IF(LATYP.GE.3) GOTO 400
*! ****
*! SURPRESS VOIDST OUTPUT ; BOILING
*!                                     A. YAMAGUCHI
*!                                     JUN. 12 1985
*! ****
*! DELETE VO105T.66
*! INSERT FUEL5T.211
    WRITE(NOUT,9996) KK
*! INSERT FUEL5T.229
    WRITE(NOUT,9996) KK
*! INSERT FUEL5T.255
9996  FORMAT(35(1H ),1H*,6(1H ),14HIN CHANNEL = ,13,15(1H ),1H*,/ )
*! ****
*! EXPLANATION OF GSVDOQ OUTPUT
*!                                     A. YAMAGUCHI
*!                                     JUN. 3 1985
*! ****
*I,INTG1T.681
    WRITE(6,*)
    '<<<GSVDOQ D(M),M=1,19>>'*
*I,INTG1T.682
    WRITE(6,*)
    '<<<GSVDOQ DD(M),M=1,20>>'*
*I,INTG1T.686
    WRITE(6,*)
    '<<<GSVDOQ Y1DIFF(JDIF+M),M=1,20>>,JDIF='*,JDIF
*I,INTG1T.688
    WRITE(6,*)
    '<<<GSVDOQ F1EPST(IF1EPT+M),M=1,N1FEQT>>'*
*I,INTG1T.690
    WRITE(6,*)
    '<<<GSVDOQ ETACH,JGG),M=1,13>>,JGG='*,JGG
*I,INTG1T.692
    WRITE(6,*)
    '<<<GSVDOQ Y1DYDT(IY1DYD+M),M=1,N1FEQT>>'*
*I,INTG1T.693
    WRITE(6,*)
    '<<<GSVDOQ FAC(M),M=1,3>>'*
*I,INTG1T.695
    WRITE(6,*)
    '<<<GSVDOQ GAM(M,JGG),M=1,15>>,JGG='*,JGG
*I,INTG1T.697
    WRITE(6,*)
    '<<<GSVDOQ GAS(M),M=1,15>>'*
*I,INTG1T.698
    WRITE(6,*)
    '<<<GSVDOQ PT(M),M=1,16>>'*
*I,INTG1T.699
    WRITE(6,*)
    '<<<GSVDOQ Y1(IY1+M),M=1,N1FEQT>>'*
*I,INTG1T.700
    WRITE(6,*)
    '<<<GSVDOQ Y1OLD(IY1OLD+M),M=1,N1FEQT>>'*
*I,INTG1T.701
    WRITE(6,*)
    '<<<GSVDOQ DELT,E,EMAX,EPS,ERRND,ERRMX,E2H,E2HAVE,E2HFAC,
    1E2HMAX>>'*
*I,INTG1T.703
    WRITE(6,*)
    '<<<GSVDOQ FRND,H,HH,HHAXA,HHINA,PTS1,PTS2,PTS3,PTS4,
    1PTS5>>'*
*I,INTG1T.704
    WRITE(6,*)
    '<<<GSVDOQ P01,P11,P25,P3E1,P5,RND,RNDC,RQMAX,T,TFINAL'
*I,INTG1T.705
    WRITE(6,*)
    '<<<GSVDOQ TL,TOUT,TP,TPD,TPD1,TPS1,TPS2,TPS3,TPS4,TPS5'
*I,INTG1T.706

```

```
TIME<10:24:50> DATE<10/24/87>
T107D.SSCL2.ES.DATA
MEMBER NAME DPNC
      WRITE(6,*)
      *I,INTG1T.707
      WRITE(6,*)
      *I,INTG1T.708
      WRITE(6,*)
      *I,INTG1T.709
      WRITE(6,*)
      *I,INTG1T.710
      WRITE(6,*)
      *I,INTG1T.711
      WRITE(6,*)
      *I,INTG1T.712
      WRITE(6,*)
      *I,INTG1T.713
      WRITE(6,*)
      /* ****SUPPRESS PUMP TANK NEGATIVE PRESSURE
      /* ****ERASE PRIMARY PUMP TANK NEGATIVE LEVELERROR MESSAGE
      /* OCT 25, 1984          A. YAHAGUCHI
      */
      *DELETE FLOW1T.70
      *DELETE FLOW1T.67
      *DELETE FLOW2T.58
      *DELETE FLOW2T.61
      *DELETE FLOW2T.64
      *DELETE FLOW2T.67
```

(14) もんじゅデータ

```

TIME<10:24:50> DATE<10/24/87>
T107D.SSCL2.CS.DATA
MEMBER NAME MONJU
*ID MONJU
*/ ****
*/ INLET NOZZLE FRICTION LOSS
*/ ****
*/ -----
*/ ----- NEW COMMON DECK
*/ -----
*CD PNCV21
COMMON /PNCV21/ FRVINV
*/ -----
*/ BLOCK DATA
*/ -----
*INSERT BLKDAT.207
*CALL PNCV21
DATA      FRVINV /0.61/
*/ -----
*/ SUBROUTINE PIPW1T
*/ -----
*INSERT PIPW1T.42
*CALL PNCV21
*INSERT PIPW1T.89
C1 = W * ABS(W) / (RHOAVG*AA)
C2 = F1LOSS*(F1LOS + NP + J)
NLASTP = N1PIPE*(IN1PIP+K)
IF (J.EQ.NLASTP.AND.W.LT.0.0) C2 = C2 + FRVINV
POLOSS = C1 * C2
*/ ****
*/ NUSSELT NUMBER
*/ ****
*DELETE HTRLS.418,424
C
***** NUSSELT NUMBER CORELATION : ORIGINAL
C
C     FNUS6C = F6NUC1 + F6NUC2*PD + F6NUC3*PD*PD
C     IF (PE .GE. 150.0) THEN
C         FNUS6C = FNUS6C * (C1 + C2*PE**F6NUC4)
C     ELSE
C         FNUS6C = FNUS6C * (C3 + C4*PE**F6NUC4)
C     END IF
C
***** NUSSELT NUMBER CORRELATION BASED ON PNC EXPERIMENT
C             A. YAMAGUCHI 28 AUG 1984
C
C     IF (PE .LE. 47.5) THEN
C         FNUS6C = 3.64
C     ELSE
C         FNUS6C = 5.0 + 0.038*PE
C     END IF
C
***** NUSSELT NUMBER CORRELATION: MODIFIED LYON EQUATION
C     (MONJU CORELATION)
FNUS6C = 7.0 + 0.025 * (0.5 * PE)**0.8
*INSERT GAMASS.12
*CALL /6IVD/
*INSERT GAMASS.65
C
***** GAP CONDUCTANCE
***** H = 5676.4 ; DRIVER FUEL
***** H = 3405.8 ; BLANKET
C
LATYP = L6ATYP(IL6ATY+KK)
IF (LATYP.EQ.1) THEN
H = 5676.4
ELSE
IF (LATYP.EQ.2) THEN
H = 3405.8
ELSE
H = 3405.8
END IF
END IF
GO TO 800
*INSERT GAMAST.71
C
***** GAP CONDUCTANCE
***** H = 5676.4 ; DRIVER FUEL
***** H = 3405.8 ; BLANKET

```

```

TIME<10:24:50> DATE<10/24/87>
T107D.SSCL2.CS.DATA
MEMBER NAME  NONJU
C
        LATYP = L6ATYP(IL6ATY+KK)
        IF (LATYP.EQ.1) THEN
          H = 5676.4
        ELSE
        IF (LATYP.EQ.2) THEN
          H = 3405.8
        ELSE
          H = 3405.8
        END IF
      END IF
      GO TO 2900
*/ ****
*/      PUMP MODIFICATION
*/ ****
*/ *** PRIMARY ****
*INSERT,TORK1T.42
C
        DIMENSION OMGH(14),BETAH(14)
        DATA OMGH / 837., 700., 600., 500., 400., 350., 300., 250.,
1           200., 150., 100., 80., 60., 40. /
        DATA BETAH/   0.0, 1.32E-2, 2.67E-2, 4.76E-2, 7.69E-2,
1           1.08E-1, 1.49E-1, 2.42E-1, 4.67E-1, 9.74E-1,
2           2.21   , 3.28   , 5.42   , 10.0/
*DELETE,TORK1T.49,64
        N=14
        BETAI=AMAX1(AHMIN1(OMGH(1),UOMGA),OMGH(N))
100  N=N-1
        IF(BETAI.GT.OMGH(N)) GO TO 100
        BETA2=BETAH(N)+(BETAH(N+1)-BETAH(N))/
        ((BETAI-OMGH(N))/(OMGH(N+1)-OMGH(N)))
*DELETE,TORK1T.104
        TFRIC=BETA2*THYD
C
C      PUMP ROTATION SPEED IS LESS THAN 40 RPM
C
        IF (UOMGA.LT.40.0) TFRIC = 980.0
*/ *** INTERMEDIATE ****
*DELETE,TORK2T.48,62
        IF(ALPHA.GT.0.05)  THEN
          C0=F2TFRI(1)
          C1=F2TFRI(2)
        ELSE
          C0=F2TFRI(3)
          C1=F2TFRI(4)
        ENDIF
*DELETE,TORK2T.99
        KK=6350.4
        TFRIC=KK*(C0+C1*ALPHA)
*/ *DELETE,/A2TC/.6
*/      + F2TFRI(4), F2HED(6,7), F2TORK(6,7),F2LSRS
*DELETE,BLKDAT.188,190
        DATA          F2TFRI/
        +    0.0247, 0.0,     0.0907, -1.320,
        +    0.0, 0.0, 0.0, 0.0, 0.0 /
*DELETE BLKDAT.164,187
*DELETE BLKDAT.191,198
C 1:BAN-BAD/2:BVD/3:BVN/4:BVT/5:BAT/6:BAR/7:BVR
        DATA          F1TORK/
        1  0.47100, 0.4860, 0.52600, -0.55200, 0.013000, 0.05600,
        2  0.7920, -0.22300, -0.10100, -0.32900, -0.80000, -0.57700,
        3  -0.45200, 1.75000, -1.9490, 2.8260, -1.1750, 0.0000,
        4  0.79200, -0.28700, -0.1970, 0.1470, 0.000, 0.0000,
        5  -0.69000, 1.4110, -0.44700, -0.3500, 0.605, -0.0740,
        6  -0.690, 1.4200, -1.92800, 0.41400, 3.547, 2.368,
        7  -0.452, 2.1490, -0.37200, 0.3, 0.0, 0.0/
C 1:HAN-HAD/2:HVD/3:HVN/4:HVT/5:HAT/6:MAR/7:HVR
        DATA          F1HEO/
        1  1.2640, -0.065000, 0.11800, -0.53100, 0.090000, 0.12400,
        2  0.68000, -0.44300, 0.39800, -0.42300, 0.00000, 0.00000,
        3  -0.580, 0.97200, -0.28600, 0.9340, -0.0400, 0.0000,
        4  0.68000, -0.44200, 0.60300, 0.1590, 0.00000, 0.00000,
        5  0.64500, 0.14400, -0.09800, 0.30900, 0.00000, 0.00000,
        6  0.64500, 0.39700, -1.9490, -0.9010, 0.00000, 0.0,
        7  -0.580, 0.75200, 0.791000, 0.32700, -0.30500, -0.373/
C 1:BAN-BAD/2:BVD/3:BVN/4:BVT/5:BAT/6:BAR/7:BVR

```

TIME<10:24:50> DATE<10/24/87>
T107D.SSCL2.CS.DATA
MEMBER NAME MONJU

C TORQUE CURVE INCOMPLETE FOR MONJU SECONDARY PUMP(X'S TAKEN FROM SSC)
DATA F2TORK/
1 0.79410, 0.2134, 0.00000, 0.00000, 0.00000, 0.00000,
X 0.8658, 0.28437, -0.22348, 0.45083, -0.70586, 0.21562,
3 -0.83250, 2.54500, -1.7120, 1.0070, 0.0000, 0.0000,
X 0.86533, -0.60816, 3.1497, -9.3647, 10.418, -4.0064,
X -0.68468, 1.8495, 0.96871, -8.9653, 12.045, -4.7596,
X -0.6840, 2.0342, -0.95477, -0.42286, 0.0, 0.0,
7 -0.8325, 2.5450, -1.71200, 1.00700, 0.0, 0.0/
C 1:HAN-HAD/2:HVD/3:HVN/4:HVT/5:HAT/6:HAR/7:HVR
C HEAD CURVE INCOMPLETE FOR MONJU SECONDARY PUMP(X'S TAKEN FROM SSC)
DATA F2HED/
1 1.4440, -0.374600, 0.31890, -0.38800, 0.00000, 0.00000,
X 0.69189, 0.43961, 0.68459, -0.24701, 0.63156, -0.20833,
3 -0.7858, 1.22300, 0.00000, 0.5622, 0.0000, 0.0000,
X 0.69209, -0.46132, 0.92592, -0.4308, 0.50845, -0.22436,
X 0.63405, -0.20178, -0.30242, 0.76603, -0.48077, 0.19231,
X 0.63405, 0.14665, -4.1896, -2.4828, 0.89730, 0.0,
7 -0.7858, 1.22300, 0.00000, 0.56220, 0.00000, 0.0/